



آشنایی با

فیزیک هسته‌ای

جلد اول

کنت کرین

ترجمه ابراهیم ابوکاظمی، منیژه رهبر



آشنایی با

فیزیک هسته‌ای

جلد اول

کینت کرین

ترجمه ابراهیم ابوکاظمی، منیژه رهبر



Introductory Nuclear Physics
Kenneth S. Krane
John Wiley & Sons, 1988

آشنایی با فیزیک هسته‌ای

جلد اول

تألیف کنت کرین

ترجمه دکتر محمد ابراهیم ابوکاظمی، دکتر منیژه رهبر

ویراسته دکتر محمد ابراهیم ابوکاظمی

مرکز نشر دانشگاهی

چاپ اول ۱۳۷۱

چاپ چهارم ۱۳۸۵

تعداد ۲۰۰۰

حروفچینی: مهدی

لیتوگرافی: کورش

چاپ و صحافی: مازگرافیک

حق چاپ برای مرکز نشر دانشگاهی محفوظ است

فهرست‌نویسی پیش از انتشار کتابخانه ملی جمهوری اسلامی ایران

Krane, Kenneth S. کرین، کنت

آشنایی با فیزیک هسته‌ای / کنت کرین؛ ترجمه محمد ابراهیم ابوکاظمی، منیژه رهبر. —

تهران: مرکز نشر دانشگاهی، ۱۳۷۱ - ۱۳۷۳.

ج. ۲: مصور، جدول، نمودار. — (مرکز نشر دانشگاهی؛ ۶۲۴، ۷۱۵: فیزیک؛ ۵۴، ۶۴)

ISBN 964-01-8120-X (دوره)

ISBN 964-01-0624-0 (ج. ۱)

ISBN 964-01-0715-8 (ج. ۲)

فهرست‌نویسی براساس اطلاعات فیبا.

Introductory nuclear physics.

عنوان اصلی:

"کتاب حاضر براساس ویرایش دوم کتاب (Introductory nuclear physics)

نوشته دیوید هالیدی بازنویسی شده است."

واژه‌نامه.

کتابنامه.

مندرجات: ج. ۱. مبانی ساختار هسته‌ای، واپاشی هسته‌ای و رادیواکتیویته. — ج. ۲.

واکنشهای هسته‌ای و ملحقات و کاربردها / ترجمه ناصر میرفخرایی، مجید مدرس.

ج. ۱ (چاپ چهارم: ۱۳۸۵).

۱. فیزیک هسته‌ای. الف. هالیدی، دیوید، ۱۹۱۶ -

آشنایی با فیزیک هسته‌ای. ب. ابوکاظمی، ابراهیم، ۱۳۲۴ -

۱۳۲۴ - مترجم. د. مرکز نشر دانشگاهی. ه. عنوان.

۵۴۹/۷

QC۷۷۶/۵۴۰۵

۱۳۷۱

۱۸۶۸ - ۷۱م

کتابخانه ملی ایران

بسم الله الرحمن الرحيم

فهرست

صفحه	عنوان
۱	پیشگفتار
۷	قسمت ۱. مبانی ساختار هسته‌ای
۸	۱. مفاهیم پایه
۹	۱.۱ نگاه‌های به پیشینه تاریخی
۱۰	۲.۱ چند اصطلاح مقدماتی
۱۳	۳.۱ خواص هسته‌ای
۱۵	۴.۱ یکاها و مرتبه‌های بزرگی
۱۶	مراجع مطالعات تکمیلی
۱۸	۲. مبانی مکانیک کوانتومی
۱۹	۱.۲ رفتار کوانتومی
۲۱	۲.۲ اصول مکانیک کوانتومی
۲۵	۳.۲ مسائل یک بعدی
۳۸	۴.۲ مسائل سه بعدی
۵۱	۵.۲ نظریه کوانتومی تکانه زاویه‌ای
۵۵	۶.۲ پارته
۵۶	۷.۲ آمار کوانتومی
۵۸	۸.۲ گذار بین حالتها
۶۰	مراجع مطالعات تکمیلی

صفحه	عنوان
۶۱	مسائل
۶۳	۳. خواص هسته‌ها
۶۴	۱.۳ شعاع هسته
۸۲	۲.۳ جرم نوکلیدها و فراوانی آنها
۸۹	۳.۳ انرژی بستگی هسته‌ای
۹۶	۴.۳ تکانه زاویه‌ای هسته‌ها و پارینه
۹۸	۵.۳ گشتاور الکترومغناطیسی هسته
۱۰۳	۶.۳ حالت‌های برانگیخته هسته
۱۰۵	مراجع مطالعات تکمیلی
۱۰۶	مسائل
۱۰۹	*۴. نیروی بین نوکلئونها
۱۱۰	۱.۴ دوترون
۱۱۷	† ۲.۴ پراکندگی نوکلئون-نوکلئون
۱۲۹	۳.۴ برهم‌کنش‌های پروتون-پروتون و نوترون-نوترون
۱۳۴	۴.۴ خواص نیروی هسته‌ای
۱۴۵	۵.۴ مدل نیروی تبادل
۱۵۱	مراجع مطالعات تکمیلی
۱۵۲	مسائل
۱۵۶	*۵. مدل‌های هسته‌ای
۱۵۷	۱.۵ مدل پوسته‌ای
۱۷۹	۲.۵ هسته‌های Z زوج و N زوج و ساختار جمعی
۱۹۸	۳.۵ مدل‌های هسته‌ای واقع‌تر
۲۰۷	مراجع مطالعات تکمیلی
۲۰۸	مسائل
۲۱۱	قسمت ۲. واپاشی هسته‌ای و رادیواکتیویته
۲۱۲	۶. واپاشی رادیواکتیو
۲۱۳	۱.۶ قانون واپاشی رادیواکتیو
۲۱۹	† ۲.۶ نظریه کوانتومی واپاشیهای رادیواکتیو
۲۲۳	۳.۶ تولید و واپاشی عناصر رادیواکتیو
۲۲۵	۴.۶ رشد اکتیوینت دختر-هسته
۲۲۹	۵.۶ انواع واپاشیها

۲۳۵	۶.۶ رادیواکتیویته طبیعی
۲۳۸	* ۷.۶ عمرسنجی رادیواکتیو
۲۴۲	* ۸.۶ یکاهای اندازه گیری تابش
۲۴۷	مراجع مطالعات تکمیلی
۲۴۷	مسائل
۲۵۲	* ۷. آشکارسازی تابشهای هسته‌ای
۲۵۳	۱.۷ برهم‌کنشهای تابش با ماده
۲۶۶	۲.۷ شمارگرهای گازی
۲۶۹	۳.۷ آشکارسازهای سوسوزن (سنتیلاسیون)
۲۷۷	۴.۷ آشکارسازهای نیمرسانا
۲۸۱	۵.۷ آمار شمارش
۲۸۴	۶.۷ اندازه گیری انرژی
۲۹۳	۷.۷ اندازه گیری یهای همفرودی و تفکیک زمانی
۲۹۶	۸.۷ اندازه گیری طول عمرهای هسته‌ای
۳۰۱	۹.۷ سایر انواع آشکارساز
۳۱۲	مراجع مطالعات تکمیلی
۳۱۳	مسائل
۳۱۶	۸. واپاشی آلفا
۳۱۷	۱.۸ منشأ واپاشی آلفا
۳۱۸	۲.۸ فرایندهای واپاشی آلفا
۳۱۹	۳.۸ رده بندی واپاشی آلفا
۳۲۲	۴.۸ † نظریه گسیل آلفا
۳۳۰	۵.۸ تکانه زاویه‌ای و پاریته در واپاشی آلفا
۳۳۴	۶.۸ طیف‌نمایی واپاشی آلفا
۳۴۳	مراجع مطالعات تکمیلی
۳۴۴	مسائل
۳۴۸	۹. واپاشی بتا
۳۴۹	۱.۹ آزاد شدن انرژی در واپاشی بتا
۳۵۴	۲.۹ † نظریه فرمی درباره واپاشی بتا
۳۶۰	۳.۹ آزمونهای تجربی «کلاسیک» برای نظریه فرمی
۳۶۸	۴.۹ قواعدگزینش تکانه زاویه‌ای و پاریته

صفحه	عنوان
۳۷۴	۵.۹ نیمه عمرهای تطبیقی و واپاشیهای ممنوع
۳۷۷	*۶.۹ فیزیک نو ترینو
۳۸۱	*۷.۹ واپاشی دو بنایی
۳۸۵	*۸.۹ گسیل نوکلئون تأخیری در واپاشی بتا
۳۹۳	*۹.۹ ناپایستگی پارینه
۴۰۱	*۱۰.۹ طیف نمایی بتا
۴۱۰	مراجع مطالعات تکمیلی
۴۱۱	مسائل
۴۱۶	۱۰. واپاشی گاما
۴۱۷	۱۰.۱۰ انرژی واپاشی گاما
۴۱۸	۲۰.۱۰ تابش الکترون و مغناطیسی کلاسیک
۴۲۱	۳۰.۱۰ محاسبه مکانیک کوانتومی
۴۲۴	۴۰.۱۰ قواعد گزینش تکانه زاویه ای و پارینه
۴۲۶	۵۰.۱۰ اندازه گیری توزیع زاویه ای و قطبیدگی
۴۳۳	۶۰.۱۰ تبدیل داخلی
۴۴۱	۷۰.۱۰ طول عمرهای گسیل γ
۴۴۴	*۸۰.۱۰ طیف نمایی پرتو گاما
۴۵۷	*۹۰.۱۰ فولو تورسانی تشدید هسته ای و اثر موسباور
۴۷۱	مراجع مطالعات تکمیلی
۴۷۲	مسائل
۴۷۷	پیوستها
۴۷۸	الف. نسبیت خاص
۴۸۲	ب. چارچوب مرجع مرکز جرم
۴۸۷	ج. جدول خواص هسته ای
۴۹۹	واژه نامه
۵۰۶	فهرست راهنما

پیشگفتار

تألیف این کتاب را به صورت همکاری با دیوید هالیدی آغاز کردم تا به اتفاق یکدیگر ویرایش دوم کتاب درسی‌اش، آشنایی با فیزیک هسته‌ای (وایلی، ۱۹۵۵)، را مورد تجدیدنظر قرار دهیم و آن را روزآمد کنیم. پس از آماده شدن طرح اولیه، معلوم شد که استاد هالیدی به خاطر تعهدات دیگرش فقط می‌تواند وقت بسیار محدودی را به این کار اختصاص دهد، و در نتیجه خواستار کناره‌گیری شخص خودش از شرکت فعال در این طرح شد. این پیشنهاد را من با بی‌میلی و تأسف پذیرفتم. استاد لطف کردند و حق استفاده از مطالب و ویرایش قبلی کتاب را به من واگذار کردند.

من نخستین بار به‌عنوان دانشجوی کارشناسی فیزیک با کتاب درسی هالیدی روبه‌رو شدم، که شاید نخستین آشنایی جدی من با فیزیک هسته‌ای بوده است. به‌خاطر دارم که روانی و خوانایی کتاب مرا تحت تأثیر قرار داده بود. من در این بازنویسی کوشیده‌ام تا این ویژگی‌ها را که از جمله امتیازات اثر قبلی بوده است، حفظ کنم.

خواننده. این کتاب اصولاً برای دانشجویان کارشناسی نوشته شده است، ولی می‌توان آن را برای مطالعهٔ اجمالی مبانی فیزیک هسته‌ای در دورهٔ کارشناسی ارشد نیز به‌کار برد. کتاب به‌طور مشخص برای دانشجویان رشتهٔ فیزیک و به‌عنوان بخشی از فیزیک جدید در نظر گرفته شده است، اما با گزینش مناسبی از مطالب می‌توان آن را برای دیگر رشته‌های علوم و تکنولوژی هسته‌ای، از جمله شیمی هسته‌ای، مهندسی هسته‌ای، زیست‌شناسی تابشی، و پزشکی هسته‌ای نیز مورد استفاده قرار داد.

پیش‌نیاز. دانشجوی خوانندهٔ این کتاب باید در فیزیک کوانتومی، در سطحی مقدماتی (که معمولاً در کتابهای فیزیک جدید مطرح می‌شود) یا در سطح پیشرفته‌تر دورهٔ کارشناسی، زمینهٔ قبلی داشته باشد. (مختصری از مطالب کوانتومی مورد نیاز را در فصل ۲ مرور کرده‌ام.) بدین ترتیب، کتاب برای دو سطح مختلف طراحی شده است: مطالبی مانند احتمال گذار یا عناصر ماتریسی را که نیاز به مکانیک کوانتومی پیشرفته دارند، می‌توان جدا در نظر گرفت و در مطالعهٔ مقدماتی از آنها صرف‌نظر کرد. این جداسازیها و صرف‌نظر کردنها، بدون اینکه به جریان منطقی بحث لطمه‌ای وارد کند، قابل اجراست.

پیش‌نیاز ریاضی این کتاب در حد معادلات دیفرانسیل است. **تأکید.** این کتاب دارای دو ویژگی برجسته است. نخستین ویژگی آن، وسعت نظر و تأکید بر گستره مطالب است. مدرس با در اختیار داشتن مجموعه گسترده‌ای از مطالب، متناسب با نیاز خاص دانشجوی، می‌تواند سرفصلهای درس را برگزیند. مطالب این کتاب برای دوره‌های يك ساله تا حدی ناکافی است، ولی برای دوره‌های ثلثی یا نیمساله خیلی زیاد است. بنابراین مدرس می‌تواند مطالب را، متناسب با فرصت موجود، چنان انتخاب کند که دانشجویان را تا حد ممکن با زمینه‌های کار فیزیک هسته‌ای آشنا سازد. ویژگی دوم این کتاب، بدون احساس شرمندگی، تأکید پدیدیده شناختی و طرز ارائه تجربی آن است. بحث واپاشی و پدیدهای واکنش هسته‌ای با نمونه‌هایی از بررسیهای تجربی که از نشریات علمی اخذ شده‌اند، همراه است. این نمونه‌ها را در پی جستجو برای مقالاتی که اطلاعات مورد نیاز را به روشن‌ترین وجه ممکن ارائه دهند و ارتباط تنگاتنگی با مطلب مورد بررسی داشته باشند، انتخاب کرده‌ام. آزمایشهای بدیع را اغلب با نمودارهایی از وسایل آزمایش، همراه با نتایج و خطاهای آن، ارائه داده‌ام. بدین ترتیب، کوشیده‌ام تا به دانشجویان بفهمانم که پیشرفت فیزیک هسته‌ای منحصر از بلندی پیشنهادی فرمی بر نخاسته است، بلکه حاصل تلاشهای طاقت‌فرسای آزمایشگاهی نیز هست. در همین حال، بنیان منطقی و هدف آزمایشها را نیز مورد بحث قرار داده‌ام، و سهم آنها را در پیشرفت نظریه خاطر نشان کرده‌ام.

سازمان. کتاب از چهار قسمت تشکیل شده است: مبانی ساختار هسته‌ای، رادیواکتیویته و واپاشی هسته‌ای، واکنشهای هسته‌ای، و ملحقات و کاربردها. در قسمت اول، مطالب پایه درباره شکل و اندازه هسته‌ها، مسئله دونوکلئون، و مقدماتی از مدل‌های هسته‌ای مورد بحث و بررسی قرار می‌گیرند. در دوره‌های فشرده، بدون اینکه لطمه‌ای به پیوستگی مطالب وارد شود، می‌توان از دو موضوع آخر صرف‌نظر کرد. در قسمت دوم که مربوط به رادیواکتیویته و واپاشی است، موضوعات سنتی را همراه با مطالب جدیدی که پل ارتباطی بین واپاشی هسته‌ای و جریان تحقیقی معاصر (مانند مد واپاشی «سنگین» مثلاً به صورت ^{14}C که اخیراً کشف شده است، واپاشی دو بنایی، گسیل نوکلئون تأخیری در واپاشی بتا، اثر موسباوئر، و غیره) هستند آورده‌ام. در قسمت سوم اجمالی از واکنشهای هسته‌ای، از جمله شکافت و همجوشی هسته‌ای و کاربرد آنها، مورد بحث قرار گرفته است. در قسمت چهارم از موضوعاتی سخن رفته است که فقط به‌طور تقریبی می‌توان آنها را زیر عنوان فیزیک هسته‌ای جای داد. از این جمله است برهم کنشهای فوق‌ریز، فیزیک ذرات، اختر فیزیک هسته‌ای، و کاربردهای عمومی نظیر پزشکی هسته‌ای. تأکید این قسمت روی مطالب مشترک بین فیزیک هسته‌ای و سایر شاخه‌های تخصصی فیزیک و غیر فیزیک، از قبیل فیزیک اتمی، فیزیک انرژی بالا، کیهان‌شناسی، شیمی، و پزشکی است. بیشتر مطالب این قسمت، بویژه در فصلهای ۱۸ و ۱۹،

۱. ترجمه فارسی این کتاب در دومجلد منتشر می‌شود که جلد اول آن شامل قسمتهای ۱ و ۲ و جلد دوم شامل قسمتهای ۳ و ۴ است. و.

از تحقیقات سالهای اخیر حاصل شده‌اند و بنا بر این، طبق معمول این گونه مطالب، ممکن است حتی پیش از انتشار این کتاب هم منسوخ شوند. در صورتی که چنین وضعی اتفاق بیفتد، باز هم مدرس فرصتی طلایی به دست می‌آورد که نکات مهمی را دربارهٔ پیشرفت علم یادآور شود. در فصل ۲۰ کاربردهایی را متذکر شده‌ام که، مانند مورد روبش PET، از پژوهشهای اخیر حاصل شده‌اند. مطالب این قسمت از کتاب تا حد زیادی بر پایهٔ مطالب قبلی استوار است. برای نمونه، اگر کسی بخواهد بدون آنکه درک درستی از واکنشهای هسته‌ای داشته باشد به مطالعهٔ فیزیک مزونها یا فیزیک ذرات بپردازد، کارش بی‌نتیجه خواهد بود.

ترتیب فصلها یا بخشهایی را که بدون از دست دادن پیوستگی مطالب می‌توان در مطالعهٔ اجمالی حذف کرد، در فهرست مطالب با علامت ستاره (*) مشخص کرده‌ام. با استفاده از فصلهای ۱، ۲، ۳، ۶، ۸، ۹، ۱۰، ۱۱ که شامل مبانی واپاشی هسته‌ای و واکنشهای هسته‌ای است می‌توان یک دورهٔ فشردهٔ فیزیک هسته‌ای مقدماتی را ارائه داد، بدون آنکه از ساختار هسته‌ای چیز زیادی مطرح شود. واکنشهای شکافت همجوشی را می‌توان از فصلهای ۱۳ و ۱۴ بدانها افزود. با انتخاب بعضی از مطالب فصلهای ۷ و ۱۵ می‌توان آشکارسازها و شتاب‌دهنده‌ها را هم معرفی کرد.

قسمت چهارم کتاب (فصلهای ۱۶ تا ۲۰)، به کاربردهای فیزیک هسته‌ای می‌پردازد و لزوماً متعاقب فصل ۱۵ نیست. در واقع، بسیاری از مطالب این قسمت را پس از فراگیری فصل ۱۱ (واکنشهای هسته‌ای) می‌توان مطالعه کرد. فصل ۱۶ را که مشتمل بر اسپینها و گشتاورهاست، حتی می‌توان به قسمت اول منتقل کرد و آن را پس از فصل ۳ قرار داد. مطالعهٔ فصل ۱۹ (اختر فیزیک هسته‌ای) مستلزم مطالب پیش‌نیاز شکافت و همجوشی از فصلهای ۱۳ و ۱۴ است.

بیشتر مطالب این کتاب را با حداقل پیش‌نیاز مکانیک کوانتومی می‌توان فهمید. فصلها یا بخشهایی که مستلزم مکانیک کوانتومی پیشرفته‌تری (در سطح کارشناسی) هستند، در فهرست مطالب با علامت (+) مشخص شده‌اند.

تجربهٔ من نشان می‌دهد که بیشتر دانشجویان دورهٔ کارشناسی حتی مبانی نظریهٔ کوانتومی تکانهٔ زاویه‌ای را دشوار می‌یابند، و مفاهیم مجردتری مانند ایزوسپین می‌تواند آنها را با مشکلات جدی روبرو کند. به همین دلیل، معرفی ایزوسپین را تا فصل ۱۱ (واکنشهای هسته‌ای) به تأخیر انداخته‌ام. استفاده از ایزوسپین در این فصل اجتناب‌ناپذیر است و برای آنکه اهمیت این مفهوم را در واپاشیهای بتا و گاما نشان دهم، کاربرد آن را در این موارد هم متذکر شده‌ام. سعی نکرده‌ام که برای محاسبهٔ دامنه‌ها یا سطح مقطعها از نظریهٔ جفت‌شدگی ایزوسپین استفاده کنم. بنا بر این در مطالعهٔ اجمالی می‌توان از بحث ایزوسپین بکلی صرف‌نظر کرد. اما استفاده از آن برای درک فصلهای ۱۷ و ۱۸ که دربارهٔ فیزیک ذرات و مزونهاست، صددرصد الزامی است.

نمادگذاری. در این کتاب نمادگذاری استاندارد را برگزیده‌ام. در این روش از

نماد T برای نمایش سه کمیت مختلف انرژی جنبشی، دما، و ایزوسپین استفاده می‌شود که خالی از دردسر نیست. اگر طرز نمایش متخصصان فیزیک ذرات را که نماد I را برای ایزوسپین و J را برای اسپین هسته به کار می‌برند برگزینیم، برای نمایش تکانه زاویه‌ای کل الکترونها نماد شناخته شده‌ای باقی نمی‌ماند. به همین دلیل، نماد I را برای تکانه زاویه‌ای کل هسته، J را برای تکانه زاویه‌ای کل الکترونها، و T را برای ایزوسپین به کار برده‌ام. برای رعایت هماهنگی، استفاده از این نمادها را به مباحث فیزیک ذرات در فصلهای ۱۷ و ۱۸ نیز گسترش داده‌ام، هرچند که این طرز نمایش با نمادگذاری متداول در فیزیک ذرات در تضاد است. حسرت کوچک Z را برای نمایش تکانه زاویه‌ای کل یک الکترون در اتم یایک نوکلئون منفرد به کار برده‌ام.

مراجع. هیچ سعی نکرده‌ام که مجموعه تاریخی دقیقی از مراجع کارهای بدیع ارائه کنم. برای این امتناع دو دلیل دارم: اولاً مطمئن نیستم که بتوانم نقش یک متخصص تاریخ علم را بازی کنم؛ ثانیاً بر این باورم که مراجع در کتابهای درسی دوره کارشناسی، بیش از آنکه راهنمای دانشجوی باشند، باعث شلوغی متن هستند. هرچند که منابع نگرشهای عمده را مشخص کرده‌ام، ولی بحثهای تاریخی را در حداقل ممکن نگه داشته‌ام. تاریخ فیزیک هسته‌ای که ارتباط تنگاتنگی با انقلابهای نظریه کوانتومی و نسبیت در فیزیک قرن بیستم داشته است، در حد خود بسی مجذوب کننده است، و من دانشجویان جدی را به بررسی آن تشویق می‌کنم. مقالات کلاسیک، در تمایز آشکار با آثار جدید، خوانایی شگفت‌انگیزی دارند. بسیاری از مراجع مربوط به این مقالات اولیه را می‌توان در کتاب هالیدی یا در کتاب زیر یافت:

R. T. Beyer, *Foundations of Nuclear Physics*, (New York: Dover, 1949)

این کتاب مرجع شامل ۱۳ مقاله اصلی تجدید چاپ شده است، و همچنین متضمن کتاب‌شناسی رده‌بندی شده‌ای از تمام کارهای فیزیک هسته‌ای منتشر شده تا سال ۱۹۴۷ است.

در پایان هر فصل، فهرستی از مراجع را برای مطالعات تکمیلی آورده‌ام. مطالب همان فصل را می‌توان با تفصیل بیشتر و بررسی کاملتر در این مراجع یافت. بعلاوه، در این فهرستها، مقالات مروری و مقالات و کتابهای عامه‌پسند نیز گنجانده شده‌اند.

حل بعضی از مسائل پایان فصلها مستلزم استفاده از جداول خواص هسته‌ای است، که از این رو دانشجوی باید به آخرین ویرایش *Table of Isotopes* یا مجموعه کاملی از *Nuclear Data Sheets* دسترسی داشته باشد.

کینت گرین

کاهشمار رویدادهای مهم در فیزیک هسته‌ای

- ۱۸۹۶ کشف رادیواکتیویته (بکرل*)
- ۱۸۹۸ جداسازی رادیم (ماری کوری* و پیر کوری*)
- ۱۹۰۵ نظریه نسبیت خاص (اینشتین*)
- ۱۹۰۹ شناسایی ذره آلفا به‌عنوان هسته هلیوم (رادرفورد* و رویلز)
- ۱۹۱۱ اتم هسته‌ای (رادرفورد*)
- ۱۹۱۲ ساخت اتاقک ابر (ویلسون*)
- ۱۹۱۳ کشف ایزوتوپهای پایدار (تامسون*)
- ۱۹۱۳ مدل اتمی سیاره‌ای (نیلز بور*)
- ۱۹۱۴ تعیین بار هسته با استفاده از پرتوهای ایکس (موزلی)
- ۱۹۱۹ تراجهش مصنوعی به کمک واکنش هسته‌ای (رادرفورد*)
- ۱۹۱۹ ساخت طیف‌سنج جرمی (استون*)
- ۱۹۲۵ پیشنهاد اسپین ذاتی (گودشمیت و اولنک)
- ۱۹۲۶ ظهور مکانیک کوانتومی (شرو دینگر*)
- ۱۹۲۸ نظریه رادیواکتیویته آلفا (گاموف، گورنی، کاندون)
- ۱۹۳۰ فرضیه نوترینو (پاولی*)
- ۱۹۳۱ ساخت نخستین شتابدهنده الکتروستاتیکی (وان دو گراف)
- ۱۹۳۱ ساخت نخستین شتابدهنده خطی (اسلون* و لارنس*)
- ۱۹۳۲ ساخت نخستین سیکلوترون (لارنس* و لیوینگستون)
- ۱۹۳۲ کشف دوتریم (اوری*، بركود، مورفی)
- ۱۹۳۲ کشف پوزیترون (اندرسون*)
- ۱۹۳۲ کشف نوترون (چادویک*)
- ۱۹۳۲ مدل هسته‌ای پروتون-نوترون (هایزنبرگ*)
- ۱۹۳۲ تحقق نخستین واکنش هسته‌ای با استفاده از شتابدهنده (کوکرافت* و والتون*)
- ۱۹۳۴ کشف رادیواکتیویته مصنوعی (ایرن کوری*، ژولیو*)
- ۱۹۳۴ نظریه رادیواکتیویته بتا (فرمی*)
- ۱۹۳۵ فرضیه مزون (یوکاوا*)
- ۱۹۳۵ عرضه تکنیک همفرودی (بوته*)
- ۱۹۳۶ پیشنهاد نظریه هسته مرکب (نیلز بور*)
- ۱۹۳۷ کشف لپتون μ در پرتوهای کیهانی (ندر میر و اندرسون*)
- ۱۹۳۸ کشف شکافت هسته‌ای (هان* و اشتراسن)
- ۱۹۳۸ طرح همجوشی گرما هسته‌ای به مثابه چشمه انرژی در ستارگان (بته*)

* دانشمندانی که نامشان با علامت ستاره مشخص شده است از یرندگان جایزه نوبل در فیزیک یا شیمی هستند، هر چند که ممکن است این جایزه به خاطر کاری که در این فهرست آورده‌ایم نبوده باشد.

- ۱۹۳۹ مدل قطره - مایع برای شکافت (نیلز بور* و ویلر)
- ۱۹۴۰ تولید نخستین عنصر فرا اورانیم (مک میلان* و سی بورگ*)
- ۱۹۴۱ ساخت نخستین بتاترون، شتابدهنده الکترون با القای مغناطیسی (کرتس)
- ۱۹۴۲ ساخت نخستین رآکتور شکافت کنترل شده (فرمی*)
- ۱۹۴۳ حصول پایداری فاز برای سنکروترون (مک میلان* و وکسلر)
- ۱۹۴۵ آزمایش نخستین بمب شکافتی
- ۱۹۴۶ کیهان‌شناسی مهبانگ (گاموف)
- ۱۹۴۶ عرضه روش تشدید مغناطیسی هسته (بلوخ* و پورسل*)
- ۱۹۴۷ ظهور عمرسنجی رادیو کربنی (لیبی*)
- ۱۹۴۷ ساخت نخستین سنکروسیکلو ترون پروتونی 350 MeV (برکلی)
- ۱۹۴۷ کشف مزون π (پاول*)
- ۱۹۴۸ ساخت نخستین شتابدهنده خطی پروتون، 32 MeV (آلوارز*)
- ۱۹۴۹ پیشنهاد مدل پوسته‌ای برای ساختار هسته (مایر*، جنسن*، هاگسل، سوئس)
- ۱۹۴۹ ساخت شمارگر سوسوزن (کالمن، کولتمان، مارشال)
- ۱۹۵۲ ساخت نخستین سیکلو ترون پروتونی، 23 GeV (بروکهاون)
- ۱۹۵۲ آزمایش نخستین بمب گرم هسته‌ای
- ۱۹۵۳ فرضیه شکفتی (گلنن* و نیشی جیما)
- ۱۹۵۳ پیشنهاد مدل جمعی برای ساختار هسته (آگه بور*، موتلسون*، رینواتر*)
- ۱۹۵۳ تولید ذرات شکفت برای نخستین بار (بروکهاون)
- ۱۹۵۵ کشف پادپروتون (چمبرلین* و سگره*)
- ۱۹۵۶ آشکارسازی تجربی نوترینو (راینز و کوان)
- ۱۹۵۶ نقض پارته در برهم کنشهای ضعیف (لی*، یانگ*، وو، و همکاران)
- ۱۹۵۸ گسیل بدون پس‌زنی پرتوهای گاما (موسباور*)
- ۱۹۵۹ ساخت سنکروترون 26 GeV (سرن)
- ۱۹۶۴ مشاهده نقض CP در واپاشی K^0 (کرونین* و فیچ*)
- ۱۹۶۴ پیشنهاد مدل کوارک برای هادرونها (گلنن* و زوایک)
- ۱۹۶۷ راه‌اندازی اولیه شتابدهنده SLAC برای الکترونها 20 GeV (استانفورد)
- ۱۹۶۷ پیشنهاد مدل الکتروضعیف (واینبرگ* و سلام*)
- ۱۹۷۰ فرضیه افسون (گلاشو*)
- ۱۹۷۱ ساخت برخورد دهنده پروتون-پروتون (سرن)
- ۱۹۷۲ ساخت سنکروترون پروتونی 500 GeV (فرمی لب)
- ۱۹۷۴ کشف ذره J/ψ و تأیید کوارک افسونگر (ریشتر* و تینگ*)
- ۱۹۷۵ کشف لپتون τ (پرل)
- ۱۹۷۷ کشف ذره T و طرح کوارک ته (لدرمن)
- ۱۹۸۳ راه‌اندازی برخورد دهنده پروتون-پادپروتون 300 GeV (سرن)
- ۱۹۸۳ کشف بوزونهای ضعیف W^\pm و Z^0 (روبیان*)

قسمت ۱

مبانی ساختار هسته‌ای

مفاهیم پایه

تاریخ آغاز فیزیک هسته‌ای را می‌توانیم از کشف رادیواکتیویته (پرتوزایی) توسط بکرل در سال ۱۸۹۶ یا ظهور فرضیه رادرفورد مبنی بر وجود هسته در اتمها در سال ۱۹۱۱ بگیریم. در هر حال، به روشنی معلوم است که مطالعات تجربی و نظری فیزیک هسته‌ای نقش برجسته‌ای در توسعه فیزیک قرن بیستم ایفا کرده است. خلاصه تاریخ تحولات فیزیک هسته‌ای را در صفحات آغازین این کتاب نشان داده‌ایم. در نتیجه همین مطالعات است که امروزه ما درک نسبتاً خوبی از خواص هسته‌ها و ساختاری که منشأ این خواص است، به دست آورده‌ایم. بعلاوه، فیزیک هسته‌ای فنونی در اختیار ما گذاشته است که در زمینه‌های علمی دیگر، از جمله در فیزیک اتمی و فیزیک حالت جامد، نیز کاربرد وسیعی پیدا کرده است. پژوهشهای آزمایشگاهی فیزیک هسته‌ای را برای حل انواع بسیار گوناگونی از مسائل، از برهم‌کنش کوادرها (بنیادی‌ترین ذره‌ای که ماده از آن ساخته می‌شود) گرفته تا فرایندهای نخستین مراحل تکامل جهان که پس از «مه‌بانگ» اتفاق افتاده است، به کار برده‌اند. فیزیکدانها، امروزه از فنونی که در آزمایشگاههای فیزیک هسته‌ای آموخته‌اند برای تشخیص و درمان بیماریها در اعماق بدن انسان، بدون اینکه نیازی به جراحی باشد، بهره‌برداری می‌کنند. اما، از سوی دیگر هم برخی از فنون فیزیک هسته‌ای تجربی در ساختن سلاحهای ترسناکی مورد استفاده قرار می‌گیرند که منظور از تولید آنها کشتار توده‌ای انسانهاست، و ادامه تولید و تکثیر آنها تهدیدی جدی برای آینده بشریت است. آسان نیست که هیچ علم دیگری را با این علم که طیف گسترده‌ای از کوچکترین ذرات میکروسکوپی تا موجودات

کیهانی را شامل می‌شود، مقایسه کنیم. زمینه علمی دیگری هم وجود ندارد که کاربردهای مستقیم تحقیقات بنیادی آن، بالقوه بتواند این چنین مرزهای خیر و شر را درنوردد. فیزیک هسته‌ای از چنان صورت‌بندی نظری منسجمی برخوردار نیست که با استفاده از آن بتوانیم تمام پدیده‌ها را به روشی بنیادی تحلیل و تعبیر کنیم. اما فیزیک اتمی با صورت‌بندی الکترودینامیک کوانتومی خود از چنین امکانی برخوردار است، و به کمک آن می‌توانیم برخی از کمیتهای مشاهده‌پذیر را تا بیش از شش رقم با معنی محاسبه کنیم. بدین ترتیب، در مطالعه فیزیک هسته‌ای می‌باید شیوه‌ای پدیده‌شناختی در پیش بگیریم و برای توصیف پدیده‌های متنوعی مانند واپاشی آلفا، واپاشی بتا، و واکنشهای مستقیم، یا شکافت، از صورت‌بندیهای متفاوتی استفاده کنیم. توانایی ما در تعبیر نتایج آزمایش و پیش‌بینی نتایج جدید، برای هر نوع پدیده‌ای، نسبتاً کامل است. ولی با وجود این، غالباً صورت‌بندی و روشهای مورد استفاده در یک پدیده را در موارد دیگر نمی‌توان به کار برد. به جای آنکه یک نظریه منفرد و وحدت‌بخش در اختیار داشته باشیم، با جزیره‌هایی از شناختهای متوافق روبرو می‌شویم که در دریای مشاهدات به ظاهر نامرتبط پراکنده‌اند. برخی از بنیادی‌ترین مسائل فیزیک هسته‌ای، مانند ماهیت دقیق نیروهایی که باعث قوام و دوام هسته می‌شوند، هنوز هم ناشناخته است. درسالهای اخیر، پیشرفتهایی در جهت درک نیروی اساسی بین‌کوارکها که بنیادی‌ترین اجزای سازنده ماده‌اند صورت گرفته است، و سعی شده است که نتایج این تحقیقات را در مطالعات هسته‌ای مورد استفاده قرار دهند. اما این کوششها تاکنون در تشریح خواص هسته‌ای موفقیتی نداشته است.

بنابراین ما در این کتاب رهیافتی پدیده‌شناختی در پیش می‌گیریم. یعنی، هر نوع اندازه‌گیری را با صورت‌بندی نظری خاصی تحلیل می‌کنیم و پیامد حاصل از این تعبیر خاص را برای ساختار هسته‌ای مورد بحث قرار می‌دهیم. در اینجا با خلاصه‌ای از مبانی نظریه هسته‌ای آغاز می‌کنیم، و آنگاه به فرایندهایی می‌پردازیم که در شناخت ما از ساختار هسته‌ای سهم ارزنده‌ای دارند. نخست فرایند واپاشی رادیواکتیو، و سپس واکنشهای هسته‌ای را بررسی می‌کنیم. سرانجام، از موضوعات خاص مطرح شده در ساختار هسته‌ای میکروسکوپی، از ارتباط میان فیزیک هسته‌ای و دیگر شاخه‌های تخصصی، و همچنین از کاربرد فیزیک هسته‌ای در دیگر زمینه‌های فنی و تحقیقی سخن خواهیم گفت.

۱.۱ نگاهی به پیشینه تاریخی

تلاش برای درک ماهیت اساسی ماده، ریشه در تفکرات فیلسوفان یونان باستان، بویژه دموکریتوس، دارد. دموکریتوس که در سده چهارم پیش از میلاد می‌زیست، معتقد بود که هر نوع ماده را می‌توان به اجزای کوچکتر و کوچکتر تقسیم کرد تا آنکه حدی نهایی فرامی‌رسد که دیگر ادامه تقسیم میسر نیست. از نظر دموکریتوس، این جزء لایتجزای ماده (یا اتم) که با چشم غیرقابل دیدن بود، ذره بنیادی سازنده ماده به‌شمار می‌رفت. در طی ۲۴۰۰ سال بعد، این نظر صرفاً به‌صورت اندیشه‌ای فلسفی باقی ماند، تا آنکه پژوهشگران

آغاز سده نوزدهم میلادی با استفاده از روشهای علوم تجربی درباره این مسئله به تحقیق پرداختند، و با به دست آوردن شواهد کافی فرضیه اتم گرایی را تا سطح يك نظریه علمی تمام عیار بالا بردند. امروزه، با توجه به رده بندیهای علوم و گرایشهای تخصصی، شاید بتوانیم دانشمندان پیشگام در این زمینه (یعنی دالتون، آووگادرو، فاراده) را شیمیدان قلمداد کنیم. پس از آنکه شیمیدانها نوع اتمها، قواعد حاکم بر ترکیب آنها، و رده بندی سازمان یافته آنها را (به صورت جدول تناوبی مندلیف) مشخص کردند، به طور طبیعی تنها مرحله باقیمانده مطالعه خواص بنیادی تك تك اتمهای عناصر مختلف بود که امروزه این قسمت از پژوهش را با عنوان فیزیک اتمی می شناسیم. این مطالعات در سال ۱۸۹۶ توسط بکرل به کشف خاصیت رادیواکتیویته در برخی از اتمها، و سپس در سال ۱۸۹۸ توسط پیر کوری و همسرش (ماری کوری) به شناسایی مواد رادیواکتیو دیگر منجر شد. آنگاه نوبت به رادرفورد رسید که کار بررسی این پرتوهای فعال و خواص آنها را ادامه داد. رادرفورد وقتی که به ماهیت این پرتوها پی برد، کار تحقیق را وارونه کرد و آنها را به عنوان وسیله کاوش در واری اتمها به کار گرفت. در طی همین پژوهشها بود که در سال ۱۹۱۱ رادرفورد وجود هسته را در اتمها اعلام داشت. تأیید این فرضیه (از طریق آزمایشهای طاق فرسای گایگرومارسدن) شاخه جدیدی را در علوم، به نام فیزیک هسته ای، بنا نهاد که ماده را در بنیادی ترین ساختارش مورد بررسی قرار می دهد. تحقیق در خواص هسته، از روزگار رادرفورد تا به امروز ادامه یافته است. اکتشافات دهه های ۱۹۴۰ و ۱۹۵۰ نشان داده اند که مرتبه دیگری از ساختار ماده وجود دارد که از هسته هم بنیادی تر و ابتدایی تر است. امروزه، بررسی و مطالعه این گونه ذرات را که عناصر اصلی ساختار هسته ای هستند، در شاخه خاصی به نام فیزیک ذرات بنیادی (یا فیزیک انرژی بالا) ادامه می دهند.

بدین ترتیب، فیزیک هسته ای را می توان از سویی فرزند شیمی و فیزیک اتمی، و از سوی دیگر پدر فیزیک ذرات بنیادی به شمار آورد. فیزیک هسته ای، اگرچه اکنون نقش محوری اش را در جستجوی اجزای بنیادی ماده از دست داده است، ولی هنوز هم برای درک برهم کنشهای بنیادی از آزمایشهای هسته ای استفاده می شود. تحقیق در خواص هسته ها و قوانین حاکم بر ساختار هسته ای، به نوبه خود، زمینه فعال و باروری از پژوهشهای فیزیکی است. ابزارهای مفیدی مانند آشکارسازهای دود، تنظیم کننده های ضربان قلب، و وسایل تصویر گیری پزشکی، از جمله دستاوردهای عملی این پژوهشها هستند. بدین ترتیب، در واقع می توان برای فیزیک هسته ای سه نقش مختلف در نظر گرفت: کاوش در قلمرو ذرات بنیادی ماده و برهم کنش آنها، رده بندی و تفسیر خواص هسته ای، طراحی روشها و ابزارهای فنی پیشرفته برای خدمت به جوامع بشری.

۲.۱ چند اصطلاح مقدماتی

هر نوع هسته ای را با مقدار کل بار مثبت و تعداد کل واحدهای جرمی موجود در هسته، مشخص

می‌کنیم. بار کل هسته برابر $+Ze$ است، که در آن Z عدد اتمی و e بزرگی بار الکترون است. ذره بنیادی باردار مثبت در هسته پروتون است که هسته ساده‌ترین اتم موجود در طبیعت، یعنی هیدروژن، نیز هست. بنا بر این هسته‌ای که عدد اتمی اش Z باشد شامل Z پروتون است، و بدین‌سان در ساختار هراتم خنثی باید Z الکترون منفی هم وجود داشته باشد. چون جرم الکترون در مقایسه با جرم پروتون ناچیز است ($m_p \simeq 2000m_e$)، غالباً در بحث جرم اتمی می‌توان از جرم الکترون صرف‌نظر کرد. عدد جرمی هر نوع هسته که با A نمایش داده می‌شود، به‌صورت نزدیکترین عدد درست به حاصل تقسیم جرم هسته بر یکای بنیادی جرم تعریف می‌شود. یکای بنیادی جرم را چنان تعریف می‌کنیم که جرم پروتون تقریباً برابر یک واحد شود. (بکاهای جرم را در فصل ۳ به تفصیل بررسی خواهیم کرد.) تقریباً در تمام هسته‌ها A بزرگتر از Z است. نسبت بین این دو عدد در بسیاری از موارد برابر ۲ یا بزرگتر از ۲ است. از این‌رو، اجزای سنگین دیگری هم باید در هسته موجود باشند. تا پیش از سال ۱۹۳۲ برای باور بودند که هر هسته شامل A پروتون است، که بدین ترتیب مسئله جرم هسته به‌صورتی ظاهراً مناسب حل می‌شد. برای آنکه بار مثبت کل هسته برابر Ze شود، فرض می‌کردند که در هر هسته تعداد $(A-Z)$ الکترون هسته‌ای نیز وجود دارد. اما حضور الکترون در داخل هسته به‌چند دلیل زیر ناپذیرفتنی است:

۱. لازم است که الکترونهای هسته‌ای به کمک نیروی بسیار قوی که حتی از نیروی کولنی هم قوی‌تر است، در قید پروتونها قرار داشته باشند. تاکنون هیچ شاهده‌ی دال بر وجود این نیروی قوی بین پروتونها و الکترونهای اتمی مشاهده نشده است.
۲. اگر الکترونها را در ناحیه فضایی کوچکی به اندازه هسته ($\Delta x \sim 10^{-14}m$) محصور کنیم، بنا بر اصل عدم قطعیت، گستره توزیع تکانه الکترونها باید در حدود $\Delta p \sim \hbar/\Delta x = 20 \text{ MeV}/c$ شود. الکترونهایی که در واپاشی رادیواکتیو بتا از هسته گسیل می‌شوند انرژی‌شان عموماً کمتر از 1 MeV است، و هرگز در واپاشیها الکترونی با انرژی 20 MeV مشاهده نمی‌کنیم. یعنی، وجود الکترونهای با انرژی 20 MeV در داخل هسته از طریق آزمایش تأیید نمی‌شود.
۳. اگر تعداد A پروتون و تعداد $(A-Z)$ الکترون در هسته وجود داشته باشد، تکانه زاویه‌ای ذاتی (یا اسپین) کل در هسته‌هایی که $(A-Z)$ در آنها فرد است با مقادیر حاصل از مشاهده سازگاری ندارد. هسته دوتریم ($A=2$ و $Z=1$) را در نظر بگیرید که طبق فرضیه پروتون-الکترون باید حاوی ۲ پروتون و ۱ الکترون باشد. تکانه زاویه‌ای ذاتی (یا اسپین) هر یک از ذرات پروتون و الکترون برابر $1/2$ است، و قواعد جمع اسپینها در مکانیک کوانتومی حاصل جمع سه اسپین $1/2$ را برابر $3/2$ یا $1/2$ به دست می‌دهد. ولی در عمل اسپین دوتریم را برابر ۱ می‌یابیم.
۴. گشتاور دو قطبی مغناطیسی هسته‌هایی که الکترونهای تزویج نشده دارند، باید خیلی بزرگتر از مقداری باشد که در عمل مشاهده می‌شود. برای نمونه اگر در هسته دوتریم یک الکترون منفرد وجود داشته باشد، باید انتظار داشته باشیم که گشتاور دو قطبی

مغناطیسی این هسته در همان حدود گشتاور مغناطیسی الکترون باشد. اما گشتاور مغناطیسی اندازه گیری شده در هسته دو تریتم در حدود $1/2000$ گشتاور مغناطیسی الکترون است.

البته، با طرح دلایل خاصی می توانیم موارد اعتراض بالا را رد کنیم، ولی از سال ۱۹۳۲ که تاریخ کشف نوترون توسط چادویک است دیگر نیازی به این کار نیست. نوترون از لحاظ الکتریکی خنثی است و جرمی در حدود جرم پروتون دارد (جرم نوترون در واقع در حدود ۱٫۰۵ در صد بزرگتر از جرم پروتون است). بدین ترتیب، جرم کل و بار الکتریکی هسته ای که Z پروتون و $(A-Z)$ نوترون دارد، بدون نیاز به فرض الکترونها هسته ای، بسا واقعیت های تجربی مطابقت پیدا می کند. برای مشخص کردن یک نوع هسته ای خاص، بسا نوکلید، معمولاً آن را به شکل A_ZX_N نمایش می دهیم که در آن X نماد شیمیایی و N عدد نوترونی است ($N = A - Z$). به عنوان نمونه به طرز نمایش چند نوکلید به صورت ${}^1_1\text{H}$ ، ${}^{238}_{92}\text{U}$ ، ${}^{56}_{26}\text{Fe}$ می توان توجه کرد. نشان دادن عدد اتمی Z به همراه نماد شیمیایی نوکلید کار زایدی است؛ زیرا می دانیم که در هر هسته هیدروژن (H)، $Z = 1$ و در هسته اورانیم (U)، $Z = 92$ است. بنابراین نیازی به نوشتن Z در کنار نماد شیمیایی هسته نیست. همچنین نیازی به نوشتن N هم نیست، زیرا همیشه می توان عدد نوترونی را از تفاضل $(A - Z)$ به دست آورد. بنا بر این نمایش نوکلید مورد نظر به صورت ${}^{238}\text{U}$ کفایت خواهد کرد. نگاهی به جدول تناوبی عناصر عدد اتمی U را برابر $Z = 92$ به دست می دهد، و در نتیجه تعداد نوترونها ${}^{238}\text{U}$ برابر $238 - 92 = 146$ می شود. در عمل برای نشان دادن نوکلیدها از هر دو طرز نمایش استفاده می شود، گاهی Z و N را در کنار نماد شیمیایی نوکلید می نویسند و گاهی هم آنها را نمی نویسند. وقتی سعی می کنیم در یک فرایند واپاشی یا واکنش هسته ای بین Z و N توازن برقرار کنیم، بهتر است که Z و N را در کنار نماد شیمیایی نوکلید بنویسیم. در موارد دیگر، نوشتن این اعداد نا لازم و دست و پا گیر است.

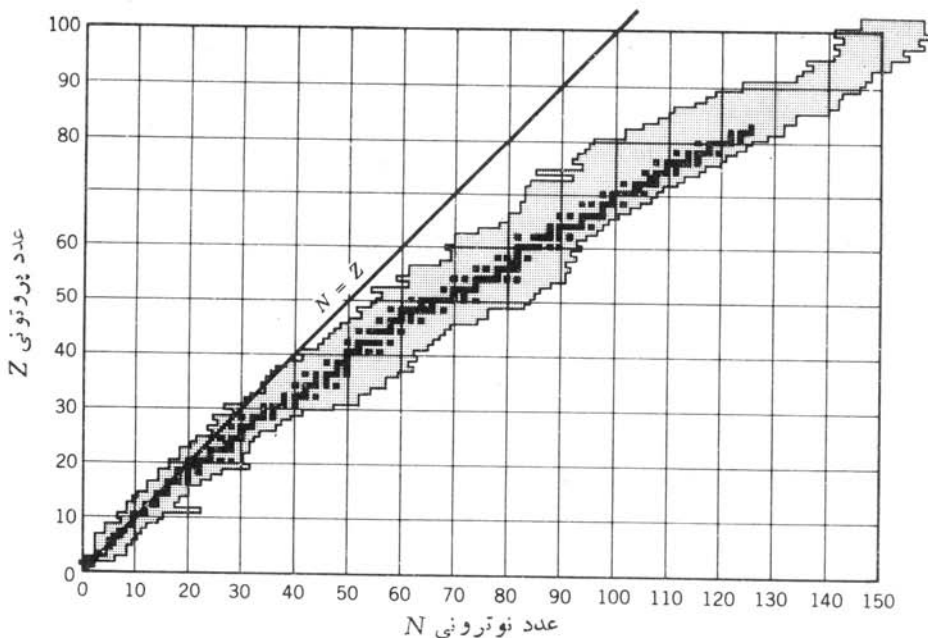
نوترونها و پروتونها اعضای دو گانه خانواده نوکلئونها هستند. هنگامی که می خواهیم از ذرات هسته ای بدون توجه به نوع پروتونی یا نوترونی آنها بحث کنیم، از اصطلاح نوکلئون استفاده می کنیم. پس هسته ای که عدد جرمی اش A باشد، محتوی A نوکلئون است. با بررسی نمونه های عناصر مختلفی که در طبیعت وجود دارند، معلوم می شود که نوکلیدهای با عدد اتمی مشخص می توانند اعداد جرمی مختلف داشته باشند. یعنی، نوکلیدی که Z پروتون دارد می تواند چند عدد نوترونی متفاوت داشته باشد. نوکلیدهای با عدد اتمی یکسان و اعداد نوترونی متفاوت را ایزوتوپ می نامند. برای مثال، عنصر کربن دو ایزوتوپ پایدار دارد که عبارت اند از ${}^{12}_6\text{C}$ و ${}^{13}_6\text{C}$. این عناصر ایزوتوپهای ناپایدار دیگر هم دارد که در واکنش های هسته ای به طور مصنوعی تولید می شوند، و ایزوتوپهای رادیواکتیو (یا رادیوایزوتوپ) کربن نامیده می شوند.

اغلب برای سهولت، تعدادی نوکلید با N یکسان و Z متفاوت را ایزوتون می گویند. ایزوتونهای پایدار با $N = 1$ عبارت اند از ${}^2_1\text{H}$ و ${}^3_2\text{He}$. نوکلیدهایی که عدد جرمی

یکسان داشته باشند، ایزوبار نامیده می‌شوند. مثلاً، نوکلید پایدار ${}^3\text{He}$ و نوکلید رادیواکتیو ${}^3\text{H}$ را ایزوبار می‌دانیم، زیرا در هر دوی آنها $A=3$ است.

۳.۱ خواص هسته‌ای

پس از شناسایی هر نوکلید، برای اندازه‌گیری خواص آن می‌توان اقدام کرد. منظور از خواص (که بعداً در همین کتاب مورد بحث قرار می‌گیرند) خصوصیات منحصربه‌فردی است، شعاع، فراوانی نسبی (برای نوکلیدهای پایدار)، مدهای تابشی و نیمه‌عمرها (برای نوکلیدهای رادیواکتیو)، مدهای واکنش و سطح مقطعهای واکنش، اسپین، گشتاور دو قطبی مغناطیسی و گشتاور چار قطبی الکتریکی، و حالت‌های برانگیخته نوکلید است. تاکنون نوکلیدهای مربوط به ۱۰۸ عدد اتمی مختلف (از ۵ تا ۱۰۷) را شناسایی کرده‌ایم که تعداد کل آنها با احتساب ایزوتوپهای گوناگون از ۱۰۰۰ هم تجاوز می‌کند. با توجه به شتابدهنده‌هایی که به منظور تولید و بررسی ایزوتوپهای خیلی دور از ایزوبارهای پایدارشان ساخته شده‌اند، تعداد نوکلیدهای جدیدی که به‌دقت مطالعه شده‌اند هر روز در حال افزایش است. نمودار نوکلیدهای پایدار و نوکلیدهای رادیواکتیو شناخته شده را در شکل ۱.۱ نشان داده‌ایم. چنانکه می‌توان انتظار داشت، گردآوری خواص اندازه‌گیری شده این همه



شکل ۱.۱ هسته‌های پایدار در ناحیه سایه‌دار پرننگ، و هسته‌های رادیواکتیو در ناحیه سایه‌دار کم‌رنگ قرار دارند.

نوکلید، کاری بس عظیم است. از طرف دیگر، بازیابی و استفاده از این اطلاعات هم به همان اندازه مهم است. برای نمونه، جهت تعیین بهترین مقدار تجربی مربوط به مدهای واپاشی يك ایزوتوپ یا اسپین و گشتاور مغناطیسی ایزوتوپ دیگر، چه کار باید بکنیم؟ متخصصان فیزیک هسته‌ای عموماً نتایج تحقیقاتشان را در مجلات تخصصی منتشر می‌کنند. بدین سان، پژوهشگران آزمایشگاههای دور از هم از فعالیتهای یکدیگر آگاه می‌شوند و با هم تبادل نظر می‌کنند. بعضی از این مجلات را در اینجا نام می‌بریم:

Physical Review, Section C (Phys. Rev. C), Physical Review Letters (Phys. Rev. Lett.), Physical Letters, Section B (Phys. Lett. B), Nuclear Physics, Section A (Nucl. Phys. A), Zeitschrift für Physik, Section A (Z. Phys. A), Journal of Physics, Section G (J. Phys. G).

این مجلات عموماً ماهانه هستند، و با خواندن آنها (یا با مروری به فهرست مطالب آنها) می‌توان نتایج کار پژوهشگران مختلف را مورد توجه قرار داد. کتابخانه بسیاری از دانشگاهها و دانشکدهها این مجلات را دریافت و نگهداری می‌کنند. مطالعه فیزیک هسته‌ای، اغلب مستلزم مراجعه به مجموعه‌ای از نشریات و مقالات تحقیقی روز است.

متأسفانه، مراجعه به مجلات روز معمولاً کمکی به یافتن اطلاعات خاصی که در پی آن هستیم نمی‌کند، مگر اینکه به‌طور تصادفی به موضوع و مقاله مورد نظر برخورد کنیم. به همین دلیل، اطلاعات فیزیک هسته‌ای را در منابع جداگانه‌ای گردآوری کرده‌اند که در آنها می‌توان خلاصه‌ی خواص هسته‌ای و نشانی مآخذ و مقالات دست اول را پیدا کرد. خلاصه‌ای از خواص نوکلیدهای شناخته شده را می‌توان در کتاب یک جلدی زیر یافت:

Table of Isotopes, edited by M. Lederer and V. Shirley (New York, Wiley, 1978)

هر کسی که بخواهد در رشته فیزیک هسته‌ای کار کند، باید نسخه‌ای از این کتاب را در اختیار داشته باشد. اطلاعات هسته‌ای روزآمدتر را می‌توان در مرجع زیر یافت:

Nuclear Data Sheets

که نه تنها مجموعه روزآمد اطلاعات مربوط به هر دسته از ایزوتوپها را به طور مرتب منتشر می‌کند، بلکه خلاصه تمام مقالات منتشر شده در هر سال را به صورت رده‌بندی شده بر حسب نوکلیدها به دست می‌دهد. این اطلاعات هم به صورت مجله منتشر می‌شود و در بسیاری از کتابخانهها وجود دارد. بنابراین، جستجو و پیگیری مطالب جدیدی که در مورد یک نوکلید معین منتشر شده است، کار چندان دشواری نیست.

دو مرجع مروری دیگر را هم در زیر نام می‌بریم:

Atomic Data and Nuclear Data Tables

اطلاعات هسته‌ای (مثلاً مربوط به آهنگ‌گذار بتا یا گاما، یا انرژی شکافت) به صورتی مرتب در این مجموعه گردآوری و منتشر می‌شود، و دیگر

Annual Review of Nuclear and Particle Science

(که قبلاً با عنوان *Annual Review of Nuclear Science* منتشر می‌شد). در این کتاب، هر ساله مجموعه‌ای از مقالات مروری دربارهٔ موضوعات جاری فیزیک هسته‌ای و فیزیک ذرات منتشر می‌شود.

۴.۱ یگاها و مرتبه‌های بزرگی

در فیزیک هسته‌ای، با طولهایی از مرتبه 10^{-15}m سروکار داریم که آن را فمتومتر می‌نامیم ($1 \text{ fm} = 10^{-15} \text{ m} = 1 \times 10^{-15} \text{ m}$). این یکا را در محاورات یک فرمی می‌گویند که این نام هم به افتخار انریکو فرمی، دانشمند ایتالیایی - امریکایی و یکی از پیشگامان فیزیک هسته‌ای برگزیده شده است. اندازهٔ هسته‌ها در گسترهٔ حدود 1 fm تا 7 fm (از یک نوکلئون منفرد تا سنگین‌ترین هسته) قرار دارد.

گسترهٔ زمانی پدیده‌های هسته‌ای بسیار وسیع است. بعضی از هسته‌ها نظیر ${}^5\text{He}$ یا ${}^8\text{Be}$ در مدت زمانی از مرتبه 10^{-20} s تجزیه و درهم شکسته می‌شوند. بسیاری از واکنشهای هسته‌ای در همین مقیاس زمانی تحقق می‌یابند. این زمان به تقریب همان طول مدتی است که هسته‌های فعال در واکنش، متقابلاً در برد نیروی هسته‌ای همدیگر قرار می‌گیرند. طول عمر واپاشیهای الکترومغناطیسی (γ) عموماً از مرتبه 10^{-9} s (نانوثانیه، ns) تا 10^{-12} s (پیکوثانیه، ps) است. اما بسیاری از واپاشیهای دیگر در مدت زمانهایی طولانی‌تر یا کوتاه‌تر اتفاق می‌افتند. واپاشیهای آلفا (α) و بتا (β) در زمانهای به مراتب طولانی‌تر، اغلب از مرتبهٔ دقیقه و ساعت و گاهی هم از مرتبهٔ هزاران یا حتی میلیونها سال، صورت می‌گیرند.

انرژیهای هسته‌ای را به آسانی می‌توان بر حسب میلیون الکترون ولت (MeV) اندازه‌گیری کرد. یکای الکترون ولت که برابر $[1.602 \times 10^{-19} \text{ J} = 1 \text{ eV}]$ است، عبارت است از انرژی کسب شده توسط یک واحد منفرد بار الکتریکی (یک الکترون) هنگامی که در اختلاف پتانسیل یک ولتی شتاب گرفته باشد. انرژی واپاشیهای بتا و گاماها نوعاً در گسترهٔ 1 MeV است، و واکنشهای هسته‌ای کم - انرژی در انرژی جنبشی حدود 10 MeV رخ می‌دهند. این انرژیها به مراتب کمتر از انرژیهای سکون هسته‌هاست، و بنابراین برای تکانه و انرژی نوکلئونها بدون هیچ اشکالی می‌توان از فرمولهای ناسیتمی استفاده کرد، اما الکترونهای ناشی از واپاشی بتا را باید به‌طور نسبی مورد بررسی قرارداد.

جرمهای هسته‌ای را بر حسب یکای جدید جرم اتمی، u ، بیان می‌کنیم. این یکا چنان تعریف می‌شود که جرم یک اتم ${}^{12}\text{C}$ دقیقاً برابر $12 u$ است. بدین ترتیب، جرم هر نوکلئون در حدود $1 u$ می‌شود. در تحلیل واکنشها و واپاشیهای هسته‌ای، به‌طور کلی ترجیح می‌دهیم که با انرژیهای معادل جرم سروکار داشته باشیم تا با خود جرم. ضریب تبدیل بین جرم و انرژی به صورت $1 u = 931.5 \text{ MeV}$ است، از این رو انرژی معادل جرم هر نوکلئون در حدود 1000 MeV است. البته تبدیل جرم به انرژی با استفاده

از معادله اساسی نسبیت خاص، $E = mc^2$ ، صورت می‌گیرد و بنابراین در محاسبات آزادی عمل داریم که هر یک از کمیت‌های جرم یا انرژی را که برای ما آسانتر است به کار ببریم، و ضریب تبدیل این عملیات به صورت $1 \text{ u} = 931.48 \text{ MeV}/c^2$ است.

مراجع مطالعات تکمیلی

برای توضیحات و محاسبات مشابه آنچه در این کتاب می‌بینید، می‌توانید به کتاب‌های درسی فیزیک هسته‌ای زیر رجوع کنید. سطح کتاب‌هایی که به صورت مبانی تهیه شده‌اند تقریباً در سطح همین کتاب است. کتاب‌های سطح بالاتر غالباً برای دوره‌های پیشرفته‌تر فیزیک هسته‌ای در نظر گرفته شده‌اند. هیچ کوششی برای تهیه فهرستی جامع از مراجع به عمل نیامده است، بلکه فهرست زیر حاوی کتاب‌هایی است که مؤلف در تهیه این کتاب از آنها استفاده کرده است. بیشتر این کتاب‌های درسی «کلاسیک» حالا دیگر کهنه شده‌اند، ولی هنوز هم مطالب مفیدی را می‌توان در آنها یافت که چشم‌اندازی تاریخی برای خواننده فراهم می‌کنند:

- R. D. Evans, *The Atomic Nucleus* (New York: McGraw-Hill, 1955),
این کتاب برای مدت ۲۵ سال، از زمان دانشجویی مؤلف تا کنون، پرمصرف‌ترین کتاب در کتابخانه شخصی‌اش بوده است. شیرازه آن از هم گسیخته است، ولی وضوح و کمال آن همچنان پابرجاست.
- David Halliday, *Introductory Nuclear Physics* (New York: Wiley, 1955),
I. Kaplan, *Nuclear Physics* (Reading, MA: Addison-Wesley, 1955).
کتاب‌های درسی مقدماتی که می‌توانند مکمل این کتاب محسوب شوند، عبارت‌اند از:
- W. E. Burcham, *Nuclear Physics: An Introduction* (London: Longman, 1973),
B. L. Cohen, *Concepts of Nuclear Physics* (New York: McGraw-Hill, 1971),
ترجمه فارسی این کتاب تحت عنوان مفاهیم فیزیک هسته‌ای در سال ۱۳۷۵ توسط مرکز نشر دانشگاهی منتشر شده است. -و.
- Harald A. Engle, *Introduction to Nuclear Physics* (Reading, MA: Addison-Wesley, 1966),
Robert A. Howard, *Nuclear Physics* (Belmont, CA: Wadsworth, 1963),
Walter E. Meyerhof, *Elements of Nuclear Physics* (New York: McGraw-Hill, 1967),
دو ترجمه فارسی از این کتاب تحت عنوان مبانی فیزیک هسته‌ای، اولی در سال ۱۳۵۷ توسط دانشگاه تهران و دومی در سال ۱۳۶۷ توسط دانشگاه مشهد منتشر شده است. -و.
- Haro Von Buttlar, *Nuclear Physics: An Introduction* (New York: Academic Press, 1968).

کتابهای درسی میانه‌ای که مطالب همین کتاب را با استفاده بیشتر از مکانیک کوانتومی مطرح کرده‌اند، عبارت‌اند از:

M. G. Bowler, *Nuclear Physics* (Oxford: Pergamon, 1973),
Emilio Segré, *Nuclei and Particles* (Reading, MA: W. A. Benjamin, 1977).

کتابهای درسی پیشرفته که عمدتاً برای دوره‌های کارشناسی ارشد در نظر گرفته شده‌اند، ولی خیلی از مطالب در آنها به صورت پایه مطرح شده است، عبارت‌اند از:

Hans Frauenfelder and Ernest M. Henley, *Subatomic Physics* (Englewood Cliffs, NJ: Prentice-Hall 1974),

ترجمه فارسی این کتاب تحت عنوان فیزیک ذراتمی، توسط مرکز نشر دانشگاهی در دست انتشار است. -و-

M. A. Preston, *Physics of the Nucleus* (Reading, MA: Addison-Wesley, 1962).

آثار پیشرفته‌تری که بیشتر جنبه تک‌نگاری دارند تا کتاب درسی، عبارت‌اند از:

John M. Blatt, and Victor F. Weisskopf, *Theoretical Nuclear Physics* (New York: Wiley, 1952),

A. Bohr and B. R. Mottelson, *Nuclear Structure* (New York: W. A. Benjamin, 1969),

A. deShalit and H. Feshbach, *Theoretical Nuclear Physics* (New York: Wiley, 1974).

مبانی مکانیک کوانتومی

رفتار نوکلئونهای درون هسته، شباهتی به رفتار ذرات کلاسیک و برخورد گلوله‌های بیلیارد ندارد. خواص هسته را رفتار موجی نوکلئونها تعیین می‌کند، و تحلیل این رفتار مستلزم کاربرد تکنیکهای ریاضی مکانیک کوانتومی است.

با توجه به آزمایشهای مختلف پراکندگی، می‌دانیم نوکلئونها با انرژی جنبشی حدود 10 MeV در داخل هسته در حرکت‌اند. این انرژی در مقایسه با انرژی سکون نوکلئونها (که در حدود 1000 MeV است) اندک است، و بنابراین با اطمینان خاطر می‌توانیم از مکانیک کوانتومی ناسبیتی استفاده کنیم.

بحث کامل مکانیک کوانتومی، مستلزم یک کتاب درسی بزرگتر از این کتاب خواهد بود. در این فصل، بعضی از مهمترین مفاهیمی را که بعدها در این کتاب بدانها نیاز خواهیم داشت به‌طور خلاصه معرفی می‌کنیم. فرض ما در اینجا این است که دانشجوی خواننده این کتاب مفاهیم فیزیک جدید را آموخته است، و با برخی از آزمایشهایی که به کمک مفاهیم فیزیک کلاسیک قابل درک نیست آشنایی دارد. از جمله این آزمایشها می‌توان تابش گرمایی (جسم سیاه)، پراکندگی کامپتون، و اثر فوتوالکتریک را نام برد. در پایان، فهرستی از چند کتاب درسی فیزیک جدید را برای مرور آورده‌ایم. در این فهرست چند کتاب فیزیک کوانتومی پیشرفته نیز دیده می‌شود، که در آنها بحث کاملتری از مطالب خلاصه شده در این فصل را می‌توان یافت.

۱.۲ رفتار کوانتومی

مکانیک کوانتومی یک صورتبندی ریاضی است که به کمک آن می‌توان رفتار موجی ذرات را تعیین کرد. هیچ دلیل پیشینی (یا استقرایی) وجود ندارد که لزوم چنین رفتاری را نشان دهد، بلکه این استنباط از مقایسه خواص ذرات با رفتار کوانتومی نور حاصل شده است. پیش از سال ۱۹۰۰ نور را عموماً پدیده‌ای موجی می‌دانستند، اما کار تحقیقی پلانک در سال ۱۹۰۰ (در تحلیل تابش جسم سیاه) و اینشتین در سال ۱۹۰۵ (در تحلیل اثر فوتوالکتریک) ضرورت این امر را نشان داد که انتقال انرژی نور را نه به صورت جریانی آرام و پیوسته، چنانکه در مورد موج دیده می‌شود، بلکه به صورت بسته‌های متمرکز از «کوانتومها» و یا «ذرات نور» باید در نظر گرفت.

قیاس بین ماده و نور را دو بروی در سال ۱۹۲۴، با توجه به کارهای قبلی اینشتین و کامپتون، شروع کرد. بحث دو بروی به این صورت مطرح شد که اگر نور که عموماً پدیده‌ای موجی تصور می‌شود خصوصیات ذره‌ای هم داشته باشد، چرا ماده هم که عموماً آن را متشکل از ذرات می‌دانیم نباید از خواص موجی برخوردار شود؟ در ادامه همین قیاس، دو بروی فرض کرد که به هر «ذره» ای که با تکانه p در حرکت است، «موجی» به طول موج $\lambda = h/p$ وابسته است که در آن h ثابت پلانک است. طول موجی را که به این ترتیب تعریف می‌شود، طول موج دو بروی می‌گویند. تأیید تجربی فرضیه دو بروی بزودی در سال ۱۹۲۷ در آزمایشهای تامسون و دیویسون-گرمر ظاهر شد. این پژوهشگران نشان دادند که الکترونها (که معمولاً به عنوان ذره تلقی می‌شوند) درست مثل موجهای بسا طول موج دو بروی پراشیده می‌شوند.

نظریه دو بروی اگرچه در این موارد موفق بود، ولی به چند دلیل ناقص و غیر قابل استفاده است. نخست اینکه، ما به ندرت به ذراتی با تکانه ثابت برخورد می‌کنیم: هنگامی که تکانه یک ذره در اثر اعمال نیروی خارجی تغییر می‌کند، طول موج آن هم باید تغییر کند، اما رابطه دو بروی فاقد توانایی لازم برای محاسبه رفتار دینامیکی امواج است. برای این منظور به یک نظریه ریاضی کاملتر نیاز داریم که در سال ۱۹۲۵ توسط شرودینگر عرضه شد، و ما آن را در بخش ۲ این فصل مرور می‌کنیم. ایراد دوم به نظریه دو بروی، مسئله اتکای آن به مفاهیم و اصطلاحات کلاسیک است. رفتار «موجی» و «ذره‌ای» متقابلاً با هم در تناقض‌اند، اما در رابطه دو بروی از هر دو مفهوم ذره کلاسیک با تکانه کاملاً مشخص و موج کلاسیک با طول موج کاملاً مشخص استفاده شده است. ذره کلاسیک در فضا مکانی معین دارد. اما، بنا بر نظر دو بروی، اکنون می‌خواهیم این ذره جاگزیده را با موج خالصی نشان دهیم که در تمام فضا گسترده است و ابتدا و انتهای ندارد، یعنی «موضعی» برای آن نمی‌توان قائل شد.

حل این معضل، مستلزم این است که در قلمرو فیزیک کلاسیک از مفهوم کلاسیکی «ذره» دست بکشیم. اندازه یک ذره کلاسیکی در تمام آزمایشهایی که می‌توان انجام داد یکسان است، اما «اندازه» یک ذره کوانتومی بسته به آزمایشی که انجام می‌دهیم متفاوت

است. فیزیک کوانتومی ما را مجبور می‌کند که از واقعیت عینی مفهومی مسانند «اندازه» دست بکشیم، و به جای آن یک تعریف عملیاتی را که بستگی به آزمایش در دست اجرا دارد نشانیم. از این رو، ذره‌ای مانند الکترون می‌تواند در یک آزمایش با یک اندازه معین و در آزمایشی دیگر با اندازه‌ای کاملاً متفاوت ظاهر شود. تنها از طریق همین ادغام سیستم مشاهده‌کننده و جسم تحت مشاهده است که در فیزیک کوانتومی می‌توانیم مشاهده و اندازه‌گیری را تعریف کنیم. بدین ترتیب، هر ذره را باید در ناحیه‌ای از فضا به ابعاد Δx جایگزیده تصور کرد. دستیابی به ذره در این ناحیه محتمل و در نواحی دیگر نامحتمل است. بعد Δx مربوط به ناحیه حضور الکترون را نوع آزمایشی که انجام می‌دهیم تعیین می‌کند: Δx ممکن است برابر با طول قطعه سیمی باشد که با استفاده از آن رسانش الکتریکی در جامدات تحت بررسی است، یا در مطالعه فیزیک اتمی برابر با قطر یک اتم منفرد باشد، و یا هنگامی که واپاشی بتا را بررسی می‌کنیم برابر با قطر هسته باشد. موج مشخصه ذره در ناحیه Δx دامنه‌ای بزرگ و در نواحی دیگر دامنه‌ای کوچک دارد. موج دوبروی منفردی که مؤلفه تکانه خاصی مانند p_x داشته باشد، در تمام نواحی فضا دامنه‌ای بزرگ خواهد داشت. بدین ترتیب، یک تکانه (با طول موج) خاص همیشه متناظر به ذره‌ای کاملاً جاننا گزیده (یا ذره‌ای با موضع نامشخص) است. برای آنکه ذره موضع فضایی مشخص داشته باشد، لازم است که طول موجهای دیگری را که متناظر به تکانه‌های دیگر p_x می‌شود بدان بیفزاییم تا از برهم‌نهی آنها موج برابندی به دست آید که در خارج از ناحیه Δx دامنه‌ای ناچیز داشته باشد. شناخت بیشتر Δx به قیمت شناخت کمتر p_x حاصل می‌شود. تلاش در محصور نگه داشتن ذره در ناحیه Δx ، دقت در اندازه‌گیری p_x را از بیسن می‌برد و گستره‌ای از مقادیر Δp_x به وجود می‌آورد. اگر بخواهیم به طور همزمان مقادیر x و p_x را تعیین کنیم، در هر یک از آنها به ترتیب به اندازه Δx و Δp_x عدم قطعیت خواهیم داشت که رابطه عدم قطعیت هایزنبرگ ارتباط بین آنها را نشان می‌دهد

$$\Delta x \Delta p_x \geq \frac{\hbar}{2} \quad (1.2)$$

برای مؤلفه‌های y و z هم روابط مشابهی وجود دارد. نماد \hbar که « h تیره» خوانده می‌شود، برابر است با $h/2\pi$ که در آن h ثابت پلانک است. واژه کلیدی در این بحث همان کلمه «همزمان» است. اگر بخواهیم از شناسایی همزمان تکانه ذره صرف نظر کنیم، در عمل می‌توانیم با هر عدم قطعیت کوچکی (مثلاً $\Delta x = 0$) مقدار x را اندازه‌گیری کنیم. البته پس از این اندازه‌گیری، اگر بخواهیم می‌توانیم به اندازه‌گیری دقیقی از مقدار جدید تکانه (حتی با $\Delta p_x = 0$) دست بزنیم، که این اندازه‌گیری به طور همزمان شناخت دقیق قبلی را درباره موضع ذره از بین خواهد برد.

ما ذره را به کمک مجموعه‌ای از امواج به نام «بسته موج» که گستره‌ای از تکانه‌های حول مقدار p_x را با عدم قطعیت Δp_x شامل می‌شود و فقط در ناحیه Δx حول x دامنه

معقول و بزرگ دارد، توصیف می‌کنیم. جایگزینی (یا موضع گیری) ذره در فضا در ناحیه‌ای است که با بسته‌موج آن مشخص می‌شود. بسته‌موج، تمام اطلاعات موجود در مورد ذره را به دست می‌دهد. هر وقت که اصطلاح «ذره» را به کار می‌بریم، منظورمان همان «بسته‌موج» است. هر چند که اغلب از الکترونها و نوکلئونها چنان حرف می‌زنیم که گویی وجود مستقلی دارند، ولی حقیقت این است که شناخت این ذرات به رابطه عدم قطعیت حاکم بر اطلاعات حاصل از بسته‌موجی که وضعیت مورد نظر را توصیف می‌کند، محدود می‌شود. این بحث عدم قطعیت درباره انواع دیگر اندازه‌گیریها هم صادق است. در یک سیستم، رابطه بین انرژی E و بسامد موج دو بروی ν ، به صورت $E = h\nu$ است. برای تعیین دقیق E ، لازم است که مشاهده سیستم را در مدت زمانی بسیار طولانی Δt انجام دهیم تا بتوانیم ν را با دقت کافی به دست آوریم. رابطه عدم قطعیت در این حالت به صورت زیر است

$$\Delta E \Delta t \geq \frac{\hbar}{2} \quad (2.2)$$

سومین رابطه عدم قطعیت، مربوط به تکانه زاویه‌ای است. در فیزیک کلاسیک می‌توانیم هر سه مؤلفه بردار تکانه زاویه‌ای \mathbf{I} را به صورت I_x ، I_y ، و I_z تعیین کنیم. در مکانیک کوانتومی، هنگامی که می‌خواهیم شناخت بهتری از یک مؤلفه به دست آوریم، این امر به بهای کم شدن اطلاعات ما از دو مؤلفه دیگر تمام می‌شود. فرض کنید که می‌خواهیم مؤلفه z تکانه زاویه‌ای را اندازه بگیریم، و فرض کنید که موضع تصویر \mathbf{I} را در صفحه xy با زاویه سمتی ϕ مشخص کرده‌ایم. در این صورت داریم

$$\Delta I_z \Delta \phi \geq \frac{\hbar}{2} \quad (3.2)$$

اگر I_z را به طور کاملاً دقیق بدانیم، دیگر درباره ϕ هیچ اطلاعی نخواهیم داشت. می‌توانیم \mathbf{I} را در حرکت تقدیمی یا دوران حول محور z در نظر بگیریم، به طوری که مقدار I_z ثابت باشد ولی مؤلفه‌های I_x و I_y تمام مقادیر ممکن را اختیار کنند، در این صورت ϕ کاملاً نامشخص خواهد شد.

۲.۲ اصول مکانیک کوانتومی

خصوصیات ریاضی مکانیک کوانتومی ناسبیتی از حل معادله شرودینگر به دست می‌آید. معادله مستقل از زمان و یک بعدی شرودینگر برای ذره‌ای به جرم m و با انرژی پتانسیل $V(x)$ به صورت زیر است

$$-\frac{\hbar^2}{2m} \frac{d^2\psi}{dx^2} + V(x)\psi(x) = E\psi(x) \quad (4.2)$$

که در آن $\psi(x)$ تابع موج شرودینگر است. تابع موج در واقع توصیف ریاضی بسته موج است. به طور کلی، این معادله فقط به ازای مقادیر معینی از انرژی E قابل حل است. این مقادیر که معمولاً از کاربرد شرایط مرزی برای تابع $\psi(x)$ حاصل می‌شوند، ویژه-مقادیرهای انرژی نامیده می‌شوند. جواب کامل معادله، با در نظر گرفتن وابستگی زمانی، به صورت زیر است

$$\Psi(x, t) = \psi(x)e^{-i\omega t} \quad (5.2)$$

که در آن $\omega = E/\hbar$ است.

یکی از شرایط مهمی که برای تابع موج ψ در نظر می‌گیرند، این است که ψ و مشتق اول آن $d\psi/dx$ باید روی هر مرزی پیوسته بمانند. در واقع، در مورد امواج کلاسیک نیز همین شرط برقرار است. در هر جایی که مرزی بین دو محیط وجود داشته باشد، مثلاً در $x=a$ باید روابط زیر برقرار شوند

$$\lim_{\epsilon \rightarrow 0} [\psi(a+\epsilon) - \psi(a-\epsilon)] = 0 \quad (6.2 \text{ الف})$$

$$\lim_{\epsilon \rightarrow 0} \left[\left(\frac{d\psi}{dx} \right)_{x=a+\epsilon} - \left(\frac{d\psi}{dx} \right)_{x=a-\epsilon} \right] = 0 \quad (6.2 \text{ ب})$$

در حالت خاصی که تابع انرژی پتانسیل $V(x)$ ناپیوستگی (یا انفصال) بینهایت داشته باشد، احتراز از شرط (6.2 ب) مجاز است. اما، شرط (6.2 الف) همیشه باید برقرار شود. شرط دیگری که از تعبیر چگالی احتمال ناشی می‌شود و ذیلاً به شرح آن می‌پردازیم، این است که تابع ψ باید متناهی بماند. هر جوابی از معادله شرودینگر که در آن ψ نامتناهی شود باید کنار گذاشته شود.

با شناخت تابع موج $\Psi(x, t)$ برای یک سیستم، می‌توانیم بسیاری از خواص سیستم را محاسبه کنیم. برای نمونه، احتمال حضور ذره (یا بسته موج) در فاصله بین x و $x+dx$ عبارت است از

$$P(x) dx = \Psi^*(x, t)\Psi(x, t) dx \quad (7.2)$$

که در آن Ψ^* مزدوج مختلط Ψ است. کمیت $\Psi^*\Psi$ را چگالی احتمال می‌نامند. احتمال حضور ذره در محدوده بین x_1 و x_2 از حاصل جمع یا انتگرال همه این احتمالهای بینهایت کوچک به دست می‌آید

$$P = \int_{x_1}^{x_2} \Psi^*\Psi dx \quad (8.2)$$

احتمال کل حضور ذره باید برابر ۱ شود

$$\int_{-\infty}^{+\infty} \Psi^* \Psi dx = 1 \quad (۹.۲)$$

این شرط را شرط بهنجارش می گویند، که در عمل وسیله‌ای برای تعیین ضرایب ثابت در تابع موج Ψ است. هر تابع موج فیزیکی را باید به طریقی مقتضی بهنجار کرد. در این سیستم کوانتوم - مکانیکی، مقدار هر تابعی از x مانند $f(x)$ را می توان به شرح زیر تعیین کرد. مقادیر اندازه گرفتنی $f(x)$ به کمک چگالی احتمالی به دست می آید، و مقدار میانگین $f(x)$ با تعیین سهم هر تابع در مقدار میانگین محاسبه می شود

$$\langle f \rangle = \int \Psi^* f \Psi dx \quad (۱۰.۲)$$

مقادیر میانگینی را که بدین طریق محاسبه می شوند، مقادیر انتظاری کوانتوم - مکانیکی می گویند.

در تعبیر این مقادیر انتظاری باید کمی مواظب باشیم و سنجیده عمل کنیم. مکانیک کوانتومی با نتایج آماری سروکار دارد، و بسیاری از محاسبات ما در واقع میانگینهای آماری هستند. اگر تعداد زیادی سیستم یکسان در اختیار داشته باشیم و $f(x)$ را برای هر یک از آنها اندازه گیری کنیم، مقدار میانگین این اندازه گیریها همان $\langle f \rangle$ خواهد شد. یکی از جنبه‌های ناخوشایند نظریه کوانتومی، ناتوانی آن در پیش بینی قطعی نتیجه یک آزمایش است؛ تمام آنچه در این نظریه می توانیم پیش بینی کنیم این است که میانگین آماری تعداد زیادی از اندازه گیریها را به دست آوریم.

اغلب لازم می شود که مقدار میانگین کمیتهایی را تعیین کنیم که تابع ساده‌ای از x نیستند. برای نمونه، چگونه می توان مقدار $\langle p_x \rangle$ را محاسبه کرد؟ چون p_x تابعی از x نیست، ما نمی توانیم معادله (۱۰.۲) را در محاسبه آن به کار ببریم. حل این مشکل به کمک ریاضیات نظریه کوانتومی میسر می شود. در این روش ریاضی، متناظر با هر متغیر کلاسیکی یک عملگر کوانتوم مکانیکی وجود دارد. عملگر ریاضی، در واقع، نمادی است که ما را به اجرای یک عمل ریاضی نظیر \exp یا \sin یا d/dx رهبری می کند. بنابراین قرارداد، می پذیریم که عملگر فقط روی متغیر یا تابعی عمل می کند که بلافاصله در سمت راست آن قرار دارد. البته وقتی که توابع را دسته بندی می کنیم و درون پرانتز می آوریم، مشخصاً می خواهیم که عملگر روی همه آنها عمل کند. این قرارداد بدان معنی است که یادآوری شکل معادله (۱۰.۲) اهمیت زیادی دارد: در اینجا، عملگر f بین تابعهای Ψ و Ψ^* «ساندویچ شده است» فقط روی تابع Ψ عمل می کند. از میان عملگرهای مکانیک کوانتومی، عملگر تکانه $p_x = -i\hbar \partial/\partial x$ و عملگر انرژی $E = i\hbar \partial/\partial t$ بیشتر از بقیه کاربرد دارند. توجه کنید که نخستین قسمت اولین جمله در سمت چپ معادله شرودینگر (۴.۲) فقط $p_x^2/2m$ است که می توان آن را عملگر انرژی جنبشی در نظر گرفت. همچنین به این نکته توجه کنید که از تأثیر عملگر E بر $\Psi(x, t)$ در معادله (۵.۲)، حاصلضرب عدد E در $\Psi(x, t)$ به دست می آید.

اکنون می‌توانیم مقدار انتظاری مؤلفه x تکانه را به صورت زیر به دست آوریم

$$\begin{aligned}\langle p_x \rangle &= \int \Psi^* \left(-i\hbar \frac{\partial}{\partial x} \right) \Psi dx \\ &= -i\hbar \int \Psi^* \frac{\partial \Psi}{\partial x} dx\end{aligned}\quad (11.2)$$

یکی از ویژگی‌های بسیار مهم محاسبات بالا این است که وقتی مزدوج مختلط Ψ را از معادله (۵.۲) به دست می‌آوریم، عامل وابسته به زمان به صورت $e^{+i\omega t}$ درمی‌آید، و بدین سان وابستگی زمانی از تمامی معادلات (۷.۲) تا (۱۱.۲) حذف می‌شود. هیچیک از خواص قابل مشاهده سیستم وابستگی زمانی ندارد. این شرایط را به دلایلی آشکارحالت‌های مانا می‌نامند. سیستمی که در حالت مانا باشد، برای تمام زمانها در همان حالت می‌ماند و تمام متغیرهای دینامیکی آن ثابت‌های حرکت به شمار می‌روند. البته چنین حالتی جنبه ایده‌آلی و تخیلی دارد، زیرا هیچ سیستمی برای همیشه باقی نمی‌ماند، اما بسیاری از سیستمها را می‌توان در حالت‌هایی در نظر گرفت که تقریباً مانا هستند. از همین نظر است که می‌توانیم از گذار اتم از یک حالت برانگیخته «مانا» به حالت «مانا» دیگر سخن بگوییم.

همراه با هر تابع موج Ψ مفهوم چگالی جریان ذره را به صورت زیر تعریف می‌کنیم

$$j = \frac{\hbar}{2mi} \left(\Psi^* \frac{\partial \Psi}{\partial x} - \Psi \frac{\partial \Psi^*}{\partial x} \right) \quad (12.2)$$

این کمیت با مفهوم جریان الکتریکی قابل مقایسه است، که با استفاده از آن تعداد ذرات گذرنده از هر نقطه x در هر ثانیه مشخص می‌شود.

شکل معادله شروودینگر در حالت سه بعدی، بستگی به دستگاه مختصاتی دارد که برای بررسی مسئله انتخاب می‌شود. در دستگاه مختصات دکارتی، انرژی پتانسیل تابعی از (x, y, z) است و معادله شروودینگر چنین می‌شود

$$-\frac{\hbar^2}{2m} \left(\frac{\partial^2 \psi}{\partial x^2} + \frac{\partial^2 \psi}{\partial y^2} + \frac{\partial^2 \psi}{\partial z^2} \right) + V(x, y, z) \psi(x, y, z) = E \psi(x, y, z) \quad (13.2)$$

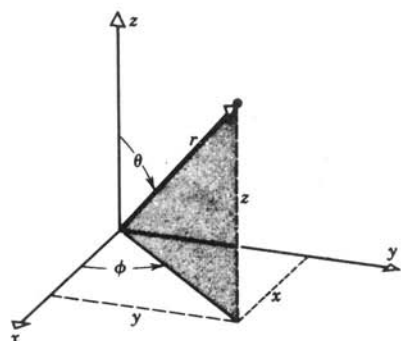
جواب کامل وابسته به زمان در این حالت به صورت زیر است

$$\Psi(x, y, z, t) = \psi(x, y, z) e^{-i\omega t} \quad (14.2)$$

چگالی احتمال $\Psi^* \Psi$ در این مورد هم احتمال وجود در واحد حجم را به دست می‌دهد. احتمال حضور ذره در جزء حجم $dv = dx dy dz$ در نقطه (x, y, z) عبارت است از

$$P dv = \Psi^* \Psi dv \quad (15.2)$$

برای تعیین احتمال وجود کل در حجم V باید به کمک انتگرال سدگانه روی متغیرهای



شکل ۱۰۲ دستگاه مختصات قطبی کروی و ارتباط آن با دستگاه دکارتی.

x, y, z و انتگرال گیری کرد. همه آن خواصی را که در بالا برای سیستم يك بعدی بیان کردیم، به آسانی می توان برای سیستم سه بعدی تعمیم داد. چون هسته ها تقریباً کروی شکل اند، دستگاه مختصات دکارتی مناسب ترین دستگاه برای بررسی آنها نیست. به جای مختصات دکارتی، بهتر است از دستگاه مختصات قطبی کروی مطابق شکل ۱۰۲ استفاده کنیم. معادله شرودینگر در این دستگاه به صورت زیر نوشته می شود

$$-\frac{\hbar^2}{2m} \left[\frac{\partial^2 \psi}{\partial r^2} + \frac{2}{r} \frac{\partial \psi}{\partial r} + \frac{1}{r^2 \sin \theta} \frac{\partial}{\partial \theta} \left(\sin \theta \frac{\partial \psi}{\partial \theta} \right) + \frac{1}{r^2 \sin^2 \theta} \frac{\partial^2 \psi}{\partial \phi^2} \right] + V(r, \theta, \phi) \psi(r, \theta, \phi) = E \psi(r, \theta, \phi) \quad (۱۶.۲)$$

تمام مطالب قبلی در این مورد هم صادق است. جزء حجم در این حالت به صورت زیر درمی آید

$$dv = r^2 \sin \theta \, dr \, d\theta \, d\phi \quad (۱۷.۲)$$

کاربرد اصول فوق الذکر را در دو بخش بعدی تشریح خواهیم کرد. نخست مسائل ساده يك بعدی ریاضی را بررسی می کنیم، سپس مسائل فیزیکی تر سه بعدی را مورد توجه قرار می دهیم.

۳.۲ مسائل يك بعدی

ذره آزاد

در این حالت هیچ نیرویی بر ذره اثر نمی کند، و انرژی پتانسیل را در تمام نقاط برابر $V(x) = 0$ در نظر می گیریم. بنابراین، معادله (۴.۲) به صورت زیر بازنویسی می شود

$$\frac{d^2 \psi}{dx^2} = -\frac{2mE}{\hbar^2} \psi \quad (۱۸.۲)$$

جواب این معادلهٔ دیفرانسیل را می‌توان چنین نوشت

$$\psi(x) = A' \sin kx + B' \cos kx \quad (19.2)$$

شکل معادل این جواب به صورت زیر است

$$\psi(x) = Ae^{ikx} + Be^{-ikx} \quad (20.2)$$

که در آن $k^2 = 2mE/\hbar^2$ است و A و B (یا A' و B') مقادیر ثابت اند. تابع موج وابسته به زمان چنین می‌شود

$$\Psi(x, t) = Ae^{i(kx - \omega t)} + Be^{-i(kx + \omega t)} \quad (21.2)$$

جملهٔ اول این جواب نمایشگر موجی است که در جهت مثبت x در حرکت است، و جملهٔ دوم موج متحرکی را در جهت منفی x نشان می‌دهد. شدت هر یک از این موجها از مربع دامنه‌هایشان، $|A|^2$ و $|B|^2$ ، به دست می‌آید. چون هیچ شرط مرزی وجود ندارد، هیچ محدودیتی در انرژی ذره E نیست، یعنی تمام مقادیر E در جوابهای معادله صدق می‌کنند. شرط بهنجارش (۹.۲) هم در این مورد قابل استفاده نیست، زیرا انتگرالهای \sin^2 یا \cos^2 در گسترهٔ از $x = -\infty$ تا $x = +\infty$ همگرا نیستند. به جای استفاده از شرط (۹.۲)، در این گونه موارد که پتانسیل ثابت است، از شرایط بهنجارش دیگری بهره گیری می‌کنیم. فرض کنید چشمه‌ای مانند یک شتاب‌دهنده که در $x = -\infty$ قرار دارد، در هر ثانیه به تعداد I ذره با تکانه $p = \hbar k$ در جهت مثبت x گسیل می‌کند. چون ذرات در جهت مثبت x در حرکت اند، می‌توانیم B را برابر صفر بگیریم. یعنی، شدت موج مربوط به ذراتی که در جهت منفی x حرکت می‌کنند باید برابر صفر شود تا هیچ ذره‌ای در آن جهت در حرکت نباشد. بنابراین، طبق معادلهٔ (۱۲.۲)، جریان ذرات به صورت زیر درمی‌آید

$$j = \frac{\hbar k}{m} |A|^2 \quad (22.2)$$

که باید با شدت جریان I ذره در ثانیه که از چشمه گسیل می‌شود برابر باشد. بدین ترتیب، خواهیم داشت $A = \sqrt{mI/\hbar k}$

پتانسیل پله‌ای $E > V_0$

در این حالت پتانسیل به صورت زیر است

$$V(x) = \begin{cases} 0 & x < 0 \\ = V_0 & x > 0 \end{cases} \quad (23.2)$$

که در آن $V_0 > 0$ است. در اینجا بخش $x < 0$ را ناحیه ۱ و بخش $x > 0$ را ناحیه ۲ نامگذاری می‌کنیم. در این صورت در ناحیه ۱، معادله شرودینگر به همان شکل معادله (۱۸.۲) است و جوابهای ψ_1 از معادله (۲۰.۲) به دست می‌آید که در آن $k = k_1 = \sqrt{2mE/\hbar^2}$ می‌شود. در ناحیه ۲، معادله شرودینگر چنین می‌شود

$$\frac{d^2\psi_2}{dx^2} = -\frac{2m(E-V_0)}{\hbar^2}\psi_2 \quad (24.2)$$

چون $E > V_0$ است، جواب این معادله را می‌توان به صورت زیر نوشت

$$\psi_2 = Ce^{ik_2x} + De^{-ik_2x} \quad (25.2)$$

که در آن $k_2 = \sqrt{2m(E-V_0)}/\hbar$ است. با توجه به شرایط مرزی در $x=0$ ، از معادله (۶.۲ الف) به دست می‌آید

$$A+B=C+D \quad (26.2 \text{ الف})$$

و از معادله (۶.۲ ب) هم حاصل می‌شود

$$k_1(A-B) = k_2(C-D) \quad (26.2 \text{ ب})$$

فرض کنید که ذرات از چشمه‌ای مستقر در $x = -\infty$ به طرف پله تابیده می‌شوند. در این صورت، جمله A در ψ_1 نمایشگر موج تابشی (یسا فرودی) و جمله B در ψ_1 نمایشگر موج بازتابیده است (موج تابشی موجی است که در ناحیه $x < 0$ به طرف پله در $x=0$ حرکت می‌کند، در حالی که موج بازتابیده در همین ناحیه به طرف $x = -\infty$ در حرکت است). جمله C در ψ_2 نمایشگر موج عبوری است (یعنی موجی که از $x=0$ وارد ناحیه $x > 0$ می‌شود). جمله D در این مسئله نمی‌تواند جایی داشته باشد، زیرا هیچ راهی وجود ندارد که از طریق آن موج ناحیه ۲ به طرف مبدأ حرکت کند، و بنابراین با قراردادن $D=0$ آن را از بین می‌بریم. از حل معادلات (۲۶.۲ الف و ب) خواهیم داشت

$$B = A \frac{1 - k_2/k_1}{1 + k_2/k_1} \quad (27.2)$$

$$C = A \frac{2}{1 + k_2/k_1} \quad (28.2)$$

ضریب بازتاب R را به صورت نسبت جریان موج بازتابیده به جریان تابشی تعریف می‌کنیم

$$R = \frac{j_{\text{بازتابشی}}}{j_{\text{تابشی}}} \quad (29.2)$$

با استفاده از معادله (۲۲.۲) خواهیم داشت

$$R = \frac{|B|^2}{|A|^2} = \left(\frac{1 - k_2/k_1}{1 + k_2/k_1} \right)^2 \quad (30.2)$$

به همین ترتیب، ضریب عبور T به صورت نسبت جریان عبوری به جریان تابشی تعریف می‌شود

$$T = \frac{j_{\text{عبور}}}{j_{\text{تابشی}}} \quad (31.2)$$

که در نتیجه داریم

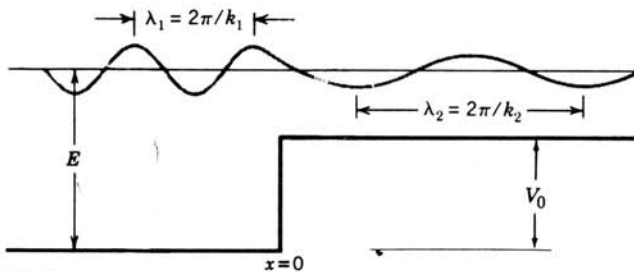
$$T = \frac{k_2 |C|^2}{k_1 |A|^2} = \frac{4k_2/k_1}{(1 + k_2/k_1)^2} \quad (32.2)$$

توجه کنید، همچنانکه انتظار می‌رود، خواهیم داشت $R + T = 1$. نتایج حاصل از این مسئله را در شکل ۲.۲ نشان داده‌ایم.

این مسئله، نمونه ساده‌ای از مسئله پراکندگی است. در فصل ۴، چگونگی تعمیم این مفاهیم را به حالت‌های سه بعدی نشان می‌دهیم و آن‌را در مسائل پراکندگی نوکلئون - نوکلئون به کار می‌بریم.

پتانسیل پله‌ای $E < V_0$

در این حالت، پتانسیل همچنان به صورت معادله (۲۳.۲) است، و حل مسئله در ناحیه ۱ ($x < 0$) نیز همانند محاسبات قبلی است. اما در ناحیه ۲، معادله شرودینگر چنین می‌شود



شکل ۲.۲ تابع موج یک ذره با انرژی E در رویارویی با پله‌ای به ارتفاع V_0 که در آن $E > V_0$ است. هنگامی که ذره از پله عبور می‌کند، طول موج دوبروی از λ_1 به λ_2 تغییر می‌کند، ولی ψ و $d\psi/dx$ هر دو در $x=0$ پیوسته‌اند.

$$\frac{d^2\psi_\gamma}{dx^2} = \frac{2m}{\hbar^2}(V_0 - E)\psi_\gamma \quad (33.2)$$

جواب این معادله به صورت زیر است

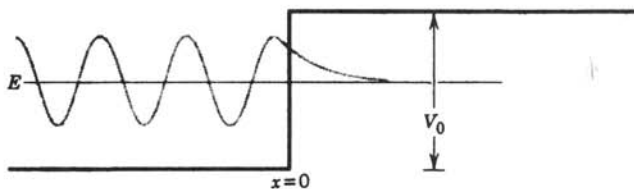
$$\psi_\gamma = Ce^{k_\gamma x} + De^{-k_\gamma x} \quad (34.2)$$

که در آن $k_\gamma = \sqrt{2m(V_0 - E)}/\hbar$ است. توجه کنید که برای حالت‌هایی که پتانسیل ثابت داشته باشند، جوابها یا به صورت نوسانی نظیر معادلات (۱۹.۲ و ۲۰) هستند که در شرایط $E > V_0$ حاصل می‌شوند، یا به صورت نمایی نظیر معادله (۳۴.۲) که در شرایط $E < V_0$ به دست می‌آیند. جوابهای معادله شرودینگر، اگرچه در پتانسیلهای غیر ثابت $V(x)$ صورتهای متفاوتی پیدا می‌کنند، ولی رفتار عمومی‌شان تغییر نمی‌کند. یعنی، هنگامی که $E > V(x)$ باشد جواب همیشه نوسانی است (هرچند که لازم نیست حتماً نوسان آن از نوع سینوسی باشد)، و هنگامی که $E < V(x)$ باشد جواب همیشه نمایی است.

لازم است که جواب (۳۴.۲) برای سراسر ناحیه $x > 0$ صادق باشد. چون جمله اول به ازای $x \rightarrow \infty$ به سوی بینهایت میل می‌کند، شرط متناهی بودن تابع موج موجب می‌شود که $C = 0$ باشد. جمله D در تابع ψ_γ ، یکی از تفاوت‌های مهم بین فیزیک کلاسیک و کوانتومی را نشان می‌دهد: این جمله نشانگر نفوذ تابع موج به ناحیه‌ای است که از دیدگاه کلاسیک ممنوع‌الورود است. تمام ذرات (کلاسیک) در مرز ناحیه ممنوع بازتابیده می‌شوند و به ناحیه قبلی باز می‌گردند، ولی بسته‌موج کوانتوم مکانیکی می‌تواند با نفوذ از مرز تا حدودی در ناحیه ممنوع پیشروی کند. ذره کلاسیک در این ناحیه هرگز به‌طور مستقیم قابل مشاهده نیست، زیرا به دلیل $E < V_0$ در ناحیه ۲ انرژی جنبشی آن باید منفی شود. وضعیت این مسئله را در شکل ۳.۲ نشان داده‌ایم.

سد پتانسیل $E > V_0$

در این مسئله، تابع پتانسیل چنین تعریف می‌شود



شکل ۳.۲ تابع موج يك ذره با انرژی E در دویارویی با پله‌ای به ارتفاع V_0 که در آن $E < V_0$ است. تابع موج در ناحیه‌ای که از نظر کلاسیک ممنوع است به‌طور نمایی کاهش می‌یابد، و انرژی جنبشی کلاسیک در این ناحیه منفی می‌شود. در مرز $x = 0$ ، توابع ψ و $d\psi/dx$ پیوسته‌اند.

$$\begin{aligned}
 V(x) &= 0 & x < 0 \\
 &= V_0 & 0 \leq x \leq a \\
 &= 0 & x > a
 \end{aligned} \tag{۳۵.۲}$$

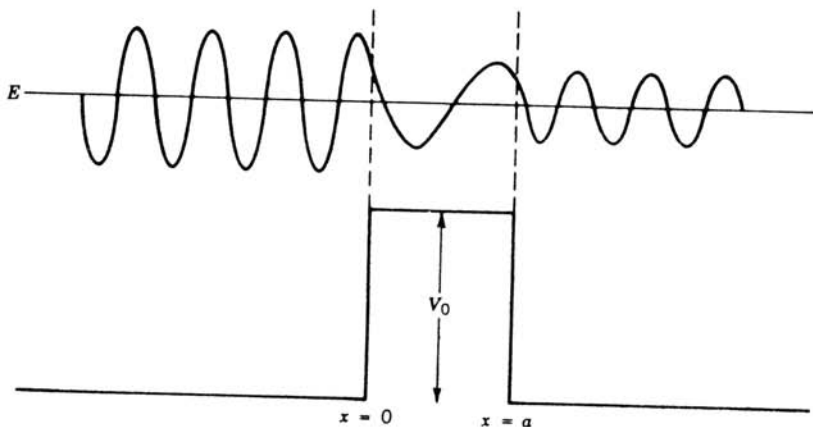
جوابهای معادله شرودینگر در این نواحی ۱، ۲، و ۳ عبارت اند از

$$\begin{aligned}
 \psi_1 &= Ae^{ik_1x} + Be^{-ik_1x} \\
 \psi_2 &= Ce^{ik_2x} + De^{-ik_2x} \\
 \psi_3 &= Fe^{ik_3x} + Ge^{-ik_3x}
 \end{aligned} \tag{۳۶.۲}$$

که در آنها $k_1 = \sqrt{2mE}/\hbar$ و $k_2 = k_3 = \sqrt{2m(E-V_0)}/\hbar$ است. با استفاده از شرایط پیوستگی در $x=0$ و $x=a$ و این فرض که ذرات از $x = -\infty$ گسیل می‌شوند (یعنی G را می‌توان برابر صفر گرفت)، پس از انجام محاسبات جبری، ضریب عبور $T = |F|^2/|A|^2$ را می‌توان چنین به دست آورد

$$T = \frac{1}{1 + \frac{1}{4} \frac{V_0^2}{E(E-V_0)} \sin^2 k_2 a} \tag{۳۷.۲}$$

این پاسخ را در شکل ۴.۲ نشان داده‌ایم.



شکل ۴.۲ تابع موج یک ذره با انرژی $E > V_0$ در رویارویی با سد پتانسیل. ذره از طرف چپ تابیده می‌شود. موج در هر دو مرز بازتاب دارد، و دامنه آن پس از عبور از سد کوچکتر خواهد شد.

سد پتانسیل $E < V_0$

در این حالت، جوابهای ψ_1 و ψ_2 به همان صورت قبلی هستند، ولی ψ_3 چنین می شود

$$\psi_3 = Ce^{k_2 x} + De^{-k_2 x} \quad (38.2)$$

که در اینجا $k_2 = \sqrt{2m(V_0 - E)}/\hbar$ است. چون ناحیه ۲ به داخل مرزهای $x=0$ و $x=a$ محدود می شود، مسئله بینهایت شدن جواب نمایی مطرح نخواهد شد، و در نتیجه نمی توان C یا D را برابر صفر گرفت.

در اینجا هم با به کار بردن شرایط مرزی در $x=0$ و $x=a$ می توان ضریب عبور را به صورت زیر به دست آورد

$$T = \frac{1}{1 + \frac{1}{4} \frac{V_0^2}{E(V_0 - E)} \sinh^2 k_2 a} \quad (39.2)$$

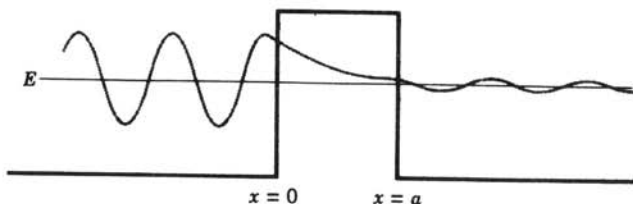
از دیدگاه کلاسیک انتظار داریم که $T=0$ شود، یعنی ذره نمی تواند به ناحیه ممنوع که در آنجا انرژی جنبشی اش منفی خواهد شد وارد شود. موج کوانتومی می تواند در سد نفوذ کند، زیرا احتمال حضور ذره در آن سوی سد برابر یک مقدار غیر صفر به دست می آوریم. جواب این مسئله را در شکل ۵.۲ نشان داده ایم.

این پدیده نفوذ از سد یا تونل زنی کوانتوم مکانیکی کاربردهای مهمی در فیزیک هسته ای، بویژه در نظریه واپاشی آلفا، دارد که در فصل ۸ از آن بحث خواهیم کرد.

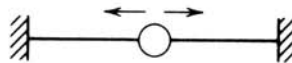
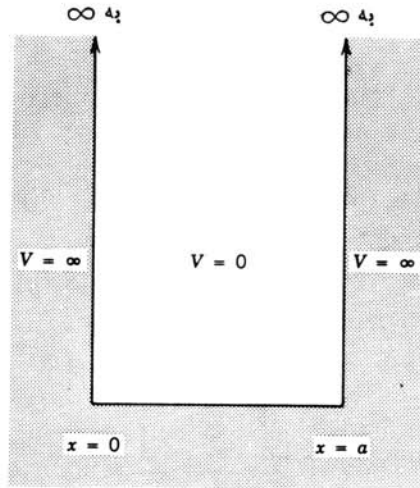
چاه پتانسیل نامتناهی

پتانسیل در این مورد (مطابق شکل ۶.۲) به صورت زیر تعریف می شود

$$V(x) = \begin{cases} \infty & x < 0, x > a \\ 0 & 0 \leq x \leq a \end{cases} \quad (40.2)$$



شکل ۵.۲ تابع موج يك ذره با انرژی $E < V_0$ در رویارویی با سد پتانسیل. ذره از طرف چپ تابیده می شود. طول موج در دو طرف سد یکسان است، اما دامنه موج پس از عبور از سد خیلی از دامنه اولیه کمتر می شود. ذره را هرگز نمی توان در داخل سد (که در آن انرژی جنبشی اش منفی خواهد شد) مشاهده کرد، اما این ذره در آن سوی سد قابل مشاهده است.



شکل ۶.۲ ذره در ناحیهٔ یک بعدی $0 \leq x \leq a$ آزادانه در حرکت است، اما هرگز راهی به نواحی $x < 0$ و $x > a$ ندارد. نمونهٔ فیزیکی سادهٔ این مسئله، مهره‌ای است که روی یک سیم بدون اصطکاک می‌لغزد و با برخورد الاستیک از دیوارهای دوطرف سیم برمی‌گردد.

این بدان معنی است که ذره در فاصلهٔ بین $x=0$ و $x=a$ به‌دام افتاده است. دیوارها در مرز $x=0$ و $x=a$ مطلقاً غیرقابل نفوذند. از این رو ذره را هرگز نمی‌توان در خارج از چاه یافت، و در نواحی $x < 0$ و $x > a$ داریم $\psi = 0$. معادلهٔ شرودینگر در داخل چاه به صورت معادلهٔ (۱۸.۲) است که جواب آن را به صورت معادلهٔ (۱۹.۲) در نظر می‌گیریم

$$\psi = A \sin kx + B \cos kx \quad (۴۱.۲)$$

بنابر شرط پیوستگی ψ در $x=0$ داریم $\psi(0) = 0$ که لازمهٔ آن $B = 0$ است. در $x=a$ ، شرط پیوستگی ψ به صورت زیر در می‌آید

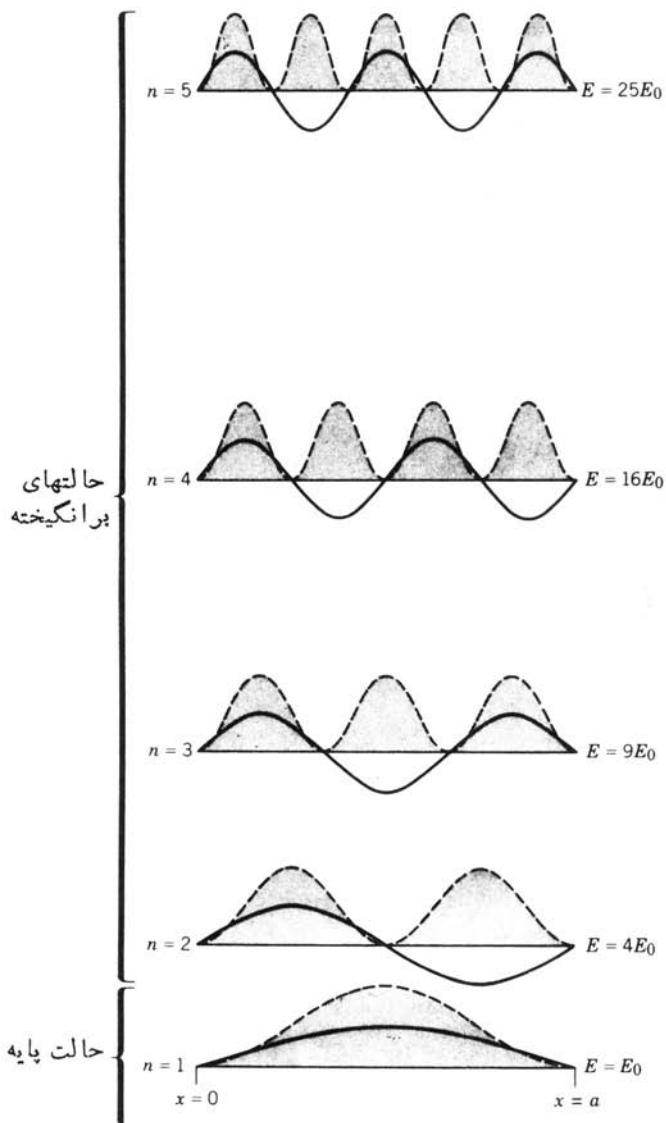
$$A \sin ka = 0 \quad (۴۲.۲)$$

جواب $A = 0$ در این معادله قابل قبول نیست، زیرا در آن صورت در تمام نقاط $\psi = 0$ می‌شود. پس باید $\sin ka = 0$ شود که در نتیجه خواهیم داشت

$$ka = n\pi \quad n = 1, 2, 3, \dots \quad (۴۳.۲)$$

$$E_n = \frac{\hbar^2 k^2}{2m} = \frac{\hbar^2 \pi^2}{2ma^2} n^2 \quad (۴۴.۲)$$

در این حالت انرژی کوانتیده است، یعنی فقط مقادیر معینی از انرژی مجاز (یا قابل قبول) است. طیف انرژی این مسئله در شکل ۷.۲ نشان داده شده است. این حالتها را که در آنها



شکل ۷.۲ ترازهای مجاز انرژی درچاه مربعی نامتناهی یک بعدی. تابع موج هر تراز را بسا منحنی پیوسته (خط پررنگ) نشان داده ایم. منحنی خط چین، چگالی احتمال هر تراز را نشان می دهد. انرژی E_0 برابر است با $\hbar^2 \pi^2 / 2ma^2$.

ذره تحت تأثیر پتانسیل در ناحیه مشخصی از فضا محصور می‌شود، حالت‌های مقید می‌نامند. تابع موج‌های متناظر به حالت‌های انرژی پیشگفته به صورت زیر به دست می‌آید

$$\psi_n = \sqrt{\frac{2}{a}} \sin \frac{n\pi x}{a} \quad (۴۵.۲)$$

که در آن مقدار ثابت A با استفاده از معادله (۹.۲) محاسبه شده است. چگالی احتمال $|\psi|^2$ را برای چند حالت پایین در شکل ۷.۲ نشان داده‌ایم.

چاه پتانسیل متناهی

در این حالت، عمق چاه پتانسیل را در فاصله بین $+a/2$ و $-a/2$ برابر V_0 می‌گیریم

$$V(x) = V_0 \quad |x| > \frac{a}{2} \quad (۴۶.۲)$$

$$= 0 \quad |x| < \frac{a}{2}$$

حال می‌خواهیم جواب‌های حالت مقید را، وقتی که $E < V_0$ است، پیدا کنیم. جواب‌های نواحی مختلف را به صورت زیر در نظر می‌گیریم

$$\psi_1 = Ae^{k_1 x} + Be^{-k_1 x} \quad x < -\frac{a}{2}$$

$$\psi_2 = Ce^{ik_2 x} + De^{-ik_2 x} \quad -\frac{a}{2} \leq x \leq \frac{a}{2} \quad (۴۷.۲)$$

$$\psi_3 = Fe^{k_1 x} + Ge^{-k_1 x} \quad x > \frac{a}{2}$$

که در آن‌ها $k_2 = \sqrt{2mE}/\hbar$ و $k_1 = \sqrt{2m(V_0 - E)}/\hbar$ است. برای آن‌که تابع موج در ناحیه ۱ به ازای $x \rightarrow -\infty$ متناهی بماند، لازم است که $B = 0$ شود؛ و برای اینکه در ناحیه ۳ به ازای $x \rightarrow +\infty$ این تابع متناهی بماند، باید $F = 0$ شود. با استفاده از شرایط پیوستگی در $x = +a/2$ و $x = -a/2$ خواهیم داشت

$$k_2 \tan \frac{k_2 a}{2} = k_1 \quad (الف ۴۸.۲)$$

یا

$$-k_2 \cot \frac{k_2 a}{2} = k_1 \quad (ب ۴۸.۲)$$

این معادلات غیر جبری را به طور مستقیم نمی توان حل کرد، بلکه باید حل آنها را به صورت تریسمی یا با استفاده از کامپیوتر از طریق عددی به دست آورد. اگر معادلات (۴۸.۲) را به صورت زیر در آوریم، راه حل تریسمی آسانتر است

$$\alpha \tan \alpha = (P^2 - \alpha^2)^{1/2} \quad (الف \ ۴۹.۲)$$

$$-\alpha \cot \alpha = (P^2 - \alpha^2)^{1/2} \quad (ب \ ۴۹.۲)$$

که در آنها $\alpha = k_p a / 2$ و $P = (mV_0 a^2 / 2 \hbar^2)^{1/2}$ است. عبارت سمت راست این معادلات دایره ای به شعاع P است، در حالی که سمت چپ آنها تابعی تانژانت گونه است که چندین شاخه جدا از هم دارد. چنانکه در شکل ۸.۲ دیده می شود، جوابهای مسئله از محل برخورد دایره با تابع تانژانتی تعیین می شود. بنا براین، تعداد جوابها را شعاع P و در نتیجه عمق V_0 چاه تعیین می کند. به وجه تمایز این مسئله با مسئله چاه نامتناهی، که تعداد حالتهای مقید در آن بینهایت می شد، توجه کنید. برای نمونه، وقتی $\pi/2 < P < \pi$ باشد، این مسئله فقط يك حالت مقید دارد. هنگامی $\pi < P < 3\pi/2$ باشد، دو حالت مقید خواهیم داشت. برعکس اگر در بررسی سیستمی از این نوع فقط يك حالت مقید بیا بیم، می توانیم حداکثر عمق چاه مورد نظر را استنباط کنیم. چنانکه در فصل ۴ خواهیم دید، با استفاده از همین تکنیک، عمق پتانسیل هسته ای دوترون را بر آورد می کنیم. زیرا، دوترون که ساده ترین سیستم دونو کلتونی است، فقط يك حالت مقید دارد.

نوسانگر هماهنگ ساده

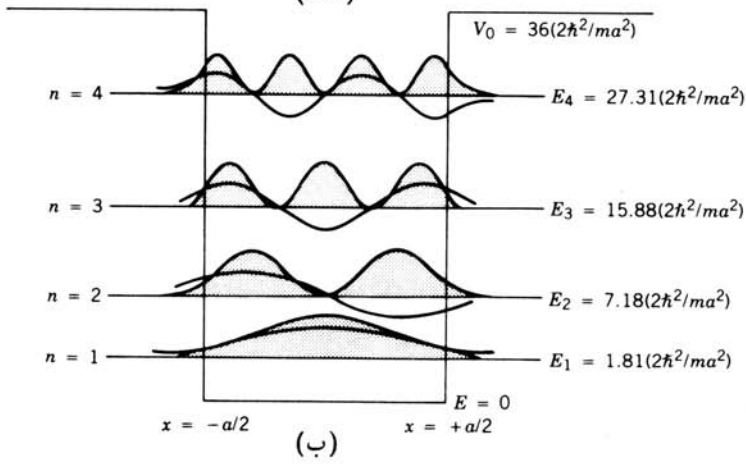
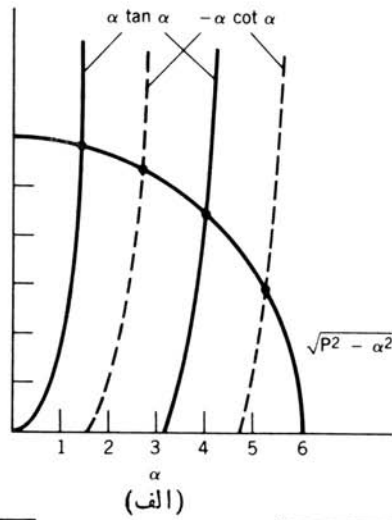
هر تابع پتانسیل نسبتاً خوش رفتاری را می توان بر حسب سری تایلور، حول نقطه x_0 ، به صورت زیر بسط داد

$$V(x) = V(x_0) + \left(\frac{dV}{dx}\right)_{x=x_0} (x - x_0) + \frac{1}{2} \left(\frac{d^2V}{dx^2}\right)_{x=x_0} (x - x_0)^2 + \dots \quad (۵۰.۲)$$

اگر x_0 در کمینه پتانسیل در نظر گرفته شود، جمله دوم سری ناپدید می شود، و چون جمله اول فقط يك مقدار ثابت انرژی است، جمله سوم جمله غالب توجهی خواهد بود. بنابراین سیستم در تقریب اول، در نزدیکی پتانسیل کمینه، رفتاری همانند يك نوسانگر هماهنگ ساده خواهد داشت که پتانسیل آن به صورت $(1/2)k(x - x_0)^2$ است. بدین ترتیب، مطالعه نوسانگر هماهنگ ساده برای شناسایی يك دسته از سیستمها مفید خواهد بود.

انرژی پتانسیل سیستم مورد نظر را، برای تمام مقادیر x ، به صورت زیر اختیار می کنیم

$$V(x) = \frac{1}{2} kx^2 \quad (۵۱.۲)$$



شکل ۸.۲ الف) حل تریسمی معادلات (۴۹.۲ الف و ب). برای نمونه وقتی که $P=6$ باشد، چهار جواب به صورت $\alpha = 1.345, 2.679, 3.985, 5.226$ به دست می آید. (ب) منحنیهای تابع موج و چگالی احتمال برای این چهار حالت. (بسا نتایج شکل ۷.۲ برای چاه نامتناهی مقایسه شود.)

معادله شرودینگر این سیستم به صورت $\psi(x) = h(x)e^{-\alpha^2 x^2/2}$ قابل حل است $(\alpha^2 = \sqrt{km}/\hbar)$. تابع $h(x)$ یک چندجمله ای ساده بر حسب x است. درجه این چندجمله ای (یا بزرگترین توان x) را عدد کوانتومی n که مشخصه حالت های انرژی است تعیین می کند، و این حالتها خود از حل معادله شرودینگر به دست می آیند

$$E_n = \hbar\omega_0 \left(n + \frac{1}{2} \right) \quad n = 0, 1, 2, 3, \dots \quad (52.2)$$

که در آن $\omega_0 = \sqrt{k/m}$ بسامد زاویه‌ای کلاسیک نوسانگر است. چند تابع موج این سیستم را در جدول ۱۰۲، و ترازهای انرژی و همچنین چگالی احتمالی آنها را در شکل ۹۰۲ نشان داده‌ایم. توجه کنید که چگالی احتمالی با نتایج شکل ۸۰۲ مشابهت دارد. در جایی که $E > V$ است جواب تقریباً به‌طور سینوسی نوسان می‌کند، در جایی که $E < V$ می‌شود (در آن سوی نقاط بازگشت کلاسیک که در آن نوسانگر به حال سکون می‌رسد و جهت حرکتش معکوس می‌شود) جواب به‌طور نمایی کاهش می‌یابد و به صفر می‌رسد. این جواب همچنین نفوذ چگالی احتمال را به‌درون ناحیه ممنوع الورد کلاسیک نشان می‌دهد. یکی از ویژگی‌های درخورد توجه این جواب مساوی بودن فاصله ترازهای انرژی است. این نکته را هم باید در نظر داشت که به‌خاطر عمق بینهایت پتانسیل، تعداد حالت‌های مقید هم بینهایت زیاد است.

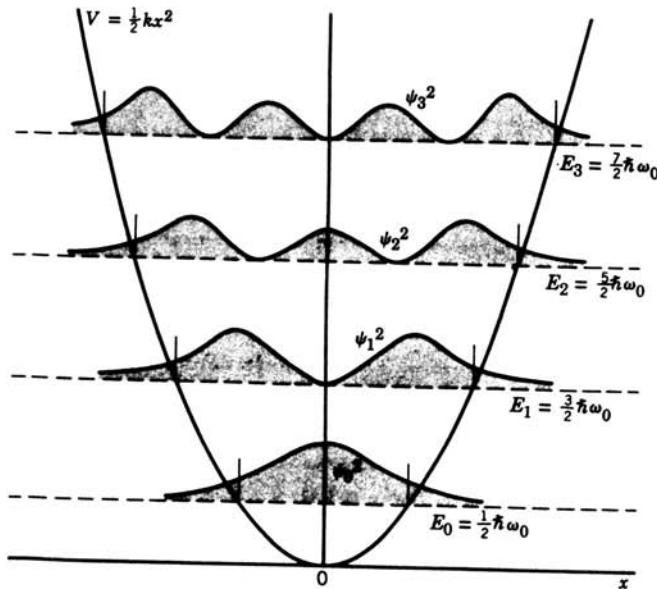
جدول ۱۰۲ نمونه‌هایی از تابع موج يك بعدی نوسانگر هماهنگ ساده.

n	E_n	$\psi_n(x)$
0	$\frac{1}{2} \hbar\omega_0$	$\pi^{-1/4} e^{-\alpha^2 x^2/2}$
1	$\frac{3}{2} \hbar\omega_0$	$2^{-1/2} \pi^{-1/4} (2\alpha x) e^{-\alpha^2 x^2/2}$
2	$\frac{5}{2} \hbar\omega_0$	$2^{-3/2} \pi^{-1/4} (4\alpha^2 x^2 - 2) e^{-\alpha^2 x^2/2}$
3	$\frac{7}{2} \hbar\omega_0$	$\left(\frac{1}{4\sqrt{3}\pi^{1/4}} \right) (\lambda\alpha^3 x^3 - 12\alpha x) e^{-\alpha^2 x^2/2}$
4	$\frac{9}{2} \hbar\omega_0$	$\left(\frac{1}{8\sqrt{5}\pi^{1/4}} \right) (16\alpha^4 x^4 - 48\alpha^2 x^2 + 12) e^{-\alpha^2 x^2/2}$

$$E_n = \hbar\omega_0 \left(n + \frac{1}{2} \right)$$

$$\psi_n(x) = (\pi^n n! \sqrt{\pi})^{-1/2} H_n(\alpha x) e^{-\alpha^2 x^2/2}$$

که در آن $H_n(\alpha x)$ يك چندجمله‌ای هرmitesی است



شکل ۹.۲ چند تراز انرژی پایین در نوسانگر هماهنگ و چگالی احتمال هر یک از آنها.

خلاصه

در مطالعه این نوع مسائل یک بعدی، بانکات مهمی از خواص موجی ذرات روبه‌رو می‌شویم که موارد زیر از آن جمله است:

۱. موج کوانتومی وقتی که با سد پتانسیل روبه‌رو می‌شود، می‌تواند از سد بازتابیده شود و یا از آن عبور کند. این طرز رفتار درست مشابه عملکرد موج کلاسیک است.
۲. بسته‌موج می‌تواند به درون ناحیه ممنوع کلاسیک نفوذ کند، و به پشت سد پتانسیلی که ارتفاعش بیشتر از انرژی بسته‌موج است برسد.
۳. تابع موج در حالت $E > V(x)$ تابعی نوسانی است، و در حالت $E < V(x)$ تابعی نمایی است که به‌سوی صفر میل می‌کند.
۴. هنگامی که یک ذره به‌وسیله یک پتانسیل در ناحیه‌ای از فضا محبوس می‌شود، تابع موج آن حالت‌های مقید دارد. برای این ذره فقط مجموعه‌ای از مقادیر گسسته انرژی مجاز است، و تعداد این مقادیر مجاز انرژی را عمق پتانسیل تعیین می‌کند.

۴.۲ مسائل سه بعدی

چاه دکارتی نامتناهی

با مسئله‌ای در دستگاه مختصات دکارتی آغاز می‌کنیم که ویژگی مهمی از مسائل سه بعدی

را که در مسائل يك بعدی دیده نمی شود، نشان می دهد. تابع پتانسیل را در این حالت به صورت زیر در نظر می گیریم

$$V(x, y, z) = \begin{cases} 0 & 0 \leq x \leq a, 0 \leq y \leq a, 0 \leq z \leq a \\ \infty & x < 0, x > a, y < 0, y > a, z < 0, z > a \end{cases} \quad (53.2)$$

بدین گونه، این ذره در جعبه ای مکعبی شکل به ابعاد a محبوس است. چنانکه قبلا دیدیم، در خارج از دیوارهای نفوذناپذیر این جعبه $\psi = 0$ است. معادله شرودینگر در داخل چاه به صورت زیر نوشته می شود

$$-\frac{\hbar^2}{2m} \left(\frac{\partial^2 \psi}{\partial x^2} + \frac{\partial^2 \psi}{\partial y^2} + \frac{\partial^2 \psi}{\partial z^2} \right) = E \psi(x, y, z) \quad (54.2)$$

روش رایج حل معادلات دیفرانسیل جزئی این است که سعی می شود جوابی با متغیرهای جداگانه، مثل $\psi(x, y, z) = X(x)Y(y)Z(z)$ پیدا شود، که در آن هر يك از عبارات X, Y, Z تابع يك متغیر منفرد هستند. در اینجا از تفصیل ریاضی این راه حل صرف نظر می کنیم، و فقط نتیجه محاسبه را در نظر می گیریم

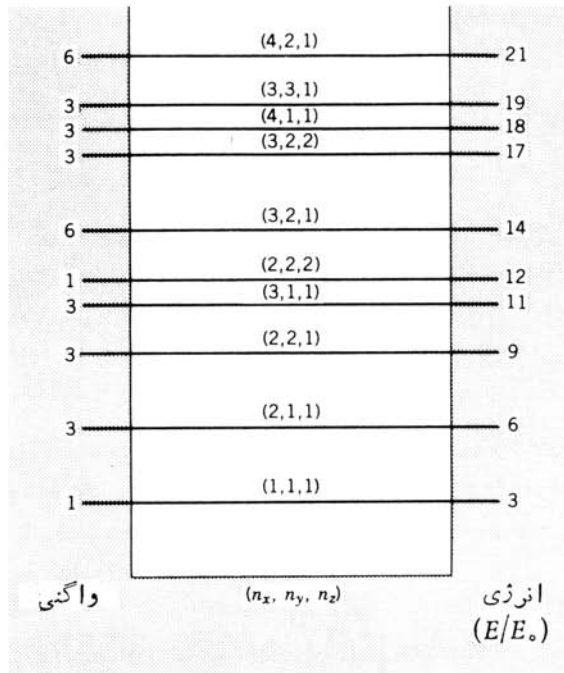
$$\psi_{n_x n_y n_z}(x, y, z) = \sqrt{\left(\frac{2}{a}\right)^3} \sin \frac{n_x \pi x}{a} \sin \frac{n_y \pi y}{a} \sin \frac{n_z \pi z}{a} \quad (55.2)$$

$$E_{n_x n_y n_z} = \frac{\hbar^2 \pi^2}{2ma^2} (n_x^2 + n_y^2 + n_z^2) \quad (56.2)$$

که در آنها n_x, n_y, n_z و n_z اعداد درست غیر صفر و مستقل از یکدیگرند. اعداد کوانتومی پایینترین حالت، که حالت پایه نام دارد، عبارت اند از $(n_x, n_y, n_z) = (1, 1, 1)$. بیشینه توزیع احتمال در مرکز جعبه $(x = y = z = a/2)$ دیده می شود، و احتمال وجود با نزدیک شدن به دیوارها همانند تابع \sin^2 به سوی صفر میل می کند.

نخستین حالت برانگیخته را می توان با سه دسته اعداد کوانتومی $(2, 1, 1)$ ، $(1, 2, 1)$ و $(1, 1, 2)$ به دست آورد. هر يك از این حالتها مستقل و متمایز دارای يك تابع موج خاص است، و بنابراین چگالی احتمال و مقادیر انتظاری کمیتها فیزیکی قابل مشاهده هم برای هر يك از آنها متفاوت خواهد بود. اما تمام این حالتها انرژی یکسان دارند. این وضعیت را با عنوان واگنی می شناسیم، و واگنی نخستین حالت برانگیخته سه تاییه است. اهمیت مفهوم واگنی در ساختار اتمی فوق العاده زیاد است، زیرا به کمک آن می توان فهمید که در هر زیر پوسته اتمی چند الکترون جای می گیرد. بزودی نقش مشابه آن را در مدل پوسته ای هسته مورد بحث قرار خواهیم داد.

پایینترین قسمت طیف انرژی حالتها برانگیخته را در شکل ۱۰.۲ نشان داده ایم. به این نکته توجه کنید که ترتیب و فاصله ترازها به همان صورتی نیست که در مسئله يك بعدی مشاهده کردیم.



شکل ۱۰.۲ ترازهای انرژی یک ذره مجبوس درجعبه مکعبی سه بعدی. انرژی حالتها بر حسب یکای $E_0 = \hbar^2 \pi^2 / 2ma^2$ مشخص شده است.

چاه کروی نامتناهی

اگر چارجوب مرجع را دستگاه مختصات کروی انتخاب کنیم و در آن پتانسیلی را که فقط وابسته به r باشد (و به θ یا ϕ وابسته نباشد) در نظر بگیریم، به ویژگی جدید دیگری برمیخوریم که در آینده در بررسی ساختار هسته‌ای برای مسائلی اهمیت خواهد شد. هنگامی که جوابهای با متغیرهای جداگانه را به صورت $\psi(r, \theta, \phi) = R(r)\Theta(\theta)\Phi(\phi)$ می‌نویسیم، پتانسیل مرکزی $V(r)$ فقط در قسمت شعاعی تابع موج ظاهر می‌شود، و قسمتهای زاویه‌ای معادله هم به‌طور مستقیم قابل حل خواهد بود. معادله دیفرانسیل $\Phi(\phi)$ به‌قرار زیر است

$$\frac{d^2\Phi}{d\phi^2} + m_l^2\Phi = 0 \quad (57.2)$$

که در آن m_l ثابت جداسازی است. جواب این معادله به‌صورت زیر به‌دست می‌آید

$$\Phi_{m_l}(\phi) = \frac{1}{\sqrt{2\pi}} e^{im_l\phi} \quad (58.2)$$

که در آن $m_l = 0, \pm 1, \pm 2, \dots$ است. معادله $\Theta(\theta)$ چنین می شود

$$\frac{1}{\sin\theta} \frac{d}{d\theta} \left(\sin\theta \frac{d\Theta}{d\theta} \right) + \left[l(l+1) - \frac{m_l^2}{\sin^2\theta} \right] \Theta = 0 \quad (59.2)$$

که در آن $l = 0, 1, 2, 3, \dots$ و $m_l = 0, \pm 1, \pm 2, \dots, \pm l$ است. جواب $\Theta_{lm_l}(\theta)$ را به صورت یک چندجمله‌ای درجه l بر حسب $\sin\theta$ یا $\cos\theta$ می توان به دست آورد. جوابهای $\Phi_{m_l}(\phi)$ و $\Theta_{lm_l}(\theta)$ پس از ادغام و بهنجار شدن، به صورت هماهنگهای کروی $Y_{lm_l}(\theta, \phi)$ درمی آیند که نمونه‌هایی از آن را در جدول ۲.۲ نشان داده‌ایم. این توابع، بخش زاویه‌ای جواب معادله شرودینگر را برای هر پتانسیل مرکزی به دست می دهند. برای نمونه، همین توابع زاویه‌ای هستند که خواص فضایی اوربیتالهای اتمی را که منشأ پیوندهای مولکولی به شمار می روند تعیین می کنند.

در مورد هر پتانسیلی مانند $V(r)$ ، تمام آنچه باید انجام شود این است که جواب معادله شعاعی زیر را پیدا کنیم

$$-\frac{\hbar^2}{2m} \left(\frac{d^2 R}{dr^2} + \frac{2}{r} \frac{dR}{dr} \right) + \left[V(r) + \frac{l(l+1)\hbar^2}{2mr^2} \right] R = ER \quad (60.2)$$

جمله $l(l+1)$ را عموماً به صورت ضمیمه پتانسیل می نویسند و آن را «پتانسیل گریز از مرکز» می نامند، زیرا وقتی که $l > 0$ باشد این قسمت همانند پتانسیلی عمل می کند که ذره را از مرکز سیستم دور نگه می دارد.

برای نمونه، مورد چاه کروی نامتناهی را در نظر می گیریم

$$V(r) = 0 \quad r < a \\ = \infty \quad r > a \quad (61.2)$$

در اینجا چون دیوارهای چاه نامتناهی را نفوذناپذیر می دانیم، برای نواحی $r > a$ بخش شعاعی را باید به صورت $R(r) = 0$ در نظر بگیریم. در داخل چاه، جواب معادله (60.2) برای $V = 0$ را می توانیم به صورت توابع نوسانی $j_l(kr)$ که توابع کروی بسل نامیده می شوند بنویسیم. در جدول ۳.۲ چند نمونه از این توابع را نشان داده‌ایم. برای تعیین ویژه مقادیرهای انرژی، درست به همان شیوه مسائل یک بعدی عمل می کنیم و شرط پیوستگی ψ را در $r = a$ به کار می بریم. بدین ترتیب خواهیم داشت

$$j_l(ka) = 0 \quad (62.2)$$

جدول ۲.۲ هماهنگهای کروی برای چند مقدار پایین l .

l	m_l	$Y_{lm_l}(\theta, \phi) = \Theta_{lm_l}(\theta)\Phi_{m_l}(\phi)$
۰	۰	$\left(\frac{1}{4\pi}\right)^{1/2}$
۱	۰	$\left(\frac{3}{4\pi}\right)^{1/2} \cos \theta$
۱	± 1	$\mp \left(\frac{3}{8\pi}\right)^{1/2} \sin \theta e^{\pm i\phi}$
۲	۰	$\left(\frac{5}{16\pi}\right)^{1/2} (3 \cos^2 \theta - 1)$
۲	± 1	$\mp \left(\frac{15}{8\pi}\right)^{1/2} \sin \theta \cos \theta e^{\pm i\phi}$
۲	± 2	$\left(\frac{15}{32\pi}\right)^{1/2} \sin^2 \theta e^{\pm 2i\phi}$

$$\Phi_{m_l}(\phi) = \frac{1}{\sqrt{2\pi}} e^{im_l\phi}$$

$$\Theta_{lm_l}(\theta) = \left[\frac{2l+1}{2} \frac{(l-m_l)!}{(l+m_l)!} \right]^{1/2} P_l^{m_l}(\theta)$$

که در آن $P_l^{m_l}(\theta)$ چندجمله‌ای وابسته لژاندر است

این معادله هم در عمل یک معادله غیر جبری است که باید به طریقه عددی حل شود. جداولی از توابع کروی بسط چاپ و منتشر شده‌اند که برای تعیین مواضع صفر هر مقداری از l می‌توان به آنها مراجعه کرد.^۱ به عنوان مثال، مورد $l=0$ را در نظر می‌گیریم. با رجوع به جدول معلوم می‌شود که تابع $j_0(x)$ به ازای مقادیر

$$x = 3.14, 6.28, 9.42, 12.57, \dots$$

برابر صفر خواهد شد. برای $l=1$ ، مواضع چند صفر اول تابع $j_1(x)$ عبارت‌اند از

1. M. Abramowitz and I. A. Stegun, *Handbook of Mathematical Functions* (New York : Dover, 1965).

جدول ۳.۲ توابع کروی بسل - چند نمونه از عبارات و حدود آنها.

$$j_0(kr) = \frac{\sin kr}{kr}$$

$$j_1(kr) = \frac{\sin kr}{(kr)^2} - \frac{\cos kr}{kr}$$

$$j_2(kr) = \frac{3 \sin kr}{(kr)^3} - \frac{3 \cos kr}{(kr)^2} - \frac{\sin kr}{kr}$$

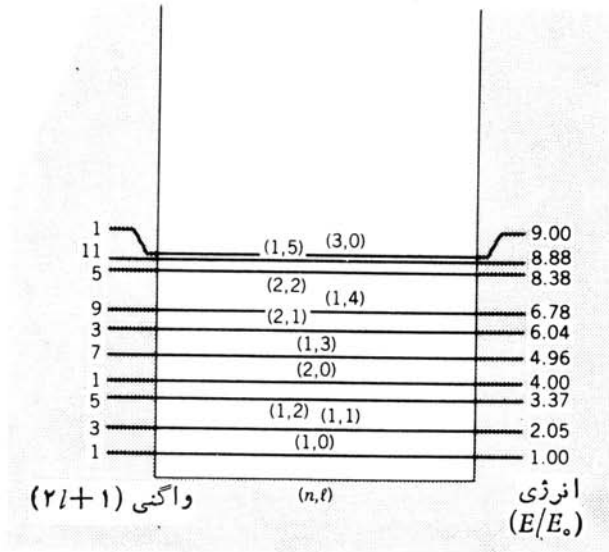
$$j_l(kr) \cong \frac{(kr)^l}{1 \cdot 3 \cdot 5 \dots (2l+1)} \quad kr \rightarrow 0$$

$$j_l(kr) \cong \frac{\sin(kr - l\pi/2)}{kr} \quad kr \rightarrow \infty$$

$$j_l(kr) = \left(-\frac{r}{k}\right)^l \left(\frac{1}{r} \frac{d}{dr}\right)^l j_0(kr)$$

۱۴۵۷، ۱۵۹۰، ۷۷۳، ۴۴۹، x . چون می دانیم $E = \hbar^2 k^2 / 2m$ است، از اینجا می توانیم مقادیر مجاز انرژی را به دست آوریم. با تکرار این عمل برای $l=2$ ، $l=3$ ، و غیره، می توان طیف حالت های انرژی را به صورتی که در شکل ۱۱.۲ نموده شده است به دست آورد. همچنانکه در بررسی چاه دکارتی دیده ایم، در این طیف هم از آن نظم خاص مسئله یک بعدی خبری نیست. نکته قابل توجه دیگر در این مورد، واگنی ترازهای انرژی است: چون انرژی فقط به مقدار l بستگی دارد، همه تابع موجهایی که از لحاظ مقادیر m_l متفاوت اند انرژی یکسان دارند. بدین گونه، واگنی تراز که با مقدار $l=2$ مشخص می شود پنج تاییه است، و تابع موجهای ممکن عبارت اند از $j_2(kr)Y_{22}(\theta, \phi)$ ، $j_2(kr)Y_{2-2}(\theta, \phi)$ ، $j_2(kr)Y_{20}(\theta, \phi)$ ، $j_2(kr)Y_{21}(\theta, \phi)$ ، $j_2(kr)Y_{2-1}(\theta, \phi)$ ، و $j_2(kr)Y_{2-1}(\theta, \phi)$. در واقع، چون m_l محدود به مقادیر $0, \pm 1, \pm 2, \dots, \pm l$ است، به ازای هر مقداری از l دقیقاً تعداد $(2l+1)$ تابع Y_{lm_l} وجود دارد، و بنا بر این واگنی هر تراز $(2l+1)$ تاییه است. (این وضع خیلی شبیه به وضع مدارهای الکترونی در اتمهاست که در آن مورد هم پتانسیل از نوع مرکزی است. در ظرفیت زیر پوسته اتمی هم با عامل $(2l+1)$ روبه رو می شویم که از واگنی m_l ناشی می شود.)

احتمال وجود ذره در حجم dv برابر $|\psi|^2 dv$ است که در آن جزء حجم dv همان است که در معادله (۱۷.۲) مطرح شد. نمایش ترسیمی این توزیعهای سه بعدی کار دشواری



شکل ۱۱-۲ ترازهای انرژی ذره‌ای که در یک محفظه سه بعدی کروی محبوس است. انرژیها برحسب یکای $E_0 = \hbar^2 \pi^2 / 2ma^2$ مشخص شده‌اند. فواصل و واگنیهای این طیف را با شکل ۱۰-۲ مقایسه کنید. در این مورد عدد کوانتومی n مستقیماً از حل معادله حاصل نمی‌شود، بلکه برای شماره‌گذاری حالت‌های l مشخص از آن استفاده می‌شود.

است، و از همین رو اغلب بخشهای شعاعی و زاویه‌ای را به‌طور جداگانه در نظر می‌گیریم. برای تعیین چگالی احتمال شعاعی که متوسط احتمال وجود ذره را در فاصله بین r و $r+dr$ و تحت تمام زوایا به‌دست می‌دهد، چگالی احتمال را روی θ و ϕ انتگرال‌گیری می‌کنیم

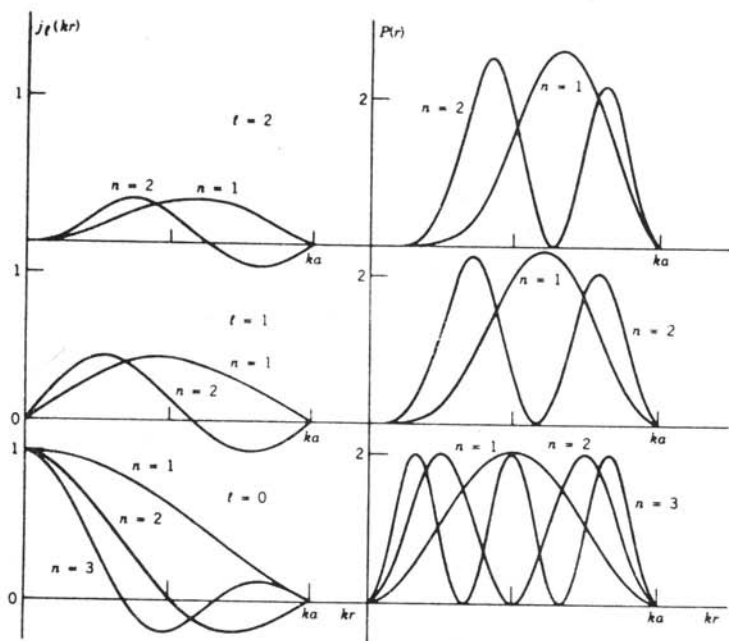
$$P(r) dr = \int |\psi|^2 dv$$

$$= r^2 |R(r)|^2 dr \int \sin \theta d\theta \int d\phi |Y_{lm_l}|^2 \quad (۶۳-۲)$$

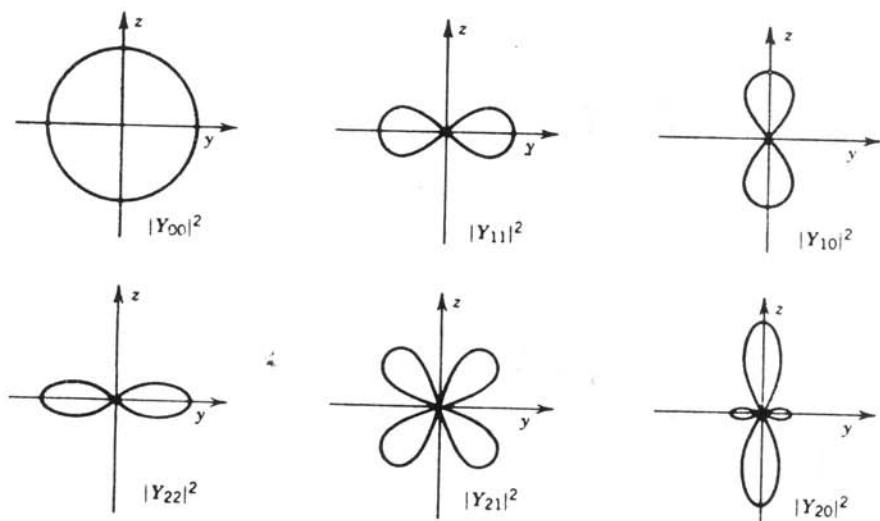
چون هماهنگیهای کروی Y_{lm_l} به‌نجار شده‌اند، مقدار انتگرال برابر ۱ می‌شود و در نتیجه خواهیم داشت

$$P(r) = r^2 |R(r)|^2$$

مونه از توزیع احتمال شعاعی را برای چاه نامتناهی در شکل ۱۲-۲ نشان داده‌ایم. وابستگی زاویه‌ای چگالی احتمال برای هر پتانسیل مرکزی از $|Y_{lm_l}(\theta, \phi)|^2$ به‌دست می‌آید، که چند نمونه از آن را در شکل ۱۳-۲ نشان داده‌ایم.



شکل ۱۳.۲ در سمت چپ، منحنیهای بهنجار نشده $j_l(kr)$ را پس از تنظیم بر اساس $j_l(ka) = 0$ برای چند تراز انرژی پایین نشان داده‌ایم. در سمت راست، چگالی احتمالی شعاعی $r^2 R^2$ همان توابع سمت چپ را پس از بهنجارش نشان داده‌ایم. توجه کنید که در ابتدا، غیر از j_0 ، توابع دیگری برابر صفرند، و چگالی احتمالی هم برای همه آنها برابر صفر است. به این نکته هم توجه کنید که «دفاع‌گریز» از مرکز «همراه با افزایش l ، بیشینه‌های $P(r)$ را از مبدأ دورتر می‌کند.



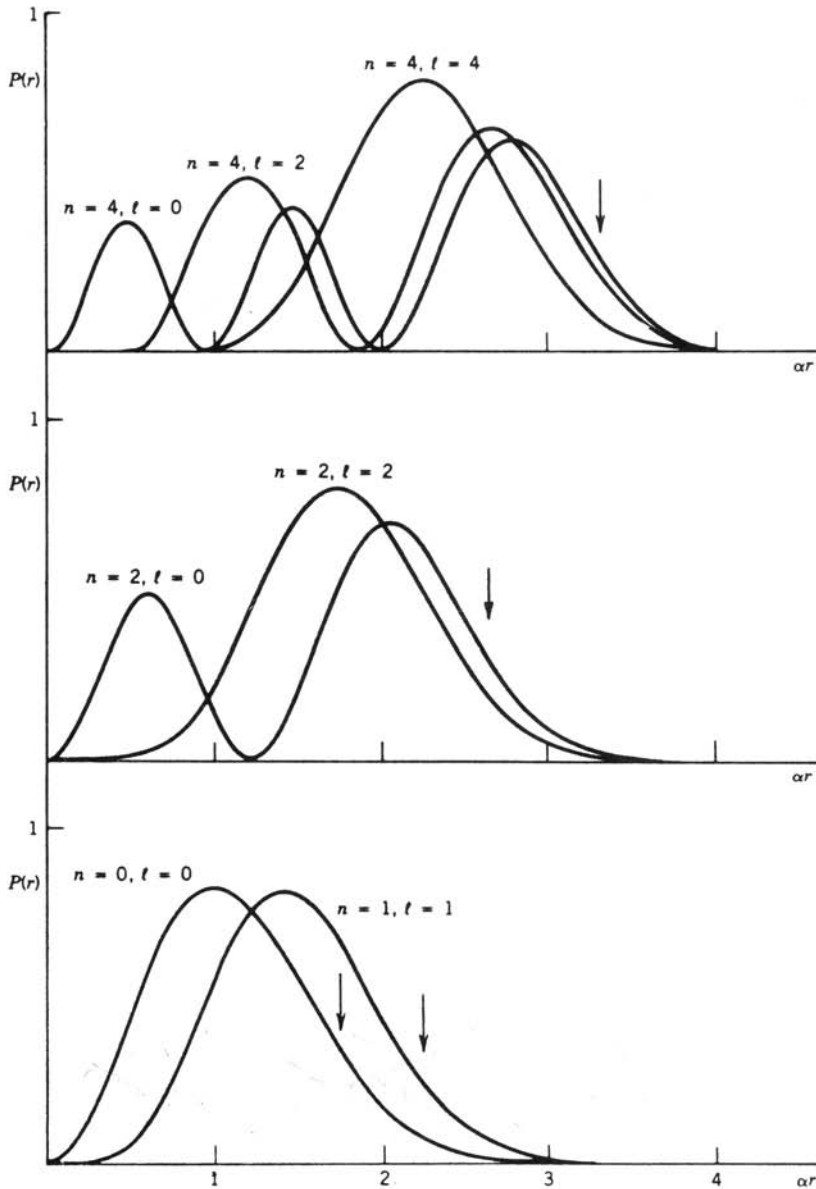
شکل ۱۳.۳ توزیعهای احتمالی فضایی حاصل از Y_{lm} با دوران هر یک از شکلها حول محور z می‌توان نمایش سه‌بعدی چگالی احتمالی را به دست آورد.

نوسانگر هماهنگ ساده

پتانسیل مرکزی یک نوسانگر را به صورت $V(r) = (1/2)kr^2$ در نظر می‌گیریم. جواب بخش زاویه‌ای معادله شرودینگر برای تمام پتانسیلهای مرکزی به صورت $Y_{lm}(\theta, \phi)$ است، و بنابراین تمام آنچه در این موارد لازم داریم حل معادله شعاعی است. چنانکه در حالت یک بعدی دیدیم، جواب را به صورت حاصلضرب یک تابع نمایی و یک چندجمله‌ای محدود می‌توان نشان داد. چند نمونه از جوابها را در جدول ۴.۲، و چگالی احتمال شعاعی آنها را در شکل ۱۴.۲ نشان داده‌ایم. خواص عمومی جوابهای یک بعدی را در این مورد جدول ۴.۲ نمونه‌هایی از تابع موج شعاعی برای نوسانگر هماهنگ ساده در حالت سه بعدی.

n	l	E_n	$R(r)$
۰	۰	$\frac{3}{2} \hbar\omega_0$	$\left(\frac{2\alpha^{3/2}}{\pi^{1/4}}\right)e^{-\alpha^2 r^2/2}$
۱	۱	$\frac{5}{2} \hbar\omega_0$	$\left(\frac{2\alpha^{3/2}\sqrt{2}}{\sqrt{3\pi^{1/4}}}\right)(\alpha r)e^{-\alpha^2 r^2/2}$
۲	۰	$\frac{7}{2} \hbar\omega_0$	$\left(\frac{2\alpha^{3/2}\sqrt{2}}{\sqrt{3\pi^{1/4}}}\right)\left(\frac{3}{2} - \alpha^2 r^2\right)e^{-\alpha^2 r^2/2}$
۲	۲	$\frac{7}{2} \hbar\omega_0$	$\left(\frac{4\alpha^{3/2}}{\sqrt{15\pi^{1/4}}}\right)(\alpha^2 r^2)e^{-\alpha^2 r^2/2}$
۳	۱	$\frac{9}{2} \hbar\omega_0$	$\left(\frac{4\alpha^{3/2}}{\sqrt{15\pi^{1/4}}}\right)\left(\frac{5}{2}\alpha r - \alpha^2 r^3\right)e^{-\alpha^2 r^2/2}$
۳	۳	$\frac{9}{2} \hbar\omega_0$	$\left(\frac{4\alpha^{3/2}\sqrt{2}}{\sqrt{105\pi^{1/4}}}\right)(\alpha^2 r^3)e^{-\alpha^2 r^2/2}$
۴	۰	$\frac{11}{2} \hbar\omega_0$	$\left(\frac{4\alpha^{3/2}\sqrt{2}}{\sqrt{15\pi^{1/4}}}\right)\left(\frac{15}{8} - \frac{5}{2}\alpha^2 r^2 + \frac{1}{2}\alpha^4 r^4\right)e^{-\alpha^2 r^2/2}$
۴	۲	$\frac{11}{2} \hbar\omega_0$	$\left(\frac{4\alpha^{3/2}\sqrt{2}}{\sqrt{105\pi^{1/4}}}\right)\left(\frac{5}{2}\alpha^2 r^2 - \alpha^4 r^4\right)e^{-\alpha^2 r^2/2}$
۴	۴	$\frac{11}{2} \hbar\omega_0$	$\left(\frac{8\alpha^{3/2}}{3\sqrt{105\pi^{1/4}}}\right)\alpha^4 r^4 e^{-\alpha^2 r^2/2}$

به شباهت صوری (حاصلضرب تابع نمایی در چندجمله‌ای) بین این جوابها و جوابهای مسئله یک بعدی در جدول ۱.۲ توجه کنید. چندجمله‌ایها را در این حالت چندجمله‌ایهای لژاندرمی نامند. بحث تفصیلی این جوابها را در فصل ۷ کتاب مکانیک کوانتومی، تألیف جان ل. پاول و برنند کریسمن، مرکز نشر دانشگاهی (۱۳۶۸) ببینید.



شکل ۱۴.۲ چگالی احتمالی شعاعی چند حالات از نوسانگر هماهنگ سه بعدی. پیکانهای قائم، نقاط برگشت کلاسیک را نشان می‌دهند. توجه کنید که همانند شکل ۱۲.۲، احتمال $P(r)$ در $r=0$ برای $l=0$ غیر صفر است (ولی طبق جدول ۴.۲، تابع $R(r)$ در $r=0$ برای مورد $l=0$ غیر صفر است). «دافعۀ گرینز از مرکز» به ازای مقادیر بزرگ l نیز قابل توجه است.

هم مشاهده می‌کنیم: بدین معنی که در ناحیه مجاز کلاسیک جواب نوسانی است، و در ناحیه ممنوع کلاسیک جواب به‌طور نمایی به‌سوی صفر میل می‌کند. ترازهای انرژی به‌صورت زیر به‌دست می‌آیند

$$E_n = \hbar\omega_0 \left(n + \frac{3}{2} \right) \quad (۶۵.۲)$$

که در آن $n = 0, 1, 2, 3, \dots$ است. این انرژی به مقدار l بستگی ندارد، ولی همه مقادیر l هم مجاز نیستند. محدودیتی که حل ریاضی معادله شعاعی بر مقدار l تحمیل می‌کند بدین شرح است: حداکثر مقدار l برابر n است و بسته به اینکه n زوج یا فرد باشد، l هم فقط می‌تواند یا مقادیر زوج و یا مقادیر فرد را دارا شود. برای مثال وقتی که $n = 5$ باشد، مقادیر مجاز l عبارت‌اند از $1, 3, 5$ ، و چنانچه $n = 4$ باشد مقادیر مجاز l برابر $0, 2, 4$ می‌شوند. چون مقدار انرژی به m_l هم بستگی ندارد، برای هر مقدار l تعداد $(2l+1)$ واگنی اضافی نیز خواهیم داشت. بدین‌سان، واگنی تراز $n = 5$ به‌صورت

$$[(2 \times 1 + 1) + (2 \times 3 + 1) + (2 \times 5 + 1)] = 21 \text{ (تایه)}$$

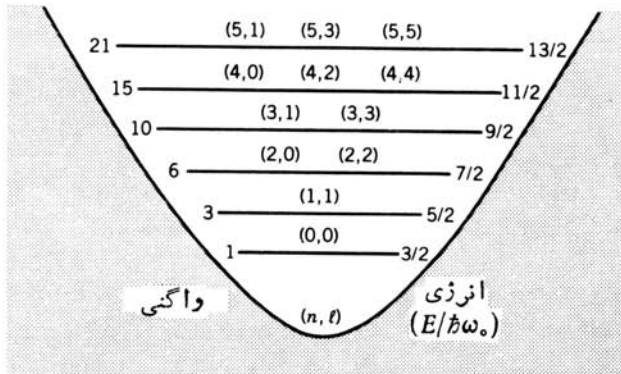
و واگنی تراز $n = 4$ به‌صورت

$$[(2 \times 0 + 1) + (2 \times 2 + 1) + (2 \times 4 + 1)] = 15 \text{ (تایه)}$$

خواهد شد. چند نمونه از ترازهای انرژی و واگنی آنها را که برابر $\frac{1}{2}(n+1)(n+2)$ است در شکل ۱۵.۲ نشان داده‌ایم.

سد کولنی

برای برهم‌کنش بین بارهای الکتریکی $+Ze$ و $-e$ نیز همانند مورد تک‌الکترون با عدد اتمی Z ، تابع انرژی پتانسیل جاذبه کولنی به‌صورت پتانسیل مرکزی ساده



شکل ۱۵.۲ چند تراز انرژی پایین برای یک ذره در پتانسیل مرکزی نوسانگر سه‌بعدی.

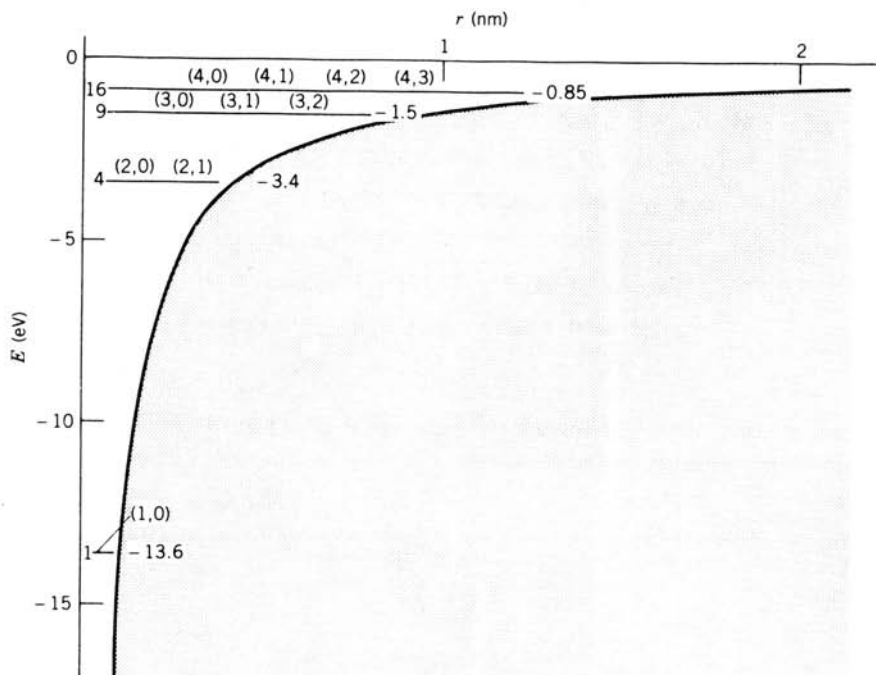
$V(r) = -Ze^2/4\pi\epsilon_0 r$ نوشته می‌شود. در اینجا هم بخش زاویه‌ای تابع موج به صورت $Y_{lm_l}(\theta, \phi)$ به دست می‌آید، و بعضی از تابع موجهای شعاعی $R(r)$ آن در جدول ۵.۲ نشان داده شده است. ترازهای انرژی از $E_n = (-mZ^2e^4/32\pi^2\epsilon_0^2\hbar^2n^2)$ به دست می‌آید که چند حالت آن را در شکل ۱۶.۲ نشان داده‌ایم. چگالی احتمال شعاعی چند حالت نیز برای نمونه در شکل ۱۷.۲ نشان داده شده است. در اینجا رابطه بین n و l با آنچه در مورد پتانسیل نوسانگر دیده‌ایم متفاوت است. در این مورد، مقادیر مجاز l برای هر تراز n عبارتند از ۰، ۱، ۲، ۳، ...، $(n-1)$. واگنی کل هر تراز انرژی، با احتساب مقادیر مختلف l و تعداد $(2l+1)$ واگنی برای هر یک از آنها، n^2 تاییه می‌شود.

جدول ۵.۲ چند تابع موج شعاعی کولنی (برای اتم هیدروژنی).

n	l	$R(r)$
۱	۰	$2 \left(\frac{Z}{a_0}\right)^{3/2} e^{-Zr/a_0}$
۲	۰	$\left(\frac{Z}{2a_0}\right)^{3/2} \left(2 - \frac{Zr}{a_0}\right) e^{-Zr/2a_0}$
۲	۱	$3^{-1/2} \left(\frac{Z}{2a_0}\right)^{3/2} \left(\frac{Zr}{a_0}\right) e^{-Zr/2a_0}$
۳	۰	$\frac{2}{3} \left(\frac{Z}{3a_0}\right)^{3/2} \left[3 - \frac{2Zr}{a_0} + 2\left(\frac{Zr}{3a_0}\right)^2\right] e^{-Zr/3a_0}$
۳	۱	$\left(\frac{4\sqrt{2}}{9}\right) \left(\frac{Z}{3a_0}\right)^{3/2} \left(\frac{Zr}{a_0}\right) \left(1 - \frac{Zr}{6a_0}\right) e^{-Zr/3a_0}$
۳	۲	$\left(\frac{2\sqrt{2}}{27\sqrt{5}}\right) \left(\frac{Z}{3a_0}\right)^{3/2} \left(\frac{Zr}{a_0}\right)^2 e^{-Zr/3a_0}$

شکل ریاضی تابع موج سه صورت حاصلضرب چند جمله‌ای وابسته لژاندر در تابع نمایی است. a_0 شعاع بور و برابر $4\pi\epsilon_0\hbar^2/me^2$ است. برای بحث مشروح این جوابها رجوع کنید به فصل پنجم از کتاب

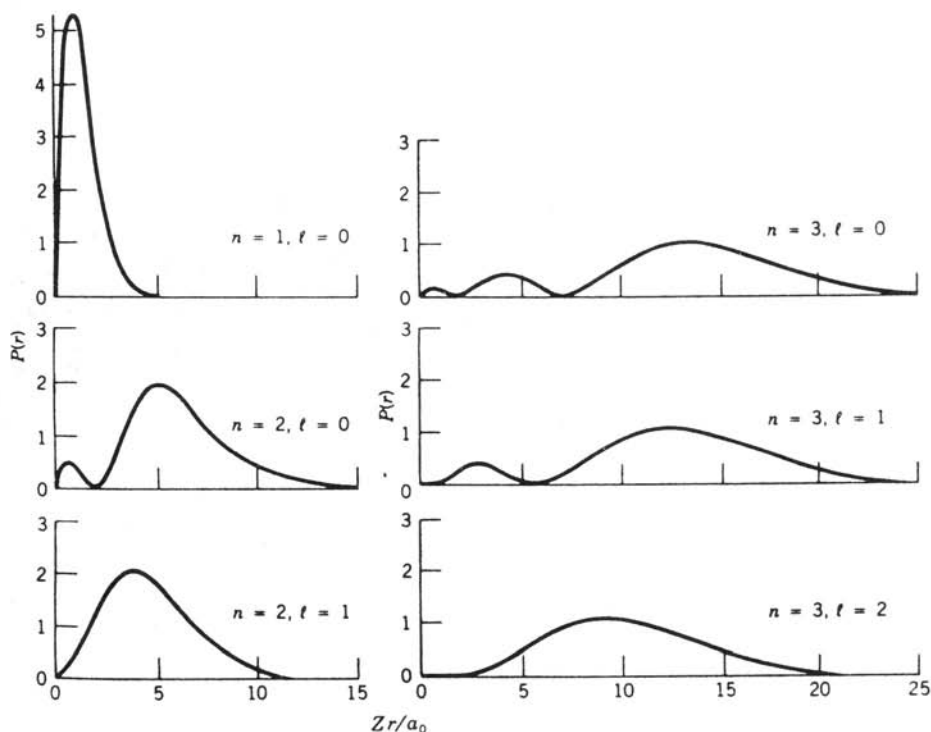
L. Pauling, E. B. Wilson, *Introduction to Quantum Mechanics* (New York: McGraw-Hill, 1935).



شکل ۱۶.۲ ترازهای انرژی پایین در یک پتانسیل کولنی با عدد اتمی $Z=1$ (اتم هیدروژن). حالتها با (n, l) مشخص شده‌اند. واگنیها در سمت چپ هر تراز و مقادیر انرژی آنها در سمت راست نوشته شده‌اند.

خلاصه

شیوه‌های ریاضی تعیین معادله شرودینگر در سه بعد و طرز استفاده از آنها به همان صورتی است که قبلاً در مورد مسائل یک بعدی دیدیم. در محاسبات سه بعدی با دو ویژگی مهم و جدید روبرو می‌شویم که در محاسبات یک بعدی دیده نمی‌شوند: (۱) ترازهای انرژی واگنی دارند، یعنی چند تابع موج مختلف ممکن است انرژی یکسان داشته باشند. این واگنیها در مدل پوسته‌ای هسته‌ای همان اثراتی را خواهند داشت که در مورد واگنی ترازهای انرژی پتانسیل کولنی در مدل پوسته‌ای اتم با آنها روبرو بودیم. به کمک این واگنیها، تعداد ذراتی که در هر تراز می‌توان جا داد مشخص می‌شود. (۲) هنگامی که پتانسیل فقط به r (و نه به θ یا ϕ) بستگی داشته باشد، به هر تابع موج می‌توان یک عدد کوانتومی معین تکانه زاویه‌ای l نسبت داد. این ویژگیهای جدید متضمن نتایج بسیار مهمی هستند که در بحث مدل‌های هسته‌ای در فصل ۵ آنها را بررسی خواهیم کرد. رفتار کوانتومی تکانه زاویه‌ای را در بخش بعدی شرح می‌دهیم.



شکل ۱۷.۲ توزیع احتمال شعاعی یک ذره در پتانسیل کولبی (اتم هیدروژن). احتمال در $r=0$ برابر صفر می‌شود، ولی تابع موج $l=0$ در آن نقطه صفر نمی‌شود. این خاصیت بویژه برای پدیده‌هایی که به همپوشی تابع موجهای اتم هسته وابسته‌اند، حائز اهمیت فراوان است. فقط حالت‌های $l=0$ است که در این پدیده‌ها (گیراندازی الکترون، ساختار فوق ریز، و غیره) سهم قابل توجه دارد. چرا «دافعه گرینز از مرکز» در این مورد ظاهر نمی‌شود؟

۵.۲ نظریه کوانتومی تکانه زاویه‌ای

در جواب‌های معادله شرودینگر در مسائل سه بعدی، عدد کوانتومی l نقش برجسته‌ای دارد. برای نمونه، در فیزیک اتمی این عدد تابع موج الکترونیهای مختلف را مشخص می‌کند و اطلاعاتی از رفتار فضایی تابع موج به دست می‌دهد. این عدد کوانتومی تکانه زاویه‌ای در تمام مسائل سه بعدی با پتانسیل مرکزی $V=V(r)$ همین نقش را برعهده دارد. در فیزیک کلاسیک، تکانه زاویه‌ای l ذره‌ای که با تکانه خطی p در مکان r نسبت به یک مبدأ در حرکت است، چنین تعریف می‌شود

$$l = r \times p \quad (۶۶.۲)$$

در مکانیک کوانتومی، می‌توانیم مقدار انتظاری تکانه زاویه‌ای را با استفاده از معادله (۱۰.۲) به دست آوریم. نخست، بزرگی تکانه زاویه‌ای را در نظر می‌گیریم و برای این منظور مقدار l^2 را محاسبه می‌کنیم که آسانترین راه است. چنانکه در بخش ۲.۲ گفتیم، در گام اول باید برای l^2 یک عملگر کوانتوم مکانیکی پیدا کنیم. با جانشین کردن مؤلفه‌های \mathbf{p} با عملگرهای معادل $p_x = -i\hbar\partial/\partial x$ ، $p_y = -i\hbar\partial/\partial y$ ، $p_z = -i\hbar\partial/\partial z$ ، به آسانی می‌توان عملگر مورد نظر را به دست آورد. از مساوی قرار دادن حاصلضربهای برداری، جملاتی به صورت $l_x = yp_z - zp_y$ حاصل می‌شود، و سرانجام از محاسبه $\langle l^2 \rangle = \langle l_x^2 + l_y^2 + l_z^2 \rangle$ نتیجه‌ای فوق‌العاده ساده به دست می‌آوریم که مستقل از شکل $R(r)$ است

$$\langle l^2 \rangle = \hbar^2 l(l+1) \quad (۶۷.۲)$$

هروقت که با مسئله‌ای مقید به پتانسیل مرکزی که تابع موج آن به صورت $R(r)Y_{lm}(\theta, \phi)$ باشد سروکار داشته باشیم، بزرگی تکانه زاویه‌ای مقداری است ثابت که از معادله (۶۷.۲) به دست می‌آید. یعنی در موارد پتانسیل مرکزی (همچنانکه در فیزیک کلاسیک دیدیم)، تکانه زاویه‌ای یک مقدار ثابت حرکت است. در فیزیک اتمی، زیرحالت‌های مربوط به هر مقدار l را با استفاده از نمادهای طیف‌نمایی مشخص می‌کنیم. در فیزیک هسته‌ای نیز همان نمادها را به کار می‌بریم، مثلاً برای نمایش $l=0$ از نماد s ، برای $l=1$ از p ، و غیره استفاده می‌کنیم. فهرست این نمادها را در جدول ۶.۲ نشان داده‌ایم.

هنگامی که سعی می‌کنیم جهت l را پیدا کنیم، با مشکل اصل عدم قطعیت روبه‌رو می‌شویم. بدین معنی که بنا بر مکانیک کوانتومی، می‌توانیم در هر لحظه فقط یکی از مؤلفه‌های l را دقیقاً تعیین کنیم. همین که مقدار یکی از این مؤلفه‌ها را به دست آوردیم، دو مؤلفه دیگر آن کاملاً نامعین می‌شوند. (این نتیجه، محدودیتی بنیادی است که هیچ شگرد و ترفندی هم نمی‌تواند بر آن چیره شود. همان نفس عمل اندازه‌گیری یک مؤلفه است که عدم قطعیت در دو مؤلفه دیگر را موجب می‌شود. هنگامی که l_x را اندازه‌گیری می‌کنیم، در مقادیر l_y و l_z باعث ایجاد عدم قطعیت می‌شویم. سپس وقتی که l_y را برای همان سیستم اندازه می‌گیریم، شناسایی قبلی مان از l_x اعتبارش را از دست می‌دهد و عدم قطعیت در آن وارد می‌شود.) قرارداد متداول این است که مؤلفه z تکانه زاویه‌ای l را برای اندازه‌گیری انتخاب می‌کنیم و $\langle l_z \rangle$ را به شرحی که در بالا گفته شد، چنین به دست می‌آوریم

جدول ۶.۲ نمادهای طیف‌نمایی.

مقدار l	۰	۱	۲	۳	۴	۵	۶
نماد	s	p	d	f	g	h	i

$$\langle l_z \rangle = \hbar m_l \quad (۶۸.۲)$$

که در آن $m_l = 0, \pm 1, \pm 2, \dots, \pm l$ است. توجه کنید که

$$|\langle l_x \rangle| < |\mathbf{l}| = \hbar \sqrt{l(l+1)}$$

است، یعنی مؤلفه z بردار تکانه زاویه‌ای همیشه از طول بردار کوچکتر است. اگر $|\langle l_x \rangle| = |\mathbf{l}|$ مجاز بود، آنگاه شناسایی دقیق هرسه مؤلفه \mathbf{l} امکان پذیر می‌شد (اگر \mathbf{l} در راستای محور z قرار می‌گرفت، مؤلفه‌های l_x و l_y صفر می‌شد). نمایش برداری متداول را برای این عدم قطعیت در شکل ۱۸.۲ نشان داده‌ایم. در حالی که \mathbf{l} با حرکت تقدیمی به دور محور z در گردش است، l_z ثابت می‌ماند ولی l_x و l_y همیشه در حال تغییرند.

توصیف کامل حالت الکترون در یک اتم مستلزم یک عدد کوانتومی جدید به نام عدد کوانتومی تکانه زاویه‌ای ذاتی یا اسپین است. عدد کوانتومی اسپین برای الکترون برابر $s = 1/2$ است. بزرگی اسپین را به همان روش محاسبه تکانه زاویه‌ای می‌توان تعیین کرد (هرچند که این کمیت را نمی‌توان بر حسب متغیرهای کلاسیک نمایش داد، چون برای آن هیچ مشابه کلاسیکی سراغ نداریم). پس می‌نویسیم

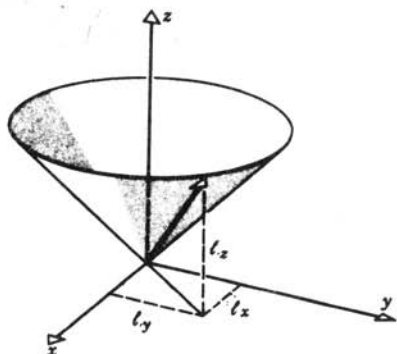
$$\langle s^2 \rangle = \hbar^2 s(s+1) \quad (۶۹.۲)$$

$$\langle s_z \rangle = \hbar m_s \quad \left(m_s = \pm \frac{1}{2} \right) \quad (۷۰.۲)$$

در اغلب موارد آسانتر است که اسپین را به صورت بردار \mathbf{s} با دو مؤلفه $\hbar(1/2)$ در راستای z در نظر بگیریم.

عدد کوانتومی اسپین نوکلئونها هم مانند الکترونها برابر $1/2$ است. تکانه زاویه‌ای کل نوکلئونی که با تکانه زاویه‌ای مداری \mathbf{l} و اسپین \mathbf{s} در یک پتانسیل مرکزی در حرکت است، چنین به دست می‌آید

$$\mathbf{j} = \mathbf{l} + \mathbf{s} \quad (۷۱.۲)$$



شکل ۱۸.۲ بردار \mathbf{l} حول محور z به سرعت در گردش است. بدین ترتیب مؤلفه l_z ثابت است، ولی مؤلفه‌های l_x و l_y متغیرند.

خواص و رفتار تکانه زاویه‌ای کل \mathbf{j} همانند خواصی است که در مورد \mathbf{l} و \mathbf{s} دیدیم:

$$\langle \mathbf{j}^2 \rangle = \hbar^2 j(j+1) \quad (۷۲.۲)$$

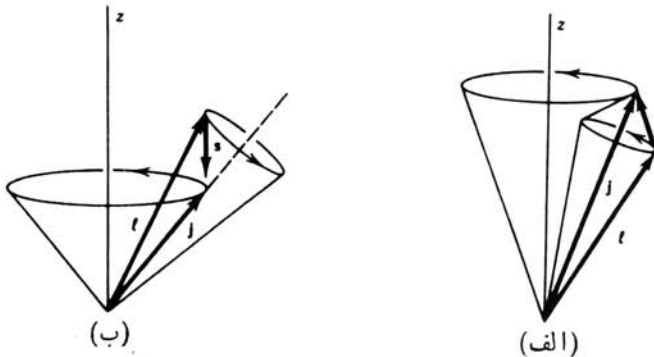
$$\langle j_z \rangle = \langle l_z + s_z \rangle = \hbar m_j \quad (۷۳.۲)$$

که در آنها $j, j-1, \dots, -j+1, -j$ و $m_j = -j, -j+1, \dots, j-1, j$ عدد کوانتومی تکانه زاویه‌ای کل است. با توجه به معادلات (۷۰، ۷۳ و ۷۴.۲) داریم

$$m_j = m_l + m_s = m_l \pm \frac{1}{2} \quad (۷۴.۲)$$

چون m_l همیشه عددی درست است، m_j عددی نیم‌درست ($\dots, \pm 5/2, \pm 3/2, \pm 1/2$) و بنا بر این j هم عددی نیم‌درست خواهد شد. برای جفت‌شدگی برداری معادله (۷۱.۲) فقط دو مقدار j ، یعنی $(l+1/2)$ و $(l-1/2)$ ، متصور است که آنها را در شکل ۱۹.۲ نشان داده‌ایم.

معمولاً مقدار j را در نمادگذاری طیف‌نمایی به صورت شاخص زیر نشان می‌دهیم. مثلاً برای $l=1$ (حالت‌های p) دو مقدار j خواهیم داشت که عبارت‌اند از $l+1/2=3/2$ و $l-1/2=1/2$. این حالت‌ها را به‌صورت $p_{3/2}$ و $p_{1/2}$ نشان



شکل ۱۹.۲ تکانه زاویه‌ای کل \mathbf{j} از جفت‌شدگی تکانه زاویه‌ای مداری \mathbf{l} و تکانه زاویه‌ای اسپین \mathbf{s} حاصل می‌شود. (الف) نتیجه جفت‌شدگی $j=l+(1/2)$ است. بردارهای \mathbf{l} و \mathbf{s} و همین‌طور \mathbf{j} طولهای مشخصی دارند. مجموعه بردارهای \mathbf{l} و \mathbf{s} با حرکت تقدیمی حول \mathbf{j} در گردش است. در این جفت‌شدگی، مؤلفه‌های l_z و s_z مقادیر مشخصی ندارند. بردار \mathbf{j} با حرکت تقدیمی حول z در گردش است، و بنا بر این z مقدار مشخص خواهد داشت. (ب) مطالب فوق در مورد جفت‌شدگی $j=l-(1/2)$ نیز صادق است. در تعبیر این شکل‌ها همیشه باید به‌خاطر داشته باشیم که تمام این نمایشهای برداری که از قواعد مکانیک کوانتومی پیروی می‌کنند، در بهترین حالت نمادین و در بدترین حالت گمراه‌کننده هستند.

خواهیم داد. هنگامی که يك عدد کوانتومی دیگر هم نظیر عدد کوانتومی اصلی n (که شمارهٔ ردیف حالتها را بر حسب افزایش انرژی نشان می‌دهد) در اختیار داشته باشیم، حالت‌های مورد نظر را به صورت $2p_{3/2}$ ، $3p_{3/2}$ ، و غیره، مشخص خواهیم کرد. در مورد اتمها، اغلب آسانتر است که الکترون‌ها را در حال حرکت در مدارهای خوش تعریف با مقادیر مشخص l و m در نظر بگیریم. اما به هیچوجه روشن نیست که تصویر مشابهی از نوکلئونهای درون هسته هم قابل استفاده باشد. بنا بر این، سودمندی برجسته‌های l و m برای نوکلئونها مورد تردید است. در بحث مدل پوسته‌ای هسته در فصل ۵ این موضوع را به تفصیل بررسی خواهیم کرد.

۶.۲ پارینه

عمل پارینه در انواع دستگاه مختصات نسبت به مبدأ ایجاد انعکاس می‌کند، یعنی باعث تبدیل $\mathbf{r} \rightarrow -\mathbf{r}$ می‌شود. این بدان معنی است که در دستگاه مختصات دکارتی $x \rightarrow -x$ ، $y \rightarrow -y$ ، $z \rightarrow -z$ ، و در دستگاه مختصات کروی $r \rightarrow r$ ، $\theta \rightarrow \pi - \theta$ ، $\phi \rightarrow \phi + \pi$ تبدیل می‌شود. اگر سیستمی تحت عمل پارینه بدون تغییر بماند، در این صورت انتظار داریم که هیچ يك از خواص قابل مشاهدهٔ آن در اثر انعکاس تغییر نکند. چون مقادیری که برای کمیت‌های قابل مشاهده اندازه‌گیری می‌کنیم به $|\psi|^2$ بستگی دارد، به‌طور منطقی می‌توانیم ادعا کنیم

$$V(\mathbf{r}) = V(-\mathbf{r}) \text{ باشد، آنگاه خواهیم داشت } |\psi(\mathbf{r})|^2 = |\psi(-\mathbf{r})|^2$$

این ادعا که عکس آن هم درست است، در عرصهٔ فیزیک هسته‌ای دو پیامد بسیار مهم به شرح زیر دارد:

۱. اگر $|\psi(\mathbf{r})|^2 = |\psi(-\mathbf{r})|^2$ باشد، آنگاه داریم $\psi(-\mathbf{r}) = \pm \psi(\mathbf{r})$. یعنی عمل پارینه بر تابع موج یکی از این دو اثر را خواهد داشت. حالت $\psi(-\mathbf{r}) = +\psi(\mathbf{r})$ را پارینهٔ زوج یا مثبت، و حالت $\psi(-\mathbf{r}) = -\psi(\mathbf{r})$ را پارینهٔ فرد یا منفی می‌گویند. اگر پتانسیل $V(\mathbf{r})$ تحت عمل پارینه بدون تغییر بماند، آنگاه تابع موجهای حالت مانا باید دارای یکی از دو نوع پارینهٔ فرد یا زوج باشد. تابع موجهای با پارینهٔ آمیخته مجاز نیستند. جوابهای نوسانگر هماهنگ يك بعدی را در نظر می‌گیریم. پتانسیل $kx^2/2$ مسلماً تحت عمل پارینهٔ $x \rightarrow -x$ ناوردا می‌ماند. توانهای x در تابع موجهایی که در جدول ۱۰۲ فهرست شده‌اند، یا فقط فرد است که در این صورت پارینهٔ فرد می‌شود، یا فقط زوج است که پارینهٔ هم در آنها زوج می‌شود. چند جمله‌ایها هیچگاه به صورت آمیخته‌ای از توانهای فرد و زوج نیستند. جوابهای چاه پتانسیل متناهی را هم در اینجا مورد توجه قرار می‌دهیم. چون این چاه در فاصلهٔ بین $x = -a/2$ و $x = +a/2$ قرار دارد، پتانسیل نسبت به عمل پارینه تقارن دارد:

$V(x) = V(-x)$. بنا توجه به جوابهایی که در شکل ۸.۲ نموده شده است معلوم می‌شود که در بعضی از جوابها $\psi(-x) = \psi(x)$ و پارینه زوج است، در حالی که در جوابهای دیگر $\psi(-x) = -\psi(x)$ و پارینه فرد است. در موارد سه بعدی، در نتیجه عمل پارینه بر تابع موج Y_{lm_l} فازی به صورت $(-1)^l$ به دست می‌آید

$$Y_{lm_l}(\pi - \theta, \phi + \pi) = (-1)^l Y_{lm_l}(\theta, \phi) \quad (۷۵.۲)$$

بدین ترتیب، پتانسیلهای مرکزی که فقط به مقدار r بستگی دارند تحت تأثیر پارینه ناوردا می‌مانند و پارینه تابع موجهای مربوط به آنها ثابت است. پارینه این توابع، در صورت فرد بودن l فرد و در صورت زوج بودن l زوج است.

تابع موج سیستمی که از تعدادی ذره تشکیل شده باشد، از حاصل ضرب تابع موجهای تک تک ذرات آن به دست می‌آید. اگر سیستم از تعدادی ذره بنا پارینه زوج یا تعداد زوجی از ذرات بنا پارینه فرد تشکیل شده باشد تابع موج سیستم زوج خواهد شد، و چنانچه سیستم از تعداد فردی ذره بنا پارینه فرد تشکیل شود تابع موج آن فرد خواهد بود. بدین ترتیب به هر حالت هسته‌ای می‌توان یک پارینه مشخص، فرد یا زوج، نسبت داد. معمولاً علامت پارینه را همراه با تکانه زاویه‌ای کل حالت مورد نظر نشان می‌دهند، مثلاً به صورت $(5/2)^+$ یا $(3/2)^-$. در فصل ۱۵ طرز تعیین پارینه حالتها را به طور تجربی خواهیم دید.

۲. دومین پیامد از قاعده معکوس پارینه حاصل می‌شود. اگر بنا سیستمی روبه‌رو شویم که در آن $|\psi(\mathbf{r})|^2 \neq |\psi(-\mathbf{r})|^2$ باشد، آنگاه باید نتیجه بگیریم که $V(\mathbf{r}) \neq V(-\mathbf{r})$ است. یعنی در این صورت، سیستم نسبت به پارینه ناوردا نیست. در سال ۱۹۵۷ فرایندهای خاصی (از نوع واپاشیهای بتا) کشف شد که مقادیر اندازه‌گیری شده کمیتهای قابل مشاهده در آنها از تقارن پارینه برخوردار نبود. از سوی دیگر، هنوز هیچ شاهدی در دست نیست که برهم کنش هسته‌ای قوی یا برهم کنش الکترومغناطیسی با نقض پارینه همراه باشد. اثبات نقض پارینه در واپاشی بتا از یکی از هیجان‌انگیزترین کشفهای فیزیکی هسته‌ای بوده است که در پیدایش نظریات برهم کنشهای بنیادی بین ذرات، تأثیری عمیق و اساسی داشته است. آزمایش نقض پارینه را در بخش ۹.۹ شرح داده‌ایم.

۲.۲ آمار کوانتومی

هنگامی که از گردهمایی تعدادی ذره یک سیستم کوانتومی بزرگتر به وجود می‌آوریم (مانند مورد نوکلئونها یا موجود در یک هسته، الکترونها یا موجود در یک اتم، و اتمهای موجود در یک مولکول)، در صورتی که ذرات سیستم از همدیگر تمایز ناپذیر باشند، با اثر کوانتومی جدیدی روبه‌رو خواهیم شد. اجازه دهید که یک مورد دو ذره‌ای، مثلاً دو الکترون موجود

در اتم هلیوم، را در نظر بگیریم. فرض کنید تابع موج الکترونی که در \mathbf{r}_1 قرار دارد ψ_A ، و تابع موج الکترونی که در \mathbf{r}_2 قرار دارد ψ_B باشد. تابع موج سیستم متشکل از این دو ذره از حاصلضرب همین مؤلفه‌های تابع موج، به صورت $\psi = \psi_A(\mathbf{r}_1)\psi_B(\mathbf{r}_2)$ ، به دست می‌آید. حال اگر این دو الکترون را با هم تعویض کنیم، تابع موج جدید به صورت $\psi' = \psi_B(\mathbf{r}_1)\psi_A(\mathbf{r}_2)$ درمی‌آید. آیا آزمایشی وجود دارد که تحقق یا عدم تحقق این تعویض را آشکار سازد؟

اگر الکترونها برآستی تمایزناپذیر باشند، پاسخ این پرسش باید منفی باشد. هیچ طرح قابل مشاهده‌ای برای تمایز کردن «الکترون اول» از «الکترون دوم» وجود ندارد. بدین ترتیب، نتیجه‌ای که به دست می‌آید تا حدودی شبیه به نتیجه عمل پارته است: چگالیهای احتمال نسبت به تعویض ذرات یکسان باید ناوردا باشند. یعنی حداکثر تفاوتی که تابع موج تعویضی ψ_{21} با تابع موج اولیه ψ_{12} دارد، فقط در علامت جبری است. بنا بر این در اینجا دو حالت پیش می‌آید. اگر در تعویض ذرات علامت تغییر نکند، با تابع موج متقارن سروکار داریم که در این صورت $\psi_{12} = \psi_{21}$ می‌شود. اگر در تعویض ذرات علامت تغییر کند، تابع موج پادمقارن است و در این صورت داریم $\psi_{12} = -\psi_{21}$. تمام تابع موجهای ترکیبی برای ذرات یکسان باید یا کاملاً متقارن یا کاملاً پادمقارن باشند. تابع موجهای با «تقارن آمیخته» مجاز نیستند.

هنگامی که برای تأیید این ادعا به آزمایشگاه می‌رویم و به آزمایش دست می‌زنیم، بهره‌بندی دیگری می‌رسیم که تاکنون استثنایی در آن دیده نشده است: تابع موج ترکیبی تمام ذراتی که اسپین درست (۰، ۱، ۲، ...) دارند متقارن است، در حالی که تابع ترکیبی تمام ذرات با اسپین نیم‌درست (۱/۲، ۳/۲، ۵/۲، ...) پادمقارن است. تابعهای دو ذره‌ای ψ و ψ' که در بالا ذکر شدند نه متقارن‌اند و نه پادمقارن (یعنی ψ هیچ شباهتی با ψ' یا $-\psi'$ ندارد)، و از این رو برای نمایش تابع موجهای ترکیبی مناسب نیستند. در عوض، تابع موج ترکیبی زیر را در نظر می‌گیریم

$$\psi_{12} = \frac{1}{\sqrt{2}} [\psi_A(\mathbf{r}_1)\psi_B(\mathbf{r}_2) \pm \psi_B(\mathbf{r}_1)\psi_A(\mathbf{r}_2)] \quad (76.2)$$

اگر علامت مثبت را اختیار کنیم، آنگاه تابع موج ترکیبی نسبت به تعویض ذرات متقارن است. چنانچه علامت منفی را اختیار کنیم، نتیجه یک تابع موج پادمقارن خواهد بود. ضریب $1/\sqrt{2}$ برای بهنجار کردن موج ترکیبی در نظر گرفته شده است (فرض این است که هر یک از مؤلفه‌های موج از قبل بهنجار بوده‌اند).

هنگامی که با حالت‌های کوانتومی یکسان A و B سروکار داشته باشیم، با وضعیتی خاص روبه‌رو می‌شویم. (می‌توان A و B را به صورت مجموعه‌ای از اعداد کوانتومی در نظر گرفت.) هر گاه A و B یکسان باشند، تابع موج ترکیبی پادمقارن آنها برابر صفر می‌شود، و در نتیجه چگالی احتمال آن همواره برابر صفر است. احتمال وجود دو ذره یکسان

که اسپین نیم‌درست دارند، در حالت کوانتومی یکسان همیشه باید برابر صفر شود. البته این همان اصل طرد پاؤلی است که وضعیت خاص پر شدن زیرپوسته‌های اتمی را تعیین می‌کند. مبنای ریاضی اصل پاؤلی همین صفرشدن تابع موج پادمقارن است. در ترکیب مقارن تابع موج برابر صفر نمی‌شود، بنا بر این برای ذرات یکسانی که اسپین درست دارند هیچ مانعی نیست که حالت‌های کوانتومی یکسان داشته باشند.

در قسمتهای آینده این کتاب، اصل پاؤلی را برای نوکلئونها به‌کار می‌بریم و اهمیت آن را برای درک مدل پوسته‌ای هسته نشان می‌دهیم. همچنین برای کوآرکها که اجزای سازنده نوکلئونها و دیگر ذرات مشابه هستند، چند تابع موج پادمقارن ساده در نظر می‌گیریم.

۸.۴ گذار بین حالتها

حالتی که حقیقتاً مانا باشد، برای همیشه پایدار می‌ماند. مقادیر انتظاری کمیتهای قابل مشاهده‌ای که با استفاده از تابع موج حالت مانا محاسبه می‌شوند، در طی زمان تغییر نمی‌کنند. بویژه، مقدار انتظاری انرژی در طی زمان ثابت می‌ماند. انرژی حالت مانا دقیقاً معلوم است، و عدم قطعیت آن

$$\Delta E = \sqrt{\langle E^2 \rangle - \langle E \rangle^2} \quad (77.2)$$

برابر صفر می‌شود، زیرا در این حالت داریم $\langle E^2 \rangle = \langle E \rangle^2$. پس بنا بر رابطه هایزنبرگ، $\Delta E \Delta t \geq \hbar/2$ داریم $\Delta t = \infty$. از این رو، حالتی که انرژی دقیقاً مشخصی دارد برای همیشه پایدار است، یعنی طول عمرش در برابر واپاشی (به حالت‌های پایینتر) بینهایت است.

اکنون فرض می‌کنیم که برای این سیستم، علاوه بر پتانسیل اولیه V ، یک پتانسیل پریشنده ضعیف V' هم وارد شود. در غیاب پتانسیل V' ، می‌توانیم معادله شرودینگر را برای پتانسیل V حل کنیم و مجموعه‌ای از ویژه-حالتها ψ_n و ویژه-مقدارهای E_n را به دست آوریم. حال اگر پتانسیل اضافی ضعیف V' را هم در نظر بگیریم، معلوم می‌شود که حالتها تقریباً، اما نه دقیقاً، همان ویژه-حالت‌های قبلی ψ_n هستند که از پتانسیل V حاصل شده‌اند. این پتانسیل اضافی ضعیف موجب می‌شود که سیستم بتواند بین ویژه-حالت‌های «تقریبی» ψ_n در نوسان باشد. به همین ترتیب است که اتم هیدروژن، تحت برهم‌کنش یک میدان ضعیف الکترومغناطیسی می‌تواند گذارهایی مثلاً به صورت $1s \rightarrow 2p$ یا $2p \rightarrow 3d$ داشته باشد. در اینجا، ترزهای مختلف را به صورتی توصیف می‌کنیم که گویی همان ویژه-حالت‌های سیستم هستند.

با وجود اینکه سیستم می‌تواند از یک حالت انرژی اولیه E_i به حالت نهایی E_f گذر کند، انرژی آن باید پایسته بماند. بنا بر این انرژی کل واپاشی بساید ثابت باشد.

چنانچه انرژی حالت نهایی E_f از انرژی E_i پایینتر باشد، اختلاف انرژی $(E_i - E_f)$ در واپاشی باید به صورت تابش گسیل شود. در گذارهای بین حالت‌های برانگیخته اتمی یا هسته‌ای، اختلاف انرژی $(E_i - E_f)$ به صورت فوتون درمی‌آید.

عدم قطعیت در انرژی حالت نامانا برابر با یک مقدار غیرصفر ΔE است. این کمیت را اغلب «پهنای» آن حالت می‌نامند و معمولاً با Γ نمایش می‌دهند. طول عمر τ حالت نامانا (یا متوسط زمان دوام آن پیش از گذار به حالت پایینتر) را از طریق وابستگی آن با زمان Δt ، که در فاصله آن می‌توانیم انرژی این حالت را اندازه‌گیری کنیم، و با استفاده از اصل عدم قطعیت می‌توان بر آورد کرد. بدین ترتیب داریم $\tau \simeq \hbar / \Gamma$. احتمال واپاشی یا احتمال گذار λ (که برابر تعداد واپاشی در واحد زمان است) با عمر میانگین τ نسبت معکوس دارد

$$\lambda = \frac{1}{\tau} \quad (78.2)$$

دستیابی به روشی که بسا کاربرد آن بتوانیم λ یا τ را مستقیماً از تابع موج هسته محاسبه کنیم، بسیار مفید خواهد بود. ما با داشتن اطلاعات زیرمی‌توانیم این کار را انجام دهیم: (۱) تابع موجهای حالت‌های اولیه و نهایی، ψ_i و ψ_f ، را که به تقریب همان حالت‌های مانای پتانسیل V هستند، باید در اختیار داشته باشیم؛ (۲) برهم کنش V' که باعث گذار بین این حالت‌ها می‌شود باید معلوم باشد. محاسبه λ مفصلتر از آن است که آن را در این کتاب بررسی کنیم، ولی در هر کتاب درسی مکانیک کوانتومی پیشرفته می‌توان آن را یافت. ما در اینجا، صرفاً نتیجه محاسبه را که قاعده طلایی فرمی نامیده می‌شود می‌آوریم

$$\lambda = \frac{2\pi}{\hbar} |V'_{fi}|^2 \rho(E_f) \quad (79.2)$$

کمیت V'_{fi} به شکل یک مقدار انتظاری است

$$V'_{fi} = \int \psi_f^* V' \psi_i dv \quad (80.2)$$

در اینجا هم باید به ترتیب حالت‌های f و i در انتگرال توجه داشته باشیم. انتگرال V'_{fi} را گاهی جزء هاتریسی عملگر گذار V' می‌گویند. این اصطلاح به صورت بندی دیگری از مکانیک کوانتومی مربوط می‌شود که به جای معادله دیفرانسیل بر مانتریس مبتنی است. مخصوصاً این نکته را باید در نظر داشت که احتمال واپاشی با استفاده از مجذور جزء هاتریس گذار به دست می‌آید.

کمیت $\rho(E_f)$ را چگالی حالت‌های نهایی می‌گویند که منظور از آن، تعداد حالت‌های موجود در فاصله واحد انرژی در انرژی E_f است. دلیل استفاده از این مفهوم به این شرح

است: احتمال واپاشی وقتی که حالت نهایی E_f به صورت یک تک حالت منزوی باشد، نسبت به وقتی که تعداد بسیار زیادی حالت نهایی در یک نوار باریک در نزدیکی E_f متمرکز شود، خیلی کمتر است. در صورتی که چگالی حالتها در نزدیکی E_f زیاد باشد، حالت‌های نهایی ممکن برای گذار فراوانتر و در نتیجه احتمال گذار هم بیشتر خواهد شد. چگالی حالت‌های نهایی را بر اساس نوع واپاشی مورد نظر باید محاسبه کرد. هنگام بحث دربارهٔ سطح مقطع‌های واپاشی بتازا، واپاشی گاما، و پراکنندگی، نمونه‌هایی از این مسئله را بررسی خواهیم کرد.

مراجع مطالعات تکمیلی

کتابهای فیزیک جدید زیر که در سطحی مقدماتی تهیه شده‌اند، زمینه لازم را برای مطالعه مکانیک کوانتومی فراهم می‌آورند:

A. Beiser, *Concepts of Modern Physics*, 3rd Ed. (New York: McGraw-Hill, 1981),

K. S. Krane, *Modern Physics* (New York: Wiley, 1983),

P. A. Tipler, *Modern Physics* (New York: Worth, 1978),

ریچارد وایدنر و رابرت سلز، مبانی فیزیک نوین (مرکز نشر دانشگاهی، ۱۳۶۵).

مراجع مکانیک کوانتومی در سطح کتاب حاضر عبارت‌اند از

R. Eisberg and R. Resnick, *Quantum Physics of Atoms, Molecules, Solids, Nuclei, and Particles*, 2nd ed. (New York: Wiley, 1985),

ترجمه فارسی نیمه اول این کتاب با عنوان فیزیک کوانتومی جلد اول، در سال ۱۳۶۲ توسط مرکز نشر دانشگاهی منتشر شده است.

A. P. French and E. F. Taylor, *An Introduction to Quantum Physics* (New York: Norton, 1978),

R. B. Leighton, *Principles of Modern Physics* (New York: McGraw-Hill, 1969),

D. S. Saxon. *Elementary Quantum Mechanics* (San Francisco: Holden-Day, 1968).

کتابهای مکانیک کوانتومی پیشرفته که برای بحث تفصیلی مطالب مطرح شده در این کتاب می‌توان بدانها مراجعه کرد، عبارت‌اند از:

C. Cohen-Tannoudji, B. Diu, and F. Laloë, *Quantum Mechanics* (New York: Wiley-Interscience, 1977).

بخشی از ترجمه فارسی این کتاب تحت عنوان مکانیک کوانتومی جلد اول، در سال ۱۳۶۵ توسط مرکز نشر دانشگاهی منتشر شده است.

D. Park, *Introduction to the Quantum Theory*, 2nd ed. (New York: McGraw-Hill, 1974),

E. Merzbacher, *Quantum Mechanics*, 2nd ed. (New York: Wiley 1970).

مسائل

۰۱ معادله (۳۷.۲) را محاسبه کنید و منحنی ضریب عبور را بر حسب انرژی ذره فرودی E رسم کنید. درباره چگونگی تغییرات T بحث کنید.

۰۲ معادله (۳۹.۲) را محاسبه کنید و منحنی ضریب عبور را بر حسب E رسم کنید.

۰۳ معادله شرودینگر را با پتانسیل زیر حل کنید:

$$\begin{aligned} V(x) &= \infty & x < 0 \\ &= -V_0 & 0 < x < a \\ &= 0 & x > a \end{aligned}$$

در اینجا V_0 مثبت است و می‌خواهیم جوابها را در انرژیهای $E > 0$ تعیین کنیم. همه ضرایب نامعین را بر حسب یک ضریب منفرد به دست آورید، ولسی لازم نیست که تابع موج را بهنجار کنید. فرض کنید که ذرات از $x = -\infty$ تا بیده می‌شوند.

۰۴ تعداد حالت‌های مقید و انرژی آنها را در چاه مربعی یک بعدی متناهی، هنگامی که $P = 10$ است، تعیین کنید.

۰۵ جواب نوسانگر «نیم» هماهنگ زیر را پیدا کنید

$$\begin{aligned} V(x) &= \infty & x < 0 \\ &= \frac{1}{2} kx^2 & x > 0 \end{aligned}$$

تابع موجها و مقادیر انرژی این نوسانگر را با نوسانگر تمام هماهنگ مقایسه کنید. چرا در این مسئله، تعدادی از جوابهای نوسانگر کامل را مشاهده می‌کنیم و تعدادی را نمی‌یابیم؟

۰۶ برای حالت پایه و دو حالت برانگیخته اول در نوسانگر هماهنگ ساده یک بعدی، احتمال وجود ذره را در خارج از نقاط بازگشت کلاسیک پیدا کنید.

۰۷ (الف) مقادیر $\langle x \rangle$ و $\langle x^2 \rangle$ را برای نوسانگر هماهنگ ساده یک بعدی تعیین کنید.

(ب) مقدار $\Delta x = [\langle x^2 \rangle - \langle x \rangle^2]^{1/2}$ را در این مسئله پیدا کنید.

(ج) بدون هیچگونه محاسبه اضافی، مقادیر $\langle p_x \rangle$ و $\langle p_x^2 \rangle$ را به دست آورید. (دانهمایی: مقدار $\langle p_x^2 / 2m \rangle$ را تعیین کنید.)

(د) مقدار Δp_x و حاصلضرب $\Delta p_x \cdot \Delta x$ را به دست آورید. چرا بسته‌موجی به این

شکل را (که شکل گاوسی نامیده می شود) بسته موجی با «حد اقل عدم قطعیت» می دانند؟
 ۰۸ (الف) تابع موجها و ترازهای انرژی ذره ای را که در يك جعبه مربع - مستطیل دو بعدی محبوس است، پیدا کنید. پتانسیل ذره را به صورت زیر در نظر بگیرید

$$V(x, y) = 0 \quad -a \leq x \leq +a, \quad -b \leq y \leq +b$$

$$= \infty \quad |x| > a, \quad |y| > b$$

(ب) نموداری مشابه شکل ۱۰.۲ رسم کنید که ترازها و واکنشها را برای موارد $b = 2a$ و $b = a$ نشان دهد.

۰۹ شکل ۱۰.۲ را تا حد E_0 ادامه دهید.

۱۰ شکل ۱۱.۲ را تا حد E_0 ادامه دهید.

۱۱ برای حل معادله (۵۴.۲)، جداسازی مورد نیاز را انجام دهید.

۱۲ نشان دهید که چهار تابع موج شعاعی اول در جدول ۴.۲، جوابهای معادله شرودینگر با همان مقادیر انرژی هستند، و بهنجار بودن آنها را نیز تحقیق کنید.

۱۳ جوابهای چاه مربعی نامتناهی يك بعدی را وقتی که گستره پتانسیل، به جای از ۰ تا $+a$ ، از $-a/2$ تا $+a/2$ باشد، پیدا کنید. آیا این پتانسیل نسبت به پارامتر ناورداست؟ آیا تابع موج نسبت به پارامتر ناورداست؟ درباره انتساب پارامتر فرد و زوج به این جوابها بحث کنید.

۱۴ زاویه بین بردار تکانه زاویه ای \mathbf{L} و محور z را، وقتی که $l = 3$ است، برای تمام سمتگیریهایی ممکن پیدا کنید.

۱۵ (الف) مقادیر ممکن z را برای حالتیهای f پیدا کنید.

(ب) مقادیر متناظر m_z را پیدا کنید.

(ج) تعداد کل حالتیهای m_z را پیدا کنید.

(د) اگر به جای m_z از m_l و m_s استفاده می کردیم، تعداد حالتها چقدر می شد؟

۱۶ يك تابع موج ترکیبی معرف اسپین کل S برای مجموعه ای سه الکترونی را می توان

به صورت $\psi = \psi_1(m_{s_1})\psi_2(m_{s_2})\psi_3(m_{s_3})$ نشان داد که در آن برای هر الکترون با اسپین

$1/2$ داریم $m_s = \pm 1/2$. (الف) فهرستی از تمام تابع موجهای ممکن و تصاویر

اسپین کل آنها M_S تهیه کنید. (ب) نشان دهید که تعداد مقادیر M_S با تعداد مقادیر

مختلف اسپین کل S برابر است. (بعرضی از مقادیر S ممکن است بیش از یکبار ظاهر

شوند.) (ج) با رسم نمودارهای برداری ساده از جفت شدگیهای مختلف s_1, s_2 و

s_3 نشان دهید که می توان به تعداد S و مقادیر آنها دست یافت. (د راهنمایی: نخست

دوتا از اسپینها را با هم جفت کنید، و سپس جفت شدگی اسپین سوم را با برایندهای

دو اسپین اول در نظر بگیرید.) (د) در جفت شدگی چهار الکترون، مقادیر ممکن S و

چندتا یکی آنها را به دست آورید، و نشان دهید که تعداد حالتیهای M_S با آنچه از

فهرست تابع موجهای ممکن به دست می آید سازگاری دارد.

خواص هسته‌ها

هسته هم مانند بسیاری از سیستم‌های پیرو قوانین مکانیک کوانتومی، جسمی پیچیده و ابررآمیز است که توصیف رفتار و خواص آن خیلی دشوارتر از اجسام ماکروسکوپی است. مثلاً توصیف کامل يك هستهٔ میان-وزن ۵۰ نوکلئونی، بر حسب کلیهٔ برهم‌کنشهای بین نوکلئونهای موجود در هسته، مستلزم تعداد ۵۰! عبارت یا در حدود ۱۰۶۴ جمله است! بنابراین ما باید رهیافتی متفاوت در پیش بگیریم و سعی کنیم که مشخصات کلی هر سیستم هسته‌ای را به عنوان يك واحد جداگانه شناسایی کنیم. اکنون باید پرسید که آیا خواصی فیزیکی سراغ داریم که با استفاده از آنها بتوانیم توصیف کاملی از هسته به دست دهیم؟ هسته‌ها را به کمک تعدادی از پارامترهای هسته‌ای تا حد قابل توجهی می‌توان توصیف کرد. این پارامترها عبارت‌اند از: بار الکتریکی، شعاع، جرم، انرژی بستگی، تکانهٔ زاویه‌ای، پارته، گشتاور دو قطبی مغناطیسی، گشتاور چار قطبی الکتریکی، و انرژی حالت‌های برانگیخته. اینها خواص استاتیکی هسته‌ها هستند که در همین فصل آنها را بررسی می‌کنیم. در فصل‌های بعدی خواص دینامیکی هسته‌ها، از جمله احتمال واپاشی و احتمال واکنش هسته‌ها را بررسی خواهیم کرد. درک خواص استاتیکی و دینامیکی و تفسیر آنها بر پایهٔ برهم‌کنش بین تک‌تک نوکلئونهای موجود در هسته، وظیفه‌ای بس خطیر است که هر متخصص فیزیک هسته‌ای باید با آن دست و پنجه نرم کند.

۱.۳ شعاع هسته

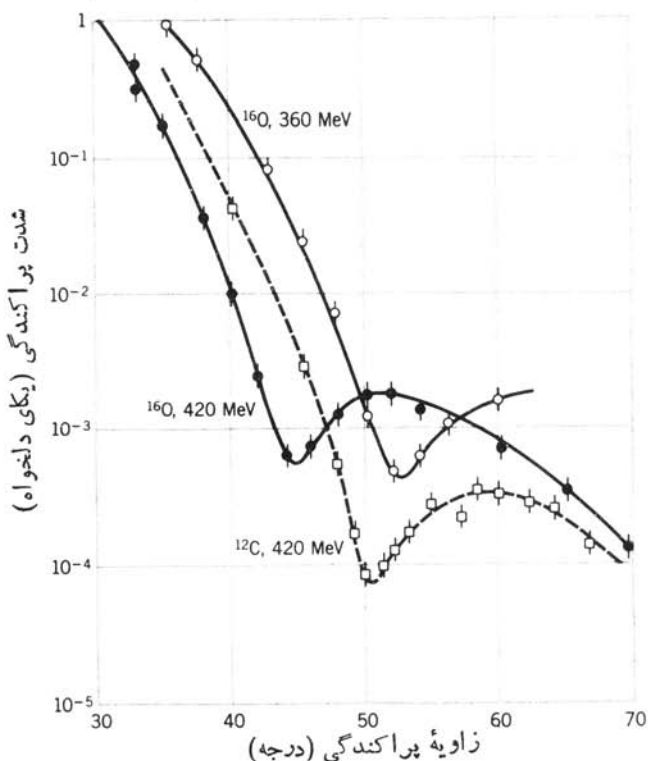
شعاع هسته هم مانند شعاع اتم، کمیتی دقیقاً تعریف شده نیست. هیچیک از این دو (یعنی اتم و هسته) را نمی‌توان به صورت کره‌هایی جامد با مرزهای مشخص تصور کرد. در هر دو مورد، پتانسیل کولنی که عامل پیوند اتمی و توزیع بار الکترونیهاست تا بینهایت ادامه دارد، هر چند که مقدار آن در فواصل دورتر از شعاع اتمی (10^{-10} m) فوق‌العاده ناچیز است. چیزی که در اینجا نیاز داریم این است که با به دست دادن يك «تعریف عملیاتی» مقصودمان را از شعاع اتم روشن کنیم. برای نمونه، می‌توانیم شعاع اتم را به صورت مقدار متوسط بزرگترین شعاع حالت‌های الکترونی مختلف اتم تعریف کنیم. اما اندازه‌گیری چنین شعاعی فوق‌العاده دشوار است و به همین دلیل از تعاریفی عملیتر، مانند فاصله بین اتمها در يك ترکیب یونی از اتمهای مورد نظر، استفاده می‌شود. این تعریف نیز مشکلاتی دارد: وقتی که اتم تحت بررسی را در ترکیب‌های مختلف یا در حالت‌های ظرفیتی مختلف در نظری می‌گیریم، شعاع‌های متفاوتی برای آن به دست می‌آوریم.

وضع هسته‌ها، از جهاتی بهتر و از جهات دیگری بدتر است. چنانکه بزودی خواهیم دید، وضعیت بستگی فضایی چگالی نوکلئونها و پتانسیل هسته‌ای مشابه یکدیگر است، بدین معنی که چگالی و پتانسیل تافواصل کوتاهی توزیع نسبتاً ثابت دارند و آنگاه سرعت به صفر میل می‌کنند. بنا بر این تا حدودی طبیعی است که شکل هسته را با دو پارامتر مشخص کنیم: شعاع میانگین که نشانگر فاصله‌ای از مرکز هسته است که چگالی نوکلئونی در آن به نصف مقدار مرکزی آن کاهش می‌یابد، و «ضخامت پوست» که در طی آن چگالی نوکلئونی از مقدار نزدیک به حداکثر به مقدار نزدیک به حداقل کاهش می‌یابد. (در بخش ۵ همین فصل، پارامترسومی را هم معرفی خواهیم کرد که برای شناسایی هسته‌های غیر کروی لازم می‌شود.)

مسائلی که در اینجا با آنها روبه‌رو می‌شویم، به تعیین دقیق نوع کمیتی که با توزیع مورد نظر توصیف می‌شود مربوط است. مثلاً شعاعی که اندازه‌گیری می‌کنیم، به نوع آزمایشی که برای تعیین شکل هسته انجام می‌دهیم بستگی دارد. در بعضی آزمایشها نظیر پراکندگی الکترونیهای پرانرژی، پرتوهای ایکس موثونی، انتقال ایزوتوپی پرتو ایکس و تابش پتیکتی، و اختلاف انرژی هسته‌های آینه‌ای، برهم‌کنش کولنی بین يك ذره باردار و هسته را اندازه‌گیری می‌کنیم. پس کمیت مورد اندازه‌گیری در این آزمایشها، توزیع بار هسته‌ای است (این توزیع عمده‌تاً توزیع پروتونها و اندکی هم توزیع نوترونها را، به خاطر ساختار داخلی‌شان، شامل می‌شود). در آزمایشهای دیگر نظیر پراکندگی رادرفورد، واپاشی آلفاها، و پرتوهای ایکس پیونی، برهم‌کنش هسته‌ای قوی بین ذرات موجود در هسته اندازه‌گیری می‌شود، و توزیع تعیین شده توزیع نوکلئونهاست که توزیع ماده هسته‌ای نامیده می‌شود.

توزیع بار هسته‌ای

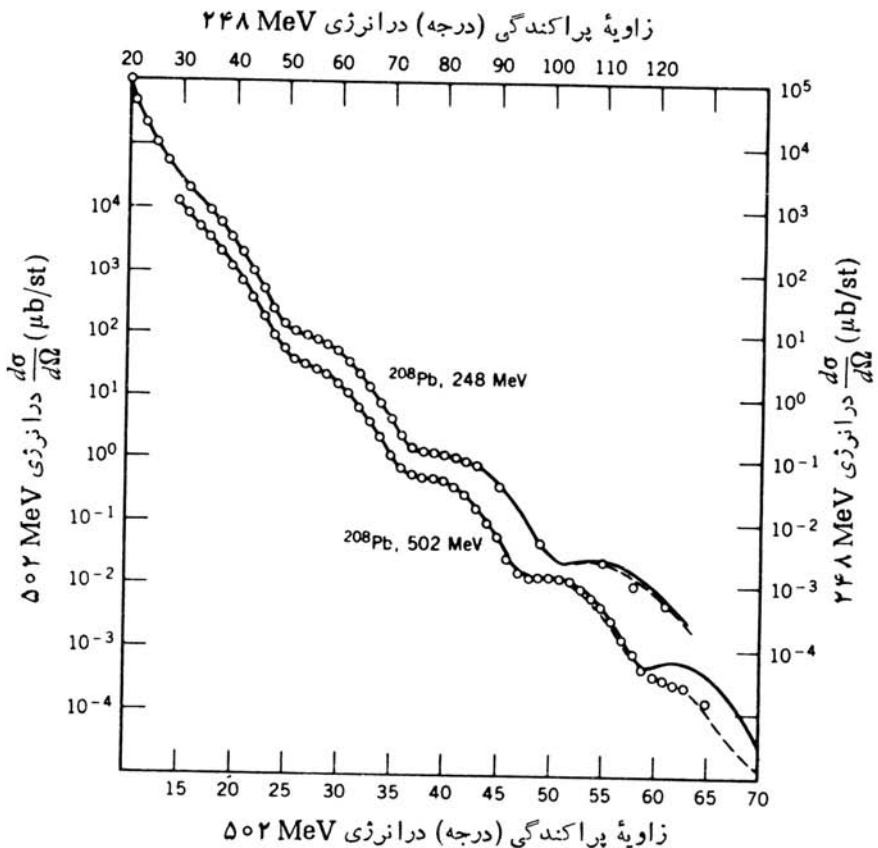
روش معمولی تعیین اندازه و شکل جسم، بررسی تابش پراکنده شده توسط آن جسم است (و این درست همان کاری است که در نگاه کردن به یک جسم یا عکسبرداری از آن انجام می‌دهیم). برای اینکه بتوانیم جسم و جزئیات آن را ببینیم باید طول موج تابش مورد استفاده از ابعاد جسم کوچکتر باشد، چه در غیر این صورت اثرات پراش تمام یا بخشی از تصویر جسم را محو خواهد کرد. تابش مورد نیاز برای هسته‌هایی به ابعاد حدود 10 fm باید دارای طول موج $\lambda \lesssim 10 \text{ fm}$ یا تکانه $p \gtrsim 100 \text{ MeV}/c$ باشد. باریکه‌های الکترونی با انرژی 100 MeV تا 1 GeV را با استفاده از شتابدهنده‌های پراانرژی نظیر شتابدهنده خطی استفاده می‌توان تولید کرد، و بررسی و تحلیل آنها نیز نیازمند طیف‌سنجی دقیقی است که بتواند فقط الکترونهای پراکنده شده از هدفهای هسته‌ای خاصی را آشکارسازی کنند. نمونه‌ای از نتایج چنین آزمایشی را در شکل ۱۰۳ نشان داده‌ایم. در این شکل، اولین کمینه منحنی سطح مقطع راکه مشابه نقش پراش است به وضوح مشاهده می‌کنیم. اولین کمینه نقش پراش برای پراش از یک قرص دایره‌ای به قطر D باید تحت زاویه



شکل ۱۰۳ پراکنندگی الکترون از هدفهای ^{12}C و ^{16}O . شکل سطح مقطع تا حدودی مشابه نقش پراش حاصل از امواج نوری است.

برآوردی که از شعاع هسته در این آزمایش به دست می‌آید عبارت است از 26 fm برای ^{16}O و 23 fm برای ^{12}C . مقادیر این برآوردها خیلی تقریبی است، زیرا پتانسیل پراکندگی را باید يك مسئله سه بعدی در نظر گرفت که فقط به طور تقریبی با پراش حاصل از يك قرص دوبعدی قابل مقایسه است. نتایج حاصل از پراکندگی الاستیک از يك هسته سنگین، ^{208}Pb ، را در شکل ۲۰۳ نشان داده‌ایم. در منحنی پراش - مانند سطح مقطع پراکندگی، چندین کمینه دیده می‌شود. علت اینکه این کمینه‌ها مانند کمینه‌های پراش نورتابیده شده بر قرص کدر به صفر نمی‌رسند، این است که هسته مرز دقیقاً مشخصی ندارد.

اجازه دهید که این مسئله را به صورت کمی تری بررسی کنیم. تابع موج اولیه الکترون که ذره‌ای آزاد با تکانه $\mathbf{p}_i = \hbar \mathbf{k}_i$ محسوب می‌شود، به شکل $e^{i\mathbf{k}_i \cdot \mathbf{r}}$ است. الکترون



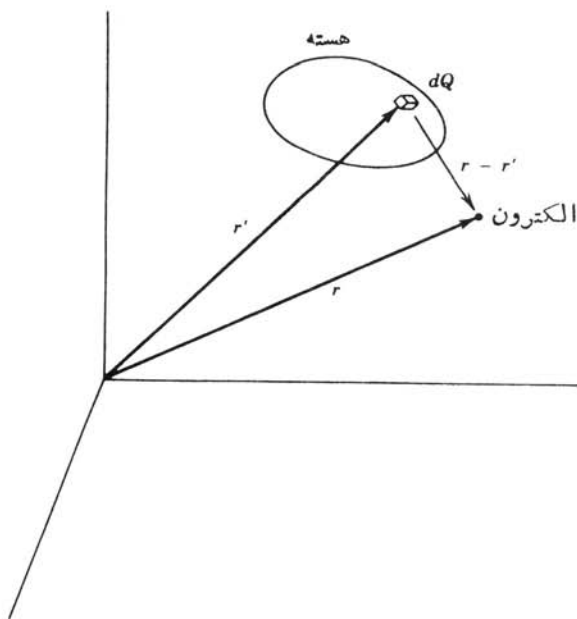
شکل ۲۰۳ پراکندگی الاستیک الکترونها از هدف ^{208}Pb . توجه داشته باشید که مقیاسهای افقی متنظر با دومقدار انرژی باهم تفاوت دارند. در این آزمایش هم رفتار پراش - مانند دیده می‌شود، اما کمینه‌ها به صفر نمی‌رسند.

پراکنده را هم می‌توان بدصورت ذره‌ای آزاد با تکانه $\mathbf{p}_f = \hbar \mathbf{k}_f$ و تابع موج $e^{i\mathbf{k}_f \cdot \mathbf{r}}$ در نظر گرفت. برهم‌کنشی که موج اولیه را به موج پراکنده تبدیل می‌کند از پتانسیل $V(r)$ سرچشمه می‌گیرد و طبق معادله (۸۰.۲)، احتمال گذار با مربع کمیت زیرمتناسب می‌شود

$$F(\mathbf{k}_i, \mathbf{k}_f) = \int \psi_f^* V(r) \psi_i dv \quad (10.3)$$

$$F(\mathbf{q}) = \int e^{i\mathbf{q} \cdot \mathbf{r}} V(r) dv \quad (20.3)$$

در اینجا ثابت بهنجارش را باید چنان انتخاب کرد که $F(0) = 1$ شود. کمیت $\mathbf{q} = \mathbf{k}_i - \mathbf{k}_f$ همان تغییر تکانه الکترون پراکنده است. برهم‌کنش $V(r)$ به چگالی بار هسته‌ای $Zep_e(\mathbf{r}')$ بستگی دارد که در آن بردار مکان نقطه‌ای از هسته و ρ_e توزیع بار هسته است. چنانکه در شکل ۳.۳ دیده می‌شود، انرژی پتانسیل الکترونی که در \mathbf{r} قرار دارد بر اثر جزء بار dQ مستقر در \mathbf{r}' عبارت است از



شکل ۳.۳ نمایش هندسی آزمایش پراکندگی. مبدأ مختصات را دلخواه در نظر گرفته‌ایم. بردار مکان \mathbf{r}' جای جزء بار dQ را در داخل هسته مشخص می‌کند، و بردار \mathbf{r} مکان الکترون را در همان دستگاه مختصات نشان می‌دهد.

$$dV = -\frac{e dQ}{4\pi\epsilon_0 |\mathbf{r} - \mathbf{r}'|}$$

$$= -\frac{Ze^x \rho_e(\mathbf{r}') dv'}{4\pi\epsilon_0 |\mathbf{r} - \mathbf{r}'|} \quad (۳.۳)$$

برای تعیین انرژی کل برهم کنش $V(r)$ باید از مقدار فوق برای تمام مقادیر dQ در داخل هسته انتگرال گیری کرد

$$V(r) = -\frac{Ze^x}{4\pi\epsilon_0} \int \frac{\rho_e(\mathbf{r}') dv'}{|\mathbf{r} - \mathbf{r}'|} \quad (۴.۳)$$

با قرار دادن $\mathbf{q} \cdot \mathbf{r} = qr \sin \theta$ در معادله (۴.۳) و انتگرال گیری روی \mathbf{r} ، نتیجه پس از بهنجارشدن به صورت زیر درمی آید

$$F(\mathbf{q}) = \int e^{iq \cdot \mathbf{r}'} \rho_e(\mathbf{r}') dv' \quad (۵.۳)$$

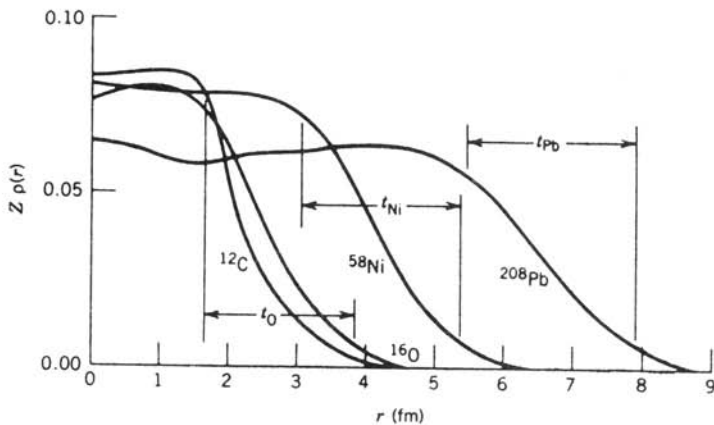
چنانچه $\rho_e(\mathbf{r}')$ فقط به مقدار r' (و نه به θ' یا ϕ') بستگی داشته باشد، خواهیم داشت

$$F(q) = \frac{4\pi}{q} \int \sin qr' \rho_e(r') r' dr' \quad (۶.۳)$$

این کمیت فقط تابع q ، یعنی بزرگی \mathbf{q} ، است. چون پراکندگی را از همان آغاز الاستیک در نظر گرفتیم، داریم $|\mathbf{p}_i| = |\mathbf{p}_f|$ و q صرفاً تابعی از زاویه پراکندگی α (زاویه بین \mathbf{p}_f و \mathbf{p}_i) است. اندکی محاسبه برداری نشان می‌دهد که $q = (2p/\hbar) \sin \alpha/2$ که در آن p تکانه الکترون است. اندازه گیری احتمال پراکندگی به صورت تابعی از α ، بستگی معادله (۶.۳) را به مقدار q مشخص می‌کند. کمیت $F(q)$ را عامل شکل می‌گویند، و معکوس عددی معادله (۶.۳) که در واقع همان تبدیل معکوس فوری به است چگالی $\rho_e(r')$ را به دست می‌دهد.

نتایج این روش محاسباتی را برای چند هسته مختلف در شکل ۴.۳ نشان داده‌ایم. نکته مهمی که با توجه به این منحنیها حاصل می‌شود این است که چگالی بار هسته‌ای در مرکز تمام هسته‌ها تقریباً مقداری ثابت است. نوکلئونها ظاهراً در مرکز هسته مترکم نمی‌شوند، بلکه توزیع آنها در تمام حجم هسته نسبتاً ثابت می‌ماند. (نتیجه‌ای که از اندازه گیریهای توزیع ماده هسته‌ای به دست می‌آید نیز همین امر را تأیید می‌کند.) بنابراین، نتیجه می‌گیریم که تعداد نوکلئونهای موجود در واحد حجم هسته تقریباً ثابت است

$$\frac{A}{(4/3)\pi R^3} \sim \text{const.} \quad (۷.۳)$$



شکل ۴.۳ نمونه‌هایی از توزیع شعاعی بار در هسته که با استفاده از پراکندگی الکترونها حاصل شده است. ضخامت پوست t برای هسته‌های O ، Ni و Pb نشان داده شده است که مقدار آن ثابت و در حدود ۲۳ fm است. تغییر چگالی بار مرکزی از سبکترین تا سنگینترین هسته، چندان زیاد نیست.

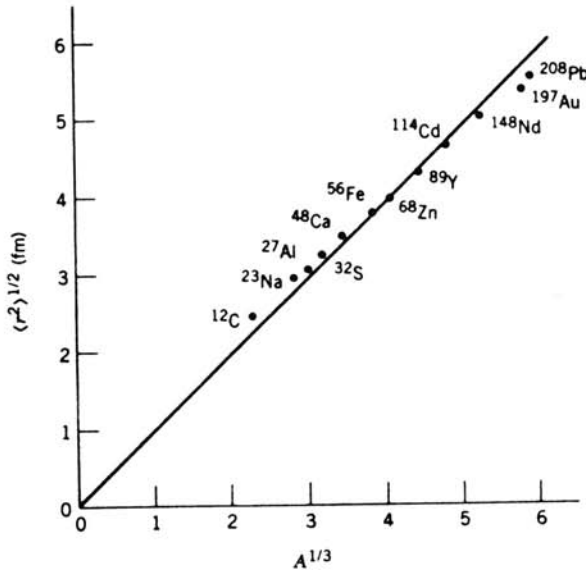
که در آن R شعاع میانگین هسته است. از این رو داریم $R \propto A^{1/3}$ و با تعریف ثابت تناسب R_0 می‌توان نوشت

$$R = R_0 A^{1/3} \quad (۸.۳)$$

با توجه به اندازه گیریهای پراکندگی الکترون، نظیر آنچه در شکل ۴.۳ نشان داده شده است، معلوم می‌شود که $R_0 \approx ۱.۲\text{ fm}$ است. تمام جزئیات مربوط به توزیع بار هسته‌ای را می‌توان از این اندازه گیریها به دست آورد.

شکل ۴.۳ میزان پخش شدگی سطح هسته‌ها (و نامشخص بودن مرز آنها) را هم نشان می‌دهد. چگالی بار تا نقطه معینی تقریباً ثابت می‌ماند و آنگاه به کندی به صفر میل می‌کند. فاصله‌ای که در طی آن چگالی بار به صفر می‌رسد، تقریباً مستقل از اندازه هسته است و معمولاً مقداری ثابت در نظر گرفته می‌شود. ضخامت پوست را به صورت پارامتر t چنان تعریف می‌کنیم که در طی آن چگالی بار هسته از ۹۰% مقدار مرکزی به ۱۰% مقدار آن کاهش می‌یابد. مقدار t تقریباً برابر ۲۳ fm است.

ارتباط کمی بین شعاع هسته و عدد جرمی در شکل ۵.۳ که مبتنی بر نتایج پراکندگی الکترون است، به صورت آشکارتری نموده شده است. در این شکل، ریشه میانگین مربعی شعاع $\langle r^2 \rangle^{1/2}$ مستقیماً از توزیع الکترونها پراکنده به دست آمده است. برای کره‌ای که به طور یکنواخت باردار باشد، داریم $\langle r^2 \rangle = (۳/۵)R^2$ که در آن R شعاع کره است. شکل ۵.۳ نشان می‌دهد که بستگی خطی بین R و $A^{1/3}$ به طور تقریبی از سبکترین هسته



شکل ۵.۳ ریشه میانگین مربعی شعاع هسته‌ها که از آزمایش‌های پراکندگی الکترون به دست آمده است. با توجه به شیب خط داریم $R_0 = 1.23 \text{ fm}$. این خط، از برازش حقیقی نقاط تجربی حاصل نشده است، بلکه آن را از مبدأ مختصات عبور داده‌ایم تا معادله $R = R_0 A^{1/3}$ برقرار شود. خطای آزمایش نوعاً از قطر نقاط تجربی ($\pm 0.1 \text{ fm}$) کوچکتر است.

تاسنگین‌ترین هسته اعتبار دارد. با توجه به شیب خط معلوم می‌شود که $R_0 = 1.23 \text{ fm}$ است. چگالی بار هسته‌ای را با مطالعه دقیق گذارهای اتمی هم می‌توان تعیین کرد. در حال معادله شرودینگر برای اتم تک‌الکترونی، همیشه فرض می‌شود که الکترون تحت جاذبه یک هسته نقطه‌ای با پتانسیل $V(r) = -Ze^2 / 4\pi\epsilon_0 r$ قرار دارد. چون هسته‌های واقعی به صورت نقطه نیستند، تابع موج الکترون می‌تواند به $r < R$ نفوذ کند، و بدین گونه الکترون قسمتی از اوقاتش را درون توزیع بار هسته‌ای می‌گذراند، و در آنجا برهم‌کنشی کاملاً متفاوت با پتانسیل کولنی را تجربه می‌کند. بویژه برای هسته‌ای که شعاع غیر صفر دارد، وقتی که $r \rightarrow 0$ ، پتانسیل $V(r)$ به سوی بینهایت میل نخواهد کرد. به‌طور تقریبی می‌توان هسته را کره‌ی باردار یکنواختی به شعاع R تصور کرد که انرژی پتانسیل الکترون در فواصل $r \ll R$ عبارت است از

$$V'(r) = -\frac{Ze^2}{4\pi\epsilon_0 R} \left\{ \frac{3}{2} - \frac{1}{2} \left(\frac{r}{R} \right)^2 \right\} \quad (9.3)$$

و این در حالی است که انرژی پتانسیل الکترون در فواصل $r \gg R$ به همان شکل پتانسیل هسته نقطه‌ای است.

انرژی کل E الکترون در حالت ψ_n برای يك هسته نقطه‌ای، تا حدودی به مقدار انتظاری انرژی پتانسیل بستگی دارد

$$\langle V \rangle = \int \psi_n^* V \psi_n dv \quad (10.3)$$

که در آن V انرژی پتانسیل کولنی هسته نقطه‌ای است. اگر (در تقریب اول) فرض کنیم که تبدیل هسته نقطه‌ای به هسته کروی با بار یکنواخت تغییر قابل توجهی در تابع موج الکترون ψ_n به وجود نمی‌آورد، آنگاه انرژی کل E' الکترون در حالت از هسته کروی به مقدار انتظاری پتانسیل V' بستگی پیدا می‌کند

$$\langle V' \rangle = \int_{r < R} \psi_n^* V' \psi_n dv + \int_{r > R} \psi_n^* V \psi_n dv \quad (11.3)$$

که در آن انتگرال دوم فقط به انرژی پتانسیل $1/r$ بستگی دارد. بنابراین، اثر هسته کروی این است که انرژی حالت‌های الکترون را به نسبت هسته نقطه‌ای به مقدار $\langle V' \rangle - \langle V \rangle = E' - E = \Delta E$ تغییر می‌دهد. اینکه اختلاف انرژی از تفاضل $\langle V' \rangle - \langle V \rangle$ به دست بیاید، از این فرض ناشی می‌شود که تابع موجها تغییر نکرده‌اند. در این صورت، جملات مربوط به انرژی جنبشی در E و E' یکسان خواهند بود. با استفاده از تابع موج هیدروژنی ۱s در جدول ۵.۲ حاصل می‌شود

$$\Delta E = \frac{e^2}{4\pi\epsilon_0} \frac{Z^4}{a_0^3} \int_0^R e^{-2Zr/a_0} \left\{ \frac{1}{r} - \frac{3}{2R} + \frac{1}{2} \frac{r^2}{R^3} \right\} r^2 dr \quad (12.3)$$

عامل نمایی در زیر انتگرال تقریباً برابر واحد است، زیرا $R/a_0 \simeq 10^{-5}$ می‌شود، و با توجه به جملات باقیمانده خواهیم داشت

$$\Delta E = \frac{2}{5} \frac{Z^4 e^2 R^2}{4\pi\epsilon_0 a_0^3} \quad (13.3)$$

این مقدار ΔE مابه‌التفاوت انرژی بین حالت ۱s در اتمی با هسته «نقطه‌ای» و حالت ۱s در اتم با هسته کروی باردار یکنواخت به شعاع R است. هسته کروی باردار یکنواخت با شعاع R ، چنانکه شکل ۴.۳ نشان می‌دهد، تقریب خوبی از هسته واقعی است. هرگاه چشمه‌ای از اتمها با هسته‌های «نقطه‌ای» در اختیار داشته باشیم، می‌توانیم ΔE را اندازه‌گیری کنیم و از آنجا R را به دست آوریم! چون چنین هسته‌هایی وجود ندارند، راه حل مناسب بعدی این است که E' را از طریق اندازه‌گیری (مثلاً پرتوهای ایکس K) تعیین کنیم و سپس با استفاده از تابع موج اتم در حالت ۱s مقدار E متناظر به هسته نقطه‌ای را محاسبه کنیم. متأسفانه تابع موجهای اتم با دقت کافی در اختیار نیست که این کار انجام شود. مابه‌التفاوت ΔE خیلی کوچک و شاید در حدود $10^{-4} E$ است، و تابع موجهای ۱s

اتمهای هیدروژنی برای محاسبه E با دقت ۱ قسمت در ۱۰۴ کافی نیست (عوامل جنبی نظیر اثرات نسبیتی و حضور الکترونهاى ديگر در اتم هم بر مقدار انرژی حالت ۱s تأثیر می‌گذارند). بنابراین، با استفاده از يك اندازه‌گیری منفرد انرژی پرتوایکس K نمی‌توان شعاع هسته را به دست آورد.

به جای اندازه‌گیری منفرد، اجازه دهید انرژی پرتوایکس K (حاصل از گذار الکترونی ۱s \rightarrow ۲p) را در دو ایزوتوپ مجاور با اعداد جرمی A و A' اندازه‌گیری و آنها را با هم مقایسه کنیم. اگر این انرژیها را با $E_K(A)$ و $E_K(A')$ نمایش دهیم، داریم

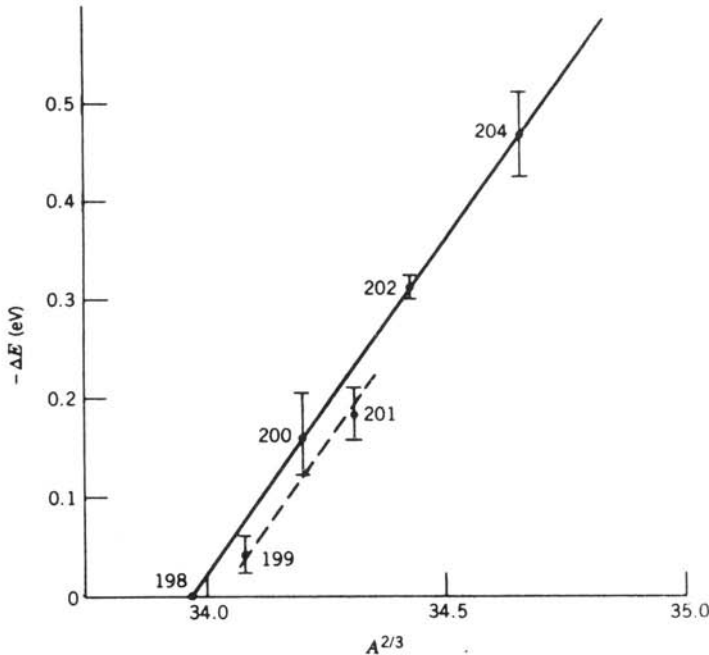
$$E_K(A) - E_K(A') = E_{2p}(A) - E_{1s}(A) - E_{2p}(A') + E_{1s}(A') \quad (14.3)$$

اگر اختلاف انرژی ۲p را ناچیز بگیریم (یاد آور می‌شود که بنا بر آنچه در فصل ۲ دیدیم، تابع موجهای p الکترون در $r=0$ ناپدید می‌شوند)، اختلاف انرژی حالت‌های باقیمانده ۱s به اختلاف مقادیر ΔE حاصل از معادله (۱۳.۳) تبدیل می‌شود، زیرا $E_{1s} \equiv E' = E + \Delta E$ است و مقادیر E هسته «نقطه‌ای» برای ایزوتوپهای A و A' یکسان خواهد بود. پس خواهیم داشت

$$\begin{aligned} E_K(A) - E_K(A') &= \Delta E(A') - \Delta E(A) \\ &= -\frac{2}{5} \frac{Z^4 e^2}{4\pi\epsilon_0} \frac{1}{a_0^3} R_0^3 (A^{2/3} - A'^{2/3}) \quad (15.3) \end{aligned}$$

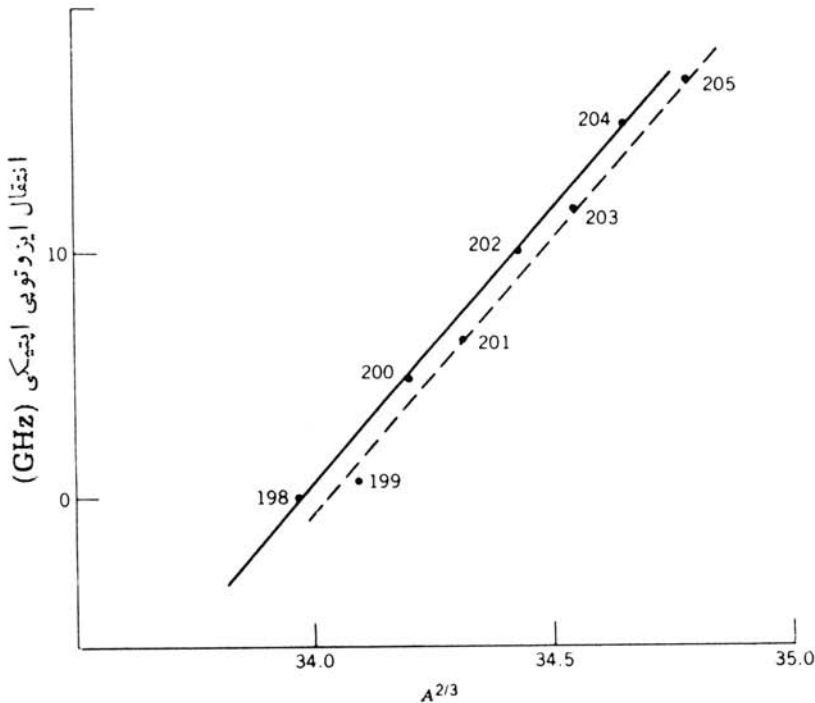
کمیت $E_K(A) - E_K(A')$ را انتقال ایزوتوپی پرتوایکس K می‌نامند. از ترسیم منحنی تغییرات این کمیت بر حسب $A^{2/3}$ برای تعدادی ایزوتوپ با مقادیر مختلف A و مقایسه همه آنها با A' یکسان، خط راستی حاصل می‌شود که شیب آن مقدار R_0 را به دست می‌دهد. شکل ۶.۳ نمونه‌ای از این نوع منحنی را برای چند ایزوتوپ Hg نشان می‌دهد. تناسب بین انتقال ایزوتوپی و مقدار $A^{2/3}$ در این شکل بسیار خوب است. اما مقدار R_0 حاصل از شیب خط مقدار مناسبی نیست، زیرا تابع موج ۱s مورد استفاده در معادله (۱۲.۳) نماینده خیلی خوبی از تابع موج حقیقی ۱s نیست. برای مثال، مقادیر محاسبه شده انرژی پرتوایکس K در حدود ۱۰ درصد کمتر از مقادیر مشاهده شده است. چنانچه در محاسبات تفصیلی الکترون ۱s اثرات نسبیتی و اثرات حضور الکترونهاى ديگر را در اتم در نظر بگیریم، رابطه واقع بینانه تری بین شیب شکل ۶.۳ و مقدار R_0 به دست می‌آید. مقادیر حاصل برای R_0 در گستره ۱۲۲ fm قرار دارند، و با نتایج حاصل از آزمایشهای پراکندگی الکترون سازگارند.

انتقال ایزوتوپی را به کمک تابش اپتیکی در آنها (گذارهای بین پوسته‌های بیرونی الکترون که منجر به تولید نور مرئی می‌شود) هم می‌توان اندازه‌گیری کرد. چون این مدارهای الکترونی نسبت به مدار ۱s خیلی دورتر از هسته قرار می‌گیرند، انتقال حاصل از انتقال‌گیری تابع موج آنها در حجم هسته که نظیر معادله (۱۲.۳) است، خیلی کوچکتر از انتقال الکترونهاى درونی ۱s خواهد بود. در فصل ۲ نشان دادیم که حد تابع موجهای



شکل ۶.۳ انتقال ایزوتوپی پرتوایکس K در Hg. انرژی پرتوایکس K در Hg در حدود ۱۰۰ keV است، بنابراین انتقال ایزوتوپی نسبی از مرتبه 10^{-6} می‌شود. تناسب پیش‌بینی شده با $A^{2/3}$ با این اطلاعات تأیید می‌شود. جا به جایی «فرد-زوج» منحنی بر اثر مدار ذره فرد در هسته به وجود می‌آید. به همین دلیل، ایزوتوپهای A فرد را باید جدا از ایزوتوپهای A زوج رسم کرد. اما تناسب با $A^{2/3}$ در هر دو گروه دیده می‌شود.

ψ برای حالت‌های s (تابع موجهای $l=0$) به ازای مقادیر کوچک r غیر صفر است. اگر گذارهای اپتیکی به حالت‌های s مربوط باشد، انتقال‌های ایزوتوپی آنها می‌تواند به حدی بزرگ شود که اندازه گیری‌شان، بویژه با استفاده از روش‌های نوین تداخل سنجی لیزری، بدقت امکان‌پذیر باشد. نمونه‌ای از انتقال‌های اپتیکی در ایزوتوپ‌های Hg را در شکل ۷.۳ نشان داده‌ایم. در این اطلاعات هم تناسب مورد انتظار با $A^{2/3}$ تأیید می‌شود. مقدار $R_0 = 1.72 \text{ fm}$ با اندازه گیری‌های انجام شده در گستره وسیعی از هسته‌ها سازگار است. این گونه اثرات اندازه هسته بر انتقال‌های اپتیکی و پرتو ایکس، خیلی کوچک و در حدود 10^{-4} تا 10^{-6} برابر انرژی گذار هستند. علت آن هم به اختلاف مقیاس 10^4 بین شعاع بور a_0 و شعاع هسته R مربوط می‌شود. برای آنکه اثرات ناشی از انتگرال‌های (۱۲.۳) بزرگ باشد، تابع موج اتم به ازای مقادیر r نزدیک به R باید بزرگ باشد. اما تابع موج‌های اتم به ازای مقادیر نزدیک به $r = a_0/Z$ که خیلی بزرگتر از R هستند، بزرگ می‌شوند. برای بهبود این وضع می‌توان از اتم موثونی استفاده کرد. موثون ذره‌ای

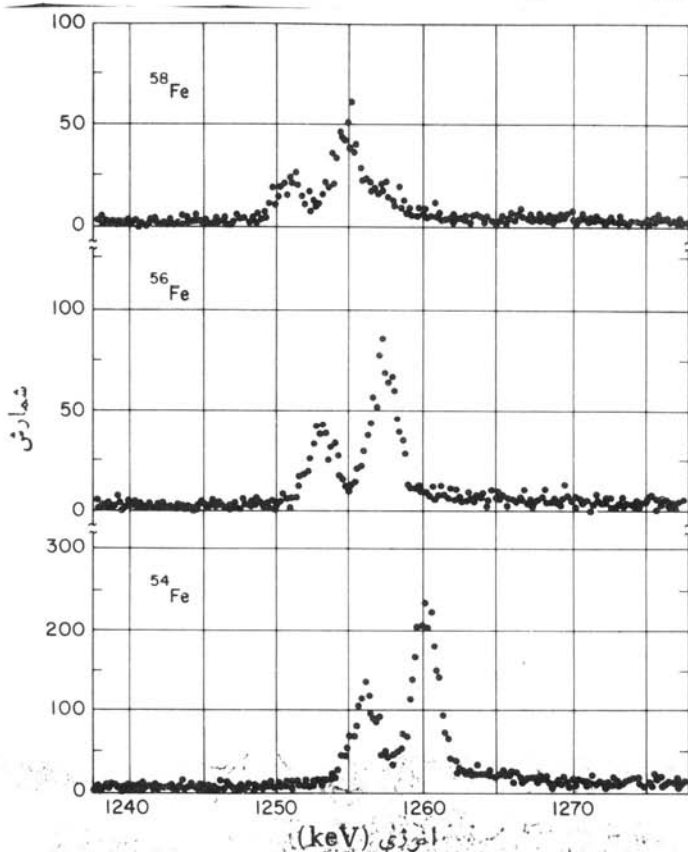


شکل ۷.۳ انتقال‌های ایزوتوپی ایتیکی در ایزوتوپهای Hg از ۱۹۸ تا ۲۰۵ در مقایسه با ایزوتوپ ۱۹۸. این اطلاعات از طریق طیف‌نمایی لیزری به دست آمده است که خطای آزمایشی آن در حدود $\pm 1\%$ درصد است. طول موج‌گذار ایتیکی در این اندازه‌گیریها برابر 253.7nm ، و انتقال ایزوتوپی در حدود یک قسمت در هر 10^7 قسمت بوده است. این نتایج را با نتایج شکل ۶.۳ مقایسه کنید.

است که تمام خصوصیاتش، غیر از جرم، همانند الکترون است، جرم موئون 207 برابر جرم الکترون است. چون شعاع بور نسبت معکوس با جرم دارد، شعاع مدارهای موئونی برابر $1/207$ شعاع مدارهای الکترونی متناظر خواهد بود. در واقع، در هسته سنگینی مانند Pb، شعاع متوسط مدار موئونی 1S کمتر از شعاع هسته خواهد شد. بدین ترتیب، اندازه هسته با ضریب 2 در انرژی گذار تأثیر خواهد گذاشت که در مقایسه با ضریب 10^{-4} تا 10^{-6} در گذارهای الکترونی، بهبود قابل توجهی به شمار می‌رود.

در مواد معمولی موئون وجود ندارد، اما می‌توان آن را با استفاده از شنا بدهنده‌های بزرگ که باریکه‌های شدید مزونهای π تولید می‌کنند به‌طور مصنوعی به وجود آورد. این مزونهای π پس از تولید، به سرعت (در زمانی از مرتبه 10^{-8}s) واپاشیده و به موئون تبدیل می‌شوند. (خواص موئونها و مزونهای π را در فصلهای ۱۷ و ۱۸ بررسی خواهیم کرد.) هنگامی که باریکه‌های موئون روی هدفهای مناسبی متمرکز شوند، اتمهای هدف

موئونها را گیراندازی می‌کنند و آنها را در مدارهایی مشابه مدارهای الکترونی قرار می‌دهند. موئون در آغاز درحالتی با عدد کوانتومی اصلی n خیلی بالا قرار می‌گیرد، و سپس درحالی که به حالت پایه $1s$ نزدیک می‌شود، از خود فوتونهایی گسیل می‌کند که با فوتونهای گسیل‌شونده در گذارهای الکترونی بین ترازهای انرژی اتم قابل مقایسه است. ترازهای انرژی اتم هیدروژن مستقیماً به جرم الکترون بستگی دارد. بنابراین، می‌توان انتظار داشت که انرژی ترازهای موئونی و انرژی گذار آنها، 207 برابر انرژی حالت‌های الکترونی باشد. چون انرژی پرتوهای ایکس K درحالت عادی در حدود دهها keV است، انرژی پرتوهای ایکس K درحالت موئونی در حدود چند MeV خواهد شد. چند نمونه از پرتوهای ایکس موئونی K در شکل ۸.۳ نشان داده شده است. این انتقال ایزوتوپی، در مقایسه با

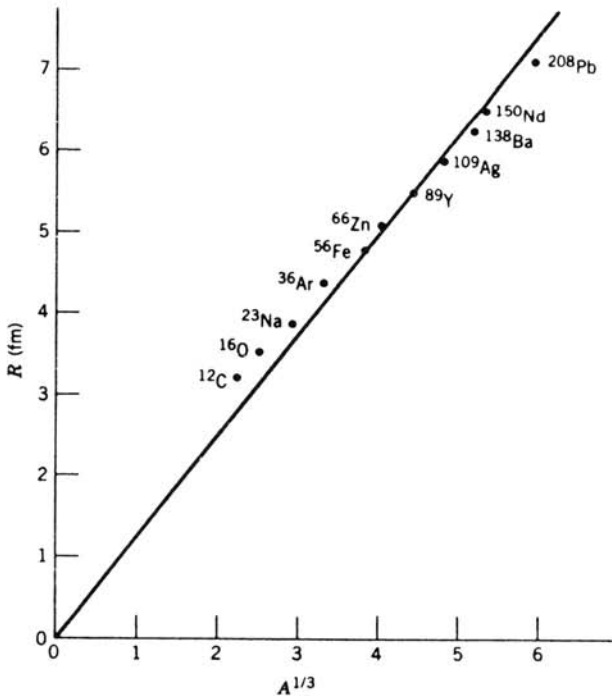


شکل ۸.۳ پرتوهای ایکس موئونی K برای چند ایزوتوپ Fe . قله‌ها گذارهای $2p_{3/2}$ به $1s_{1/2}$ و $2p_{1/2}$ به $1s_{1/2}$ را نشان می‌دهند که شدت نسبی آنها به نسبت $2:1$ است. این نسبت از طریق وزن آماری $(2j+1)$ حالت اولیه قابل تعیین است. انتقال ایزوتوپی را به روشنی می‌توان از تغییر انرژی گذار تشخیص داد. اثر نسبی انتقال در اینجا در حدود 4 درصد است که باید آن را با مقدار $6-10$ حاصل از پرتوهای ایکس الکترونی K (شکل ۶.۳) مقایسه کرد.

انتقال ایزوتوپی پرتوایکس الکترونی K که نوعاً در حدود 10^{-2} eV به‌ازای واحد تغییر عدد جرمی A است، خیلی زیاد است.

برخلاف مورد پرتوهای ایکس الکترونی K که در آنها عدم قطعیت تابع موجهای اتم باعث دشواری تعبیر انتقال ایزوتوپی می‌شود، در اینجا می‌توانیم با استفاده از انرژیهای مشاهده‌شده پرتوایکس موثونی مستقیماً پارامترهای توزیع بار هسته را محاسبه کنیم. نتایج حاصل را بر اساس مدل کره باردار یکنواخت برای ریشه میانگین مربعی (rms) شعاعهای هسته‌ای در شکل ۹.۳ نشان داده‌ایم. اطلاعات موجود در این شکل به تقریب با عبارت $R_0 A^{1/3}$ که در آن $R_0 = 1.25 \text{ fm}$ باشد، سازگار است.

راه دیگر تعیین شعاع بار هسته، استفاده از اندازه‌گیری مستقیم اختلاف انرژی کولنی هسته‌هاست. برای نمونه، ${}^2\text{H}$ و ${}^3\text{He}$ را در نظر می‌گیریم. برای آنکه از ${}^2\text{He}$ به ${}^2\text{H}$ برسیم، باید یک پروتون را به یک نوترون تبدیل کنیم. چنانکه در بحث فصل ۴ خواهیم دید، شواهدی قوی دال بر این امر در دست است که نیروی هسته‌ای تفاوتی بین پروتون و نوترون نمی‌گذارد. بنابراین، تبدیل پروتون به نوترون نباید تأثیری در انرژی هسته‌ای



شکل ۹.۳ تعیین شعاع میانگین هسته با استفاده از اندازه‌گیریهای پرتوایکس موثونی. در اینجا، ما مانند مورد شکل ۵.۳، بستگی خطی بین شعاع و $A^{1/3}$ به تقریب تأیید می‌شود (در این مورد نیز خط را عمداً از مبدأ مختصات عبور داده‌ایم). با توجه به شیب خط داریم $R_0 = 1.25 \text{ fm}$.

این سیستم سه نوکلئونی برجای بگذارد. اما انرژی کولنی سیستم باید تغییر کند، زیرا پروتونها در ${}^3\text{He}$ تحت تأثیر دافعه اند در حالی که در ${}^3\text{H}$ چنین دافعه‌ای وجود ندارد. بدین ترتیب، اختلاف انرژی بین ${}^3\text{H}$ و ${}^3\text{He}$ برآوردی از انرژی کولنی پروتون دوم به دست می‌دهد. برای محاسبه فاصله بین پروتونها، و تعیین اندازه هسته، می‌توان از فرمول معمولی انرژی دافعه کولنی استفاده کرد.

اکنون یک هسته پیچیده‌تر، مانند ${}^{238}\text{U}_{146}$ ، را در نظر می‌گیریم. در این مورد اگر بخواهیم یک پروتون را به یک نوترون تبدیل کنیم، با وضعیتی کاملاً متفاوت با حالت قبل روبرو می‌شویم. زیرا در این حالت، نود و دومین پروتون باید به یکصد و چهل و هفتمین نوترون تبدیل شود. چون نوترونها و پروتونها هر دو تابع اصل پاولی هستند، اوربیتال ۹۲امین پروتون با اوربیتال ۱۴۷امین نوترون تفاوت خواهد داشت، و در حالت کلی محاسبه این اثر به طور دقیق امکان پذیر نیست و نمی‌توان به انرژی کولنی دست یافت. اگر موردی را در نظر بگیریم که (مانند نمونه تبدیل ${}^3\text{He}$ به ${}^3\text{H}$) متضمن تغییر اوربیتال نباشد، یعنی اگر شماره آخرین پروتون تبدیل‌شونده به نوترون با شماره آخرین نوترون بعد از تبدیل یکسان باشد، مشکل برطرف خواهد شد. در این صورت، Z هسته اول باید با N هسته دوم برابر باشد (که در نتیجه، N هسته اول هم با Z هسته دوم برابر می‌شود). این گونه زوج هسته‌ها را هسته‌های آینه‌ای می‌نامند، زیرا از طریق انعکاس از آینه‌ای که پروتون را به نوترون تبدیل می‌کند، یک هسته به هسته دیگر بدل می‌شود. زوجهای ${}^{13}\text{N}_6$ و ${}^{13}\text{C}_7$ یا ${}^{39}\text{Ca}_{19}$ و ${}^{39}\text{K}_{19}$ را به عنوان نمونه‌هایی از هسته‌های آینه‌ای می‌توان در نظر گرفت. انرژی کولنی یک کره باردار یکنواخت به شعاع R عبارت است از

$$E_c = \frac{3}{5} \frac{1}{4\pi\epsilon_0} \frac{Q^2}{R} \quad (16.3)$$

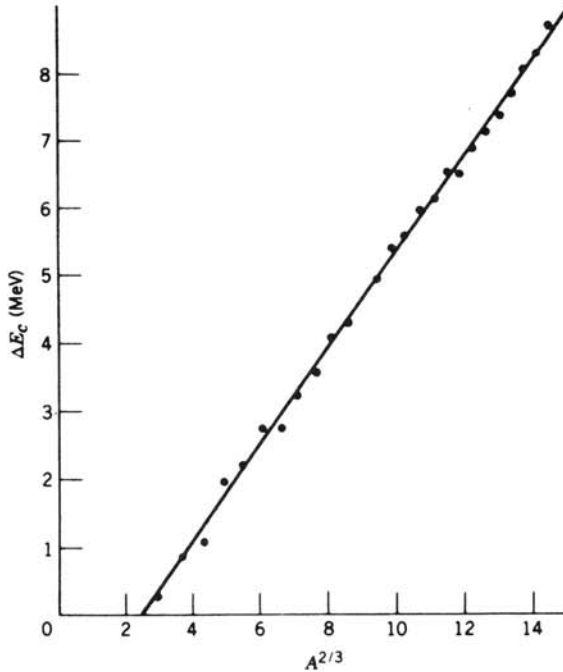
که در آن Q بار کل کره است. با توجه به این عبارت، اختلاف انرژی کولنی بین زوج هسته‌های آینه‌ای چنین به دست می‌آید

$$\begin{aligned} \Delta E_c &= \frac{3}{5} \frac{e^2}{4\pi\epsilon_0 R} [Z^2 - (Z-1)^2] \\ &= \frac{3}{5} \frac{e^2}{4\pi\epsilon_0 R} (2Z-1) \end{aligned} \quad (17.3)$$

چون Z نماینده عدد اتمی هسته‌ای است که عدد اتمی بالاتری دارد، N آن باید برابر $(Z-1)$ شود. در این صورت داریم $A = 2Z - 1$ ، و با توجه به $R = R_0 A^{1/3}$ حاصل می‌شود

$$\Delta E_c = \frac{3}{5} \frac{e^2}{4\pi\epsilon_0 R_0} A^{2/3} \quad (18.3)$$

اختلاف انرژی کولنی را به دو روش می‌توان مستقیماً اندازه‌گیری کرد. در روش اول یکی از زوج هسته‌ها از طریق واپاشی هسته‌ای بتا β ، که در طی آن یک پروتون با گسیل یک الکترون مثبت (پوزیترون) به نوترون تبدیل می‌شود، به صورت هستهٔ دیگر درمی‌آید. در این روش، بیشینهٔ انرژی پوزیترون گسیل شده می‌زان اختلاف انرژی بین هسته‌ها را تعیین می‌کند. در روش دوم، برای اندازه‌گیری اختلاف انرژی از واکنشهای هسته‌ای استفاده می‌شود. برای نمونه، هنگامی که هسته‌ای مانند ^{11}B را با پروتون بمباران می‌کنیم، گاهی از این واکنش یک نوترون گسیل می‌شود و هسته‌ای به صورت ^{11}C برجای می‌ماند. کمینهٔ انرژی پروتون برای انجام این واکنش، میزان اختلاف انرژی بین ^{11}B و ^{11}C را به دست می‌دهد. [واپاشی بتا β در فصل ۹ و سینماتیک واکنشها در فصل ۱۱ (جلد دوم، ترجمهٔ فارسی) مورد بحث قرار خواهد گرفت.] اختلاف انرژی اندازه‌گیری شده را برای تعدادی از هسته‌ها بر حسب $A^{2/3}$ در شکل ۱۰۰۳ رسم کرده‌ایم. چنانکه از معادلهٔ (۱۸.۳) انتظار می‌رود، تناسب بین این دو کمیت تقریباً خطی است. از شیب خط حاصل خواهیم داشت $R_0 = 1.22 \text{ fm}$. هرچند که در این اندازه‌گیریهای شعاع بار هسته از روشهای متفاوتی استفاده شده است، ولی نتایج حاصل از همهٔ آنها یکسان است. تغییرات شعاع هسته بر حسب عدد جرمی به صورت $R_0 A^{1/3}$ به دست می‌آید که در آن R_0 برابر ۱.۲ تا ۱.۲۵ fm است.



شکل ۱۰۰۳ اختلاف انرژی کولنی بین هسته‌های آینه‌ای. چنانکه انتظار می‌رود، تناسب بین اختلاف انرژی و $A^{2/3}$ بخوبی مشهود است. با توجه به شیب خط، داریم $R_0 = 1.22 \text{ fm}$.

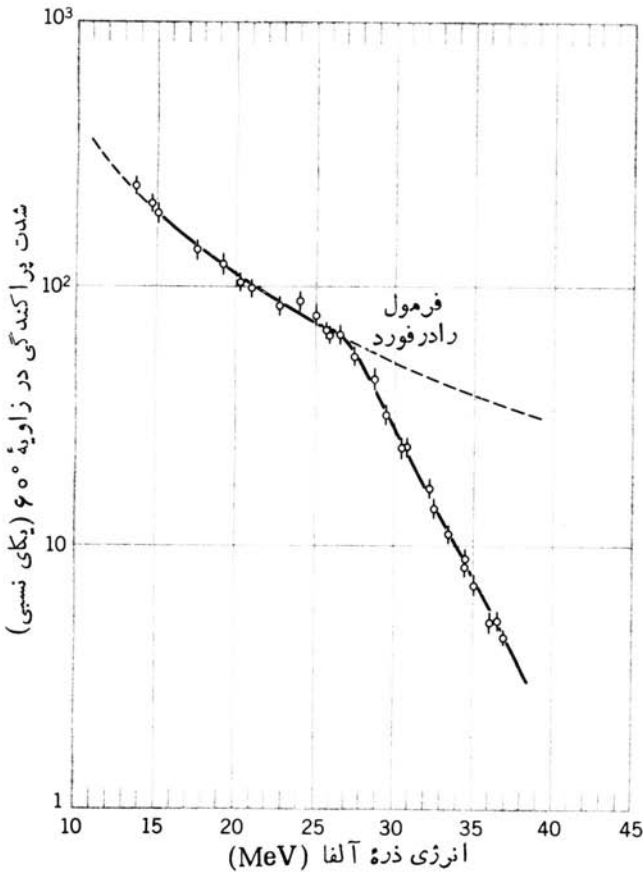
توزیع ماده هسته‌ای

اغلب شعاع هسته را از طریق آزمایشی که متضمن نیروی هسته‌ای بین دو هسته است، تعیین می‌کنیم. با تعیین تغییرات فضایی نیروی بین هسته‌ها می‌توان شعاع هسته‌ها را محاسبه کرد. در این صورت، شعاع تعیین شده را باید به عنوان مشخصه نیروی هسته‌ای تلقی کنیم نه نیروی کولنی. بنابراین، چنین شعاعی نمایانگر توزیع پروتون‌ها به تنهایی نیست بلکه توزیع تمامی نوکلئون‌های موجود در هسته را نشان می‌دهد.

به عنوان نمونه‌ای از اندازه‌گیری‌های توزیع ماده هسته‌ای، آزمایشی را در نظر می‌گیریم که در طی آن هسته ${}^4\text{He}$ (ذره آلفا) توسط هسته هدف خیلی سنگینتری مانند ${}^{197}\text{Au}$ پراکنده می‌شود. اگر فاصله بین دو هسته همیشه از مجموع شعاع‌های آنها بزرگتر باشد، همواره یک هسته در فراسوی برد نیروی هسته‌ای هسته دیگر قرار می‌گیرد، و در این صورت فقط نیروی کولنی در برهم‌کنش آنها دخالت دارد. [این فرایند را پراکندگی رادرفورد می‌نامند که در فصل ۱۱ (جلد دوم) بررسی خواهد شد.] هنگامی که انرژی ذره فرودی کمتر از مقدار معینی باشد، احتمال پراکندگی تحت هر زاویه مشخصی را می‌توان دقیقاً از فرمول رادرفورد پیش‌بینی کرد. با افزایش انرژی ذرات آلفای فرودی می‌توان بردافعه کولنی غلبه کرد، که در این صورت نزدیکی ذره و هسته ممکن است آنچنان زیاد باشد که نیروی هسته‌ای وارد عمل شود. در این حالت، فرمول رادرفورد دیگر نمی‌تواند برقرار بماند که نمونه‌ای از آن را در شکل ۱۱.۳ نشان داده‌ایم.

به عنوان نمونه‌ای دیگر، شکل واپاشی رادیواکتیو آلفا را که در آن یک ذره آلفا از هسته گسیل می‌شود در نظر می‌گیریم (بحث کامل واپاشی آلفا را در فصل ۸ خواهیم دید). چنانکه در شکل ۱۲.۳ نشان داده‌ایم، ذره آلفای گسیل‌شونده باید با فرار از پتانسیل هسته‌ای در یک سد پتانسیل کولنی نفوذ کند. احتمال واپاشی آلفا را به کمک یک روش استاندارد نفوذ از سد و با استفاده از معادله شرودینگر، می‌توان محاسبه کرد. این مقادیر محاسبه شده احتمال به شعاع ماده هسته‌ای R بستگی دارد، و از مقایسه آن با احتمال واپاشی اندازه‌گیری شده می‌توان مقدار R را تعیین کرد.

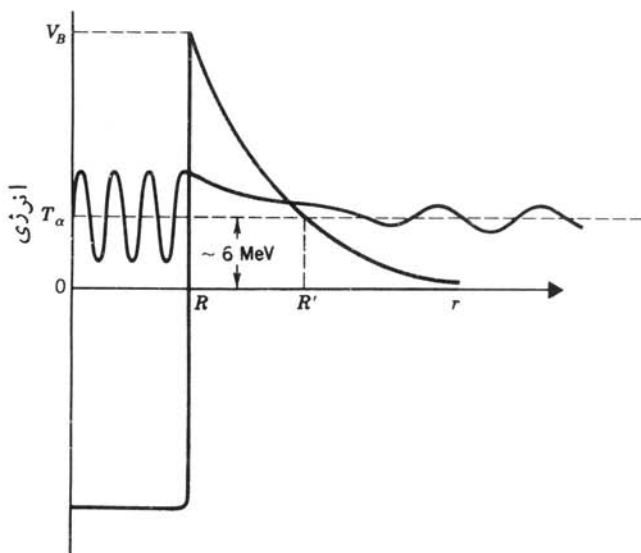
روش سوم در تعیین شعاع ماده هسته‌ای، استفاده از اندازه‌گیری انرژی پرتوهای ایکس مزون π است. این روش خیلی شبیه به همان روش پرتو ایکس موثونی است که در اندازه‌گیری شعاع بار هسته در بالا مورد بحث قرار گرفت. اختلاف این دو روش، به اختلاف بین موثونها و مزونها π مربوط می‌شود. برهم‌کنش موثونها با هسته از طریق نیروی کولنی است، در حالی که برهم‌کنش مزونها π با هسته از طریق نیروی کولنی و نیروی هسته‌ای است. مزونها π باردار منفی π^- هم، مانند موثونها، در گذار از مدارهایشان که مشابه مدارهای الکترونی است فوتون‌هایی به نام پرتوهای ایکس مزون π از خود گسیل می‌کنند. هنگامی که تابع موجهای مزون π شروع به همپوشی با هسته می‌کند، ترازهای انرژی این نوع اتم‌ها تا حدودی جا به جا می‌شود و دیگر با محاسباتی که صرفاً از برهم‌کنش کولنی حاصل شده است، مطابقت نخواهد داشت. بعلاوه، این امکان هم وجود دارد که



شکل ۱۱.۳ نقض فرمول پراکندگی رادرفورد. وقتی که ذره فرودی α آنچنان به هسته هدف Pb نزدیک شود که برهم کنش با نیروی هسته‌ای (علاوه بر نیروی کولنی) امکان پذیر شود، فرمول رادرفورد اعتبارش را از دست می‌دهد. با استفاده از نقطه شکست این قانون می‌توان بزرگی هسته را برآورد کرد.

مزونهای π و بویژه مزونهای مدارهای درونی مستقیماً توسط هسته جذب شوند، که در این صورت تعداد گذارهای پرتوایکس ترازهای درونی کاهش خواهد یافت. «آهنگ ناپدید شدن» مزونهای π را می‌توان به عنوان روش دیگری از تعیین شعاع هسته مورد بهره‌برداری قرار داد.

در اصل، تمام این اثرات را می‌توان به عنوان اساس محاسبات تعیین شعاع هسته به کار برد. اما این محاسبات نسبت به مختصات دقیق همپوشی (یا برخورد) بین ذره کلانده و ماده هسته‌ای، بسیار حساس است. بنابراین، در این محاسبات استفاده از مدل



شکل ۱۴.۳ نفوذ از سد در واپاشی آلفا. نیمی عمر گسیل آلفا به احتمال نفوذ از سد بستگی دارد، و احتمال نفوذ هم به ضخامت سد بستگی دارد. بنابراین با استفاده از نیمه عمر اندازه گیری شده می توان شعاع R را در جایی که نیروی هسته ای به پایان می رسد و سپس دافعه کولنی وارد عمل می شود، تعیین کرد.

«کره یکنواخت» به صورتی که چگالی در فاصله R برابر مقدار ثابت و در خارج از R برابر صفر باشد، کاری نادرست است. به جای این کار، باید از توزیعی مانند منحنیهای شکل ۴.۳ استفاده کنیم، و علاوه بر شعاع متوسط هسته دنباله مناسبی هم برای آن در نظر بگیریم. در اینجا شعاع ماده هسته ای را به تفصیل محاسبه نمی کنیم، زیرا که از محاسبات قبلی شعاع بار هسته ای خیلی پیچیده تر است. اکنون نتیجه این محاسبه را ذکر می کنیم که ممکن است تا حدودی شگفت انگیز باشد: شعاعهای بار و ماده هسته ها، با تقریب حدود $1.2 \times 10^{-14} m$ ، با هم برابرند. هر دو شعاع به $A^{1/3}$ بستگی دارند، و ضریب تناسب آنها برابر $R_0 \approx 1.2 \times 10^{-14} m$ است. در هسته های سنگین، چون تعداد نوترونها در حدود ۵۰ درصد بیشتر از پروتونهاست، ممکن است انتظار داشته باشیم که شعاع نوترونی هسته ها اندکی بزرگتر از شعاع پروتونی آنها باشد. اما، از سوی دیگر باید توجه کرد که نیروی دافعه پروتونی در حدود ۱۰٪ از شعاع پروتونها را به قسمت بیرونی هسته براند و نیروی نوترون-پروتون هم مایل است نوترونها را به قسمت درونی هسته بکشاند. این کشاکش، نوترونها و پروتونهای هسته را آنچنان درهم می آمیزد که شعاعهای بار و ماده تقریباً با هم برابر می شوند.

۲.۳ جرم نوکلیدها و فراوانی آنها

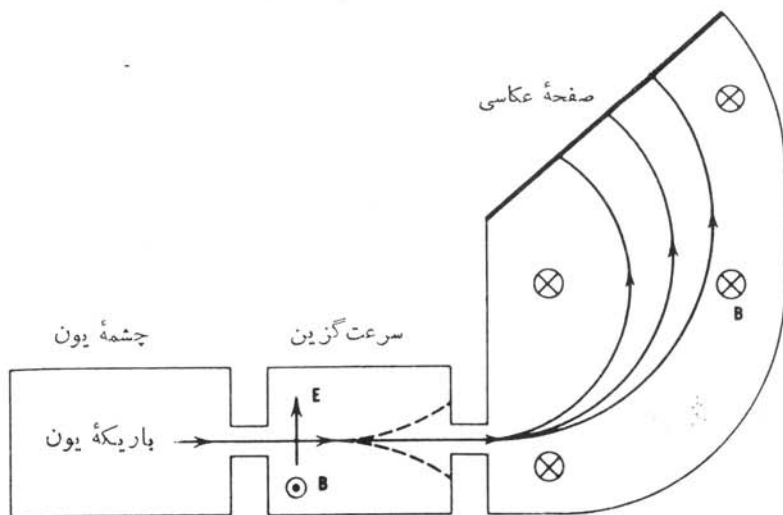
فهرست مقادیر اندازه‌گیری شده جرم و فراوانی نسبی اتمهای خنثی را برای انواع هسته‌های پایدار و رادیواکتیو در جدول پیوست ج گردآوری کرده‌ایم. با اینکه توازن انرژی در واپاشیها و واکنشهای هسته‌ای را باید براساس جرمهای هسته‌ای محاسبه کنیم، ولی رسم بر این است که جرم اتمهای خنثی را در این گونه جدولها ذکر می‌کنند. بنا بر این، گاهی لازم می‌شود که با در نظر گرفتن جرم و انرژی بستگی الکترونها این مقادیر جرمی را تصحیح کنیم. ساختار ماده را هر چه ژرفتر در نظر بگیریم، انرژی بستگی سیستم نیز در مقایسه با انرژی سکون بیشتر می‌شود. برای نمونه، انرژی بستگی اتمی هیدروژن برابر 13.6 eV و نسبت آن به انرژی سکون کل اتم فقط در حدود $10^{-8} \times 1.6 \times 10^{-19}$ است. در حالی که در ساده‌ترین هسته یعنی دوتریم، انرژی بستگی برابر 2.2 MeV و نسبت آن به انرژی سکون جرم کل آن در حدود $10^{-3} \times 1.6 \times 10^{-19}$ است. انرژی بستگی دوتریم نسبتاً کم، و بدین جهت این عدد در مقایسه با هسته‌های دیگر نسبتاً کوچک است. نسبت انرژی بستگی به انرژی سکون هسته‌های معمولی به حدود $10^{-3} \times 1.6 \times 10^{-19}$ می‌رسد. در بررسی بازم ژرف‌تر از ساختار ماده، با سه نوع کوارک سنگین که سازنده نوکلئونها هستند سروکار پیدا می‌کنیم. جرم کوارکها معلوم نیست (هنوز در آزمایش با کوارک آزاد روبه‌رو نشده‌ایم و ممکن است وجود کوارکها در حالت آزاد امکان‌پذیر نباشد)، اما امکان دارد که جرم کوارک از $100 \text{ GeV}/c^2$ هم بزرگتر باشد. در این صورت، نسبت انرژی بستگی کوارکها به جرم کل آنها در هر نوکلئون کسری بزرگتر از ۹۹٪ خواهد بود - یعنی از ترکیب سه کوارک که انرژی سکون کل آنها شاید در حدود 300 GeV است نوکلئونی با انرژی سکون حدود 1 GeV تولید می‌شود!

بدین گونه، بحث مربوط به جرم هسته‌ها از بحث انرژی بستگی هسته‌ای جدایی‌ناپذیر است. در غیر این صورت، جرم هسته‌ها به شکل $Zm_p + Nm_n$ قابل محاسبه می‌شد و موضوعی چندان جالب توجه نبود. در این بخش، بحث‌مان را به تعیین تجربی جرم هسته‌ها محدود می‌کنیم، و هسته را به صورت جسمی ساده و بدون هیچگونه ساختار داخلی در نظر می‌گیریم. در بخش بعدی، با استفاده از جرم هسته‌های اندازه‌گیری شده، به تعیین انرژی بستگی هسته‌ها می‌پردازیم.

اندازه‌گیری جرم هسته‌ها، در تکامل فیزیک هسته‌ای نقش بسیار مهمی داشته است. طیف‌سنجی جرمی، نخستین تکنیک با دقت بالا بود که در اختیار آزمایشگران قرار گرفت؛ و چون جرم هسته به‌طور منظم با افزایش یک پروتون یا نوترون افزایش می‌یابد، با اندازه‌گیری جرمها توانسته‌ایم نمودار کاملی از ایزوتوپهای پایدار تهیه کنیم. در حالی که در فیزیک اتمی وضع به این صورت نبوده است. اندازه‌گیریهای وزن اتمی متوسط در قرن نوزدهم به پیدایش اختلافاتی در جدول تناوبی عناصر منجر شد که از جمله موارد آن، برهم خوردن ترتیب عناصر کبالت و نیکل در جدول بود. وزن کبالت سنگینتر از وزن نیکل به دست می‌آمد، در حالی که ترتیب استقرار آن در جدول بر مبنای عدد اتمی (و نه وزن اتمی)

باید قبل از نیکل باشد. مطلب دیگری که به همان درجه از اهمیت است این است که بدون توجه تغییرات خواص هسته از یک ایزوتوپ به ایزوتوپ دیگر، نمی‌توانیم درک درستی از ساختار هسته‌ای داشته باشیم. بنابراین، پیش از آنکه به اندازه‌گیری خواص هسته‌ها پردازیم، باید انواع ایزوتوپهای موجود را مشخص کنیم و سعی کنیم که آنها را به‌منظور بردسپهای تجربی از یکدیگر جدا سازیم.

برای تعیین جرم هسته‌ها و فراوانی نسبی آنها در نمونه‌ای از ماده معمولی، با توجه به اینکه حتی در یک جسم خالص هم ممکن است مخلوطی از چند ایزوتوپ وجود داشته باشد، باید بتوانیم ایزوتوپها را به کمک جرمشان از یکدیگر جدا کنیم. اگر مقصود فقط جداسازی ایزوتوپها از یکدیگر باشد، به دستگاهی با حساسیت فوق‌العاده زیاد نیازی نیست. اختلاف جرم ایزوتوپهای مجاور در هسته‌های میان-وزن در حدود ۱٪ است. برای اندازه‌گیری جرم با مرتبه دقت 10^{-6} به دستگاههای خیلی پیچیده‌تری که طیف‌نمای جرمی نامیده می‌شوند نیاز داریم. اگر بتوانیم جرمهای جدا شده را به‌صورت تصاویر جداگانه‌ای روی یک صفحه عکاسی متمرکز کنیم، چنین دستگاهی را طیف‌نگار می‌گوییم. هر گاه جرمهای جدا شده پس از عبور از شکافهای آشکارساز به‌طور الکترونیکی (مثلاً به صورت جریان الکتریکی) ثبت شوند، چنین دستگاهی را طیف‌سنج می‌نامند. نمودار ساده‌ای از یک نوع طیف‌نگار جرمی را در شکل ۱۳.۳ نشان داده‌ایم. اولین قسمت از هر دستگاه طیف‌نمای جرمی، یک چشمه یون است که باریکه‌ای از



شکل ۱۳.۳ نمودار ساده‌ای از طیف‌نگار جرمی. چشمه یون، باریکه‌ای با توزیع سرعت‌گره‌هایی تولید می‌کند. در ناحیه سرعت‌گزین به یونهایی اجازه عبور داده می‌شود که سرعت خاصی داشته باشند (و بقیه مطابق شکل منحرف می‌شوند). سپس جرمهای مختلف موجود در باریکه، متناسب با تکانه‌هایشان، در میدان مغناطیسی یکنواختی منحرف و بدین ترتیب قابل شناسایی خواهند شد.

اتمها یا مولکولهای یونیده تولید می‌کند. اغلب برای تولید یون، بخار ماده مورد مطالعه را با استفاده از الکترون بمباران می‌کنند. در برخی از حالتها هم یونها را از طریق تخلیه جرقه‌ای بین الکترودهای آغشته به ماده مورد نظر تولید می‌کنند. سرعت یونهای خارج شده از چشمه، هم به سبب توزیع گرمایی و هم به خاطر جرم متفاوت یونها، گستره وسیعی را در برمی‌گیرد.

قسمت بعدی دستگاه، سرعت‌گزین نام دارد و ناحیه‌ای است که در آن دو میدان متعامد الکتریکی و مغناطیسی وجود دارد. میدان \mathbf{E} بر یون خارج شده از چشمه، نیروی qE وارد می‌کند و می‌خواهد آن را مطابق شکل ۱۳.۳ به طرف بالا منحرف کند. اما میدان \mathbf{B} نیروی روبه پایین qvB را بر یون وارد خواهد ساخت. اگر این دو نیرو اثر همدیگر را خنثی کنند، آنگاه یونها انحرافی نخواهند داشت و از شکاف خروجی سرعت‌گزین عبور خواهند کرد. در این صورت داریم

$$qE = qvB$$

$$v = \frac{E}{B} \quad (19.3)$$

قسمت نهایی این دستگاه تکانه-گزین نام دارد و اساساً از یک میدان مغناطیسی یکنواخت تشکیل شده است که مسیر باریکه ذرات را به صورت دایره‌ای به شعاع r درمی‌آورد که بزرگی آن به مقدار تکانه ذرات بستگی دارد

$$mv = qBr$$

$$r = \frac{mv}{qB} \quad (20.3)$$

چون q ، B ، و v برای تمام ذرات یکسان اختیار شده است، ذرات با جرمهای مختلف شعاعهای متفاوت خواهند داشت. اغلب میدان مغناطیسی در قسمت‌های سرعت‌گزین و تکانه‌گزین یکسان اختیار می‌شود که در این صورت داریم

$$m = \frac{qrB^2}{E} \quad (21.3)$$

برای تعیین جرم با دقت یک قسمت در هر 10^6 ، باید تمام کمیت‌های معادله (۲۱.۳) را با همین دقت در اختیار داشته باشیم که احتمال آن خیلی ضعیف است. در عمل مقیاس سنجش را روی یک ذره خاص تنظیم می‌کنیم، و سپس اندازه‌گیری جرم سایر ذرات را نسبت به آن انجام می‌دهیم. نقطه ثابت در مقیاس جرم اتمی ^{12}C است که جرم اتمی آن را دقیقاً برابر 12.0000000000 اختیار می‌کنیم. برای تعیین جرم اتمهای دیگری مانند ^1H لازم است که E و B را به میزان قابل توجهی تغییر دهیم. پس اینکه درجه بندی مقیاس

سنجش درچنین گستره‌ای باهمان دقت يك قسمت در ۱۰۶ معتبر بماند، می‌تواند محل تردید باشد. اما بهتر است که اندازه‌گیری را به تعیین اختلاف میان جرمهای تقریباً یکسان محدود کنیم. برای نمونه، دستگاه را برای جرم ۱۲۸ تنظیم می‌کنیم و اختلاف جرم بین مولکولهای C_6H_{12} (نونان) و $C_{10}H_8$ (نفتالین) را به دست می‌آوریم. این اختلاف جرم به صورت $\Delta = 0.000000012 \pm 0.000000032$ اندازه‌گیری می‌شود. با صرف‌نظر کردن از اختلاف انرژی بستگی مولکولی این دو مولکول (که از مرتبه 10^{-9} u است)، می‌توان نوشت

$$\Delta = m(C_6H_{12}) - m(C_{10}H_8) = 12m(^1H) - m(^{12}C)$$

پس خواهیم داشت

$$\begin{aligned} m(^1H) &= \frac{1}{12} [m(^{12}C) + \Delta] \\ &= 1.000000000 + \frac{1}{12} \Delta \\ &= 1.000782503 \pm 0.00000001 \text{ u} \end{aligned}$$

با در دست داشتن این مقدار دقیق جرم هیدروژن، اکنون می‌توانیم دستگاه طیف‌سنج را برای جرم ۲۸ تنظیم کنیم و به تعیین اختلاف بین N_2 و C_2H_4 پردازیم

$$\begin{aligned} \Delta &= m(C_2H_4) - m(N_2) = 2m(^{12}C) + 4m(^1H) - 2m(^{14}N) \\ &= 0.025152196 \pm 0.000000030 \text{ u} \end{aligned}$$

که از آن حاصل می‌شود

$$m(^{14}N) = m(^{12}C) + 2m(^1H) - \frac{1}{2} \Delta = 14.00307396 \pm 0.00000002 \text{ u}$$

این روش اندازه‌گیری اختلاف جرم بین جرمهای خیلی نزدیک به هم را روش دوقایه جرمی می‌نامند، و همچنانکه دیده می‌شود، با استفاده از آن مقادیر جرم را با دقت فوق‌العاده زیاد به دست آوردند. بویژه توجه کنید که خطای ۱ قسمت در ۱۰۶ در اندازه‌گیری Δ ، به خطاهایی از مرتبه ۱ قسمت در ۱۰^۸ یا ۱۰^۹ در جرمهای اتمی تبدیل می‌شود.

با اندازه‌گیری انرژی ذرات در واکنشهای هسته‌ای هم می‌توان اختلاف جرمها را تعیین کرد. واکنش هسته‌ای $x + X \rightarrow y + Y$ را در نظر می‌گیریم که در آن ذره بمباران‌کننده x بر هدف ساکن X فرود می‌آید. با اندازه‌گیری انرژی ذرات درگیر در واکنش، می‌توان اختلاف جرمها را که مقدار Q واکنش نامیده می‌شود تعیین کرد

$$Q = [m(x) + m(X) - m(y) - m(Y)]c^2 \quad (22.3)$$

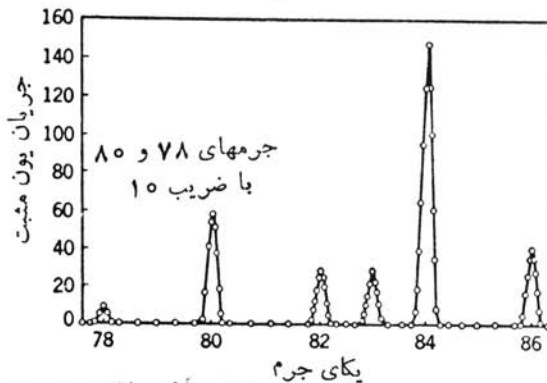
مقدار Q واکنش را در بخش ۲۰.۱۱ (جلد دوم، ترجمه فارسی) به تفصیل بررسی خواهیم کرد. به عنوان نمونه، واکنش ${}^1\text{H} + {}^{14}\text{N} \rightarrow {}^{12}\text{N} + {}^2\text{H}$ را در نظر می‌گیریم. با توجه به اندازه گیری‌های دو تایی جرمی می‌دانیم: $m({}^1\text{H}) = 1.007825 \text{ u}$ ، $m({}^{14}\text{N}) = 14.003074 \text{ u}$ و $m({}^2\text{H}) = 3.016049 \text{ u}$. مقدار اندازه‌گیری شده Q عبارت است از $0.000105 \text{ MeV} \pm 22.1355$. پس با استفاده از این اطلاعات به دست می‌آید

$$m({}^{12}\text{N}) = m({}^1\text{H}) + m({}^{14}\text{N}) - m({}^2\text{H}) - \frac{Q}{c^2}$$

$$= 12.018613 \pm 0.0000001 \text{ u}$$

بخش عمده خطای موجود در جرم تعیین شده از خطای Q ناشی می‌شود، زیرا جرمهای ${}^1\text{H}$ ، ${}^2\text{H}$ ، و ${}^{14}\text{N}$ را با دقتی خیلی بالاتر در دست داریم. نوکلید ${}^{12}\text{N}$ ناپایدار است و با نیمه‌عمری در حدود ۰.۰۱۵۸۰۰ واپاشیده می‌شود، یعنی طول عمر آن به قدری کوتاه است که اندازه‌گیری جرم آن با استفاده از طیف‌سنج جرمی امکان‌پذیر نیست. اما به کمک روش واکنش هسته‌ای، تعیین جرم نوکلیدهای ناپایداری که جرمشان به‌طور مستقیم قابل اندازه‌گیری نیست نیز امکان‌پذیر می‌شود.

فراوانی نوکلیدها. با استفاده از طیف‌سنج جرمی، فراوانی نسبی ایزوتوپهای مختلف یک عنصر را نیز می‌توان اندازه‌گیری کرد. اگر در شکل ۱۳.۳ به جای صفحه عکاسی یک صفحه شکاف‌دار قرار دهیم، با تغییر مقادیر E یا B و اندازه‌گیری جریان گذرنده از شکاف می‌توان جرم ذرات مختلف موجود در باریکه را مورد بررسی قرار داد، و نتایج مطابق شکل ۱۴.۳ به دست آورد. در این شکل، با توجه به مساحت نسبی قله‌ها می‌توان فراوانی ایزوتوپهای پایدار کریپتون را به شرح زیر تعیین کرد



شکل ۱۴.۳ نمونه‌ای از طیف جرمی کریپتون. برای آنکه قله‌های مربوط به جرمهای ۷۸ و ۸۰ با قله‌های دیگر قابل مقایسه باشد، باید مقیاس محور قائم آنها بر عدد ۱۰ تقسیم شود.

$^{78}\text{Kr} \quad \% 0.356$	$^{82}\text{Kr} \quad \% 11.15$
$^{80}\text{Kr} \quad \% 2.27$	$^{84}\text{Kr} \quad \% 57.0$
$^{82}\text{Kr} \quad \% 11.16$	$^{86}\text{Kr} \quad \% 17.3$

جرمهایی که در این بررسی ظاهر نشده‌اند (^{79}Kr ، ^{81}Kr ، ^{85}Kr)، همچنین ایزوتوپهای پایینتر از ^{78}Kr و بالاتر از ^{86}Kr رادیواکتیوهستند و در کریتون طبیعی دیده نمی‌شوند. هر نمونه‌ای از کریتون طبیعی، مخلوطی است از این شش ایزوتوپ پایدار که فراوانی نسبی هر یک از آنها نیز در جدول فوق مشخص شده است. اگر جرم اندازه‌گیری شده این شش ایزوتوپ را با احتساب فراوانی هر یک از آنها به‌عنوان ضریب وزن نسبی باهم جمع کنیم، جرم اتمی «متوسط» کریتون به‌دست می‌آید

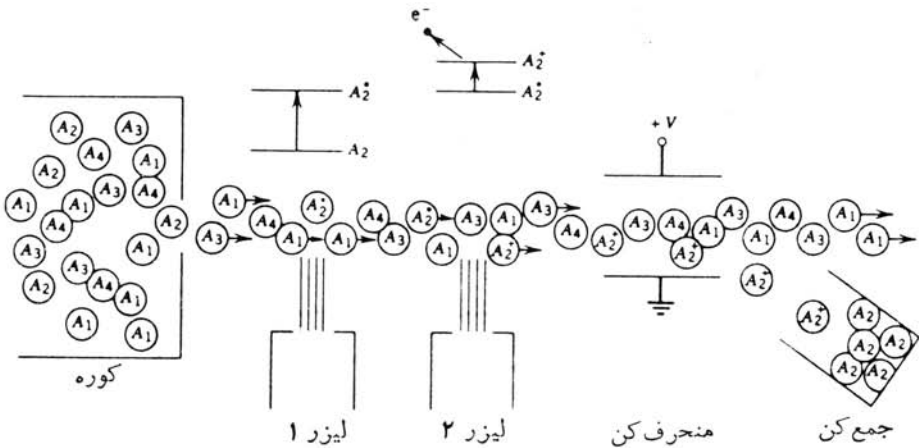
$$\bar{m} = 0.00356m(^{78}\text{Kr}) + 0.0227m(^{80}\text{Kr}) + \dots$$

$$= 83.8 \text{ u}$$

که همان جرم اتمی پذیرفته شده Kr است که معمولاً در جدول تناوبی عناصر درج می‌شود. **جداسازی ایزوتوپها.** اگر طیف‌سنج جرمی را روی یک جرم منفرد تنظیم کنیم و به جمع‌آوری ایزوتوپ خاصی بپردازیم، پس از مدتی می‌توانیم مقدار قابل توجهی از یک نوع ایزوتوپ را برای بررسیهای آزمایشگاهی در اختیار داشته باشیم. بعضی از طیف‌سنجهای جرمی را چنان طراحی می‌کنند که به کمک آنها بتوان کار فرایش و جداسازی مقادیر عظیمی از مواد را انجام داد (این کارایی به‌قیمت اذست رفتن برخی ویژگیهای دیگر دستگاه از جمله توان تفکیک جرمی آن تمام می‌شود). این گونه دستگاههای جداسازی ایزوتوپها (که نمونه‌ای از آن در آزمایشگاه ملی «اوک ریج» در ایالات متحده آمریکا وجود دارد) برای مقاصد متنوع به کار می‌روند. ایزوتوپهای جدا شده‌ای که در این مراکز تهیه می‌شوند، نه تنها در فیزیک هسته‌ای بلکه در زمینه‌های دیگری مانند شیمی یا زیست‌شناسی نیز کاربرد دارند. در فیزیک هسته‌ای، با استفاده از ایزوتوپهای جدا شده می‌توان خواص مشخصی همچون سطح مقطع واکنشها را اندازه‌گیری کرد. به‌عنوان نمونه‌ای از کاربرد در زمینه‌های دیگر، می‌توان به جذب مواد غذایی در گیاهان و جانشینی ایزوتوپهای پایدار این مواد با ایزوتوپهای رادیواکتیو ردیاب اشاره کرد. می‌دانیم که کربن معمولی به نسبت حدود ۹۹٪ از ^{12}C و ۱٪ از ^{13}C ، و نیتروژن به نسبت ۹۹٫۶٪ از ^{14}N و ۰٫۴٪ از ^{15}N تشکیل شده است. اگر یک نوع گیاه را با جوی از گاز CO_2 که از ایزوتوپهای ^{13}C ساخته شده است احاطه کنیم، و آن را با کود حاوی ^{15}N (به جای ^{14}N) پرورش دهیم، در این صورت نحوه جذب این ایزوتوپها در این گیاه برای ما قابل مطالعه خواهد شد. نیمه‌عمر مربوط به دراز - عمرترین ایزوتوپ نیتروژن در حدود ۱۰ دقیقه است، پس مطالعه درازمدت با استفاده از ردیابهای رادیواکتیو امکان‌پذیر نیست. همچنین باید توجه داشت که واپاشیهای رادیواکتیو ممکن است اثرات نامطلوبی بر گیاه و اشخاصی که با آن سروکار دارند، برجای بگذارد.

جداسازی لیزری ایزوتوپها. در یکی از روشهای کاملاً متفاوت جداسازی ایزوتوپها،

از باریکه‌های لیزری فوق‌العاده تکفام استفاده می‌شود. چنانکه در بخش قبلی دیدیم، تابشهای اپتیکی ناشی از ایزوتوپهای مختلف یک عنصر انرژی دقیقاً یکسانی ندارند. اختلاف اندازه هسته‌ها باعث تغییراتی در انرژیهای گذار می‌شود که به انتقال ایزوتوپی معروف است. تکفامی باریکه‌های لیزری به حدی دقیق است که به کمک این باریکه‌ها می‌توان در مخلوطی از ایزوتوپها الکترونهای ایزوتوپ خاصی را به حالت برانگیخته درآورد. چگونگی این فرایند جداسازی را به طور ساده در شکل ۱۵.۳ نشان داده‌ایم. بسامد باریکه لیزر اول را چنان تنظیم می‌کنیم که توسط الکترونهای ایزوتوپ مورد نظر (و نه الکترونهای ایزوتوپهای دیگر) قابل جذب باشد. در حالی که باریکه‌ای از اتمهای خنثی از مقابل باریکه لیزر عبور می‌کند، ایزوتوپهای مورد نظر با جذب فوتونهای لیزر به حالت برانگیخته درمی‌آیند. باریکه لیزر دوم را روی چنان طول موجی تنظیم می‌کنیم که بتواند اتمهای برانگیخته را یونیده کند. چون حالت‌های انرژی نهایی الکترونهای آزاد غیر کوانتومی و پیوسته است، گستره انرژی لیزر دوم باید پهن و پیوسته باشد. اما این امر به یونش ایزوتوپهای ناخواسته نخواهد انجامید، زیرا فقط اتمهایی که در اثر لیزر اول برانگیخته شده‌اند دارای حالت‌های برانگیخته‌اند. اتمهای موجود در باریکه اتمی، پس از عبور از مقابل لیزر دوم، به صورت اتمهای یونیده یکی از ایزوتوپها و اتمهای خنثی



شکل ۱۵.۳ جداسازی لیزری ایزوتوپها. باریکه اتمهای خنثی خارج شده از کوره شامل چهارنوع ایزوتوپ A_۱، A_۲، A_۳ و A_۴ است. لیزر اول چنان تنظیم شده است که با گذار خاصی از ایزوتوپ A_۲ در حال تشدید است. به خاطر تکفامی انرژی لیزر و متفاوت بودن انرژی گذار در ایزوتوپهای دیگر، فقط اتمهای A_۲ به حالت برانگیخته درمی‌آیند. لیزر دوم گستره انرژی پهنی دارد، و می‌تواند تعداد زیادی از اتمهای برانگیخته A_۲ را به حالت انرژی آزاد برساند. اما چون فقط اتمهای A_۲ در حالت برانگیخته‌اند، فقط همین اتمها یونیده می‌شوند. سپس یونهای A_۲ را در میدان الکتریکی منحرف و جمع‌آوری می‌کنند.

ایزوتوپهای دیگر خواهد بود. بدین ترتیب، اتمهای یونیده موجود در باریکه را می‌توان به کمک یک میدان الکتریکی منحرف و به‌طور جداگانه جمع‌آوری کرد.

۳.۳ انرژی بستگی هسته‌ای

انرژی متناظر به جرم هر نوکلید، $m_N c^2$ ، عبارت است از حاصل تفریق انرژی جرم اتمی آن نوکلید $m_A c^2$ و انرژی جرمی Z الکترون و انرژی بستگی الکترونی کل آن

$$m_N c^2 = m_A c^2 - Z m_e c^2 + \sum_{i=1}^Z B_i \quad (23.3)$$

که در آن B_i انرژی بستگی i امین الکترون است. انرژی بستگی الکترونی در اتمهای سنگین از مرتبه 10^5 تا 10^6 keV است، در حالی که انرژی جرم اتمی از مرتبه 10^8 MeV است. بنابراین با دقت حدود ۱ قسمت در 10^6 می‌توان از آخرین جمله معادله (۲۳.۳) صرف‌نظر کرد. (وجود این جمله، حتی به‌میزان 10^{-6} هم در اندازه‌گیریهای فیزیک هسته‌ای تأثیر ندارد، زیرا در انرژیهای جرمی معمولاً با اختلافات سروکار داریم. مثلاً در تعیین انرژی واپاشی یا انرژی واکنش، انرژیهای بستگی الکترونی تأثیری در محاسبه اختلافات نخواهند داشت.)

انرژی بستگی B یک هسته عبارت است از اختلاف انرژی بین جرم هسته ${}^A_Z X_N$ و جرم کل پروتونها (Z پروتون) و نوترونهای تشکیل دهنده آن (N نوترون)

$$B = \{Z m_p + N m_n - [m({}^A X) - Z m_e]\} c^2 \quad (24.3)$$

که در آن شاخص پایین جرم اتمی m_A را حذف کرده‌ایم. از این پس همیشه در این گونه روابط از جرم اتمی استفاده می‌کنیم، مگر آنکه مورد خاصی را به صورت دیگری متذکر شویم.

اگر مجموع جرم Z پروتون و Z الکترون را به‌صورت جرم Z اتم خنثای هیدروژن در نظر بگیریم، معادله (۲۴.۳) چنین می‌شود

$$B = [Z m({}^1\text{H}) + N m_n - m({}^A X)] c^2 \quad (25.3)$$

با توجه به اینکه جرمها معمولاً بر حسب یکای جرم اتمی بیان می‌شوند، بهتر است که ضریب تبدیل c^2 را به‌صورت 931.5 MeV/u در نظر بگیریم.

گاهی با جدولهایی از جرم اتمی روبه‌رو می‌شویم که در آنها، به جای جرم اتمی $m({}^A X)$ ، کاستی جرم $\Delta = (m - A)c^2$ درج شده است. با در دست داشتن کاستی جرم و استفاده از معادله (۲۵.۳)، جرم اتمی را می‌توان تعیین کرد.

انرژی جداسازی پروتون و نوترون هم از جمله اطلاعات مفید دیگری است که اغلب در جداول خواص هسته‌ای با آنها برخورد می‌کنیم. انرژی جداسازی نوترون S_n در هسته

عبارت است از مقدار انرژی لازم برای دور کردن يك نوترون از این هسته و برابر است با اختلاف انرژیهای بستگی بین ${}^A_Z X_N$ و ${}^{A-1}_Z X_{N-1}$

$$S_n = B({}^A_Z X_N) - B({}^{A-1}_Z X_{N-1}) \\ = [m({}^{A-1}_Z X_{N-1}) - m({}^A_Z X_N) + m_n]c^2 \quad (۲۶.۳)$$

به همین ترتیب، انرژی جداسازی پروتون S_p را به صورت انرژی لازم برای دور کردن يك پروتون از هسته تعریف می کنیم

$$S_p = B({}^A_Z X_N) - B({}^{A-1}_{Z-1} X_N) \\ = [m({}^{A-1}_{Z-1} X_N) - m({}^A_Z X_N) + m({}^1_1 H)]c^2 \quad (۲۷.۳)$$

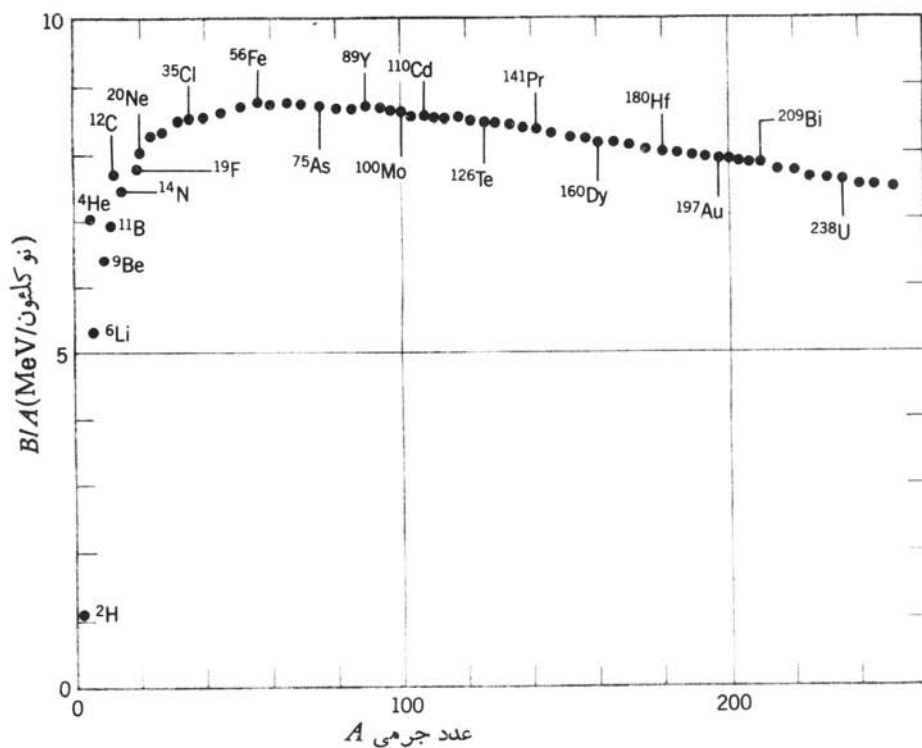
در این معادله، به جای پروتون، جرم هیدروژن را قرار داده ایم. چون همیشه در این روابط با جرمهای اتمی سروکار داریم، به آسانی می توان نحوه حذف شدن جرم Z الکترون در معادلات (۲۶.۳) و (۲۷.۳) نشان داد.

انرژی جداسازی نوترون و پروتون در فیزیک هسته‌ای با انرژی یونش در فیزیک اتمی مشابهت دارد، یعنی مقدار آن میزان بستگی بیرونی ترین نوکلئون (یا نوکلئون ظرفیت) را به هسته نشان می دهد. انرژی جداسازی هم، درست مانند انرژی یونش در اتمها، بر ساختار پوسته‌ای هسته‌ها دلالت می کند که مشابه ساختار پوسته‌ای اتمهاست. از این رو، ما بحث درباره انرژیهای جداسازی را به بحث مدلهای هسته‌ای در فصل ۵ موکول می کنیم. نمونه‌هایی از مقادیر کاستی جرم و انرژی جداسازی را در جدول ۱.۳ نشان داده ایم.

همچنانکه در بسیاری از موارد خواص هسته‌ای خواهیم دید، با بررسی نظم و ترتیب انرژی بستگی هسته‌ها می توان مدارك ارزنده‌ای از ساختار هسته‌ای به دست آورد. چون انرژی بستگی کم و بیش به طور خطی بر حسب A افزایش می یابد، عموماً در عمل انرژی بستگی متوسط هر نوکلئون، یعنی B/A ، را به صورت تابعی از A نشان می دهند. در شکل ۱۶.۳ تغییرات B/A را بر حسب عدد نوکلئونی نشان داده ایم. در این شکل، چند ویژگی مهم مربوط به هسته‌ها جلب توجه می کند. نخست اینکه منحنی جز در ناحیه هسته‌های بسیار سبک، مقدار نسبتاً ثابتی را نشان می دهد. انرژی بستگی متوسط بسیاری از هسته‌ها، با تقریب ۱۰٪، در حدود 8 MeV برای هر نوکلئون است. دوم اینکه منحنی در نزدیکی $A=60$ قله پهنی دارد و در همین ناحیه است که بستگی هسته‌ای به حداکثر می رسد. وجود این قله بدان معنی است که به دو طریق می توان به «تولید» (یا آزادسازی) انرژی هسته‌ای یافت: در نواحی پایینتر از $A=60$ از طریق ترکیب هسته‌های سبک و تشکیل هسته‌های سنگینتر، و در نواحی بالاتر از $A=60$ از طریق شکستن هسته‌های سنگین و تبدیل آنها به هسته‌های سبکتر. در هر دو صورت باید «از منحنی انرژی بستگی بالا رفت» که این امر به آزادسازی انرژی هسته‌ای منجر می شود. روش اول را همجوشی هسته‌ای (یا گداخت

جدول ۱۰۳ نمونه‌هایی از مقادیر کاستی جرم و انرژی جدا سازی.

نوکلید	Δ (MeV)	S_n (MeV)	S_p (MeV)
^{16}O	-۴۷۳۷	۱۵۶۶	۱۲۱۳
^{17}O	-۵۸۱۰	۴۱۴	۱۳۷۸
^{17}F	+۱۹۵۲	۱۶۸۱	۵۶۰
^{40}Ca	-۳۴۸۴۷	۱۵۶۴	۸۳۳
^{41}Ca	-۳۵۱۳۸	۸۳۶	۸۸۹
^{41}Sc	-۲۸۶۴۴	۱۶۱۹	۱۲۰۹
^{208}Pb	-۲۱۷۵۹	۷۳۷	۸۲۱
^{209}Pb	-۱۷۶۲۴	۳۹۴	۸۱۵
^{209}Bi	-۱۸۲۶۸	۷۴۶	۳۸۰



شکل ۱۶۰۳ انرژی بستگی هر نوکلئون در هسته.

هسته‌ای) و روش دوم را شکافت هسته‌ای می‌نامند. این موضوعات مهم را در فصلهای ۱۳ و ۱۴ (جلد دوم، ترجمه فارسی) بررسی خواهیم کرد.
تلاش برای درک منحنی انرژی بستگی به فرمول نیمه تجربی جرم منتهی می‌شود که در طی آن با استفاده از چند پارامتر کلی، سعی می‌کنیم که تغییرات B را بر حسب A توضیح دهیم.

بدیهی‌ترین جمله‌ای که در برآورد عبارت B/A باید در نظر گرفت جمله ثابت است، زیرا در تمام موارد داریم $B \propto A$. بنا بر این، سهم این جمله «حجمی» را در انرژی بستگی به صورت $B = a_v A$ می‌نویسیم که در آن a_v مقدار ثابت قابل تعیین است (مقدار آن باید در حدود 8 MeV باشد). این بستگی خطی بین A و B که در واقع تا حدودی شکست‌انگیز است، در جهت شناخت خواص نیروی هسته‌ای اولین رهنمودی است که در اختیار ما قرار می‌گیرد. اگر هر نوکلئونی همه نوکلئوهای دیگر موجود در هسته را جذب می‌کرد، آنگاه انرژی بستگی باید متناسب با $A(A-1)$ یا به تقریب متناسب با A^2 می‌شد. چون B به طور خطی بر حسب A تغییر می‌کند، این بدان معنی است که هر نوکلئون در هسته فقط نزدیکترین نوکلئوهای اطرافش را جذب می‌کند و همه نوکلئوهای دیگر را جذب نمی‌کند. با توجه به پراکندگی الکترون می‌دانیم چگالی هسته‌ای تقریباً ثابت است، یعنی تعداد نوکلئوهای موجود در اطراف هر نوکلئون تقریباً ثابت می‌ماند. بدین ترتیب، نتیجه می‌گیریم که سهم هر نوکلئون در انرژی بستگی هسته به تقریب مقداری ثابت است.

نوکلئونی که در سطح هسته قرار گرفته است از شمول حکم فوق مستثنی است، زیرا چنین نوکلئونی را همسایه‌های کمتری احاطه کرده‌اند و به همین دلیل بستگی آن به هسته از نوکلئوهای مرکزی کمتر است. سهم نوکلئوهای سطحی در انرژی بستگی B به همان میزان نوکلئوهای مرکزی نیست، و چون در رابطه $B = a_v A$ این نکته در نظر گرفته نشده است، مقدار B در آن بیش از حد لازم برآورد شده است. بنا بر این، از این مقدار B باید جمله‌ای را که متناسب با مساحت سطح هسته است کم کنیم. چون شعاع هسته $R \propto A^{1/3}$ است، مساحت سطح هسته متناسب با R^2 یا $A^{2/3}$ می‌شود. بنا بر این، سهم نوکلئوهای سطحی هسته را در انرژی بستگی باید به صورت $-a_s A^{2/3}$ در نظر گرفت.

در فرمول انرژی بستگی، دافعه کولنی پروتونها را نیز باید در نظر بگیریم که این مؤلفه هم در جهت تضعیف انرژی بستگی هسته عمل می‌کند. چون هر پروتون همه پروتونهای موجود در هسته را دفع می‌کند، این جمله متناسب با $Z(Z-1)$ می‌شود که با فرض هسته به شکل کره باردار یکنواخت، مقدار دقیق این جمله را می‌توان به صورت $(3/5)(e^2/4\pi\epsilon_0 R_0)Z(Z-1)/A^{1/3}$ محاسبه کرد که در آن علامت منفی به معنی کاهش انرژی بستگی در اثر این جمله است. با در نظر گرفتن $R_0 = 1.2 \text{ fm}$ ، مقدار ثابت این جمله برابر 72 MeV ره به دست می‌آید که با جانشین کردن آن با یک ثابت کولنی کلی a_c می‌توان آن را به شکل ساده‌تر نوشت.

همچنین، با توجه به چگونگی توزیع ایزوتوپهای پایدار و رادیواکتیو (شکل ۱۰.۱)،

می‌دانیم که در هسته‌های پایدار $Z \simeq A/2$ است. (توضیح این خاصیت هسته‌ای را در بحث مدل پوسته‌ای در فصل ۵ خواهیم دید.) اگر بخواهیم فرمول انرژی بستگی توصیف واقع بینانه‌ای از هسته‌های پایدار به دست بدهد، خاصیت $Z \simeq A/2$ هم باید در آن در نظر گرفته شود. (در غیر این صورت، بنا بر پیش‌بینی این فرمول، وجود ایزوتوپهای پایدار هیدروژن با صدها نوترون هم امکان‌پذیر می‌شود!) این جمله انرژی بستگی، برای هسته‌های سبک که در آنها رابطه $Z \simeq A/2$ بیشتر رعایت می‌شود، اهمیت زیادی دارد. این جمله در هسته‌های سنگین اهمیت کمتری دارد، زیرا افزایش سریع دافعه کولنی مستلزم نوترونهای اضافی است تا به این وسیله پایداری هسته تضمین شود. این جمله را که به خاطر تأثیرش در متقارن نگاه داشتن هسته از لحاظ تعداد پروتونها و نوترونها جمله تقارن نامیده می‌شود، می‌توان به صورت $-a_{\text{sym}}(A - 2Z)^2/A$ نوشت که شکل آن هم به علت ترجیح هسته‌های متقارن ($Z = A/2$) وهم به علت کاهش وزن در موارد A بزرگ، قابل قبول است.

سرانجام، جمله دیگری را هم باید در نظر بگیریم که تمایل نوکلئونهای مشابه را به تشکیل زوج و تحکیم پیکربندی پایدار هسته‌ای نشان دهد. هنگامی که با تعداد فرد نوکلئونها (Z فرد و N زوج، یا Z زوج و N فرد) سروکار داشته باشیم، این جمله نقشی در انرژی بستگی ندارد. اما اگر N و Z هر دو فرد باشند، انرژی بستگی هسته با تبدیل یکی از پروتونهای فرد به نوترون (یا برعکس) و قابلیت تزویج نوترون جدید با نوترونی که در هسته به صورت منفرد باقی مانده بود افزایش خواهد یافت. صرفاً با توجه به هسته‌های پایداری که در طبیعت یافت می‌شوند، می‌توان شواهدی دال بر وجود نیروی تزویج در هسته‌ها به دست آورد. تعداد هسته‌های با N و Z فرد در طبیعت فقط چهار تاست (${}^2\text{H}$ ، ${}^6\text{Li}$ ، ${}^{10}\text{B}$ ، ${}^{14}\text{N}$)، ولی تعداد هسته‌های با N و Z زوج ۱۶۷ تاست. انرژی تزویج δ را معمولاً برای N و Z زوج به صورت $+a_p A^{-2/4}$ ، برای N و Z فرد به صورت $-a_p A^{-2/4}$ ، و برای A فرد برابر صفر در نظر می‌گیریم.

از ترکیب تمام این پنج جمله، فرمول کامل انرژی بستگی به صورت زیر به دست می‌آید

$$B = a_v A - a_s A^{2/3} - a_c Z(Z-1)A^{-1/3} - a_{\text{sym}} \frac{(A-2Z)^2}{A} + \delta \quad (28.3)$$

و با به کار بردن این انرژی بستگی، فرمول نیمه تجربی جرم را چنین به دست می‌آوریم

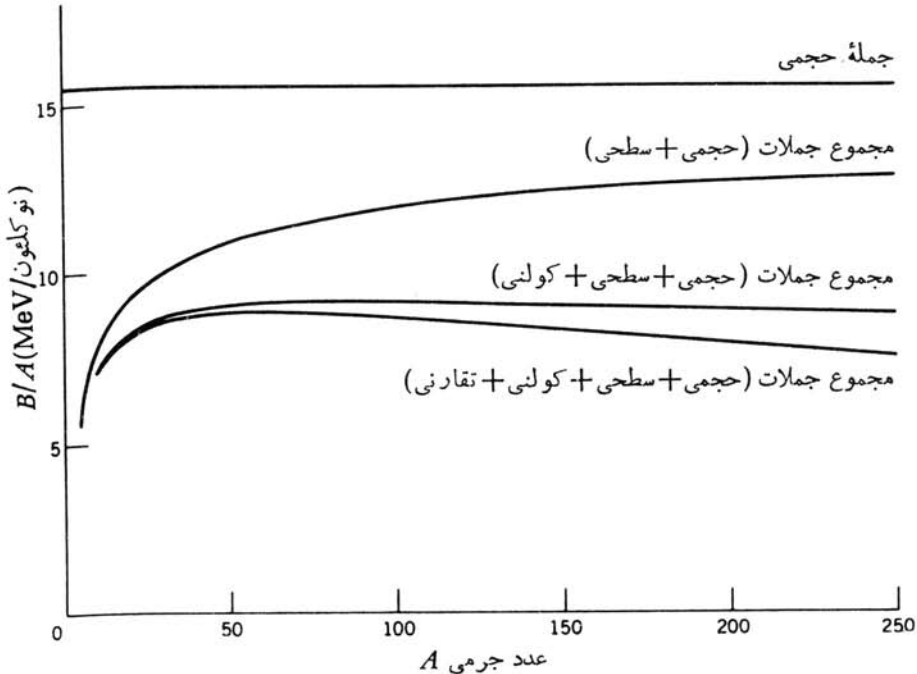
$$M(Z, A) = Zm({}^1\text{H}) + Nm_n - \frac{B(Z, A)}{c^2} \quad (29.3)$$

ضرایب ثابت را باید چنان انتخاب کرد که حداکثر سازگاری بین این فرمول و منحنی تجربی شکل ۱۶.۳ حاصل شود. گزینش خاصی از این مقادیر ثابت به صورت

و $a_{\text{sym}} = 23 \text{ MeV}$ ، $a_c = 0.72 \text{ MeV}$ ، $a_s = 16.8 \text{ MeV}$ ، $a_v = 15.85 \text{ MeV}$ و $a_p = 34 \text{ MeV}$ است که منحنی نمایش هر يك از جملات حاصل از این مقادیر و همچنین نتیجه جمعی آنها را که چگونگی تغییرات B را نسبتاً خوب پیش بینی می کند، در شکل ۱۷.۳ نشان داده ایم.

اهمیت فرمول نیمه تجربی جرم در این نیست که با استفاده از آن بتوانیم هر پدیده جدید یا عجیب و غریبی را در فیزیک هسته‌ای پیش بینی کنیم. بلکه این فرمول را باید نخستین تلاش در کاربرد مدل‌های هسته‌ای برای درک رفتار قانونمند یکی از خواص هسته که در این مورد همان انرژی بستگی است، تلقی کرد. این فرمول متضمن چند نوع مدل هسته‌ای مختلف است: مدل قطره مایع که در آن برخی از ویژگی‌های جمعی و بزرگ-مقیاس هسته‌ها به‌شبهه‌ای مشابه با محاسبات قطره مایع در نظر گرفته می شود (در واقع، سه جمله اول معادله (۲۸.۳) در محاسبه انرژی يك قطره مایع باردار هم ظاهر می شود)؛ و مدل پوسته‌ای که بیشتر با تک تک نوکلئونها سروکار دارد [دوجمله آخر معادله (۲۸.۳) با استفاده از این مدل قابل محاسبه است].

در معادله (۲۹.۳) به ازای يك مقدار ثابت A ، نمودار تغییرات M بر حسب Z به صورت سهمی است. مرکز این سهمی در همان نقطه‌ای است که مقدار معادله (۲۹.۳)



شکل ۱۷.۳ سهم هر يك از جملات موجود در فرمول نیمه تجربی جرم در بازسازی انرژی بستگی متوسط نوکلئونها.

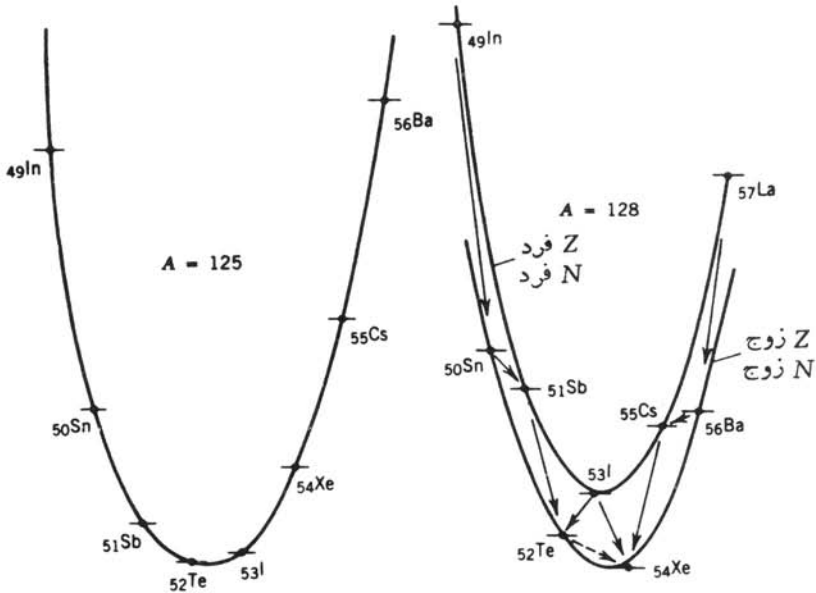
به کمینه می‌رسد. برای مقایسه این نتیجه با طرز رفتار هسته‌های واقعی باید محل کمینه را با قراردادن $\partial M / \partial Z = 0$ به دست آورد

$$Z_{\min} = \frac{[m_n - m(^1\text{H})] + a_c A^{-1/3} + 2a_{\text{sym}}}{2a_c A^{-1/3} + 4a_{\text{sym}} A^{-1}} \quad (30.3)$$

با قراردادن $a_c = 0.72 \text{ MeV}$ و $a_{\text{sym}} = 23 \text{ MeV}$ ، دو جمله اول صورت کسر فوق قابل صرفنظر می‌شوند، و بنابراین داریم

$$Z_{\min} \approx \frac{A}{2} \frac{1}{1 + (1/4)A^{2/3} a_c / a_{\text{sym}}} \quad (31.3)$$

برای مقادیر کوچک A چنانکه انتظار می‌رود $Z_{\min} \approx A/2$ می‌شود، اما برای مقادیر بزرگ A داریم $Z_{\min} < A/2$. برای هسته‌های سنگین، با توجه به معادله (31.3) خواهیم داشت $Z/A \approx 0.41$ که با مقادیر متناظر به هسته‌های پایدار سنگین سازگار است. نمونه‌ای از زنجیره واپاشی A فرد را برای $A = 125$ در شکل 18.3 نشان



شکل 18.3 زنجیره‌های جرمی برای دو دسته از ایزومرهای $A = 125$ و $A = 128$. در مورد $A = 125$ اختلاف انرژی بین ایزوتوپهای مجاور و افزایش آن، در اثر دور شدن از عضو پایدار زنجیره، درخور توجه است. در مورد $A = 128$ به تأثیر جمله تزویجی توجه کنید. ایزوتوپ ^{128}I می‌تواند به دو طریق واپاشیده شود. از نقطه نظر انرژی این امکان وجود دارد که ^{128}Te در اثر فرایندی به نام واپاشی دوبتایی مستقیماً به ^{128}Xe تبدیل شود.

داده‌ایم که عنصر پایدار پایانی آن هسته‌ای با $Z = 52$ است. هسته‌های ناپایدار این زنجیره، از طریق تبدیل یک نوترون به یک پروتون یا تبدیل یک پروتون به یک نوترون و درطی واپاشی رادیواکتیو بتازا، به طرف هسته پایدار نزدیک می‌شوند. توجه کنید که هرچه از موضع پایداری دورتر می‌رویم، مقدار انرژی واپاشی (که از اختلاف جرم بین ایزو بارهای مجاور حاصل می‌شود) افزایش می‌یابد. برای هسته‌های A زوج، به خاطر وجود جمله تزیوج، دو منحنی سهمی شکل به دست می‌آیند که به فاصله 2δ از یکدیگر قرار دارند. وجود این دو سهمی منجر به پیش‌بینی دو خاصیت غیرعادی می‌شود که در واپاشیهای A فرد دیده نمی‌شوند: (۱) هسته‌های Z فرد و N فرد می‌توانند به‌هر دو روش تبدیل نوترون به پروتون یا تبدیل پروتون به نوترون واپاشیده شوند؛ (۲) بعضی از واپاشیهای دوپتایی که در آنها در اثر واپاشی ۲ پروتون به ۲ نوترون تبدیل می‌شوند، نیز از نقطه نظر انرژی امکان پذیر خواهند بود. درباره این دو خاصیت در فصل ۹ بحث خواهیم کرد.

۴.۳ تکانه زاویه‌ای هسته‌ها و پارینته

در بخش ۵.۲ درباره جفت‌شدگی تکانه زاویه‌ای مداری \mathbf{l} و اسپین \mathbf{s} که حاصل آن تکانه زاویه‌ای کل \mathbf{j} است، بحث کردیم. تا آنجا که بتوانیم پتانسیل هسته‌ای را مرکزی بگیریم، \mathbf{l} و \mathbf{s} (و بنا بر این \mathbf{j}) از جمله ثابتهای حرکت خواهند بود. از این رو، به زبان مکانیک کوانتومی می‌توانیم هر نوکلئونی را با اعداد کوانتومی l, s, j مشخص کنیم. در این صورت، تکانه زاویه‌ای کل هسته‌ای که شامل A نوکلئون باشد از جمع برداری تکانه‌های زاویه‌ای همه نوکلئونهای آن به دست می‌آید. این تکانه زاویه‌ای کل را معمولاً اسپین هسته می‌نامند و با نماد I نشان می‌دهند. تکانه زاویه‌ای I تمامی خواص بردارهای تکانه زاویه‌ای را که در مکانیک کوانتومی متداول اند، داراست

$$I_z = m\hbar (m = -I, \dots, +I) \text{ و } I^2 = \hbar^2 I(I+1)$$

در بسیاری از اثرات مربوط به تکانه زاویه‌ای، رفتار هسته به گونه‌ای است که گویی بایک جسم منفرد با تکانه زاویه‌ای ذاتی I سروکار داریم. برای نمونه، در میدانهای مغناطیسی معمولی با مشاهده شکافتگی حالت I به تعداد $(2I+1)$ زیرحالت

$$m = -I, -I+1, \dots, I-1, I$$

می‌توانیم اثر هسته‌ای زیمان را تجربه کنیم. این زیرحالتها، همچنانکه در اثر عادی زیمان در آنها دیدیم، به فاصله یکسان از یکدیگر توزیع می‌شوند. اگر میدان مغناطیسی اعمال شده را فوق‌العاده قوی می‌گرفتیم به حدی که می‌توانست جفت‌شدگی بین نوکلئونها را بشکند، آنگاه هر حالت منفرد I به تعداد $(2I+1)$ زیرحالت شکافته می‌شد. مورد مشابه این خاصیت در فیزیک اتمی هم دیده می‌شود: هنگامی که میدان مغناطیسی اعمال شده قوی باشد، جفت‌شدگی بین \mathbf{l} و \mathbf{s} الکترونها شکسته می‌شود و در این صورت با $(2I+1)$

مؤلفه I و $(2s+1)$ مؤلفه S مواجه خواهیم شد. در حال حاضر نمی‌توانیم میداننی را که برای شکستن جفت‌شدگی نوکلئونها قدرت کافی داشته باشد، تولید کنیم. بنا بر این رفتار هسته برای ما به گونه‌ای است که گویی فقط با يك ذره منفرد «چرخان» سروکار داریم. به همین دلیل است که در توصیف حالت‌های هسته‌ای از اسپین (یا تکانه زاویه‌ای کل) I و عدد کوانتومی اسپین I استفاده می‌کنیم.

برای جلوگیری از سردرگمی، در سراسر این کتاب اسپین هسته را با نماد I و تکانه زاویه‌ای کل يك نوکلئون منفرد را با نماد J نشان خواهیم داد. اغلب با مواردی روبه‌رو می‌شویم که تمام خواص هسته را يك تک ذره ظرفیت تعیین می‌کند؛ در این حالت داریم $J=I$. در موارد دیگر، ممکن است لازم باشد که دو ذره ظرفیت را در نظر بگیریم. در این گونه حالت‌ها داریم $I=J_1+J_2$ که در آن برای I می‌تواند چند مقدار مختلف داشته باشد. در پاره‌ای از موارد، ذره منفرد و قلب حاصل از نوکلئونهای باقیمانده هر دو با هم در تکانه زاویه‌ای کل هسته سهم دارند، یعنی $I=J_c+J_p$ می‌شود که در آن J_p تکانه ذره منفرد و J_c تکانه قلب نوکلئونهای باقیمانده است.

یکی از شرایط مهم مقادیر مجاز I ، با توجه به مؤلفه‌های تکانه زاویه‌ای کل هر يك از نوکلئونها در راستای z به دست می‌آید. چون تمام مقادیر J باید اعدادی نیم درست $(1/2, 3/2, 5/2, \dots)$ باشند، مؤلفه‌های آنها در راستای z هم فقط اعداد نیم درست $(\pm 1/2 \hbar, \pm 3/2 \hbar, \pm 5/2 \hbar, \dots)$ خواهند بود. اگر تعداد نوکلئونهای موجود در هسته زوج باشد، تعداد زوجی از مؤلفه‌های نیم درست در هسته خواهیم داشت و در نتیجه مؤلفه z تکانه کل I فقط مقادیر درست خواهد داشت. این امر مستلزم آن است که مقدار I هم با عدد درستی بیان شود. اگر تعداد نوکلئونها فرد باشد، مؤلفه z تکانه کل و بنا بر این مقدار I هر دو باید نیم درست باشند. بدین ترتیب، قاعده‌ای به صورت زیر به دست می‌آوریم

در هسته‌های A فرد: $I = \text{نیم درست}$

در هسته‌های A زوج: $I = \text{درست}$

اندازه‌گیری مقادیر اسپین هسته‌ها، اطلاعات زیادی درباره ساختار هسته به دست می‌دهد. برای نمونه، صدها هسته (بایدار و رادیواکتیو) با Z زوج و N زوج می‌شناسیم که اسپین حالت پایه همگی آنها برابر صفر است. این نکته دال بر وجود نیروی تزویج است که در بخش قبلی از آن سخن گفته‌ایم: نوکلئونها به صورت زوج‌هایی با اسپین صفر با هم جفت می‌شوند و در نتیجه I کل برابر صفر می‌شود. به همین ترتیب، اسپین حالت پایه در هسته‌های A فرد باید با مقدار J آخرین پروتون یا نوترون منفرد برابر شود. هنگامی که مدل پوسته‌ای هسته را در فصل ۵ بررسی می‌کنیم، باز هم در این باره به بحث خواهیم پرداخت. برای مشخص کردن حالت‌های هسته، علاوه بر اسپین هسته از چارچته نیز استفاده می‌شود. پاریته می‌تواند دارای مقادیر مثبت (زوج) یا منفی (فرد) باشد. اگر تابع موج تک تک نوکلئونهای موجود در هسته را می‌شناختیم، از حاصلضرب پاریته‌های تمامی A نوکلئون

می‌توانستیم پاریته هسته را به صورت π مثبت یا منفی ($\pi = \pi_1 \pi_2 \dots \pi_n$) به دست آوریم. اما در عمل استفاده از چنین روشی امکان‌پذیر نیست، زیرا عموماً نمی‌توانیم به هر نوکلئون هسته تابع موجی با پاریته معلوم نسبت دهیم. پس پاریته π را هم، مانند اسپین I ، به صورت يك خاصیت «جمعی» کل هسته در نظر می‌گیریم. پاریته کل هسته را با استفاده از روشهای گوناگون و پاشی و واکنش هسته‌ای می‌توانیم مستقیماً اندازه‌گیری کنیم. پاریته هسته را به صورت شاخص بالای اسپین هسته و با علامت $+$ یا $-$ نشان می‌دهیم، و می‌نویسیم I^π . برای نمونه می‌نویسیم 0^+ ، 2^- ، $(1/2)^-$ ، $(5/2)^+$. هیچ‌گونه رابطه نظری مستقیمی بین I و π وجود ندارد، و در نتیجه برای هر مقداری از I علامت π می‌تواند مثبت یا منفی باشد.

۵.۳ گشتاور الکترومغناطیسی هسته

بیشتر اطلاعاتی که از ساختار هسته در اختیار داریم، نه از برهم‌کنش قوی هسته‌ای بین هسته‌ها و محیط اطرافشان، بلکه از برهم‌کنش خیلی ضعیفتر الکترومغناطیسی حاصل شده‌اند. به عبارت دیگر، نظم موجود در حرکت و توزیع نوکلئونهای درون هسته از برهم‌کنش قوی هسته‌ای حاصل می‌شود، اما وسیله کاوش در این توزیع، برهم‌کنش الکترومغناطیسی است. در این کار، ما می‌توانیم از میدانهای الکترومغناطیسی که در مقایسه با نیروی قوی درون هسته اثر ضعیفتری روی حرکت نوکلئونها دارد استفاده کنیم. بدین ترتیب، عمل اندازه‌گیری تأثیر شدیدی روی موضوع تحت بررسی نخواهد گذاشت.

هرگونه توزیع بار الکتریکی و جریان، تولید میدانهایی الکتریکی و مغناطیسی می‌کند که به شکل خاصی به فاصله بستگی دارند. معمولاً به هر يك از وابستگیهای فضایی مربوط به توزیع بار و جریان الکتریکی، يك گشتاور چندقطبی الکترومغناطیسی نسبت می‌دهند: به میدان الکتریکی $1/r^2$ که از بار الکتریکی حاصل می‌شود، گشتاور مرتبه صفر یا تک‌قطبی نسبت می‌دهیم. میدان الکتریکی $1/r^3$ را ناشی از گشتاور مرتبه اول یا دوقطبی و میدان الکتریکی $1/r^4$ را ناشی از گشتاور مرتبه دوم یا چارقطبی می‌دانیم، و همین‌طور ... گشتاورهای چندقطبی مغناطیسی هم، به استثنای تک‌قطبی، وضعی مشابه دارند. تا آنجا که می‌دانیم، تک‌قطبی مغناطیسی یا وجود ندارد یا اینکه خیلی نادر است. به همین دلیل، میدان تک‌قطبی مغناطیسی را (که متناسب با $1/r^2$ می‌شود) به حساب نمی‌آوریم. نظریه الکترومغناطیس برای محاسبه گشتاورهای چندقطبی الکتریکی و مغناطیسی، دستورالعمل مشخصی دارد که با استفاده از این روش و با در نظر گرفتن شکل عملگر گشتاورها و محاسبه مقادیر انتظاری آنها در حالت‌های مختلف هسته‌ای، می‌توان گشتاورهای کوانتوم مکانیکی سیستمهای هسته‌ای را هم تعیین کرد. سپس این مقادیر انتظاری را می‌توانیم مستقیماً با مقادیر تجربی که در آزمایشگاه به دست می‌آوریم مقایسه کنیم. روشهای اندازه‌گیری گشتاورهای هسته‌ای را در فصل ۱۶ (جلد دوم، ترجمه فارسی) بررسی خواهیم کرد.

ساده‌ترین نوع توزیع بار و جریان، فقط می‌تواند میدانهای چندقطبی مرتبه پایین

تولید کند. توزیع کروی بار الکتریکی فقط منجر به تولید میدان تک قطبی (کولنی) می شود، و هیچ گشتاوری از مراتب بالاتر در این مورد به وجود نمی آید. یک حلقه از جریان دایره ای، فقط یک میدان دوقطبی مغناطیسی تولید خواهد کرد. طبیعت در تولید هسته ها بی قاعده عمل نمی کند بلکه هر وقت که تولید ساختاری ساده و متقارن (و سازگار با برهم کنش هسته ای) امکان پذیر باشد، گرایش طبیعی چنان است که هسته ها با همان ساختار تولید شوند. از این رو برای مشخص کردن خواص الکترومغناطیسی هسته، معمولاً به اندازه گیری یا محاسبه با بهترین مرتبه گشتاورهای چندقطبی اکتفا می شود.

یکی دیگر از شرایط محدود کننده گشتاورهای چندقطبی، از تقارن هسته ناشی می شود که مستقیماً به پاریته حالت های هسته ای بستگی دارد. هر گشتاور چندقطبی الکترومغناطیسی، پاریته خاصی دارد که با توجه به رفتار عملگر چندقطبی در طی تبدیل $\mathbf{r} \rightarrow -\mathbf{r}$ تعیین می شود. پاریته گشتاورهای الکتریکی از عدد نمایی $(-1)^L$ حاصل می شود که در آن L مرتبه گشتاور است (برای تک قطبی $L=0$ ، برای دوقطبی $L=1$ ، برای چارقطبی $L=2$ است و همین طور تا آخر). پاریته گشتاورهای مغناطیسی از عدد نمایی $(-1)^{L+1}$ به دست می آید. هنگامی که می خواهیم مقدار انتظاری یک گشتاور را محاسبه کنیم، باید مقدار انتگرال $\int \psi^* \Theta \psi dv$ را تعیین کنیم که در آن Θ عملگر الکترومغناطیسی مورد نظر است. از آنجا که تابع موج ψ دو بار در انتگرال ظاهر می شود، پاریته خود ψ اهمیتی ندارد، زیرا تبدیل $\psi \rightarrow +\psi$ یا $\psi \rightarrow -\psi$ تابع زیرانتگرال را تغییر نمی دهد. اما اگر Θ دارای پاریته فرد باشد، آنگاه تابع زیرانتگرال بر حسب مختصات تابعی فرد است که باید به مقدار انتظاری گشتاور صفر منتهی شود. پس تمامی گشتاورهای چندقطبی استاتیکی که پاریته فرد دارند باید برابر صفر باشند که از آن جمله است دوقطبی الکتریکی، چارقطبی مغناطیسی، هشت قطبی الکتریکی ($L=3$)، و غیره.

گشتاور الکتریکی تک قطبی، درست با بار هسته Z مساوی می شود. گشتاور غیر صفر بعدی هسته، گشتاور دوقطبی مغناطیسی μ است. مقدار گشتاور مغناطیسی یک حلقه دایره ای به مساحت A که حامل جریان i باشد، عبارت است از $|\mu| = iA$. اگر جریان i در اثر گردش بار e که با سرعت v در دایره ای به شعاع r (و بسا دوره تناوب $2\pi r/v$) در حرکت است به وجود آید، داریم

$$|\mu| = \frac{e}{(2\pi r/v)} \pi r^2 = \frac{evr}{2} = \frac{e}{2m} |\mathbf{I}| \quad (32.3)$$

که در آن $|\mathbf{I}|$ تکانه زاویه ای کلاسیک بار متحرک یا mvr است. در مکانیک کوانتومی، گشتاور مغناطیسی قابل مشاهده را به طور عملیاتی در راستای بزرگترین مؤلفه \mathbf{I} تعریف می کنیم. بنابراین، چنانچه به جای \mathbf{I} مقدار انتظاری آن را نسبت به محوری که تصویر بردار تکانه روی آن بزرگترین مقدار یعنی $m_I \hbar$ است ($m_I = +1$) قرار دهیم، معادله (32.3) را می توانیم مستقیماً وارد محاسبات کوانتومی کنیم. در این صورت، خواهیم داشت

$$\mu = \frac{e\hbar}{2m} l \quad (33.3)$$

که در آن l اکنون عدد کوانتومی تکانه زاویه‌ای مداری است. کمیت $e\hbar/2m$ را یک مگنتون می‌نامند. در حرکتهای اتمی، به جای m جرم الکترون را قرار می‌دهیم و مگنتون بود را به صورت $\mu_B = 5.7884 \times 10^{-5} \text{ eV/T}$ به دست می‌آوریم. اگر به جای m جرم پروتون قرار گیرد، مگنتون هسته‌ای به صورت $\mu_N = 3.1525 \times 10^{-8} \text{ eV/T}$ به دست می‌آید. توجه کنید که به خاطر اختلاف جرم داریم $\mu_N \ll \mu_B$ ، یعنی در بسیاری از شرایط مغناطیس اتمی خیلی قویتر از مغناطیس هسته‌ای است. برهم کنشهای مغناطیسی عادی در ماده (مثل خاصیت فرومغناطیسی) از طریق مغناطیس اتمی ماده تعیین می‌شود. اثرات مغناطیس هسته‌ای مواد را فقط در شرایط خیلی خاص می‌توان مشاهده کرد (فصل ۱۶، جلد دوم ترجمه فارسی را ببینید).
معادله (۳۳.۳) را به شکل مفیدتر زیر می‌توانیم بنویسیم

$$\mu = g_l \mu_N \quad (34.3)$$

که در آن g_l را ضریب g می‌گویند که به تکانه زاویه‌ای مداری l وابسته است. برای پروتونها $g_l = 1$ است. چون نوترونها بار الکتریکی ندارند، در صورتی می‌توانیم از معادله (۳۴.۳) برای توصیف حرکت مداری نوترونها استفاده کنیم که در مورد آنها $g_l = 0$ باشد.

تاکنون فقط حرکت مداری نوکلئونها را در نظر گرفته‌ایم. پروتونها و نوترونها هم مانند الکترونها، علاوه بر گشتاور مداری، دارای گشتاور مغناطیسی ذاتی یا اسپینی هستند که هیچ‌گونه مشابه کلاسیک ندارد. در اینجا این گشتاور را به همان صورت معادله (۳۴.۳) در نظر می‌گیریم

$$\mu = g_s s \mu_N \quad (35.3)$$

که در آن برای هر سه ذره پروتون، نوترون، و الکترون داریم $s = 1/2$. کمیت g_s را ضریب اسپینی g می‌گویند که از حل معادله نسبیتی مکانیک کوانتومی حاصل می‌شود. برای ذره‌ای مانند الکترون که ذره‌ای نقطه‌ای با اسپین $1/2$ است، بنا بر معادله دیراک داریم $g_s = 2$ که با مقدار حاصل از اندازه‌گیری $g_s = 2.0023$ سازگاری کامل دارد. در اینجا اختلاف بین g_s و عدد ۲ خیلی کم و با در نظر گرفتن مراتب بالاتر تصحیحات الکترو دینامیک کوانتومی به دقت قابل محاسبه است. اما تفاوت بین مقادیر تجربی g_s برای نوکلئونهای آزاد، و مقدار انتظاری ذرات نقطه‌ای خیلی چشمگیر است

برای پروتون: $g_s = 5.5856912 \pm 0.00000022$

برای نوترون: $g_s = -3.8260837 \pm 0.00000018$

گشتاور مغناطیسی اندازه گیری شده، بر حسب مگنتون هسته‌ای، درست برابر نصف ضریب g به دست می‌آید. نه تنها اختلاف بین گشتاور مغناطیسی تجربی پروتون و مقدار انتظاری ۲ برای یک ذره نقطه‌ای بسیار زیاد است، بلکه برای نوترون بدون بار هم گشتاور مغناطیسی غیر صفر به دست می‌آوریم! شاید این اختلافات اولین قرائنی هستند که نشان می‌دهند نوکلئونها ذرات بنیادی نقطه‌ای شکلی مانند الکترون نیستند، بلکه ساختاری داخلی دارند. در ساختار داخلی نوکلئونها باید ذرات باردار در حال حرکت دخالت داشته باشند، و حرکت این ذرات باید به تولید جریانهایی منجر شود که با گشتاورهای مغناطیسی مشاهده شده سازگار باشند. یکی از نکات جالب توجه این است که g پروتون در حدود ۳٫۶ از مقدار انتظاری اش بزرگتر است، در حالی که g نوترون در همین حدود از مقدار انتظاری آن (صفر) کوچکتر است. قبلاً اختلاف بین مقادیر انتظاری و اندازه‌گیری شده g را به ابرهای مزونی (مزون π) حول نوکلئونها نسبت می‌دادند. به این ترتیب که ابر پروتونها را متشکل از مزونهای مثبت و خنثای π ، و ابر نوترونها را متشکل از مزونهای منفی و خنثای π می‌دانستند. در این صورت، سهم مساوی و مختلف‌العلامت گشتاور مغناطیسی ناشی از ابر مزونی قابل توجه به نظر می‌رسید. در نظریه‌های امروزی، نوکلئونها را متشکل از سه کوارک در نظر می‌گیرند و گشتاور مغناطیسی هر نوکلئون را مستقیماً از جمع گشتاورهای مغناطیسی کوارکها به دست می‌آورند (فصل ۱۸ جلد دوم، ترجمه فارسی را ببینید).

نیروی تزویج در هسته‌ها، جفت‌شدگی میان نوکلئونها را چنان تنظیم می‌کند که برآیند تکانه‌های زاویه‌ای مداری و اسپینی هر زوج برابر صفر می‌شود. بدین ترتیب، نوکلئونهای تزویج شده هیچ گونه سهمی در گشتاور مغناطیسی ندارند، و در تعیین آن فقط کافی است که نوکلئونهای ظرفیت را در نظر بگیریم. اگر چنین نبود، بر اساس ملاحظات آماری در بعضی از هسته‌های سنگین احتمالاً با گشتاورهای مغناطیسی خیلی بزرگ که شاید به دهها مگنتون هسته‌ای بالغ می‌شد، روبرو می‌شدیم. اما تا کنون هیچ هسته‌ای با گشتاور مغناطیسی دوقطبی بزرگتر از حدود $6\mu_N$ مشاهده نشده است.

جدول ۲۰۳ نمونه‌هایی از مقادیر گشتاور مغناطیسی دوقطبی هسته‌ها را نشان می‌دهد. با توجه به نیروی تزویج، می‌توانیم این مقادیر گشتاور مغناطیسی را مورد تجزیه و تحلیل قرار دهیم و اطلاعاتی از ساختار هسته‌ای به دست آوریم. در فصل ۴ گشتاور مغناطیسی دوترون را بررسی می‌کنیم، و در فصل ۵ پیش‌بینی مدل‌های هسته‌ای را در مورد گشتاور مغناطیسی هسته‌های سنگین خواهیم دید.

گشتاور غیر صفر بعدی در هسته‌ها، گشتاور چارکطبی الکترونیکی است. گشتاور چارکطبی eq یک ذره باردار کلاسیک e به صورت $e(3z^2 - r^2)$ است. اگر حرکت ذره تقارن کروی داشته باشد، آنگاه (به‌طور متوسط) داریم $r^2/3 = z^2 = x^2 = y^2$ و در نتیجه گشتاور چارکطبی آن برابر صفر خواهد شد. اگر ذره در یک مدار تخت کلاسیک (مثلاً در صفحه (xy)) حرکت کند، آنگاه $z = 0$ و $Q = -e r^2$ خواهد شد. در مکانیک کوانتومی، گشتاور چارکطبی یک پروتون منفرد عبارت است از

جدول ۲.۳ چند نمونه از مقادیر گشتاور دوقطبی مغناطیسی.

نوکلید	$\mu(\mu_N)$
n	-۱۹۱۳۰۴۱۸
p	+۲۷۹۲۸۴۵۶
$^2\text{H(D)}$	+۰٫۸۵۷۴۳۷۶
^{17}O	-۱٫۸۹۳۷۹
^{57}Fe	+۰٫۰۹۰۶۲۲۹۳
^{57}Co	+۴٫۷۳۳
^{93}Nb	+۶٫۱۷۰۵

تمام مقادیر به‌حالاتهای پایه در هسته‌ها مربوط می‌شوند. عدم قطعیت این مقادیر نوعاً به چند قسمت از آخرین ارقام محدود می‌شود.

$$eQ = e \int \psi^*(3z^2 - r^2)\psi \, dv \quad (۳۶.۳)$$

اما برای نوترونی که در یک مدار در حرکت است، داریم $Q = 0$. اگر $|\psi|^2$ تقارن کروی داشته باشد، $Q = 0$ می‌شود. اگر $|\psi|^2$ در صفحه xy قرار گیرد (یعنی $z \cong 0$ باشد)، خواهیم داشت $\langle r^2 \rangle - \langle z^2 \rangle \sim Q$ ؛ و چنانچه $|\psi|^2$ حول محور z (یعنی $r \cong z$) تمرکز داشته باشد، داریم $Q \sim +2\langle r^2 \rangle$. در اینجا $\langle r^2 \rangle$ شعاع میانگین مربعی مدار است. سودمندی نیروی تزویج در این مورد هم به روشنی مشاهده می‌شود. اگر نوکلئونهای تزویج شده در مدارهایی با تقارن کروی در حرکت باشند، در مقدار گشتاور Q نقشی نخواهند داشت. بدین ترتیب می‌توانیم انتظار داشته باشیم که گشتاور چارقطبی بسیاری از هسته‌ها را به کمک نوکلئونهای ظرفیت برآورد کنیم. مدار نوکلئونهای ظرفیت را می‌توانیم در نزدیکی سطح هسته در نظر بگیریم، که در این صورت $r = R_0 A^{1/3}$ می‌شود. بنا بر این برآورد، گشتاور چارقطبی به صورت $|eQ| \leq eR_0^2 A^{2/3}$ به دست می‌آید که مقدار آن از حدود $6 \times 10^{-30} \text{ em}^2$ برای هسته‌های سبک تا $50 \times 10^{-30} \text{ em}^2$ برای هسته‌های سنگین در تغییر است. یکای 10^{-28} m^2 را که برای سطح مقطع واکنش‌های هسته‌ای به فراوانی مورد استفاده است یک بارن می‌گویند و با b نمایش می‌دهند. این یکا برای تعیین مقدار گشتاورهای چارقطبی هسته‌ها هم مناسب است، و بیشینه‌های انتظاری هسته‌های مختلف برحسب این یکا بین 60 eb تا 5 eb به دست می‌آید. چنانکه در جدول ۳.۳ دیده

جدول ۳.۳ چند نمونه از مقادیر گشتاور چارقطبی الکتریکی.

نوکلید	$Q(b)$
${}^2\text{H(D)}$	+۰.۰۰۰۲۸۸
${}^{17}\text{O}$	-۰.۰۰۲۵۷۸
${}^{59}\text{Co}$	+۰.۰۴۰
${}^{63}\text{Cu}$	-۰.۰۲۰۹
${}^{133}\text{Cs}$	-۰.۰۰۰۰۳
${}^{161}\text{Dy}$	+۰.۲۴
${}^{176}\text{Lu}$	+۰.۸۰
${}^{209}\text{Bi}$	-۰.۰۳۷

تمام مقادیر به حالت‌های پایه هسته‌ها مربوط می‌شوند. عدم قطعیت‌ها در این مقادیر نوعاً به چند قسمت از آخرین ارقام محدود است.

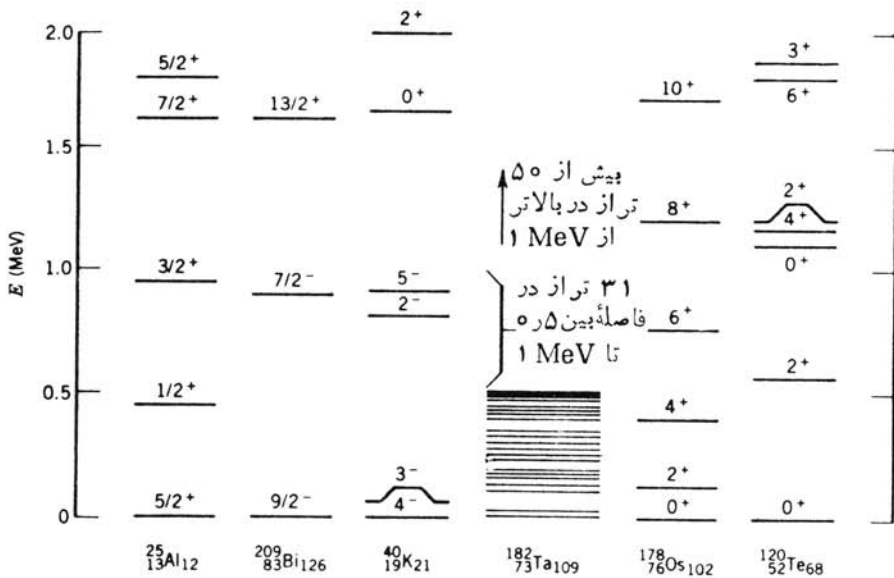
می‌شود، گشتاور چارقطبی بسیاری از هسته‌ها در همین گستره قرار دارد. اما گشتاور تعدادی از هسته‌ها، بویژه عناصر قلیایی خاکی، خیلی از این مقادیر فاصله دارد. در این موارد، گشتاور چارقطبی متضمن اطلاعات مهمی است، و معلوم می‌شود که مدل تک ذره قادر به توجیه مقادیر بزرگ گشتاور چارقطبی نیست. همه پروتون‌های موجود در هسته یا بیشتر آنها باید به نوعی در تولید این مقادیر بزرگ Q شرکت داشته باشند. فرض وجود قلب کروی متقارنی از نوکلئون‌های تزویج شده برای این هسته‌ها معتبر نیست. در بعضی از هسته‌ها ممکن است این قلب یک شکل غیر کروی ایستا داشته باشد که به تولید گشتاور چارقطبی بزرگ منجر شود. خواص این گونه هسته‌های شدیداً تغییر شکل یافته را در فصل ۵ بررسی خواهیم کرد.

۶.۳ حالت‌های برانگیخته هسته

همچنانکه از مطالعه حالت‌های برانگیخته اتمی اطلاعاتی از ساختار اتمها به دست می‌آوریم، با توجه به حالت‌های برانگیخته هسته‌ای نیز می‌توانیم تا حدودی ساختار هسته‌ها را بشناسیم. حالت‌های برانگیخته هسته هم، مانند حالت‌های برانگیخته اتمی، ناپایدارند و سریعاً به حالت پایه برمی‌گردند. برانگیختگی اتمها در اثر جابه‌جا کردن الکترون‌ها و رساندن آنها

به مدارهای انرژی بالاتر صورت می‌گیرد. همین‌کار را برای نوکلئونهای موجود در هسته نیز می‌توان انجام داد. بدین ترتیب، به کمک حالت‌های برانگیخته می‌توان بعضی از خصوصیات مدارهای نوکلئونی را در هسته‌ها نشان داد. ما قبلاً در همین فصل در چند مورد، به خواص مکمل ساختار تک‌زده‌ای و ساختار جمعی هسته‌ها اشاره کردیم. بعلاوه، می‌دانیم که حالت‌های برانگیخته هسته‌ای را نیز می‌توانیم با افزودن انرژی به قلب نوکلئونهای تزویج شده در هسته‌ها تولید کنیم. این انرژی، ممکن است به صورت انرژی نوسانات یا دوران جمعی در کل قلب هسته ظاهر شود، و یا اینکه صرف شکستن یکی از زوج‌های نوکلئونی شود و از این طریق دو نوکلئون بر نوکلئونهای ظرفیتی هسته بیفزاید.

بخشی از هدف طیف‌نمایی هسته‌ای، مشاهده حالت‌های قابل برانگیزش و اندازه‌گیری خواص آنهاست. روش‌های تجربی متداول در طیف‌نمایی هسته‌ای، انواع روش‌های موجود در مطالعات واپاشی رادیو اکتیو و واکنش‌های هسته‌ای را در برمی‌گیرد. بررسی تفصیلی واپاشیها و واکنش‌های هسته‌ای را در بخش‌های آینده خواهیم دید. از جمله نکاتی که در اندازه‌گیری خواص هر حالت برانگیخته باید در نظر گرفت، انرژی برانگیزش، طول عمر و مد (یا مدهای) واپاشی، اسپین و پارته، گشتاور دو قطبی مغناطیسی، و گشتاور چار قطبی



شکل ۱۹.۳ چند نمونه از نمودارهای حالت‌های برانگیخته پایینتر از ۲ MeV. حالت‌های برانگیخته در بعضی هسته‌ها مانند ^{209}Bi خیلی ساده است، در حالی که در برخی دیگر از هسته‌ها مانند ^{182}Ta خیلی پیچیده است. نظمی که در ترازهای ^{178}Os دیده می‌شود، در تمام هسته‌های زوج-زوج (Z و N هر دو زوج) موجود در گستره $190 \leq A \leq 150$ تکرار می‌شود. ساختار مشابه ^{120}Te هم در بسیاری از هسته‌های موجود در گستره $150 \leq A \leq 50$ تکرار می‌شود.

الکتريکي است. با توجه به وجود تعداد بيش از ۱۰۰۰ نوکلید که هر يك از آنها ممکن است صدها حالت برانگیخته داشته باشد، کار اندازه گیری، تنظیم جدول، و تحلیل و تفسیر اطلاعات مربوط به حالت‌های برانگیخته، برنامه‌ای بسیار بسیار سنگین است. نمونه‌هایی از نمودار تراز هسته‌ای را در شکل ۱۹.۳ نشان داده‌ایم. منشأ تعداد کمی از حالت‌های برانگیخته را می‌توان مشخص کرد و فهمید که از برانگیختگی نوکلئون‌های ظرفیت تولید شده‌اند یا از برانگیختگی قلب هسته. این تشخیص هم فقط بعد از اندازه گیری تمامی خواص فوق‌الذکر و مقایسه آنها با پیش‌بینی مبتنی بر محاسبات برانگیزش تک‌ذره‌ای و برانگیزش جمعی قلب هسته، و همچنین مشاهده سازگاری بیسن آزمایش و محاسبه، امکان پذیر می‌شود. در فصل‌های آینده، روش‌های تجربی رایج برای جمع‌آوری این گونه اطلاعات و مدل‌های هسته‌ای مورد نیاز برای تفسیر آنها را بررسی خواهیم کرد. این نوع تحلیل و تعبیر جامع از ساختار هسته‌ای را صرفاً از طریق آزمایش‌های بسیار دقیق و دشوار، و با استفاده از محاسبات مفصل کامپیوترهای قدرتمند امروزی، می‌توانیم به دست آوریم.

مراجع مطالعات تکمیلی

در مورد توزیع جرم و بار هسته‌ای از دو مرجع اصلی زیر می‌توان استفاده کرد:

Roger C. Barrett and Daphne F. Jackson, *Nuclear Sizes and Structure* (Oxford: Clarendon, 1977),

مرجع زیر هم حاوی مجموعه مقالاتی درباره توزیع بار و گشتاور هسته‌ای است

Atomic Data and Nuclear Data Tables, 14, 479-653, (1974).

مجموعه‌ای از مقالات تجدید چاپ شده مربوط به پراکندگی الکترون را می‌توان

در کتاب زیر یافت:

R. Hofstadter, *Nuclear and Nucleon Structure* (New York: Benjamin, 1963),

استفاده از اتم‌های موثونی برای تعیین توزیع بار هسته‌ای در مرجع زیر مرور شده است:

C. S. Wu and L. Willets, *Ann. Rev. Nucl. Sci.* 19, 527(1969),

روش‌های عام کاربرد لیزر در طیف‌نمایی اپتیکی و بررسی خواص هسته‌ها را می‌توان در مرجع زیر یافت:

D. E. Murnick and M. S. Feld, *Ann. Rev. Nucl. Sci.* 29, 411(1979),

برای بحث تفصیلی درباره فرمول نیمه تجربی جرم به کتاب زیر رجوع کنید:

R. D. Evans, *The Atomic Nucleus* (New York: McGraw-Hill, 1955).

مسائل

۰۱ نشان دهید که میانگین مربعی شعاع بار یک کره باردار یکنواخت عبارت است از $\langle r^2 \rangle = 3R^2/5$.

۰۲ (الف) معادله (۹.۳) را به دست آورید. (ب) با شروع از معادله (۹.۳) و تکمیل تمام مراحل محاسبه، فرمول (۱۳.۳) را به دست آورید.

۰۳ عامل شکل $F(q)$ را در هر یک از توزیع بارهای زیر محاسبه کنید:

$$\rho(r) = \rho_0 e^{-(\ln 2)r^2/R^2} \quad (\text{ب}) \quad \rho(r) = \rho_0, \quad r < R \quad (\text{الف})$$

$$= 0, \quad r > R$$

۰۴ یکی از توزیع بارهای هسته‌ای که واقع بینانه‌تر از توزیع بار یکنواخت است، توزیع فرمی $\rho(r) = \rho_0 \{1 + \exp[(r-R)/a]\}^{-1}$ است. (الف) این توزیع را رسم کنید و آن را با شکل ۴.۳ مقایسه کنید. (ب) به فرض آنکه $t = 2.3 \text{ fm}$ باشد، مقدار a را به دست آورید. (ج) مفهوم پارامتر R چیست؟ (د) مقدار $\langle r^2 \rangle$ را در این توزیع به دست آورید.

۰۵ تصحیح استتار الکترونی که در تحلیل پرتوایکس الکترونی مشکل بزرگی به وجود می‌آورد، چرا در مورد پرتوایکس موثونی ایجاد اشکال نمی‌کند؟

۰۶ (الف) با استفاده از مدل تک الکترونی و با فرض یک هسته نقطه‌ای، انرژی پرتوهای ایکس موثونی پوسته K را در Fe تعیین کنید، و آنها را با انرژیهای شکل ۸.۳ مقایسه کنید. (ب) تصحیح ΔE مربوط به اندازه محدود هسته را به دست آورید، و مقدار تصحیح شده را با انرژی اندازه‌گیری شده مقایسه کنید.

۰۷ (الف) با استفاده از جرمهای معلوم ^{15}O و ^{15}N ، اختلاف انرژی بستگی آنها را محاسبه کنید. (ب) به فرض آنکه این اختلاف ناشی از اختلاف انرژی کولنی باشد، شعاع هسته‌های ^{15}O و ^{15}N را محاسبه کنید.

۰۸ با در دست داشتن مقادیر دو تاییه جرمی زیر (بر حسب u 10^{-6})، مقدار جرم اتمی ^{37}Cl را در هر مورد محاسبه کنید:

$$m(\text{C}_7\text{H}) - m(^{37}\text{Cl}) = 4192222 \pm 0.3$$

$$m(\text{C}_7\text{D}_8) - m(^{37}\text{ClH}_7) = 12343685 \pm 0.1$$

$$m(\text{C}_7\text{H}_6\text{O}_7) - m(^{37}\text{Cl}_7) = 10497424 \pm 0.08$$

در اینجا $\text{C} \equiv ^{12}\text{C}$ ، $\text{D} \equiv ^2\text{H}$ و $\text{O} \equiv ^{16}\text{O}$ است. در این محاسبات، عدم قطعیت در جرمهای H، D، O، و C را در نظر بگیرید.

۰۹ انرژی بستگی کل و انرژی بستگی هر نوکلئون را در هر یک از موارد زیر حساب کنید: (الف) ^7Li ، (ب) ^{20}Ne ، (ج) ^{56}Fe ، (د) ^{235}U .

- ۰۱۰ با استفاده از فرمول نیمه تجربی جرم، برای هر يك از هسته‌های زیرانرژی بستگی کل و انرژی کولنی را محاسبه کنید: (الف) ^{21}Ne ، (ب) ^{57}Fe ، (ج) ^{209}Bi ، (د) ^{256}Fm .
- ۰۱۱ کاستی جرم هسته‌های زیر را حساب کنید: (الف) ^{32}S ، (ب) ^{20}F ، (ج) ^{238}U .
- ۰۱۲ با در دست داشتن کاستی جرم هسته‌های زیر، جرم اتمی آنها را به دست آورید:
 (الف) ^{24}Na : -۸۴۱۸ MeV ، (ب) ^{144}Sm : -۸۱۹۶۴ MeV
 (ج) ^{240}Pu : $+۵۰۱۲۳ \text{ MeV}$
- ۰۱۳ (الف) انرژی جداسازی نوترون را در هر يك از هسته‌های ^7Li ، ^{91}Zr و ^{236}U به دست آورید. (ب) انرژی جداسازی پروتون را در هر يك از هسته‌های ^{20}Ne ، ^{55}Mn و ^{197}Au تعیین کنید.
- ۰۱۴ با بررسی دقیق مقادیر S_p و S_n در جدول ۱۰۳، در مورد میزان استحکام و بستگی آخرین پروتون یا آخرین نوترون در زوج‌های آینه‌ای (^{17}O ، ^{17}F) و (^{41}Ca ، ^{41}Sc) اظهار نظر کنید. سعی کنید که رفتار کلی یا سیستماتیک این گونه هسته‌ها را توضیح دهید. انرژی‌های جداسازی نوکلئون را در هسته‌هایی که تعداد پروتون یا نوترون یکسان دارند، با هم مقایسه کنید (برای نمونه، مقدار S_n را در ^{16}O و ^{17}F یا S_p را در ^{16}O و ^{16}O)، این بررسی سیستماتیک را با تعیین و تنظیم مقادیر S_p و S_n برای هسته‌های ^4He ، ^5He ، ^5Li و برای ^{56}Ni ، ^{57}Ni ، و ^{57}Cu ادامه دهید. (توجه: هسته‌هایی که Z یا N آنها برابر ۲، ۸، ۲۰، یا ۲۸ باشد، از پایداری خاصی برخوردارند. علت این امر را در فصل ۵ خواهیم دید).
- ۰۱۵ با استفاده از فرمول نیمه تجربی جرم، برای انرژی جداسازی دونوترون از هسته‌های $A \gg 1$ عبارتی به دست آورید. (داهنمایی: در این مسئله استفاده از روش تفاضلی یا دیفرانسیلی خیلی آسانتر از روش جبری است.) بزرگی جملات مختلف را برآورد کنید، و بستگی آنها را با A مورد بحث قرار دهید. نتیجه را با اطلاعات مربوط به Al و Te مقایسه کنید:

^{25}Al	31882 MeV	^{117}Te	18889 MeV	^{124}Te	16336 MeV
^{26}Al	38830 MeV	^{118}Te	18845 MeV	^{125}Te	16000 MeV
^{27}Al	24442 MeV	^{119}Te	18117 MeV	^{126}Te	15669 MeV
^{28}Al	20078 MeV	^{120}Te	17888 MeV	^{127}Te	1541 MeV
^{29}Al	17116 MeV	^{121}Te	1746 MeV	^{128}Te	15007 MeV
^{30}Al	15119 MeV	^{122}Te	1704 MeV	^{129}Te	14886 MeV
^{31}Al	13003 MeV	^{123}Te	1680 MeV	^{130}Te	1450 MeV

- چرا در این مقایسه، انرژی جداسازی دونوترون را انتخاب کردیم نه يك نوترون را؟
 ۰۱۶ همانند مسئله قبلی، با استفاده از فرمول نیمه تجربی جرم، عبارت تقریبی تغییرات انرژی S_p را بر حسب A ، در حالی که Z ثابت مانده باشد، به دست آورید. اطلاعات عددی

چند دسته از ایزوتوپها را جمع آوری کنید و پس از رسم منحنی تغییرات آنها، نتایج را با پیش‌بینی فرمول نیمه‌تجربی جرم مقایسه کنید.

۱۷. اسپین - پاریتتهٔ هر دو هسته ${}^9\text{Be}$ و ${}^9\text{B}$ به صورت $-(3/2)$ است. به فرض آنکه اسپین و پاریتته در هر دو حالت فقط خصوصیت نوکلئون منفرد را نشان دهد، طرز تعیین اسپین - پاریتتهٔ قابل مشاهده ${}^{10}\text{B}(3^+)$ را مشخص کنید. چه ترکیب دیگری از اسپین - پاریتته ممکن است در این مورد ظاهر شود؟ (این ترکیبات به صورت حالت‌های برانگیخته ${}^{10}\text{B}$ مشاهده می‌شوند.)

۱۸. فرض کنید که با افزودن یک پروتون یا یک نوترون به ${}^2\text{H}$ که اسپین آن برابر ۱ و پاریتتهٔ آن زوج است، آن را به ${}^3\text{He}$ یا ${}^3\text{H}$ تبدیل کنیم. تکانهٔ زاویه‌ای مداری نوکلئون اضافی را نسبت به مرکز جرم ${}^2\text{H}$ با l نشان می‌دهیم. مقادیر ممکن برای تکانهٔ زاویه‌ای کل ${}^3\text{H}$ یا ${}^3\text{He}$ چقدر است؟ با توجه به زوج بودن پاریتتهٔ حالت پایهٔ ${}^3\text{H}$ و ${}^3\text{He}$ ، کدام یک از این مقادیر قابل حذف است؟ محتملترین مقدار تکانهٔ زاویه‌ای حالت پایهٔ ${}^3\text{H}$ یا ${}^3\text{He}$ کدام است؟ آیا در جداسازی یک پروتون یا یک نوترون از ${}^4\text{He}$ هم می‌توان چنین استدلالی را مطرح کرد؟ (اسپین - پاریتتهٔ حالت پایهٔ ${}^4\text{He}$ چقدر است؟) اسپین - پاریتتهٔ ${}^5\text{Li}$ و ${}^4\text{He}(3/2^-)$ را چگونه می‌توان تعیین کرد؟

۱۹. الف) نوترون را به صورت ترکیبی از یک پروتون و یک مزون منفی π در حالت مداری $l = 1$ در نظر بگیرید. گشتاور دو قطبی مغناطیسی مداری چنین مجموعه‌ای چقدر خواهد شد؟ نتیجه را به صورت مضربی از گشتاور مغناطیسی پروتون بیان کنید. ب) آیا با استفاده از این مدل، گشتاور مغناطیسی قابل مشاهدهٔ نوترون را می‌توان تعیین کرد؟ فرض کنید که تابع موج نوترون متشکل از دو قسمت باشد: یک قسمت مربوط به نوترون «دیراک» با $g = 0$ ، و قسمت دیگر مربوط به مجموعهٔ پروتون و مزون π . بزرگی نسبی این دو قسمت از تابع موج چقدر است؟ (فرض کنید که پروتون هم مانند یک ذرهٔ ایده‌آل دیراک عمل کند.) ج) تحلیل قبلی را برای گشتاور مغناطیسی پروتون تکرار کنید. یعنی پروتون را متشکل از دو قسمت در نظر بگیرید: یک قسمت پروتون خالص دیراک و قسمت دیگر نوترون دیراک همراه با مزون مثبت π در حالت مداری $l = 1$.

۲۰. فرض کنید که گشتاور مغناطیسی پروتون را ناشی از حرکت دورانی یک توزیع بار مثبت یکنواخت و کروی به شعاع R ، که با سرعت زاویه‌ای ω حول محورش می‌چرخد، در نظر بگیریم. الف) از طریق انتگرال‌گیری توزیع بار نشان دهید که $\mu = e\omega R^2/5$ است. ب) با استفاده از رابطهٔ کلاسیک بین تکانهٔ زاویه‌ای و سرعت دورانی نشان دهید که $\omega R^2 = s/0.4m$ است. ج) سرانجام، رابطهٔ $\mu = (e/2m)s$ را که مشابه معادلهٔ (۳۲.۳) است، به دست آورید.

۲۱. گشتاور چار قطبی الکتریکی یک بیضیوار دوار را با توزیع بار یکنواخت و نیم‌محورهای بزرگ و کوچک b و a محاسبه کنید.

نیروی بین نوکلئونها

حتی پیش از پرداختن به هر گونه آزمایشی برای بررسی نیروی بین نوکلئون می توان بعضی از خواص نیروی نوکلئون - نوکلئون را حدس زد:

۱. این نیرو در فواصل کوتاه قویتر از نیروی کولنی است؛ زیرا نیروی هسته ای می تواند بر دافعه کولنی پروتونها در هسته غلبه کند.

۲. نیروی هسته ای در فواصل بلندی که در حدود ابعاد اتمی باشند، به حدی ضعیف می شود که می توان از آن صرف نظر کرد. برهم کنش هسته های موجود در یک مولکول با یکدیگر فقط بر اساس نیروی کولنی قابل درک است.

۳. بعضی از ذرات تحت تأثیر نیروی هسته ای قرار نمی گیرند. برای نمونه، هیچ دلیلی از ساختار اتمی در دست نیست که نیروی هسته ای تأثیری روی الکترونها داشته باشد.

وقتی که به منظور کشف خواص نیروی هسته ای به انجام آزمایشهایی خاص مبادرت می ورزیم، به چند خاصیت قابل توجه دیگر هم برخورد می کنیم:

۴. به نظر می رسد که نیروی نوکلئون - نوکلئون تقریباً مستقل از نوع نوکلئونهاست، یعنی پروتون و نوترون هیچ فرقی با هم ندارند. این خاصیت را استقلال از بار می گویند.

۵. نیروی نوکلئون - نوکلئون به موازی یا پادموازی بودن اسپین نوکلئونها بستگی دارد.

۶. نیروی نوکلئون - نوکلئون شامل یک جمله دافعه نیز هست که نوکلئونها را در فاصله متوسط معینی از یکدیگر نگه می دارد.

۷. نیروی نوکلئون - نوکلئون دارای مؤلفهٔ تانسوری یا غیرمرکزی است. این بخش از نیرو باعث ناپایداری تکانهٔ زاویه‌ای مدار می‌شود. تکانهٔ زاویه‌ای یکی از ثابتهای حرکت در میدان نیروی مرکزی است.

در این فصل خواص نیروی هسته‌ای را به تفصیل مورد بحث قرار می‌دهیم، چگونگی آزمایش و طرز اندازه‌گیری آنها را بررسی می‌کنیم، و چند شکل اساسی برهم‌کنش نوکلئون - نوکلئون را مطرح خواهیم کرد.

۱۰.۴ دوترون

دوترون (هسته ${}^2\text{H}$)، از گردهمایی یک نوترون و یک پروتون تشکیل می‌شود. (اتم خنثای ${}^2\text{H}$ را دوتریم می‌نامند.) این هسته ساده‌ترین حالت مقید نوکلئونهاست، و به همین دلیل سیستمی ایده‌آل برای مطالعهٔ برهم‌کنش نوکلئون - نوکلئون به‌شمار می‌رود. دوترون برای متخصصان فیزیک هسته‌ای همان نقشی را دارد که اتم هیدروژن برای متخصصان فیزیک اتمی داشته است. همچنانکه گذار الکترومغناطیسی بین حالت‌های برانگیختهٔ اتم هیدروژن در سری تجربی بالمر به درک ساختار هیدروژن کمک کرده است، گذار الکترومغناطیسی بین حالت‌های برانگیختهٔ دوترون نیز باید به درکی از ساختار هستهٔ ${}^2\text{H}$ بینجامد. متأسفانه در این هسته، هیچ نوع حالت برانگیخته‌ای سراغ نداریم. بستگی این سیستم آن‌چنان ضعیف است که «حالت‌های برانگیخته» آن فقط به‌صورت پروتون و نوترون آزاد در سیستم نامقید ظاهر می‌شود.

انرژی بستگی

انرژی بستگی دوترون، کمیتی است که با دقت بسیار زیاد اندازه‌گیری می‌شود و به سه روش مختلف قابل تعیین است. جرم دوترون را از طریق طیف‌نمایی می‌توان مستقیماً تعیین کرد، و سپس انرژی بستگی را به کمک معادلهٔ (۲۵.۳) به دست آورد. با استفاده از روش دوتایهٔ جرمی که در بخش ۲.۳ توصیف شد، نتایج زیر به دست آمده است (نماد D را برای ${}^2\text{H}$ به کار می‌بریم)

$$m(\text{C}_6\text{H}_{12}) - m(\text{C}_6\text{D}_6) = (9.2289710 \pm 0.0000024) \times 10^{-3} \text{ u}$$

و

$$m(\text{C}_5\text{D}_{12}) - m(\text{C}_5\text{D}_6) = 8.47610626 \pm 0.0000090 \times 10^{-3} \text{ u}$$

با قرارداد $m({}^1\text{H}) = 1.007825037 \text{ u}$ از رابطهٔ اول به دست می‌آید

$$m({}^2\text{H}) = 2.014101789 \pm 0.000000021 \text{ u}$$

واز رابطهٔ دوم حاصل می‌شود

$$m(^2\text{H}) = 2.014101771 \pm 0.000000015 \text{ u}$$

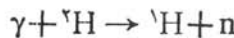
مقادیر حاصل بسیار دقیق و سازگاری‌شان باهم خیلی خوب است. با استفاده از این مقادیر و جرم‌های اندازه‌گیری شدهٔ ^1H و نوترون، انرژی بستگی را می‌توان به‌دست آورد

$$B = [m(^1\text{H}) + m(n) - m(^2\text{H})]c^2 = 2.22463 \pm 0.00004 \text{ MeV}$$

با نزدیک‌سازی یک پروتون به یک نوترون و تشکیل ^2H ، و اندازه‌گیری انرژی فوتون پرتو گامای گسیل شده در این فرایند نیز می‌توانیم انرژی بستگی دوترون را مستقیماً تعیین کنیم



انرژی بستگی حاصل از این روش که از انرژی فوتون تولید شده و پس از مختصری تصحیح، به‌خاطر پس‌زنی ^2H ، به‌دست می‌آید برابر $2.224589 \pm 0.000002 \text{ MeV}$ است که بخوبی با مقدار حاصل از روش طیف‌نمایی جرمی سازگاری دارد. در روش سوم، از واکنش معکوس موسوم به تجزیهٔ فوتونی استفاده می‌شود

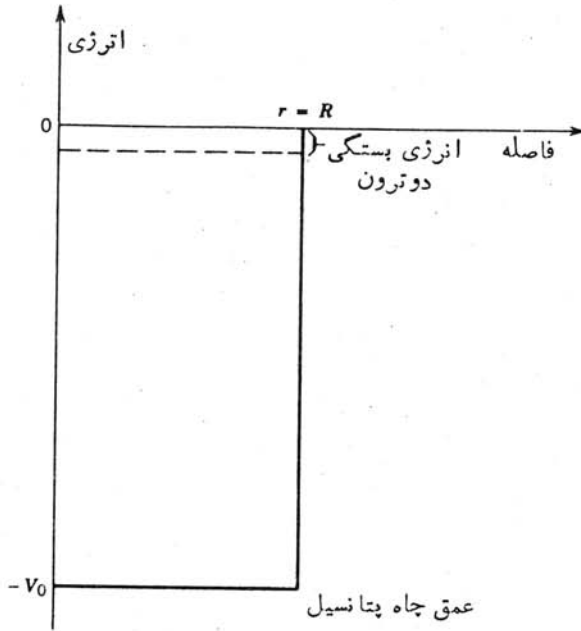


که در آن فوتون پرتو گاما، دوترون را به دو پاره تقسیم می‌کند. کمینهٔ انرژی پرتو گامایی که بتواند چنین فرایندی را انجام دهد، برابر انرژی بستگی است (در اینجا هم باید تصحیح مربوط به پس‌زنی محصولات نهایی در نظر گرفته شود). مقدار مشاهده شده برابر $2.224 \pm 0.002 \text{ MeV}$ است که با مقدار حاصل از روش طیف‌نمایی جرمی سازگاری خوبی دارد.

چنانکه در بحث بخش ۳.۳ گفتیم، انرژی بستگی متوسط هر نوکلئون در حدود 8 MeV است. بنا بر این، بستگی دوترون در مقایسه با هسته‌های دیگر خیلی ضعیف است. اکنون بینیم در مطالعهٔ خواص دوترون، این نتیجه را چگونه می‌توان تحلیل کرد. برای سهولت این بررسی، پتانسیل نوکلئون - نوکلئون را مطابق شکل ۱.۴ به‌صورت یک چاه مربعی سه‌بعدی نشان می‌دهیم

$$V(r) = -V_0, \quad r < R \\ = 0, \quad r > R \quad (1.4)$$

البته این فرض مسئله را بیش از حد ساده می‌کند، ولی دستکم برای بعضی نتیجه‌گیری‌های کیفی کفایت خواهد کرد. در اینجا r فاصلهٔ جدایی بین نوترون و پروتون را نشان می‌دهد، و از این رو R حدود بزرگی قطر دوترون را مشخص می‌کند. فرض کنید که در پایینترین



شکل ۱۰۴ این چاه پتانسیل سه بعدی تقریبی از پتانسیل هسته‌ای است. عمق چاه $-V_0$ است که مقدار آن در حدود 35 MeV برآورد می‌شود. انرژی حالت مقید دوترون در حدود 2 MeV - و خیلی نزدیک به لبه چاه است.

حالت انرژی دوترون، درست مانند پایینترین حالت انرژی اتم هیدروژن، داریم $l = 0$. (درستی این فرض را بعداً در همین بخش، هنگام بحث از اسپین دوترون، توجیه خواهیم کرد.) اگر بخش شعاعی تابع موج $\psi(r)$ را به صورت $u(r)/r$ نشان دهیم، معادله (۶۰.۲) را می‌توانیم چنین بازنویسی کنیم

$$-\frac{\hbar^2}{2m} \frac{d^2 u}{dr^2} + V(r)u(r) = Eu(r) \quad (2.4)$$

این معادله دقیقاً مانند معادله یک بعدی (۴.۲) است که جواب آن را در قیاس با معادله (۴۷.۲) می‌توان پیدا کرد. برای ناحیه $r < R$ داریم

$$u(r) = A \sin k_1 r + B \cos k_1 r \quad (3.4)$$

که در آن $k_1 = \sqrt{2m(E+V_0)}/\hbar$ است، و برای ناحیه $r > R$ خواهیم داشت

$$u(r) = Ce^{-k_2 r} + De^{+k_2 r} \quad (4.4)$$

که در آن $k_p = \sqrt{-2mE/\hbar^2}$ است. (یادآور می‌شود که برای حالت‌های مقید، $E < 0$ است.) برای آنکه تابع به‌ازای $r \rightarrow \infty$ متناهی بماند لازم است که $D = 0$ باشد، و برای آنکه تابع به‌ازای $r \rightarrow 0$ متناهی بماند باید $B = 0$ شود. [تابع ψ به $u(r)/r$ بستگی دارد، وقتی که $r \rightarrow 0$ تابع $u(r)$ هم باید به‌سمت صفر میل کند.] با اعمال شرایط پیوستگی u و du/dr در $r = R$ ، به‌دست می‌آوریم

$$k_1 \cot k_1 R = -k_2 \quad (5.4)$$

این معادله غیرجبری، ارتباط میان R و V_0 را نشان می‌دهد. در آزمایش‌های پراکندگی الکترون، ریشه‌میانگین مربعی شعاع دوترون در حدود ۲٫۱ fm به‌دست می‌آید که نخستین برآورد معقول از R است. با قراردادن این مقدار در معادله (۵.۴) و حل عددی آن (مسئله ۶ را در پایان همین فصل ببینید)، خواهیم داشت $V_0 = 35 \text{ MeV}$. این برآورد عمق پتانسیل نوکلئون-نوکلئون، در عمل حتی برای هسته‌های پیچیده‌تر هم کاملاً پذیرفتنی است. (اما توجه داشته باشید که فاصله‌های بزرگتر از R هم برای پروتون و نوترون کاملاً محتمل است، مسئله ۴.)

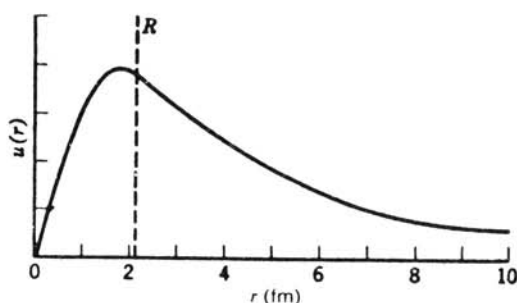
چنانکه در شکل ۱۰۴ دیده می‌شود، حالت انرژی دوترون خیلی به‌لبهٔ چاه نزدیک است. اگر نیروی نوکلئون-نوکلئون فقط انسدکی ضعیف‌تر بود، حالت مقید دوترون نمی‌توانست وجود داشته باشد (مسئله ۳). اما جای خوشبختی است که چنین حالت مقیدی وجود دارد. زیرا تشکیل دوتریم از هیدروژن، نه‌تنها نخستین مرحلهٔ چرخهٔ همجوشی پروتون-پروتون به‌عنوان منشأ انرژی خورشیدی است، بلکه نخستین مرحلهٔ تشکیل مواد پایدار هم به‌شمار می‌رود. در این صورت عناصر پایدار، با استفاده از سنگ بنای هیدروژن آغازین که در بدو امر سراسر عالم را فراگرفته بود، ساخته شده‌اند. اگر حالت مقید دونوکلئونی پایدار وجود نمی‌داشت، ماهم نبودیم تا دربارهٔ آن بحث کنیم! [برای توضیح بیشتر دربارهٔ پیامدهای کیهان‌شناختی تشکیل دوتریم در مراحل اولیهٔ عالم به‌فصل ۱۹ (جلد دوم، ترجمهٔ فارسی) رجوع کنید.]

تابع موج دوترون را در شکل ۲۰۴ نشان داده‌ایم. انرژی بستگی کم در اینجا بدان معنی است که تابع $\psi(r)$ درست در داخل چاه و در نزدیکی مرز $r = R$ از قله سرازیر می‌شود تا در $r = R$ با شیب منفی به‌تابع نمایی نزولی پیوندد.

اسپین و پارته

تکانهٔ زاویه‌ای کل \mathbf{I} در دوترون باید دارای سه مؤلفه باشد که عبارت‌اند از: اسپین هر یک از ذرات پروتون و نوترون، s_p و s_n (که هر کدام برابر $1/2$ است)، و تکانهٔ زاویه‌ای مداری \mathbf{l} نوکلئونها در حرکت حول مرکز جرم مشترک

$$\mathbf{I} = \mathbf{s}_n + \mathbf{s}_p + \mathbf{l} \quad (6.4)$$



شکل ۲۰۴ تابع موج دوترون برای $R = 2.1 \text{ fm}$. توجه کنید که پیوند تا بهای نمایی و سینوسی در $r = R$ چنان ملایم است که $u(r)$ و du/dr هر دو پیوسته‌اند. اگر قله تابع موج در داخل $r = R$ قرار نمی‌گرفت، پیوند ملایم آن با تابع نمایی در حال نزول (با شیب منفی) امکان‌پذیر نمی‌شد و حالت مقید هم تحقق پیدا نمی‌کرد.

هنگامی که معادله شرودینگر را برای دوترون حل کردیم، همانند مورد پایبندترین حالت مقید (یا نخستین حالت) اتم هیدروژن فرض کردیم $l = 0$ است. اسپین اندازه‌گیری شده دوترون برابر $l = 1$ است [چگونگی این اندازه‌گیری را در فصل ۱۶ (جلد دوم، ترجمه فارسی) بررسی می‌کنیم]. چون اسپین پروتون و نوترون یا با هم موازی (با اسپین کل ۱) و یا پاد موازی (با اسپین کل صفر) هستند، بردارهای s_p ، s_n و l به چهار صورت می‌توانند با هم جمع شوند به طوری که نتیجه l برابر ۱ شود:

(الف) s_p و s_n موازی و $l = 0$.

(ب) s_p و s_n پادموازی و $l = 1$.

(ج) s_p و s_n موازی و $l = 1$.

(د) s_p و s_n موازی و $l = 2$.

یکی دیگر از خواص قابل تعیین دوترون، پاریته آن (به صورت زوج یا فرد) است که رفتار تابع موج را هنگام $\mathbf{r} \rightarrow -\mathbf{r}$ نشان می‌دهد (بخش ۶.۲). از بررسی واکنشهایی که دوترون در آنها شرکت دارد و بررسی خواص فوتون گسیل شده در طی تشکیل دوترون، پاریته دوترون را زوج به دست می‌آوریم. در بخش ۶.۲ گفتیم که پاریته متناسب به حرکت مداری به صورت l^2 (۱-) قابل تعیین است. یعنی برای $l = 0$ (حالت‌های s) و $l = 2$ (حالت‌های d) پاریته زوج است، و برای $l = 1$ (حالت‌های p) پاریته فرد است. با توجه به نتیجه تجربی زوج بودن پاریته دوترون، ترکیبهای (ب) و (ج) در بالا که در آنها $l = 1$ است قابل حذف‌اند، و ترکیبهای (الف) و (د) به صورت مقادیر قابل قبول $l = 0$ و $l = 2$ باقی می‌مانند. بنابراین اسپین و پاریته دوترون با فرض $l = 0$ سازگار است، ولی هنوز نمی‌توانیم احتمال $l = 2$ را منتفی بدانیم.

گشتاور دوقطبی مغناطیسی

در بخش ۵.۳ در باره سهم حرکت مداری و اسپین در تولید گشتاور دوقطبی مغناطیسی بحث کردیم. اگر فرض $l = 0$ درست باشد، حرکت مداری هیچ گونه سهمی در گشتاور مغناطیسی نباید داشته باشد و می توانیم گشتاور مغناطیسی کل را حاصل ترکیب گشتاورهای مغناطیسی نوترون و پروتون تلقی کنیم

$$\begin{aligned}\mu &= \mu_n + \mu_p \\ &= \frac{g_{sn}\mu_N}{\hbar} S_n + \frac{g_{sp}\mu_N}{\hbar} S_p\end{aligned}\quad (7.4)$$

که در آن $g_{sp} = 58585691$ و $g_{sn} = -3826084$ است. چنانکه در بخش ۵.۳ دیدیم، گشتاور مغناطیسی مشاهده شده را با مؤلفه μ در راستای z در شرایطی که اسپینها بزرگترین مقدارشان ($+\frac{1}{2}\hbar$) را دارند برابر می گیریم

$$\begin{aligned}\mu &= \frac{1}{2} \mu_N (g_{sn} + g_{sp}) \\ &= 0.879804 \mu_N\end{aligned}\quad (8.4)$$

مقدار مشاهده شده برابر $0.8574376 \pm 0.0000004 \mu_N$ است که سازگاری خوبی با مقدار محاسبه شده دارد، ولی این سازگاری کامل نیست. اختلاف کوچکی را که بین این دو مقدار وجود دارد می توان به عواملی از قبیل مزونهای مبادله شده بین نوترون و پروتون نسبت داد. در بحث فعلی، می توانیم این اختلاف را ناشی از اختلاط تابع موج وجود سهم کوچکی از حالت d ($l=2$) در تابع موج دوترون بگیریم

$$\psi = a_s \psi(l=0) + a_d \psi(l=2) \quad (9.4)$$

گشتاور مغناطیسی دوترون به کمک این تابع موج، چنین به دست می آید

$$\mu = a_s^2 \mu(l=0) + a_d^2 \mu(l=2) \quad (10.4)$$

که در آن $\mu(l=0)$ همان مقداری است که در معادله (۸.۴) محاسبه شده است، و مشاهده شده $\mu(l=2) = (1/4)(3 - g_{sp} - g_{sn})\mu_N$ مقدار محاسبه شده برای حالت d است. مقدار $a_d^2 = 0.04$ و $a_s^2 = 0.96$ سازگار است، یعنی دوترون از ترکیب ۹۶٪ حالت $l=0$ و فقط ۴٪ حالت $l=2$ حاصل می شود. بدین ترتیب معلوم می شود که فرض حالت خالص $l=0$ ، که در محاسبه عمق چاه در نظر گرفتیم، فرضی نسبتاً خوب است ولی خیلی کامل نیست.

گشتاور چارقطبی الکتريکی

نوترون و پروتون به طور جداگانه هیچ گونه گشتاور چارقطبی الکتريکی ندارند. پس هر مقدار غیر صفری که از اندازه گیری گشتاور چارقطبی به دست آید، باید ناشی از حرکت مداری تلقی شود. در این صورت، گشتاور چارقطبی حاصل از تابع موج $l=0$ خالص برابر صفر خواهد شد. گشتاور چارقطبی مشاهده شده عبارت است از

$$Q = 0.000288 \pm 0.000002b$$

که در عین کوچک بودن در مقایسه با گشتاور بسیاری از هسته های دیگر، مسلماً برابر صفر نیست.

تابع موج مخلوط معادله (۹.۴) هنگامی که برای محاسبه Q در معادله (۳۶.۳) به کار برده می شود، مقدار Q را در دو قسمت به دست می دهد: يك قسمت متناسب با a_d و قسمت دیگر متناسب با حاصلضرب $a_s a_d$. با انجام این محاسبه خواهیم داشت

$$Q = \frac{\sqrt{2}}{10} a_s a_d \langle r^2 \rangle_{sd} - \frac{1}{20} a_d^2 \langle r^2 \rangle_{dd} \quad (11.4)$$

که در آن $\langle r^2 \rangle_{sd} = \int r^2 R_s(r) R_d(r) r^2 dr$ انتگرال r^2 روی تابع موجهای شعاعی است، $\langle r^2 \rangle_{dd}$ نیز به همین ترتیب تعریف می شود. برای محاسبه Q لازم است که تابع موج حالت d دوترون را که مستقیماً قابل اندازه گیری نیست بدانیم. با استفاده از پتانسیلهای پدیده شناختی واقع بینانه ای که بعداً در همین فصل مورد بحث قرار می گیرد، با چند درصد اختلاط حالت d مقادیر قابل قبولی برای Q به دست می آوریم که با ۴٪ اختلاط استنباط شده از گشتاور مغناطیسی بخوبی سازگاری دارد.

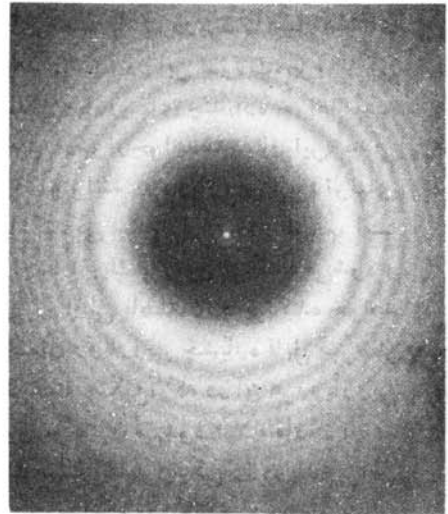
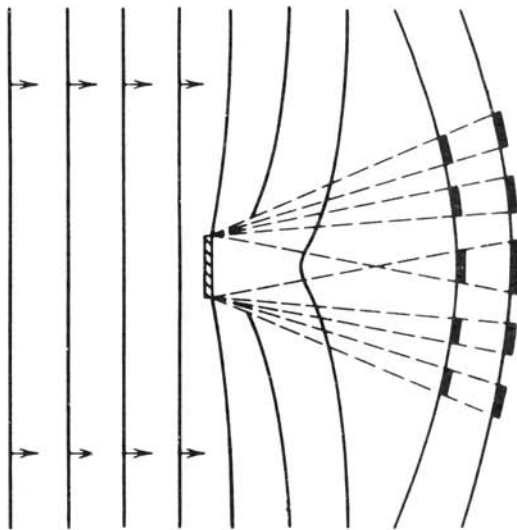
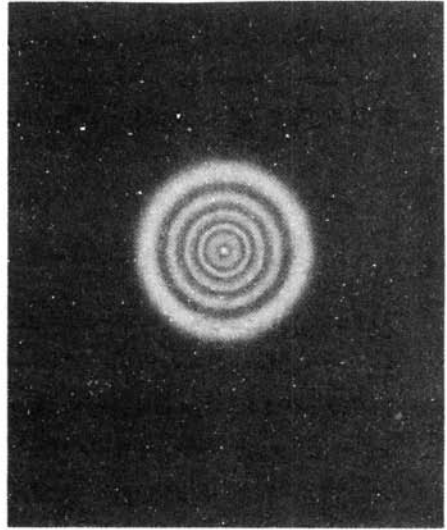
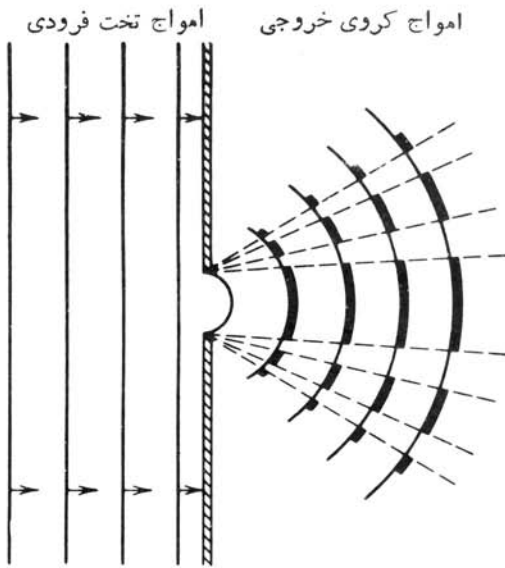
این سازگاری بین اختلاطهای حالت d که با استفاده از کمتهای μ و Q حاصل می شود را نباید زیاد جدی گرفت بلکه باید آن را ناشی از حسن تصادف تلقی کرد. در مورد گشتاور دوقطبی مغناطیسی، هیچ دلیلی نداریم که انتظار داشته باشیم استفاده از گشتاور مغناطیسی نوکلئون آزاد در هسته ها کار درستی باشد. (در واقع، در فصل بعد خواهیم دید که شواهد محکمی در دست است که خلاف آن را نشان می دهد.) متأسفانه نوکلئون درون دوترون حالتی بینابینی دارد، یعنی نه آزاد است و نه قیدی قوی دارد، و هیچ نشانه ای هم در دست نیست که گشتاور مغناطیسی آن را چقدر باید در نظر گرفت. برهم کنش اسپین مدار، اثرات نسبیته، و تبادل مزون ممکن است تأثیری بزرگتر از اختلاط حالت d بر مقدار μ داشته باشند (ولی این احتمال هم وجود دارد که این گونه اثرات در جهت حذف یکدیگر عمل کنند). در مورد گشتاور چارقطبی، اطلاع اندک از تابع موج حالت d باعث عدم اطمینان از درصد اختلاط برآورد شده برای حالت d می شود. (شاید بهتر باشد که محاسبه Q را بر اساس درصد اختلاط معلوم حالت d ، به عنوان آزمونی برای تابع موج حالت d تلقی کنیم.) آزمایشهای دیگر هم، بویژه آزمایشهای پراکندگی هدفهای دوترون، اختلاط حالت d را در حدود ۴٪ به دست می دهد. بدین ترتیب معلوم می شود که نتیجه حاصل از

گشتاورهای دوقطبی مغناطیسی و چارقطبی الکتریکی، در نهایت ممکن است معتبر باشد. آگاهی دقیق از تابع موج حالت d از این جهت مهم است که برای تشخیص خصوصیت غیرمرکزی (یا تانسوری) نیروی هسته‌ای بهترین نشانه‌ای که در اختیار داریم همان اختلاط مقادیر l در دوترون است.

۲.۴ پراکندگی نوکلئون - نوکلئون

بررسی دوترون اگرچه قرائنی از برهم کنش نوکلئون - نوکلئون به دست می‌دهد، ولی مقدار اطلاعات آن محدود است. چون دوترون هیچ حالت برانگیخته‌ای ندارد، دینامیک برهم کنش نوکلئون - نوکلئون را فقط در پیکر بندی $l = 0$ ، اسپینهای موازی، و فاصله 2fm می‌توانیم مورد مطالعه قرار دهیم. (اگر حالت‌های برانگیخته در اختیار باشد، می‌توانیم مقادیر مختلف l یا سمتگیرهای متفاوت اسپین را هم بررسی کنیم.) برای مطالعه برهم کنش نوکلئون - نوکلئون در پیکر بندیهای مختلف، می‌توانیم آزمایشهای پراکندگی نوکلئون - نوکلئون را که در آنها باریکه‌ای از نوکلئونهای فرودی توسط هدف نوکلئونی پراکنده می‌شود بررسی کنیم. اگر هدف یک هسته بانوکلئونهای متعدد باشد، در برد پتانسیل هسته‌ای نوکلئون فرودی چندین نوکلئون هدف وجود خواهد داشت. در این صورت، پراکندگی ایجادشده برای هر نوکلئون منفرد شامل اثرات پیچیده رویاروییهای چندباره خواهد بود، و تعیین خواص برهم کنش بین نوکلئونهای منفرد خیلی دشوار خواهد شد. بنابراین، هدفی از هیدروژن انتخاب می‌کنیم به طوری که ذرات فرودی بتوانند در رویارویی با پروتونهای منفرد پراکنده شوند. در اینجا هم ممکن است با پراکندگی چندباره روبه‌رو شویم، اما این پراکندگیها به این صورت خواهد بود که ذره ابتدا از یک پروتون پراکنده می‌شود و سپس از پروتون دیگری که در مقیاس هسته‌ای خیلی از اولی فاصله دارد پراکنده خواهد شد. اگر احتمال رویارویی منفرد کوچک باشد، احتمال رویارویی چندباره قابل صرف نظر خواهد بود. این مورد با پراکندگی ناشی از یک هسته سنگین، که در آن هر رویارویی منفرد با هسته هدف شامل چندین برهم کنش نوکلئون - نوکلئون می‌شود کاملاً متفاوت است. قبل از بحث درباره پراکندگی هسته‌ای، یک مسئله مشابه اپتیکی را درباره پراش امواج از یک شکاف یا مانع کوچک یادآوری می‌کنیم. چنانکه در شکل ۳.۴ دیده می‌شود، نقش پراش حاصل از یک مانع خیلی شبیه به نقش حاصل از یک شکاف با همان اندازه است. پراکندگی هسته‌ای شباهت زیادی به پراش از یک مانع دارد، و به همین دلیل بحثمان را روی آن متمرکز می‌کنیم. پراش اپتیکی دارای سه ویژگی مشابه با پراکندگی نوکلئونهاست:

۱. موج فرودی به صورت موج تخت نموده می‌شود، در حالی که در نقاط دور از مانع جبهه موج پراکنده به صورت موج کروی است. کل انرژی موجود در هر جبهه موج کروی در حال گسترش، قابل تغییر نیست. یعنی، شدت موج باید بر حسب r^{-2} و دامنه آن



شکل ۳.۴ نمایش پراکندگی حاصل از یک روزنه کوچک (بالا) و یک مانع کوچک (پایین). نواحی شدت زیاد و کم، روی جبهه‌های موج با خطوط کلفت و نازک نموده شده است. درعکسهای سمت راست، نقش پراش حاصل از یک روزنه دایره‌ای و یک قرص دایره‌ای کدر نشان داده شده است.

باید بر حسب r^{-1} کاهش یابد.

۲. پدیده پراش باعث می شود که شدت تابش پراکنده در نقاط مختلف سطح جبهه موج کروی تغییر کند. بدین جهت، شدت امواج پراکنده به مختصات زاویه ای θ و ϕ بستگی پیدا می کند.
۳. آشکارسازی که در نقطه ای دور از مانع قرار می گیرد، هر دو موج فرودی و پراکنده را ثبت خواهد کرد.

برای حل کوانتوم مکانیکی مسئله پراکندگی نوکلئون - نوکلئون، همانند بخش قبلی، باز هم فرض می کنیم که بتوانیم برهم کنش را به کمک چاه پتانسیل مربعی نمایش دهیم. در واقع، تنها فرقی که این محاسبه با مورد دوترون دارد، این است که در اینجا با ذرات فرودی آزاد با انرژی $E > 0$ سروکار داریم. بار دیگر معادله شرودینگر را با فرض $l = 0$ ساده می کنیم. توجیه این فرض هیچ ربطی به توجیه فرض مشابه در محاسبه دوترون ندارد. یک نوکلئون فرودی را چنان در نظر می گیریم که درست در سطح خارجی نوکلئون هدف با آن برخورد کند، یعنی پارامتر برخورد (فاصله عمودی مرکز نوکلئون هدف از خط سیر نوکلئون فرودی) از مرتبه 1 fm $R \simeq 1 \text{ fm}$ باشد. اگر سرعت ذره فرودی v باشد، تکانه زاویه ای آن نسبت به هدف برابر mvR می شود. تکانه زاویه ای نسبی بین نوکلئونها باید بر حسب یکای \hbar کوانتیده باشد، یا به زبان نیمه کلاسیک $mvR = l\hbar$ شود. اگر $mvR \ll \hbar$ باشد، آنگاه فقط برهم کنشهای $l = 0$ قابل تحقیق اند. در این صورت، داریم $v \ll \hbar/mR$ و انرژی جنبشی متناظر چنین برآورد می شود

$$T = \frac{1}{2} mv^2 \ll \frac{\hbar^2}{2mR^2} = \frac{\hbar^2 c^2}{2mc^2 R^2} = \frac{(200 \text{ MeV} \cdot \text{fm})^2}{2(1000 \text{ MeV})(1 \text{ fm})^2} = 20 \text{ MeV}$$

هر گاه انرژی فرودی خیلی کمتر از 20 MeV باشد، فرض $l = 0$ قابل توجیه است. پس در اینجا فقط پراکندگی کم-انرژی را در نظر می گیریم که برای آن فرض $l = 0$ معتبر است.

مسئله پراکندگی نوکلئون - نوکلئون را در دستگاه مختصات مرکز جرم (پیوست ب) حل می کنیم. جرمی که در معادله شرودینگر ظاهر می شود، جرم کاهیده است که در این حالت تقریباً برابر نصف جرم نوکلئون می شود.

در اینجا هم برای آنکه $u(r)/r$ به ازای $r \rightarrow 0$ متناهی بماند، داریم $B = 0$ و جواب مسئله چاه مربعی برای $r < R$ به صورت معادله (۳.۴) خواهد بود. در ناحیه $r > R$ ، تابع موج چنین می شود

$$u(r) = C' \sin k_\gamma r + D' \cos k_\gamma r \quad (12.4)$$

که در آن $k_\gamma = \sqrt{2mE/\hbar^2}$ است، آسانتر است که معادله (۱۲.۴) را به صورت زیر بنویسیم

$$u(r) = C \sin(k_\gamma r + \delta) \quad (13.4)$$

که در آن داریم

$$C' = C \cos \delta \quad \text{و} \quad D' = C \sin \delta \quad (14.4)$$

با استفاده از شرایط مرزی u و du/dr در $r=R$ حاصل می شود

$$C \sin(k_2 R + \delta) = A \sin k_1 R \quad (15.4)$$

و

$$k_2 C \cos(k_2 R + \delta) = k_1 A \cos k_1 R \quad (16.4)$$

که پس از تقسیم آنها خواهیم داشت

$$k_2 \cot(k_2 R + \delta) = k_1 \cot k_1 R \quad (17.4)$$

باز هم به يك معادله غیر جبری می رسیم که باید حل شود. در صورت معلوم بودن E (که از طریق انرژی ذره فرودی قابل تعیین است)، V_0 و R ، می توان مقدار δ را به دست آورد. قبل از بحث درباره روشهای تعیین پارامتر δ در معادله (۱۷.۴)، چگونگی پیدایش δ را در جواب معادله شرودینگر بررسی می کنیم. هنگامی که $V_0 \rightarrow 0$ (در این حالت هرگز پراکندگی اتفاق نمی افتد)، داریم $k_2 \rightarrow k_1$ و $\delta \rightarrow 0$. این همان جواب ذره آزاد است. اثر V_0 را بر تابع موج در شکل ۴.۴ نشان داده ایم. تابع موج در ناحیه $r > R$ همان شکل تابع موج ذره آزاد را دارد، ولی در این حالت يك اختلاف فاز δ در آن پیدا شده است. پتانسیل پراکننده ای که از نوع جاذبه است، نقطه صفر یا گره تابع موج را به طرف مبدأ «می کشد». (اما پتانسیلی که از نوع دافعه است، گره ها را از مبدأ دور می کند و اختلاف فاز منفی می شود.) امواج فرودی را بر حسب تکانه زاویه ای شان نسبت به هدف می توان به صورت مؤلفه های $l=0$ (که تاکنون در نظر بوده است)، $l=1$ ، و غیره در نظر گرفت. به ازای هر مؤلفه ای از l يك جواب متفاوت برای معادله شرودینگر و يك اختلاف فاز مشخص δ_l خواهیم داشت.

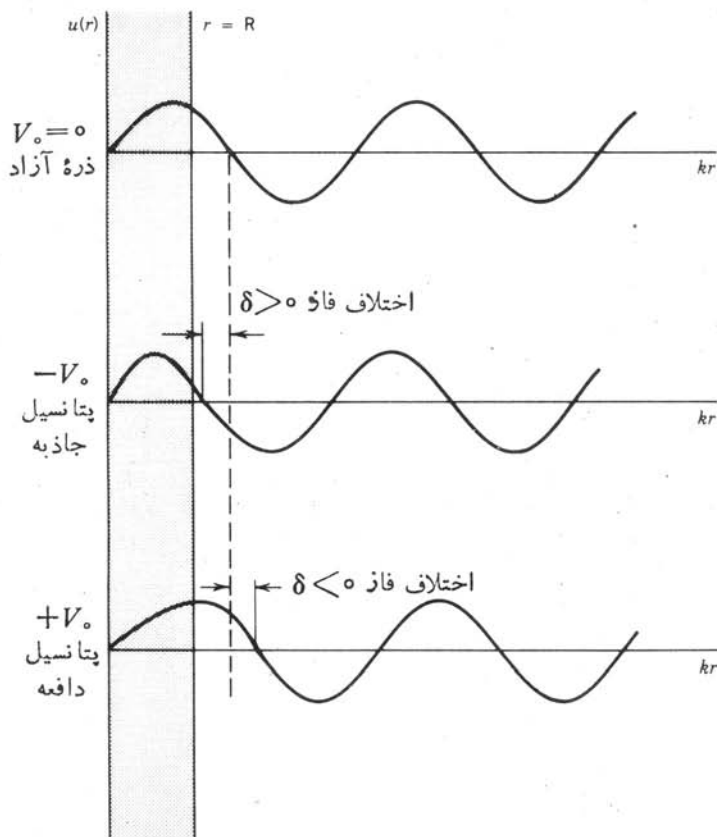
اکنون بینیم رابطه بین مسئله چاه مربعی و نظریه کلیتر پراکندگی چیست. تابع موج فرودی (چنانکه در نمونه آنتیکی دیدیم)، يك موج تخت است که در راستای z حرکت می کند

$$\psi_{in} = Ae^{ikz} \quad (18.4)$$

هدف را در مبدأ در نظر می گیریم. با توجه به عامل وابسته به زمان، داریم

$$\psi(z, t) = Ae^{i(kz - \omega t)} \quad (19.4)$$

که همیشه در جهت $z+$ در حرکت است (موج در نواحی $z < 0$ به هدف نزدیک و در نواحی $z > 0$ از هدف دور می شود). عملیات ریاضی با استفاده از امواج گروه e^{ikr}/r و e^{-ikr}/r آسانتر انجام می شود و با ضرب آنها در $e^{-i\omega t}$ ، امواج خروجی به صورت e^{ikr} و امواج ورودی به صورت e^{-ikr} مشخص می شوند. [بررسی دقیقتر نظریه پراکندگی



شکل ۴.۴ در اثر پتانسیل پراکننده فاز تابع موج پراکنده نسبت به تابع موج ذره آزاد تغییر می‌کند و به خارج از نواحی پراکنندگی کشیده می‌شود.

را همراه با جملات مربوط به $l > 0$ ، در فصل ۱۱ (جلد دوم، ترجمه فارسی) خواهیم دید. برای حالت $l=0$ ، تابع موج فرودی عبارت است از

$$\psi_{in} = \frac{A}{2ik} \left[\frac{e^{ikr}}{r} - \frac{e^{-ikr}}{r} \right] \quad (20.4)$$

علامت منفی بین دو جمله باعث می‌شود که به ازای $r \rightarrow 0$ تابع ψ متناهی بماند، و استفاده از ضریب A برای هر دو جمله نشانگر برابری دامنه امواج ورودی و خروجی است. در اینجا فرض ما این است که پراکنندگی باعث تولید یا نابودی ذرات نمی‌شود، و به همین دلیل دامنه‌های جملات e^{ikr} و e^{-ikr} در اثر پراکنندگی تغییر نمی‌کند (مجذور دامنه، احتمال وجود ذرات ورودی و خروجی را به دست می‌دهد). نتیجه نهایی پراکنندگی را فقط به صورت یک اختلاف فاز موج خروجی می‌توان نشان داد

$$\psi(r) = \frac{A}{2ik} \left[\frac{e^{i(kr+\beta)}}{r} - \frac{e^{-ikr}}{r} \right] \quad (21.4)$$

که در آن β همان اختلاف فاز است. با استفاده از معادله (۱۳.۴)، رابطه بین β و δ_0 به دست می آید

$$\begin{aligned} \psi(r) &= \frac{C}{r} \sin(kr + \delta_0) \\ &= \frac{C}{r} \frac{e^{i(kr + \delta_0)} - e^{-i(kr + \delta_0)}}{2i} \\ &= \frac{C}{2i} e^{-i\delta_0} \left[\frac{e^{i(kr + 2\delta_0)}}{r} - \frac{e^{-ikr}}{r} \right] \end{aligned} \quad (22.4)$$

که از آن حاصل می شود $\beta = 2\delta_0$ و $A = kCe^{-i\delta_0}$. برای تعیین احتمال پراکندگی باید دامنه موج پراکنده را به دست آوریم. تابع موج ψ تمام امواج موجود در ناحیه $r > R$ را نشان می دهد. برای تعیین تابع موج پراکنده، ψ_{sc} ، به طور خالص، لازم است که دامنه موج فرودی را از آن کم کنیم

$$\begin{aligned} \psi_{sc} &= \psi - \psi_{in} \\ &= \frac{A}{2ik} (e^{2i\delta_0} - 1) \frac{e^{ikr}}{r} \end{aligned} \quad (23.4)$$

جریان ذرات پراکنده از واحد سطح را می توان به کمک معادله (۱۲.۲) و تعمیم آن در سه بعد به دست آورد

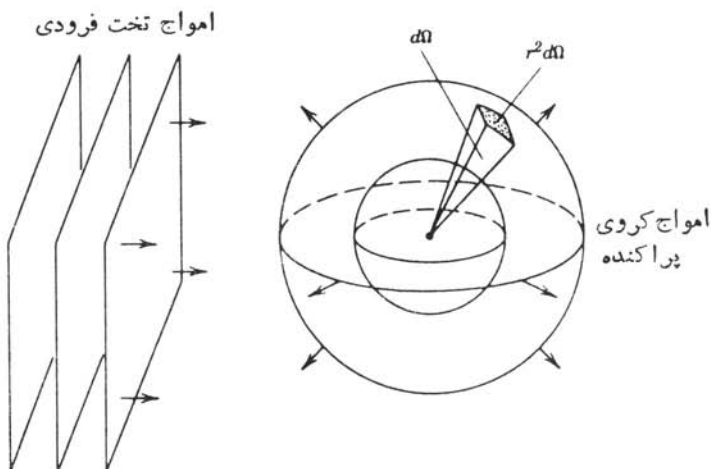
$$j_{sc} = \frac{\hbar}{2mi} \left(\psi^* \frac{\partial \psi}{\partial r} - \frac{\partial \psi^*}{\partial r} \psi \right) \quad (24.4)$$

$$= \frac{\hbar |A|^2}{mkr^2} \sin^2 \delta_0 \quad (25.4)$$

و جریان ذرات فرودی را، با توجه به شباهت با معادله (۲۲.۲)، چنین به دست می آوریم

$$j_{in} = \frac{\hbar k |A|^2}{m} \quad (26.4)$$

جریان پراکنده به طور یکنواخت در کوره ای به شعاع r پخش می شود. همچنانکه در شکل ۵.۴ دیده می شود، هر جزء سطح $d\Omega$ از این کوره در برابر یک زاویه حجمی $d\Omega = \sin \theta d\theta d\varphi$ که رأس آن در مرکز پراکندگی است قرار دارد. سطح مقطع



شکل ۵۰۴ نمایش هندسه پراکنده‌گی.

دیفرانسیلی (یا سطح مقطع جزئی) $d\sigma/d\Omega$ را به صورت احتمال پراکنده‌گی یک ذره فرودی در زاویه $d\Omega$ به ازای واحد زاویه حجمی تعریف می‌کنیم. احتمال $d\sigma$ مربوط به پراکنده‌گی یک ذره فرودی در زاویه $d\Omega$ ، از نسبت جریان پراکنده تحت زاویه $d\Omega$ به جریان فرودی به دست می‌آید

$$d\sigma = \frac{(j_{sc})(r^2 d\Omega)}{j_{in}} \quad (27.4)$$

با استفاده از معادلات (۲۵.۴ و ۲۶) برای جریانهای پراکنده و فرودی، خواهیم داشت

$$\frac{d\sigma}{d\Omega} = \frac{\sin^2 \delta_0}{k^2} \quad (28.4)$$

سطح مقطع کلی σ احتمال کل پراکنده‌گی در تمام راستاهاست

$$\sigma = \int \frac{d\sigma}{d\Omega} d\Omega \quad (29.4)$$

در حالت کلی، مقدار $d\sigma/d\Omega$ در سطح کره به راستای پراکنده‌گی بستگی دارد. در حالت خاص پراکنده‌گی $l=0$ ، مقدار $d\sigma/d\Omega$ ثابت است و از زیر انتگرال خارج می‌شود

$$\begin{aligned} \sigma &= 4\pi \frac{d\sigma}{d\Omega} \\ &= \frac{4\pi \sin^2 \delta_0}{k^2} \end{aligned} \quad (30.4)$$

پس، اختلاف فاز $l=0$ مستقیماً با احتمال پراکندگی متناسب است. بدین گونه، با استفاده از مدل ساده چاه مربعی (معادله ۱۷.۴) می‌توانیم مقدار δ_0 را به دست آوریم و آنگاه، پس از تعیین سطح مقطع کل از معادله (۳۰.۴)، آن را با مقادیر تجربی سطح مقطع مقایسه کنیم. اکنون به تحلیل معادله (۱۷.۴) بازمی‌گردیم. فرض می‌کنیم که انرژی ذره فرودی خیلی کم، مثلاً $E \ll 10 \text{ keV}$ ، است. در این صورت، با قراردادن $V_0 = 35 \text{ MeV}$ که از تحلیل حالت مقید دوترون به دست آمده است و $k_\gamma = \sqrt{2mE}/\hbar \ll 0.016 \text{ fm}^{-1}$ خواهیم داشت $k_1 = \sqrt{2m(V_0 + E)}/\hbar \approx 0.92 \text{ fm}^{-1}$. اگر طرف راست معادله (۱۷.۴) را برابر $-\alpha$ بگیریم

$$\alpha = -k_1 \cot k_1 R \quad (31.4)$$

آنگاه با استفاده از قواعد مثلثاتی داریم

$$\sin^2 \delta_0 = \frac{\cos k_\gamma R + (\alpha/k_\gamma) \sin k_\gamma R}{1 + \alpha^2/k_\gamma^2} \quad (32.4)$$

و بنابراین

$$\sigma = \frac{4\pi}{k_\gamma^2 + \alpha^2} \left(\cos k_\gamma R + \frac{\alpha}{k_\gamma} \sin k_\gamma R \right) \quad (33.4)$$

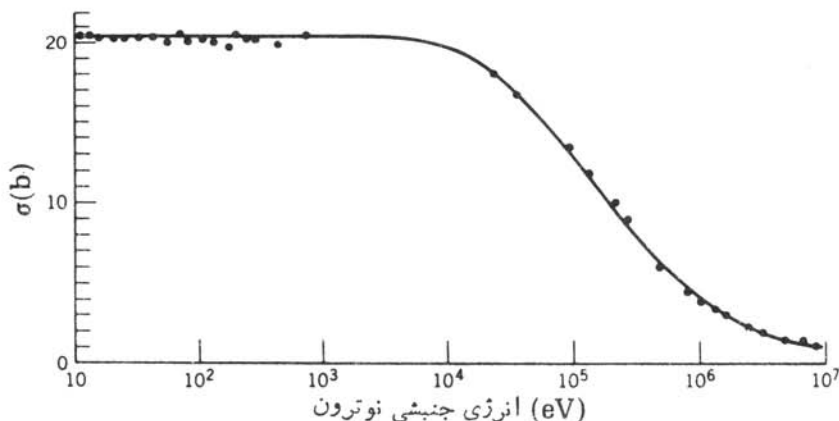
پس از قراردادن $R \approx 2 \text{ fm}$ که از بررسی حالت مقید ${}^2\text{H}$ حاصل می‌شود، داریم $\alpha \approx 0.92 \text{ fm}^{-1}$. بدین ترتیب $\alpha^2 \ll k_\gamma^2$ و $k_\gamma R \ll 1$ است که در نتیجه خواهیم داشت

$$\sigma \approx \frac{4\pi}{\alpha^2} (1 + \alpha R) = 4.6 \text{ b} \quad (34.4)$$

که در آن یکای بارن معادل $1 \text{ b} = 10^{-28} \text{ m}^2$ است. این نتیجه نشان می‌دهد که سطح مقطع در انرژیهای کم ثابت است و مقدار آن نزدیک به 4 تا 5 b است.

سطح مقطع تجربی پراکندگی نوترونها توسط پروتونها در شکل ۶.۴ نشان داده شده است. سطح مقطع در انرژیهای پایین واقعاً ثابت است، و طبق پیش‌بینی معادله (۳۳.۴) در انرژیهای زیاد کاهش می‌یابد، ولی مقدار ثابت سطح مقطع در انرژیهای کم (یعنی مقدار 4.6 b) با مقدار 4 تا 5 b حاصل از محاسبه سازگاری ندارد.

برای پی بردن به منشأ این اختلاف، باید اسپینهای نسبی نوکلئونهای فرودی و پراکنده را مورد بررسی قرار دهیم. از ترکیب اسپینهای نوترون و پروتون (که هر يك برابر $1/2$ است) اسپین کل $S = s_p + s_n$ به دست می‌آید که مقدار آن می‌تواند برابر 0 یا 1 باشد. بر ایند $S = 1$ سه سمتگیری متفاوت می‌تواند داشته باشد (که مؤلفه‌های z آن برابر 1 ، 0 ، و -1 می‌شود)، و بر ایند $S = 0$ فقط يك سمتگیری منفرد خواهد



شکل ۴۰۶ سطح مقطع پراکندگی نوטרان-پروتون در انرژیهای پایین.

داشت. به همین دلیل، برای $S = 1$ را حالت سه تاییه و برای $S = 0$ را حالت تک تاییه می نامند. در این چهار سمتگیری نسبی اسپین، سه سمتگیری مربوط به حالت سه تاییه و یک سمتگیری مربوط به حالت تک تاییه است. هنگامی که نوکلئون فرودی به هدف نزدیک می شود، احتمال تحقق حالت سه تاییه برابر $3/4$ و حالت تک تاییه برابر $1/4$ است. اگر سطح مقطع پراکندگی برای حالت های سه تاییه و تک تاییه با هم فرق داشته باشد، آنگاه داریم

$$\sigma = \frac{3}{4}\sigma_t + \frac{1}{4}\sigma_s \quad (35.4)$$

که در آن σ_t و σ_s به ترتیب سطح مقطع پراکندگی حالت های سه تاییه و تک تاییه هستند. در برآورد سطح مقطع معادله (35.4) ، پارامترهای دوترون را به کار برده ایم که به حالت $S = 1$ مربوط می شود. بنا بر این می دانیم $b = 4.6$ است و با استفاده از مقدار اندازه گیری شده $b = 4.04$ در انرژیهای پایین، خواهیم داشت

$$\sigma_s = 6.78 b$$

این نتیجه نشان می دهد که اختلاف بین سطح مقطعیهای حالت های تک تاییه و سه تاییه خیلی زیاد است، و بدین سان نیروی هسته ای باید وابسته به اسپین باشد.

حتی در بررسی دوترون هم باید به این نتیجه می رسیدیم که نیروی هسته ای وابسته به اسپین است. اگر نیروی نوטרان-پروتون به جهت نسبی اسپینها بستگی نمی داشت، در دوترونها باید با هر دو حالت مقید $S = 0$ و $S = 1$ با انرژی تقریباً یکسان روبه رو می شدیم. چون هیچ گاه با حالت مقید $S = 0$ روبه رو نمی شویم، پس نیروی هسته ای الزاماً وابسته به اسپین است.

نتایجی را که در مورد سطح مقطعیهای تک تاییه و سه تاییه به دست آورده ایم، از راه های

مختلف می‌توانیم به تأیید برسائیم. یکی از این روشها، استفاده از پراکندگی نوترونهای کم انرژی در رویارویی با مولکولهای هیدروژن است. هیدروژن مولکولی به دو صورت موجود است: اورتوهیدروژن و پاراهیدروژن. در اورتوهیدروژن اسپین هر دو پروتون باهم موازی است، در حالی که در پاراهیدروژن اسپینها پاد موازی اند. اختلاف بین سطح مقطعهای پراکندگی نوترون با این دو نوع هیدروژن حاکی از وابستگی اسپینی نیروی نوکلئون- نوکلئون است.

بیتی که در اینجا درباره سطح مقطع پراکندگی نوترون- پروتون مطرح شد، برای تحلیل پراکندگی نوترونها از مولکولهای H_2 ناکافی است. طول موج دوبروی برای نوترونهای خیلی کم انرژی ($E < 0.01 \text{ eV}$)، بزرگتر از 0.05 nm و در نتیجه بزرگتر از فاصله بین پروتونها در مولکول H_2 است. بنا بر اصل عدم قطعیت، اندازه بسته‌موجی که یک ذره را توصیف می‌کند نباید از طول موج دوبروی مربوط به آن کوچکتر شود. بدین گونه، با وجود آنکه برد نیروی هسته‌ای در هر برهم کنش نوترون- پروتون از مرتبه 1 fm است، بسته‌موج نوترون فرودی به‌طور همزمان با هر دو پروتون موجود در مولکول H_2 همپوشی خواهد داشت. پس امواج نوترونی ψ_1 و ψ_2 که از این دو پروتون پراکنده می‌شوند به‌طور هم‌دوس با هم ترکیب خواهند شد، یعنی این امواج پراکنده باهم تداخل خواهند داشت و سطح مقطع به $|\psi_1|^2 + |\psi_2|^2$ بستگی ندارد بلکه به $|\psi_1 + \psi_2|^2$ بستگی دارد. بنابراین ما نمی‌توانیم به‌سادگی سطح مقطعهای دو پراکندگی جداگانه را باهم جمع کنیم. در انرژیهای بالاتر که طول موج دوبروی در مقایسه با فاصله بین پروتونها کوچک است، امواج پراکنده با هم تداخل نخواهند داشت و ما می‌توانیم سطح مقطعها را مستقیماً با هم جمع کنیم. یکی از دلایل انتخاب انرژی پایین این است که اثرات تداخلی را بررسی کنیم، و دلیل دیگر این است که از انتقال انرژی زیاد به مولکول H_2 و به چرخش درآوردن آن ممانعت به‌عمل آوریم. زیرا در این صورت، تحلیل مسئله پیچیدگی بیشتری پیدا می‌کند. کمینه انرژی دورانی مولکول در حدود 0.015 eV است، و بنا بر این نوترونهای با انرژی حدود 0.01 eV نمی‌توانند باعث تحریک دورانی مولکول شوند. برای تحلیل اثرات تداخلی در این نوع مسائل، طول پراکندگی a را چنان تعریف می‌کنیم که سطح مقطع در انرژی پایین برابر $4\pi a^2$ شود

$$\lim_{k \rightarrow 0} \sigma = 4\pi a^2 \quad (36.4)$$

از مقایسه این معادله با معادله (30.4) حاصل می‌شود

$$a = \pm \lim_{k \rightarrow 0} \frac{\sin \delta_0}{k} \quad (37.4)$$

انتخاب علامت دلخواه است، اما معمول این است که علامت منفی را انتخاب می‌کنند. اگرچه طول پراکندگی از لحاظ بعدی از جنس طول است، ولی پارامتری است که

قدرت پراکندگی را نشان می‌دهد و نه برد آن را. برای درک این مطلب، به معادله (۳۷.۴) توجه می‌کنیم که در آن مقدار δ_0 در انرژیهای کم باید به سمت صفر میل کند تا a متناهی بماند. به ازای δ_0 کوچک، تابع موج پراکنده (۳۳.۴) را می‌توان به صورت زیر نوشت

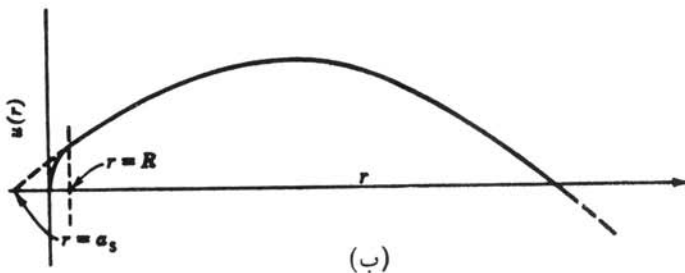
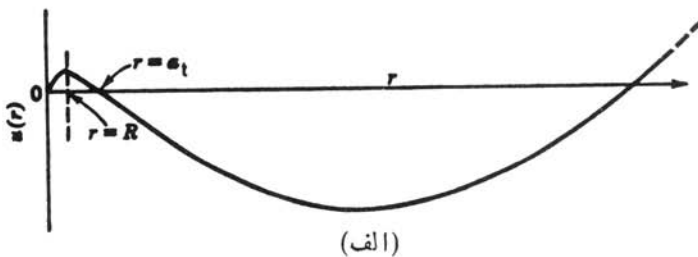
$$\psi_{sc} \simeq A \frac{\delta_0}{k} \frac{e^{ikr}}{r} = -Aa \frac{e^{ikr}}{r} \quad (38.4)$$

پس در عمل a دامنه موج پراکنده را تعیین می‌کند.

علامت طول پراکندگی متضمن اطلاعات فیزیکی نیز هست. تابع موج پراکنده $u(r)$ را برای حالت‌های سه تاییه و تک تاییه در شکل ۷.۴ نشان داده ایم. در انرژی کم می‌توان نوشت $a \simeq -\delta_0/k$ و تابع موج پراکنده، معادله (۱۳.۴)، چنین می‌شود

$$u(r) = C \sin k_p(r-a) \quad (39.4)$$

مقدار a با توجه به نقطه‌ای که در آن $u(r)$ برابر صفر می‌شود، قابل تعیین است. تابع موج حالت سه تاییه در ناحیه $r < R$ درست مانند تابع موج حالت مقید دوترون است: تابع $u(r)$ برای تشکیل حالت مقید در ناحیه $r < R$ «برمی‌گردد». در این صورت، مقدار a مثبت است. چون حالت تک تاییه شکل مقید ندارد، تابع $u(r)$ در ناحیه $r < R$ «بر نمی‌گردد»



شکل ۷.۴ (الف) تابع موج پراکندگی سه تاییه np برای نوترونهای آزمایشگاهی با انرژی حدود ۲۰۰ keV و به شعاع چاه ۲.۱ fm. در این مورد، طول پراکندگی مثبت است. (ب) تابع موج با طول پراکندگی منفی. این تابع موج با مورد مربوط به پراکندگی تک تاییه np انطباق دارد.

بلکه با شیب مثبت به مرز $r = R$ می‌رسد. هنگامی که تابع موج را در $r = R$ به‌طور هموار برون‌یابی می‌کنیم و به $u(r) = 0$ امتداد می‌دهیم، طول پراکندگی تک‌تایه a_s را منفی به‌دست می‌آوریم.

برآورد $\sigma_t = 46b$ با توجه به‌خواص دوترون به‌مقدار $a_t = +61 \text{ fm}$ منتهی می‌شود، و برآورد $\sigma_s = 678b$ که با توجه به‌سطح مقطع کل تجربی به‌دست آمده است طول پراکندگی تک‌تایه را برابر $a_s = -232 \text{ fm}$ به‌دست می‌دهد.
بنابر نظریه پراکندگی نوترون از پراهی‌دروژن و اورتو‌هی‌دروژن، داریم

$$\sigma_{pa} = 57(3a_t + a_s)^2 \quad (40.4)$$

$$\sigma_{or} = \sigma_{pa} + 129(a_t - a_s)^2 \quad (41.4)$$

که ضرایب عددی در آنها به‌سرعت نوترون فرودی بستگی دارد. معادلات (41 و 40.4) برای نوترونهای با سرعت 770 m/s ، که حتی از نوترونهای «گرمایی» (2200 m/s) هم کندترند، نوشته شده‌اند. سطح مقطعهای اندازه‌گیری شده برای چنین نوترونهایی، پس از تصحیح فرایند جذب، عبارت‌اند از

$$\sigma_{pa} = (32 \pm 02) b \quad \text{و} \quad \sigma_{or} = (108 \pm 1) b$$

اگر نیروی هسته‌ای مستقل از اسپین بود، $a_t = a_s$ و $\sigma_t = \sigma_s$ می‌شد و در نتیجه σ_{or} و σ_{pa} باید یکسان به‌دست می‌آمد. اختلاف بزرگ بین مقادیر اندازه‌گیری شده نشان می‌دهد که $a_t \neq a_s$ است، و اینکه علامتهای a_t و a_s هم باید مخالف باشند تا با توجه به رابطه $3a_t \approx a_s - \sigma_{pa}$ مقدار کوچک شود. از حل معادلات (41 و 40.4) خواهیم داشت

$$a_s = (-2355 \pm 012) \text{ fm}$$

$$a_t = (+535 \pm 006) \text{ fm}$$

که با مقادیر حاصل از σ_t و σ_s که قبلاً به‌دست آوردیم سازگار است.^۱ آزمایشهای دیگری هم هستند که تمایز بین طول پراکندگی تک‌تایه و سه‌تایه را نشان می‌دهند. از جمله این آزمایشها، می‌توان پراش نوترونها در بلورهای محتوی هیدروژن (مانند هیدریدها)، و همچنین بازتاب کلی باریکه‌های نوترونی را که با زاویای کوچک به‌مواد آکنده از هیدروژن (مانند هیدروکربنها) تابیده می‌شوند نام برد. نتایج حاصل از این روشها بخوبی با مقادیر a_t و a_s مذکور در بالا سازگار است.
نظریه‌ای که در اینجا بیان کرده‌ایم، فقط برای پراکندگی $l = 0$ ذرات فرودی

۱. برای مطالعه شرح این آزمایشها می‌توانید رجوع کنید به

کم انرژی اعتبار دارد. شرط $l = 0$ مستلزم ذرات فرودی با انرژی کمتر از 20 MeV است، درحالی که منظور از انرژی کم در تقریبهایی دیگر انرژیهای در حدود eV یا keV است. با افزایش انرژی ذره فرودی، خیلی بیشتر از آنکه به انرژی 20 MeV برسیم، معادله (۳۶.۴) را نقض خواهیم کرد. در این صورت همچنان با پراکندگی $l = 0$ سروکار داریم، اما در این انرژیها (که از مرتبه 1 MeV است) معادلاتی مانند (۳۸.۴) دیگر معتبر نیستند. چنین مواردی را عموماً در قریب برد مؤثر بررسی می کنیم که در آن داریم

$$k \cot \delta_0 = \frac{1}{a} + \frac{1}{r_0} r_0 k^2 + \dots \quad (42.4)$$

در اینجا از توانهای بالاتر k صرف نظر می شود. کمیت a همان طول پراکندگی انرژی صفر است که قبلاً از آن سخن گفتیم [در واقع، در حد $k \rightarrow 0$ این معادله به صورت معادله (۳۷.۴) درمی آید]، و کمیت r_0 پارامتر جدیدی است که برد مؤثر نامیده می شود. یکی از مزایای این طرز نمایش آن است که پارامترهای a و r_0 پتانسیل هسته ای را مستقل از شکل آن به دست می آوریم. یعنی، تمام محاسبات انجام شده در این بخش را می توانیم برای پتانسیلی غیر از چاه مربعی نیز تکرار کنیم، که در این صورت با توجه به سطح مقطعهای تجربی برای a و r_0 مقادیری مشابه به دست خواهیم آورد. البته وجه ناخوشایند این روش آن است که از تحلیلی که محاسبات با پتانسیلهای مختلف در آن به نتایج یکسانی منجر شود، هیچ اطلاعی از شکل پتانسیل هسته ای به دست نمی آید!

در اینجا هم مثل مورد طول پراکندگی، برد مؤثر در حالت های تک تابه و سه تابه با هم تفاوت دارد. با توجه به انواع آزمایشهای پراکندگی، بهترین مجموعه پارامترهای $l = 0$ را در برهم کنش نوترون- پروتون به صورت زیر به دست می آوریم

$$a_s = -23715 \pm 5015 \text{ fm} \quad a_t = 57423 \pm 5005 \text{ fm}$$

$$r_{0s} = 2773 \pm 503 \text{ fm} \quad r_{0t} = 1748 \pm 5006 \text{ fm}$$

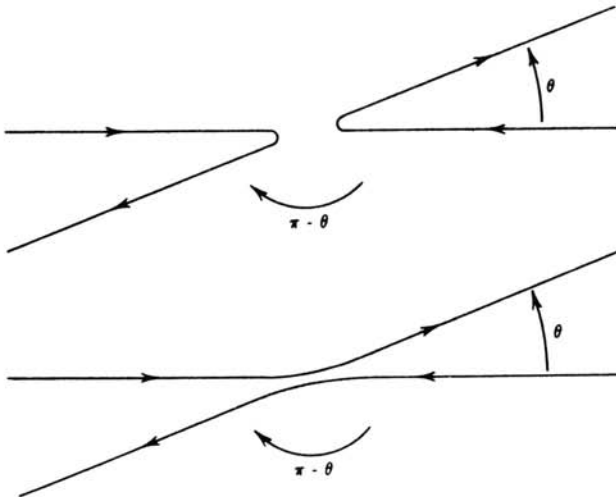
به عنوان آخرین نکته در برهم کنش نوترون- پروتون در حالت های تک تابه و سه تابه، سعی می کنیم که انرژی حالت تک تابه n-p را بر آورد و آن را با انرژی حالت مقید سه تابه (-222 MeV) مقایسه کنیم. با استفاده از معادلات (۳۴.۴)، (۳۱.۴)، و (۵۰.۴)، انرژی حالت تک تابه را در حدود $+77 \text{ keV}$ به دست می آوریم. بدین گونه می توان گفت که حالت تک تابه فقط تا حدودی نامقید است.

۳.۴ برهم کنشهای پروتون- پروتون و نوترون- نوترون

بین پراکندگی نوکلئونهای یکسان (پراکندگی پروتون- پروتون و نوترون- نوترون) و پراکندگی نوکلئونهای نایکسان (پراکندگی نوترون- پروتون) یک اختلاف بسیار مهم

وجود دارد. این اختلاف از آنجا ناشی می‌شود که، چنانکه در بخش ۷.۲ دیدیم، نوکلئونهای یکسان هدف و پرتابه را باید بایک تابع موج مشترك توصیف کرد. چون نوکلئونها اسپین $1/2$ دارند، تابع موج آنها باید نسبت به تعویض نوکلئونها پادمتقارن باشد. اگر در اینجا هم فقط پراکندگی نوکلئونها در انرژیهای پایین را در نظر بگیریم، $l=0$ می‌شود و در نتیجه تعویض مختصات فضایی دو ذره به تغییر علامت منتهی نمی‌شود. (این وضعیت تا حدودی به عملیات پارتیه که در بخش ۶.۲ شرح داده شد شباهت دارد.) پس تابع موج که نسبت به تعویض مختصات فضایی متقارن است، باید نسبت به تعویض مختصات اسپینی پادمتقارن باشد تا تابع موج کل (حاصلضرب فضایی و اسپینی) پادمتقارن بماند. تابع موج اسپینی پادمتقارن به صورت معادله (۷۶.۲) است و باید با اسپین کل صفر متناظر شود، یعنی سمتگیری اسپینها باید متفاوت باشد. بنابراین فقط حالت‌های اسپینی تک‌تایه می‌توانند در پراکندگی شرکت کنند. (در انرژیهای بالاتر، حالت‌های فضایی پادمتقارن $l=1$ که فقط در حالت‌های اسپینی سه‌گانه متقارن دیده می‌شوند نیز قابل قبول‌اند.)

سطح مقطع دیفرانسیلی بر پایه ویژگی دیگری از فیزیک کوانتومی تعیین می‌شود. شکل ۸.۴ را که نمایشگر پراکندگی دو ذره یکسان در چارچوب مرجع مرکز جرم است در نظر می‌گیریم. چون ذره‌ها یکسان هستند، هیچ راه تجربی برای تشخیص تمایز بین دو حالتی که در شکل نشان داده‌ایم وجود ندارد. بنابراین تابع موج پراکنده باید پراکندگیهای تحت هر دو زاویه θ و $\pi - \theta$ را شامل شود. هنگامی که برای تعیین سطح مقطع، تابع موج



شکل ۸.۴ پراکندگی ذرات یکسان در دستگاه مرکز جرم. يك ذره تحت زاویه θ و دیگری تحت زاویه $\pi - \theta$ خارج می‌شود. چون ذرات یکسان هستند، هیچ راه تجربی برای تشخیص اینکه کدام ذره از کدام زاویه خارج می‌شود وجود ندارد، و بنابراین تمایز بین دو حالتی که نموده شده است امکان‌پذیر نیست.

پراکنده را مجذور می‌کنیم، با يك جمله متناسب با تداخل روبه‌رو می‌شویم که از اجزای تابع موج پراکنده شده در زوایای θ و $\pi - \theta$ حاصل می‌شود. این تداخل صرفاً يك اثر کوآنتومی است و هیچ مشابه کلاسیکی ندارد.

نخست پراکندگی بین دو پروتون را در نظر می‌گیریم: چون تابع موج باید هر دو نوع پراکندگی هسته‌ای و کولنی را توصیف کند، يك جمله تداخلی هسته‌ای-کولنی اضافی هم در سطح مقطع وجود خواهد داشت. تابع موج پراکنده باید شامل جمله‌ای از پراکندگی کولنی و جمله دیگری از پراکندگی هسته‌ای باشد. جمله کولنی باید در حد $0 \rightarrow e$ ناپدید شود، و جمله هسته‌ای هم باید وقتی پتانسیل هسته‌ای به‌سوی صفر میل می‌کند ناپدید شود که در این صورت داریم $0 \rightarrow \delta_0$. هنگامی که برای تعیین سطح مقطع تابع موج را مجذور می‌کنیم، جمله‌ای به‌دست می‌آید که هر دو پراکندگی هسته‌ای و کولنی را شامل می‌شود. سطح مقطع دیفرانسیلی عبارت است از

$$\frac{d\sigma}{d\Omega} = \left(\frac{e^2}{4\pi\epsilon_0}\right)^2 \frac{1}{4T^2} \left\{ \frac{1}{\sin^4(\theta/2)} + \frac{1}{\cos^4(\theta/2)} - \frac{\cos[\eta \ln \tan^2(\theta/2)]}{\sin^2(\theta/2)\cos^2(\theta/2)} \right. \\ \left. - \frac{2}{\eta} (\sin \delta_0) \left(\frac{\cos[\delta_0 + \eta \ln \sin^2(\theta/2)]}{\sin^2(\theta/2)} + \frac{\cos[\delta_0 + \eta \ln \cos^2(\theta/2)]}{\cos^2(\theta/2)} \right) \right. \\ \left. + \frac{4}{\eta^2} \sin^2 \delta_0 \right\} \quad (۲۳.۴)$$

در اینجا T انرژی جنبشی ذره فرودی در آزمایشگاه (که در آن پروتون هدف در حال سکون در نظر گرفته می‌شود)، θ زاویه پراکندگی در دستگاه مرکز جرم، δ_0 اختلاف فاز $l=0$ برای پراکندگی هسته‌ای خالص است، و به‌علاوه داریم $\eta = (e^2/4\pi\epsilon_0\hbar c)\beta^{-1} = \alpha/\beta$ که در آن α ثابت ساختار ریز (با مقداری نزدیک به $1/137$) و $\beta = v/c$ سرعت نسبی (بدون بعد) پروتون‌هاست. جملات شش‌گانه درون آکولاد در این معادله به آسانی قابل شناسایی هستند: (۱) جمله $\sin^{-4}(\theta/2)$ مشخصه پراکندگی کولنی است که پراکندگی را در فرود هم نامیده می‌شود. ما در فصل ۱۱ (جلد دوم، ترجمه فارسی) درباره این نوع پراکندگی بحث بیشتری خواهیم داشت. (۲) چون دو پروتون مشابه یکدیگرند، تشخیص اینکه (در دستگاه مرکز جرم) پروتون فرودی با زاویه θ و پروتون هدف با زاویه $\pi - \theta$ پراکنده می‌شود یا برعکس، امکان‌پذیر نیست. بنا بر این سطح مقطع پراکندگی باید شامل يك جمله مشخصه کولنی (یا رادرفوردی) $\cos^{-4}(\theta/2) = \sin^{-4}(\pi - \theta)/2$ هم باشد. (۳) این جمله نشانگر تداخل بین پراکنده‌گیهای کولنی تحت زوایای θ و $\pi - \theta$ است. (۴ و ۵) این

۱. برای محاسبه سطح مقطع باید پا را از حد این کتاب فراتر گذاشت. برای بحث در این باره کارهای اولیه پراکندگی پروتون- پروتون رجوع کنید به

J. D. Jackson and J. M. Blatt, *Rev. Mod. Phys.*, 22, 77 (1950).

دوجمله از تداخل بین پراکنده‌گیهای کولنی و هسته‌ای حاصل می‌شوند. (۶) آخرین جمله به پراکنده‌گی هسته‌ای خالص مربوط است. در حد $o \rightarrow e$ (پراکنده‌گی هسته‌ای خالص)، فقط همین جمله است که برجای می‌ماند و معادله (۴۳.۴) چنانکه باید به صورت معادله (۲۸.۴) درمی‌آید.

برهم‌کنش پروتون- پروتون اگرچه در عمل ممکن است پیچیده باشد؛ ولی درک مفهوم و روش بررسی آن ساده است: چون δ_0 تنها مجهول معادله (۴۳.۴) است، سطح مقطع دیفرانسیلی پراکنده‌گی را می‌توانیم به صورت تابعی از زاویه (برای هر مورد از انرژی جنبشی ذرات فرودی) اندازه‌گیری کنیم، و آنگاه با استفاده از بهترین برآزش نتایج با معادله (۴۳.۴) مقدار δ_0 را به دست آوریم. نمونه‌ای از نتایج این نوع اندازه‌گیری را در شکل ۹.۴ نشان داده‌ایم که با توجه به آن در انرژی $T = 3037 \text{ MeV}$ اختلاف فاز برابر $\delta_0 = 50966^\circ$ می‌شود. با استفاده از تعداد زیادی آزمایش به همین صورت می‌توان بستگی δ_0 را به انرژی، مطابق شکل ۱۰.۴، به دست آورد.

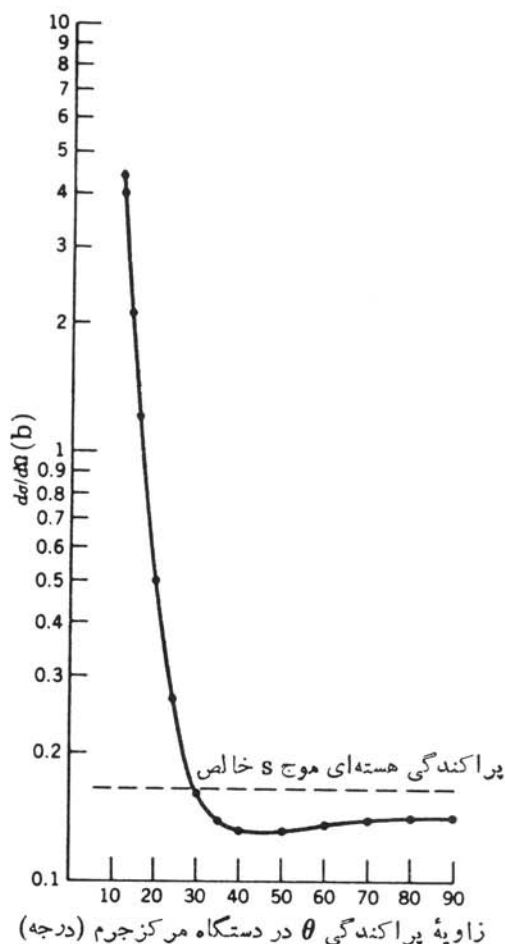
گام بعدی در تعبیر این اطلاعات این است که همچنانکه در مورد معادله (۴۲.۴) دیدیم، پراکنده‌گی را با استفاده از کمیت‌هایی مستقل از انرژی نظیر طول پراکنده‌گی و برد مؤثر نشان دهیم. متأسفانه این کار را به آسانی نمی‌توان انجام داد، زیرا برد برهم‌کنش کولنی بینهایت است و حتی در حد $o \rightarrow k$ نمی‌توانیم از جملات مرتبه بالاتر در معادله (۴۲.۴) صرف‌نظر کنیم. اما با قبول بعضی اصلاحات، می‌توانیم به صورتی مشابه معادله (۴۲.۴) عبارتی حاوی اثرات پراکنده‌گی کولنی و هسته‌ای به دست آوریم، و مقادیر طول پراکنده‌گی پروتون- پروتون و برد مؤثر را تعیین کنیم

$$a = -7.82 \pm 0.01 \text{ fm}$$

$$r_0 = 2.79 \pm 0.02 \text{ fm}$$

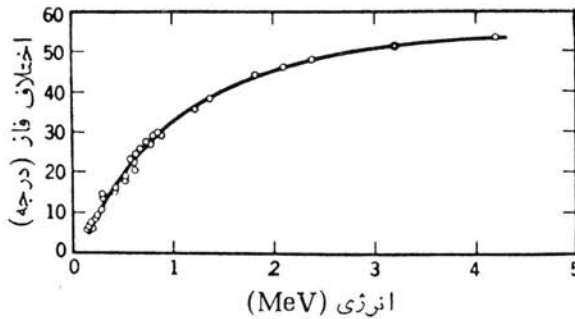
این مقدار برد مؤثر کاملاً با مقادیر مربوط به تکران np که در بخش قبلی به دست آمد، سازگار است. طول پراکنده‌گی که قدرت برهم‌کنش را نشان می‌دهد، هر دو اثر کولنی و هسته‌ای را شامل می‌شود و بنابراین مستقیماً با مقدار مربوط به برهم‌کنش np قابل مقایسه نیست. (اما، به این نکته مهم باید توجه داشت که a منفی است، و این بدان معنی است که مجموعه pp هیچ حالت مقیدی ندارد، و در نتیجه هسته ${}^2\text{He}$ در طبیعت موجود نیست.) مقایسه بین طولهای پراکنده‌گی pp و np را در بخش بعدی دنبال خواهیم کرد.

پراکنده‌گی نوترون- نوترون را باید فارغ از اثرات برهم‌کنش کولنی، که باعث پیچیدگی تحلیل پراکنده‌گی پروتون- پروتون می‌شود، مطالعه کرد. مشکلی که در این مورد وجود دارد، مشکل آزمایش است. هرچند که باریکه نوترون را به آسانی می‌توان تهیه کرد، ولسی هدف‌هایی که نوترون آزاد داشته باشند در اختیار نداریم. بنا براین، اندازه‌گیری پارامترهای پراکنده‌گی نوترون- نوترون نیازمند استفاده از نوعی واکنش هسته‌ای است که در طی آن دو نوترون تولید شوند و این دو در محدوده نیروی هسته‌ای نسبت به یکدیگر در



شکل ۹.۴ سطح مقطع پراکندگی پروتون- پروتون در انرژی کم و درحالتی که انرژی پروتون فرودی برابر 3037 MeV است. از هرازش این اطلاعات با معادله (۴۳.۴)، اختلاف فاز موج s برابر $\delta_0 = 50966^\circ$ به دست می آید. سطح مقطع پراکندگی هسته‌ای خالص برابر 165 b است. وجود سطح مقطعهایی که از مقادیر مربوط به پراکندگی هسته‌ای خالص کوچکترند، حاکی از تداخل قسمتهای کولنی و هسته‌ای تابع موج است.

حرکت باشند. وقتی این دونوترون از یکدیگر فاصله می گیرند، مثل این است که با آزمایش پراکندگی سروکار داریم. متأسفانه، در این گونه واکنشها يك ذره سوم هم حتماً تولید می شود که با هر دو نوترون (هم به طور جداگانه و هم به طور جمعی) برهم کنش خواهد داشت. اما برای به دست آوردن مقادیر مربوط به برد مؤثر و طول پراکندگی نوترون-نوترون، تصحیحات لازم را با دقت کافی می توان محاسبه کرد. در آزمایشهایی که تاکنون در این مورد گزارش شده اند، از واکنشهای تجزیه دوترون، در پی گیراندازی مسزون منفی π^-



شکل ۱۰۰۴ اختلاف فاز موج s در پراکندگی pp. این منحنی با استفاده از نتایج تعداد زیادی آزمایش رسم شده است.

استفاده شده است. این امکان هم وجود دارد که پارامترهای nn را از مقایسه واکنشهای آینه‌ای $(\pi^- + {}^2\text{H} \rightarrow 2n + \gamma)$ و در پی پراکندگی نوترون $(n + {}^2\text{H} \rightarrow 2n + p)$ ، استفاده معلوم pp، به عنوان وسیله‌ای برای محاسبه اثرات حالت نهایی ذرات سه گانه، تعیین کنیم. از تحلیل این آزمایشها (و آزمایشهای دیگر)، پارامترهای نوترون-نوترون به صورت زیر به دست می‌آید

$$a = -1696 \pm 58 \text{ fm}$$

$$r_0 = 2966 \pm 115 \text{ fm}$$

همچنانکه در برهم کنش پروتون-پروتون دیدیم، طول پراکندگی منفی نشان می‌دهد که از اجتماع دونوترون يك حالت مقید پایدار حاصل نمی‌شود. دلیل دافعه کولنی برای توضیح عدم وجود دی-پروتون، اگرچه وسوسه‌انگیز است، دلیل درستی نمی‌تواند باشد. در مورد دی-نوترون چنین وسوسه‌ای نداریم، و عدم وجود آن را باید ناشی از وابستگی اسپینی واکنش هسته‌ای تلقی کنیم. خلاصه قرائن به این صورت است که گفتیم: حالت پایه دونوترون يك سه تایی اسپینی است، و هیچ حالت مقیدی با اسپین تک تایی وجود ندارد. سپس استدلال کردیم که چون فرمیونهای یکسان باید تابع موجهای کلی پادمقارن داشته باشند و چون انتظار بر این است که پایینترین حالت يك حالت مقارن فضایی $l=0$ باشد، سیستمهای دی-پروتون و دی-نوترون باید حالتی اسپینی پادمقارن (یا تک تایی) داشته باشند که حالتی نامقیدند.

۴.۴ خواص نیروی هسته‌ای

بر پایه خواص هسته‌ها در انرژیهای پایین که در بخشهای پیشین مورد بحث قرار گرفت،

بسیاری از خصوصیات نیروی هسته‌ای قابل بررسی است. هنگامی که نتایج آزمایشهای انجام شده در انرژیهای بالاتر را هم بدانها بیفزاییم، جزئیات بیشتری از نیروی هسته‌ای برای ما روشن می‌شود. در این بخش، ویژگیهای اصلی نیروی بین نوکلئونها را به‌طور خلاصه شرح می‌دهیم، و در بخش بعدی نمایش خاصی از این نیرو را که متضمن بسیاری از این خصوصیات است مورد بحث قرار می‌دهیم.

برهم‌کنش بین دو نوکلئون از پایینترین مرتبه پتانسیل مرکزی جاذبه‌ای حاصل می‌شود در این فصل این پتانسیل را به‌صورت چاه مربعی در نظر گرفته‌ایم، که این فرض باعث سادگی محاسبات می‌شود و اطلاعات تجربی را بخوبی بازتولید می‌کند. به همین ترتیب می‌توانستیم دیگر صورتهای واقع بینانه‌تر پتانسیل را در نظر بگیریم، ولی در نتیجه گیریهای اصلی تغییری حاصل نمی‌شد (در حقیقت، تقریب برد مؤثر عملاً از شکلی که برای پتانسیل در نظرمی‌گیریم مستقل است). ویژگی مشترک همه این پتانسیلها در بستگی انحصاری آنها به فاصله بین نوکلئونی r است. به همین دلیل این عبارت مرکزی را به صورت $V_c(r)$ نشان داده‌ایم. برنامه آزمایشی بررسی $V_c(r)$ به این ترتیب خواهد بود که وابستگی انرژی پارامترهایی نظیر اختلاف فازهای پراکندگی را اندازه‌گیری کنیم، و آنگاه سعی کنیم که شکل $V_c(r)$ را چنان انتخاب کنیم که به‌بهترین وجهی پارامترهای یادشده را بازتولید کند.

برهم‌کنش نوکلئون - نوکلئون قویاً وابسته به اسپین است

این نتیجه‌گیری از عدم موفقیت در مشاهده حالت مقید تک‌تایه دوترون و همچنین از اندازه‌گیری اختلاف سطح مقطعهای حائلتهای تک و سه‌تایه حاصل شده است. شکل جمله اضافی‌ای که با در نظر گرفتن این اثر باید به پتانسیل افزود چیست؟ روشن است که این جمله باید به اسپین S_p و S_n نوکلئونها بستگی داشته باشد، ولسی همه ترکیبهای S_p و S_n مجاز نیستند. نیروی هسته‌ای باید متضمن بعضی از تقارنهای باشد، که این امر منجر به محدودیت شکل پتانسیل می‌شود. انعکاس پاریته ($\mathbf{r} \rightarrow -\mathbf{r}$) و برگشت زمان ($t \rightarrow -t$) را می‌توان به‌عنوان نمونه‌هایی از این تقارنهای نام برد. آزمایش نشان می‌دهد که پتانسیل بین نوکلئونی نسبت به این عملیات تاحد زیادی (برای پاریته با دقت يك در ۱۰۷ و برای برگشت زمان يك در ۱۰۳ قسمت) ناورد است. در اثر عملگر پاریته، که متضمن انعکاس فضایی است، بردار تکانه زاویه‌ای بدون تغییر می‌ماند. این گفته ممکن است که تاحدی عجیب به نظر بیاید، زیرا طبیعی است که با معکوس شدن دستگاه مختصات تمام بردارهای تعریف شده در آن دستگاه نیز وارونه می‌شوند. اما تکانه زاویه‌ای از جنس بردار حقیقی یا بردار قطبی نیست، بلکه از جنس شبه بردار یا بردار محوری است که در اثر تبدیل $\mathbf{r} \rightarrow -\mathbf{r}$ معکوس نمی‌شود. این نکته را مستقیماً از تعریف $\mathbf{r} \times \mathbf{p}$ یا از نمودار جسم چرخان می‌توان استنباط کرد. در اثر عملگر برگشت زمان، تمام حرکتهای (از جمله تکانه خطی و زاویه‌ای) معکوس می‌شوند.

از این رو جملاتی مانند s_1 و s_2 یا ترکیبی از آنها $AS_1 + BS_2$ در تابع پتانسیل، باعث نقض ناوردایی برگشت زمان خواهند شد و آنها را نمی‌توان بخشی از پتانسیل هسته‌ای به‌شمار آورد. جملاتی مانند $s_1^2 \cdot s_2^2$ ، یا $s_1 \cdot s_2$ که نسبت به برگشت زمان ناوردا هستند، مجاز خواهند بود. (تمام این جملات نسبت به پارامتر هم ناوردا هستند.) ساده‌ترین جمله‌ای که اسپین هر دو نوکلئون را شامل شود به صورت $s_1 \cdot s_2$ است. اکنون مقدار $s_1 \cdot s_2$ را برای حالت‌های تک‌تایه و سه‌تایه تعیین می‌کنیم. برای این منظور اسپین کل $S = s_1 + s_2$ را به‌دست می‌آوریم

$$\begin{aligned} S^2 &= S \cdot S = (s_1 + s_2) \cdot (s_1 + s_2) \\ &= s_1^2 + s_2^2 + 2s_1 \cdot s_2 \end{aligned}$$

پس داریم

$$s_1 \cdot s_2 = \frac{1}{2} (S^2 - s_1^2 - s_2^2) \quad (44.4)$$

برای تعیین مقدار این عبارت، باید یادآور شد که در مکانیک کوانتومی مربع تکانه زاویه‌ای به صورت $S = \hbar^2 s(s+1)$ محاسبه می‌شود [به بخش ۵.۲ و معادله (۶۹.۲) رجوع شود]. بنابراین خواهیم داشت

$$\langle s_1 \cdot s_2 \rangle = \frac{1}{2} [S(S+1) - s_1(s_1+1) - s_2(s_2+1)] \hbar^2 \quad (45.4)$$

باتوجه به اینکه $s_1 = s_2 = 1/2$ است، مقدار $s_1 \cdot s_2$ در حالت سه‌تایه ($S=1$) عبارت است از

$$\langle s_1 \cdot s_2 \rangle = \frac{1}{2} \left[1(1+1) - \frac{1}{2} \left(\frac{1}{2} + 1 \right) - \frac{1}{2} \left(\frac{1}{2} + 1 \right) \right] \hbar^2 = \frac{1}{4} \hbar^2 \quad (46.4)$$

و مقدار آن در حالت تک‌تایه ($S=0$) عبارت است از

$$\langle s_1 \cdot s_2 \rangle = \frac{1}{2} \left[0(0+1) - \frac{1}{2} \left(\frac{1}{2} + 1 \right) - \frac{1}{2} \left(\frac{1}{2} + 1 \right) \right] \hbar^2 = -\frac{3}{4} \hbar^2 \quad (47.4)$$

بنابراین در تابع پتانسیل عبارتی به صورت $s_1 \cdot s_2 V_s(r)$ را می‌توان در نظر گرفت که با وجود آن سطح مقطع‌های مختلف حالت‌های تک‌تایه و سه‌تایه قابل محاسبه خواهد شد. بزرگی V_s را می‌توان چنان تنظیم کرد که اختلاف سطح مقطع‌های تک‌تایه و سه‌تایه را به درستی پیش‌بینی کند، و وابستگی شعاعی آن همچنان قابل تنظیم است که انرژی حالتها نیز به‌طور مناسبی در نظر گرفته شود.

پتانسیل دربرگیرنده V_c و V_s را به صورت زیر نیز می‌توانیم بنویسیم

$$V(r) = -\left(\frac{S_1 \cdot S_2}{\hbar^2} - \frac{1}{4}\right)V_1(r) + \left(\frac{S_1 \cdot S_2}{\hbar^2} + \frac{3}{4}\right)V_2(r) \quad (48.4)$$

که در آن $V_1(r)$ و $V_2(r)$ پتانسیلهایی هستند که به‌طور جداگانه رفتار تک‌تایه و سه‌تایه را توضیح می‌دهند.

پتانسیل بین نوکلئونی شامل یک جمله غیرمرکزی، به نام پتانسیل تانسوری، است عمده‌ترین دلیل وجود نیروی تانسوری از مشاهده گشتاور چار قطبی درحالت پایه دوترون حاصل می‌شود. تابع موج حالت S ($l=0$) تقارن کروی دارد، یعنی گشتاور چار قطبی الکتريکی آن صفر است. تابع موجهای باحالتهای مختلط l را باید از پتانسیلهای غیرمرکزی به وجود آورد. این نیروی تانسوری باید، به جای $V(r)$ ، به صورت $V(\mathbf{r})$ باشد. برای نوکلئون منفرد، بدیهی است که انتخاب یک جهت مشخص در فضا اختیاری است یعنی شمال و جنوب یا شرق و غرب برای آن تفاوتی ندارد. تنها جهت مرجع برای نوکلئون جهت اسپین آن است، و از این رو تنها جمله‌ای که می‌توان در نظر گرفت به صورت $\mathbf{s} \cdot \mathbf{r}$ یا $\mathbf{s} \times \mathbf{r}$ است که بردار مکان \mathbf{r} را با جهت \mathbf{s} ارتباط می‌دهد. برای آنکه شرط ناوردایی پاریته تأمین شود، باید با تعداد زوجی از عوامل \mathbf{r} سروکار داشته باشیم، و بنا بر این پتانسیل بین دو نوکلئون می‌باید به جملاتی مانند $(\mathbf{s}_1 \cdot \mathbf{r})(\mathbf{s}_2 \cdot \mathbf{r})$ یا $(\mathbf{s}_1 \times \mathbf{r}) \cdot (\mathbf{s}_2 \times \mathbf{r})$ بستگی داشته باشد. با استفاده از اتحادهای برداری می‌توان نشان داد که صورت دوم همان صورت اول بعلاوه جمله $\mathbf{s}_1 \cdot \mathbf{s}_2$ است که قبلاً در پتانسیل $V(r)$ گنجانده شده است. بنا بر این بدون آنکه کلیت مسئله را ازدست بدهیم، می‌توانیم بخش تانسوری پتانسیل بین نوکلئونی را به صورت $S_{12} V_T(r)$ در نظر بگیریم که در آن $V_T(r)$ بستگی شعاعی نیرو و بزرگی آن را تأمین می‌کند، و داریم

$$S_{12} = \frac{3(\mathbf{s}_1 \cdot \mathbf{r})(\mathbf{s}_2 \cdot \mathbf{r})}{r^2} - \mathbf{s}_1 \cdot \mathbf{s}_2 \quad (49.4)$$

که این عبارت متضمن ویژگی تانسوری نیروست و متوسط آن در تمام زوایا برابر صفر می‌شود.

نیروی نوکلئون- نوکلئون نسبت به بار نوکلئون تقارن دارد

این بدان معنی است که پس از تصحیح نیروی کولنی درسیستم پروتون- پروتون، فوقی بین برهم‌کنش پروتون- پروتون و برهم‌کنش نوترون- نوترون نیست. در اینجاقصود از «بار» خصوصیت یا جنس نوکلئون (پروتون یا نوترون) است و نه بارالکتريکی آن. دلیل این امر آن است که طولهای پراکندگی و همچنین بردهای مؤثر در برهم‌کنشهای pp و nn با هم مساوی است. البته، در ابتدا لازم است که تصحیح برهم‌کنش کولنی را در مورد

پارامترهای pp در نظر بگیریم. با در نظر گرفتن این تصحیح، پارامترهای تک تاییه pp چنین می شود

$$a = -1771 \pm 0.2 \text{ fm}$$

$$r_0 = 2784 \pm 0.3 \text{ fm}$$

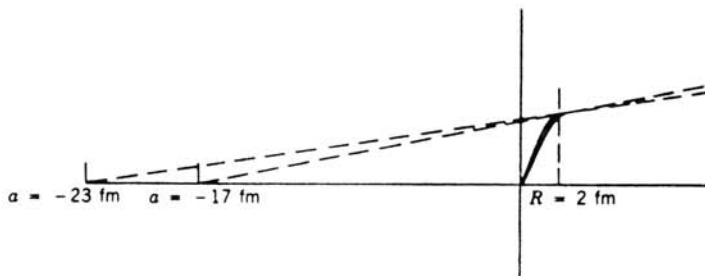
این مقادیر با پارامترهای اندازه گیری شده nn ($a = -1666 \pm 0.5 \text{ fm}$) و $r_0 = 2766 \pm 0.15 \text{ fm}$ سازگاری خوبی دارند، که این سازگاری قویاً مؤید مفهوم تقارن بار است.

نیروی نوکلئون-نوکلئون تقریباً مستقل از بارالکتریکی است

این بدان معنی است که (همانند حالت های اسپین) پس از تصحیح نیروی کولنی pp، هر سه نیروی هسته ای nn، pp، و pn با هم مساوی اند. به این ترتیب، استقلال بارشرطی قویتر از تقارن بار است. در این مورد، شواهد امرچندان قاطع نیست. در واقع، به نظر می رسد که طول پراکندگی حالت تک تاییه np (-237 fm) تفاوت زیادی با طولهای پراکندگی pp و nn (-17 fm) داشته باشد. اما با توجه به شکل ۱۱.۴ معلوم می شود که طول پراکندگی منفی نسبت به تابع موج هسته در نزدیکی $r = R$ حساسیت قابل ملاحظه ای دارد، به طوری که تغییر بسیار کوچک ψ می تواند به تغییر بزرگی در طول پراکندگی منجر شود. بنا بر این اختلاف زیاد بین طولهای پراکندگی را می توان ناشی از اختلاف بسیار کوچکی (در حدود ۱٪) در پتانسیلها دانست، که (چنانکه در بخش بعدی می بینیم) به آسانی به وسیله مدل نیروی تبادل قابل توجیه است.

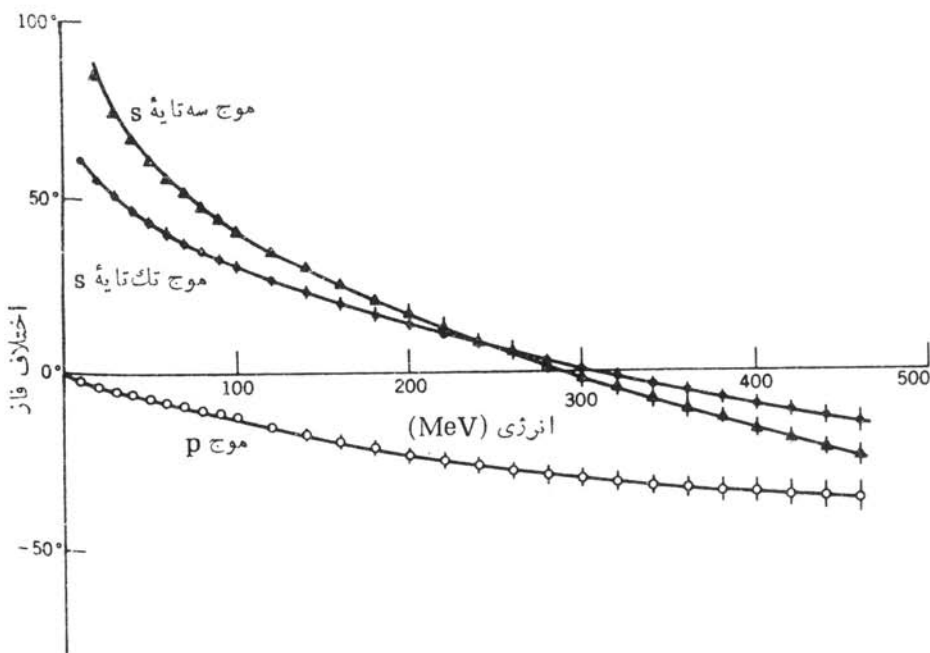
برهم کنش نوکلئون-نوکلئون در فواصل خیلی کوتاه دافعه می شود

این نتیجه از بررسی کیفی چگالی هسته ای حاصل می شود. رشد هسته در اثر افزایش



شکل ۱۱.۴ تغییر بسیار کوچکی در تابع موج نوکلئون-نوکلئون در نزدیکی $r = R$ می تواند در اثر بیرونیابی به اختلاف قابل توجهی در طول پراکندگی منجر شود [این شکل را با شکل ۷.۴ (ب) مقایسه کنید].

نوکلئونها به صورتی است که چگالی مرکزی آن تقریباً ثابت می‌ماند، و از این رو باید عاملی وجود داشته باشد که از تجمع و نزدیک شدن بیش از حد نوکلئونها جلوگیری کند. برای آنکه مسئله را کمیتر بررسی کنیم، پراکندگی نوکلئون - نوکلئون را در انرژیهای بالا در نظر می‌گیریم. اختلاف فاز موج تک‌تاییه s برای پراکندگی نوکلئون - نوکلئون را تا انرژی ۵۰۰ MeV در شکل ۱۲.۴ نشان داده‌ایم. (در این انرژیها اختلاف فاز امواج جزئی مراتب بالاتر، مثلاً موجهای p و d، نیز در این سطح مقطعها سهم اند. اختلاف فاز موج s را به آسانی می‌توان از اندازه‌گیریهای پراکندگی دیفرانسیلی $d\sigma/d\Omega$ بر حسب θ استخراج کرد، زیرا این اختلاف فاز به θ بستگی ندارد.) اختلاف فاز موج s در انرژی حدود ۳۰۰ MeV منفی می‌شود، که این امر حاکی از تغییر نیرو از صورت جاذبه به صورت دافعه است. برای آنکه مغز دافعه را به حساب آوریم، باید پتانسیلهای مورد استفاده را اصلاح کنیم. برای مثال، اگر در اینجا هم برای سهولت محاسبات چاه مربعی را انتخاب کنیم، ممکن است تابع پتانسیل را به صورت زیر در نظر بگیریم



شکل ۱۲.۴ اختلاف فاز حاصل از پراکندگی نوترون - پروتون در انرژیهای متوسط. تغییر اختلاف فاز موج s از مقدار مثبت به منفی، در انرژی حدود ۳۰۰ MeV، نشان می‌دهد که در این انرژیها نوکلئون فرودی با مغز دافعه در برهم کنش نوکلئون - نوکلئون روبرو شده است.

$$\begin{aligned}
 V(r) &= +\infty & r < R_c \\
 &= -V_0 & R_c \leq r \leq R \\
 &= 0 & r > R
 \end{aligned} \quad (50.4)$$

در اینجا R_c شعاع مغز دافعه است که با تنظیم مقدار آن می توان به سازگاری رضا یته بخشی با اختلاف فاز تجربی موج s دست یافت. با انتخاب $R_c \approx 5 \text{ fm}$ مقدار حاصل از محاسبه با اختلاف فاز تجربی سازگار می شود.

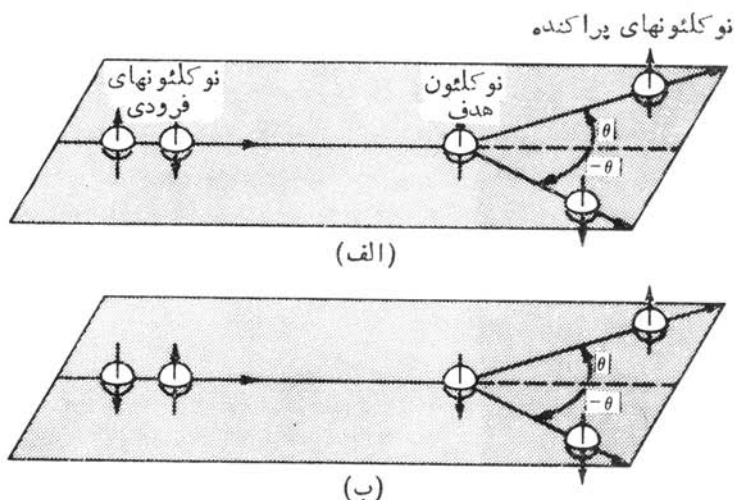
برهم کنش نوکلئون- نوکلئون می تواند به تکانه یا سرعت نسبی نوکلئونها هم بستگی داشته باشد نیروهای وابسته به سرعت یا تکانه را نمی توان با پتانسیل نرده ای نشان داد، اما با استفاده از جملات درجه اول \mathbf{p} ، درجه دوم \mathbf{p} ، و غیره، که هر کدام از آنها با یک پتانسیل مشخصه $V(r)$ متناظرند، می توان آنها را به سه طرز قابل قبولی در نظر گرفت. تحت تأثیر عملگر پارایته داریم $\mathbf{p} \rightarrow -\mathbf{p}$ ، و در اثر عملگر برگشت زمان هم داریم $\mathbf{p} \rightarrow -\mathbf{p}$. پس هر جمله ای که فقط شامل توانهای درجه اول \mathbf{p} باشد غیر قابل قبول است، زیرا در این صورت ناوردا ییهای پارایته و برگشت زمان هر دو نقض خواهند شد. جملاتی که به صورت $\mathbf{r} \cdot \mathbf{p}$ یا $\mathbf{r} \times \mathbf{p}$ باشند، نسبت به پارایته ناوردا هستند ولی ناوردا یی برگشت زمان را نقض می کنند. یکی از صورت های قابل قبول این جمله که شامل توانهای درجه اول \mathbf{p} می شود و نسبت به پارایته و برگشت زمان هر دو ناورداست، $\mathbf{S} \cdot (\mathbf{r} \times \mathbf{p}) V(r)$ است که در آن $\mathbf{S} = \mathbf{S}_1 + \mathbf{S}_2$ اسپین کل دو نوکلئون مورد بررسی است. تکانه زاویه ای نسبی نوکلئونها برابر $\mathbf{l} = \mathbf{r} \times \mathbf{p}$ است، و در نتیجه این جمله که به خاطر مشابهت با فیزیک اتمی جمله اسپین- مدار نامیده می شود، به صورت $V_{so}(r) \mathbf{l} \cdot \mathbf{s}$ نوشته می شود. هر چند که از جملات درجه بالاتر هم می توان استفاده کرد، ولی این عبارت تنها عبارت درجه اول \mathbf{p} است که با تقارن پارایته و برگشت زمان هر دو سازگاری دارد.

فرض برهم کنش اسپین- مدار، با این مشاهده تجربی تقویت می شود که اسپین نوکلئونهای پراکنده ممکن است سمنگیری خاصی در فضا داشته باشد که در این حالت اسپین نوکلئونها را قطبیده می گویند. قطبیدگی نوکلئونهای موجود در یک باریکه (یا یک هدف) چنین تعریف می شود

$$P = \frac{N(\uparrow) - N(\downarrow)}{N(\uparrow) + N(\downarrow)} \quad (51.4)$$

که در آن $N(\uparrow)$ و $N(\downarrow)$ به ترتیب تعداد نوکلئونهایی است که سمنگیری اسپین آنها به طرف بالا و به طرف پایین است. مقدار P در گستره ای از مقادیر -1 تا $+1$ برای باریکه ای با 100% اسپین رو به بالا، تا -1 برای باریکه ای با 100% اسپین رو به پایین، قرار می گیرد. برای یک باریکه ناقطبیده $P = 0$ می شود، و این بدان معنی است که نیمی از

نوکلئون‌ها جهت اسپین‌شان رو به بالا و نیمی دیگر رو به پایین است. آزمایش پراکندگی شکل ۱۳.۴ (الف) را در نظر می‌گیریم که در آن باریکه‌ای ناقطبیده (که به صورت مخلوطی از نوکلئون‌های بسا اسپین بالا و پایین نموده شده است) بر نوکلئون هدف که سمتگیری اسپین آن رو به بالاست فرود می‌آید. فرض کنید که برهم‌کنش نوکلئون - نوکلئون موجب شود که نوکلئون‌های با اسپین رو به بالا تحت زاویه θ به طرف چپ، و نوکلئون‌های با اسپین رو به پایین تحت زاویه $-\theta$ به طرف راست پراکنده شوند. شکل (ب)، همان آزمایش را از دیدگاه ناظری که نسبت به اولی معکوس ایستاده است یا ناظری که حول باریکه فرودی به اندازه 180° دوران کرده است، نشان می‌دهد. آزمایش شکل ۱۳.۴ (ب) را همچنین می‌توان به صورت پراکندگی یک باریکه ناقطبیده از هدف نوکلئونی با اسپین رو به پایین تلقی کرد که در این مورد هم نوکلئون‌های فرودی با اسپین رو به بالا به طرف چپ، و نوکلئون‌های اسپین پایین به طرف راست پراکنده می‌شوند. نتیجه آزمایش، حتی در مورد هدف ناقطبیده که شامل مخلوطی از نوکلئون‌های اسپین بالا و اسپین پایین است نیز همین است: هنگامی که باریکه‌ای ناقطبیده از هدفی ناقطبیده پراکنده می‌شود، تسریحاً نوکلئون‌های با اسپین رو به بالا تحت زاویه θ و نوکلئون‌های با اسپین رو به پایین

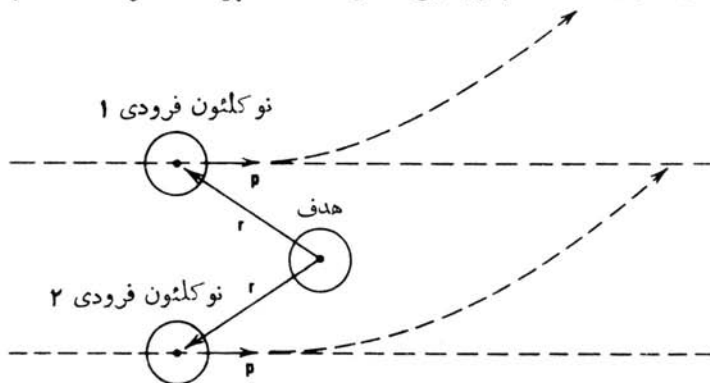


شکل ۱۳.۴ یک باریکه ناقطبیده (که به صورت مخلوطی از نوکلئون‌های با اسپین بالا و پایین نموده شده است) از هدفی که می‌تواند اسپین رو به بالا یا رو به پایین داشته باشد پراکنده می‌شود. در حالت (الف)، نوکلئون‌های با اسپین رو به بالا با زاویه θ به طرف چپ پراکنده می‌شوند، در حالی که نوکلئون‌های با اسپین رو به پایین با زاویه $-\theta$ به طرف راست پراکنده می‌شوند. حالت (ب) را می‌توان همان حالت (الف) از دیدگاه ناظری معکوس یا ناظری پس از دوران 180° حول راستای باریکه تلقی کرد. حالت اخیر نشان می‌دهد که پراکندگی از هدفی که اسپین آن رو به پایین باشد نیز به همان نتیجه منتهی می‌شود.

تحت زاویه θ — پراکنده خواهند شد.

هرچند که در اینجا ظاهراً به نظر می‌رسد که تقارن انعکاسی (پارینه) نقض می‌شود، ولی با ترسیم آزمایش و تصویر آینه‌ای آن می‌توانیم خودمان را قانع کنیم که در واقع نقضی در کار نیست. اگر قطبیدگی خالص نوکلئونهای پراکنده تحت زاویه θ برابر P و تحت زاویه θ — برابر P — باشد، پارینه پایسته می‌ماند.

اکنون می‌خواهیم ببینیم که برهم‌کنش اسپین-مدار چگونه ممکن است به پراکندگی با قطبیدگی مشخص منتهی شود. در شکل ۱۴.۴ دو نوکلئون با اسپین روبه بالا نشان داده شده‌اند که بر یک هدف با اسپین روبه بالا فرود می‌آیند، بنابراین $S=1$ است. [پراکندگی که در آن فقط امواج S شرکت داشته باشند باید تقارن کروی داشته باشد، و بنابراین هیچ‌گونه قطبیدگی در آن وجود ندارد. پراکندگی موج p ($l=1$) در نوکلئونهای یکسان، یک تابع موج فضایی پادمقارن و بنابراین یک تابع موج اسپینی مقارن خواهد داشت.] در اینجا بنا به فرض $V_{so}(r)$ را منفی می‌گیریم. برای نوکلئون فرودی ۱، جهت $\mathbf{l} = \mathbf{r} \times \mathbf{p}$ به طرف پایین (به طرف داخل صفحه کاغذ) است. در این صورت، چون بردارهای \mathbf{l} و \mathbf{S} در خلاف جهت یکدیگرند، بردار $\mathbf{l} \cdot \mathbf{S}$ منفی خواهد شد. بنابراین، ترکیب $\mathbf{l} \cdot \mathbf{S}$ مثبت است و در نتیجه بین نوکلئون فرودی ۱ و نوکلئون هدف یک نیروی دافعه به وجود می‌آید که نوکلئون فرودی را به طرف چپ می‌راند. اما برای نوکلئون فرودی ۲، جهت \mathbf{l} به طرف بالا، حاصلضرب $\mathbf{l} \cdot \mathbf{S}$ مثبت، و برهم‌کنش از نوع جاذبه‌است. در نتیجه، نوکلئون ۲ به طرف هدف کشیده می‌شود و مانند نوکلئون قبلی به طرف چپ پراکنده خواهد شد. بنابراین نوکلئونهای فرودی با اسپین بالا ترجیحاً به طرف چپ و (بسا همین استدلال) نوکلئونهای با اسپین پایین به طرف راست پراکنده خواهند شد. بدین‌گونه،



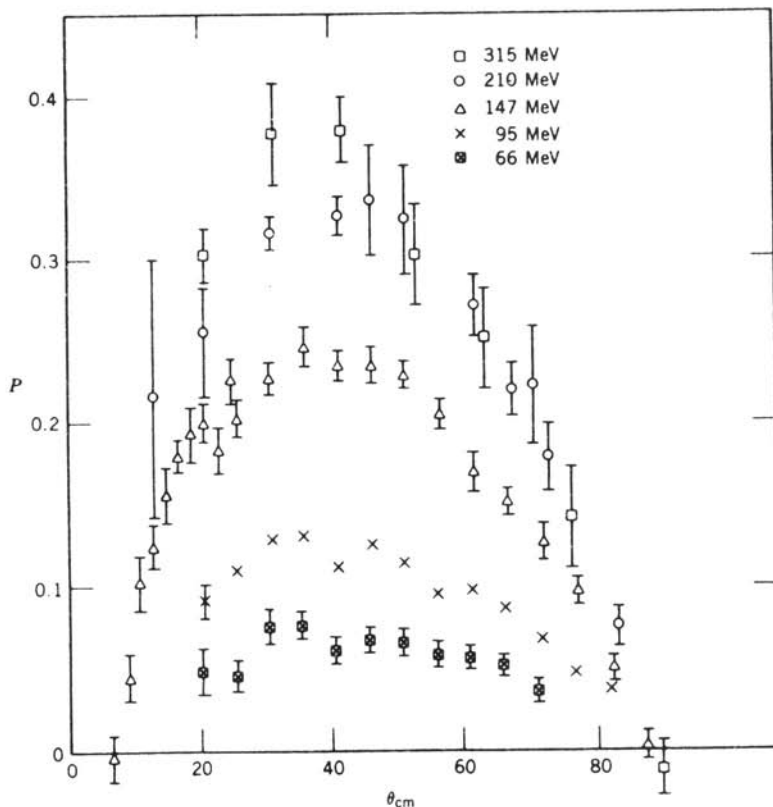
شکل ۱۴.۴ آزمایش پراکندگی نوکلئون- نوکلئون از دید قائم. جهت همه اسپینها روبه بالا (به طرف خارج از صفحه کاغذ) است. جهت $\mathbf{r} \times \mathbf{p}$ برای نوکلئون فرودی ۱ به طرف داخل صفحه، و بنابراین $\mathbf{l} \cdot \mathbf{S}$ منفی است که به تولید نیروی دافعه و پراکندگی به طرف چپ منتهی می‌شود. جهت $\mathbf{r} \times \mathbf{p}$ برای نوکلئون فرودی ۲ به طرف خارج صفحه است که به تولید نیروی جاذبه و بازهم پراکندگی به طرف چپ منجر می‌شود.

هنگامی که باریکه‌ای از ذرات ناقطیبه برهدنی فرود می‌آید، نیروی اسپین - مدارمی تواند باریکه‌های پراکنده قطیبه تولید کند.

در انرژیهای کم که در آن غلبه با پراکنندگی موج s است، نمی‌توان انتظار قطیبدگی را داشت. هنگامی که انرژی ذرات فرودی افزایش می‌یابد، سهم پراکنندگی موج p نیز افزایش می‌یابد و در نتیجه باید افزایش مقدار قطیبدگی را انتظار داشت. شکل ۱۵.۴ صحت این انتظار را تأیید می‌کند. با توجه به نحوه تغییرات P بر حسب θ و انرژی، می‌توان در مورد شکل $V_{so}(r)$ به نتایجی دست یافت.

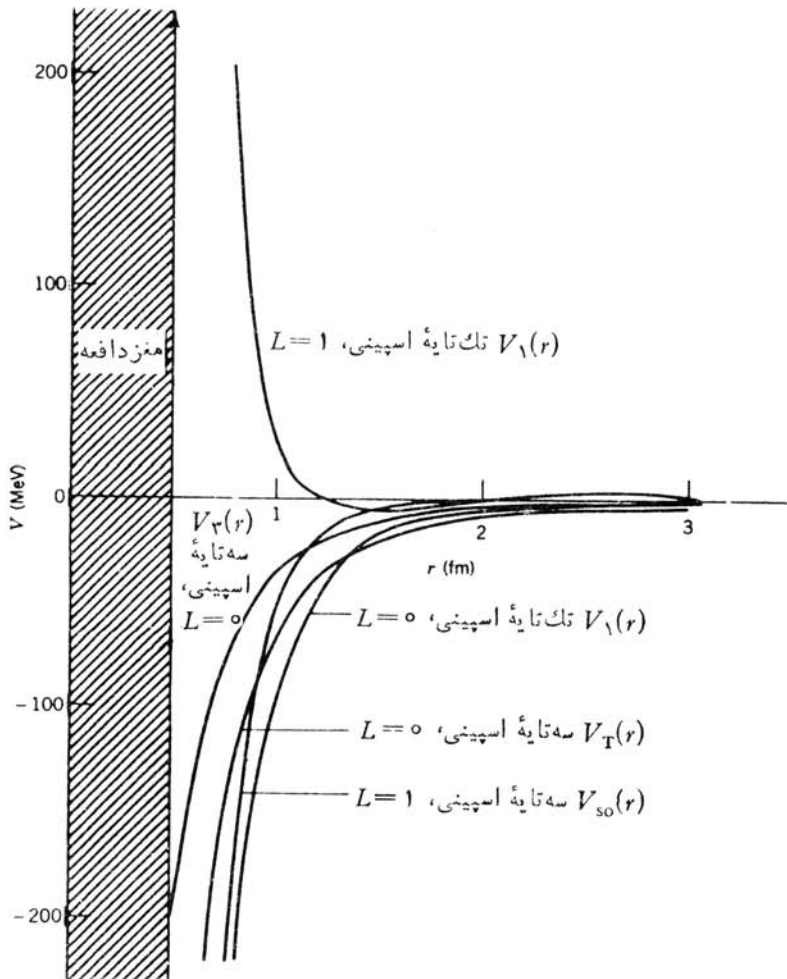
موضوع کلی قطیبدگی در واکنشهای هسته‌ای خیلی پیچیده تراز آن چیزی است که در این بحث کوتاه بدان پرداخته‌ایم. ما می‌بایست میزان تأثیر استفاده از باریکه‌های قطیبه و هدفهای قطیبه را در اندازه‌گیری سطح مقطع واکنشها نیز در نظرمی‌گرفتم که در فصل ۱۱ (جلد دوم، ترجمه فارسی) بدان خواهیم پرداخت.

با استفاده از این همه اطلاعات تجربی (سطح مقطع جزئی و کلی، وابستگی به اسپین،



شکل ۱۵.۴ در پراکنندگی پروتون- پروتون، با افزایش انرژی ذرات فرودی مقدار قطیبدگی بیشینه نیز افزایش می‌یابد.

وقتی می‌توان مجموعه‌ای از پتانسیل‌های پدیدشناختی $V(r)$ پیشنهاد کرد که سازگاری قابل قبولی با اطلاعات موجود نوکلئون-نوکلئون داشته باشد. آنگاه این پتانسیلها را می‌توان در محاسبات مربوط به هسته‌های پیچیده‌تر مورد استفاده قرار داد. برای نمونه، یک مجموعه از این گونه پتانسیلها را در شکل ۱۶.۴ نشان داده‌ایم. مطابق معمول، پتانسیل‌های



شکل ۱۶.۴ چند نمونه از پتانسیل‌های نوکلئون-نوکلئون. این نمونه‌ها شامل موارد زیر می‌شوند: جملات تک‌تایه و سه‌تایه مربوط به جاذبه که در پراکندگی موج s شرکت دارند، جمله دافعه‌ای که یک نوع پراکندگی موج p ($L=1$) از آن ناشی می‌شود، و جملات مربوط به جاذبه تانسوری و برهم‌کنش اسپین-مدار. در تمام این پتانسیلها، مغز دافعه‌ای به شعاع $r=0.49$ fm وجود دارد.

منفی مولد نیروی جاذبه و پتانسیلهای مثبت مولد نیروی دافعه هستند. توجه به نحوه مشارکت خصوصیات از قبیل برد برهم کنشها، مغز دافعه، اختلاف فاز موج S مربوط به نیروی جاذبه قوی، اختلاف فاز موج دافعه p ، و استقلال از بار (به خاطر آنکه نوکلئونها به طور متمایز در نظر گرفته نشده اند)، آموزنده است.

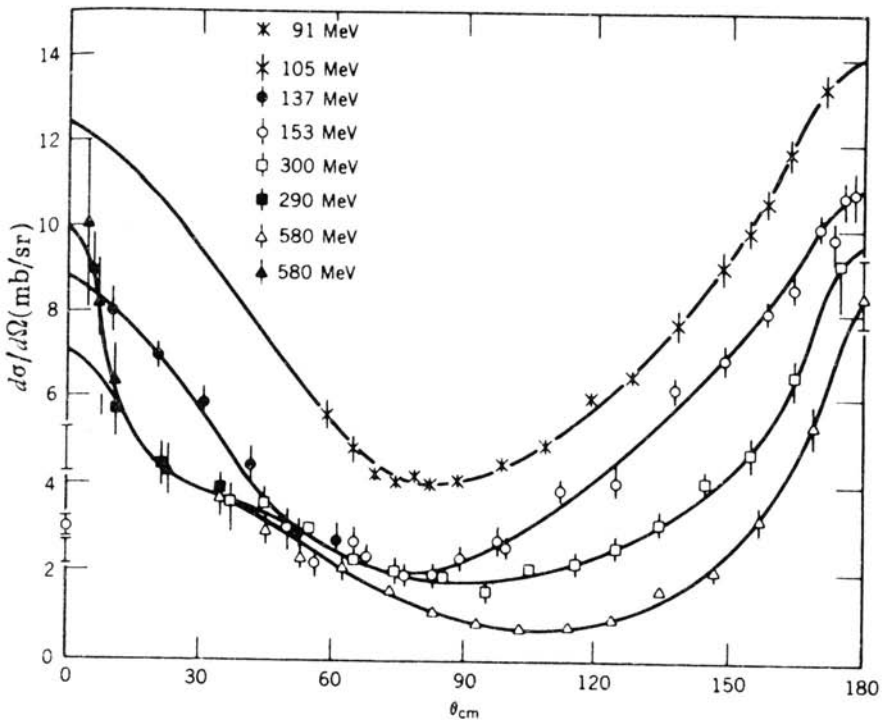
۵.۴ مدل نیروی تبادل

پتانسیلهای پدیده شناختی مورد بحث در بخش پیشین، در تعیین بسیاری از خواص اندازه گیری شده برهم کنش نوکلئون- نوکلئون موفقیت خوبی داشته اند. البته با افزایش تعداد جملات دخیل در برهم کنش، قدرت و دقت پیش بینی این پتانسیلها نیز افزایش خواهد یافت. برای نمونه، می توانیم جمله ای به پتانسیل بیفزاییم که بستگی آن را با توان دوم تکانه (l^2) نشان دهد، می توانیم پتانسیلها را به صورتی در آوریم که برای هر مقداری از l شکلی متفاوت داشته باشند، و همین طور الی آخر. هر جمله جدیدی که در پتانسیل وارد می شود ممکن است نتیجه محاسبات را بهبود ببخشد، ولی با این کار شکل پتانسیل سادگی اش را از دست می دهد. بعلاوه، با این کار ممکن است ما هدف اصلی خود را که همان درک برهم کنش نوکلئون- نوکلئون است، گم کنیم. صرف اینکه پتانسیلها آن قدر گسترش یابند که محاسبات دقیقی از آنها حاصل شود، بدان معنی نیست که درک ما از ویژگی بنیادی برهم کنش نوکلئون- نوکلئون افزایش یافته است. بنابراین، باروش اصل موضوعی می کوشیم که سازوکاری فیزیکی برای نیروی نوکلئون- نوکلئون در نظر گیریم که بتواند پتانسیلهایی را که در محاسبات موفق بوده اند به دست دهد.

یکی از سازوکارهای موفق، سازوکار نیروی تبادل است. برای تأیید حضور نیروی تبادل در هسته ها، دو دلیل اصلی در دست است. دلیل اول به خاصیت اشباع نیروی هسته ای مربوط می شود. پشتوانه تجربی خاصیت اشباع را از چگالی هسته ای نسبتاً ثابت و انرژی بستگی تقریباً ثابت به ازای هر نوکلئون در هسته های سنگین گوناگون به دست می آوریم. به نظر می رسد که هر نوکلئون فقط تعداد کمی از همسایه های نزدیکش را جذب می کند، اما این نوکلئون در فواصل خیلی کوتاه همان همسایه های نزدیک را هم دفع می کند تا از نزدیکی بیش از حد آنها جلوگیری کند. (در بخش پیشین این طرز رفتار را با انتخاب یک پتانسیل مرکزی که بردی محدود و مرکزی به صورت یک مغز دافعه داشت توضیح دادیم.) در مورد مولکولها نیز با طرز رفتاری دقیقاً از همین نوع روبرو هستیم. وقتی دو اتم را به همدیگر نزدیک می کنیم تا از ترکیب آنها یک مولکول دو اتمی حاصل شود، نظیر آنچه در مسورد پیوندهای کووالان دیده می شود، الکترونها بین دو اتم به اشتراک گذاشته می شوند یا مبادله می شوند. در این صورت، در حالی که اتمها در فاصله ای تعادلی از یکدیگر قرار گرفته اند، یک مولکول پایدار تشکیل می شود. اگر بخواهیم اتمها را به زور به یکدیگر نزدیکتر کنیم، در اثر همپوشی پوسته های الکترونی پر یک نیروی دافعه

قوی بین آنها به وجود خواهد آمد. علاوه بر این، نزدیک شدن مولکول به یک اتم سوم هم ممکن است فقط به تولید نیروی بسیار ضعیفی بین این اتم و دو اتم قبلی منجر شود. در صورتی که در مجموعه مقید (یا مولکول) اولی، از همه الکترونها ظرفیت استفاده شده باشد، هیچ الکترونی برای تشکیل پیوند جدید نخواهیم داشت و در نتیجه نمی توان پیوندی بین مولکول و اتم سوم ایجاد کرد. نیروهای هسته ای هم خصوصیت اشباعی مشابهی از خود بروز می دهند.

یکی دیگر از دلایل تأییدکننده مدل نیروی تبادل را از مطالعه پراکندگی np در انرژیهای بالا به دست می آوریم. سطح مقطع دیفرانسیلی پراکندگی np را در شکل ۱۷.۴ نشان داده ایم. سطح مقطع پراکندگی در زوایای نزدیک به صفر در جهات روبه جلو دارای مقادیر بزرگ قله ای است، و این نشانگر آن است که انتقال تکانه در برخورد بین ذرات فرودی و هدف کوچک است. مرتبه بزرگی این قله رو به جلو را با بررسی بیشینه انتقال



شکل ۱۷.۴ سطح مقطع دیفرانسیلی پراکندگی نوترون-پروتون در انرژیهای متوسط. قله بزرگ پراکندگی رو به جلو (در زوایای نزدیک به صفر) را انتظار داریم، اما قله ای به همان بزرگی را در پراکندگی رو به عقب (در زوایای نزدیک به 180°) نشانه وجود نیروی تبادل می دانیم.

تکانه، به ترتیب زیر، می‌توان برآورد کرد: برای انحراف در زوایای کوچک داریم $\sin \theta \simeq \theta = \Delta p / p$ که در آن p تکانه ذره فرودی و Δp تکانه عرضی حاصل از برخورد است. اگر متوسط نیروی وارد در طی زمان برخورد Δt را F بگیریم، داریم $\Delta p = F \Delta t$. نیروی F برابر $-dV/dr$ است، و از این رو نیروی متوسط از مرتبه V_0/R می‌شود که در آن V_0 عمق چاه پتانسیل مربعی نوکلئون-نوکلئون و R برد آن است. (حتی اگر پتانسیل واقعی صورت ثابتی هم نداشته باشد، همان‌طور که در جمله مرکزی شکل ۱۶.۴ دیده می‌شود، مقدار متوسط dV/dr باید از مرتبه V_0/R شود.) زمان برخورد Δt باید از مرتبه R/v باشد، که در آن v سرعت ذره فرودی است. بنابراین خواهیم داشت

$$\theta = \frac{\Delta p}{p} = \frac{F \Delta t}{p} = \frac{1}{p} \frac{V_0 R}{v} = \frac{V_0}{pv} = \frac{V_0}{2T} \quad (52.4)$$

که در آن T انرژی جنبشی ذره فرودی است. برای انرژی‌هایی که در شکل ۱۷.۴ نموده شده‌اند، مقادیر θ در حدود 10° یا کمتر از 10° است. مسلماً انتظار نداریم که در زاویه پراکندگی 180° با قله‌ای روبه‌رو شویم! اما این وسوسه وجود دارد که این قله «رو به عقب» را نتیجه برخورد رودررو در چارچوب مرکز جرم تلقی کنیم که در آن حرکت ذره فرودی معکوس می‌شود. برآورد بالا نشان می‌دهد که چنین توضیحی نمی‌تواند درست باشد.

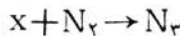
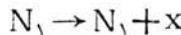
اگر فرض کنیم که در طی برخورد، نوترون و پروتون جایشان را باهم عوض می‌کنند، مدل تبادل می‌تواند توضیح قانع‌کننده‌تری ارائه کند. این بدان معنی است که نوترونی که به طرف جلو در حرکت است به پروتون تبدیل می‌شود، و پروتونی که به طرف عقب در حرکت است (از دیدگاه چارچوب مرکز جرم) به نوترون تبدیل می‌شود. در این صورت از دیدگاه چارچوب آزمایشگاه، نوکلئون فرودی به صورت نوکلئونی نمایان می‌شود که به طرف جلو در حرکت است. چنین تحلیلی با برآورد زاویه انحراف کوچک در پراکندگی نوکلئون-نوکلئون که در بالا مطرح شد، سازگاری دارد.

خلاصه اینکه، هم خصوصیت اشباع نیروهای هسته‌ای و هم وجود قله بزرگ رو به عقب در پراکندگی np را با استفاده از نیروی تبادل می‌توان توضیح داد. در مورد اول می‌گوییم برای آنکه نوعی پیوند اشباعی بین نوکلئونها وجود داشته باشد باید بین آنها «چیزی» رد و بدل شود. در مورد دوم می‌گوییم که بین نوکلئونها «چیزی» مبادله می‌شود که عملاً خصوصیت آنها را تغییر می‌دهد.

در مراحل آغازین تکامل فیزیک کلاسیک، برهم کنش بین اجسام را از طریق «کنش از دور» می‌دانستند. این بدان معنی است که نیروی یک جسم به طریق اسرار آمیزی در فضا به جسم دیگر منتقل می‌شود. پیشرفت بزرگ فیزیک نظری قرن نوزدهم را باید در معرفی مفهوم میدان دانست. طبق این نظر، هر جسمی در فضا یک میدان نیرو (که نمونه‌های آن

میدانهای الکترومغناطیسی و گرانشی هستند) ایجاد می‌کند و برهم‌کنش جسم دوم، نه‌مستقیماً با جسم اول، بلکه فقط از طریق همین میدان صورت می‌گیرد. در مورد میدان الکترومغناطیسی، چگونگی انتقال میدان در فضا توسط ماکسول نشان داده شد. عمده‌ترین تحول فیزیک قرن بیستم را باید پیدایش مکانیک کوانتومی بدانیم که بنا بر آن، هرگونه تبادل انرژی لزوماً به صورت بسته‌ها یا مضربهایی از یک مقدار گسسته یا کوانتوم انرژی است. میدان کلاسیک کمیتی یکنواخت و پیوسته است، و برای اینکه نظریه کلاسیک میدان را با نظریه کوانتومی سازگار کنیم، خود میدان را باید به صورت کوانتومی درآوریم. یعنی بنا بر نظریه کوانتومی میدان، جسم اول در فضای اطرافش یک میدان کلاسیک به وجود نمی‌آورد بلکه از خود کوانتوم میدان گسیل می‌کند. در این صورت، جسم دوم می‌تواند این کوانتومهای میدان را جذب کند (و به طرف جسم اول بازپس فرستد). پس این دو جسم به طور مستقیم با کوانتومهای (میدان) مبادله شده، و به طور غیرمستقیم با یکدیگر، برهم‌کنش دارند.

با توجه به بحث پیشین، طبیعی است که آن «چیزی» را که در برهم‌کنش نوکلئون-نوکلئون مبادله می‌شود، کوانتوم میدان هسته‌ای در نظر بگیریم. روشن است که برای تبدیل یک نوترون با اسپین $1/2$ به یک پروتون با اسپین $1/2$ ، ذره مبادله شده باید دارای اسپین درست (۵ یا ۱) و بار الکتریکی باشد. بعلاوه، اگر بخواهیم همان مفهوم نیروی تبادل را برای برهم‌کنشهای nn و pp هم به کار ببریم، نوع بدون بار ذره مبادله شونده نیز باید وجود داشته باشد. با استفاده از برد نیروی هسته‌ای که در عمل مشاهده می‌کنیم، می‌توانیم جرم ذره تبادلی را برآورد کنیم. فرض کنید که نوکلئون (که آن را با N نشان می‌دهیم) تا پروتون و نوترون هر دو را شامل شود (ذره‌ای مانند x از خود گسیل می‌کند. نوکلئون دومی این ذره x را جذب می‌کند



یک نوکلئون چگونه می‌تواند یک ذره با انرژی جرمی $m_x c^2$ از خود گسیل کند و بدون نقض پایستگی انرژی همچنان به صورت نوکلئون باقی بماند؟ چنین عملی ممکن نیست، مگر اینکه گسیل و جذب مجدد نوکلئون در چنان فاصله زمانی کوتاهی Δt صورت بگیرد که ما از نقض پایستگی انرژی مطلع نشویم. چون اصل عدم قطعیت توانایی ما را در اندازه‌گیری انرژی (و در نتیجه در تعیین پایستگی انرژی) محدود می‌کند، اگر $\Delta t < \hbar / (m_x c^2)$ باشد، ما از نقض پایستگی انرژی به میزان $\Delta E = m_x c^2$ مطلع نخواهیم شد. بیشینه برد نیرو را بیشینه فاصله‌ای که ذره x می‌تواند در زمان Δt طی کند، تعیین می‌کند. اگر سرعت ذره را از مرتبه c بگیریم، حداکثر برد ذره R چنین می‌شود

$$R = c \Delta t = \frac{\hbar c}{m_x c^2} = \frac{200 \text{ MeV} \cdot \text{fm}}{m_x c^2} \quad (53.4)$$

که در آن به جای $\hbar c$ از تقریب ساده‌ای استفاده شده است. معادله (۵۳.۴) حاکی از وجود رابطه‌ای مفید بین انرژی جرمی ذرات مبادله‌شونده و برد نیروی تبادل است. روشن است که اگر برد نیروی هسته‌ای در حدود ۱ fm باشد، انرژی جرمی ذره تبادلی می‌باید در حدود ۲۰۰ MeV شود.

چنین ذراتی را که فقط برای لحظاتی زودگذر دوام می‌آورند و می‌توانند قانون پایستگی انرژی و تکانه را نقض کنند (در نوکلئونهای جذب‌کننده و گسیل‌کننده پس‌زنی دیده نمی‌شود)، ذرات مجازی می‌گویند. مایه‌ی توانیم نیروی حاصل از تبادل ذرات مجازی را مشاهده کنیم، ولی نمی‌توانیم خود این ذرات را در حین تبادل مشاهده کنیم. (امس، ذرات مجازی مبادله‌شونده را می‌توان همانند ذرات معمولی در نظر گرفت. بنا بر نظریه میدان، برهم‌کنش کوانتی بین بارهای الکتریکی را می‌توان به صورت تبادل فوتونهای مجازی که خواص مشابهی با فوتونهای حقیقی و معمولی دارند، در نظر گرفت.)

ذرات تبادلی حامل نیروی هسته‌ای را مزون می‌نامند (واژه «مزون» در یونانی به معنی میانه و متوسط است که به جرم متوسط این ذرات که از الکترون بیشتر و از نوکلئون کمتر است، اشاره دارد). سبکترین مزونها را که مزون π یا پیون نامیده می‌شود، عامل اصلی آن قسمت از پتانسیل نوکلئون-نوکلئون که برد بلندتر (از ۱۰ fm تا ۱۵ fm) دارد می‌دانیم. برای آنکه انواع تبادلهای لازم در سیستم دو نوکلئونی امکان‌پذیر باشد، باید سه نوع پیون با بارهای الکتریکی $+1$ ، 0 ، و -1 وجود داشته باشند. پیونها اسپین صفر دارند و انرژی سکونشان معادل 139.6 MeV (برای π^\pm) و 135.0 MeV (برای π^0) است. در بردهای کوتاهتر (از ۵ fm تا ۱۰ fm)، شاید بتوان عامل پیوند هسته‌ای را تبادل دو پیونی دانست. در بردهای خیلی کوتاهتر (۲۵ fm)، تبادل مزون ω ($mc^2 = 783 \text{ MeV}$) ممکن است در تشکیل مغزدفاعه دخالت داشته باشد و تبادل مزون ρ ($mc^2 = 769 \text{ MeV}$) می‌تواند تأمین‌کننده اثر اسپین-مدار در برهم‌کنش هسته‌ای باشد. در فصل ۱۷ (جلد دوم، ترجمه فارسی) درباره خواص این مزونها بیشتر بحث خواهیم کرد. اختلاف جرم پیونهای باردار و خنثی می‌تواند نقض احتمالی کوچکی را که قبلاً در مورد استقلال بار مطرح شد، توضیح دهد. پیون منفردی که در برهم‌کنش بین نوکلئونهای یکسان مبادله می‌شود، لزوماً از نوع π^0 است

$$n_1 \rightarrow n_1 + \pi^0 \quad \pi^0 + n_2 \rightarrow n_2$$

یا

$$p_1 \rightarrow p_1 + \pi^0 \quad \pi^0 + p_2 \rightarrow p_2$$

چون هیچ نوکلئونی که بار -1 یا $+2$ داشته باشد وجود ندارد، تبادل پیون باردار در این موارد کارساز نیست

$$\pi^- + n_2 \rightarrow ? \quad \text{اما} \quad n_1 \rightarrow p_1 + \pi^-$$

$$\pi^+ + p_2 \rightarrow ? \quad \text{اما} \quad p_1 \rightarrow n_1 + \pi^+$$

[چنانکه در فصلهای ۱۷ و ۱۸ (جلد دوم، ترجمه فارسی) خواهیم دید، نوکلئونهای با بار ۱- و ۲+ در حالت‌های پراکنجسته وجود دارند، ولی این حالت‌های پراثری در آزمایش‌های انرژی پایین که در این فصل مورد بحث است سهم قابل توجهی ندارد.] اما برهم کنش نوترون- پروتون با تبادل هر دو نوع پیون، باردار و خنثی، تحقق پذیر است

$$n_1 \rightarrow n_1 + \pi^0 \quad \pi^0 + p_2 \rightarrow p_2$$

$$n_1 \rightarrow p_1 + \pi^- \quad \pi^- + p_2 \rightarrow n_2$$

همین جمله اضافی در برهم کنش np (و اختلاف جرم بین پیونهای باردار و خنثی) است که احتمالاً اختلاف کوچکی را در پتانسیلها موجب می‌شود، و این اختلاف به نوبه خود به اختلافی فاحش بین طولهای پراکنندگی np از یک سو و pp و nn از سوی دیگر منجر می‌شود.

نظریه تبادل مزون را در نیروهای هسته‌ای، نخستین بار یوکاوا در سال ۱۹۳۵ مطرح کرد. خلاصه‌ای از کار یوکاوا را در فصل ۱۷ (جلد دوم، ترجمه فارسی) شرح می‌دهیم. تبادل مزون را می‌توان با استفاده از پتانسیلی به شکل کلی $r^{-1}e^{-r/R}$ نشان داد، که در آن R برد نیروست (برای پیونها $R = \hbar/m_\pi c = 1.5 \text{ fm}$ می‌شود). شکل تفصیلی پتانسیل تبادل تک پیونی (که در نشریات تخصصی با نماد OPEP مشخص می‌شود) به صورت زیر است

$$V(r) = \frac{g_\pi^2 (m_\pi c^2)^3}{3(Mc^2)^2 \hbar^2} \left[s_1 \cdot s_2 + S_{12} \left(1 + \frac{3R}{r} + \frac{3R^2}{r^2} \right) \right] \frac{e^{-r/R}}{r/R} \quad (54.4)$$

در اینجا g_π^2 یک ثابت بدون بعد جفت‌شدگی است که (درست همانند e^2 در برهم کنش الکترومغناطیسی) قدرت برهم کنش را نشان می‌دهد، و M جرم نوکلئون است. این پتانسیل خاص، فقط بخش بلند- برد برهم کنش نوکلئون- نوکلئون را توصیف می‌کند، و جوه دیگر برهم کنش را باید با پتانسیلهای دیگری مشخص کرد.

مسئله نیروی تبادل، در تحلیل خواص سیستم نوکلئون- نوکلئون موفقیت شایان توجهی داشته است. منشأ این نیروها را در تبادل مزونهای مجازی می‌دانیم. تمام این مزونها را می‌توان در آزمایشگاه تولید کرد و به طور مستقیم مورد بررسی قرارداد. پیون، سبکترین مزون و در نتیجه بلند- بردترین مزون در میان آنهاست. بسا استفاده از کاوه‌های پراثریتر (که طول موج دو بروی کوتاهتری دارند) می‌توانیم هسته‌ها را مورد بررسی قراردادیم و پدیده‌های مربوط به خصوصیات ظرفیت‌ساختار هسته‌ای را که فقط در فواصل بسیار کوتاه اتفاق می‌افتند، مطالعه کنیم. این گونه پدیده‌ها را ناشی از تبادل مزونهای سنگینتر تلقی می‌کنیم. بسا بررسی وابستگی فضایی و اسپینی این برهم کنشهای تفصیلی

می توان خواص مزونهای فرضی مبادله شونده را استنباط کرد. از سوی دیگر، متخصصان فیزیک ذرات قادرند که گونه های بسیار متنوعی از مزونها را در برخورد های پراثرژی که درشتا بدهنده های بزرگ اتفاق می افتند مورد آزمایش قرار دهند. در میان خرده-پاشهای همین برخوردهاست که این فیزیکدانها انواع مختلفی از ذرات جدید را تشخیص می دهند و فهرست خواص آنها را تهیه می کنند. متخصصان فیزیک هسته ای آنگاه با توجه به این فهرستها، مزونهایی را که ممکن است در پیدایش خصوصیات مختلف برهم کنش نوکلئون- نوکلئون سهم داشته باشند مشخص می کنند. چشم اندازی که در اینجا به طور ساده تصویر شده است، بر ارتباط تنگاتنگ تاریخی میان فیزیک هسته ای و فیزیک ذرات بنیادی تأکید می کند.

مراجع مطالعات تکمیلی

- بحث مشابهی از برهم کنش نوکلئون- نوکلئون را می توان در مراجع زیر یافت:
- H. Enge, *Introduction to Nuclear Physics* (Reading: Addison-Wesley, 1966), Chap. 2&3,
- R. D. Evans, *The Atomic Nucleus* (New York: McGraw-Hill, 1955), Chap. 10,
- E. Segre, *Nuclei and Particles* (Reading, MA: Benjamin, 1977), Chap. 10.
- تک نگاریهایی که به برهم کنش نوکلئون- نوکلئون اختصاص یافته اند عبارت اند از
- H. A. Bethe and P. Morrison, *Elementary Nuclear Theory* (New York: Wiley, 1956),
- M. J. Moravcsik, *The Two Nucleon Interaction* (Oxford: Clarendon, 1963),
- R. Wilson, *The Nucleon-Nucleon Interaction* (New York: Wiley, 1963).
- مروری از کارهای اولیه در مورد پراکندگی نوکلئون- نوکلئون را می توان در مرجع زیر خواند
- R. K. Adair, *Rev. Mod. Phys.* 22, 249 (1950),
- برای مروری بر تحلیل اطلاعات پراکندگی و تعیین اختلاف فازها و پارامترهای دیگر رجوع کنید به
- M. H. MacGregor, M. J. Moravcsik, and H. P. Stapp, *Ann. Rev. Nucl. Sci.* 10, 291 (1960),
- H. P. Noyes, *Ann. Rev. Nucl. Sci.* 22, 465 (1972),
- M. H. MacGregor, *Phys. Today.* 22, 21 (Dec. 1969).

مسائل

۰۱. حداقل انرژی فوتون لازم برای تجزیه ${}^2\text{H}$ چقدر است؟ انرژی بستگی این هسته را برابر 2224589 MeV بگیرد.

۰۲. (الف) با استفاده از شرایط پیوستگی و بهنجارش، ضرایب A و C را در تابع موجهای دوترون، معادلات (۳.۴) و (۴.۴)، به دست آورید.

(ب) با استفاده از تابع موج حاصل، ریشه میانگین مربعی شعاع دوترون را تعیین کنید.

۰۳. شرط وجود حالت مقید را در پتانسیل چاه مربعی به ترتیب زیر می توان تعیین کرد:

(الف) با استفاده از تابع موج بهنجار شده کامل، یعنی معادلات (۳.۴) و (۴.۴)، نشان دهید که مقدار انتظاری انرژی پتانسیل عبارت است از

$$\langle V \rangle = \int \psi^* V \psi dv = -V_0 A^2 \left[\frac{1}{2} R - \frac{1}{4k_1} \sin 2k_1 R \right]$$

(ب) نشان دهید که مقدار انتظاری انرژی جنبشی عبارت است از

$$\begin{aligned} \langle T \rangle &= \frac{\hbar^2}{2m} \int_0^\infty \left| \frac{\partial \psi}{\partial r} \right|^2 dv \\ &= \frac{\hbar^2}{2m} A^2 \left[\frac{1}{2} k_1^2 R + \frac{1}{4} k_1 \sin 2k_1 R + \frac{k_1}{2} \sin^2 k_1 R \right] \end{aligned}$$

(ج) نشان دهید که شرط لازم برای وجود حالت مقید به صورت $\langle T \rangle < -\langle V \rangle$ است.

(د) سرانجام، نشان دهید که فقط در صورتی حالت مقید خواهیم داشت که $V_0 \geq \pi^2 \hbar^2 / 8mR^2$ شود، و حداقل عمق پتانسیل را برای حالت مقید دوترون تعیین کنید.

گوشزد: این محاسبه فقط برای مسائل سه بعدی معتبر است. در مورد چاه مربعی یک بعدی (در واقع، در تمام موارد پتانسیلهای یک بعدی جاذبه که نسبتاً خوش رفتار باشند) همواره دستکم یک حالت مقید وجود دارد. فقط در مورد مسائل سه بعدی است که برای وجود حالت مقید به یک حداقل عمق نیازمندیم^۱.

۰۴. نوترون و پروتون موجود در دوترون، چه کسری از عمرشان را در خارج از برد نیروی هسته‌ای می گذرانند؟

۰۵. با استفاده از معادله (۵.۴)، نمایش تغییرات V_0 را بر حسب R در فاصله $R = 10$ تا

$R = 30 \text{ fm}$ رسم کنید. چگونه بستگی V_0 به R را مورد بحث قرار دهید.

۰۶. (الف) نشان دهید که معادله (۵.۴) را می توان به صورت غیر جبری $x = -\tan bx$

نوشت، که در آن $x = \sqrt{-(V_0 + E)/E}$ است. مقدار پارامتر b را به ازای

1. C. A. Kocher, *Am. J. Phys.* 45, 71 (1977).

- $R = 2fm$ تعیین کنید. توجه داشته باشید که در معادله (۲.۴)، m همان جرم کاهیده $m_p m_n / (m_p + m_n)$ است که تقریباً برابر $m_p/2$ می‌شود.
- (ب) این معادله غیر جبری را به دو روش حل کنید: روش ترسیمی و روش دوره‌ای با استفاده از ماشین حساب برنامه‌پذیر یا کامپیوتر.^۱
۷. تابع موج دوترون را به صورت معادله (۹.۴) در نظر بگیرید و بگویید که چرا در عبارت مربوط به گشتاور چارکطبی الکتریکی، یعنی معادله (۱۱.۴)، یک جمله متناسب با حاصلضرب $a_p a_n$ وجود دارد، در حالی که در عبارت مربوط به گشتاور دوقطبی مغناطیسی یعنی معادله (۱۰.۴) چنین جمله‌ای نیست.
۸. انرژی برهم‌کنش دوقطبی - دوقطبی مغناطیسی را در دوترون تعیین کنید، و آن را با انرژی بستگی هسته مقایسه کنید. حالتی را که در آنها اسپین نوکلئونها به موازات خط واصل بین نوکلئونها و عمود بر آنهاست، به‌طور جداگانه در نظر بگیرید.
۹. سطح مقطع پراکندگی از «کره سخت» را با پتانسیل زیر به‌دست آورید

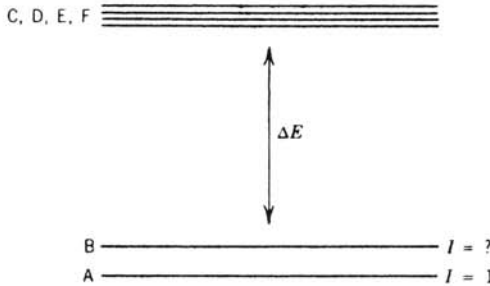
$$V(r) = \infty \quad (r < R) \quad \text{درون کره:}$$

$$= 0 \quad (r > R) \quad \text{بیرون کره:}$$

۱۰. فرض کنید که انرژی بستگی دوترون خیلی ضعیفتر از مقدار واقعی آن، مثلاً در حدود ۱۰ keV، باشد. در این صورت، سطح مقطع موج s نوترون - پروتون چقدر می‌شود؟
۱۱. نشان دهید که حالت تک‌تابه نوترون - پروتون نامعین است، و انرژی این حالت را به‌دست آورید.
۱۲. امروزه پادپروتون (\bar{p}) و پادنوترون (\bar{n}) را در تعدادی از شتابدهنده‌های دنیا می‌توان تولید کرد. خواص سیستمهای زیر را در مقایسه با سیستمهای مطرح شده در این فصل مورد بحث قرار دهید: (الف) حالت مقید $\bar{n}\bar{p}$ ، (ب) حالت مقید $n\bar{p}$ ، (ج) پراکندگی موج s در $\bar{n}p$ ، (د) پراکندگی $\bar{p}p$.
۱۳. معادله شرودینگر را با پتانسیلی که در معادله (۵.۴) برای پراکندگی موج s نوترون - پروتون داده شده است، حل کنید. عبارتی به‌دست آورید که رابطه اختلاف فاز موج s را با شعاع مغزدافعه نشان دهد، و مقدار شعاع مغز R_0 را که باعث منفی شدن اختلاف فاز در شکل ۱۲.۴ می‌شود، پیدا کنید.
۱۴. در یکی از اندازه‌گیریهای سطح مقطع دیفرانسیلی pp، در انرژی آزمایشگاهی ۴۲ MeV و زاویه پراکندگی آزمایشگاهی 30° ، نتیجه $d\sigma/d\Omega = 0.111 \text{ b/Sr}$ را به‌دست آورده‌ایم. اختلاف فاز موج s در این مورد چقدر است؟
۱۵. فرض کنید که نیروی نوکلئون - نوکلئون قویتر، و حالت‌های مقید دوترون به‌شرح زیر

۱. برای مروری بر روشهای دوره‌ای حل این‌گونه معادلات رجوع کنید به

باشد: حالت A همان حالت «شناخته شده» پایه است که خواص آن را در این فصل بررسی کردیم. حالت B خیلی به حالت A نزدیک است. بالاتراز حالت‌های A و B و درفاصله زیاد ΔE از آنها چهار حالت C، D، E، F وجود دارند، و هیچ حالت دیگری در نزدیکی آنها نیست.



(الف) محتملترین مقدار تکانه زاویه‌ای مداری نسبی نوکلئونها در حالت B چقدر است؟ سمتگیری نسبی اسپین ذاتی نوکلئونها در حالت B چیست، و مقدار نتیجه تکانه زاویه‌ای کل I در حالت B چقدر است؟

(ب) نوکلئونها در حالت‌های C، D، E، F، تکانه زاویه‌ای مداری نسبی یکسان دارند (که با حالت A متفاوت است). حدسی قابل قبول از این مقدار تکانه زاویه‌ای مداری ارائه کنید، و دلیل توجیهی خودتان را در این مورد شرح دهید.

(ج) با بررسی جفت شدگیهای ممکن بین تکانه زاویه‌ای مداری و اسپین ذاتی این دو نوکلئون، نشان دهید که در چندتاییه برانگیخته باید فقط چهار حالت وجود داشته باشد. مقادیر چهارگانه تکانه زاویه‌ای کل I و پارینته آنها را تعیین کنید.

(د) به فرض آنکه فاصله انرژی ΔE عمدتاً از قسمت «مرکز گرای» پتانسیل حاصل شده باشد، مقدار ΔE را برآورد کنید. سعی کنید انتخاب پارامترهایی که برای این برآورد به کار می‌برید، قابل توجیه باشد.

۰۱۶ در آزمایشی که در آن نوترونهای کم انرژی (موج s) توسط پروتونها پراکنده می‌شوند، می‌خواهیم توزیع پروتونهای «پس زده» را اندازه گیری و تحلیل کنیم. زاویه پراکندگی نوترون را در دستگاه مختصات آزمایشگاه θ می‌گیریم، و انرژی جنبشی نوترون فرودی را با T_n نشان می‌دهیم. (الف) نشان دهید که زاویه خروج پروتونها نسبت به جهت نوترونهای فرودی برابر $\theta - 90^\circ = \phi$ است. (ب) نشان دهید که در این فرایند $T'_n = T_n \cos^2 \theta$ و $T'_p = T_n \sin^2 \theta$ می‌شود. در اینجا مقصود از T' انرژی جنبشی پس از پراکندگی است. (ج) نشان دهید که رابطه سطح مقطعها در دو دستگاه آزمایشگاه و مرکز جرم به صورت

$$(d\sigma/d\Omega)_{lab} = (\frac{1}{2} \cos \theta)(d\sigma/d\Omega)_{cm}$$

است. (د) به فرض آنکه در دستگاه مرکز جرم پراکندگی مستقل از جهت باشد، نشان دهید که در دستگاه آزمایشگاه داریم $d\sigma/dT'_p = \sigma/T_n$ که در آن σ سطح مقطع کل است. نتیجه اخیسر نشان می‌دهد که تعداد پروتون‌هایی که با انرژی معین $(0 \leq T'_p \leq T_n)T'_p$ پس‌زده می‌شوند مستقل از مقدار انرژی T'_p است. (ه) توزیع زاویه‌ای پروتون‌های پس‌زده را در دستگاه آزمایشگاه پیدا کنید.



مدلهای هسته‌ای

اکنون در شرایطی هستیم که میل داریم ملاحظات فصل قبلی را به هسته‌های سنگین نیز گسترش دهیم. متأسفانه، هنگامی که به این عمل مبادرت می‌ورزیم، به چند مشکل بنیادی برخورد می‌کنیم. یکی از مشکلات این است که از لحاظ ریاضی در حل مسئله چندجسمی با کار دشواری روبه‌رو هستیم. اگر در این مورد هم برای پتانسیل هسته‌ای شکل فوق‌العاده ساده‌ای مانند پتانسیل چاه مربعی یا پتانسیل نوسانگر ساده در نظر بگیریم، در اساس برای توصیف برهم‌کنش متقابل A نوکلئون می‌توانیم یک دستگاه معادلات مرتبط به دست آوریم. این دستگاه معادلات را نمی‌توان به طور تحلیلی حل کرد، بلکه با استفاده از روشهای عددی باید به حل آن پرداخت. مشکل دوم مسئله، به‌ماهیت نیروی هسته‌ای مربوط می‌شود. شواهد موجود نشان می‌دهد که برهم‌کنش نوکلئونها نه تنها از طریق نیروهای متقابل دوجسمی، بلکه از طریق نیروهای سه‌جسمی نیز صورت می‌گیرد. یعنی نیروی وارد بر نوکلئون ۱ نه فقط به مواضع هر یک از نوکلئونهای ۲ و ۳ بستگی دارد، بلکه شامل یک جمله اضافی است که از همبستگی بین مواضع نوکلئونهای ۲ و ۳ ناشی می‌شود. برای این نوع نیرو، در فیزیک کلاسیک نیروی مشابهی سراغ نداریم.

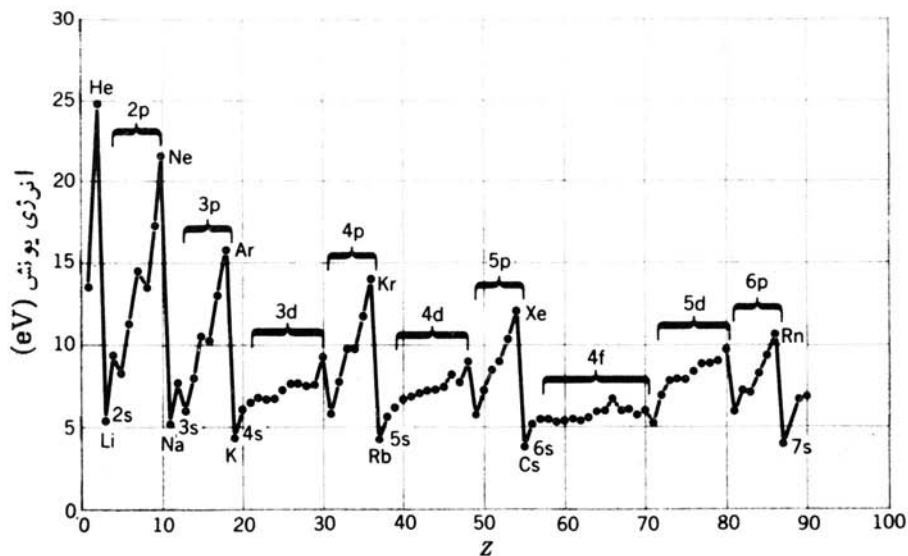
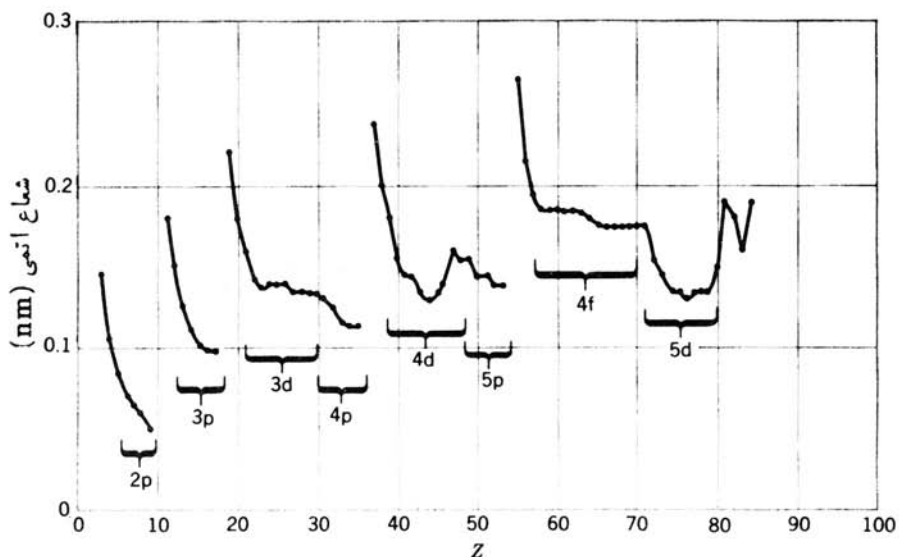
در اصل، برای به‌دست آوردن بعضی از پارامترهای مشخصه نیروهای سه‌جسمی (همان طور که در بررسیهای دوجسمی در فصل ۴ دیدیم) می‌توانیم پراکنندگی سیستم سه‌جسمی را به‌طور تجربی مورد بررسی قرار دهیم. اما خیلی زود معلوم می‌شود که این گونه رهیافت میکروسکوپیك، به‌جای آنکه مبانی فیزیک هسته‌ها را برای ما روشنتر کند، آن را

مبهمتر می‌کند. این عمل تا حدودی مثل آن است که با مطالعهٔ برهم‌کنشهای اتمهای موجود در یک حجم گازی و حل‌معادلات دینامیکی توصیف‌کنندهٔ نیروهای بین‌اتمی، بخواهیم خواص گاز را به‌طور میکروسکوپی یک شرح دهیم. بیشتر شناخت ما از خواص گازها، از چند پارامتر عمومی نظیر فشار و دما حاصل می‌شود نه از بررسی تفصیلی و میکروسکوپی اتمهای موجود در آن.

بنابراین، برای بررسی هسته‌ها رهیافت زیر را در پیش می‌گیریم. در اینجا عمداً یک نظریهٔ فوق‌العاده ساده را که از لحاظ ریاضی بدون مشکل و از لحاظ فیزیکی غنی باشد، انتخاب می‌کنیم. اگر این نظریه در توصیف دستکم چند خاصیت هسته‌ای نسبتاً موفق باشد، آنگاه با افزودن جمله‌های اضافی آن را تکمیل می‌کنیم. بدین ترتیب، یک مدل هسته‌ای می‌سازیم، یعنی چشم‌انداز ساده‌ای از ساختار هسته‌ای در نظر می‌گیریم که متضمن خصوصیات اصلی فیزیک هسته‌هاست. معیار موفقیت هر مدلی را باید در دو نکته دانست: (۱) مدل باید بتواند خواص هسته‌ای تا کنون اندازه‌گیری شده را به‌طور قابل قبولی توضیح دهد، و همچنین (۲) مدل باید خواص دیگری را پیش‌بینی کند که در آزمایشهای جدیدی قابل اندازه‌گیری باشند. این شیوهٔ مدل‌سازی فرایندهای پیچیده، در بسیاری از عرصه‌های علمی رایج است. مدل‌سازی زیست-شیمی‌دانها در مورد فرایندهای پیچیدهٔ تکثیر ژنها، و مدل‌سازی متخصصان هواشناسی در مورد دینامیک پیچیدهٔ جریانهای جوی که باعث تغییر آب و هوا می‌شود، نیز از همین قبیل است.

۱۰۵ مدل پوسته‌ای

نظریهٔ اتمی با استفاده از مدل پوسته‌ای توانسته است به‌طور کاملاً روشن جزئیات پیچیدهٔ ساختار اتمها را توضیح دهد. به‌همین دلیل متخصصان فیزیک هسته‌ای، به‌امید آنکه بتوانند به توصیف روشنی از خواص هسته‌ها دست یابند، سعی کردند در بررسی ساختار هسته‌ای از نظریهٔ مشابهی استفاده کنند. در مدل پوسته‌ای اتمها، پوسته‌ها را با الکترونهایی که انرژی‌شان به ترتیب افزایش می‌یابد پر می‌کنیم، و این آرایش الکترونی به گونه‌ای است که اصل طرد پاولی در آن رعایت می‌شود. بدین ترتیب، هر اتمی مشکل است از یک ناحیهٔ مرکزی خنثی که پوسته‌های پر دارد، و چند الکترون ظرفیت که در پوسته‌ای خارج از این ناحیهٔ مرکزی قرار می‌گیرند. در این مدل، فرض بر این است که عمدتاً همین الکترونهای ظرفیت هستند که خواص اتمها را تعیین می‌کنند. هنگامی که پیش‌بینیهای این مدل را با بعضی از خواص اندازه‌گیری شدهٔ سیستمهای اتمی مقایسه می‌کنیم، آنها را بخوبی با هم سازگاری می‌یابیم. بویژه مشاهده می‌کنیم که تغییرات خواص اتمی در محدودهٔ هر زیرپوسته تدریجی و کم است، درحالی که وقتی از یک زیرپوسته به زیرپوستهٔ دیگری رویم تغییرات خواص ناگهانی و زیاد است. اثرات تغییر زیرپوسته را بر شعاع یونها و انرژی یونش عناصر، در شکل ۱۰۵ نشان داده‌ایم.



شکل ۱۰۵ تغییرات شعاع اتمی (در شکل بالا) و انرژی یونش عناصر (در شکل پایین) نشان داده شده است. تغییرات کم با پرشدن تدریجی پوسته اتمی متناظر است، در حالی که تغییرات زیاد به گذار از یک پوسته به پوسته دیگر مربوط می شود.

هنگامی که سعی می‌کنیم تا این مدل را به قلمرو هسته‌ای هم گسترش دهیم، از همان آغاز کار با چند مانع روبه‌رو می‌شویم. در مورد اتمها، پتانسیل حاکم را میدان کولنی هسته تأمین می‌کند، یعنی يك عامل خارجی زیر پوسته‌ها یا «مدارها» را سازمان می‌دهد. در این حالت، معادله‌شرو دینگر را با همین پتانسیل می‌توان حل کرد، و انرژی زیر پوسته‌هایی را که الکترونها باید در آنها قرار گیرند محاسبه کرد. اما در مورد هسته هیچ عامل خارجی وجود ندارد، و نوکلئونها در پتانسیلی که خودشان به وجود می‌آورند در حرکت‌اند.

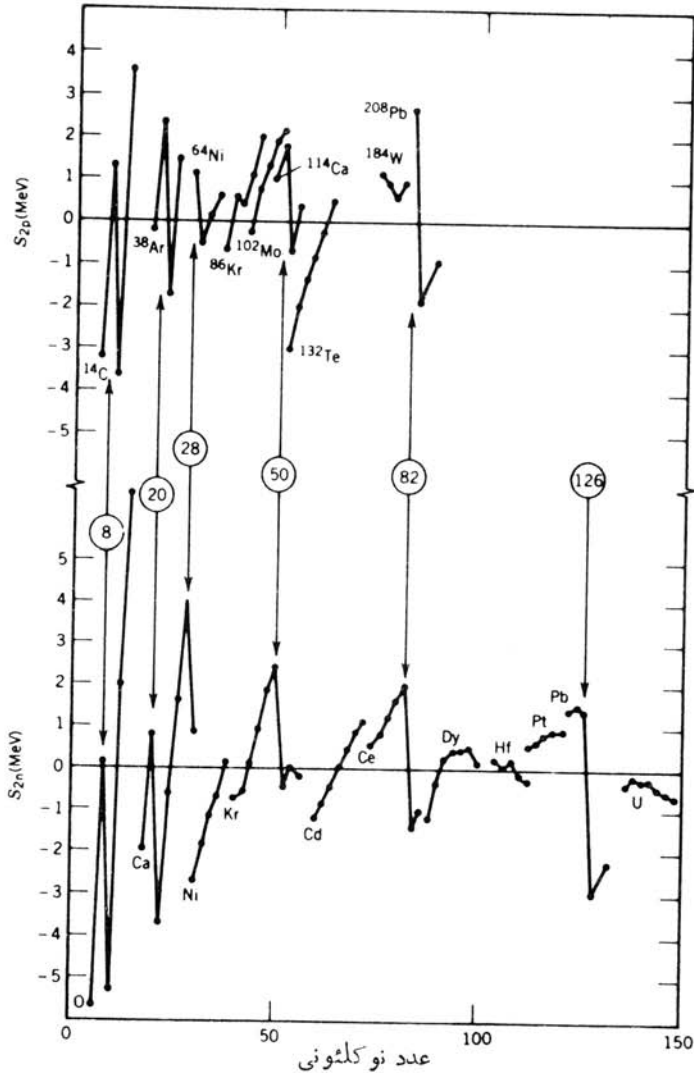
یکی دیگر از جنبه‌های جالب توجه نظریه پوسته‌ای اتمها وجود مدارهای فضایی است. خواص اتمها را اغلب بر حسب مدارهای فضایی الکترونها توصیف می‌کنیم. الکترونها می‌توانند نسبتاً آزادانه در این مدارها حرکت کنند، بدون اینکه برخوردی با الکترونهاي دیگر داشته باشند. قطر نوکلئونها در مقایسه با اندازه هسته نسبتاً بزرگ است. در حالی که هر نوکلئون منفرد در خلال حرکتش در هر مدار می‌تواند برخوردهای متعددی با نوکلئونهای دیگر داشته باشد، چگونه می‌توان نوکلئونها را در مدارهای کاملاً مشخص در حرکت تصور کرد؟

در آغاز، شواهد تجربی وجود پوسته‌های هسته‌ای را از نظر می‌گذرانیم. در شکل ۲۰۵، مقادیر اندازه‌گیری شده انرژی جدایی پروتون و نوترون را به صورت انحراف از مقادیر پیش‌بینی شده توسط فرمول نیمه تجربی جرم [معادله (۲۸.۳)] نشان داده‌ایم. (با این شیوه نمایش، اختلاف زیاد بین بستگیهای هسته‌ای بر طرف می‌شود و اثرات پوسته به‌طور برجسته‌تری نمایان می‌شود.) شباهت بیسین این شکل و شکل ۱۰۵ چشمگیر است: انرژی جدایی، مانند انرژی یونش در اتمها، به استثنای موارد افت سریع در مقابل بعضی از اعداد پروتونی و نوترونی یکسان، به تدریج با افزایش N یا Z افزایش می‌یابد. توجه به این نکته ما را به این حدس می‌رساند که شاید ناپیوستگیهای تیز انرژی جدایی (همانند مورد مشابه اتمی) با پر شدن پوسته‌های اصلی ارتباط داشته باشد. شواهد دیگری از چند نوع آزمایش را در شکل ۳۰۵ نشان داده‌ایم. طرز رفتار ناگهانی و ناپیوسته هسته‌ها در این موارد هم در مقابل همان اعداد پروتونی یا نوترونی که در انرژی جدایی دیدیم اتفاق می‌افتد. این اعداد پروتونی یا نوترونی هسته‌هایی که Z یا N آنها برابر ۲، ۸، ۲۰، ۲۸، ۵۰، ۸۲، ۱۲۶ است و معرف اثرات پوسته‌های اصلی پر شده هستند را «اعداد جادویی» می‌گویند. هر نظریه موفقی باید بتواند برای وجود این پوسته‌های پر با اعداد اشغالی که بر شمرده‌ایم، توضیحی قابل قبول فراهم کند.

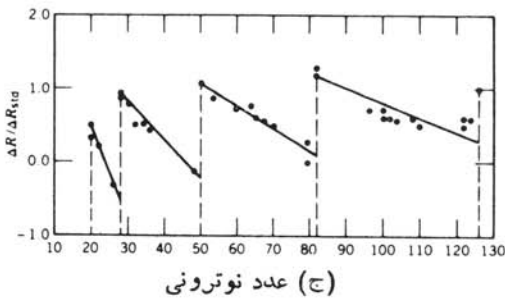
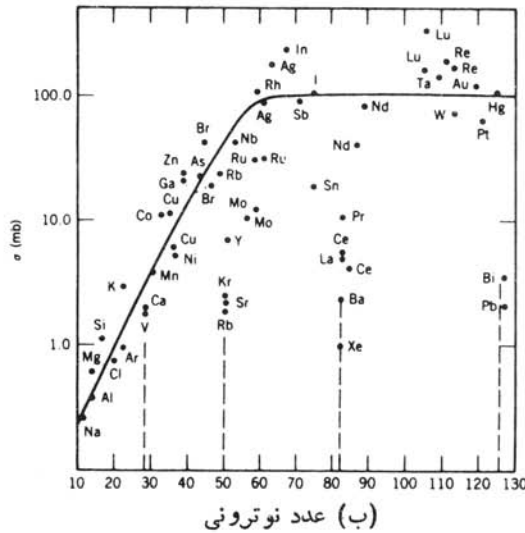
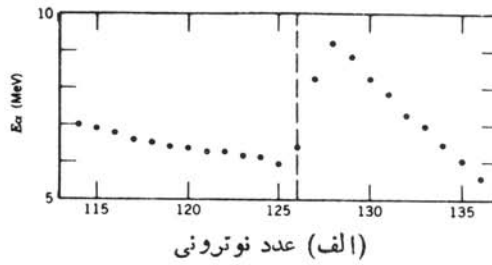
در مدل پوسته‌ای، مسئله پتانسیل هسته‌ای را با این فرض بنیادی حل می‌کنیم: حرکت هر نوکلئون منفرد را تحت تأثیر پتانسیل واحدی که نوکلئونهای دیگر همه در تولید آن شرکت دارند، در نظر می‌گیریم. اگر هر يك از نوکلئونها را به این نحو مورد بررسی قرار دهیم، آنگاه برای تمامی نوکلئونهای موجود در هسته می‌توانیم ترازهای انرژی متناظر به زیر پوسته‌ها را به دست آوریم.

وجود مدارهای فضایی مشخص را اصل پاولی تعیین می‌کند. فرض می‌کنیم که در

یک هسته سنگین، تقریباً در ته‌چاه پتانسیل، بر خوردی بین دو نوکلئون صورت می‌گیرد و نوکلئون‌ها هنگام برخورد با هم انرژی مبادله می‌کنند، اما اگر تمامی ترازهای انرژی



شکل ۲۰۵ نمودار بالا، انرژی جدایی دوپروتونی در چند رشته از ایزوتونها (N ثابت). در هر رشته هسته‌ای که کمترین Z را دارد مشخص شده است. نمودار پایین: انرژی جدایی دوپروتونی در چند رشته از ایزوتونها، تغییرات ناگهانی در مقابل «اعداد جادویی» به وضوح قابل مشاهده‌اند. در این نمودار، اختلاف بین مقادیر اندازه‌گیری شده و مقادیر پیش‌بینی شده فرمول نیمه تجربی جرم نشان داده شده است.



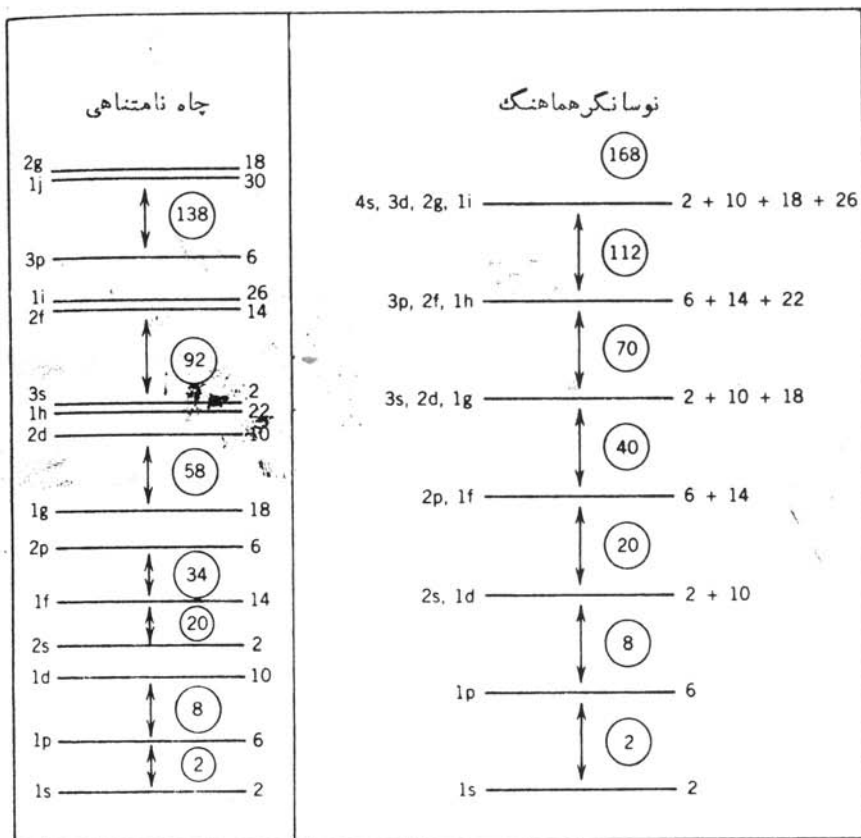
شکل ۳۰۵ شواهد اضافی در تأیید ساختار پوسته‌ای هسته‌ها. (الف) انرژی ذرات آلفای گسیل شده از ایزوتوپهای مختلف Rn . به افزایش ناگهانی انرژی در دختر هسته $N=126$ (یا مادر هسته $N=128$) توجه کنید. انرژی بستگی دختر هسته هر چه بیشتر باشد، ذره آلفا می‌تواند با انرژی زیادتری گسیل شود. (ب) سطح مقطع گیراندازی نوترون در هسته‌های مختلف. سطح مقطع در نواحی $N=50, 82, 126$ تقریباً به اندازه دو مرتبه بزرگی کاهش می‌یابد. (ج) تغییرات شعاع یار هسته در فواصل $\Delta N=2$. به صعودهای ناگهانی در نقاط $N=20, 28, 50, 82, 126$ توجه کنید و آن را با شکل ۱۰۵ مقایسه کنید. برای برجسته کردن اثرات پوسته‌ای، اختلاف شعاع ΔR به اختلاف شعاع استاندارد حاصل از رابطه $A^{1/3}$ تقسیم شده است.

تا تراز نوکلئونهای ظرفیت پر شده باشد، هیچ راهی برای کسب انرژی نوکلئون نمی‌ماند مگر آنکه مقدار انرژی به اندازه‌ای باشد که نوکلئون را به تراز ظرفیت برساند. سایر ترازهای نزدیکتر به تراز اولیه نوکلئون همگی پر هستند و نمی‌توانند یک نوکلئون اضافی را بپذیرند. انرژی لازم برای این انتقال که از تراز نزدیک به تراز پایه به نوار ظرفیت انجام می‌شود، بیشتر از مقداری است که معمولاً در برخورد بین دو نوکلئون از یکی از آنها به دیگری منتقل می‌شود. از این رو، چنین برخوردی بین نوکلئونها نمی‌تواند صورت گیرد، و گویی نوکلئونها در حرکت مداری‌شان با هیچ گونه ممانعتی از طرف نوکلئونهای درون هسته روبرو نمی‌شوند!

پتانسیل مدل پوسته‌ای

نخستین گام در ارائه مدل پوسته‌ای، انتخاب پتانسیل هسته‌ای مناسب است. در آغاز دو نوع پتانسیل چاه نامتناهی و نوسانگر هماهنگ را در نظر می‌گیریم که حل معادله سه بعدی شرودینگر مربوط به آنها را در فصل ۲ دیدیم. ترازهای انرژی حاصل را در شکل ۴.۵ نشان داده‌ایم. همچنانکه در فیزیک اتمی دیدیم، واگنی هر تراز را تعداد نوکلئونهایی که می‌توانند در آن قرار بگیرند تعیین می‌کند. به عبارت دیگر، واگنی هر تراز برابر $(2l+1) \cdot 2$ می‌شود که در آن عامل $(2l+1)$ از طریق واگنی m_l ، و عامل ۲ از طریق واگنی m_s حاصل شده است. برای نامگذاری این ترازها، مثل مورد فیزیک اتمی، از نمادهای طیف‌نمودی استفاده می‌کنیم. اما این نامگذاری از یک نظر بسا فیزیک اتمی تفاوت دارد. در اینجا n عدد کوانتومی اصلی نیست، بلکه صرفاً شماره تراز مربوط به l مشخص را نشان می‌دهد. بنابراین $1d$ به معنی اولین (یا پایینترین) حالت d ، $2d$ به معنی دومین حالت d است و همین‌طور... (در نامگذاری فیزیک اتمی، هیچ حالتی به صورت $1d$ یا $2d$ نداریم). در شکل ۴.۵، عدد اشغال هر تراز و تعداد جمعی نوکلئونهای متناظر به پوسته‌های اصلی کامل را هم نشان داده‌ایم. (نوترونها و پروتونها، چون ذرات نایکسان هستند، به‌طور جداگانه شمرده می‌شوند. بنابراین در تراز $1s$ ، علاوه بر ۲ نوترون، ۲ پروتون هم می‌تواند قرار گیرد.) ظهور اعداد جادویی ۲، ۸، و ۲۰ در هر دو نوع پتانسیل دل‌گرم کننده است، ولی در ترازهای انرژی بالاتر هیچ‌گونه ارتباطی با اعداد جادویی تجربی به چشم نمی‌خورد.

به‌عنوان اولین گام در اصلاح مدل، سعی می‌کنیم پتانسیل واقع‌بینانه‌تری را انتخاب کنیم. چاه نامتناهی، بنا بر دلایلی، تقریب خوبی برای پتانسیل هسته‌ای نیست: برای جدا کردن یک نوترون یا پروتون از هسته، با صرف انرژی کافی باید بتوانیم آن را از چاه خارج کنیم. در این صورت، عمق چاه نمی‌تواند بی‌نهایت باشد! بعلاوه، لبه پتانسیل هسته‌ای نباید تیز باشد بلکه مثل توزیع بار و جرم هسته‌ای، مقدار پتانسیل بعد از شعاع میانگین R باید به آهستگی به سوی صفر میل کند. از طرف دیگر، پتانسیل نوسانگر هماهنگ هم

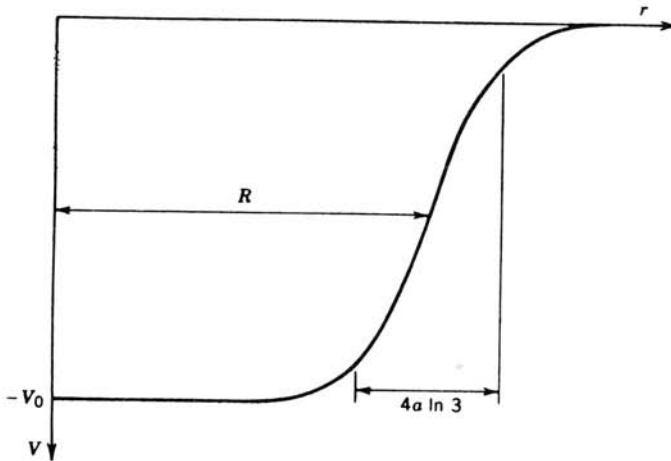


شکل ۴۰۵ ساختار پوسته‌ای حاصل از پتانسیلهای چاه نامتناهی و نوسانگرهماهنگک. ظرفیت هر تراز را درست راست آن نشان داده‌ایم. فاصله زیاد بین ترازها را ناشی از پر شدن پوسته‌ها می‌دانیم. اعداد درون دایره‌ها نشانگر تعداد کل نوکلئونهای موجود در پوسته‌های پر هستند.

لبه‌اش به قدر کافی تیز نیست و انرژی جدایی آن نیز بی نهایت می‌شود. از این رو، شکل واقع بینانه‌تر پتانسیل را به صورت بینایی

$$V(r) = \frac{-V_0}{1 + \exp[(r-R)/a]} \quad (10.5)$$

انتخاب می‌کنیم که منحنی نمایش آن در شکل ۵۰۵ رسم شده است. پارامترهای R و a به ترتیب شعاع میانگین و ضخامت پوست هستند که مقادیرشان طبق اندازه‌گیریهای مذکور در فصل ۳ انتخاب می‌شود: $R = 1.25A^{1/3} \text{ fm}$ و $a = 0.524 \text{ fm}$. عمق چاه V_0 چنان تنظیم می‌شود که برای انرژیهای جدایی که از مرتبه ۵۰ MeV است، مقادیر مناسبی



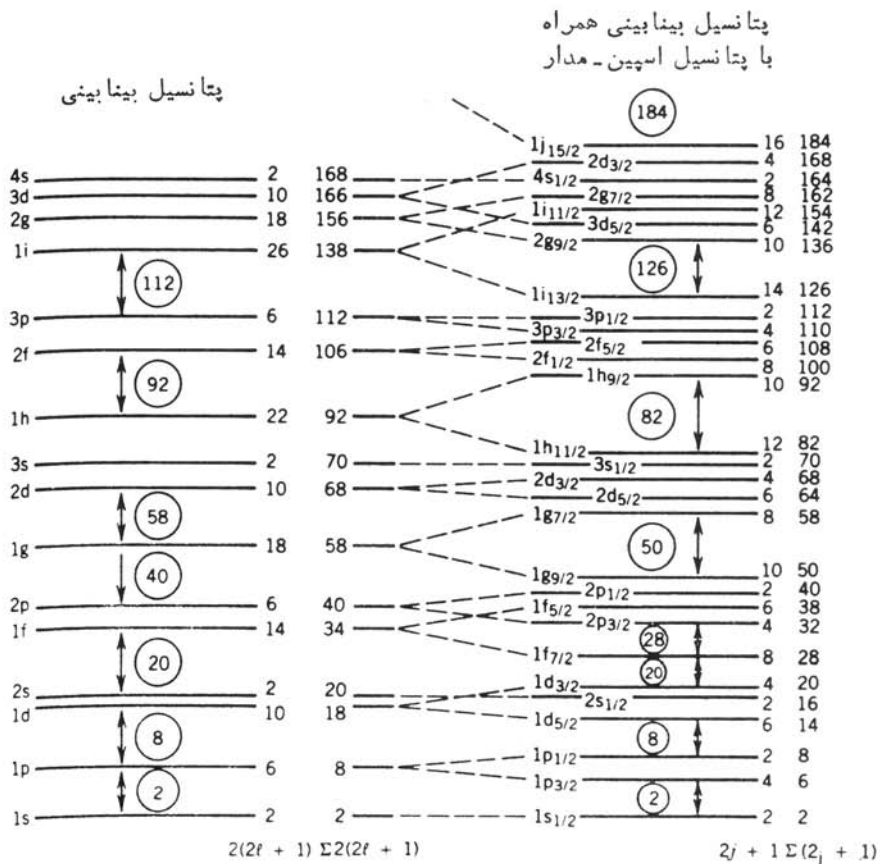
شکل ۵.۵ شکل واقعی بینانه پتانسیل در مدل پوسته‌ای. ضخامت پوست، $4a \ln 3$ برابر فاصله‌ای است که در طی آن پتانسیل از 97% به 1% کاهش می‌یابد.

به‌دست آید. ترازهای انرژی حاصل را در شکل ۶.۵ نشان داده‌ایم. نتیجه پتانسیل جدید، در مقایسه با نوسانگر هماهنگ (شکل ۴.۵)، این است که واکنش I را در پوسته‌های اصلی بر طرف می‌کند. هر چه به طرف انرژی‌های بالاتر پیش می‌رویم، فاصله ایجاد شده در این مورد بیشتر و بیشتر می‌شود، به طوری که سرانجام این فاصله با فاصله بین ترازهای نوسانگر هماهنگ قابل مقایسه خواهد شد. وقتی پوسته‌های حاصل را به ترتیب با $2(2I+1)$ نوکلئون پر می‌کنیم، باز هم اعداد جادویی ۲، ۸، و ۲۰ را به‌دست می‌آوریم، ولی اعداد جادویی بالاتر را نمی‌توان با این محاسبات پیدا کرد.

پتانسیل اسپین-مدار

این پتانسیل را چگونه می‌توانیم اصلاح کنیم تا همه اعداد جادویی را از آن به‌دست آوریم؟ چون نمی‌خواهیم محتوای فیزیکی مدل را از بین ببریم، مسلماً نمی‌توانیم تغییر زیادی در پتانسیل وارد کنیم. دلایل توجیهی معادله (۱.۵) را به عنوان یک حدس خوب پتانسیل هسته‌ای قبلاً ارائه کردیم. بنا بر این، برای بهبود محاسبات لازم است که جمله‌های مختلفی به معادله (۱.۵) افزوده شود. در دهه ۱۹۴۰ تلاش‌های نافرجام زیادی برای یافتن این جمله تصحیحی صورت گرفت و سرانجام مایر، هاکسل، سوئس، و جنسن در سال ۱۹۴۹ موفق شدند که با افزودن یک پتانسیل اسپین-مدار فاصله‌های مناسبی بین زیر پوسته‌ها به‌دست آورند.

در اینجا، باردیگر به فیزیک اتمی روی می‌آوریم و یکی دیگر از مفاهیم آن را به‌کار می‌گیریم. برهم‌کنش اسپین-مدار در فیزیک اتمی که مولد ساختار ریز مشاهده‌شده در



شکل ۶۰۵ در نمودار چپ، ترازهای انرژی حاصل از پتانسیل شکل ۵.۵ را نشان داده‌ایم. درست‌راست هر تراز، ظرفیت نوکلئونی تراز و تعداد کل نوکلئونهای منتهی به آن تراز مشخص شده است. نمودار سمت راست، تأثیر برهم‌کنش اسپین-مدار را به صورت شکافتگی ترازهای $l > 0$ و تبدیل آنها به دو تراز جدید نشان می‌دهد. اثر پوسته‌ای کاملاً نمایان شده است، و اعداد جادویی دقیقاً بازتولید شده‌اند.

خطوط طیفی است، از برهم‌کنش الکترومغناطیسی بین گشتاور مغناطیسی الکترون و میدان مغناطیسی ناشی از حرکت الکترون به دور هسته حاصل می‌شود. اثر این برهم‌کنش نوعاً خیلی کوچک و شاید از مرتبه یک قسمت از ۱۰۵ قسمت فاصله بین ترازهای اتمی است. هیچ برهم‌کنش الکترومغناطیسی از این نوع نخواهد توانست تغییرات محسوسی را در فواصل تراز هسته‌ای ایجاد و اعداد جادویی تجربی را بازتولید کند. با وجود این، در اینجا مفهوم نیروی اسپین-مدار هسته‌ای را به همان صورت نیروی اسپین-مدار اتمی، ولی نه از نوع الکترومغناطیسی آن، در نظر می‌گیریم. در واقع، با توجه به آزمایشهای

پراکنندگی در فصل ۴، شواهدی قوی در دست داریم که حاکی از وجود نیروی اسپین-مدار در برهم‌کنش نوکلئون-نوکلئون است.

برهم‌کنش اسپین-مدار را به صورت $V_{so}(r)\mathbf{l}\cdot\mathbf{s}$ در نظر می‌گیریم، ولی شکل $V_{so}(r)$ خیلی مهم نیست. این عامل $\mathbf{l}\cdot\mathbf{s}$ است که باعث تجدید سازمان ترازها می‌شود. همچنانکه در فیزیک اتمی دیدیم، حالتها را در حضور برهم‌کنش اسپین-مدار باید با تکانه زاویه‌ای کل $\mathbf{j}=\mathbf{l}+\mathbf{s}$ نشانه‌گذاری کنیم. عدد کوانتومی اسپین هر نوکلئون برابر $s=1/2$ است، پس مقادیر ممکن برای عدد کوانتومی تکانه زاویه‌ای کل عبارت‌اند از $j=l+1/2$ و $j=l-1/2$ (البته به استثنای مورد $l=0$ که در آن فقط مقدر $j=1/2$ مجاز است). مقدار انتظاری $\mathbf{l}\cdot\mathbf{s}$ را با استفاده از یک شگرد متداول می‌توان محاسبه کرد. نخست، مقدار $\mathbf{j}^2=(\mathbf{l}+\mathbf{s})^2$ را به دست می‌آوریم

$$\mathbf{j}^2 = \mathbf{l}^2 + 2\mathbf{l}\cdot\mathbf{s} + \mathbf{s}^2 \quad (2.5)$$

$$\mathbf{l}\cdot\mathbf{s} = \frac{1}{2}(\mathbf{j}^2 - \mathbf{l}^2 - \mathbf{s}^2)$$

با قرار دادن مقادیر انتظاری در این معادله، حاصل می‌شود

$$\langle \mathbf{l}\cdot\mathbf{s} \rangle = \frac{1}{2} [j(j+1) - l(l+1) - s(s+1)] \hbar^2 \quad (3.5)$$

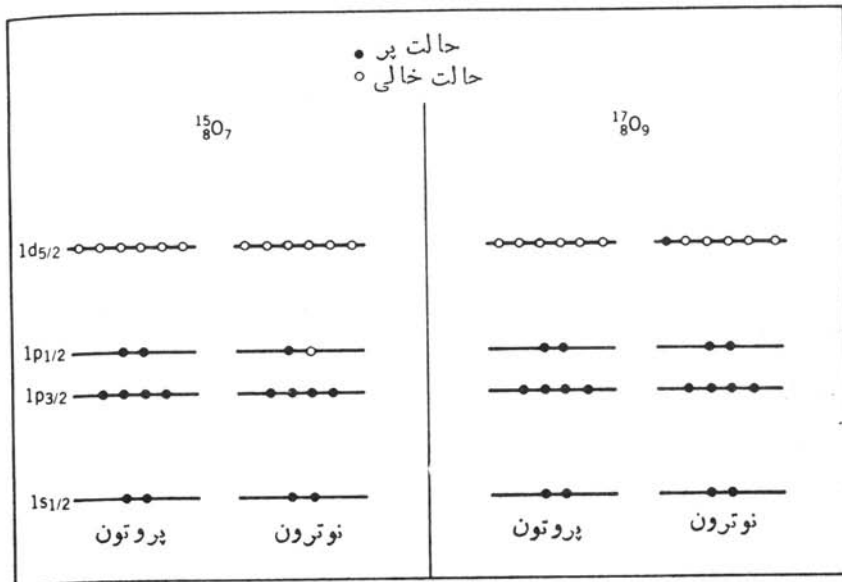
اکنون تراز $1f$ ($l=3$) را که دارای واکنی $14 = 2(2l+1)$ است در نظر می‌گیریم. مقادیر ممکن برای j در این تراز عبارت‌اند از $7/2, 5/2, 3/2, 1/2$. بنابراین، ترازهای مورد نظر به صورت $1f_{7/2}$ و $1f_{5/2}$ خواهند بود. واکنی هر تراز برابر $(2j+1)$ است که از مقادیر m_j حاصل می‌شود. (در حضور برهم‌کنش اسپین-مدار، m_l و m_s دیگر اعداد کوانتومی «خوب» به حساب نمی‌آیند و نمی‌توان آنها را برای نمایاندن حالتها یا شمردن واکنیها به کار برد.) در این صورت، ظرفیت نوکلئونی تراز $1f_{5/2}$ برابر ۶ و ظرفیت $1f_{7/2}$ برابر ۸ می‌شود که از جمع آنها مجدداً تعداد ۱۴ حالت به دست می‌آید (تعداد حالتها می‌تواند حفظ شود، فقط نحوه دسته‌بندی آنها را تغییر داده‌ایم). فاصله انرژی بین حالتها $1f_{5/2}$ و $1f_{7/2}$ ، که زوج اسپین-مدار یسا دوتایه نامیده می‌شوند، متناسب با مقدار $\langle \mathbf{l}\cdot\mathbf{s} \rangle$ است. در واقع می‌توان اختلاف انرژی هر زوج حالتی را که در آن $l > 0$ باشد، به کمک معادله (۳.۵) محاسبه کرد

$$\langle \mathbf{l}\cdot\mathbf{s} \rangle_{j=l+1/2} - \langle \mathbf{l}\cdot\mathbf{s} \rangle_{j=l-1/2} = \frac{1}{2} (2l+1) \hbar^2 \quad (4.5)$$

شکاف‌نگی (یا فاصله) انرژی بین حالتها با افزایش l افزایش می‌یابد. حال اگر انرژی $V_{so}(r)$ را به صورت منفی در نظر بگیریم، عضوی از زوج که مقدار j در آن بزرگتر است در سطح

پایینتر قرار خواهد گرفت. اثر این شکافتگی را در نمودار شکل ۶.۵ نشان داده‌ایم. در اینجا، تراز $1f_{7/2}$ در فاصله (با گاف) بین پوسته‌های دوم و سوم قرار می‌گیرد. ظرفیت این تراز برابر ۸ نوکلئون است، و بدین سان عدد جادویی ۲۸ از آرایش جدید حاصل خواهد شد. شکافتگی‌های $d_{5/2}$ به اندازه‌ای نیستند که تغییرات مهمی در دسته‌بندی ترازها به وجود آورند. اثر مهم بعدی ناشی از جمله تصحیحی اسپین-مدار را در تراز $1g$ می‌بینیم. حالت $1g_{9/2}$ آن قدر به پایین رانده می‌شود که در پوسته اصلی پایینتر قرار می‌گیرد، و وقتی ظرفیت ۱۰ نوکلئونی آن به پوسته ۴۰ نوکلئونی قبلی افزوده می‌شود، عدد جادویی ۵۰ به دست می‌آید. این اثر روی پوسته‌های اصلی دیگر نیز تکرار می‌شود. در هر يك از این موارد، عضو کم انرژی تر زوج اسپین-مدار از پوسته بعدی به پوسته قبلی تنزل می‌کند، و بدین ترتیب باقیمانده اعداد جادویی هم طبق انتظار به دست می‌آید (حتی يك عدد جادویی جدید، ۱۸۴، هم پیش‌بینی می‌شود که هنوز در عمل مشاهده نشده است).

برای بررسی نمونه‌ای از کاربرد مدل پوسته‌ای، نحوه پر شدن ترازهای انرژی را در تشکیل هسته‌های ^{18}O و ^{17}O در نظر می‌گیریم. در هر دو مورد، تعداد ۸ پروتون در يك پوسته اصلی قرار می‌گیرد و نقشی در ساختار هسته‌ای ندارد. پر شدن ترازهای انرژی در نمودار شکل ۷.۵ نشان داده شده است. مدل پوسته‌ای در نهایت به این نتیجه می‌رسد که فقط نوکلئون ترویج نشده در تعیین خواص هسته دخالت دارد. نوترون ترویج نشده در هسته ^{18}O در تراز $p_{1/2}$ قرار دارد. بنابراین، حالت پایه ^{18}O را باید با اسپین $1/2$



شکل ۷.۵ پر شدن پوسته‌ها در ^{18}O و ^{17}O . ترازهای کامل پروتونی در ساختار هسته دخالتی ندارد. خواص حالت پایه را عمدتاً نوترون منفرد تعیین می‌کند.

و پارامتره فرد پیش‌بینی کنیم، زیرا پارامتره از (-1) به دست می‌آید. حالت پایه 170 را با مشخصات یک نوترون منفرد در تراز $d_{5/2}$ ، یعنی اسپین $5/2$ و پارامتره زوج، تعیین می‌کنیم. این دو پیش‌بینی دقیقاً با آنچه در عمل برای اسپین و پارامتره مشاهده می‌شود، سازگاری دارند. در واقع، در گستره‌ای که مدل پوسته‌ای برای هسته‌های A فرد اعتبار دارد (به دلایلی که بعداً در همین فصل خواهیم دید، عموماً برای هسته‌هایی که در آنها $150 < A < 220$ و $190 < A$ است)، با چنین سازگاری‌هایی بین پیش‌بینی مدل و مشاهدات تجربی روبرو می‌شویم. این موفقیت در پیش‌بینی اسپین و پارامتره حالت پایه هسته‌ها را باید پیروزی بزرگی برای مدل پوسته‌ای به‌شمار آورد.

گشتاور دوقطبی مغناطیسی

یکی دیگر از موارد سازگاری قابل قبول (ولی نه‌چندان دقیق) بین خواص هسته‌ای مشاهده شده و پیش‌بینی مدل پوسته‌ای، مورد گشتاور دوقطبی مغناطیسی است. چنانکه در فصل ۳ دیدیم، گشتاور مغناطیسی را از طریق مقدار انتظاری عملگر گشتاور مغناطیسی در حالتی که تصویر z تکانه زاویه‌ای حداکثر مقدارش را دارد، محاسبه می‌کنیم. بنا بر این، با در نظر گرفتن هر دو جمله l و s باید مقدار زیر را در حالی که $j_z = j\hbar$ است، به دست آوریم

$$\mu = \mu_N \frac{g_l l_z + g_s s_z}{\hbar} \quad (5.5)$$

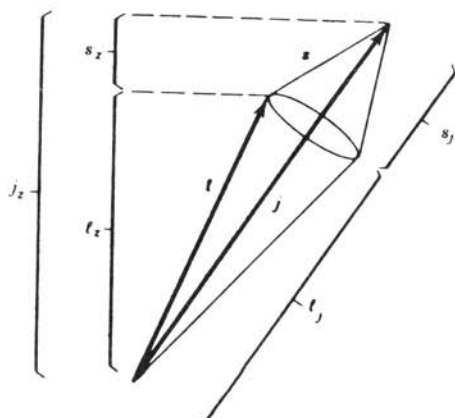
این مقدار را به‌طور مستقیم نمی‌توان تعیین کرد. زیرا، وقتی در سیستمی که در آن j دقیقاً تعریف شده است کار می‌کنیم، مقادیر l_z و s_z دقیقاً مشخص نیستند. این عبارت را با استفاده از $\mathbf{j} = \mathbf{l} + \mathbf{s}$ می‌توان به صورت زیر نوشت

$$\mu = \frac{[g_l j_z + (g_s - g_l) s_z] \mu_N}{\hbar} \quad (6.5)$$

و چنانچه مقدار انتظاری آن را در حالت $j_z = j\hbar$ در نظر بگیریم، خواهیم داشت

$$\langle \mu \rangle = \left[\frac{g_l j + (g_s - g_l) \langle s_z \rangle}{\hbar} \right] \mu_N \quad (7.5)$$

مقدار انتظاری $\langle s_z \rangle$ را با یادآوری این نکته که \mathbf{j} تنها بردار مورد توجه در این مسئله است (بردارهای \mathbf{l} و \mathbf{s} تنها در ارتباطشان با \mathbf{j} در نظر گرفته می‌شوند)، به آسانی می‌توان محاسبه کرد. وقتی که به‌طور مشخص $\langle s_z \rangle$ را محاسبه می‌کنیم، همچنانکه از نمودار برداری شکل ۸.۵ استنباط می‌شود، تنها قسمتی که باقی می‌ماند همان مؤلفه s در امتداد \mathbf{j} است. مقدار لحظه‌ای s_z تغییر می‌کند، اما مؤلفه آن در امتداد \mathbf{j} ثابت می‌ماند. بنا بر این، برای بردار s_z که مؤلفه s در امتداد \mathbf{j} است، باید بتوانیم عبارتی به دست آوریم. بردار یکه



شکل ۸.۵ همان‌طور که بردار تکانه زاویه‌ای کل \mathbf{j} با ثابت ماندن j_z با حرکت تقدیمی به دور محور z در گردش است، بردارهای \mathbf{l} و \mathbf{s} هم حول z در گردش‌اند. مؤلفه‌های \mathbf{l} و \mathbf{s} در امتداد \mathbf{j} ثابت می‌مانند، ولی l_z و s_z تغییر می‌کنند.

امتداد \mathbf{j} برابر $|\mathbf{j}|/|\mathbf{j}|$ ، و مؤلفه \mathbf{s} در امتداد \mathbf{j} برابر $|\mathbf{s} \cdot \mathbf{j}|/|\mathbf{j}|$ است. بنابراین، بردار s_j برابر $|\mathbf{s} \cdot \mathbf{j}|/|\mathbf{j}|$ می‌شود که با قرار دادن مقادیر انتظاری خواهیم داشت

$$\langle s_z \rangle = \frac{j}{2j(j+1)} [j(j+1) - l(l+1) + s(s+1)] \hbar \quad (۸.۵)$$

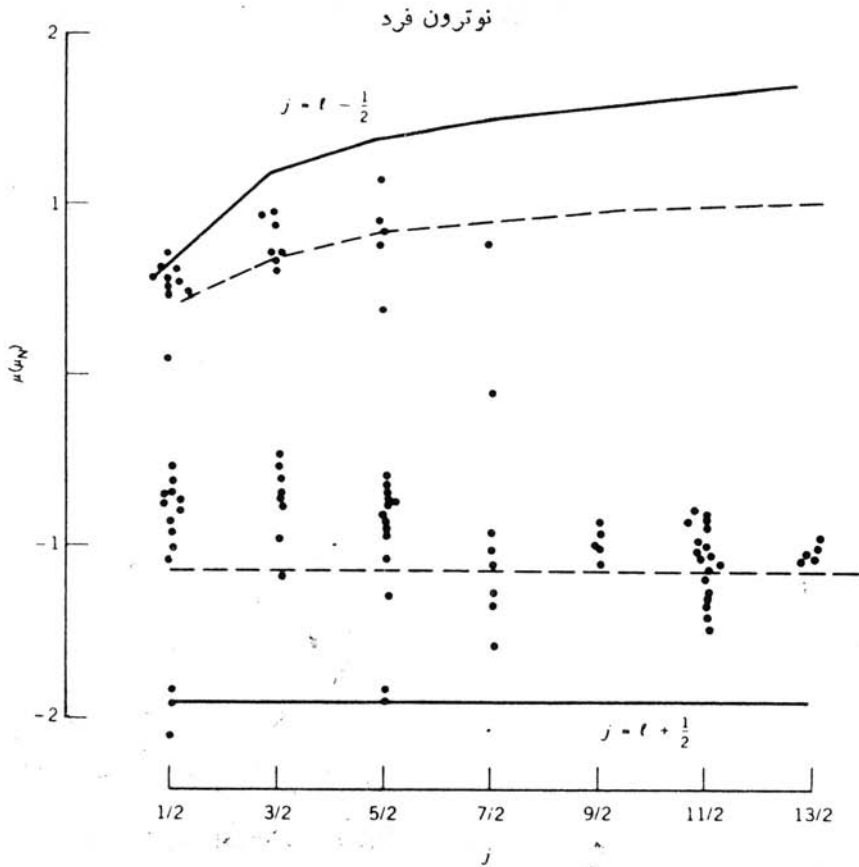
که در آن $\mathbf{s} \cdot \mathbf{j} = \mathbf{s} \cdot (\mathbf{l} + \mathbf{s})$ به کمک معادله (۳.۵) محاسبه می‌شود. پس برای $j = l + 1/2$ داریم $\langle s_z \rangle = \hbar/2$ ، و برای $j = l - 1/2$ داریم $\langle s_z \rangle = -\hbar/2$. گشتاورهای مغناطیسی متناظر به این مقادیر عبارت‌اند از

$$j = l + \frac{1}{2} \quad \langle \mu \rangle = \left[g_l \left(j - \frac{1}{2} \right) + \frac{1}{2} g_s \right] \mu_N \quad (۹.۵)$$

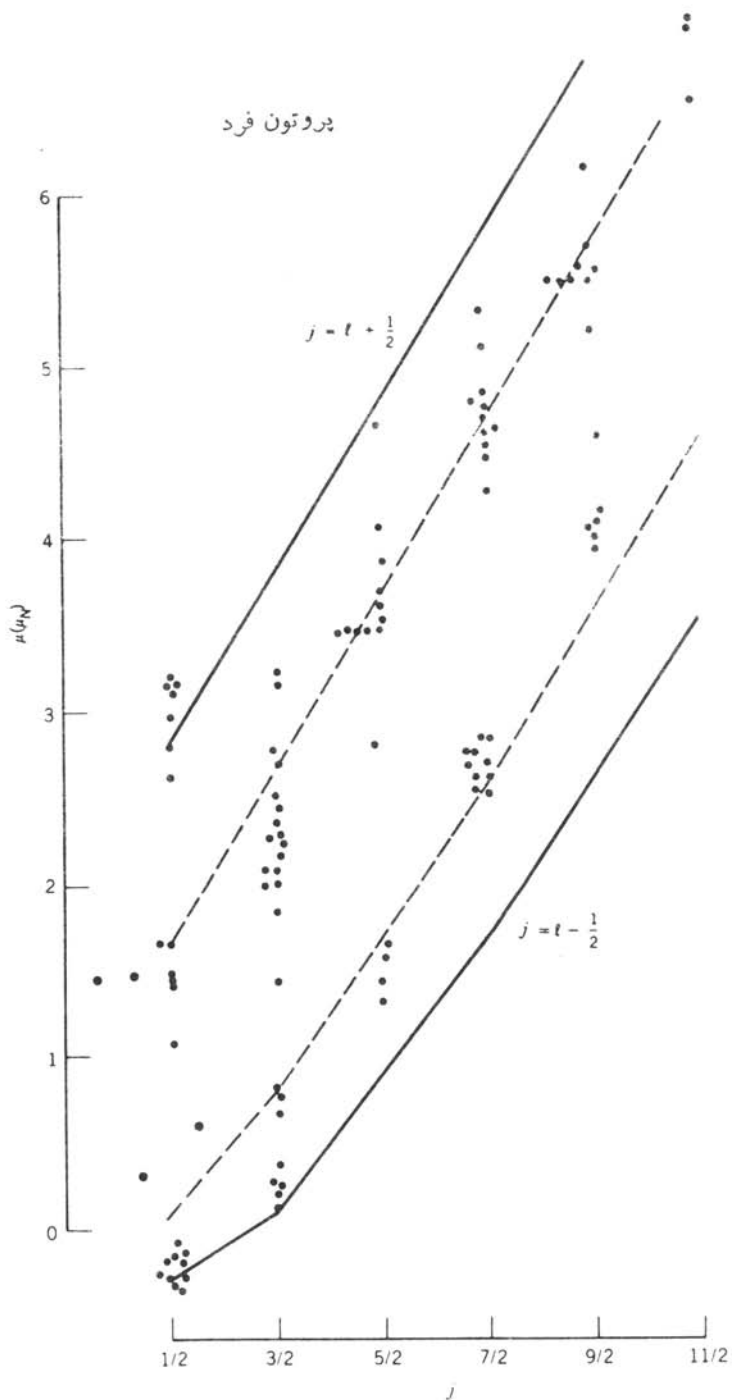
$$j = l - \frac{1}{2} \quad \langle \mu \rangle = \left[g_l \frac{j(j+3/2)}{(j+1)} - \frac{1}{2} \frac{1}{j+1} g_s \right] \mu_N$$

نتایج اندازه‌گیری شده گشتاورهای مغناطیسی را با مقادیر حاصل از محاسبات مبتنی بر مدل پوسته‌ای برای هسته‌های A فرد در شکل ۹.۵ مقایسه کرده‌ایم. مقادیر محاسبه شده به صورت خطوط پر که خطوط اشمیت نامیده می‌شوند نموده شده‌اند. این محاسبه را نخستین بار اشمیت در سال ۱۹۳۷ انجام داد. مقادیر تجربی که در محدوده خطوط اشمیت قرار دارند، بزرگی‌شان عموماً کوچکتر و پراکندگی‌شان خیلی زیاد است. یکی از نقضهای این نظریه، قبول این فرض است که عامل g نوکلئون موجود در هسته را با g نوکلئون آزاد برابر می‌گیرد. در فصل ۳ اختلاف قابل توجه بین عامل اسپینی g مربوط به نوکلئونها و مقدار انتظاری 2 را برای ذره «بنیادی» با اسپین $1/2$ شرح دادیم. اگر این اختلاف قابل توجه را ناشی از «ابر مزونی» اطراف نوکلئون بدانیم، جای هیچ تعجبی نیست که ابر مزونی

درون هسته که در آن مزونها و نوکلئونهای دیگر هم حضور دارند، با ابرمزونی نوکلئون آزاد تفاوت داشته باشد. معمولاً این اثر را با کاهش (تقریباً اختیاری) عامل g_s در محاسبه وارد می‌کنند که برای نمونه خطوط متناظر به (آزاد) $g_s = 6.0$ را در شکل ۹.۵ نشان داده‌ایم. در این صورت، سازگاری کلی بین مقادیر تجربی و نظری بهتر می‌شود، ولی پراکندگی نقاط حاکی از آن است که محاسبه گشتاور مغناطیسی در این مدل بیش از حد ساده در نظر گرفته شده است. با وجود این، موفقیت محاسبه در نشان دادن روند کلی مقادیر تجربی گشتاورهای مغناطیسی، دال بر آن است که مدل پوسته‌ای می‌تواند دستکم درکی تقریبی از ساختار این گونه هسته‌ها به دست بدهد.



شکل ۹.۵ مقادیر تجربی گشتاور مغناطیسی هسته‌های نوترون فرد و پروتون فرد مدل پوسته‌ای. خطوط اشمیت را برای (آزاد) $g_s = g_p$ به صورت خطوط پر، و برای (آزاد) $g_s = 6.0$ به صورت خط چین نشان داده‌ایم.



شکل ۹.۵ (ادامه).

گشتاور چارقطبی الکتريکی

گشتاور چارقطبی الکتريکی در مدل پوسته‌ای به کمک عملگر چارقطبی الکتريکی $3z^2 - r^2$ ، در حالتی که تصویر تکانه زاویه‌ای کل ذره فرد در امتداد محور z بیشینه (یعنی $m_j = +j$) است، محاسبه می‌شود. در اینجا فرض می‌کنیم که ذره فرد يك پروتون است. اگر تکانه زاویه‌ای این ذره (تاحدی که در مکانیک کوانتومی مجاز است) در امتداد محور z قرار گیرد، مدار درون آن باید عمده‌تاً در صفحه xy قرار داشته باشد. همچنانکه در بحث پس از معادله (۳۶.۳) گفتیم، در این صورت گشتاور چارقطبی منفی و از مرتبه $Q \approx -Q$ خواهد بود. بعضی از مقادیر تجربی گشتاور چارقطبی هسته‌هایی که يك پروتون بعد از يك زیرپوسته کامل دارند، در جدول ۱۰.۵ نشان داده شده است. مقدار $\langle r^2 \rangle$ در گستره بین $b = ۵.۳$ تا $b = ۵.۳$ ، بنه ترتیب برای هسته‌های $A = ۷$ تا $A = ۲۰۹$ ، تغییر می‌کند. از این رو، سازگاری بین مقادیر تجربی و انتظاری را باید خوب بدانیم.

محاسبه دقیق‌تر کوانتوم مکانیکی، گشتاور چارقطبی تک‌ذره‌ای يك پروتون فرد را در حالت j مدل پوسته‌ای چنین به دست می‌دهد

$$\langle Q_{sp} \rangle = -\frac{2j-1}{2(j+1)} \langle r^2 \rangle \quad (10.5)$$

برای يك کره باردار یکنواخت داریم $\langle r^2 \rangle = (3/5)R^2 = (3/5)R_0^2 A^{2/3}$. با استفاده از این نتایج می‌توان گشتاور چارقطبی هسته‌های موجود در جدول ۱۰.۵ را محاسبه کرد. علامت مقادیر محاسبه شده به درستی به دست می‌آید، ولی اندازه آنها به میزان ۳ تا ۲ برابر کوچکتر است.

در مورد هسته‌هایی که يك نوترون فرد دارند، در دسر بزرگتری داریم. نوترون بدون بار در خارج از يك زیرپوسته کامل نباید مولد گشتاور چارقطبی باشد. با توجه به جدول ۱۰.۵ معلوم می‌شود که مقادیر مربوط به نوترون فرد عموماً از مقادیر مربوط به پروتون فرد کوچکترند، ولی مسلم است که این مقادیر برابر صفر نیستند.

هنگامی که يك زیرپوسته بیش از يك ذره منفرد داشته باشد، تمام ذرات موجود در زیرپوسته می‌توانند در تولید گشتاور چارقطبی شرکت کنند. چون ظرفیت هر زیرپوسته برابر $(2j+1)$ است، تعداد نوکلئونهای موجود در زیرپوسته برنشته از 1 تا $2j$ نوکلئون تغییر می‌کند. گشتاور چارقطبی در این حالت عبارت است از

$$\langle Q \rangle = \langle Q_{sp} \rangle \left[1 - 2 \frac{n-1}{2j-1} \right] \quad (11.5)$$

که در آن n تعداد نوکلئونهای موجود در زیرپوسته ($1 \leq n \leq 2j$) و Q_{sp} گشتاور چارقطبی ذره منفرد است که از معادله (۱۰.۵) به دست می‌آید. هنگامی که $n=1$ باشد داریم $Q = Q_{sp}$ ، ولی وقتی که $n=2j$ باشد (یعنی زیرپوسته‌ای که از حالت کاملاً پرفقط يك نوکلئون کمتر دارد) داریم $Q = -Q_{sp}$. در جدول ۱۰.۵ گشتاورهای چارقطبی مربوط

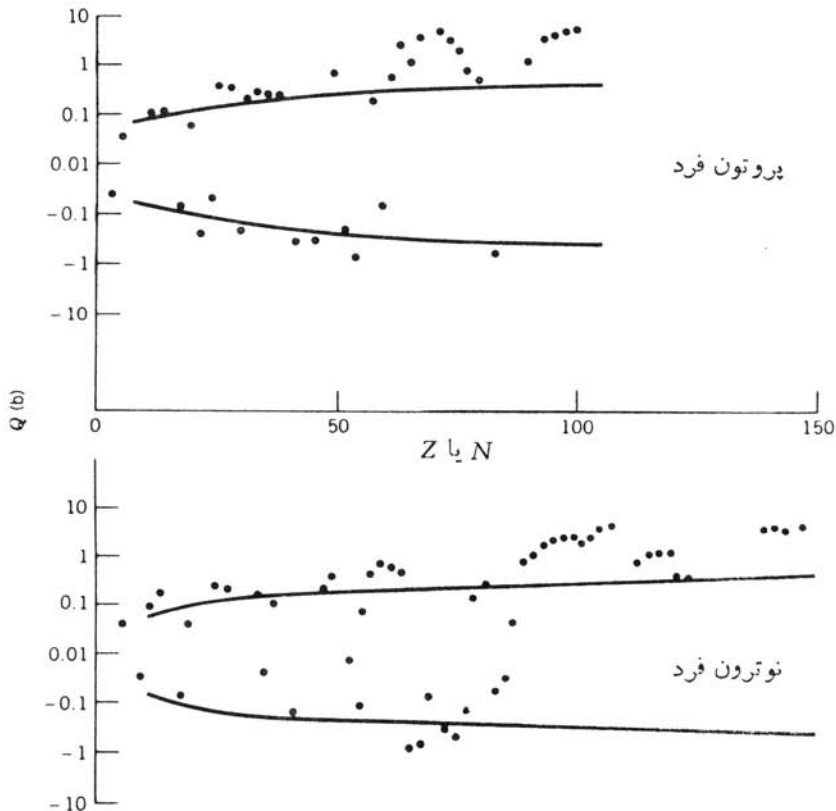
جدول ۱۰۵ گشتاورهای چارگفتی مدل پوسته‌ای.

حالت مدل پوسته‌ای	مقدار محاسبه شده Q (بر تون منفرد)	مقدار اندازه‌گیری شده Q			
		ذره منفرد		حفره منفرد	
		p	n	p	n
$1p_{7/2}$	-۰۰۰۱۳	-۰۰۰۳۶۶ (${}^7\text{Li}$)	+۰۰۰۴۰۷ (${}^{11}\text{B}$)	+۰۰۰۵۳ (${}^9\text{Be}$)	
$1d_{5/2}$	-۰۰۰۳۶	-۰۰۰۱۲ (${}^{19}\text{F}$)	-۰۰۰۲۶ (${}^{17}\text{O}$)	+۰۰۰۲۰۱ (${}^{25}\text{Mg}$)	
$1d_{7/2}$	-۰۰۰۳۷	-۰۰۰۸۲۴۹ (${}^{35}\text{Cl}$)	-۰۰۰۰۶۴ (${}^{32}\text{S}$)	+۰۰۰۴۵ (${}^{35}\text{S}$)	
$1f_{7/2}$	-۰۰۰۰۷۱	-۰۰۰۲۶ (${}^{43}\text{Sc}$)	-۰۰۰۸۰ (${}^{41}\text{Ca}$)	+۰۰۰۲۴ (${}^{49}\text{Ti}$)	
$2p_{7/2}$	-۰۰۰۵۵	-۰۰۰۲۰۹ (${}^{63}\text{Cu}$)	-۰۰۰۲۸۵ (${}^{67}\text{Cr}$)	+۰۰۰۲۰ (${}^{57}\text{Fe}$)	
$1f_{5/2}$	-۰۰۰۰۸۶	-۰۰۰۲۰ (${}^{61}\text{Ni}$)	-۰۰۰۲۰ (${}^{61}\text{Ni}$)	+۰۰۰۱۵ (${}^{67}\text{Zn}$)	
$1g_{9/2}$	-۰۰۰۱۳	-۰۰۰۳۲ (${}^{93}\text{Nb}$)	-۰۰۰۱۷ (${}^{173}\text{Ge}$)	+۰۰۰۴۵ (${}^{83}\text{Kr}$)	
$1g_{7/2}$	-۰۰۰۱۴	-۰۰۰۴۹ (${}^{113}\text{Sb}$)	-۰۰۰۴۹ (${}^{113}\text{Sb}$)	+۰۰۰۲۰ (${}^{115}\text{La}$)	
$2d_{5/2}$	-۰۰۰۱۲	-۰۰۰۳۶ (${}^{113}\text{Sb}$)	-۰۰۰۳۶ (${}^{91}\text{Zr}$)	+۰۰۰۴۴ (${}^{111}\text{Cd}$)	

عدم قطعیت مقادیر این جدول نوعاً در حدود چند قسمت از آخرین رقم بامعنایی است که در اینجا ذکر شده است.

به این حالت‌های موسوم به «حفره» را هم نشان داده‌ایم، و چنانکه می‌بینیم رابطه (حفره) $-Q = Q(\text{ذره})$ با تقریب خوبی برقرار است. بویژه باید به این نکته در جدول توجه داشت که گشتاور چارقطبی حالت‌های حفره مثبت است، یعنی علامت آن نسبت به گشتاور چارقطبی حالت‌های ذره‌ای تغییر کرده است.

پیش از آنکه هیجان ناشی از موفقیت این مدل ساده بر ما غلبه کند، رفتار و نظم عمومی گشتاورهای دو قطبی را به‌طور دسته‌جمعی در نظر می‌گیریم. مقادیر اندازه‌گیری شده گشتاور چارقطبی حالت پایه، برای هسته‌هایی که عدد جرمی فرد دارند، به‌طور خلاصه در شکل ۱۰.۵ نشان داده شده است. شواهدی از تغییر علامت Q که در معادله (۱۱.۵)



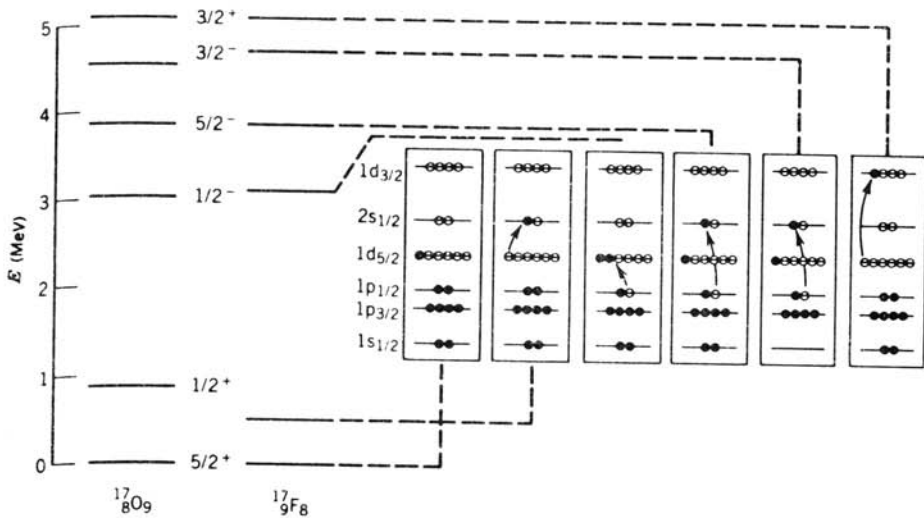
شکل ۱۰.۵ مقادیر تجربی گشتاور چارقطبی الکتریکی برای هسته‌هایی که پروتون فرد و نوترون فرد دارند. خطوط پر حدود انتظاری $\langle r^2 \rangle \sim Q$ را برای هسته‌های مدل پوسته‌ای نشان می‌دهند. بجز در نواحی $80 < Z < 90$ ، $90 < Z < 120$ و $N > 140$ که مقادیر تجربی یک مرتبه از مقادیر پیش‌بینی شده در مدل پوسته‌ای بزرگترند، اطلاعات تجربی در محدوده مدل قرار دارند.

پیش بینی شده است؛ در این شکل دیده می‌شود. اما در این مورد با نظمی سراسری روبه‌رو نیستیم، زیرا تعداد مقادیر گشتاور چارقطبی مثبت خیلی بیشتر از گشتاورهای منفی است. نکته ناخوشایندتر اینکه، این مدل از پیش‌بینی گشتاورهای چارقطبی بسیار بزرگ چندین بارنی که در مورد بعضی از هسته‌های سنگین دیده شده است، ناتوان است. با توضیح این نارساییها، به جنبه‌های دیگری از ساختار هسته‌ای رهبری می‌شویم که در چارچوب مدل پوسته‌ای توجیه پذیر نیستند. این ویژگیهای جدید را در دو بخش آخر این فصل مورد بحث قرار می‌دهیم.

نوکلئونهای ظرفیت

مدل پوسته‌ای، با وجود سادگی‌اش، در توضیح اسپین و پارته‌ حالت پایه تقریباً تمام هسته‌های A فرد موفق است و برای گشتاورهای دوقطبی مغناطیسی و چارقطبی الکتریکی آنها نیز توضیحی نسبتاً موفق (و رضایت‌بخش) به دست می‌دهد. کاربرد خاصی از مدل پوسته‌ای را که در اینجا در نظر گرفتیم، مدل ذره خیلی مستقل می‌گویند. فرضیه‌اساسی مدل ذره خیلی مستقل این است که به استثنای یکی از نوکلئونها، بقیه نوکلئونهای موجود در هسته ترویج شده‌اند و خواص هسته از حرکت همین نوکلئون ترویج نشده منفرد ناشی می‌شود. روشن است که چنین برخوردی مسئله را بیش از حد ساده می‌کند، و بهتر است که در تقریب بعدی تمام ذرات موجود در زیرپوسته پرنشده را در نظر بگیریم. برای نمونه، در مورد هسته‌ای مانند ${}^{42}_{20}\text{Ca}_{22}$ که بعد از پوسته کامل $N=20$ دارای سه نوترون است، نوع خیلی مستقل مدل پوسته‌ای فقط بیست و سومین نوترون را در نظر می‌گیرد، درحالی که در محاسبه کاملتر مدل پوسته‌ای باید هر سه نوترون ظرفیت را در نظر گرفت. برای هسته ${}^{45}_{23}\text{Ti}_{22}$ باید هر پنج ذره (۲ پروتون، ۳ نوترون) بالاتراز پوسته‌های $Z=20$ و $N=20$ را در نظر بگیریم.

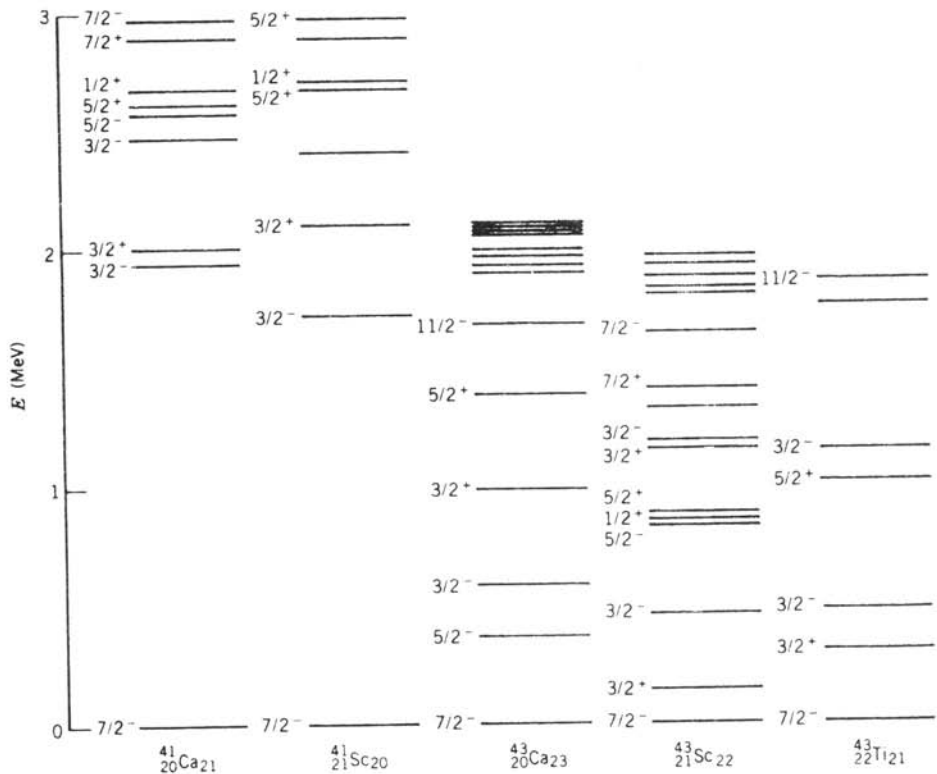
اگر مدل ذره خیلی مستقل معتبر بود، باید می‌توانستیم با بررسی حالت برانگیخته هسته‌ها نمودار ترازهای انرژی شکل ۶.۵ را باز تولید کنیم. در اینجا نمونه‌هایی را مورد بررسی قرار می‌دهیم. برخی از حالت‌های برانگیخته هسته‌های ${}^{18}_{8}\text{O}_8$ و ${}^{19}_{9}\text{F}_8$ را که هر کدام از آنها پس از بخش مرکزی دوجادویی ($N=8$ و $Z=8$) فقط شامل یک نوکلئون هستند، در شکل ۱۱.۵ نشان داده‌ایم. حالت پایه، همچنانکه از حالت $d_{5/2}$ همین نوکلئون مدل پوسته‌ای انتظار می‌رود، به صورت $(5/2)^+$ است. با توجه به شکل ۶.۵ انتظار خواهیم داشت که متناظر با ترازهای $1s_{1/2}$ و $1d_{3/2}$ در مدل پوسته‌ای، با حالت‌های برانگیخته‌ای با اسپین-پارته $(1/2)^+$ و $(3/2)^+$ روبه‌رو شویم. طبق این فرضیه، وقتی که به هسته انرژی می‌دهیم، بخش مرکزی هسته هیچ تغییری نمی‌کند ولی نوکلئون فرد با جذب انرژی بدیکی از ترازهای بالاتر مدل پوسته‌ای خواهد رفت. حالت $(1/2)^+$ که مورد انتظار مدل پوسته‌ای است، به عنوان اولین حالت برانگیخته ظاهر می‌شود، و حالت $(3/2)^+$ هم در فاصله زیادی بالاتر از آن قرار می‌گیرد. اما حالت‌های $(1/2)^-$ ،



شکل ۱۱۰۵: ترازهای ^{17}O و ^{17}F از دیدگاه مدل پوسته‌ای. تمام ترازهای پایینتر از حدود ۵ MeV نشان داده شده‌اند. شباهت بین ترازهای این دو هسته حاکی از ساختار یکسانی است که نوکلئونهای ظرفیت به وجود می‌آورند. حالت‌های پارته-زوج را به آسانی می‌توان با برانگیختگی تنها نوکلئون فرد از حالت پایه $d_{5/2}$ به حالت $2s_{1/2}$ یا $1d_{3/2}$ توضیح داد. حالت‌های پارته-فرد ساختار پیچیده‌تری دارند. یکی از پیکر بندی‌های ممکن نشان داده شده است، ولی پیکر بندی‌های دیگر نیز حائز اهمیت‌اند.

$-(3/2)$ ، و $-(5/2)$ را چگونه می‌توان به حساب آورد؟ (حالت‌های پارته-منفی $2p_{1/2}$ ، $2p_{3/2}$ و $1f_{5/2}$ در مدل پوسته‌ای خیلی بالاتر از حالت $1d_{3/2}$ قرار می‌گیرند که در این صورت، حالت اخیر باید پایتتر ظاهر شود.) در شکل ۱۱۰۵ یکی از توضیحات ممکن برای حالت $-(1/2)$ نشان داده شده است: به جای آنکه نوکلئون فرد به حالت برانگیخته بالاتر برود، زوج نوکلئون موجود در تراز $1p_{1/2}$ می‌شکند و یکی از نوکلئونهای آن در اثر برانگیزش به تراز $d_{5/2}$ می‌رود و با نوکلئون موجود در آنجا زوج جدیدی تشکیل می‌دهد. در این صورت، نوکلئون فرد در حالت $1p_{1/2}$ خواهد بود که به حالت برانگیخته $-(1/2)$ منجر می‌شود. (چون انرژی ترویج با افزایش l افزایش می‌یابد، در واقع از نقطه نظر انرژی بهتر است که زوج $l=1$ شکسته و زوج $l=2$ تشکیل شود.) تأیید این فرضیه مستلزم آن است که به کمک آزمایش مشخص شود که خواص حالت $-(1/2)$ با خواص مورد انتظار حالت $p_{1/2}$ در مدل پوسته‌ای سازگاری دارد. برای حالت $-(3/2)$ نیز می‌توان از فرضیه‌ای مشابه استفاده کرد (با شکستن زوج $p_{3/2}$)، ولی حالت $-(5/2)$ و بسیاری از حالت‌های برانگیخته دیگر بدون توضیح می‌ماند.

در شکل ۱۲۰۵ وضعیت مشابهی را برای هسته‌های پوسته $1f_{7/2}$ نشان داده‌ایم.



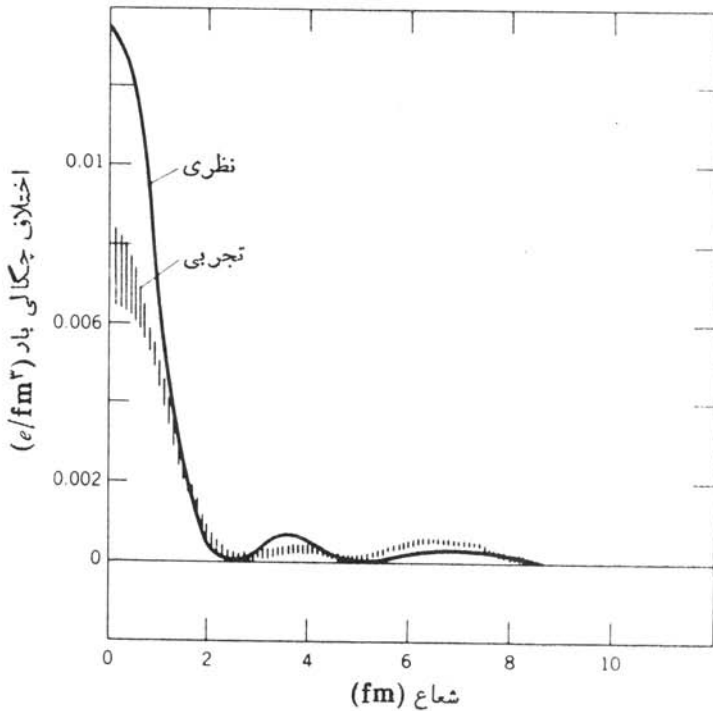
شکل ۱۲۰۵ ترازهای انرژی چند هسته که تعداد ذرات موجود در پوسته $1f_{7/2}$ در آنها فرد است.

حالت پایه $(7/2)^-$ مربوط به $(1f_{7/2})$ و حالت برانگیخته $(3/2)^-$ مربوط به $(2p_{3/2})$ ، طبق انتظار در هسته‌های ^{41}Ca و ^{41}Sc که هر یک در خارج از بخش مرکزی دوجادویی $(Z=20, N=20)$ فقط یک نوکلئون منفرد دارند، ظاهر می‌شود. چنانکه دیده می‌شود، ساختار ^{43}Ca کاملاً با ^{41}Ca تفاوت دارد. در مورد ^{43}Ca تعداد حالت‌های کم-انرژی خیلی زیاد است. این حالتها در نتیجه جفت‌شدگی سه ذره در پوسته $1f_{7/2}$ حاصل می‌شوند و اختلاف بین مدل پوسته‌ای کامل و مدل پوسته‌ای ذره خیلی مستقل را نشان می‌دهند. اگر فقط ذره فرد در ساختار هسته اهمیت داشته باشد، ترازهای ^{43}Ca باید با ترازهای ^{41}Ca مشابه باشد. تأثیر قابل توجه نوترونهای بیست و یکم و بیست و دوم در ^{43}Sc ، که در مدل حدی ذره خیلی مستقل از آنها صرف‌نظر می‌شود، بخوبی در نمودار تراز انرژی مشخص شده است. نمودار تراز انرژی ^{43}Ti هم تأثیر مشابه پروتونهای بیست و یکم و بیست و دوم را بر ترازهای مدل پوسته‌ای نوترون بیست و یکم نشان می‌دهد.

مدل پوسته‌ای نه تنها برای تعیین خواص اسپین-پاریته، گشتاور دو قطبی مغناطیسی، گشتاور چار قطبی الکتریکی، و حالت برانگیخته هسته‌ها، بلکه برای محاسبه احتمال گذار

هسته‌ای از يك حالت به حالت ديگر در اثر واپاشی رادیواکتیو یا واکنش هسته‌ای نیز به کار برده می‌شود. پیش‌بینی مدل پوسته‌ای را در مورد این فرایندها در فصل‌های بعدی خواهیم دید.

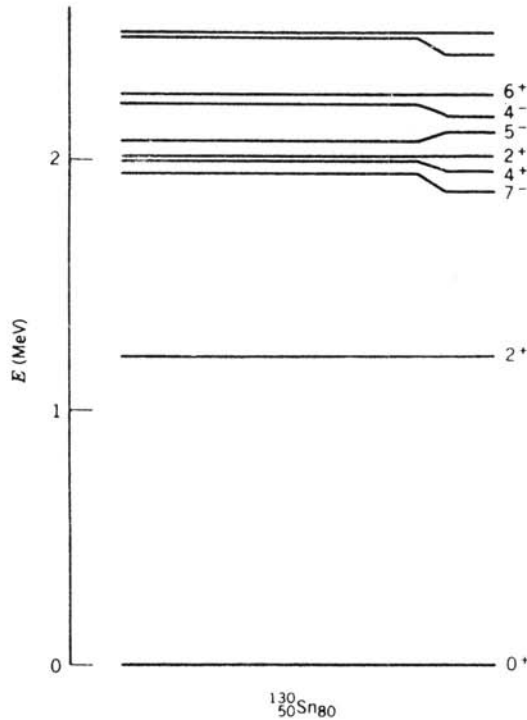
بحث مدل پوسته‌ای را در اینجا با اشاره به بررسی که در آغاز مطرح کردیم به پایان می‌رسانیم. چگونه می‌توانیم مطمئن باشیم که فرض اولیه ما، مبنی بر وجود نوکلئون با خواص مداری مشخص در اعماق هسته، معتبر می‌ماند؟ حقیقت این است که بسیاری از آزمایش‌هایی که در مورد مدل پوسته‌ای انجام می‌شوند، به خواصی مانند اسپین و گشتاورهای الکترومغناطیسی نوکلئونهای ظرفیت که محل استقرارشان در نزدیکی سطح هسته است، مربوط می‌شوند. به همین ترتیب، بسیاری از ابزارهای تجربی کاوش درون هسته نیز بیشتر از خواص سطحی هسته‌ها خبر می‌دهند. ذرات مورد استفاده در تحقیق نیروی هسته‌ای هم از جمله این ابزارها هستند. برای آنکه بتوانیم به پرسش مطرح شده پاسخ دهیم، به وسیله کاونده‌ای نیاز داریم که به اعماق هسته رسوخ کند. با استفاده از این وسیله باید بتوانیم به جای خواص سطحی، خواص درونی هسته‌ها را مورد اندازه‌گیری قرار دهیم. همچنانکه در مطالعه توزیع بار هسته در فصل ۳ عمل کردیم، الکترونهای پرانرژی را به عنوان وسیله کاونده اختیار می‌کنیم. خاصیتی که می‌خواهیم اندازه‌گیری کنیم، چگالی بار یک نوکلئون منفرد در مدار است که کمیتی معادل مربع تابع موج آن $|\psi|^2$ است. با مراجعه به شکل ۱۲.۲، به خاطر می‌آوریم که فقط تابع موج حالت s می‌تواند عمیقاً به درون هسته نفوذ کند و تابع موج حالت‌های دیگر در مرکز هسته به صفر میل می‌کند ($\psi \rightarrow 0, r \rightarrow 0$). پس برای این منظور، هسته‌ای مانند ${}^{205}_{81}\text{Tl}_{124}$ را انتخاب می‌کنیم که از تمامی زیرپوسته‌های پایتتر از گاف $Z=82$ یک پروتون منفرد مربوط به مدار $3s_{1/2}$ را کم دارد. اما چگونه می‌توانیم سهم پروتون $3s_{1/2}$ را به تنهایی در توزیع بار اندازه‌گیری کنیم و پروتونهای دیگر را در نظر نگیریم؟ با اندازه‌گیری اختلاف توزیع بار بین هسته‌های ${}^{205}\text{Tl}$ و ${}^{206}_{82}\text{Pb}_{124}$ که پوسته پروتونی کاملی دارد، می‌توان به این هدف دست یافت. هر گونه اختلاف بین توزیع بسارهای این دو هسته را باید به پروتون $3s_{1/2}$ موجود در ${}^{206}\text{Pb}$ نسبت داد. اختلاف توزیع بار تجربی که اخیراً در یک آزمایش اندازه‌گیری شده است، در شکل ۱۳.۵ نموده شده است. نتیجه تجربی بخوبی با مربع یک تابع موج $3s$ قابل مقایسه است (در اینجا از همان تابع موج نوسانگر هماهنگ شکل ۱۲.۲ استفاده شده است، با این استثنا که ترسیم فعلی تغییرات $|\psi|^2$ را نشان می‌دهد نه $r^2\psi^2$ را). پس اعتبار این فرضیه که ویژگی‌های مداری نوکلئونها حتی در اعماق درون هسته‌ها هم حفظ می‌شود، به تأیید می‌رسد. با استفاده از این گونه آزمایش‌ها مطمئن می‌شویم که توصیف ذره مستقل که در نظریه پوسته‌ای نقشی اساسی بر عهده دارد، صرفاً به خاطر سهولت در تحلیل اندازه‌گیری‌های نزدیک به سطح هسته اختیار نشده است، بلکه می‌توان آن را معرف رفتار نوکلئون در سراسر حجم هسته تلقی کرد.



شکل ۱۳-۵ اختلاف چگالی بار بین ^{206}Pb و ^{205}Tl که با استفاده از پراکندگی الکترون حاصل شده است. منحنی «نظری»، صرفاً مربع تابع موج $3s$ را در یک نوسانگر هماهنگک نشان می‌دهد. تغییرات چگالی بار به کمک نظریه بخوبی باز تولید می‌شود.

۲-۵ هسته‌های Z زوج و N زوج و ساختار جمعی

اکنون سعی می‌کنیم که ساختار هسته‌های با تعداد زوج پروتون و نوترون را (که هسته‌های زوج-زوج نامیده می‌شوند) درک کنیم. برای نمونه، هسته ^{130}Sn را که تراز انرژی آن در شکل ۱۴-۵ نموده شده است، در نظر می‌گیریم. بنابر پیش‌بینی مدل پوسته‌ای، حالت پایه تمام هسته‌های زوج-زوج به صورت 0^+ (اسپین صفر، پارینته زوج) خواهد بود، زیرا همه نوکلئونها در این گونه هسته‌ها تزویج شده‌اند. موافق مدل پوسته‌ای، تعداد ۵۰ پروتون هسته ^{130}Sn پوسته $g_{9/2}$ را پر می‌کند و تعداد ۸۰ نوترون آن برای پر کردن پوسته $h_{11/2}$ که متناظر با عدد جادویی ۸۲ است، ۲ نوترون کم دارد. برای تشکیل حالت برانگیخته، می‌توان یکی از زوجها را شکست و یک نوکلئون آن را به تراز بالاتری برد که در این صورت جفت‌شدگی بین این دو نوکلئون فرد، اسپین و پارینته ترازا را مشخص خواهد کرد. بالا بردن یکی از پروتونهای $g_{9/2}$ یا یکی از نوترونهای $h_{11/2}$ مستلزم انرژی زیاد است، زیرا در این موارد باید از فاصله زیاد بین پوسته‌های اصلی عبور کرد (شکل ۶-۵).



شکل ۱۴۰۵ چند تراز انرژی سطح پایین در هسته ^{130}Sn .

بنابراین انتظار می‌رود که مؤلفه‌های اصلی تابع موجهای مربوط به حالت‌های برانگیخته پایین، از برانگیزش نوترون در داخل آخرین پوسته اصلی اشغال شده حاصل شود. برای نمونه، اگر فرض کنیم پیکربندی حالت پایه ^{130}Sn به صورت زیر پوسته‌های کامل $s_{1/2}$ و $d_{3/2}$ و اشغال ۱۰ نوترون در زیر پوسته $h_{11/2}$ (که با ۱۲ نوترون پر می‌شود) باشد، حالت برانگیخته را می‌توان با شکستن زوج $s_{1/2}$ و رساندن یکی از نوترونهای آن به زیر پوسته $h_{11/2}$ به وجود آورد. در این صورت، یک نوترون در زیر پوسته $s_{1/2}$ و ۱۱ نوترون در زیر پوسته $h_{11/2}$ موجود خواهند بود. خواص چنین سیستمی عمدتاً از جفت‌شدگی نوترون موجود در $s_{1/2}$ و نوترون تزویج‌شده $h_{11/2}$ حاصل خواهد شد. جفت‌شدگی تکانه‌های زاویه‌ای j_1 و j_2 در مکانیک کوانتومی، مقادیری با حداکثر $(j_1 + j_2)$ تا حداقل $|j_1 - j_2|$ به فاصله‌های واحد به دست خواهد داد. مقادیر ممکن در این مورد عبارت‌اند از $6 = (1/2) + (11/2)$ و $5 = (1/2) - (11/2)$. احتمال دیگر این است که یکی از زوجهای $d_{3/2}$ شکسته شود و باز هم یک نوترون فرد در زیر پوسته $h_{11/2}$ قرار گیرد. در این صورت، بزرگی تکانه زاویه‌ای در گستره مقادیر $7 = (3/2) + (11/2)$ تا $4 = (11/2) - (3/2)$ قرار خواهند گرفت. چون نوترونهای $s_{1/2}$ و $d_{3/2}$ پاریته زوج و نوترون $h_{11/2}$ پاریته فرد دارند، تمام این جفت‌شدگیها به حالت‌های با پاریته فرد

منجر خواهند شد. هنگامی که نمودار تراز ^{130}Sn را بررسی می‌کنیم، عملاً با چند حالت پارینهٔ فرد واسپینهایی که در گسترهٔ ۴ تا ۷ قرار دارند، و انرژیهای حدود 2 MeV ، روبه‌رو می‌شویم. این انرژی از مشخصهٔ لازم برای شکستن يك زوج و برانگیزش یکی از ذرات درون پوسته برخوردار است، و بدین گونه می‌توان گفت دلیلی قوی که حاکی از درك این حالتهاست در اختیار داریم. احتمال دیگر در تشکیل حالت‌های برانگیخته این است که یکی از زوج‌های $h_{11/2}$ شکسته شود، و هر دو عضو زوج شکسته در همان زیر پوستهٔ $h_{11/2}$ نگهداشته شوند. در این صورت، جفت‌شدگی مجدد این دو نوکلئون به اسپینی غیر از صفر قبلی منجر خواهد شد که بنا بر قواعد جفت‌شدگی تکانهٔ زاویه‌ای می‌تواند برابر با هر مقداری از $11 = (11/2) + (11/2)$ تا $0 = (11/2) - (11/2)$ باشد. این دو نوترون موجود در $h_{11/2}$ را باید مانند ذرات یکسان تلقی کرد، و بنابراین تابع موج مربوط به آنها هم باید متقارن در نظر گرفته شود. این شرط، اسپین برآیند حاصل از جفت‌شدگی را به مقادیر زوج محدود می‌کند و در نتیجه حالت‌های ممکن عبارت‌اند از 0^+ ، 2^+ ، 4^+ ، 6^+ ، 8^+ ، 10^+ . برای این حالتها در ناحیهٔ 2 MeV می‌توان نمونه‌های متعددی به دست آورد. بدین ترتیب، به نظر می‌رسد که مدل پوسته‌ای در این مورد هم می‌تواند توصیفی قابل قبول از ساختار ترازا ارائه دهد.

یکی از استثناهای مهم این تعبیر موفق، حالت 2^+ در انرژی حدود 1.2 MeV است. در شرایطی که بحث ما به حالت‌های نوترونی محدود است، طریقه‌های ممکن برای جفت‌شدگی دو نوترون در تشکیل 2^+ چه خواهد بود؟ چنانکه در بالا گفته شد، حالت 2^+ می‌تواند از جفت‌شدگی دو نوترون در $h_{11/2}$ حاصل شود. همچنین به کمک برانگیزش می‌توان يك زوج از نوترون‌های $d_{3/2}$ را تا زیر پوستهٔ $h_{11/2}$ بالا برد (که بدین ترتیب این پوسته کاملاً پر و پیکربندی بسیار پایدار خواهد شد)، و آنگاه با شکستن جفت‌شدگی دو نوترون باقیمانده در $d_{3/2}$ و جفت‌شدن مجدد آنها به حالت 2^+ دست یافت. يك احتمال دیگر هم این خواهد بود که زوج نوترون‌های $s_{1/2}$ در زیر پوستهٔ $h_{11/2}$ قرار گیرد، و سپس یکی از نوترون‌های $d_{3/2}$ به زیر پوستهٔ $s_{1/2}$ برود. در این صورت، در هر کدام از زیر پوسته‌های $s_{1/2}$ و $d_{3/2}$ يك نوترون فرد خواهیم داشت که از جفت‌شدگی آنها ممکن است حالت 2^+ حاصل شود. به هر حال، در تمام این موارد نخست باید يك زوج شکسته شود، و در نتیجه انرژی حالت‌های انتظاری در حدود 2 MeV خواهد بود.

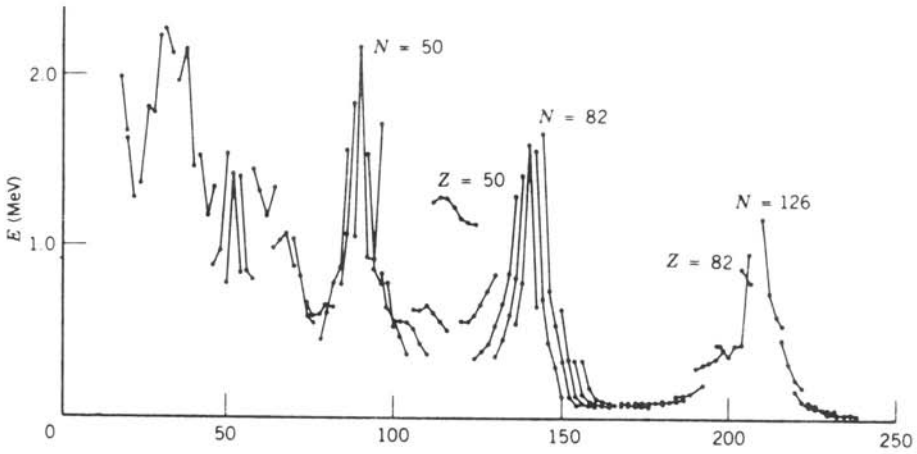
البته توصیف مدل پوسته‌ای صرفاً نوعی تقریب است، و بعید است که بتوانیم حالت‌های مدل پوسته‌ای «ناب» را در يك نمودار تراز انرژی پیچیده پیدا کنیم. رهیافت بهتر این است که وقتی از مدل پوسته‌ای به عنوان وسیله‌ای برای تعبیر ساختار هسته‌ای استفاده می‌کنیم، حالت‌های فیزیکی را به صورت ترکیبی از حالت‌های مدل پوسته‌ای در نظر بگیریم

$$\psi(2^+) = a\psi(vh_{11/2} \oplus vh_{11/2}) + b\psi(vd_{3/2} \oplus vd_{3/2}) \\ + c\psi(vd_{3/2} \oplus vs_{1/2}) + \dots \quad (12.5)$$

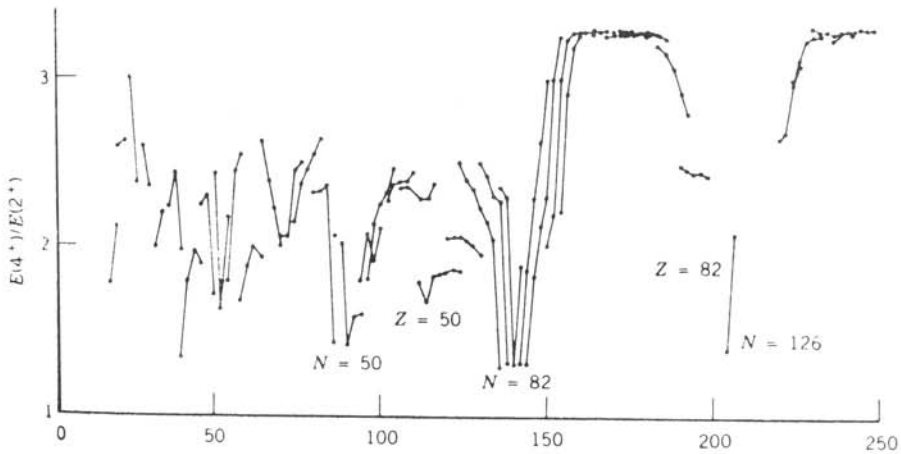
که در آن ν نشانهٔ نوترون است و علامت \oplus حاکی از این است که جفت‌شدگی تکانهٔ زاویه‌ای را باید چنان تنظیم کنیم که برابری 2^+ حاصل شود. اکنون مسئلهٔ پیچیدهٔ حالت 2^+ در انرژی پایین را می‌توان چنین بیان کرد: انرژی هر يك از حالت‌های سازنده (یا حالت‌های جزئی) در حدود 2 MeV است، اما دربارهٔ برهم‌کنش هسته‌ای که منجر به ترکیب مناسبی از ضرایب a, b, c, \dots در بسط (۱۲.۵) می‌شود و حالت برابری را تا انرژی 1.2 MeV تنزل می‌دهد، چه می‌توان گفت؟

نخستین حدس ما این است که چنین ساختاری ممکن است از ترازهای خاصی از مدل پوسته‌ای، در حالی که با ذرات ظرفیتی هسته ^{130}Sn اشغال شده‌اند، حاصل شود. وقتی هسته‌های زوج-زوج دیگر را مورد بررسی قرار می‌دهیم، به این واقعیت درخور توجه می‌رسیم: از کاربرد مدل پوسته‌ای درصدها مورد هسته‌های زوج-زوج شناخته شده معلوم می‌شود که همگی آنها دارای يك حالت «بی‌هنجار» 2^+ هستند که انرژی آن معادل یا کوچکتر از نصف انرژی لازم برای شکستن يك زوج نوکلئونی است. این حالت 2^+ جز در چند مورد استثنایی، در همهٔ موارد پایتترین حالت برانگیخته است. از این رو، ظهور این حالت يك امر تصادفی نیست که از ساختار مدل پوسته‌ای ^{130}Sn حاصل شده باشد بلکه از يك خاصیت کلی هسته‌های زوج-زوج ناشی می‌شود که صرفنظر از اشغال حالت‌های خاص مدل پوسته‌ای، در سراسر گسترهٔ جرم معتبر است. چنانکه خواهیم دید، خواص کلی دیگری هم وجود دارند که در همهٔ هسته‌ها مشترک‌اند، پس همان بهتر که این خواص را نه با حرکت چند نوکلئون ظرفیت بلکه با تمام هسته مرتبط بدانیم. این گونه خواص را که منشأ آنها در حرکت دسته‌جمعی اجزای هسته‌ای است و بسیاری از نوکلئون‌های هسته در ایجادشان شرکت دارند، خواص جمعی می‌گویند. خواص جمعی هسته‌ها بر حسب عدد جرمی به‌طور ملایم و تدریجی تغییر می‌کند، و اکثراً هم از تعداد و نوع نوکلئون‌های ظرفیت که خارج از زیر پوسته‌های کامل قرار دارند، مستقل است (هر چند که نوکلئون‌های ظرفیت در ساختار پوسته‌ای ادغام‌شونده در ساختار جمعی شرکت خواهند داشت).

در شکل‌های ۱۵.۵ و ۱۶.۵ چهار خاصیت مختلف هسته‌های زوج-زوج را که حاکی از رفتار جمعی هسته‌ها هستند، نشان داده‌ایم. با توجه به شکل ۱۵.۵ (الف) به نظر می‌رسد که انرژی نخستین حالت برانگیختهٔ 2^+ با افزایش A به تدریج کاهش می‌یابد (نواحی نزدیک به پوسته‌های کامل استثناست). مقادیر $E(2^+)$ در ناحیهٔ تقریبی $A = 150$ تا $A = 190$ هم فوق‌العاده ثابت‌اند و هم بسیار کوچک. در شکل ۱۵.۵ (ب) نیز، به استثنای نواحی نزدیک به پوسته‌های کامل، نسبت $E(4^+)/E(2^+)$ برای هسته‌های سبکتر از $A = 150$ تقریباً برابر ۲۰ و برای هسته‌های $190 < A < 230$ برابر مقدار ثابت ۳٫۳ است. گشتاور مغناطیسی حالت‌های 2^+ (طبق شکل ۱۶.۵ الف) در گسترهٔ مقادیر ۷٫۰ تا ۱۰٫۰ تقریباً ثابت می‌ماند، و گشتاور چارقطبی الکتریکی (طبق شکل ۱۶.۵ ب) برای هسته‌های $A < 150$ دارای مقادیر کوچک و برای هسته‌های $A > 150$ دارای مقادیر خیلی بزرگتری است. برای توضیح این خصوصیات باید دو نوع ساختار جمعی در نظر



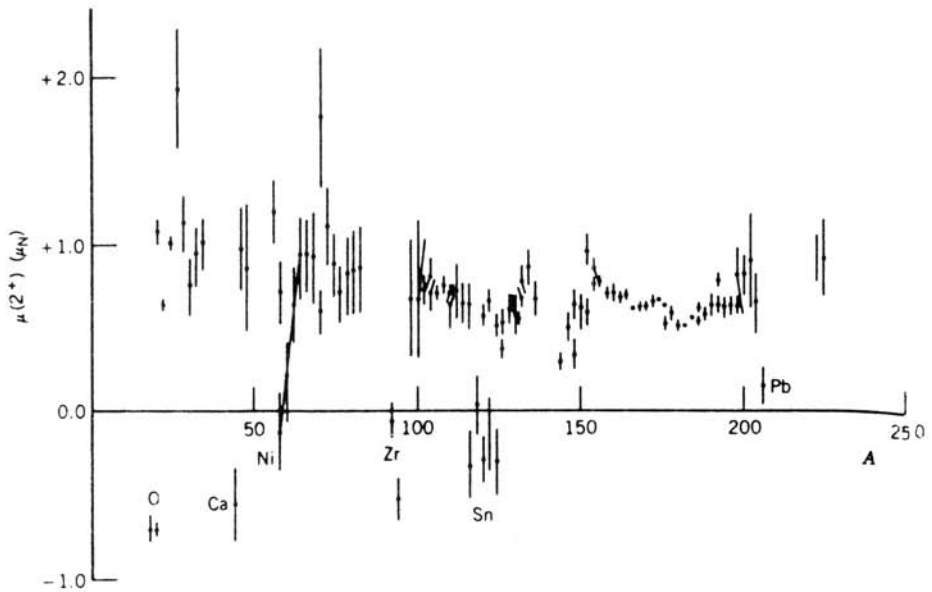
شکل ۱۵.۵ (الف) انرژی پایینترین حالت‌های 2^+ در هسته‌های زوج-زوج. نقاط مربوط به ایزوتوپ‌های متوالی با خط بهم وصل شده‌اند.



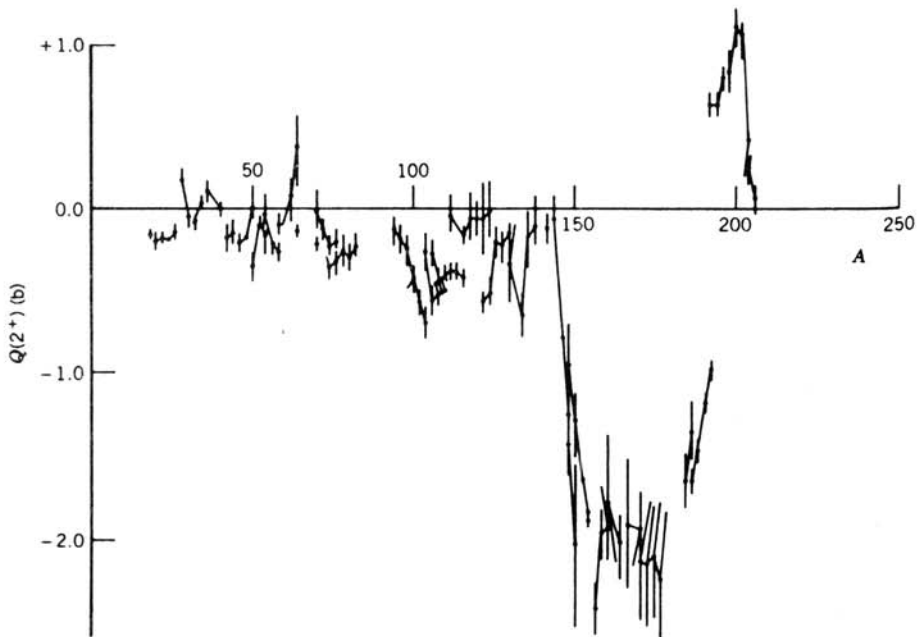
شکل ۱۵.۵ (ب) نسبت $E(4+)/E(2^+)$ برای پایینترین حالت‌های 2^+ و 4^+ در هسته‌های زوج-زوج. نقاط مربوط به ایزوتوپ‌های متوالی با خط بهم وصل شده‌اند.

بگیریم، زیرا به نظر می‌رسد که یک دسته از خواص به هسته‌های $A < 150$ و دسته دیگر به هسته‌های $150 < A < 190$ مربوط می‌شوند.

هسته‌های با عدد جرمی $A < 150$ را عموماً به کمک مدلی که مبتنی بر ارتعاشات حول شکل تعادل کروی است بررسی می‌کنیم، در حالی که خواص هسته‌های با عدد جرمی بین ۱۵۰ و ۱۹۰ خیلی شبیه اثرات دورانی سیستم‌های غیر کروی است. ارتعاش و دوران،



شکل ۱۶.۵ (الف) گشتاور مغناطیسی پایینترین حالت‌های 2^+ در هسته‌های زوج-زوج. هسته‌های مدل پوسته‌ای که رفتار غیر جمعی دارند، مشخص شده‌اند.



شکل ۱۶.۵ (ب) گشتاور چار قطبی الکتریکی پایینترین حالت‌های 2^+ در هسته‌های زوج-زوج. نقاط مربوط به ایزوتوپ‌های متوالی با خط بهم وصل شده‌اند.

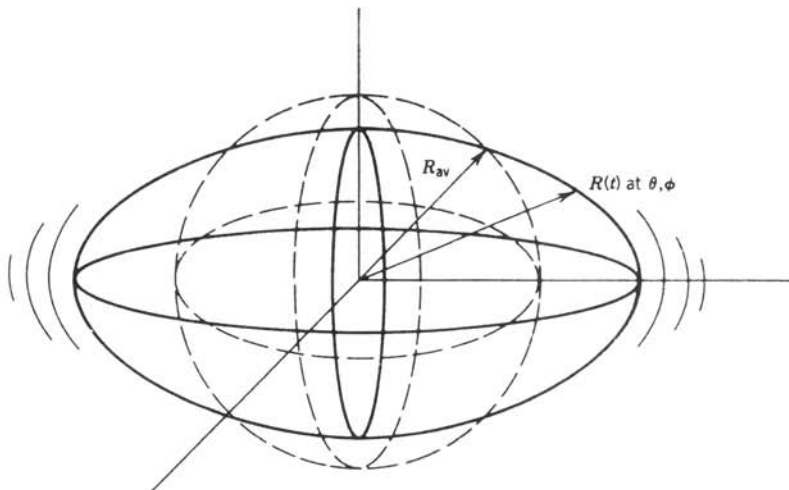
دو نوع اصلی حرکت جمعی در هسته‌هاست که هر يك از آنها را به نوبت بررسی خواهیم کرد. مدل جمعی هسته‌ها را غالباً مدل «قطره مایع» می‌گویند، زیرا ارتعاش و دوران هسته کاملاً مشابه ارتعاش و دوران قطره مایع معلق است و با همان تحلیل ریاضی می‌توان هسته‌ها را مورد بررسی قرار داد.

ارتعاشات هسته‌ای

با در نظر گرفتن قطره مایعی که با بسامد زیاد در حال ارتعاش باشد، می‌توان به مفهوم قابل قبولی از فیزیک ارتعاشات هسته‌ای دست یافت. هر چند که شکل چنین قطره‌ای به طور متوسط کروی است، ولی شکل لحظه‌ای آن کروی نیست. مختصه لحظه‌ای $R(t)$ يك نقطه از سطح هسته را در زوایای (θ, ϕ) به آسانی می‌توان، مطابق شکل ۱۷.۵، به صورت هماهنگک کروی $Y_{\lambda\mu}(\theta, \phi)$ نشان داد. هر مؤلفه از هماهنگک کروی دارای دامنه $\alpha_{\lambda\mu}(t)$ خواهد بود

$$R(t) = R_{av} + \sum_{\lambda \geq 1} \sum_{\mu = -\lambda}^{+\lambda} \alpha_{\lambda\mu}(t) Y_{\lambda\mu}(\theta, \phi) \quad (13.5)$$

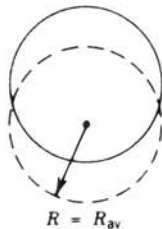
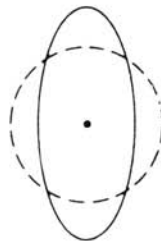
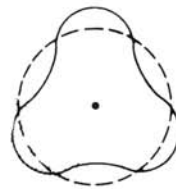
دامنه‌های $\alpha_{\lambda\mu}$ کاملاً اختیاری نیستند؛ تقارن انعکاسی مستلزم آن است که $\alpha_{\lambda\mu} = \alpha_{\lambda-\mu}$ شود و اگر مایع هسته‌ای را تراکم ناپذیر بگیریم، محدودیت‌های دیگری هم وارد خواهند شد. جمله ثابت $(\lambda = 0)$ ، در شعاع متوسط $R_{av} = R_0 A^{1/3}$ مستتر است. ارتعاش نمونه‌وار



شکل ۱۷.۵ يك هسته در حال ارتعاش با شکل تعادل کروی. مختصه وابسته به زمان $R(t)$ ، يك نقطه از سطح هسته را تحت زوایای θ, ϕ مشخص می‌کند.

$\lambda = 1$ را که ارتعاش دوقطبی نامیده می‌شود، در شکل ۱۸.۵ نشان داده‌ایم. باید توجه داشته باشیم که در این ارتعاش با جابه‌جایی مرکز جرم روبه‌رو هستیم، و بنابراین نمی‌توانیم آن را نتیجه عملکرد نیروهای درون هسته به شمار آوریم. در این صورت، پایینترین مد بعدی ارتعاش را که ارتعاش (چارقطبی) $\lambda = 2$ است، در نظر می‌گیریم. همانند نظریه کوانتومی الکترومغناطیس که در آن واحد انرژی الکترومغناطیسی را فوتون می‌نامند، یک کوانتوم انرژی ارتعاشی را فوتون می‌گویند. در جایی که ارتعاش مکانیکی وجود داشته باشد، می‌توان گفت که فوتونهای ارتعاشی تولید می‌شود. بدین گونه، واحد منفرد انرژی ارتعاشی متناظر به $\lambda = 2$ را فوتون چارقطبی می‌نامند.

در اینجا نتیجه افزایش یک واحد انرژی ارتعاشی (یا یک فوتون چارقطبی) را به حالت پایه هسته‌ای زوج-زوج مورد بررسی قرار می‌دهیم. فوتون $\lambda = 2$ حاوی ۲ واحد تکانه زاویه‌ای (که درست مانند مورد Y_{1m} با $l = 2$ ، باعث افزایش مؤلفه $Y_{2\mu}$ به تابع موج هسته می‌شود) و پاریته زوج است، زیرا پاریته Y_{lm} به صورت $(-1)^l$ است. با افزودن دو واحد تکانه زاویه‌ای به حالت 0^+ یک حالت 2^+ حاصل می‌شود که با نتایج تجربی اسپین-پاریته نخستین حالت‌های برانگیخته هسته‌های زوج-زوج سازگاری دقیقی دارد. (در این نظریه، انرژی فوتون چارقطبی پیش‌بینی نمی‌شود و باید آن را به صورت یک پارامتر قابل تنظیم در نظر گرفت.) اکنون فرض می‌کنیم که فوتون چارقطبی دومی را هم به هسته افزوده‌ایم. تعداد مؤلفه‌های ممکن μ برای هر فوتون برابر ۵ است و همچنانکه در جدول ۲۰.۵ نموده شده است، برای این دو فوتون تعداد ۲۵ ترکیب $\lambda\mu$ قابل تصور است. حال ترکیبات مختلف را بررسی می‌کنیم. در میان این ترکیبات، یک حالت با جمع کل $\mu = +4$ وجود دارد. طبیعی است که این ترکیب را متناظر با انتقال ۴ واحد تکانه زاویه‌ای (یک تابع Y_{lm} که در آن $m = +4$ و در نتیجه $l = 4$ است) تلقی کنیم. دو ترکیب با مقدار کل $\mu = +3$ وجود دارد که یکی از $(\mu_1 = +1, \mu_2 = +2)$ و دیگری از $(\mu_1 = +2, \mu_2 = +1)$ به دست می‌آید. اما وقتی ترکیب متقارن تابع موجهای

 $\lambda = 1$ (دوقطبی) $\lambda = 2$ (چارقطبی) $\lambda = 2$ (هشت‌قطبی)

شکل ۱۸.۵ سه مد از پایینترین مدهای ارتعاشی هسته. در این شکلها، برش مرکزی هسته‌ها نشان داده شده است. منحنیهای خطچین شکل تعادل کروی، و خطوط پر وضعیت لحظه‌ای سطح در حال ارتعاش را نشان می‌دهد.

جدول ۲۰۵ مؤلفه Z تکانه برایند از جمع تصاویر تکانه‌های زاویه‌ای دوفونون در راستای Z به دست می‌آید.^۱

μ_2	μ_1				
	-۲	-۱	۰	+۱	+۲
-۲	-۴	-۳	-۲	-۱	۰
-۱	-۳	-۲	-۱	۰	+۱
۰	-۲	-۱	۰	+۱	+۲
+۱	-۱	۰	+۱	+۲	+۳
+۲	۰	+۱	+۲	+۳	+۴

۱. مقادیر این جدول نشان می‌دهد که $\mu = \mu_1 + \mu_2$ است.

فونونی (مطابق آنچه در بخش ۷.۲ گفته شد، فونونهای با اسپین درست باید تابع موجهای متقارن داشته باشند) را مورد توجه قرار می‌دهیم، فقط یک نوع ترکیب دیده می‌شود. سه ترکیب با مقدار $\mu = +۲$ وجود دارد که از مجموعه‌های

$$(\mu_1, \mu_2) = (+۲, ۰), (+۱, +۱), (۰, +۲)$$

حاصل می‌شود. از ترکیب اولی و سومی باید یک تابع موج متقارن به دست آید. پیش از این دیدیم که ترکیب $(+۱, +۱)$ متقارن است. اگر تعداد ترکیبهای ممکن را به همین طریق تعیین کنیم، تعداد ترکیبهای مجاز را نه ۲۵ بلکه ۱۵ خواهیم یافت: یک ترکیب با $\mu = +۴$ ، یک ترکیب دیگر با $\mu = +۳$ ، دو تا با $\mu = +۲$ ، دو تا با $\mu = +۱$ ، سه تا با $\mu = ۰$ ، دو تا با $\mu = -۱$ ، دو تا با $\mu = -۲$ ، یکی با $\mu = -۳$ ، و یکی با $\mu = -۴$ به دست می‌آید. این ترکیبها را به صورت زیر می‌توان دسته‌بندی کرد

$$l=۴ \quad \mu = +۴, +۳, +۲, +۱, ۰, -۱, -۲, -۳, -۴$$

$$l=۲ \quad \mu = +۲, +۱, ۰, -۱, -۲$$

$$l=۰ \quad \mu = ۰$$

به این ترتیب، در انرژی معادل دو برابر انرژی نخستین حالت 2^+ (چون انرژی دوفونون یکسان، دو برابر انرژی یکی از آنهاست)، انتظار داریم که با سه تاییه‌ای از حالت‌های ۰^+ ، ۲^+ ، ۴^+ روبرو شویم. سه تاییه ۰^+ ، ۲^+ ، ۴^+ یکی از ویژگیهای مشترک هسته‌های ارتعاشی

است و پشتوانه‌ای قوی برای اعتبار این مدل به شمار می‌رود. این سه حالت، به دلیل اثرات دیگری که در این مدل ساده در نظر گرفته نشده‌اند، هرگز انرژی دقیقاً یکسان ندارند. با محاسبه مشابهی می‌توان نشان داد که با افزودن سه فونون چارقطبی به هسته، حالت‌های 0^+ ، 2^+ ، 3^+ ، 4^+ ، 6^+ به دست می‌آیند (مسئله ۱۵ را ببینید).

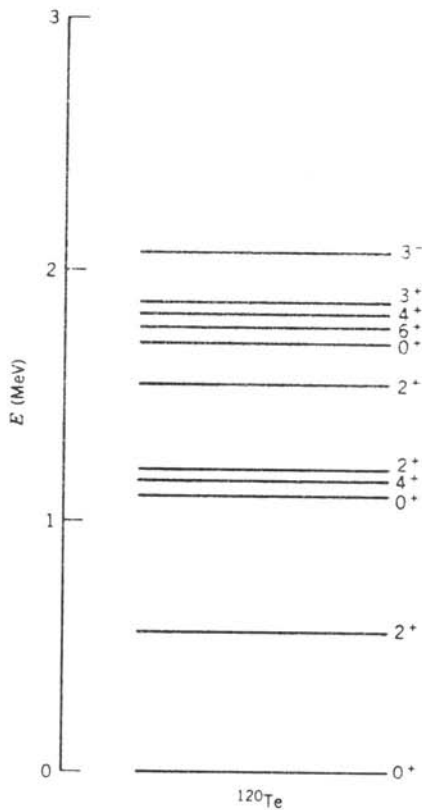
مد ارتعاشی بعدی، مد هشت قطبی $\lambda = 3$ است که حاوی سه واحد تکانه زاویه‌ای با پارامتر منفی است. با افزایش یک فونون منفرد هشت قطبی به حالت پایه 0^+ ، یک حالت 3^- حاصل می‌شود. معمولاً در انرژی‌های اندکی بالاتر از سه تاییهٔ دوفونونی، چنین حالت‌هایی را هم می‌توان در هسته‌های ارتعاشی پیدا کرد. وقتی به طرف انرژی‌های بالاتر می‌رویم، ساختار ارتعاشی به تدریج با ساختار برانگیزش ذره‌ای جایگزین می‌شود که با شکسته شدن یک زوج حالت پایه متناظر است. بررسی این گونه برانگیختگی‌ها بسیار پیچیده است، و جای بحث آن در ساختار جمعی هسته‌ها نیست.

مدل ارتعاشی متضمن چند پیش‌بینی است که می‌توان آنها را در آزمایشگاه مورد بررسی قرار داد. اگر شکل تعادل را کروی بگیریم، از گشتاور چارقطبی نخستین حالت 2^+ باید صرف‌نظر کرد. چنانکه در شکل ۱۶.۵ (ب) دیدیم، مقادیر این گشتاورها کوچک و اغلب در ناحیه $A < 150$ نزدیک به صفر هستند. گشتاور مغناطیسی نخستین حالت‌های 2^+ به صورت $2(Z/A)$ پیش‌بینی می‌شود که برای هسته‌های مورد نظر در گستره ۸ تا ۱۰۰ قرار می‌گیرد، و سازگاری قابل قبولی هم با آزمایش دارد. اگر حالت 4^+ را عضوی از سه تاییهٔ دوفونونی و حالت 2^+ را نخستین حالت برانگیخته بگیریم، نسبت $E(4^+)/E(2^+)$ برابر با ۲۰۰ پیش‌بینی می‌شود که طبق شکل ۱۵.۵ (ب)، در ناحیه $A < 150$ سازگاری قابل قبولی با آزمایش نشان می‌دهد. در فصل ۱۰، سازگاری قابل قبول دیگری را بین مقادیر تجربی و نظری احتمال گذار پرتوگاما خواهیم دید. نمونه‌ای از ساختار تراز انرژی‌های پایین را برای یک نوع هسته «ارتعاشی» در شکل ۱۹.۵ نشان داده‌ایم که در آن بسیاری از ویژگی‌های پیش‌بینی شده به آسانی قابل مشاهده است. بدین سان، می‌توان گفت که مدل ارتعاشی کروی تصویر نسبتاً دقیقی از ساختار این گونه هسته‌ها به دست می‌دهد.

دورانهای هسته‌ای

حرکت دورانی را تنها در هسته‌هایی می‌توان مشاهده کرد که شکل تعادل غیر کروی دارند. این هسته‌ها را که ممکن است تغییر شکل زیادی به نسبت شکل کروی در آنها رخ داده باشد، غالباً هسته‌های تغییر شکل یافته می‌گویند. این گونه هسته‌ها در گستره‌های جرمی $190 < A < 220$ و $150 < A > 220$ (خاکهای نادر و آکتینیدها) دیده می‌شوند. در شکل ۱۰.۵ دیدیم که گشتاور چارقطبی هسته‌های با عدد جرمی فرد نیز در این نواحی به طور استثنایی بزرگ است. شکل عمومی این نوع هسته‌ها را به صورت یک بیضیوار دوار (شکل ۲۰.۵) می‌توان نشان داد که سطح آن با معادلهٔ زیر توصیف می‌شود

$$R(\theta, \phi) = R_{av} [1 + \beta Y_{20}(\theta, \phi)] \quad (14.5)$$

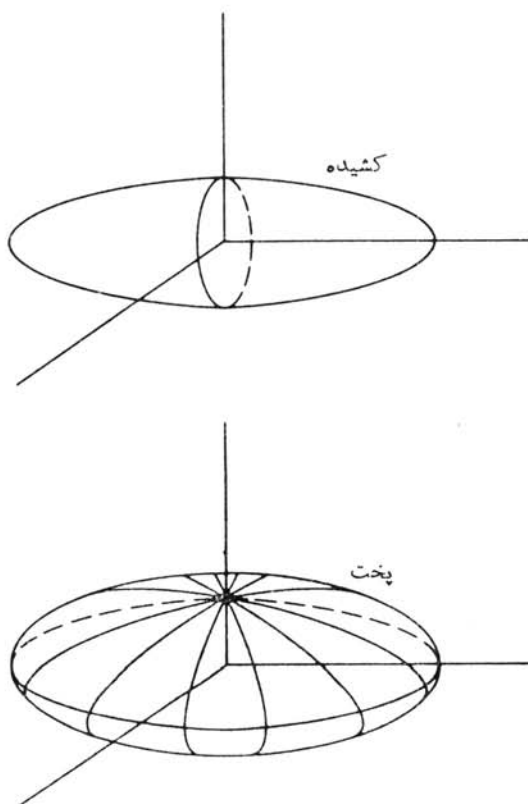


شکل ۱۹۰۵ ترازهای انرژی پایین در ^{120}Te . حالت تک فونون چار قطبی (اولین 2^+)، سه تاییه دو فونونی، و پنج تاییه سه فونونی را به آسانی می توان مشاهده کرد. حالت 3^- را می توان ناشی از ارتعاش هشت قطبی دانست. در انرژیهای بالاتر از ۲ MeV ساختار آنچنان پیچیده است که هیچ گونه نقش ارتعاشی در آن دیده نمی شود.

چون این معادله مستقل از ϕ است، هسته دارای تقارن استوانه ای می شود. رابطه بین پارامتر تغییر شکل β و خروج از مرکز بیضی به صورت زیر است

$$\beta = \frac{4}{3} \sqrt{\frac{\pi}{5}} \frac{\Delta R}{R_{av}} \quad (15.5)$$

که در آن ΔR اختلاف طول محورهای بزرگ و کوچک بیضی است. معمولاً شعاع متوسط هسته را به صورت $R_{av} = R_0 A^{1/3}$ در نظر می گیرند که چندان دقیق نیست. چون حجم هسته ای که با معادله (۱۴.۵) توصیف می شود کاملاً برابر $4/3 \pi R_{av}^3$ نمی شود، تقریب حاضر دقت زیادی ندارد (مسئله ۱۱ را ببینید). محور تقارن معادله (۱۴.۵) محور مرجعی



شکل ۲۰۰۵ شکل تعادل هسته‌های با تغییر شکل دائمی. اختلاف بین این طرح شکلها و شکل‌های ۱۷۰۵ و ۱۸۰۵ در آن است که این طرح شکلها تصاویری فوری از سطح متحرك هسته در يك لحظه خاص زمانی نیستند، بلکه شکل هسته را در حالت ایستا نشان می‌دهند.

است که زاویه θ نسبت به آن تعریف می‌شود. هنگامی که $\beta > 0$ باشد، هسته به صورت يك بیضیوار کشیده و طویل است؛ و هنگامی که $\beta < 0$ باشد، هسته به شکل يك بیضیوار پخت و پهن درمی‌آید.

یکی از نشانه‌های تغییر شکل پایدار در هسته، وجود گشتاور چار قطبی الکتریکی قابل توجه است که نمونه‌های آن در شکل ۱۰۰۵ نموده شده است. رابطه بین گشتاور چار قطبی و پارامتر تغییر شکل به صورت زیر است

$$Q_0 = \frac{3}{\sqrt{5\pi}} R_{av}^2 Z \beta (1 + 0.16\beta) \quad (16.5)$$

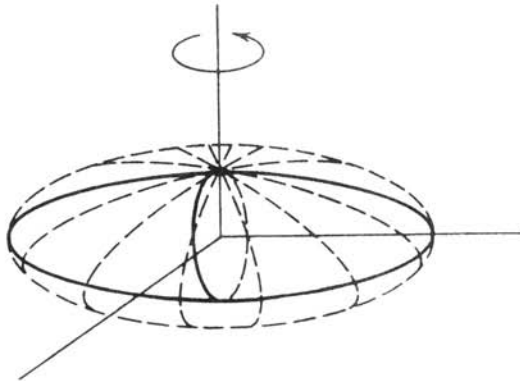
گشتاور چار قطبی Q_0 را گشتاور چار قطبی ذاتی می‌نامند و فقط در چارچوب مرجعی که نسبت به هسته در حال سکون باشد قابل مشاهده است. در چارچوب مرجع آزمایشگاه،

هسته حالت دورانی دارد و اندازه گیری گشتار چار قطبی آن به مقدار کاملاً متفاوت Q منتهی می‌شود. در واقع، چنانکه در شکل ۲۱۰۵ دیده می‌شود، از دوران يك توزیع ذاتی کشیده حول محوری که بر محور تقارن آن عمود باشد (دورانهای حول محور موازی بسا محور تقارن قابل مشاهده نیستند)، توزیعی حاصل می‌شود که متوسط زمانی آن به صورت پخت است. بنا بر این برای وقتی که $\langle Q_0 \rangle > 0$ باشد، خواهیم داشت $Q_0 < 0$. رابطه بین Q_0 و Q به تکانه زاویه‌ای هسته بستگی دارد: برای حالت‌های 2^+ داریم $Q_0 = - (2/7) Q$. مطابق شکل ۱۶۰۵ (ب)، برای هسته‌هایی که در ناحیه تغییر شکل دائمی پایدار قرار دارند ($150 \leq A \leq 190$)، داریم $Q \approx -2b$ که در این صورت $Q_0 = +7b$ خواهد شد. با توجه به معادله (۱۶۰۵) معلوم می‌شود که $\beta \approx 0.29$ است. این مقدار نشانگر انحراف قابل توجهی نسبت به هسته کروی است، به طوری که بنا بر معادله (۱۵۰۵)، اختلاف طول نیم محوره‌های بزرگ و کوچک در حدود ۳ ره شعاع هسته می‌شود.

انرژی جنبشی يك جسم دوار به صورت $\frac{1}{2} I \omega^2$ است، که در آن I گشتاور لختی جسم است. این مقدار انرژی را می‌توان بر حسب تکانه زاویه‌ای $I = \frac{2}{\omega} I$ به صورت $\frac{1}{2} I \omega^2$ نوشت. اگر مقادیر کوانتوم مکانیکی I^2 را در نظر بگیریم و عدد کوانتومی تکانه زاویه‌ای را با I نشان دهیم، بنا بر مکانیک کوانتومی انرژی جسم دوار چنین می‌شود

$$E = \frac{\hbar^2}{2I} I(I+1) \quad (17.5)$$

افزایش انرژی دورانی هسته با افزایش عدد کوانتومی I متناظر است، و از توالی حالت‌های برانگیخته هسته يك نوار دورانی به وجود می‌آید. (حالت‌های برانگیخته در مولکولها هم نوار دورانی تشکیل می‌دهند که در این مورد دوران مولکول حول مرکز جرم آن خواهد بود.) حالت پایه يك هسته Z زوج و N زوج، همیشه حالت 0^+ است و تقارن آینه‌ای



شکل ۲۱۰۵ از دوران يك توزیع کشیده ایستا حول محور عمود بر محور تقارن، يك توزیع پخت عملاً مسطح حاصل می‌شود.

هسته در این مورد خاص باعث می‌شود که تمامی حالت‌های دورانی به‌مقادیر زوج I محدود شوند. بنابراین، توالی حالت‌ها چنین خواهد شد

$$E(0^+) = 0$$

$$E(2^+) = 6 \frac{\hbar^2}{2\mathcal{I}}$$

$$E(4^+) = 20 \frac{\hbar^2}{2\mathcal{I}}$$

$$E(6^+) = 42 \frac{\hbar^2}{2\mathcal{I}}$$

$$E(8^+) = 72 \frac{\hbar^2}{2\mathcal{I}}$$

و همین‌طور تا آخر.

حالت‌های برانگیخته یک نمونه از هسته‌های دوار را در شکل ۲۲.۵ نشان داده‌ایم. نخستین حالت برانگیخته دارای انرژی $E(2^+) = 91.4 \text{ keV}$ است، و در نتیجه داریم

$$12^+ \text{ ————— } 2082.7$$

$$10^+ \text{ ————— } 1518.1$$

$$8^+ \text{ ————— } 1024.6$$

$$6^+ \text{ ————— } 614.4$$

$$4^+ \text{ ————— } 299.5$$

$$2^+ \text{ ————— } 91.4$$

$$0^+ \text{ ————— } 0$$

I انرژی (keV)

شکل ۲۲.۵ حالت‌های برانگیخته ناشی از دوران ^{164}Er در حالت پایه.

$\hbar^2/2g = 152 \text{ keV}$. انرژیهای چند حالت بعدی در این نوار دورانی حالت پایه عبارت‌اند از

$$E(4^+) = 20 \frac{\hbar^2}{2g} = 305 \text{ keV}, \quad (\text{اندازه گیری شده: } 300 \text{ keV})$$

$$E(6^+) = 42 \frac{\hbar^2}{2g} = 640 \text{ keV}, \quad (\text{اندازه گیری شده: } 614 \text{ keV})$$

$$E(8^+) = 72 \frac{\hbar^2}{2g} = 1097 \text{ keV}, \quad (\text{اندازه گیری شده: } 1025 \text{ keV})$$

ترازهای انرژی محاسبه شده کاملاً دقیق نیستند (شاید به این دلیل که هسته تا حدودی مثل شاره نوکلئونی عمل می‌کند و درست مانند جسم صلبی که گشتاور لختی ثابتی داشته باشد نیست)، اما آن قدر خوب هستند که مطمئن شویم دست کم ایده‌های تقریبی از منشأ ترازهای برانگیخته در اختیار داریم. بویژه نسبت $E(4^+)/E(2^+)$ برابر با ۳٫۳۳ پیش بینی می‌شود که سازگاری در خورتوجهی با نتایج ترازهای هسته‌های $150 < A < 190$ دارد.

با بررسی گشتاور لختی هسته تغییر شکل یافته در دو حالت حدی می‌توان اطلاعاتی از ساختار این گونه هسته‌ها به دست آورد. گشتاور لختی حالت صلب یک بیضیوار دوار به جرم M که سطح آن با معادله (۱۴۰۵) مشخص می‌شود، عبارت است از

$$J_r = \frac{2}{5} MR_{av}^2 (1 + 0.31\beta) \quad (14.5)$$

که اگر $\beta = 0$ باشد، مقدار آن با گشتاور لختی یک کره توپر برابر می‌شود. با استفاده از این معادله، مقدار ثابت انرژی دورانی یک هسته در ناحیه تغییر شکل ($A \approx 170$) چنین می‌شود

$$\frac{\hbar^2}{2J_r} \cong 6 \text{ keV}$$

مرتبه بزرگی این مقدار ثابت درست است، ولی مقدار آن در مقایسه با مقادیر تجربی [حدود ۱۵ keV برای $E(2^+) = 90 \text{ keV}$] خیلی کم است. یعنی، گشتاور لختی حالت صلب باید مضرب ۲ تا ۳ بزرگتر از مقدار مورد انتظار است. اکنون اگر حالت حدی دیگر را در نظر بگیریم و هسته را به صورت شاره‌ای که در یک ظرف بیضیوار دوار قرار گرفته است تصور کنیم، گشتاور لختی آن چنین خواهد شد

$$J_r = \frac{9}{8\pi} MR_{av}^2 \beta \quad (19.5)$$

که با استفاده از آن، مقدار ثابت انرژی دورانی به صورت زیر برآورد می‌شود

$$\frac{\hbar^2}{2I_r} \cong 90 \text{ keV}$$

پس معلوم می‌شود که گشتاور لختی شاره خیلی کوچک است، و در نتیجه خواهیم داشت $I_r > I_r > I_r$. بنابراین رفتار دورانی هسته‌ها را می‌توان به صورت رفتار بینابینی جسم صلب و جسم شاره‌ای توضیح داد. ذرات جسم صلب قویاً در قید یکدیگرند، در حالی که در شاره‌ها قید ذرات با یکدیگر خیلی ضعیف است. (شاید با توجه به شناختی که از نیروی هسته‌ای داریم، باید می‌توانستیم این نتیجه را حدس بزنیم. نیروی قوی فقط بین یک نوکلئون و نوکلئونهای دیوار به دیوار آن وجود دارد، و درست به همین دلیل است که ساختار بلندبردی را که مشخصه جسم صلب است نمی‌توان از هسته انتظار داشت.) یکی دیگر از نشانه‌های صلب نبودن هسته، افزایش گشتاور لختی آن در تکانه‌های زاویه‌ای زیاد یا بسامدهای دورانی زیاد است. این اثر که آن را «کشیدگی گریز از مرکز» می‌نامند، اغلب در واکنش‌های یون سنگین دیده می‌شود که در بخش ۱۳.۱۱ درباره آنها بحث خواهد شد.

البته هسته هیچ‌گونه «ظرفی» ندارد که به شاره دوار شکل بدهد، بلکه این همان پتانسیل ناشی از نوکلئونهای درون هسته است که شکل هسته را تعیین می‌کند. مطلب بعدی این است که ببینیم آیا مفهوم شکل برای یک هسته دوار معنایی دارد یا نه. اگر دوران هسته در مقایسه با سرعت نوکلئونهای موجود در «مدار» که با پتانسیل هسته‌ای (واز دید چارچوب مرجع در حال سکون نسبت به هسته) مشخص می‌شود خیلی سریع باشد، در این صورت چون حرکت نوکلئونها تحت الشعاع دوران هسته قرار می‌گیرد، مفهوم شکل ایستای هسته خیلی بامعنی نیست. انرژی جنبشی متوسط هر یک از نوکلئونهای هسته، از مرتبه 20 MeV و تقریباً متناظر با سرعت $2c$ است. این مقدار برآورد معقولی از سرعت حرکت نوکلئونهای درون هسته به دست می‌دهد. سرعت زاویه‌ای یک حالت دورانی از رابطه $\omega = \sqrt{2E/I}$ به دست می‌آید، که در آن E انرژی حالت مورد نظر است. برای نخستین حالت دورانی داریم $\omega \cong 1.1 \times 10^{20} \text{ rad/s}$ ، و در این صورت نوکلئونی که نزدیک به سطح هسته باشد با سرعت معامسی $v \cong 0.5c$ دوران خواهد کرد. بدین ترتیب معلوم می‌شود که حرکت دورانی در مقایسه با حرکت درونی خیلی کندتر است. بنا بر این تصویر درست یک هسته تغییر شکل یافته دوار همانند شکل تعادل پایداری است که در اثر حرکت درونی سریع نوکلئونها در پتانسیل هسته‌ای حاصل می‌شود، و در حالی که این توزیع نوکلئونی به‌طور نسبتاً کند دوران می‌کند این دوران تأثیر چندانی بر ساختار هسته یا بر مدارهای نوکلئونی نخواهد داشت. (به‌همین دلیل، مدل دورانی را گاهی مدل «بی‌درو» می‌گویند.)

تشکیل انواع دیگر حالت‌های برانگیخته که نوارهای دورانی جدیدی به وجود

می‌آورند نیز امکان‌پذیر است. نمونه‌هایی از این‌گونه حالتها که به دلیل تغییر دادن ساختار ذاتی هسته حالت‌های ذاتی نامیده می‌شوند، عبارت‌اند از: حالت‌های ارتعاشی (که در آن هسته حول يك شكل تعادل تغییر شکل یافته ارتعاش می‌کند) و برانگیختگی ذره‌ای زوج - شکن. اگر اسپین حالت ذاتی غیر صفر باشد، نوار دورانی مبتنی بر آن حالت به ترتیب دارای مقادیر اسپین $I, I+1, I+2, \dots$ خواهد شد. حالت‌های ارتعاشی هسته‌های تغییر شکل یافته بر دو نوع است: ارتعاشهای β که طی آن پارامتر تغییر شکل β نوسان می‌کند و هسته تقارن استوانه‌ای اش را حفظ می‌کند، و ارتعاشهای γ که طی آن تقارن استوانه‌ای هسته نقض می‌شود. (اگر هسته را به صورت توپ فوتبال در نظر بگیریم، ارتعاشهای بتا به بالا و پایین رفتن دوسر توپ و ارتعاشهای گاما به جلو و عقب رفتن دو پهلوی آن مربوط می‌شود). هر دو حالت ارتعاشی و برانگیزش ذره‌ای در انرژی‌های حدود ۱ MeV اتفاق می‌افتند، در حالی که فواصل انرژی دورانی خیلی خیلی از این مقدار کمتر است (از مرتبه $10 - 20 \text{ keV} \approx \hbar^2/2J$).

در شکل ۲۳.۵، ساختار کامل هسته ^{164}Er را در انرژی پایین نشان داده‌ایم. اگر چه از کل مجموعه حالت‌های برانگیخته هیچ نقش مشخصی به دست نمی‌آوریم، ولی این حالتها را با توجه به اسپین - پارینه‌شان می‌توان به صورت نوارهای دورانی با فواصل مشخصه $I(I+1)$ دسته‌بندی کرد. برای شناسایی ساختار هسته، از خواص دیگر حالت‌های برانگیخته (مانند احتمال گسیل پرتو گاما) هم می‌توان کمک گرفت.

حرکت‌های جمعی دورانی و ارتعاشی هر دو باعث تولید گشتاور مغناطیسی در هسته می‌شوند. حرکت پروتونها را می‌توان به صورت يك جریان الکتریکی در نظر گرفت، و در این صورت گشتاور مغناطیسی ناشی از يك پروتون منفرد با عدد کوانتومی تکانه زاویه‌ای I عبارت است از $\mu = I\mu_N$. اما چنانکه می‌دانیم، کل تکانه زاویه‌ای يك هسته صرفاً از پروتونهای آن حاصل نمی‌شود بلکه نوترونهای هسته هم در ایجاد تکانه زاویه‌ای کل سهیم‌اند. اگر حرکت جمعی پروتونها و نوترونهای درون هسته را یکسان بگیریم (که فرضی است معقول ولی نه چندان دقیق)، سهم تقریبی پروتونها را در ایجاد تکانه زاویه‌ای کل هسته به نسبت Z/A به دست خواهیم آورد. (در اینجا فرض می‌کنیم که حرکت جمعی نوترونها دخالتی در تولید گشتاور مغناطیسی هسته ندارد، و همچنین فرض می‌کنیم که همه نوترونها و پروتونها به صورت دوه‌دو با هم جفت شده‌اند بطوری که گشتاور مغناطیسی ناشی از اسپین نیز در گشتاور مغناطیسی هسته سهمی ندارد.) بدین ترتیب، گشتاور مغناطیسی يك حالت دورانی یا ارتعاشی با تکانه زاویه‌ای I در مدل جمعی چنین پیش‌بینی می‌شود

$$\mu(I) = I \frac{Z}{A} \mu_N \quad (20.5)$$

برای هسته‌های سبک که در آنها $Z/A \approx 0.5$ است، داریم $\mu(2) \approx +1\mu_N$ ؛ در حالی که برای هسته‌های سنگین که در آنها $Z/A \approx 0.4$ است، داریم $\mu(2) \approx +0.8\mu_N$.

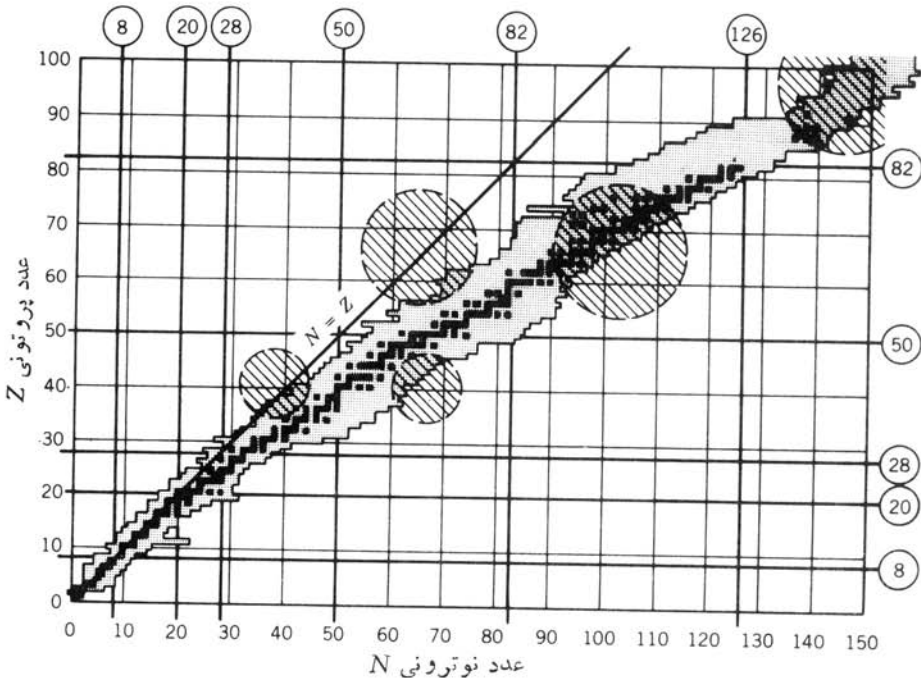


شکل ۲۳۰۵ حالت‌های ^{164}Er در انرژی پایینتر از ۲ MeV. اکثر حالتها را می‌توان در سه نوار دورانی جای داد که به ترتیب عبارت‌اند از: حالت پایه هسته تغییر شکل یافته، ارتعاش نوع گاما (که در آن ارتعاش سطوح بر محور تقارن عمود است)، و ارتعاش نوع بتا (که در آن ارتعاش سطوح به موازات محور تقارن است). منشأ بسیاری از حالت‌های برانگیخته دیگر را می‌توان در برانگیزش ذره‌ای زوج-شکن و نوارهای دورانی مربوط به آن جستجو کرد.

با توجه به شکل ۱۶.۵ (الف) معلوم می‌شود که به‌استثنای مورد هسته‌های با پوسته پر (که مدل جمعی برای آنها معتبر نیست)، مقادیر گشتاور مغناطیسی حالت‌های 2^+ در سایر موارد بخوبی با این پیش‌بینی سازگار است.

به عنوان آخرین نکته در این آشنایی مختصر با حرکت جمعی هسته، باید بگوئیم که منشأ رفتار جمعی را با رهیافتی میکروسکوپی‌تر در ساختار هسته جستجو کنیم. این قضیه بویژه در مورد هسته‌های دورانی با تغییر شکل دائمی صادق است. قبلاً دیده‌ایم که مدل پوسته‌ای را می‌توان بایک پتانسیل کروی متقارن بخوبی برای بسیاری از هسته‌ها به‌کاربرد. وقتی که به هسته انرژی می‌دهیم، به آسانی می‌توانیم پتانسیل مدل پوسته‌ای را در اطراف وضع تعادل در حال ارتعاش تصور کنیم. در این صورت، حرکت ارتعاشی هسته را به‌طور طبیعی می‌توان به کمک مدل پوسته‌ای بررسی کرد. چنانکه در بحث از ساختار ^{130}Sn در آغاز این بخش گفتیم، ساختار ارتعاشی جمعی را حتی با رهیافت میکروسکوپی‌تر هم می‌توان

بررسی کرد. برای نمونه، می‌توان تمام نوکلئونهای ظرفیت (یعنی نوکلئونهای خارج از پوسته‌های بسته) را در نظر گرفت، تمام جفت‌شدگیهای ممکن که منجر به اسپین 2^+ می‌شوند (از جمله آنهایی که زوج-شکن هستند) را پیدا کرد، و کوشید که ترکیب درست تابع‌موجهایی را که نخستین حالت برانگیخته مورد مشاهده 2^+ را تولید می‌کنند به دست آورد. اگر تعداد جفت‌شدگیهای ممکن زیاد باشد، این روش ممکن است از لحاظ ریاضی پیچیدگی داشته باشد. اما مدل پوسته‌ای مبنای این روش، اساساً اختلاف چندانی با مدل ذره کاملاً مستقل که در بخش قبلی بررسی شد ندارد. این رهیافت برای هسته‌های کروی کارایی دارد، ولی به طور طبیعی به یک هسته دورانی با تغییر شکل دائمی منجر نمی‌شود. سؤال بسیار حساسی که در اینجا مطرح می‌شود این است: مدارهای مدل پوسته‌ای که با استفاده از پتانسیل کروی محاسبه می‌شوند، چگونه به یک هسته غیر کروی منجر می‌شوند؟ با روی هم قرار دادن یک نمودار «اعداد جادویی» و یک نمودار انواع هسته‌های شناخته شده، همچنانکه در شکل ۲۴.۵ می‌بینیم، به جواب این سؤال نزدیک می‌شویم.



شکل ۲۴.۵ مناطق هاشورخورده، نواحی دور از پوسته‌های پر هستند که انتظار داریم اثرات دسته‌جمعی تعداد زیادی از ذرات منفرد و ترکیب چندین حالت مدل پوسته‌ای به پیدایش یک تغییر شکل دائمی در هسته منجر شود. این گونه هسته‌های تغییر شکل یافته را در تمامی نواحی همپوشی بین مناطق هاشورخورده و مناطق مر بوط به انواع هسته‌های شناخته شده شناسایی کرده‌اند.

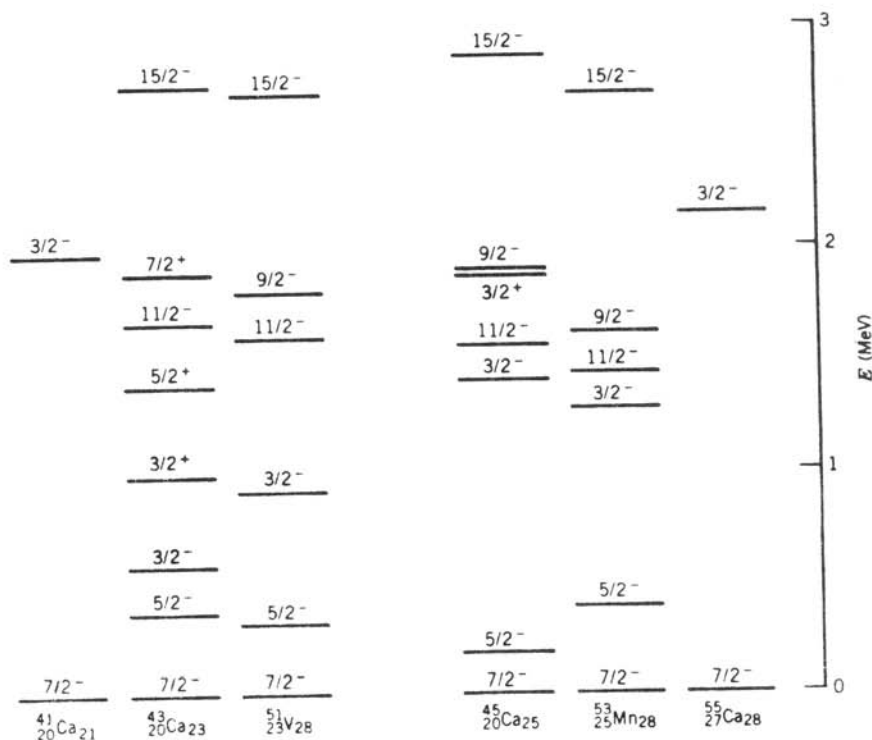
هسته‌های تغییر شکل یافته را فقط در نواحی دور از پوسته‌های کامل نوترونی و پروتونی می‌توان یافت. درست همان‌طور که تشریح مساعی چندزوج نوکلئونی خارج از پوسته پر به ساختار میکروسکوپیک ارتعاشی هسته‌های کروی منجر می‌شود، تشریح مساعی چندین زوج از نوکلئونهای ظرفیت هم می‌تواند آنچنان تغییری در هسته مرکزی نوکلئونها به وجود آورد که شکل تعادل هسته قویاً دگرگون شود.

۳.۵ مدل‌های هسته‌ای واقعیت‌تر

مدل پوسته‌ای هسته‌های A فرد و مدل جمعی هسته‌های زوج-زوج، هر دو ایده آل‌سازیهایی هستند که فقط به‌طور تقریبی برای هسته‌های واقعی قابل استفاده‌اند. ساختار هسته‌های واقعی خیلی پیچیده‌تر از آن چیزی است که در این مدل‌های ساده مطرح می‌شود. بعلاوه، در هسته‌های واقعی نمی‌توان یک نوع ساختار را در نظر نگرفت و فقط نوع دیگر را مطرح کرد. از این رو، حتی در هسته‌های با خواص شدیداً جمعی نیز با اثرات ذره منفرد روبه‌رو می‌شویم. ضمناً بخش مرکزی هسته‌های مدل پوسته‌ای هم می‌تواند در خواص جمعی آن نقشی داشته باشد که تاکنون در این نوع بررسیها از آن صرف‌نظر کرده‌ایم. ساختار بسیاری از هسته‌ها را نمی‌توان به‌سادگی در یک گروه از دسته‌بندی دوگانه ذره منفرد و حرکت جمعی قرار داد، بلکه معمولاً لازم است که ترکیبی از هر دو مدل را برای توصیف ساختار هسته در نظر بگیریم. این مدل هسته‌ای وحدت‌یافته از لحاظ ریاضی پیچیده‌تر از آن است که در اینجا مطرح شود، و به همین جهت ما در اینجا صرفاً برخی از خواص هسته‌ها را شرح می‌دهیم و می‌کوشیم رابطه آنها را با وجوه بنیادین مدل‌های پوسته‌ای و جمعی نشان دهیم.

مدل پوسته‌ای چند ذره‌ای

در بررسی مدل پوسته‌ای، فقط اثرات ناشی از آخرین تک‌ذره تزویج نشده را در نظر گرفتیم. رهیافت واقع‌بینانه‌تر برای هسته‌های A فرد این است که تمام ذرات خارج از پوسته‌های پر را در نظر بگیریم. برای نمونه هسته‌های Z فرد یا N فرد را در فاصله بین ۲۵ تا ۲۸ در نظر می‌گیریم که در این صورت نوکلئونهای فرد در پوسته $f_{7/2}$ قرار دارند. برای سهولت، بحثمان را فقط به یک نوع نوکلئون محدود می‌کنیم و نوکلئون نوع دیگر را نه فقط با تعداد زوج بلکه با یک عدد جادویی در نظر می‌گیریم. در شکل ۲۵.۵، حالت‌های برانگیخته انرژی پایین را برای چندتا از این هسته‌ها نشان داده‌ایم. هسته‌هایی که ساختارشان توسط یک ذره منفرد تعیین می‌شود (${}^{41}\text{Ca}$ و ${}^{55}\text{Co}$)، ترازهای مورد انتظار را نشان می‌دهند: حالت پایه $(7/2)^-$ که متناظر با ذره منفرد $f_{7/2}$ با پارته فرد است (و یا متناظر با تهیجای نوکلئونی در ${}^{55}\text{Co}$ است، زیرا یک حفره یا تهیجای منفرد در پوسته مانند یک ذره منفرد عمل می‌کند)؛ و حالت برانگیخته $(3/2)^-$ در انرژی حدود 2MeV



شکل ۲۵۰۵ حالت‌های برانگیخته چند هسته که در پوسته $f_{7/2}$ دارای نوکلئونهای ظرفیت‌اند. تمام ترادهای زیر ۲ MeV نموده شده‌اند، و حالت $(15/2)^-$ نیز بدانها افزوده شده است.

که با برانگیزش ذره منفرد با پارینه فرد به حالت $p_{3/2}$ متناظر است. هسته‌هایی که ۳ یا ۵ ذره در تراز $f_{7/2}$ دارند، طیف حالت‌هایشان خیلی غنی‌تر است، و مخصوصاً باید توجه داشت که حالت‌های خیلی کم انرژی با پارینه منفی را نمی‌توان به کمک مدل پوسته‌ای تک‌ذره‌ای توضیح داد. برای نمونه اگر حالت $(5/2)^-$ از برانگیختگی یک ذره منفرد و انتقال آن به پوسته $f_{5/2}$ حاصل شود، چون تراز $f_{5/2}$ بالاتر از تراز $p_{3/2}$ قرار می‌گیرد (شکل ۶۰۵) انتظار داریم که این حالت با انرژی بیش از ۲ MeV ظاهر شود. پایینترین تراز $(5/2)^-$ در هسته‌های تک‌ذره در انرژی ۲۶ MeV (در مورد ^{40}Ca) و ۳۳ MeV (در مورد ^{55}Co) دیده می‌شود.

در اینجا برای نشان دادن پیکربندی n ذره‌ای پوسته $f_{7/2}$ از نمادگذاری اختصاری $(f_{7/2})^n$ استفاده می‌کنیم، و مقادیر برآیند ممکن I را برای پیکربندی $(f_{7/2})^3$ مورد بررسی قرار می‌دهیم. (به خاطر تقارن بین ذرات و حفره‌ها، ترازهای مربوط به سه حفره یا پنج ذره در پوسته $f_{7/2}$ با ترازهای سه ذره یکسان خواهد بود.) نوکلئونها چون اسپین نیم‌درست دارند، باید از اصل پاؤلی پیروی کنند، و در نتیجه هیچ دو ذره‌ای نمی‌توانند مجموعه اعداد کوانتومی یکسان داشته باشند. تکانه زاویه‌ای هر ذره در مدل پوسته‌ای

به صورت $z = 7/2$ توصیف می‌شود که تصاویر آن (m) در راستای z دارای مقادیر $\pm 1/2, \pm 3/2, \pm 5/2, \pm 7/2$ است. بنا بر اصل پاؤلی، مقادیر m برای این سه ذره با هم متفاوت است. در این صورت، فوراً معلوم می‌شود که حداکثر بزرگی تصویر برابرند برای این سه ذره ($M = m_1 + m_2 + m_3$) برابر است با $(15/2) = (7/2) + (5/2) + (3/2)$ [اگر اصل پاؤلی را در نظر نگیریم، حداکثر بزرگی تصویر برابر ۲۱/۲ خواهد شد]. بنا بر این، انتظار می‌رود که در پیکر بندی $(f_{7/2})^3$ مقدار I متناظر به هیچ حالتی بزرگتر از $15/2$ نباشد. بیشینه تکانه زاویه‌ای برابرند در این مورد برابر $I = 15/2$ است که می‌تواند تمام مقادیر ممکن M را از $15/2$ تا $-15/2$ به خود بگیرد. مقدار بعد از حداکثر M برابر $13/2$ است که فقط از مجموع $1/2 + 5/2 + 7/2$ قابل حصول است (مجموعه‌های $3/2 + 3/2 + 7/2$ و $1/2 - 1/2 + 7/2 + 7/2$ مجاز نیستند). این حالت منفرد $M = 13/2$ باید به همان M حالتی که قبلاً به پیکر بندی $I = 15/2$ نسبت دادیم متعلق باشد، یعنی امکان ندارد که برابندی به صورت $I = 13/2$ در این پیکر بندی وجود داشته باشد. با ادامه این بحث معلوم می‌شود که برای مقدار

$$M = +\frac{11}{2} \left(+\frac{7}{2} + \frac{3}{2} + \frac{1}{2} \text{ و } +\frac{7}{2} + \frac{5}{2} - \frac{1}{2} \right)$$

دو امکان وجود دارد، یعنی دو حالت ممکن برای $M = +11/2$ قابل تصور است: یکی از این دو حالت برای پیکر بندی $I = 15/2$ است و دیگری حالتی است که به پیکر بندی $I = 11/2$ نسبت می‌دهیم. با تکمیل این بحث، حالت‌های ممکن برای پیکر بندی $(f_{7/2})^3$ یا $(f_{7/2})^5$ را چنین به دست می‌آوریم: $3/2, 5/2, 7/2, 9/2, 11/2, 15/2$. چون هر ذره از پیکر بندی‌های سه ذره‌ای یا پنج ذره‌ای پاریته منفی دارد، پاریته برابند به صورت $(-1)^3$ است. هسته‌هایی که در شکل ۲۵.۵ نشان داده شده‌اند، حالت‌های کم انرژی با پاریته منفی را با اسپین‌های مورد انتظار نشان می‌دهند [همچنین عدم امکان حالت‌های $(1/2)^-$ و $(13/2)^-$ نیز چنانکه انتظار می‌رود، مشخص شده است].

این تحلیل اگرچه نسبتاً موفق است، ولی کامل نیست. در صورتی که تمام ذرات ظرفیتی را واقعاً مستقل و معادل در نظر بگیریم، انرژی هر تراز باید مستقل از سمگتیری مقادیر متفاوت m باشد. این بدان معنی است که تمامی برابندهای I باید انرژی یکسان داشته باشند. این نتیجه گیری حتی به طور تقریبی هم درست نیست. مثلاً در مورد چند تاییه $(f_{7/2})^3$ ، فاصله انرژی بین بالاترین و پایینترین تراز انرژی برابر 277 MeV است که مقدار آن در همان حدود انرژی برهم کنش‌های زوج شکنی و برانگیزش ذره‌ای است. این گونه شکافتگی انرژی را با فرض برهم کنش باقیمانده بین ذرات ظرفیت می‌توان توضیح داد. بدین ترتیب، ساختار تراز انرژی این هسته‌ها وسیله‌ای برای بررسی برهم کنش نوکلئون-نوکلئون در یک محیط جدید در اختیار ما می‌گذارد که با آنچه در بررسی نوکلئون آزاد در فصل ۴ دیدیم متفاوت است.

به‌عنوان آخرین کلام، یکی دیگر از ویژگیهای عام پیکر بندیهای n ذره‌ای يك پوسته را بدون اثبات در اینجا ذکر می‌کنیم. این نکته که با آزمون تجربی قابل تحقیق است، بدین صورت است که گشتاور مغناطیسی هر پیکر بندی متناسب با تکانه زاویه‌ای آن I خواهد بود. یعنی اگر دو حالت مختلف ۲ و ۱ متعلق به يك پیکر بندی مشخص را در نظر بگیریم، داریم

$$\frac{\mu_1}{\mu_2} = \frac{I_1}{I_2} \quad (۲۱۰۵)$$

متأسفانه تعداد موارد کاملاً مشخص گشتاور مغناطیسی حالت برانگیخته کمتر از آن است که این پیش‌بینی قابل تحقیق باشد. در مورد ۵۱۷ می‌دانیم که گشتاور مغناطیسی حالت پایه برابر $\mu = +۵۱۵۱۴ \pm ۰۰۰۰۰۱ \mu_N$ و گشتاور نخستین حالت برانگیخته برابر $\mu = +۳۸۸۶ \pm ۰۰۳۳ \mu_N$ است. نسبت بین این دو گشتاور برابر ۱۰۱۱ ± ۱۳۳ می‌شود که با نسبت مورد انتظار $۱۳۴ = (۷/۲)/(۵/۲)$ سازگار است. نسبت بین گشتاورها برای همان حالتها در مورد ^{۵۳}Mn برابر

$$\frac{۵۰۲۴ \pm ۰۰۰۰۷ \mu_N}{۳۲۵ \pm ۰۰۳۰ \mu_N} = ۱۵۵ \pm ۰۱۴$$

می‌شود. بدین گونه می‌توان گفت که شواهد حاصل از گشتاور مغناطیسی، فرض اولیه ما را درباره ماهیت این حالتها تأیید می‌کند.

حالتهای تک-ذره‌ای در هسته‌های تغییر شکل یافته

ترازهای انرژی مدل پوسته‌ای هسته بر پایه فرض کروی بودن پتانسیل هسته‌ای محاسبه می‌شوند. اما می‌دانیم که این فرض برای هسته‌های موجود در گستره $۱۹۰ \leq A \leq ۱۵۰$ و $A > ۲۳۰$ درست نیست. برای این گونه هسته‌ها باید از پتانسیلی در مدل پوسته‌ای استفاده کنیم که تقریبی از شکل واقعی هسته، یعنی بیضیوار دوار، باشد. در محاسبات معادله شرودینگر با پتانسیل غیر کروی، تکانه زاویه‌ای l دیگر به صورت عدد کوانتومی «خوب» نیست. یعنی، حالت‌های پتانسیل غیر کروی را نمی‌توان مثل مورد مدل پوسته‌ای کروی با نمادهای طیف نمودی (s, p, d, f ، و غیره) مشخص کرد. به عبارت دیگر، حالت‌های حاصل از مدل غیر کروی به صورت مخلوطی از مقادیر مختلف l هستند (که با در نظر گرفتن پارامتر، انتظار داریم این مخلوط فقط از مقادیر زوج l یا فقط از مقادیر فرد l تشکیل شود).

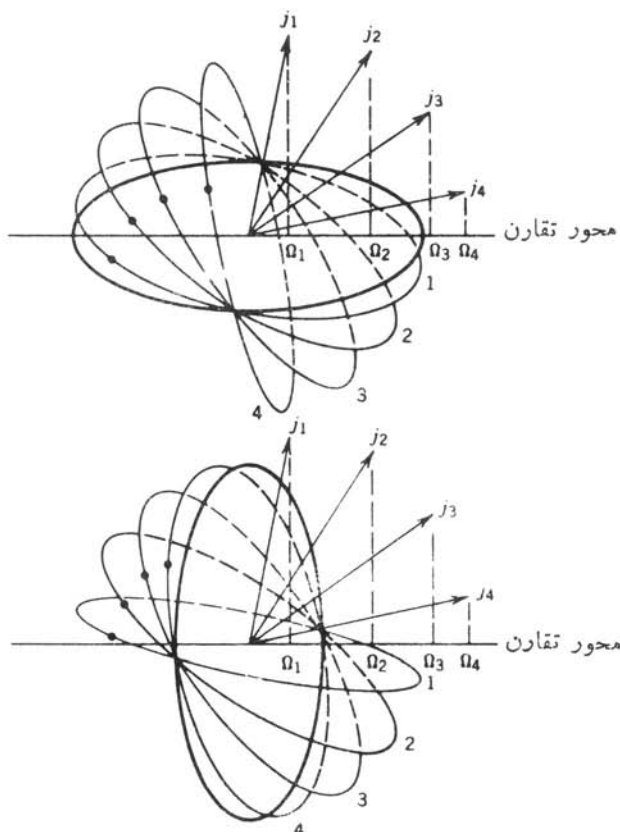
در مورد پتانسیل کروی، ترازهای انرژی هر حالت از ذره منفرد دارای واگنسی $(۲j+۱)$ است. (این بدان معنی است که تمامی سمتگیرهای بردار \mathbf{j} که تعداد آنها نسبت به هر محور دلخواه به $۲j+۱$ می‌رسد، با هم معادل هستند.) این واگنی ترازها یا هم‌ارزی سمتگیرها، دیگر برای پتانسیلی که تغییر شکل داده است معتبر نیست و ترازهای انرژی پتانسیل تغییر شکل یافته به سمتگیری فضایی مدار بستگی دارد. دقیقتر بگوییم،

انرژی هر تراز به مؤلفه J در راستای محور تقارن قلب هسته بستگی پیدا می‌کند. برای نمونه، یک نوکلئون $f_{\nu/2}$ می‌تواند دارای هشت مؤلفه مجاز J باشد که مقدار آنها از $7/2 -$ تا $7/2 +$ تغییر می‌کند. این مؤلفه J در راستای محور تقارن را عموماً با Ω نشان می‌دهند. چون هسته‌ها نسبت به جهات دوگانه محور تقارن دارای تقارن آیندای هستند، انرژی مؤلفه‌های $\Omega +$ و $\Omega -$ با هم مساوی و در نتیجه واگنی هر تراز برابر ۲ خواهد شد. یعنی اگر پتانسیل مرکزی تغییر شکل پیدا کند، حالتی که قبلاً با نماد $f_{\nu/2}$ مشخص شد به چهار حالت شکافته می‌شود که عبارت‌اند از $7/2, 5/2, 3/2, 1/2 = \Omega$ که پاریته همه آنها منفی است. «مدار»های مجاز مختلف ذره فرد را برای تغییر شکل‌های کشیده و پخت در شکل ۲۶.۵ نشان داده‌ایم. در تغییر شکل کشیده، مداری که کوچکترین مقدار ممکن Ω (مساوی $1/2$) را داراست قویترین برهم‌کنش را با قلب هسته خواهد داشت، بدین ترتیب بستگی این مدار از همه بیشتر و انرژی آن از همه پایینتر است. در تغییر شکل پخت، با وضعیت متفاوتی روبرو می‌شویم. در این مورد، مداری که بزرگترین مقدار Ω (مساوی $7/2$) را داراست قویترین برهم‌کنش و پایینترین انرژی را خواهد داشت. چگونگی شکافته شدن حالت‌های $f_{\nu/2}$ ، در اثر افزایش تغییر شکل هسته، در شکل ۲۷.۵ نموده شده است.

البته باید به خاطر داشته باشیم که شکل‌های ۲۶.۵ و ۲۷.۵ چندان دقیقی ندارند، زیرا اعداد کوانتومی l و z که با استفاده از پتانسیل کروی برای ذره منفرد به دست آمده‌اند در مورد پتانسیل تغییر شکل یافته فاقد اعتبارند. برای مثال، حالت پاریته - منفی $\Omega = 5/2$ را نمی‌توان همان حالت $f_{\nu/2}$ دانست، هر چند که وقتی $\beta \rightarrow 0$ تفاوت بین این دو حالت از میان می‌رود. تابع موج حالت $\Omega = 5/2$ را می‌توان به صورت مخلوطی (یا یک ترکیب خطی) از تعداد زیادی l و z مختلف نوشت (برای آنکه مؤلفه $5/2$ حاصل شود، فقط مقادیر $5/2 \geq z$ را باید در نظر گرفت). معمولاً تقریب را به صورتی در نظر می‌گیرند که پوسته‌های اصلی مختلف نوسانگر (شکل‌های ۴.۵ و ۶.۵) با هم مخلوط نمی‌شوند. بنابراین، برای نمونه، حالت $\Omega = 5/2$ که در شرایط $\beta \rightarrow 0$ به سمت تراز $2 f_{\nu/2}$ میل می‌کند، فقط شامل بعضی از حالت‌های پوسته پنجم نوسانگر ($2 f_{5/2}, 2 f_{7/2}$)، $1 h_{9/2}$ ، $1 h_{11/2}$) خواهد بود. پوسته‌های چهارم و ششم نوسانگر، پاریته متقابل دارند و در نتیجه قابل اختلاط نیستند. پوسته‌های پاریته - فرد بعدی نیز خیلی از هم فاصله دارند و نمی‌توانند بخوبی با هم مخلوط شوند. اگر تابع موجهای کروی را با ψ_{Nlj} نشان دهیم، باید داشته باشیم

$$\psi'(\Omega) = \sum_{lj} a(Nlj) \psi_{Nlj} \quad (22.5)$$

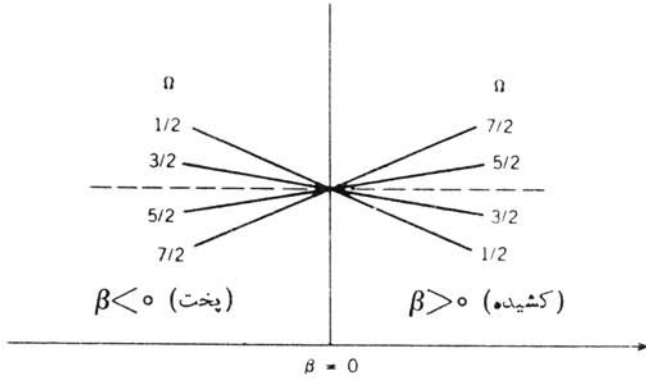
که در آن $\psi'(\Omega)$ معرف تابع موج حالت تغییر شکل یافته Ω است و $a(Nlj)$ ضرایب بسط هستند. برای حالت $\Omega = 5/2$ داریم



شکل ۲۶۰۵ مدارهای ذره منفرد با $j=7/2$ و تصاویر مجاز آن در راستای محور تقارن. تغییر شکل کشیده در بالا و تغییر شکل پخت در پایین نشان داده شده است. تصاویر مجاز عبارت‌اند از $\Omega_1 = 1/2$ ، $\Omega_2 = 3/2$ ، $\Omega_3 = 5/2$ و $\Omega_4 = 7/2$. (برای وضوح شکل، فقط تصاویر مثبت را نشان داده‌ایم). توجه داشته باشید که در مورد هسته کشیده، مدار ۱ (به‌طور متوسط) از همه مدارهای دیگر به‌قلب هسته نزدیک‌تر است و از همه قوی‌تر با آن برهم‌کنش می‌کند، در حالی که در مورد هسته پخت، مدار ۴ قوی‌ترین برهم‌کنش را با قلب هسته خواهد داشت.

$$\psi'(\Omega) = a\left(\Omega_3 \frac{5}{2}\right)\psi_{\Omega_3 \frac{5}{2}} + a\left(\Omega_3 \frac{7}{2}\right)\psi_{\Omega_3 \frac{7}{2}} + a\left(\Omega_5 \frac{9}{2}\right)\psi_{\Omega_5 \frac{9}{2}} + a\left(\Omega_5 \frac{11}{2}\right)\psi_{\Omega_5 \frac{11}{2}} \quad (23.5)$$

ضرایب $a(Nlj)$ را می‌توان از حل معادله شرودینگر با پتانسیل تغییر شکل یافته به‌دست آورد، که محاسبه آن نخستین بار در سال ۱۹۵۵ توسط نیلسون انجام شد. مقدار این



شکل ۲۷.۵ نتیجه سمتگیریهایی مختلف مدار $f_{7/2}$ را مستقیماً در این شکل نشان داده‌ایم. چنانکه در شکل ۲۶.۵ دیده می‌شود، مداری که مؤلفه‌اش در راستای محور تقارن برابر $\Omega = 1/2$ است قویترین برهم‌کنش را با قلب هسته کشیده دارد، و در نتیجه انرژی آن از همه مدارهای دیگر کمتر می‌شود. در مورد قلب هسته پخت، مداری که مؤلفه آن برابر $\Omega = 7/2$ باشد پایینترین انرژی را داراست.

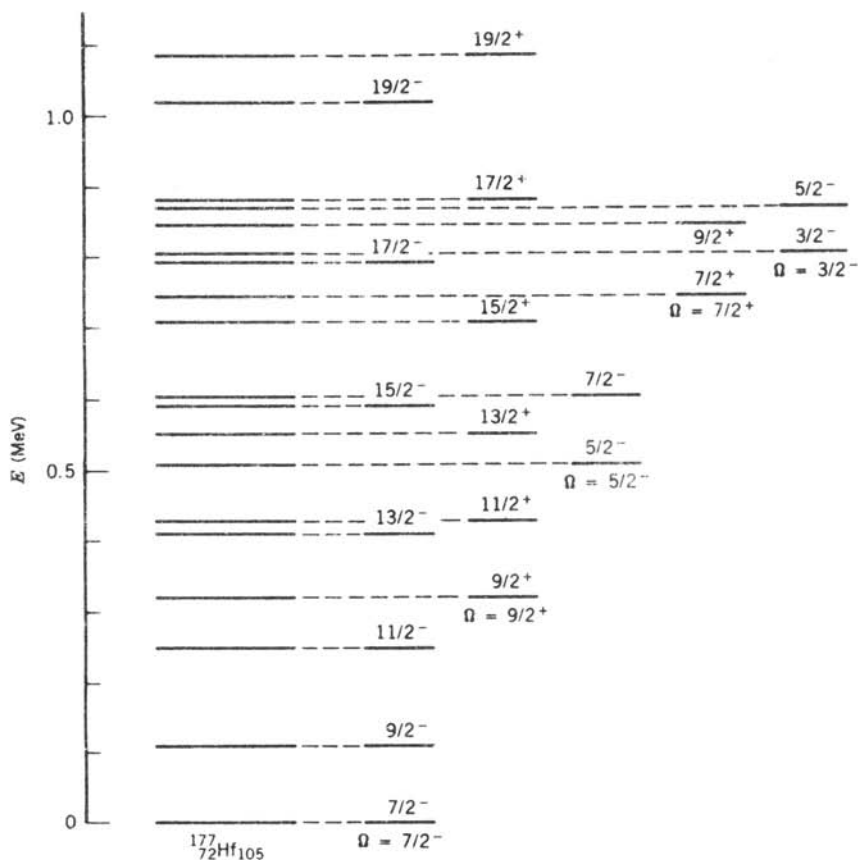
ضرایب به تبعیت از β تغییر می‌کند، و طبقاً انتظار داریم که به ازای $\beta \rightarrow 0$ مقدار $a[\Omega(7/2)]$ به ۱ میل کند و ضرایب دیگر همگی صفر شوند. به ازای $\beta = 0.3$ (که معرف یک نمونه از تغییر شکل کشیده است)، نیلسون مقادیر این ضرایب را برای تراز $\Omega = 5/2$ که در اینجا مورد بحث است، به صورت زیر به دست آورد

$$a\left(\Omega \frac{5}{2}\right) = 0.267 \quad a\left(\Omega \frac{7}{2}\right) = 0.832$$

$$a\left(\Omega \frac{9}{2}\right) = 0.415 \quad a\left(\Omega \frac{11}{2}\right) = -0.255$$

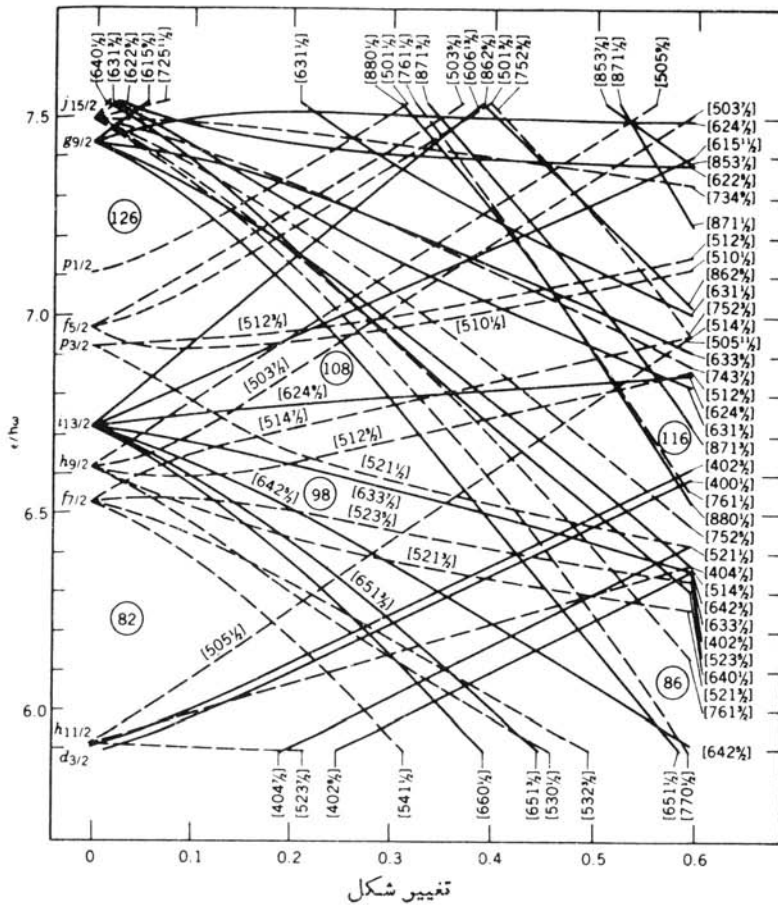
وقتی که این تابع موجهای حالت‌های تک - ذره هسته‌های تغییر شکل یافته را در اختیار داشته باشیم، آنگاه می‌توانیم هسته‌ها را در حال دوران در نظر بگیریم. در این صورت، برای هر حالت ذره منفرد یک سری حالت‌های دورانی به دست می‌آوریم که فاصله انرژی بین آنها با عبارت $I(I+1)$ متناسب است. در پایینترین حالت نوار دورانی $I = \Omega + 1$ است، و تکانه زاویه‌ای حالت‌های متوالی، با افزایش انرژی دوران، به صورت $\Omega + 1, \Omega + 2, \dots$ افزایش می‌یابد. شکل ۲۸.۵ ترازهای انرژی هسته ^{177}Hf را نشان می‌دهد. در این هسته، علاوه بر دو نوار دورانی کاملاً مشخص، چند حالت تک - ذره‌ای دیگر هم مشاهده شده است.

برای تعبیر ترازهای تک - ذره مشاهده شده، به نموداری مشابه شکل ۲۷.۵ نیازمندیم که تمام حالت‌های مجاز تک - ذره و چگونگی تغییر انرژی آنها را بر حسب تغییر شکل هسته



شکل ۲۸۰۵ ترازهای انرژی ^{177}Hf . همانند مورد ^{164}Er (در شکل ۲۳۰۵)، با استفاده از وضعیت اسپین-پاریته می‌توان حالتها را به صورت نوارهای دورانی دسته‌بندی کرد. در پایینترین حالت هر نوار $I = \Omega$ است و فاصله انرژی حالتها بالاتراز $(I+1)$ به دست می‌آید.

نشان دهد. شکل ۲۹۰۵ چنین نموداری را برای حالت‌های نوترونی هسته‌های موجود در ناحیه $190 \leq A \leq 150$ نشان می‌دهد. با توجه به اینکه واگنی هر یک از ترازهای ذره منفرد در هسته تغییر شکل یافته برابر ۲ است، درست مانند آنچه در مورد مدل پوسته‌ای با پتانسیل کروی عمل کردیم، در هر حالت دوترون قرار می‌دهیم تا به $N = 105$ برسیم و همین‌طور در هر حالت دو پروتون می‌گذاریم تا به $Z = 72$ برسیم. اکنون به دلیل توزیع نوکلئونی از حالت‌های تک-ذره‌ای پروتون‌ها صرف‌نظر می‌کنیم، و به بررسی ترازهای مجاز یکصد و پنجمین نوترون در هسته تغییر شکل یافته‌ای با مقدار مثلا $\beta \approx 0.3$ می‌پردازیم. چنانکه در نمودار می‌بینیم، ترازهای انتظاری تک-ذره دقیقاً با ترازهای مشاهده شده در ^{177}Hf مطابقت دارند.



تغییر شکل

شکل ۲۹.۵ ترازهای انرژی نوترونها در يك پتانسیل تغییر شکل یافته کشیده. تغییر شکل را اساساً با پارامتر β برآورد می‌کنند. اعداد درون قلابها نمایانگر حالتها هستند؛ در اینجا فقط اولین عدد که همان عدد کوانتومی اصلی N مربوط به پوسته نوسانگر و معرف پاریته حالت $(-1)^N$ است و همچنین آخرین عدد که همان مؤلفه Ω است، مورد توجه ماست. خطوط پر حالت‌های با پاریته زوج، و خط چین‌ها حالت‌های با پاریته فرد را نشان می‌دهند. برای تغییر شکل بین ۲ره و ۳ره (که معرف تغییر شکل نوعی هسته‌های موجود در این ناحیه است)، یکصد و پنجمین نوترون ^{177}Hf در حالت $[\Delta 14(7/2)]$ یعنی يك حالت پاریته - فرد که در آن $\Omega = 7/2$ است، قرار می‌گیرد. يك برانگیزش کوچک کافی است که این نوترون را به حالت $[624(9/2)]$ که يك حالت پاریته - زوج و $\Omega = 9/2$ است، برساند. هر دو حالت ذاتی (و نوارهای دورانی مربوط به آنها) را می‌توان در شکل ۲۸.۵ مشاهده کرد. حالت‌های دیگری که در ^{177}Hf مشاهده می‌شوند، از شکست زوج نوترونی يك حالت پایینتر و برانگیختگی یکی از آنها و تزویج آن با نوترون $(7/2)$ حاصل می‌شوند. بدین گونه، مثلاً، می‌توان يك نوترون منفرد در حالت $[\Delta 12(5/2)]$ به دست آورد که نمایشگر حالت پاریته - فرد $\Omega = 5/2$ در ^{177}Hf است.

بنا بر این، ساختار کلی هسته‌های تغییر شکل یافته A فرد با نوارهای دورانی مشخص می‌شود. این نوارها را بر اساس حالت‌های تک- ذره که با استفاده از پتانسیل مدل پوسته‌ای تغییر شکل یافته محاسبه می‌شوند، می‌توان تعیین کرد. حالت‌های نوترون و پروتون (با استقرار دو نوکلئون در هر حالت) پر می‌شوند، و خواص هسته با استفاده از خواص ذره منفرد در مدل تک ذره قابل برآورد است. این مدل که تابع موج‌های آن توسط نیلسون محاسبه شده است، در توجیه خواص هسته‌های موجود در این ناحیه موفقیت چشمگیری داشته است. به‌طور کلی می‌توان گفت که محاسبات مبتنی بر خواص ذره منفرد، برای ناحیه تغییر شکل یافته بسیار موفقتر از ناحیه هسته‌های کروی بوده است.

در این فصل، نمونه‌هایی از ساختار هسته‌ای را که مبتنی بر خواص ایستای هسته‌ها بوده‌اند بررسی کرده‌ایم که اهم آنها عبارت‌اند از: ترازهای انرژی، وضعیت اسپین-پاریته، گشتاور دو قطبی مغناطیسی و چار قطبی الکتریکی. با استفاده از تابع موج‌های حاصل از حل معادله شرودینگر در مدل‌های مختلف می‌توان بسیاری از ویژگی‌های دیگر ساختار هسته‌ای، از جمله گذار بین حالت‌های هسته‌ای متفاوت را محاسبه کرد. اغلب مشاهده می‌شود که اگر برای نمونه بخواهیم فقط با استفاده از ترازهای انرژی شواهدی برای ساختار جمعی فراهم آوریم ممکن است تلاشمان بی‌نتیجه بماند، در حالی که استفاده از احتمال گذار بین حالت‌های برانگیخته وجود اثرات جمعی را به‌طور قطعی ثابت می‌کند. همچنین ممکن است با مواردی روبرو شویم که یک حالت برانگیخته خاص به‌راه‌های مختلف قابل تعبیر باشد. حالت ارتعاشی یا جفت‌شدگی دو ذره‌ای را می‌توان به‌عنوان نمونه‌هایی از این موارد یادآور شد. معمولاً با بررسی احتمال گذار، می‌توانیم تعبیرهای مختلف را با هم مقایسه کنیم و نقاط قوت و ضعف آنها را دریا بیم. بنا بر این بررسی کامل ساختار هسته‌ای مستلزم مطالعهٔ واپاشیهای رادیواکتیو و واکنش‌های هسته‌ای است که اولی گذار خود به‌خودی بین حالتها را نشان می‌دهد، و در دومی آزمایشگر می‌تواند حالت‌های ابتدایی و نهایی را به میل خود انتخاب کند. در این دو زمینه تحقیقی، ما می‌توانیم احتمال‌های واپاشی و واکنش را محاسبه و با مقادیر تجربی آنها مقایسه کنیم، و بدین‌گونه ساختار حالت‌های هسته‌ای را مورد پژوهش قرار دهیم. قسمت اعظم باقیماندهٔ این کتاب، به مطالعهٔ روش‌های متداول در هر یک از این دو شاخهٔ طیف‌نمایی هسته‌ای اختصاص خواهد داشت.

مراجعات تکمیلی

کتابهای درسی فیزیک هسته‌ای که شامل مطالب پیشرفته‌تر و مفصلتر در بارهٔ مدل‌های هسته‌ای هستند، عبارت‌اند از

B. L. Cohen, *Concepts of Nuclear Physics* (New York: McGraw-Hill, 1971),
ترجمهٔ فارسی این کتاب تحت عنوان مفاهیم فیزیک هسته‌ای در سال ۱۳۷۰ توسط مرکز
نشر دانشگاهی منتشر شده است. -و.

H. Frauenfelder, E. M. Henley, *Subatomic Physics* (Englewood Cliffs, NJ : Prentice -Hall, 1974),

ترجمه فارسی این کتاب تحت عنوان فیزیک ذراتمی بزودی توسط مرکز نشر دانشگاهی منتشر خواهد شد. -و.

M. A. Preston, *Physics of Nucleus* (Reading, MA : Addison - Wesley, 1962).

دو اثر تک‌نگاری زیر به ترتیب درباره مدل پوسته‌ای و مدل جمعی نوشته شده‌اند. مؤلفان از برندگان جایزه نوبل هستند که به خاطر کارشان در مدل‌های هسته‌ای به دریافت این جایزه نایل شده‌اند.

M. G. Mayer, J. H. D. Jensen, *Elementary Theory of Nuclear Shell Structure* (New York : Wiley, 1955),

A. Bohr, B. R. Mottelson, *Nuclear Structure* (Reading, MA : Benjamin, 1975).

مرجع زیر یکی دیگر از کتابهای پیشرفته و جامع است

J. M. Eisenberg, W. Greiner, *Nuclear Models* (Amsterdam : North-Holland, 1970).

مسائل

۱. با استفاده از مدل پوسته‌ای، وضعیت پاریته و اسپین انتظاری حالت‌های پایه را در هسته‌های زیر مشخص کنید: (الف) ${}^7\text{Li}$ ، (ب) ${}^{11}\text{B}$ ، (ج) ${}^{15}\text{C}$ ، (د) ${}^{17}\text{F}$ ، (ه) ${}^{31}\text{P}$ ، (و) ${}^{141}\text{Pr}$.

۲. ترازهای پایین در هسته ${}^{13}\text{C}$ عبارت‌اند از: حالت پایه $(1/2)^-$ ، حالت $(1/2)^+$ با انرژی 3.09 MeV ، حالت $(3/2)^-$ با انرژی 3.68 MeV ، حالت $(5/2)^+$ با انرژی 3.85 MeV . حالت‌های دیگر در حدود انرژی 7 MeV و بالاتر هستند. تعبیر این چهار حالت را بر اساس مدل پوسته‌ای بیان کنید.

۳. بنا بر نمودار تراز انرژی شکل ۶.۵، برای حالت پایه ${}^{203}\text{Tl}$ ($Z=81$) انتظار داریم که $I^\pi = (11/2)^-$ شود، ولی وضعیت مشاهده شده به صورت $(1/2)^+$ است. در مورد هسته‌های ${}^{207}\text{Pb}$ ($N=125$) و ${}^{199}\text{Hg}$ ($N=119$) هم با شرایط مشابهی روبرو می‌شویم: وضعیت انتظاری این هسته‌ها $(13/2)^+$ و وضعیت مشاهده شده $(1/2)^-$ است. به فرض آنکه نیروی تزویج قویاً بر حسب I افزایش یابد، پیکربندی مدل پوسته‌ای این هسته‌ها را که با وضعیت مشاهده شده اسپین-پاریته سازگار باشد مشخص کنید.

۴. شکل ۶.۵، متوسط حالت‌های تک‌ذره‌ای مدل پوسته‌ای را فقط به‌طور کلی نشان می‌دهد. انرژی حالت‌ها بر حسب تعداد نوترون‌ها و پروتون‌های هسته تغییر می‌کند. برای نشان

دادن این اثر، حالت‌های پنجاه و یکمین پروتون را در ایزوتوپهای Sb در نظر بگیرید. به همان شیوه شکل ۲۵.۵، نموداری تهیه کنید که حالت‌های $(5/2)^+$ و $(7/2)^+$ را در هسته‌های ^{113}Sb و ^{123}Sb نشان دهد. (برای کسب اطلاعات مربوط به ترازهای انرژی به جدول ایزوتوپها رجوع کنید.) مواضع نسبی حالت‌های پروتونی $g_{7/2}$ و $d_{5/2}$ را به صورت تابعی از تعداد نوترون مورد بحث قرار دهید.

۵. در مدل پوسته‌ای تک ذره، حالت پایه یک هسته با تعداد فرد پروتون و نوترون را از جفت‌شدگی حالت‌های پروتون و نوترون در این مدل تعیین می‌کنند: $\mathbf{I} = \mathbf{J}_p + \mathbf{J}_n$. هسته‌های $^{16}\text{N} - 2^-$ ، $^{12}\text{B} - 1^+$ ، $^{34}\text{P} - 1^+$ ، و $^{28}\text{Al} - 3^+$ را در نظر بگیرید. با رسم نمودارهای برداری ساده این جفت‌شدگیها را نشان دهید، سپس \mathbf{J}_p و \mathbf{J}_n را به ترتیب با $\mathbf{I}_p + \mathbf{S}_p$ و $\mathbf{I}_n + \mathbf{S}_n$ جایگزین کنید. با بررسی نمودارهای این چهار هسته، برای سمتگیری نسبی \mathbf{S}_p و \mathbf{S}_n در حالت پایه یک قاعده تجربی به دست آورید. سرانجام، با استفاده از قاعده تجربی به دست آمده، وضعیتهای I^π را در ^{28}Na پیش‌بینی کنید.

۶. الف) اگر انرژی یک حالت تک ذره در غیاب برهم‌کنش (شکافتگی) اسپین-مدار برابر E_0 باشد، انرژی هر یک از اعضای دوتایه اسپین-مدار را که اختلاف انرژی آنها از معادله (۴.۵) به دست می‌آید پیدا کنید. ب) نشان دهید که «گرانینگاه» این دوتایه روی E_0 قرار دارد.

۷. گشتاور چارقطبی انتظاری $^{209}\text{Bi}(9/2)^-$ را بر اساس مدل پوسته‌ای محاسبه کنید، و آن را با مقدار تجربی 37 b — مقایسه کنید.

۸. مقادیر انتظاری گشتاور دوقطبی مغناطیسی هسته‌های زیر را با استفاده از مدل پوسته‌ای محاسبه و آن را با مقادیر تجربی زیر مقایسه کنید:

هسته	I^π	μ تجربی (μ_N)
^{76}Ge	$(\frac{1}{2})^-$	+۰٫۵۱۰
^{87}Sr	$(\frac{9}{2})^+$	-۱٫۰۹۳
^{91}Zr	$(\frac{5}{2})^+$	-۱٫۳۰۴
^{47}Sc	$(\frac{7}{2})^-$	+۰٫۳۳۴
^{147}Eu	$(\frac{11}{2})^-$	+۰٫۶۰۶

۹. بسامد ارتعاشی متناظر به نمونه‌ای از ارتعاشات چارکطبی را حساب کنید. با در نظر گرفتن مقادیر نمونه طول عمر واپاشی حالت‌های 2^+ در هسته‌های ارتعاشی (این مقادیر را می‌توان در جدول ایزوتوپها پیدا کرد)، نتیجه‌گیری کنید که واپاشیها در مقایسه با ارتعاشات هسته‌ای به‌طور کلی در زمان طولانیتر یا کوتاهتری اتفاق می‌افتند. چنانکه در معادله (۱۳.۵) دیده می‌شود، اگر α نمایشگر دامنه ارتعاش باشد، آیا می‌توان کمیت‌های متناسب با $\langle \alpha \rangle$ را مشاهده کرد؟ متناسب با $\langle \alpha^2 \rangle$ را چگونه؟
۱۰. با مشخص کردن فهرست حالت‌های ممکن m برای سه فونون چارکطبی ($I=2$) و ترکیب‌های قرینه آنها، نشان دهید که حالت‌های برابری مجاز عبارت‌اند از: 2^+ ، 3^+ ، 4^+ و 6^+ .
۱۱. حجم هسته‌ای را که سطح آن از معادله (۱۴.۵) به‌دست می‌آید تعیین کنید.
۱۲. یک هسته بیضوی با توزیع بار یکنواخت را در نظر بگیرید که سطح آن با معادله (۱۴.۵) مشخص می‌شود. نشان دهید که گشتاور چارکطبی الکتریکی این هسته که با معادله (۳۶.۳) تعریف می‌شود، به‌صورت معادله (۱۶.۵) درمی‌آید.
۱۳. ترازهای انرژی ^{174}Hf دارای دو نوار دورانی مشابه به‌صورت زیر است:

$E(12^+)$	$E(10^+)$	$E(8^+)$	$E(6^+)$	$E(4^+)$	$E(2^+)$	$E(0^+)$	
۲۰۰۲۱	۱۲۴۸۶	۱۰۰۱۰	۰۵۶۰۸	۰۲۲۹۷	۰۵۰۹۱	۰	نوار ۱:
۲۲۴۸۹	۲۰۰۲۶	۱۶۶۳۰	۱۳۰۵۷	۱۰۰۶۳	۰۵۹۰۰	۰۸۲۷	نوار ۲:

- (مقادیر بالا بر حسب MeV داده شده‌اند). گشتاور لختی این دو نوار را با هم مقایسه کنید، و دربارهٔ اختلاف آنها اظهار نظر کنید.
۱۴. اختلاف بین ترازهای انرژی پایین در هسته‌های ^{17}O و ^{19}O به‌علت وجود حالت‌های $I^\pi = (3/2)^+$ و $I^\pi = (9/2)^+$ در هسته ^{19}O است. این دو حالت در هسته ^{17}O دیده نمی‌شوند. نشان دهید که این دو حالت ممکن است از پیکربندی $(d_{5/2})^2$ حاصل شوند که در هسته ^{17}O مورد انتظار نیستند.
۱۵. هسته ^{24}Mg دارای یک حالت برانگیخته اول 2^+ در انرژی 1.369 MeV و یک حالت برانگیخته دوم 4^+ در انرژی 4.123 MeV است. گشتاور دو قطبی مغناطیسی حالت 2^+ برابر $1.02 \mu_N$ و گشتاور چارکطبی الکتریکی آن برابر 27 b — است. کدام یک از مدل‌های هسته‌ای می‌تواند توصیفی دقیق از این حالتها به‌دست دهد؟ انتخاب خود را با محاسبه پارامترهای خاص مدل مورد نظر توجیه کنید.

قسمت ۲

واپاشی هسته‌ای
و رادیواکتیویته

واپاشی رادیواکتیو

واپاشی رادیواکتیو کانیهای طبیعی حاوی اورانیم و توریم تا حدود زیادی منشأ مطالعات اولیه فیزیک هسته‌ای بوده است. این واپاشیها دارای نیمه‌عمرهایی در حدود عمر زمین‌اند، که این امر نمایانگر باقی ماندن این مواد از دوران اولیه پیدایش ماده در اثر گردهمایی نوکلئونهاست. هسته‌های با عمر کوتاهتر مدتها قبل واپاشیده و ناپدید شده‌اند، و امروز ما فقط واپاشیهای با عمر طولانی را مشاهده می‌کنیم. اگر $[^{235}\text{U}]$ و $[^{238}\text{U}]$ دارای نیمه‌عمرهای بسیار طولانی نبودند، امروز دیگر اورانیمی در طبیعت وجود نداشت و احتمالاً رآکتورهای هسته‌ای و سلاحهای هسته‌ای هم در کار نبودند.

علاوه بر رادیواکتیوئته طبیعی، هسته‌های رادیواکتیو را از طریق واکنشهای هسته‌ای در آزمایشگاه نیز می‌توانیم تولید کنیم. این عمل اولین بار در سال ۱۹۳۴ توسط ایرن کوری و فردریک ژولیو، با بمباران آلومینیم به وسیله ذرات آلفای حاصل از واپاشی پولونیم رادیواکتیو، انجام شد. در این واکنش ایزوتوپ ^{30}P تولید می‌شود که از طریق گسیل پوزیترون با نیمه‌عمر ۲٫۵ دقیقه واپاشیده خواهد شد. طبق گفته آنها:

آخرین آزمایشهای ما حقیقت تکان دهنده‌ای را نشان داده است: هنگامی که یک ورقه آلومینیم تحت تأثیر تابشهای یک ترکیب پولونیم قرار می‌گیرد، گسیل پوزیترون بلافاصله پس از برداشتن ترکیب رادیواکتیو متوقف نمی‌شود. ورقه همچنان رادیواکتیو می‌ماند و گسیل پرتوهای ناشی از واپاشی مانند یک عنصر رادیواکتیو معمولی به‌طور نمایی فرومی‌افتد.

برای این کار در زمینه رادیواکتیویته مصنوعی، جایزه نوبل شیمی سال ۱۹۳۵ به تیم ژولیو-کوری داده شد (در پی يك سنت خانوادگی-والدین ایرن، پی‌یر، و ماری کوری برای کار در زمینه رادیواکتیویته طبیعی عنصر رادیم در جایزه نوبل فیزیک سال ۱۹۰۳ با بکرل شریک شدند، و ماری کوری نخستین کسی است که با دریافت جایزه نوبل شیمی در سال ۱۹۱۱ برای دومین بار به دریافت این جایزه مفتخر شد).

در این فصل قوانین فیزیکی حاکم بر تولید و واپاشی مواد پرتوزا را بررسی خواهیم کرد. در اینجا منظور از مواد پرتوزا موادی است که هسته‌های آنها در اثر گسیل خود به خود تابش تغییر حالت می‌دهد.

۱.۶ قانون واپاشی رادیواکتیو

سه سال پس از کشف رادیواکتیویته در سال ۱۸۹۶ ملاحظه شد که آهنگ واپاشی يك ماده پرتوزای خالص با گذشت زمان طبق يك قانون نمایی کاهش می‌یابد. تشخیص اینکه رادیواکتیویته نماینده تغییر در ترك تك آنها و نه در كل نمونه است، مستلزم سپری شدن مدت زمان بیشتری بود. پس از گذشت دو سال دیگر مشخص شد که واپاشی دارای طبیعت آماری است، یعنی پیش‌بینی زمان فروپاشی يك اتم معین غیر ممکن است، و معلوم شد که این فرضیه مستقیماً به قانون نمایی منجر می‌شود. این موضوع عدم قابلیت پیش‌بینی رفتار يك ذره، امروزه دانشمندان را نگران نمی‌کند، ولی پذیرش آن در مراحل آغازین و قبل از گسترش نظریه کوانتومی مشکل بود. تلاش فراوان همین محققان از خود گذشته بود که آنچه را که امروز حقایق مسلم به نظر می‌رسند، پابرجا ساخت.

اگر N هسته پرتوزا در زمان t در نمونه‌ای موجود باشند و هسته‌های جدیدی وارد نمونه نشوند، تعداد dN هسته که در زمان dt واپاشیده می‌شوند با N متناسب خواهد بود، در نتیجه داریم

$$\lambda = -\frac{(dN/dt)}{N} \quad (۱.۶)$$

که در آن λ يك مقدار ثابت است که ثابت واپاشی یا فروپاشی نامیده می‌شود. طرف راست معادله (۱.۶) احتمال واپاشی يك اتم در واحد زمان است. اینکه این احتمال بدون توجه به عمر آنها ثابت می‌ماند، فرض اساسی نظریه آماری واپاشی رادیواکتیو است. (طول عمر بشر از این قانون پیروی نمی‌کند!)

با انتگرال‌گیری از معادله (۱.۶) به قانون نمایی واپاشی رادیواکتیو می‌رسیم

$$N(t) = N_0 e^{-\lambda t} \quad (۲.۶)$$

که در آن N_0 ، ثابت انتگرال‌گیری، تعداد اولیه هسته‌های موجود در $t = 0$ است. نیمه‌عمر

$t_{1/2}$ زمان لازم برای واپاشی نیمی از هسته‌هاست. با قرار دادن $N = N_0/2$ در معادله (۲.۶) داریم

$$t_{1/2} = \frac{0.693}{\lambda} \quad (3.6)$$

تعیین طول عمر متوسط، τ ، (که گاهی فقط طول عمر خوانده می‌شود) نیز مفید است. این زمان طبق تعریف میانگین مدت زمانی است که هسته قبل از واپاشی باقی می‌ماند. تعداد هسته‌هایی که تا زمان t باقی می‌مانند برابر $N(t)$ ، و تعدادی که بین t و $t+dt$ واپاشیده می‌شوند برابر $|dN/dt| dt$ است. بنابراین عمر متوسط عبارت است از

$$\tau = \frac{\int_0^{\infty} t |dN/dt| dt}{\int_0^{\infty} |dN/dt| dt} \quad (4.6)$$

که مخرج آن نشان‌دهنده تعداد کل واپاشی‌هاست. پس از انتگرال‌گیری نتیجه زیر به دست می‌آید

$$\tau = \frac{1}{\lambda} \quad (5.6)$$

بنابراین عمر متوسط برابر عکس ثابت واپاشی است. با استفاده از معادله (۲.۶) می‌توان تعداد هسته‌های از نوع معین را که پس از زمان t ناواپاشیده مانده‌اند، پیش‌بینی کرد. متأسفانه، قانون به این صورت ارزش محدودی دارد، زیرا اندازه‌گیری کمیت N مشکل است. به جای شمارش تعداد هسته‌های ناواپاشیده در یک نمونه، بهتر است تعداد واپاشی‌هایی که در فاصله زمانی بین t_1 و t_2 رخ می‌دهند شمرده شوند (از طریق مشاهده تابش‌های گسیل شده). اگر تغییر تعداد هسته‌های موجود در فاصله t و $t+\Delta t$ برابر ΔN باشد، خواهیم داشت

$$|\Delta N| = N(t) - N(t+\Delta t) = N_0 e^{-\lambda t} (1 - e^{-\lambda \Delta t}) \quad (6.6)$$

اگر فاصله زمانی Δt که طی آن شمارش انجام می‌شود بسیار کوچکتر از λ^{-1} (و در نتیجه، در واقع $\Delta t \ll t_{1/2}$) باشد، می‌توان از جمله مرتبه بالا در بسط دومین جمله پوانسره صرف‌نظر کرد و نوشت

$$|\Delta N| = \lambda N_0 e^{-\lambda t} \Delta t \quad (7.6)$$

در حد دیفرانسیلی رابطه به صورت زیر درمی‌آید

$$\left| \frac{dN}{dt} \right| = \lambda N_0 e^{-\lambda t} \quad (۸.۶)$$

با تعریف فعالیت یا اکتیویته A به صورت آهنگ واپاشیهای که در نمونه رخ می‌دهند، داریم

$$A(t) \equiv \lambda N(t) = A_0 e^{-\lambda t} \quad (۹.۶)$$

اکتیویته اولیه در $t = 0$ برابر $A_0 = \lambda N_0$ است. در حقیقت، می‌توانستیم معادله (۸.۶) را با مشتق‌گیری از معادله (۲.۶) مستقیماً به دست آوریم، ولی با انتخاب راه طولانیتر بر نکته‌ای مهم تأکید کردیم که غالباً نادیده گرفته می‌شود: اندازه‌گیری تعداد شمارشهای ΔN در فاصله زمانی Δt ، در صورتی اکتیویته نمونه را به دست می‌دهد که $\Delta t \ll t_{1/2}$ باشد. تعداد واپاشیها در فاصله زمانی t_1 تا t_2 برابر است با

$$\Delta N = \int_{t_1}^{t_2 = t_1 + \Delta t} A dt \quad (۱۰.۶)$$

که فقط در حالت $\Delta t \ll t_{1/2}$ برابر $A \Delta t$ می‌شود (یک نمونه نادر را در نظر بگیرید که در آن $t_{1/2} = ۱۸$ باشد، در این صورت تعداد شمارش در دقیقه با شمارش در ساعت برابر است). برای تشخیص ارتباط بیشتر بین A و ΔN به مسئله ۱ در انتهای این فصل رجوع کنید. اکتیویته یک نمونه رادیواکتیو درست برابر تعداد واپاشیهای نمونه در واحد زمان است، و تعداد واپاشی در ثانیه یکای مناسبی برای اندازه‌گیری است. یکای دیگر اندازه‌گیری اکتیویته کوری (Ci) است، که در ابتدا نماینده اکتیویته یک گرم رادیم محسوب می‌شد، ولی در حال حاضر به صورت ساده‌زیر تعریف می‌شود

$$۱ \text{ Ci} = ۳.۷ \times ۱۰^{۱۰} \text{ واپاشی در ثانیه}$$

اغلب چشمه‌های رادیواکتیوی که در آزمایشگاهها مورد استفاده قرار می‌گیرند دارای اکتیویته‌ای در محدوده میکروکوری و میلی‌کوری هستند. یکای اکتیویته در دستگاه SI بکرل (Bq) نامیده می‌شود که برابر یک واپاشی در ثانیه است. بسا وجود این، کوری به‌عنوان یکای اکتیویته به اندازه‌ای جا افتاده است که بکرل هنوز به صورت یکای متداول در نیامده است.

توجه کنید که اکتیویته فقط تعداد فروپاشی در ثانیه را بدون هیچگونه اطلاعی از نوع تابشهای گسیلی و یا انرژی آنها به دست می‌دهد. اگر بخواهیم اثرات تابش در یک سیستم زیست‌شناختی را بررسی کنیم، اکتیویته کمیت مفیدی نیست، زیرا تابشهای مختلف ممکن است اثرات متفاوتی داشته باشند. در بخش ۸.۶ درباره برخی یکاهای دیگر

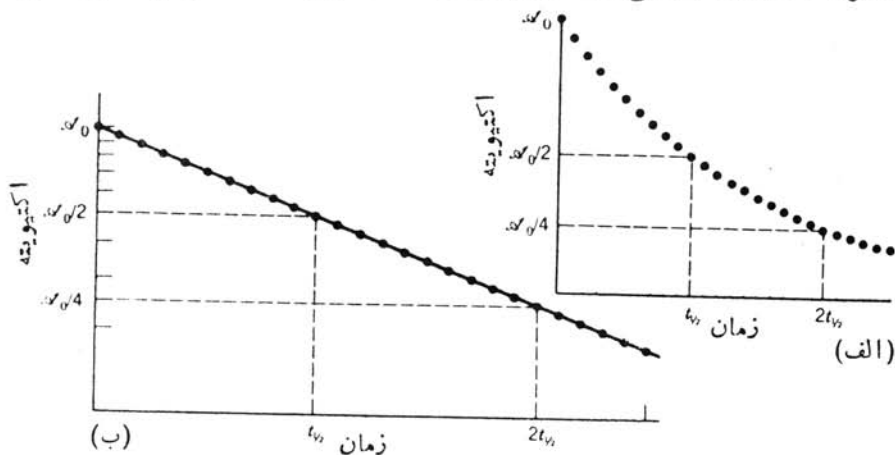
اندازه‌گیری تابش که اثرات نسبی زیست‌شناختی در آنها در نظر گرفته می‌شود، بحث خواهیم کرد.

معادله (۹.۶) نشان می‌دهد که اکتیویته با گذشت زمان به صورت نمایی فروریافتد. بنابراین می‌توانیم تغییرات اکتیویته بر حسب زمان را با شمارش تعداد واپاشیها در يك رشته فواصل زمانی کوتاه Δt اندازه بگیریم. با رسم این اطلاعات روی نمودار نیمه‌لگاریتمی، مطابق شکل ۱۰.۶، (یعنی نمودار $\ln A$ بر حسب t) خط راستی با شیب $-\lambda$ حاصل می‌شود، که از روی آن می‌توان نیمه‌عمر واپاشی رادیواکتیو را تعیین کرد.

این روش اندازه‌گیری فقط برای نیمه‌عمرهایی مفید است که بسیار کوتاه یا بسیار بلند نباشند. از يك سو، نیمه‌عمر باید به اندازه کافی کوتاه باشد تا بتوانیم واپاشی نمونه را مشاهده کنیم - و از سوی دیگر برای نیمه‌عمرهای بسیار بیش از عمر انسان، قادر به مشاهده کاهش قابل ملاحظه در اکتیویته نمونه نیستیم. در این موارد، می‌توان معادله (۱۰.۶) را مستقیماً با اندازه‌گیری dN/dt (که همان میزان اکتیویته در این فرایند ساده واپاشی است) و تعیین تعداد آنها (مثلاً به روش وزن کردن نمونه‌ای که ترکیب شیمیایی آن به دقت شناخته شده است) به کار برد.

برای نیمه‌عمرهای بسیار کوتاه (کوتاهتر از مثلاً يك ثانیه) مشاهده آهنگ فروپاشیهای متوالی نیز سودمند نیست، زیرا اکتیویته نمونه در زمانهای لازم برای روشن و خاموش کردن دستگاه شمارش قابل اندازه‌گیری نیست. در این صورت، از روش دقیقتری که در فصل ۷ شرح داده شده است، استفاده می‌کنیم که اندازه‌گیریهای روزانه نیمه‌عمرهای حدود نانوثانیه (10^{-9} s) و حتی پیکوثانیه (10^{-12} s) را ممکن می‌سازد.

این نکته مهم را باید به خاطر سپرد که قانون ساده واپاشی نمایی رادیواکتیو فقط در شرایط محدودی به کار می‌رود - در این موارد، مقدار معینی از ماده اولیه (با گسیل تابش)



شکل ۱۰.۶ واپاشی نمایی اکتیویته. (الف) نمودار خطی. (ب) نمودار نیمه‌لگاریتمی.

به يك عنصر پایدار نهایی واپاشیده می شود. تحت این شرایط که هسته رادیواکتیو ۱ با ثابت واپاشی λ_1 به هسته پایدار ۲ واپاشیده می شود، تعداد هسته های موجود برابر است با

$$N_1 = N_0 e^{-\lambda_1 t} \quad (۱۱.۶ \text{ الف})$$

$$N_2 = N_0 (1 - e^{-\lambda_1 t}) \quad (۱۱.۶ \text{ ب})$$

توجه کنید که تعداد هسته های نوع ۲ از صفر شروع می شود و با افزایش $t \rightarrow \infty$ به N_0 می رسد (تمام هسته های نوع ۱ در نهایت به نوع ۲ تبدیل می شوند) و نیز توجه کنید که داریم $N_1 + N_2 = N_0$ (تعداد کل هسته ها ثابت است). اگر هسته های نوع ۲ نیز رادیواکتیو باشند، و یا اگر هسته های نوع ۱ در حال تولید هم باشند (مثلا در اثر واکنش هسته ای)، در این صورت معادلات (۱۱.۶) قابل استفاده نیستند. این موارد را در بخشهای ۳.۶ و ۴.۶ بررسی می کنیم.

در بسیاری از موارد، يك هسته اولیه می تواند به دو طریق یا بیشتر واپاشیده شود که در این صورت حالت نهایی شامل دو هسته متفاوت یا بیشتر است. اگر این دو مد واپاشی a و b بنامیم، آهنگ واپاشی در مد a با ثابت واپاشی جزئی λ_a برابر $(dN/dt)_a$ و آهنگ واپاشی در مد b با ثابت λ_b برابر $(dN/dt)_b$ خواهد شد

$$\lambda_a = - \frac{(dN/dt)_a}{N} \quad (۱۲.۶)$$

$$\lambda_b = - \frac{(dN/dt)_b}{N}$$

آهنگ واپاشی کل برابر است با

$$- \left(\frac{dN}{dt} \right)_t = - \left(\frac{dN}{dt} \right)_a - \left(\frac{dN}{dt} \right)_b = N(\lambda_a + \lambda_b) = N\lambda_t \quad (۱۳.۶)$$

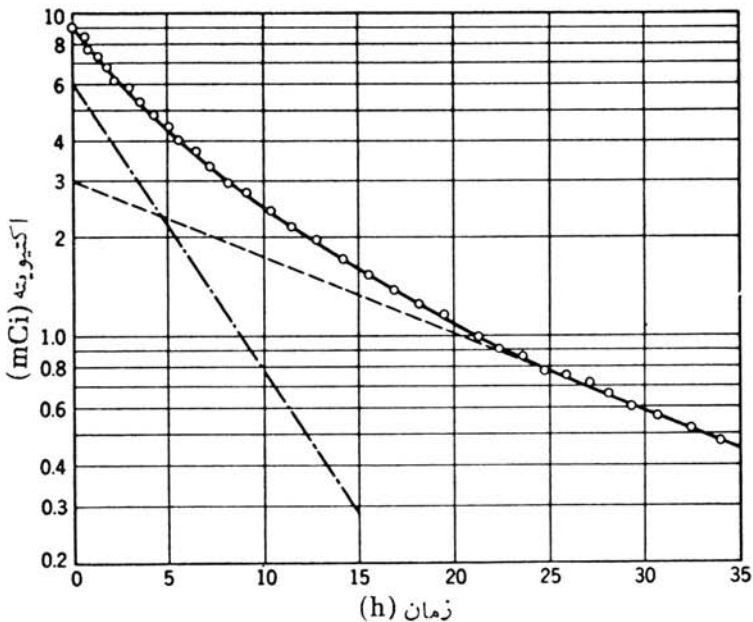
که در آن $\lambda_t = \lambda_a + \lambda_b$ ثابت واپاشی کل است. بنابراین هسته ها طبق رابطه $N = N_0 e^{-\lambda_t t}$ واپاشیده می شوند، و فعالیت $|dN/dt|$ با ثابت واپاشی λ_t فرومی افتد. حال اگر تابشهایی را که منجر به حالت های نهایی a یا b می شوند بشماریم، فقط ثابت واپاشی کل λ_t را مشاهده خواهیم کرد؛ و هرگز با يك واپاشی نمایی فعالیت با ثباتهای λ_a یا λ_b روبرو نمی شویم. ثابتهای واپاشی نسبی λ_a و λ_b احتمال واپاشی در مد a یا b را نشان می دهند. بنابراین کسری معادل λ_a/λ_t از هسته ها در مد a و کسر λ_b/λ_t از هسته ها در مد b واپاشیده می شوند، به طوری که

$$N_1 = N_0 e^{-\lambda_1 t}$$

$$N_{\gamma . a} = \left(\frac{\lambda_a}{\lambda_1}\right) N_0 (1 - e^{-\lambda_1 t}) \quad (14.6)$$

$$N_{\gamma . b} = \left(\frac{\lambda_b}{\lambda_1}\right) N_0 (1 - e^{-\lambda_1 t})$$

عوامل جداگانه λ_a و λ_b هرگز در هیچ جمله نمایشی ای ظاهر نمی شوند: یعنی ما نمی توانیم يك مد واپاشی را برای مشاهده واپاشی مد دیگر «متوقف کنیم». حالت خاص دیگر، مورد يك نمونه با دو یا چند هسته رادیواکتیو با طرحهای واپاشی نامرتب است. مخلوط ^{64}Cu (۱۲۷ h) و ^{63}Cu (۳۷۴ h) را در نظر بگیرید: البته این مخلوطها را نمی توان به طور شیمیایی از هم جدا کرد. اکتیویته يك مخلوط خاص بر حسب زمان، بر روی کاغذ نیمه لگاریتمی در شکل ۲.۶ رسم شده است. فرض می کنیم که در انتهای سمت راست منحنی فقط يك نوع اکتیویته وجود دارد (زیرا منحنی خطی است). شیب حدی این خط نیمه عمر ۱۲۷ h را نشان می دهد. با (۱) امتداد دادن این خط، و (۲) به دست آوردن تفاوت بین منحنی و این خط راست در نقاط مختلف محور زمان، و (۳) رسم این تفاوت بر همان مبنا، خط نقطه چین مستقیمی را که نشان دهنده نیمه عمر ۳۷۴ h



شکل ۲.۶ منحنی واپاشی نمونه ای که حاوی مخلوطی از ^{64}Cu (۱۲۷ h) و ^{63}Cu (۳۷۴ h) است.

است به دست می آوریم. محل برخورد هر يك از این خطوط با محور قائم، شمارش اولیه هر مؤلفه را به دست می دهد. این روش را در صورتی که نیمه عمرها تفاوت قابل ملاحظه با هم داشته باشند، می توان برای مخلوطهای دارای بیش از دو مؤلفه نیز تعمیم داد.

۴.۶ نظریه کوانتومی و پاشیهای رادیواکتیو

ترازهای انرژی که از حل معادله شرودینگر برای پتانسیلهای گوناگون مستقل از زمان به دست می آیند يك خصوصیت مشترك دارند که همان حالتهاى مانا در آنهاست. يك سیستم کوانتومی که ابتدا در يك حالت مانای خاص است همواره در آن حالت باقی می ماند و گذاری (یعنی واپاشی) به حالتهاى دیگر نخواهد داشت. وجود يك سیستم کوانتومی گاه در يك حالت و گاهی در حالت دیگر با ساختن مخلوطی از دو یا چند حالت مانند $\psi = c_1\psi_1 + c_2\psi_2$ امکان پذیر است. در این رابطه $|c_1|^2$ احتمال وجود سیستم در حالت ۱ و $|c_2|^2$ احتمال وجود در حالت ۲ است. برای پتانسیلهای مستقل از زمان، c_1 و c_2 مستقل از زمان اند که با مشاهدات مربوط به حالتهاى واپاشنده که در آنها احتمال وجود در يك حالت بر حسب زمان تغییر می کند، توافق ندارد. به علاوه، از نظر فلسفی ناچاریم که پنداره حالتهاى ناب با توابع خوش تعریف را از سر بیرون کنیم که در این صورت تعبیر ساختار هسته ای واقعاً مشکل می شود.

بنابراین رهیافت زیر را انتخاب می کنیم: پتانسیل به صورت $V + V'$ در نظر گرفته می شود که V پتانسیل هسته ای است که حالتهاى مانا را می دهد و V' پتانسیل اضافی بسیار ضعیفی است که می تواند سبب گذار بین حالتها شود. در حال حاضر با چشمپوشی از V' ، معادله شرودینگر را برای پتانسیل V حل می کنیم و تابع موجهای ایستای هسته را به دست می آوریم، سپس از این توابع برای محاسبه احتمال گذار بین «حالتهاى مانا» در اثر V' استفاده می کنیم. این احتمال گذار همان ثابت واپاشی λ است که از قاعده طلایی فرمی به دست می آید و در بخش ۸.۲ بررسی شد

$$\lambda = \frac{2\pi}{\hbar} |V'_{fi}|^2 \rho(E_f) \quad (15.6)$$

که در آن داریم

$$V'_{fi} = \int \psi_f^* V' \psi_i dv \quad (16.6)$$

با معلوم بودن تابع موجهای اولیه و نهایی ψ_i و ψ_f ، می توان «جزء ماتریس» V' و در نتیجه احتمال گذار را (که می تواند با مقدار تجربی مقایسه شود) به دست آورد. احتمال گذار به چگالی حالتهاى نهایی $\rho(E_f)$ ، در فاصله انرژی dE_f ، نیز بستگی دارد. بنابراین تعداد حالتهاى نهایی قابل حصول دستگاه برابر $dn_f = \rho(E_f) dE_f$ است.

اگر تعداد حالات نهایی قابل حصول برای واپاشی زیاد باشد، احتمال گذار بزرگ خواهد بود. چگالی حالات نهایی دارای دو جزء است، زیرا حالت نهایی پس از واپاشی شامل دو مؤلفه حالت هسته نهایی و حالت ذره گسیل شده است. با شروع از حالت هسته، هر يك از این مؤلفه‌ها را به ترتیب بررسی می‌کنیم.

با حل معادله شرودینگر برای پتانسیل مستقل از زمان V حالت‌های مانای $\psi_a(\mathbf{r})$ هسته به دست می‌آید. تابع موج وابسته به زمان برای حالت a به صورت زیر است

$$\Psi_a(\mathbf{r}, t) = \psi_a(\mathbf{r}) e^{-iE_a t/\hbar} \quad (17.6)$$

که در آن E_a انرژی حالت است. احتمال وجود سیستم در حالت a برابر $|\Psi_a(\mathbf{r}, t)|^2$ است که برای حالت مانا مستقل از زمان است. برای سازگاری با قانون واپاشی رادیواکتیو، علاقه‌مندیم که احتمال وجود سیستم در حالت a برحسب زمان به صورت e^{-t/τ_a} کاهش یابد

$$|\Psi_a(t)|^2 = |\Psi_a(t=0)|^2 e^{-t/\tau_a} \quad (18.6)$$

که در آن $\tau_a = 1/\lambda_a$ طول عمر میانگین حالت با ثابت واپاشی λ_a است. بنابراین باید معادله (۱۷.۶) را به صورت زیر بنویسیم

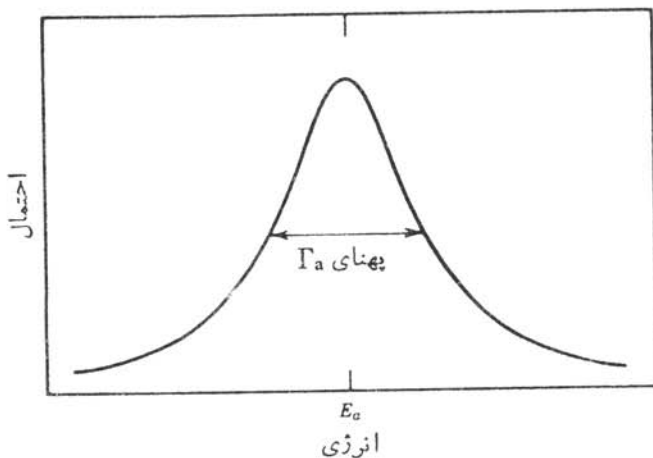
$$\Psi_a(\mathbf{r}, t) = \psi_a(\mathbf{r}) e^{-iE_a t/\hbar} e^{-t/2\tau_a} \quad (19.6)$$

بهایی که برای حضور جمله حقیقی در نمای Ψ_a می‌پردازیم، از دست دادن توانایی تعیین دقیق انرژی حالت است، زیرا دیگر حالت مانایی نداریم [رابطه عدم قطعیت انرژی-زمان، معادله (۲.۲)، را ببینید. اگر يك حالت همواره وجود داشته باشد، داریم $\Delta t \rightarrow \infty$ که می‌توانیم انرژی آن را دقیقاً تعیین کنیم زیرا $\Delta E = 0$ است. اگر عمر متوسط يك حالت τ باشد، نمی‌توانیم انرژی آن را با دقتی بیش از $\Delta E \sim \hbar/\tau$ تعیین کنیم]. این بحث را می‌توانیم با محاسبه توزیع حالات انرژی (درحقیقت تبدیل فوریه $e^{-t/2\tau_a}$) جدی‌تر کنیم. احتمال مشاهده دستگاه در فاصله انرژی E و $E + dE$ در مجاورت E_a از مریع توزیع زیر به دست می‌آید

$$P(E) dE = \frac{dE}{(E - E_a)^2 + \Gamma_a^2/4} \quad (20.6)$$

که در آن $\Gamma_a = \hbar/\tau_a$ پهنای حالت a است. شکل ۳.۶ تابع $P(E)$ را نشان می‌دهد. اگر انرژی این سیستم را اندازه بگیریم، ممکن است مقدار E_a را به دست نیاوریم (اگرچه متوسط اندازه گیریهای متعدد مقدار E_a را می‌دهد). پهنای Γ_a معیاری از عدم توانایی ما در تعیین دقیق انرژی حالت است (در اینجا کوتاهی از ما یا وسیله اندازه‌گیری نیست - طبیعت محدودیت عدم قطعیت را اعمال می‌کند، و چنانکه در شکل ۳.۶ نشان داده شده است، يك حالت با انرژی «دقیق» E_a قابل مشاهده نیست).

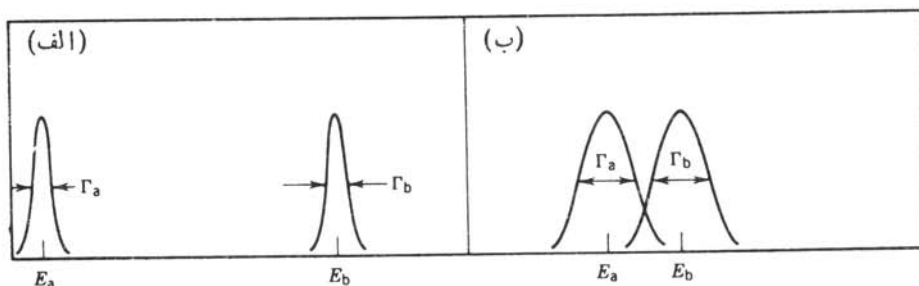
اگر حالات هسته دارای انرژی دقیق نباشند، آیا می‌توانیم از گذار بین ترازهای



شکل ۳.۶ احتمال اندازه گیری انرژی يك حالت ناپایدار به پهنای Γ_a .

مشخص صحبت کنیم؟ بلی، زیرا پهنای ترازهای هسته‌ای کم انرژی در مقایسه با فاصله بین آنها کوچک است. حالات هسته‌ای نوعاً دارای طول عمرهای بیش از 10^{-12} ثانیه هستند که با $10^{-10} \text{ MeV} < \Gamma$ متناظرند. ترازهای هسته‌ای گسسته و کم انرژی که در واپاشیهای عادی (و در بسیاری از واکنشهای هسته‌ای) دیده می‌شوند دارای فواصلی از مرتبه 10^{-3} MeV و بیشتر هستند. بنابراین اگر بخواهیم حالت نهایی هسته‌ای را پس از فرایند واپاشی اندازه بگیریم (به عنوان مثال با اندازه گیری انرژی ذره گسیل شده) همپوشی توزیعهای انرژی دو حالت نهایی مختلف a و b و ایجاد ابهام در حالت «مانای» ناشی از واپاشی بسیار نامحتمل است (شکل ۴.۶).

بنابراین نتیجه می‌گیریم که صحبت از حالات شبه مانای گسسته منطقی است زیرا فاصله بین آنها بسیار بیشتر از پهنایشان است، و نیز می‌توانیم نتیجه بگیریم که این حالات



شکل ۴.۶ هنگامی که پهنای حالت ناپایدار در مقایسه با فاصله بین آنها کوچک است، مانند مورد (الف)، حالتها گسسته و قابل مشاهده‌اند. در مورد (ب) حالتهای a و b در اثر همپوشی کاملاً با هم مخلوط شده‌اند؛ این حالتها تابع موجهای متمایز قابل مشاهده ندارند.

هسته‌ای در چگالی حالات نهایی سهمی ندارند زیرا تنها يك حالت هسته‌ای قابل حصول در فرایند واپاشی وجود دارد.

بنابراین تنها میدان تابش در چگالی حالات سهمیم است و باید خصوصیات تابش گسیلی را در محاسبه $\rho(E_f)$ در نظر بگیریم. در حال حاضر به اظهار نظرهای کلی در مورد $\rho(E_f)$ قناعت می‌کنیم. اگر فقط احتمال تشکیل حالت هسته‌ای E_f را مشاهده کنیم، باید کلیه تابشهای با انرژی $E_i - E_f$ را در نظر بگیریم. بویژه آنکه تابشها می‌توانند در هر جهت و با هر نوع قطبش (اگر تابشها از ذرات اسپین‌دار تشکیل شده باشند، اسپین می‌تواند جهت گیریهای مختلف داشته باشد) گسیل شوند. در اینجا فرض می‌کنیم که جهت تابش و قطبش آنها را مشاهده نمی‌کنیم. همین فرایند شمارش تعداد حالات نهایی قابل حصول است که چگالی حالتها را به دست می‌دهد و آن را در بحث انواع خاص تابش در فصول ۸ تا ۱۰ بیشتر مورد بررسی قرار می‌دهیم.

در حل معادله دیفرانسیل (۱۰۶) برای به دست آوردن قانون واپاشی رادیواکتیو، فرض کردیم که احتمال واپاشی λ اولاً کوچک و ثانیاً مستقل از زمان است که اتفاقاً همان فرضیهایی هستند که در تعیین قاعده طلایی فرمی به کار بردیم. اگر V' مستقل از زمان باشد، λ که از رابطه (۱۵۰۶) محاسبه می‌شود نیز مستقل از زمان خواهد بود. در این شرایط، تأثیر V' بر حالت‌های مانای a و b ناشی از V به صورت زیر است

$$\psi_a \rightarrow \psi_a + \frac{V'_{ba}}{E_b - E_a} \psi_b$$

و احتمال اینکه دستگاهی که قبلاً در حالت a بوده در حالت b دیده شود متناسب با $|V'_{ba}|^2$ است. ما این موضوع را به صورت «واپاشی» از حالت a به حالت b مشاهده می‌کنیم. برای استفاده از قاعده طلایی فرمی نیز احتمال واپاشی باید کوچک باشد، به طوری که دامنه ψ_b در رابطه فوق کوچک شود. همین ضرورت است که منجر به فرایند واپاشی می‌شود. اگر احتمال واپاشی بزرگ بود، تابش کافی برای ایجاد گذار معکوس $a \rightarrow b$ از طریق فرایند جذب تشدید می‌جود می‌داشت. در این صورت، سیستم مشابه یک سیستم کلاسیک متشکل از دو نوسانگر جفت شده بین حالات a و b نوسان می‌کرد.

ارتباط نهایی بین احتمال واپاشی مؤثر برای مجموعه‌ای از تعداد زیادی از هسته‌ها و احتمال واپاشی میکروسکوپی که با استفاده از مکانیک کوانتومی برای یک هسته منفرد محاسبه می‌شود، مستلزم آن است که هر هسته از این مجموعه تابش خود را مستقل از همه هسته‌های دیگر گسیل کند. فرض می‌کنیم که واپاشی یک هسته معین، مستقل از واپاشی همسایگان آن است. با این فرض اطمینان خواهیم یافت که ثابت واپاشی اندازه گیری شده در آزمایشگاه با محاسبات کوانتوم مکانیکی قابل مقایسه باشد.

۳.۶ تولید و واپاشی عناصر رادیواکتیو

در بسیاری موارد شرط اساسی قانون نمایی، یعنی عدم ورود هسته‌های جدید به نمونه، برقرار نمی‌ماند. در حل معادله (۱.۶) تعداد هسته‌های موجود در زمان $t = 0$ برابر N_0 بود. اما در بسیاری از کاربردها، فعالیت رادیواکتیو را مانند مورد واکنشهای هسته‌ای به‌طور پیوسته به وجود می‌آوریم. در این صورت معادله (۲.۶) دیگر معتبر نیست و باید فرایندهای تولید و واپاشی عناصر رادیواکتیو به تفصیل بررسی شوند.

فرض می‌کنیم که هدفی متشکل از هسته‌های پایدار را در یک رآکتور یا شتابدهنده مانند سیکلوترون قرار داده‌ایم. هسته‌های هدف با جذب نوترون یا ذرات باردار، نمونه‌های رادیواکتیو تولید می‌کنند. آهنگ تولید R این هسته‌ها به تعداد N_0 اتمهای هدف، شار یا جریان I ذرات فرودی، و به سطح مقطع σ واکنش (که نماینده احتمال برهم‌کنش ذره فرودی با یک هسته هدف است) بستگی دارد. شار ذرات در یک رآکتور یا سیکلوترون می‌تواند تا $10^{14}/s \cdot cm^2$ برسد و سطح مقطع نوعی واکنشها در حدود باری ($10^{-24} cm^2$) است. بنابراین احتمال تبدیل یک هسته هدف پایدار به هسته رادیواکتیو در حدود $10^{-10}/s$ است. حتی اگر واکنش ساعتها هم ادامه داشته باشد، تعداد مطلق ذرات هدف تبدیل شده کوچک خواهد بود (مثلا کمتر از 10^{-6} برابر ذرات اولیه). بنابراین با تقریب خوب می‌توانیم تعداد هسته‌های هدف را ثابت در نظر بگیریم، و با این تقریب آهنگ تولید R ثابت خواهد بود. (با «مصرف شدن» هسته‌های هدف، N_0 اندکی کاهش می‌یابد و در نتیجه آهنگ تولید در طی زمان کاهش می‌یابد. بدیهی است که وقتی $t \rightarrow \infty$ ، تعداد N_0 در نهایت به صفر میل می‌کند. ولی در زمانهای معمولی واکنشها و با در نظر گرفتن سطح مقطعهای عادی، این اثر قابل چشمپوشی است). بنابراین، رابطه

$$R = N_0 \sigma I \quad (21.6)$$

نشانگر مقدار ثابتی است که آهنگ تولید هسته‌های رادیواکتیو را به دست می‌دهد. اکنون تعداد هسته‌هایی را که در اثر واکنش تولید می‌شوند با N_1 نشان می‌دهیم. این هسته‌ها با ثابت واپاشی λ_1 به هسته‌های پایدار تبدیل می‌شوند که تعداد آنها را با N_2 مشخص می‌کنیم. بنابراین تعداد هسته‌های N_1 موجود، به علت تولید با آهنگ R افزایش، و در اثر واپاشی رادیواکتیو کاهش می‌یابد

$$dN_1 = R dt - \lambda_1 N_1 dt \quad (22.6)$$

حل این معادله به آسانی به صورت زیر به دست می‌آید

$$N_1(t) = \frac{R}{\lambda_1} (1 - e^{-\lambda_1 t}) \quad (23.6)$$

و

$$A_1(t) = \lambda_1 N_1(t) = R(1 - e^{-\lambda_1 t}) \quad (24.6)$$

اگر زمان پرتو دهی در مقایسه با یک نیمه عمر کوتاه باشد، با بسط نما و حفظ جملات خطی t رابطه زیر به دست می آید

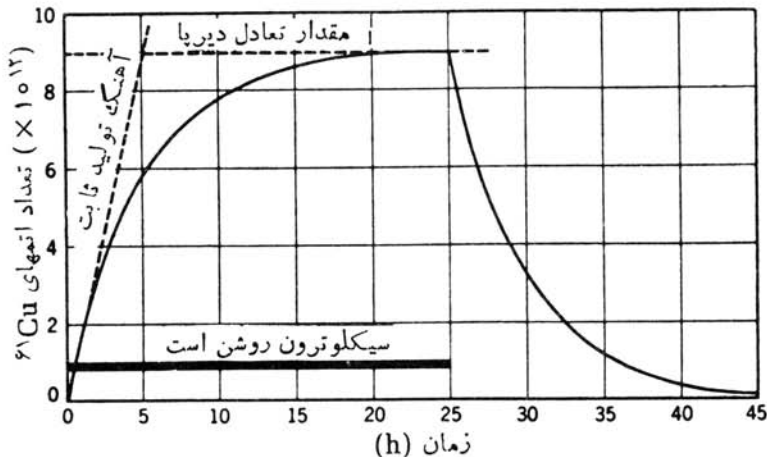
$$A_1(t) \cong R\lambda_1 t \quad t \ll t_{1/2} \quad (25.6)$$

بنابراین برای زمانهای کوتاه، اکتیویته با آهنگ ثابت افزایش می یابد. این حالت متناظر با انباشته شدن خطی (بر حسب زمان) هسته های تولید شده است، که در اثر واپاشی رادیواکتیو از تعداد آنها هنوز به طور چشمگیری کاسته نشده است. برای زمانهایی که در مقایسه با نیمه عمر طولانی هستند، جمله نمایی به صفر میل می کند و اکتیویته تقریباً ثابت می ماند

$$A_1(t) \cong R \quad t \gg t_{1/2} \quad (26.6)$$

در این حالت آهنگ تولید عنصر رادیواکتیو جدید با آهنگ واپاشی عنصر قدیمتر برابر است. این یک نمونه از تعادل دیرپا است که در بخش بعد به تفصیل بررسی می شود. اگر نمونه را به مدت t_1 پرتو دهی کنیم و سپس آن را از شنا بدهنده یا رآکتور خارج کنیم، طبق قانون ساده نمایی واپاشیده می شود، زیرا در این حال هیچ اکتیویته جدیدی به وجود نمی آید. شکل ۵.۶ فعالیت حاصل از تولید ${}^{61}\text{Cu}$ ($t_{1/2} = 3.4 \text{ h}$) را در اثر بمباران ${}^{61}\text{Ni}$ توسط دوترون نشان می دهد.

با توجه به معادله (۲۴.۶) ملاحظه می شود که ۷۵٪ اکتیویته بیشینه در اثر پرتو دهی در دو نیمه عمر و ۸۷.۵٪ در سه نیمه عمر حاصل می شود. ادامه کار پرتو دهی افزایش کمتری را در اکتیویته نمونه موجب می شود، به طوری که با پرتو دهی بیشتر از ۲ تا ۳ نیمه عمر



شکل ۵.۶ نمودار تعداد اتمهای رادیواکتیو ${}^{61}\text{Cu}$ موجود در هدف Ni در طول مدت بمباران توسط دوترونهای یک سیکلوترون، و در زمان پس از قطع بمباران.

اکتیویته اضافی نسبتاً اندکی حاصل می‌شود. در حقیقت، چون هزینه استفاده از رآکتر یا شتابدهنده معمولاً با زمان پرتودهی رابطه مستقیم دارد، بهترین نتیجه (حداکثر اکتیویته به ازای واحد هزینه) با توقف در نزدیکی ناحیه خطی ($t \ll t_{1/2}$) حاصل می‌شود.

۴.۶ رشد اکتیویته دختر - هسته

وضعیت دیگری که اغلب با آن سروکار پیدا می‌کنیم مسئله واپاشیهای رادیواکتیوی است که منجر به تولید هسته‌های رادیواکتیو می‌شوند. در این صورت، ممکن است با یک سری یا زنجیره‌ای از واپاشیهای رادیواکتیو $1 \leftarrow 2 \leftarrow 3 \leftarrow 4 \dots$ روبه‌رو شویم که معمولاً هسته اولیه (نوع ۱) را هسته مادر و «نسلهای» بعد را دختر (نوع ۲)، نوه (نوع ۳)، و غیره می‌نامند.

فرض می‌کنیم که در $t = 0$ تعداد هسته‌های مادر برابر N_0 است و هیچ محصول واپاشی وجود ندارد

$$N_1(t=0) = N_0$$

$$N_2(t=0) = N_3(t=0) = \dots = 0 \quad (27.6)$$

ثابتهای واپاشی مختلف با $\lambda_1, \lambda_2, \lambda_3, \dots$ نشان داده می‌شوند. در این محاسبات فرض می‌کنیم که عنصر نوه، محصول نهایی واپاشی، پایدار است. تعداد هسته‌های مادر با گذشت زمان طبق معمول به صورت زیر کاهش می‌یابد

$$dN_1 = -\lambda_1 N_1 dt \quad (28.6)$$

تعداد هسته‌های دختر در اثر واپاشی مادر افزایش و در نتیجه واپاشی خودش کاهش می‌یابد

$$dN_2 = \lambda_1 N_1 dt - \lambda_2 N_2 dt \quad (29.6)$$

تعداد هسته‌های مادر را می‌توان مستقیماً با انتگرال گیری از معادله (۲۸.۶) به دست آورد

$$N_1(t) = N_0 e^{-\lambda_1 t} \quad (30.6)$$

برای حل معادله (۲۹.۶)، جوابی به صورت $N_2(t) = Ae^{-\lambda_1 t} + Be^{-\lambda_2 t}$ در نظر می‌گیریم که با قرار دادن آن در معادله (۲۹.۶) و استفاده از شرایط اولیه $N_2(0) = 0$ خواهیم داشت

$$N_2(t) = N_0 \frac{\lambda_1}{\lambda_2 - \lambda_1} (e^{-\lambda_1 t} - e^{-\lambda_2 t}) \quad (31.6)$$

$$A_2(t) \equiv \lambda_2 N_2(t) = N_0 \frac{\lambda_2 \lambda_1}{\lambda_2 - \lambda_1} (e^{-\lambda_1 t} - e^{-\lambda_2 t}) \quad (32.6)$$

توجه کنید که اگر هسته‌های نوع ۲ پایدار باشند ($\lambda_2 \rightarrow 0$)، معادله (۳۱.۶) به معادله (۱۱.۶) تبدیل می‌شود. همچنین می‌توان نتایج قسمت قبل را به صورت حالت خاص معادله (۳۱.۶) در نظر گرفت. فرض می‌کنیم λ_1 بسیار کوچک است (ولی برابر صفر نیست)، به طوری که داریم $N_1 \simeq N_0 - N_0 \lambda_1 t$. در یک واکنش هسته‌ای، تعداد هسته‌های هدف طبق رابطه $N_0 - R t$ با آهنگ R کاهش می‌یابد، و در نتیجه با یکی گرفتن $N_0 \lambda_1$ و R و چشمپوشی از λ_1 در مقایسه با λ_2 ، معادله (۳۱.۶) به معادله (۲۴.۶) برای فعالیت نوع ۲ تبدیل می‌شود.

حالت $\lambda_1 \ll \lambda_2$

در این مورد عمر مادرم به اندازه‌ای طولانی است که واپاشی آن با آهنگ اساساً ثابتی صورت می‌گیرد؛ برای تمام زمانهای عملی $1 \simeq e^{-\lambda_1 t}$ است و داریم

$$N_2(t) \simeq N_0 \frac{\lambda_1}{\lambda_2} (1 - e^{-\lambda_2 t}) \quad (33.6)$$

که به همان صورت معادله (۲۴.۶) است. بنابراین اکتیویته A_2 چنانکه در شکل ۵.۶ نشان داده شده است به مقدار حدی $N_0 \lambda_1$ میل می‌کند.

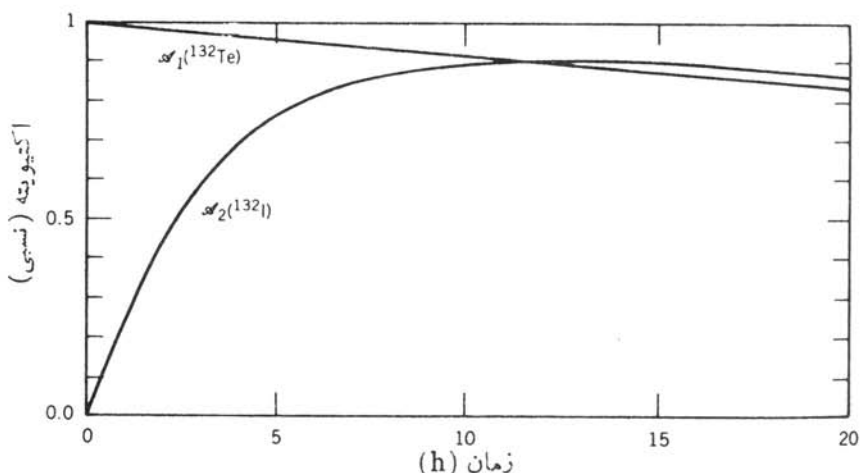
این مثال دیگری از تعادل دیرپاست، که در آن با بزرگ شدن t آهنگ واپاشی هسته نوع ۲ با آهنگ تولید آن برابر می‌شود: $\lambda_1 N_1 = \lambda_2 N_2$ [توجه کنید که در این حالت طبق معادله (۲۹.۶) داریم $dN_2/dt = 0$] شکل ۶.۶ مثالی از تعادل دیرپای تقریبی را نشان می‌دهد.

حالت $\lambda_1 < \lambda_2$

با استفاده از معادلات (۳۰.۶) و (۳۱.۶) می‌توانیم نسبت دو اکتیویته را محاسبه کنیم

$$\frac{\lambda_2 N_2}{\lambda_1 N_1} = \frac{\lambda_2}{\lambda_2 - \lambda_1} (1 - e^{-(\lambda_2 - \lambda_1)t}) \quad (34.6)$$

با افزایش زمان، جمله‌نمایی کوچکتر می‌شود و نسبت A_2/A_1 به مقدار ثابت حدی



شکل ۶.۶ در واپاشی $^{132}\text{Te}(78\text{ h}) \rightarrow ^{132}\text{I}(2.28\text{ h}) \rightarrow ^{132}\text{Xe}$ پس از تقریباً ۱۲ ساعت تعادل دیرپا حاصل می‌شود.

با $(\lambda_2 / (\lambda_2 - \lambda_1))$ میل می‌کند. اکتیویته‌ها ثابت نیستند، ولی هسته‌های نوع ۲ (عملاً) با ثابت واپاشی نوع ۱ واپاشیده می‌شوند. این وضعیت که در شکل ۷.۶ نشان داده شده است، تعادل گذرا نامیده می‌شود.

حالت $\lambda_1 > \lambda_2$

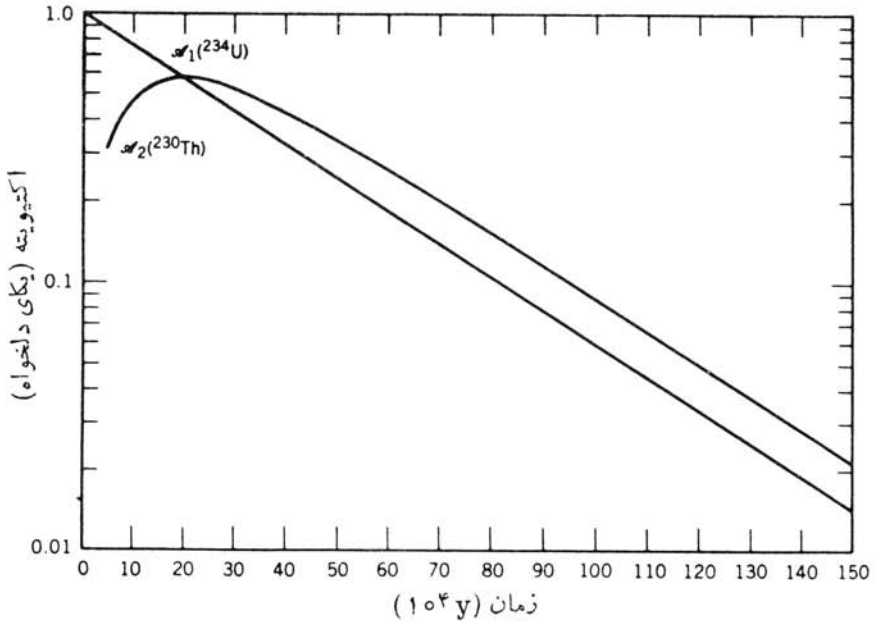
در این مورد مادر به سرعت واپاشیده می‌شود و اکتیویته دختر پس از رسیدن به مقدار بیشینه با ثابت واپاشی خاص خودش کاهش می‌یابد. در چنین حالتی تعداد هسته‌های نوع ۱ کم و تقریباً ناچیز است. اگر زمان به اندازه‌ای طولانی باشد که $e^{-\lambda_1 t}$ به سمت صفر میل کند، معادله (۳۱.۶) به صورت زیر درمی‌آید

$$N_2(t) \cong N_0 \frac{\lambda_1}{\lambda_1 - \lambda_2} e^{-\lambda_2 t} \quad (35.6)$$

که نشان می‌دهد واپاشی هسته‌های نوع ۲ تقریباً طبق قانون نمایی است.

سریهای واپاشی

حال اگر فرض کنیم که چند نسل متوالی هسته‌های رادیواکتیو وجود داشته باشند (یعنی، اگر هسته‌های نوع ۴، ۵، ۶، ... نیز رادیواکتیو باشند)، چون هر نمونه از نمونه قبل از خود به وجود می‌آید، می‌توانیم معادله (۲۹.۶) را به آسانی تعمیم دهیم



شکل ۷.۶ مثالی از تعادل در واپاشی ^{234}U ($2.345 \times 10^5 \text{ y}$) به ^{230}Th ($1.80 \times 10^4 \text{ y}$). نسبت A_2/A_1 به سمت مقدار ثابت ۱٫۴۸ میل می‌کند.

$$dN_i = \lambda_{i-1} N_{i-1} dt - \lambda_i N_i dt \quad (36.6)$$

یک جواب عمومی برای موردی که در ابتدا N_0 هسته نوع ۱ وجود داشته باشد و هیچ هسته نوع دیگر موجود نباشد، از معادلات باتمان به دست می‌آید، که در آن اکتیویته عنصر n م زنجیره بر حسب ثابت واپاشی کلیه اعضای قبل از آن داده می‌شود

$$\begin{aligned} A_n &= N_0 \sum_{i=1}^n c_i e^{-\lambda_i t} \\ &= N_0 (c_1 e^{-\lambda_1 t} + c_2 e^{-\lambda_2 t} + \dots + c_n e^{-\lambda_n t}) \end{aligned} \quad (37.6)$$

که در آن داریم

$$\begin{aligned} c_m &= \frac{\prod_{i=1}^n \lambda_i}{\prod_{i=1}^n (\lambda_i - \lambda_m)} \\ &= \frac{\lambda_1 \lambda_2 \lambda_3 \dots \lambda_n}{(\lambda_1 - \lambda_m)(\lambda_2 - \lambda_m) \dots (\lambda_n - \lambda_m)} \end{aligned} \quad (38.6)$$

علامت پریم در مخرج رابطه فوق (علامت حاصلضرب Π') نشان می‌دهد که جملات با $i = m$ حذف شده‌اند.

در این مورد نیز می‌توان به تعادل دیرپا رسید، که در این صورت داریم

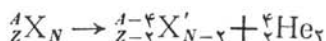
$$\lambda_1 N_1 = \lambda_2 N_2 = \dots = \lambda_n N_n$$

۵.۶ انواع واپاشیها

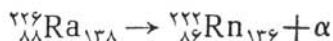
سه نوع عمده واپاشی که در فصول ۸، ۹، و ۱۰ به تفصیل بررسی می‌شوند، واپاشیهای آلفا، بتا، و گاما هستند. در فرایندهای واپاشی آلفا و بتا، یک هسته ناپایدار برای رسیدن به هسته پایدارتر (یعنی برای نزدیک شدن به پایدارترین ایزو بار با عدد جرمی مورد نظر) یک ذره α یا β گسیل می‌کند. در فرایندهای واپاشی گاما، یک حالت برانگیخته بدون هیچگونه تغییر هسته‌ای به حالت پایه واپاشیده می‌شود.

واپاشی آلفا

در این فرایند، هسته یک ذره آلفا گسیل می‌کند (که رادرفورد و همکارانش نشان دادند که این ذره همان هسته هلیوم، ${}^4_2\text{He}$ ، است). هسته ${}^4_2\text{He}$ از آن رو به‌عنوان عامل این فرایند درآمده است که سیستمی با پیوند بسیار مستحکم است، و در نتیجه انرژی جنبشی آزاد شده در واپاشی به حداکثر می‌رسد. این واپاشیها، چنانکه در فصل ۸ خواهیم دید، فرایندهای ترجیحی هستند. این فرایند واپاشی را به‌صورت زیر می‌توان نشان داد



که در آن X و X' نماینده علائم شیمیایی هسته‌های اولیه و نهایی‌اند. باید توجه داشته باشیم که در فرایند واپاشی، تعداد پروتونها و نوترونها هر یک به‌تنهایی باید پایسته بماند. نمونه زیر مثالی از فرایند واپاشی آلفا است

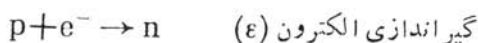


که در آن نیمه‌عمر برابر ۱۶۰۰ سال است و ذره α با انرژی جنبشی حدود ۴.۸ MeV ظاهر می‌شود.

واپاشی بتا

در اینجا هسته می‌تواند اضافه نوترون یا اضافه پروتون خود را مستقیماً با تبدیل پروتون به نوترون و یا نوترون به پروتون برطرف کند. این فرایند به سه صورت امکان‌پذیر است،

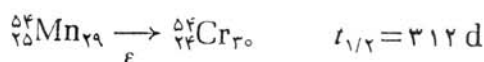
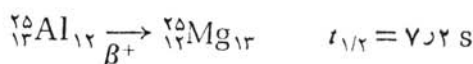
که در هر يك از آنها برای پایستگی بار الکتریکی باید ذره باردار دیگری نیز گسیل شود (بعدها معلوم شد که این ذره باردار که در ابتدا ذره β خوانده می‌شد، الکترون معمولی است).



نخستین فرایند که به نام واپاشی بتای منفی یا واپاشی نگاترون معروف است، مستلزم آفرینش و گسیل يك الکترون معمولی است. دومین فرایند واپاشی بتای مثبت یا واپاشی پوزیترون زاست، که در آن يك الکترون با بار مثبت گسیل می‌شود. در سومین فرایند، يك الکترون اتمی که به هسته نزدیک است بلعیده می‌شود، و بدین ترتیب تبدیل پروتون به نوترون تحقق می‌یابد.

در هر سه فرایند، ذره دیگری به نام نوترینو نیز گسیل می‌شود، ولی چون نوترینو بار الکتریکی ندارد، انضمام آن در فرایند واپاشی هویت سایر ذرات نهایی را تغییر نمی‌دهد. توجه کنید که در واپاشیهای بتا زای مثبت و منفی، يك ذره خلاق می‌شود (با صرف انرژی واپاشی و طبق رابطه $m = E/c^2$). الکترون و پوزیترون قبل از واپاشی در هسته وجود ندارند. (برخلاف مورد واپاشی آلفا، که در آن نوکلئونهای گسیلی قبل از واپاشی در هسته موجودند.)

چند نمونه از فرایند واپاشی بتا را به صورت زیر راست



در این فرایند Z و N هر يك به اندازه يك واحد تغییر می‌کنند، اما عدد جرمی کل $(Z + N)$ ثابت می‌ماند.

واپاشی گاما

گسیل رادیواکتیو γ مشابه گسیل تابشهای اتمی، مانند گذارهای اپتیکی یا پرتو x است.

يك حالت هسته‌ای برانگیخته با گسیل يك فوتون γ با انرژی برابر با اختلاف انرژی دو حالت (منهای تصحیح قابل چشم‌پوشی مربوط به انرژی «پس‌زنی» هسته گسیلنده) به حالت هسته‌ای پایینتر با حالت پایه تنزل می‌کند. گسیل گاما در تمام هسته‌هایی که حالت برانگیخته مقید دارند ($A > 5$) مشاهده می‌شود، و معمولاً به دنبال واپاشیهای آلفا و بتا صورت می‌گیرد، زیرا در این واپاشیها معمولاً هسته دختر در حالت برانگیخته تشکیل می‌شود. نیمه‌عمر گسیل γ معمولاً بسیار کوتاه، عموماً کمتر از 10^{-9} s است. ولی در مواردی نیمه‌عمرهای طولانیتر در حدود ساعت یا روز نیز مشاهده شده است. این گذارها را گذارهای ایزومری و حالت‌های برانگیخته با عمر طولانی را حالت‌های ایزومری یا ایزومرها (یا گاهی حالت‌های شبه پایدار) می‌نامند. معیار روشنی برای طبقه‌بندی حالتها به صورت ایزومری و غیرایزومری وجود ندارد. قبلاً معیار این تقسیم‌بندی، قابلیت اندازه‌گیری نیمه‌عمر به‌طور مستقیم بود، ولی امروزه می‌توانیم نیمه‌عمرهای خیلی کم‌تر از 10^{-9} s را نیز اندازه بگیریم. مسلماً حالت با $t_{1/2} = 10^{-6}$ s ایزومر است و حالت با نیمه‌عمر $t_{1/2} = 10^{-12}$ s ایزومر نیست، ولی بین این دو حد با وضعیت نسبتاً مبهم روبه‌رو می‌شویم. معمولاً حالت‌های شبه پایدار را با شاخص بالای m مشخص می‌کنیم؛ مانند $^{110}\text{Ag}^m$ یا $^{110\text{m}}\text{Ag}$. فرایندی که غالباً با گسیل γ رقابت می‌کند تبدیل داخلی است، که در آن هسته با انتقال مستقیم انرژی اش به يك الکترون اتمی و اانگیخته می‌شود. این الکترون سپس در آزمایشگاه به صورت الکترون آزاد ظاهر می‌شود. (این فرایند با واپاشی بتا خیلی تفاوت دارد، زیرا در این فرایند تغییری در Z و N رخ نمی‌دهند، هرچند که اتم در اثر واپاشی یونیده می‌شود.)

شکافت خود به خود

اغلب تصور می‌کنیم که شکافت تحت شرایط غیرطبیعی و مصنوعی، مثلاً در يك رآکتور هسته‌ای، رخ می‌دهد. اما بعضی هسته‌ها در طبیعت وجود دارند که عمل واپاشی رادیواکتیو در آنها به صورت شکافت خود به خود ظاهر می‌شود. این فرایند با شکافت ایجاد شده توسط نوترون، که در رآکتورها رخ می‌دهد، مشابهت دارد ولی با این تفاوت که در این مورد لزومی به گیراندازی قبلی نوترون برای شروع شکافت نیست. در این فرایند، هسته سنگینی که نوترون اضافی دارد تقریباً به دو نیمه تقسیم می‌شود و به دو هسته سبک‌تر تبدیل می‌شود. هسته‌های نهایی، برخلاف واپاشی آلفا و بتا دقیقاً مشخص نیستند، بلکه به‌طور آماری در گستره هسته‌های میان وزن توزیع می‌شوند. هسته‌های ($t_{1/2} = 2.6 \text{ h}$) ^{256}Fm و ($t_{1/2} = 6.0 \times 10^5 \text{ d}$) ^{254}Cf نمونه‌هایی هستند که خود به خود شکافته می‌شوند.

گسیل نوکلئون

بادور شدن هر چه بیشتر از «دره» هسته‌های پایدار، اختلاف انرژی بین ایزومرهای مجاور

افزایش می‌یابد (سه‌میهای جرمی برای هسته‌های با A ثابت در شکل ۱۸.۳). سرانجام این اختلاف انرژی از انرژی بستگی نوکلئون (که به‌طور متوسط برابر 8 MeV است) بیشتر می‌شود و واپاشی رادیواکتیو با گسیل نوکلئون امکان‌پذیر می‌شود. این نوع واپاشی اغلب در محصولات شکافت که اضافه نوترون زیادی دارند رخ می‌دهد، و همین فرایند است که نوترونهای «تأخیری» (تأخیری در حد نیمه‌عمر واپاشی نوکلئونی) مورد نیاز کنترل رآکتورهای هسته‌ای را تأمین می‌کند. به‌عنوان مثال، ^{138}I با تابش بتا با نیمه‌عمر 6.5 s به ^{138}Xe واپاشیده می‌شود. بیشتر این واپاشیها منجر به حالات برانگیخته کم‌انرژی در ^{138}Xe می‌شوند. ولی در حدود ۵٪ از واپاشیها در ^{138}I به ترازهای برانگیخته ^{138}Xe با انرژی بیش از 6.5 MeV منجر می‌شوند، که این حالات با گسیل مستقیم نوترون به ^{137}Xe منتهی می‌شوند. به‌همین ترتیب، ۷۰٪ از واپاشیهای ^{72}Kr از طریق گسیل β^+ حالات با گسیل پروتون به حالات ^{72}Se واپاشیده می‌شوند.

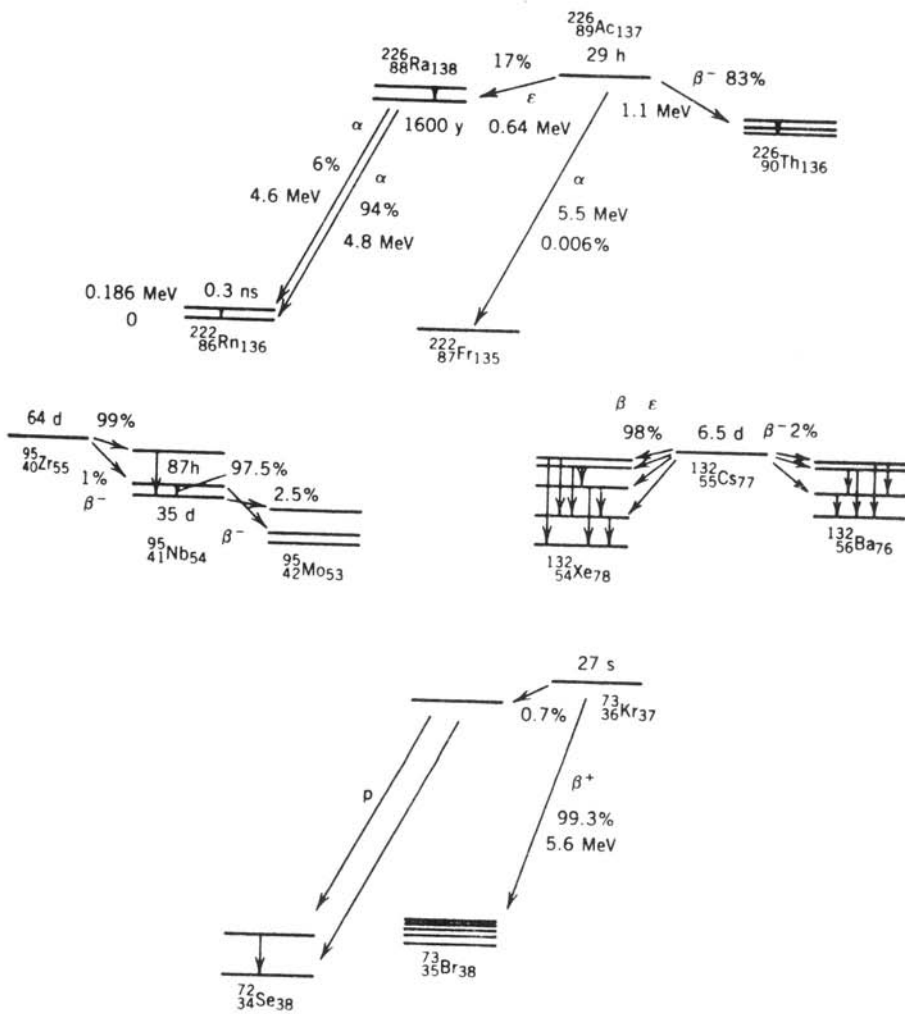
نسبتهای انشعاب و نیمه‌عمرهای جزئی

انواع مختلف فرایندهای واپاشی در شکل ۸.۶ خلاصه شده‌اند، و شکل ۹.۶ بخش کوچکی از جدول هسته‌های پایدار و رادیواکتیو (شکل ۱۰.۱) را نشان می‌دهد که در آن چند فرایند واپاشی مشخص شده است. بعضی هسته‌ها فقط طسی یک فرایند واپاشیده می‌شوند، ولسی غالباً نمودار واپاشی بسیار پیچیده و شامل گسیل آلفا، بتا، و گاما در مدهایی است که با همدیگر در رقابت‌اند. شدت نسبی مدهای رقیب را نسبتهای انشعاب می‌نامیم. بنابراین ^{226}Ra در واپاشی آلفا با نسبت انشعاب ۹۴٪ به حالت پایه و با نسبت انشعاب ۶٪ به اولین حالت برانگیخته ^{222}Rn واپاشیده می‌شود. اغلب مدهای مختلف واپاشی باهم قابل رقابت‌اند: واپاشی ^{226}Ac به صورتهای گسیل α (۵۰.۶٪)، گسیل β^- (۸۳٪)، و گیراندازی الکترون ϵ (۱۷٪) انجام می‌شود؛ واپاشی ^{132}Cs به صورتهای گسیل β^- (۲٪)، β^+ ، و ϵ (۹۸٪) صورت می‌گیرد؛ حالت شبه پایدار $^{95\text{m}}\text{Nb}$ با گسیل β^- (۲۵٪) و با گذار ایزومری (۹۷.۵٪) واپاشیده می‌شود. گذار ایزومری خود شامل یک شاخه ۲۷ درصدی گسیل γ و یک شاخه ۷۳ درصدی تبدیل داخلی است.

معمولاً نسبت انشعاب را با ثابت واپاشی جزئی یا نیمه‌عمر جزئی مشخص می‌کنیم. به‌عنوان مثال واپاشی ^{226}Ac ($t_{1/2} = 29 \text{ h}$) را در نظر می‌گیریم. ثابت واپاشی کس برابر است با

$$\lambda_i = \frac{0.693}{t_{1/2}} = 0.024 \text{ h}^{-1} = 6.6 \times 10^{-6} \text{ s}^{-1}$$

انواع واپاشیها ۲۳۳



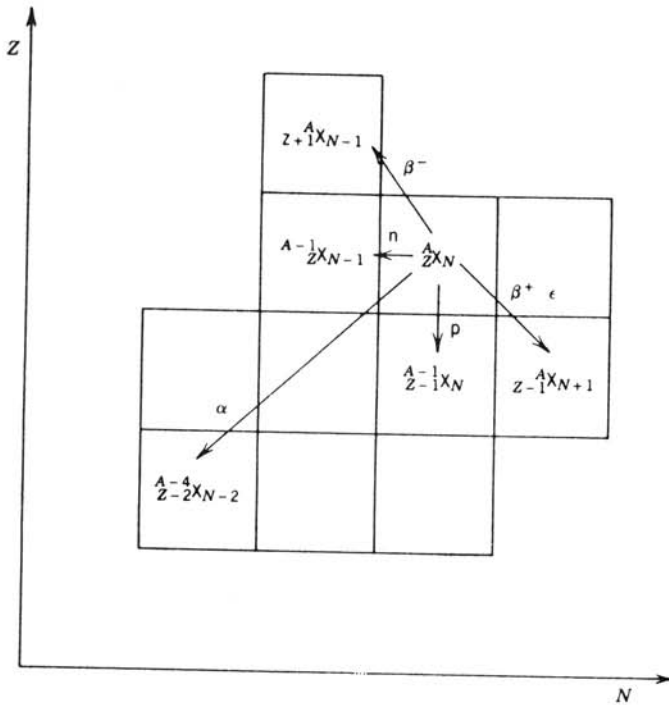
شکل ۸-۶ انواع مختلف فرایندهای واپاشی.

و ثابتهای واپاشی جزئی عبارت اند از

$$\lambda_{\beta} = 0.83 \lambda_t = 5.5 \times 10^{-6} \text{ s}^{-1}$$

$$\lambda_{\epsilon} = 0.17 \lambda_t = 1.1 \times 10^{-6} \text{ s}^{-1}$$

$$\lambda_{\alpha} = 6 \times 10^{-5} \lambda_t = 4 \times 10^{-10} \text{ s}^{-1}$$



شکل ۹.۶ هسته اولیه $\frac{A}{2}X_N$ از طریق فرایندهای مختلف واپاشی می تواند به حالت‌های نهایی متنوعی برسد.

و نیمه عمرهای جزئی به‌قرار زیرند

$$t_{1/2, \beta} = \frac{0.693}{\lambda_{\beta}} = 1.3 \times 10^5 \text{ s} = 3.5 \text{ h}$$

$$t_{1/2, \epsilon} = \frac{0.693}{\lambda_{\epsilon}} = 6.1 \times 10^5 \text{ s} = 170 \text{ h}$$

$$t_{1/2, \alpha} = \frac{0.693}{\lambda_{\alpha}} = 1.7 \times 10^9 \text{ s} = 55 \text{ y}$$

استفاده از نیمه عمر جزئی روشی آسان برای معرفی نسبت‌های انشعاب است؛ نظری به‌شکل‌های بالا نشان می‌دهد که برای ^{226}Ac احتمال گسیل α بسیار کمتر از β است. اما، در عمل مشاهده می‌شود که اکتیویته فقط با نیمه عمر کل واپاشیده می‌شود. حتی اگر واپاشی ^{226}Ac را با توجه به گسیل α مورد مشاهده قرار دهیم، اکتیویته با گذشت زمان با نیمه عمر 29 h کاهش می‌یابد. (اگر این مطلب حقیقت نداشت و دو ناظر واپاشی ^{226}Ac را یکی با مشاهده β و دیگری با مشاهده α بررسی می‌کردند. چون قانون واپاشی رادیواکتیو تعداد هسته‌های ناواپاشیده را معین می‌کند، ناظر β نتیجه می‌گرفت که نیمی از هسته‌های ^{226}Ac پس از

۳۵ ساعت باقیمانده است، درحالی که ناظر α برای مشاهده واپاشی نیمی از هسته‌ها باید ۵۵ سال صبر می‌کرد! درحقیقت، نیمی از هسته‌ها در هر ۲۹ ساعت بدون توجه به روش مشاهده واپاشیها واپاشیده می‌شوند.)

۶.۶ راديو اکتیویته طبیعی

زمین و سایر سیارات منظومه شمسی در حدود $10^9 \times 48$ سال قبل از موادی تشکیل شدند که از نظر آهن، کربن، اکسیژن، سیلیسیم، و سایر عناصر میان‌وزن و سنگین غنی بودند. این عناصر هم به نوبه خود از ترکیب هیدروژن و هلیوم که طی انفجار بزرگ موسوم به مهیانگ در حدود $10^9 \times 15$ سال قبل تولید شده بودند به وجود آمدند. در فاصله زمانی $10^9 \times 10$ سال بین مهیانگ تا تشکیل منظومه شمسی، هیدروژن و هلیوم در قسمتهای داخلی ستاره‌ها، نواخترها، و ابرنواخترها «پخته» شدند و به صورت عناصر سنگین‌تر درآمدند که ما زمینی‌ها هم امروز از بقایای تغییر شکل یافته همان ستاره‌های نابود شده به شمار می‌رویم. بیشتر عناصری که به این طریق تولید شدند راديو اکتیو بودند، اما از آن زمان تا کنون به هسته‌های پایدار واپاشیده‌اند. نیمه عمر تعداد اندکی از عناصر راديو اکتیو در مقایسه با عمر زمین طولانی است، و بنابراین هنوز هم می‌توانیم راديو اکتیویته آنها را ملاحظه کنیم. همین راديو اکتیویته است که بخش عمده‌ای از اکتیویته محیط طبیعی ما را تشکیل می‌دهد، و احتمالاً گرمای درونی سیاراتی مانند زمین نیز از همین‌جا نشأت می‌گیرد.

اگرچه انواع زیادی عناصر راديو اکتیو طبیعی با عمر طولانی وجود دارند، ولی منشأ اغلب آنهايي که امروزه مشاهده می‌شوند به عناصر بسیار سنگین مربوط می‌شود که هیچ ایزوتوپ پایداري ندارند. این نوکلیدها با گسیل α و β واپاشیده می‌شوند، و A و Z در آنها آن قدر کاهش می‌یابد تا سرانجام يك هسته پایدار سبکتر حاصل می‌شود. واپاشی آلفا از A را چهار واحد تغییر می‌دهد ولی واپاشی بتا از A نمی‌شود. از این رو، در طبیعت با چهار زنجیره واپاشی مستقل با اعداد جرمی $4n+1$ ، $4n+2$ ، $4n+3$ ، و $4n+4$ روبه‌رو می‌شویم که در آنها n عدد صحیح است. فرایندهای واپاشی باعث وفور هسته‌هایی خواهند شد که دراز - عمرترین عضو زنجیره محسوب می‌شوند، و اگر طول عمر این نوع نوکلیدها دست کم در حدود عمر زمین باشد، هنوز هم قادر به مشاهده اکتیویته ناشی از آنها خواهیم بود. این چهار زنجیره در جدول ۱.۶ فهرست شده‌اند. توجه کنید که نیمه عمر دراز - عمرترین عضو نپتونیم به اندازه‌های کوتاه بوده است که از زمان تشکیل زمین تا کنون دوام نیاورده است؛ به همین دلیل این سری را در مواد طبیعی مشاهده نمی‌کنیم.

به عنوان مثال، سری توریم را در نظر بگیرید که در شکل ۱.۰۶ نشان داده شده است. فرض می‌کنیم که در مدت زمان کوتاه، انواع ایزوتوپهای پلوتونیم (Pu) را تولید کرده‌ایم. ایزوتوپهای ^{232}Pu و ^{234}Pu به سرعت به ^{232}U با نیمه عمر ۷۲ سال و سایر نمونه‌های با نیمه عمر خیلی کوتاهتر واپاشیده می‌شوند. بنابراین، طی زمانی که در مقایسه با ۷۲ سال

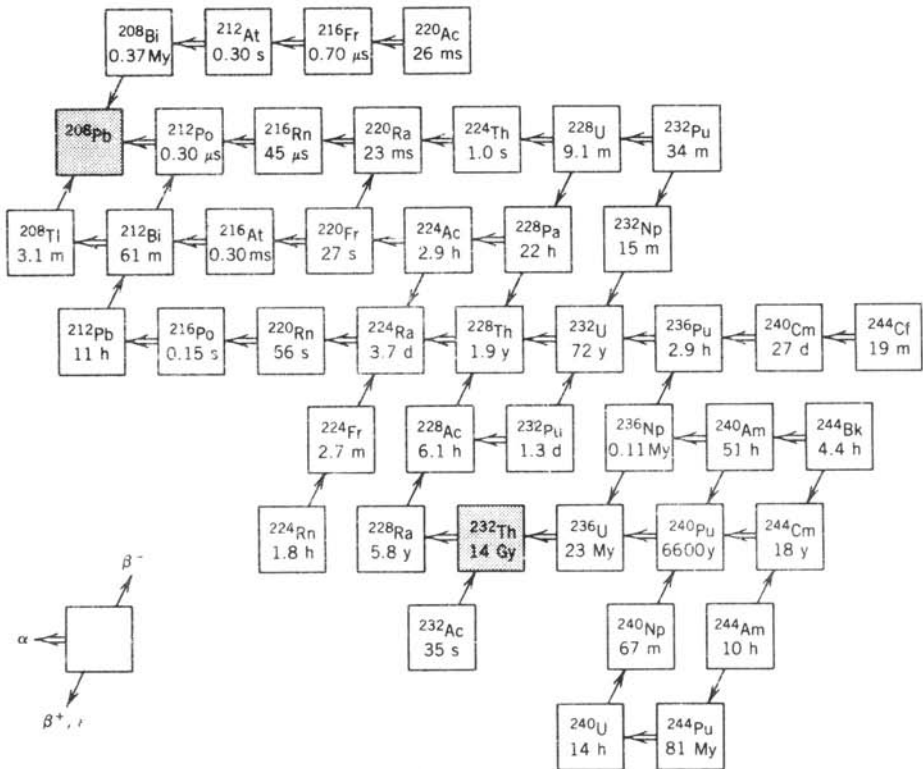
جدول ۱۰۶ بعضی از مشخصات سریهای فروپاشی عناصر سنگین.

نام سری	نوع °	هسته پایدار نهایی	دراز - عمرترین عضو	
			هسته	نیمه عمر (y)
توریم	$4n$	^{208}Pb	^{232}Th	1.41×10^{10}
نپتونیم	$4n+1$	^{209}Bi	^{237}Np	2.14×10^6
اورانیم	$4n+2$	^{206}Pb	^{238}U	4.47×10^9
اکتینیم	$4n+3$	^{207}Pb	^{235}U	7.04×10^8

* همواره عدد صحیح است.

طولانی است (مثلاً 10^3 سال) رد کلیه این ایزوتوپها از بین می رود و فقط محصول پایدار نهایی ^{208}Pb بجا می ماند. ایزوتوپهای ^{244}Pu و ^{246}Pu بسیار کندتر به ^{236}U تبدیل می شوند (اولی نسبتاً سریعتر و دومی خیلی به کندی). اورانیم ^{238}U به نوبه خود به دراز - عمرترین عضو این سری یعنی ^{232}Th واپاشیده می شود. در طی زمسانی بیشتر از $10^6 \times 81$ سال و کمتر از $10^9 \times 14$ سال، ^{240}Pu و ^{244}Pu اولیه (و ^{236}U واسطه) تماماً واپاشیده شده و به صورت ^{232}Th در آمده اند، که واپاشی ^{232}Th هنوز هم قابل مشاهده است.

این ایزوتوپهای رادیواکتیو در موادی که در اطراف ما وجود دارند، و مخصوصاً در صخره ها و کانیهای که $10^9 \times 45$ سال قبل همراه با زمین تشکیل شده اند، دیده می شوند. [در حقیقت، بررسی واپاشی آنها روش قابل اعتمادی برای تعیین زمان تشکیل صخره ها و در نتیجه عمر زمین به شمار می رود؛ برای بحث در مورد این روشها به بخش ۷.۶ و فصل ۱۹ (جلد دوم، ترجمه فارسی) رجوع کنید.] عموماً عناصر رادیواکتیو به صورتی وجود دارند که با مواد معدنی پیوند خورده اند و نهدیدی برای سلامت ما نیستند، ولی تمام سریهای رادیواکتیو طبیعی حاوی گاز رادیواکتیو رادن هستند. این عنصر، اگر در اعماق صخره ها تشکیل شود، معمولاً قبل از واپاشی شانس اندکی برای رسیدن به سطح صخره و در نتیجه ورود به هوا را خواهد داشت. اما با شکسته شدن صخره ها، گاز رادن به خارج از صخره فرار می کند (در حقیقت، در سالهای اخیر وجود گاز رادن در هوا مقدمه بروز زلزله تشخیص داده شده است). احتمال فرار رادن از سطح کانیها، و مخصوصاً مصالحی که برای ساختمانها به کار می روند، نیز وجود دارد. استنشاق این گاز رادیواکتیو می تواند علت بسیاری از سرطانهای ریه محسوب شود، و ظن قوی می رود که این فرایند سرطان زایی در اثر سیگار کشیدن و به واسطه تجمع این محصولات رادیواکتیو در ریه ها تشدید شود. شایان ذکر است که تمایل اخیر به احداث



شکل ۱۰.۶ واپاشیهای رادیواکتیو طبیعی در سری توریم. بعضی نیمه‌عمرها با (10^6y) My و (10^9y) Gy مشخص شده‌اند. دراز-عمرترین اعضای رادیواکتیو این سری (که توریم نامگذاری شده‌است) همچنین محصول پایدار نهایی آن به‌صورت سایه‌دار نشان داده شده‌اند.

ساختمانهای عایق‌بندی شده و کاملاً بسته برای صرفه‌جویی انرژی ممکن است به‌افزایش گاز رادن منجر شده باشد، و در حال حاضر پژوهشهای زیادی در این زمینه انجام می‌شود که اندازه‌گیری تجمع گاز رادن در ساختمانها نیز از آن جمله است.

سریهای عناصر سنگین تنها چشمه ایزوتوپهای رادیواکتیو طبیعی با نیمه‌عمر طولانی در مواد زمینی نیستند. جدول ۲.۶ فهرستی از چشمه‌های دیگر را نشان می‌دهد که برخی از آنها می‌توانند برای عمرسنجی رادیواکتیو نیز به‌کار روند.

چشمه‌های رادیواکتیو دیگر با نیمه‌عمر نسبتاً کوتاه نیز وجود دارند که باقیمانده عناصر تولید شده به‌هنگام تشکیل زمین نیستند، بلکه در زمان معاصر و به‌طور پیوسته تولید می‌شوند. این عناصر که شامل ^3H و ^{14}C هستند، در اثر برخورد پرتوهای کیهانی (پروتونهای پراانرژی) با اتمهای موجود در جو و وقوع واکنش‌های هسته‌ای در جو فوقانی به‌وجود می‌آیند. ایزوتوپ ^{14}C کاربردهای مهمی در عمرسنجی رادیواکتیو دارد.

جدول ۲۰۶ برخی ایزوتوپهای رادیواکتیو طبیعی.

ایزوتوپ	$t_{1/2}(y)$
4_0K	1.28×10^9
${}^{87}Rb$	4.8×10^{10}
${}^{112}Cd$	9×10^{15}
${}^{115}In$	4.74×10^{14}
${}^{138}La$	1.03×10^{11}
${}^{176}Lu$	3.76×10^{10}
${}^{187}Re$	5×10^{10}

۷.۶ عمرسنجی رادیواکتیو

گرچه نمی‌توان زمان واپاشی یک هسته را به‌دقت تعیین کرد، ولی تعیین دقیق زمان لازم برای واپاشی نیمی از تعداد زیادی از هسته‌ها امکان‌پذیر است. ممکن است دو گفته فوق‌متناقض به‌نظر آیند؛ ارتباط آنها به‌واسطه استنتاجهای آماری است که با مطالعه فرایندهای تصادفی فراهم می‌شود. اگر اتاقی حاوی یک مولکول گاز داشته باشیم، نمی‌توانیم با اطمینان احتمال وجود آن را در نیمه چپ یا راست اتاق پیش‌بینی کنیم. اما اگر با تعداد بسیار زیاد N مولکول ($N \sim 10^{24}$) در اتاق سروکار داشته باشیم، انتظار داریم که به‌طور متوسط $N/2$ مولکول در هر نیمه راست و چپ وجود داشته باشد. به‌علاوه، افت و خیز تعداد موجود در هر نیمه محتوی $N/2$ مولکول در حدود \sqrt{N} خواهد بود؛ بنابراین افت و خیز تعداد مولکولهای موجود در هر نیمه اتاق در حدود $\sqrt{N}/N \approx 10^{-12}$ خواهد شد. کسر مولکولهای موجود در هر نیمه اتاق برابر $0.5000000000000001 \pm 0.0000000000000005$ می‌شود؛ این دقت بسیار زیاد (و نامعقول) به‌علت بزرگ بودن N و کوچک بودن خطای نسبی $N^{-1/2}$ حاصل می‌شود.

برای واپاشی رادیواکتیو هم با وضعیت مشابهی روبه‌رو می‌شویم. (قوانین شمارش آماری در فصل ۷ به‌تفصیل مورد بررسی قرار می‌گیرند.) اگر در لحظه $t = 0$ مجموعه‌ای متشکل از تعداد زیاد N_0 هسته رادیواکتیو در دست باشد، پس از گذشت یک نیمه‌عمر کسر باقیمانده هسته‌ها برابر $N_0^{-1/2} \pm 1/2$ خواهد شد. بنابراین، به‌رغم ماهیت کاتوره‌ای

فرایند واپاشی، واپاشی هسته‌های رادیواکتیو زمان‌سنج بسیار دقیق و کاملاً قابل اعتمادی برای ثبت گذشت زمان است. یعنی اگر ثابت واپاشی λ را بدانیم، کاهش نمایی اکتیویتهٔ یک نمونه می‌تواند برای اندازه‌گیری زمان به‌کار رود.

استفاده از این فرایند وقتی با مشکل روبه‌رو می‌شود که بخواهیم آن‌را در واپاشی‌هایی که طی زمان‌های زمین‌شناختی ($\sim 10^9$ سال) رخ می‌دهند به‌کار ببریم، زیرا در این مورد تغییرات اکتیویته بر حسب زمان را اندازه نمی‌گیریم. در عوض، از تعداد نسبی هسته‌های مادر و دختر در زمان t_1 (زمان حال) در مقایسه با تعداد آن‌ها در زمان t_0 (وقتی که «زمان‌سنج» شروع به‌کار کرده‌است، که معمولاً همان زمان چگالش موادی مانند صخره‌های کانی است که بر اثر آن هسته‌های مادر در مرحله‌های فعلی مجبوس شده‌اند) استفاده می‌کنیم. این فرایند در اصل فرایندی نسبتاً ساده است. با معلوم بودن واپاشی ایزوتوپ مادر P به‌دختر D ، فقط (مثلاً با استفاده از روش‌های شیمیایی) تعداد اتم‌های موجود P و D یعنی $N_P(t_1)$ و $N_D(t_1)$ را می‌شماریم

$$N_D(t_1) + N_P(t_1) = N_P(t_0) \quad (39.6)$$

$$N_P(t_1) = N_P(t_0) e^{-\lambda(t_1 - t_0)} \quad (40.6)$$

$$\Delta t \equiv t_1 - t_0 = \frac{1}{\lambda} \ln \frac{N_P(t_0)}{N_P(t_1)}$$

$$\Delta t = \frac{1}{\lambda} \ln \left(1 + \frac{N_D(t_1)}{N_P(t_1)} \right) \quad (41.6)$$

با معلوم بودن ثابت واپاشی (که می‌توان آن‌را در آزمایشگاه اندازه‌گرفت) و نسبت فعلی هسته‌های دختر به‌مادر، سن نمونه مستقیماً به‌دست می‌آید. دقت این روش به‌دقت شناخت λ و آمار شمارش N_D و N_P بستگی دارد.

معادلات (۳۹.۶) و (۴۰.۶) متضمن فرضیهایی است که باید قبل از کار برد معادله (۴۱.۶) برای تعیین عمر نمونه به‌دقت بررسی شوند. در معادله (۳۹.۶) فرض شده‌است $N_D(t_0) = 0$ و این بدان معنی است که در لحظه $t = 0$ هیچ اتم دختری وجود ندارد؛ همچنین فرض شده‌است که تعداد کل اتم‌ها ثابت مانده‌است، یعنی هیچ اتم مادر یا دختری از محیط اولیهٔ کانی یا جسم جامد فرار نمی‌کند. در بحث زیر خواهیم دید که می‌توان طرز تعیین Δt را چنان اصلاح کرد که تعداد اتم‌های دختر در لحظه t_0 را هم شامل شود (اگرچه در تحلیل امروز که در زمان t_1 انجام می‌شود، نمی‌توانیم بگوییم که چه اتم‌های دختری ابتدا در نمونه موجود بودند و کدامیک از آن‌ها در اثر واپاشی در زمان Δt ناشی شده‌اند). در معادله (۴۰.۶) فرض شده‌است که تغییرات N_P فقط در اثر واپاشی موردنظر حاصل می‌شود، یعنی هیچ اتم مادری به‌روش‌های دیگر (مثلاً در اثر واپاشی قبلی و یا در اثر واکنش‌های هسته‌ای ایجاد شده توسط پرتوهای کیهانی) تولید نمی‌شود.

اکنون محدودیت فرضها را در معادله (۳۹.۶) کمتر می‌کنیم، و فرض می‌کنیم تعدادی هسته دختر هم در لحظه $t = t_0$ در نمونه وجود داشته باشند. این هسته‌های دختر می‌توانند ناشی از واپاشی هسته‌های مادر در زمان قبل از t_0 یا فرایندهایی (مانند يك انفجار ابرنواختر) باشند که هسته‌های اولیه مادر را به وجود آورده‌اند. چگونگی تشکیل این هسته‌های دختر اولیه در محاسبات ما حائز اهمیت نیست. بنا بر این می‌توان نوشت

$$N_D(t_1) + N_P(t_1) = N_D(t_0) + N_P(t_0) \quad (42.6)$$

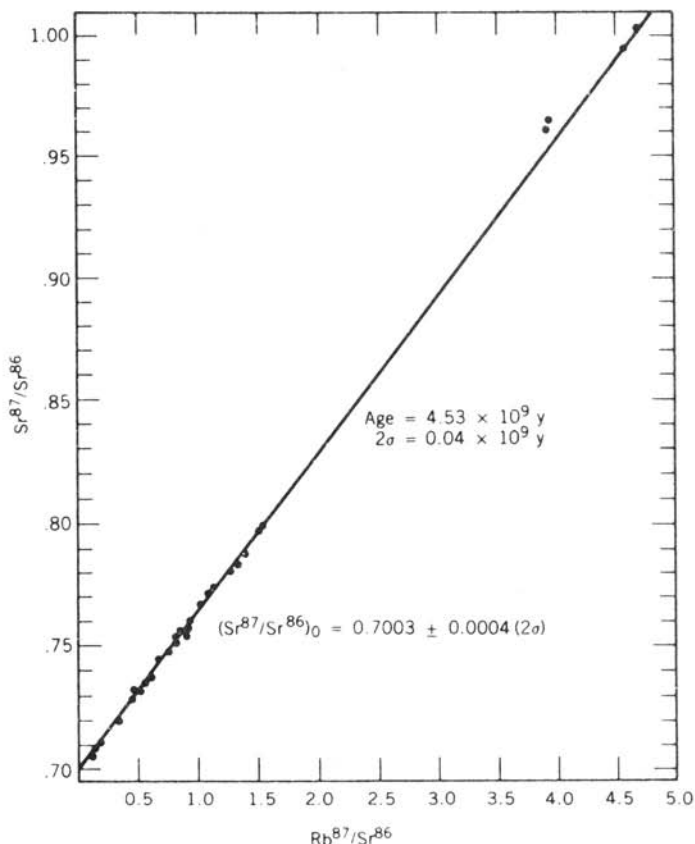
به علت ورود مجهول $N_D(t_0)$ ، نمی‌توان معادله را مستقیماً حل کرد و Δt را به دست آورد. اما اگر ایزوتوپ دختر دیگری مانند D' هم در نمونه وجود داشته باشد که رادیواکتیو نبوده و از واپاشی مادری با عمر طولانی نیز تشکیل نشده باشد، می‌توانیم عمر نمونه را تعیین کنیم. تعداد موجود این ایزوتوپ پایدار را با $N_{D'}$ نشان می‌دهیم که اگر D' پایدار باشد داریم $N_{D'}(t_1) = N_{D'}(t_0)$ و در این صورت

$$\frac{N_D(t_1) + N_P(t_1)}{N_{D'}(t_1)} = \frac{N_D(t_0) + N_P(t_0)}{N_{D'}(t_0)} \quad (43.6)$$

که می‌توانیم آن را به صورت زیر بنویسیم

$$\frac{N_D(t_1)}{N_{D'}(t_1)} = \frac{N_P(t_1)}{N_{D'}(t_1)} [e^{\lambda(t_1 - t_0)} - 1] + \frac{N_D(t_0)}{N_{D'}(t_0)} \quad (44.6)$$

نسبت‌های $N_D(t_1)/N_{D'}(t_1)$ و $N_P(t_1)/N_{D'}(t_1)$ را می‌توان در آزمایشگاه اندازه‌گیری کرد، ولی هنوز هم دو مجهول عمر Δt و نسبت اولیه ایزوتوپها $N_D(t_0)/N_{D'}(t_0)$ در معادله (۴۴.۶) باقی می‌مانند. کانیتهایی که از يك منشأ به صورت بلور درآمده‌اند باید سن و نسبت ایزوتوپی $N_D(t_0)/N_{D'}(t_0)$ یکسان داشته باشند، اگر چه $N_P(t_0)$ اولیه در آنها ممکن است بسیار متفاوت باشد (مثلاً به علت ترکیب شیمیایی متفاوت). اگر این فرضیه‌ها صحیح باشند، انتظار داریم که در حال حاضر کانیتهایی را با نسبت‌های مختلف $N_D(t_1)/N_{D'}(t_1)$ و $N_P(t_1)/N_{D'}(t_1)$ و مقادیر یکسان Δt و $N_D(t_0)/N_{D'}(t_0)$ مشاهده کنیم. این فرضها را می‌توان با رسم $y = N_D(t_1)/N_{D'}(t_1)$ بر حسب $x = N_P(t_1)/N_{D'}(t_1)$ برای کانیتهای مختلف آزمود. معادله (۴۴.۶) به صورت $y = mx + b$ خط راستی با شیب $m = e^{\lambda(t_1 - t_0)} - 1$ و محل برخورد $b = N_D(t_0)/N_{D'}(t_0)$ است. شکل ۱۱.۶ نمونه‌ای از کاربرد این روش را برای واپاشی ${}^{87}\text{Rb} \rightarrow {}^{87}\text{Sr}$ ($t_{1/2} = 4.8 \times 10^{10} \text{y}$) نشان می‌دهد، که در آن مبنای مقایسه ${}^{86}\text{Sr}$ پایدار است. اگر چه نسبت فعلی ${}^{87}\text{Rb}$ به ${}^{86}\text{Sr}$ با بیش از يك مرتبه بزرگی تغییر می‌کند، ولی با استفاده از کلیه اطلاعات موجود سن زمین را برابر $4.5 \times 10^9 \text{y}$ بدست می‌آوریم. در این روش، برآزش خطی مناسب اهمیت زیادی دارد، زیرا همین برآزش است که فرضهای ناپدید نشدن هسته‌های مادر و دختر را توجیه می‌کند.



شکل ۱۱.۶ روش عمرسنجی Rb-Sr با در نظر گرفتن ^{87}Sr اولیه. رفتار خطی با معادله (۴۴.۶) سازگار است.

از دیگر روشهای مشابه برای عمرسنجی کانیهای زمین، ماه و شهابسنگها هم سن مشترك ^{235}U $\times 10^9$ سال حاصل می شود. این روشها شامل واپاشی ^{40}K به ^{40}Ar ، واپاشی ^{238}U و ^{235}U به ^{206}Pb و ^{207}Pb ، و شکافت خود به خود ^{238}U و ^{244}Pu است که بررسی آنها با جداسازی شیمیایی محصولات شکافت و یا با مشاهده میکروسکوپی ردهای به جامانده در کانیها در اثر شکافت - بارها انجام می گیرد.

برای عمرسنجی نمونه های نه چندان قدیمی مواد آلی، از روش عمرسنجی ^{14}C استفاده می شود. CO_2 جذب شده در مواد آلی تقریباً به طور کامل از ^{12}C پایدار (۹۸.۸۹٪) و مقدار اندک ^{13}C پایدار (۱.۱۱٪) تشکیل شده است. ^{14}C رادیواکتیو در اثر بمباران نیتروژن جو با پرتوهای کیهانی به طور پیوسته در جو فوقانی تشکیل می شود، و بنا بر این تمام مواد زنده به علت وجود مقداری ^{14}C در بدنشان اندکی رادیواکتیو اند. چون آهنگ تولید ^{14}C

با پرتوهای کیهانی طی هزاران سال نسبتاً ثابت بوده است، مقدار کربن موجود در مواد آلی زنده با کربن جو به تعادل می رسد که مقدار آن يك اتم ^{14}C به ازای هر 10^{12} اتم ^{12}C است. نیمه عمر ^{14}C برابر ۵۷۳۰ سال است، و بنابراین هر گرم کربن اکتیویته ای در حدود ۱۵ واپاشی در دقیقه خواهد داشت. هنگامی که موجود زنده می میرد، چون جذب ^{14}C جدید متوقف می شود و محتوای قبلی طبق قانون واپاشی رادیواکتیو کاهش می یابد، تعادل آن با کربن جو برهم می خورد. بنابراین می توانیم عمر نمونه ها را با اندازه گیری اکتیویته ویژه (اکتیویته هر گرم) محتوای کربن آنها تعیین کنیم. این روش تا زمانی که شدت ^{14}C برای تعیین اکتیویته کافی باشد به کار می رود. اگر ۱۰ نیمه عمر یا بیشتر از مرگ موجود زنده گذشته باشد، واپاشی به قدری ضعیف می شود که روش ^{14}C قابل استفاده نیست. روشهای جدید استفاده از شتابدهنده ها به عنوان طیف سنج جرمی، با توانایی شمارش مستقیم اتمهای ^{14}C ، این محدودیت را پشت سر می گذارند؛ این روشها در فصل ۲۰ مورد بررسی قرار می گیرند.

فرض اصلی در این روش این است که طی حدود ۵۰۰۰۰ سال اخیر تولید ^{14}C توسط پرتوهای کیهانی با آهنگ نسبتاً ثابتی ادامه داشته است. می توان این فرض را با مقایسه عمرهای تعیین شده به روش رادیو کربن با عمرهای شناخته شده به طرق مستقل (برای مثال، به طریق سوابق تاریخی یا شمارش حلقه درخت) آزمود. این مقایسه ها توافق بسیار خوبی را نشان می دهند، و فرض نسبتاً یکنواخت بودن شار پرتوهای کیهانی را تأیید می کنند.

در هزاران سال بعد، ممکن است روش رادیو کربن دیگر قابل استفاده نباشد. طی ۱۰۰ سال اخیر، سوزاندن سوختهای فسیلی تعادل جو را با رقیق کردن آن با کربن پایدار برهم زده است (هیدروکربنهاي موجود در سوختهای فسیلی به اندازه ای قدیمی اند که تقریباً تمام ^{14}C موجود در آنها واپاشیده و ناپدید شده است). طی دهه های ۱۹۵۰ و ۱۹۶۰، آزمایش سلاحهای هسته ای در جو مقداری ^{14}C اضافی وارد جو کرده است که به این ترتیب تراکم کربن ۱۴ شاید به دو برابر مقدار تعادل ناشی از پرتوهای کیهانی رسیده است.

۸.۶ یکاهای اندازه گیری تابش

اکتیویته يك نمونه رادیواکتیو (بر حسب کوری یا واپاشی در ثانیه) به نوع تابش یا انرژی آن بستگی ندارد. بنابراین اکتیویته وسیله مفیدی برای مقایسه دو چشمه مختلف از يك نوع ایزوتوپ واپاشنده است (از 10mCi از ^{60}Co از 1mCi از آن قویتر است)، ولی چگونه می توان واپاشیهای مختلف را با هم مقایسه کرد؟ به عنوان مثال، چگونه قدرت يك چشمه ^{60}Co به اکتیویته 10mCi با قدرت چشمه ^{14}C با همان اکتیویته قابل مقایسه است، یا چگونه می توان يك چشمه $10\mu\text{Ci}$ گاما گسیل را با يك چشمه 10mCi آلفا گسیل مقایسه کرد؟ و منظور از «قدرت» چشمه تابش دقیقاً چیست؟

یکی از ویژگیهای عام تابشهای هسته‌ای قابلیت یونش (جداسازی الکترونها از) اتمهایی است که با آنها برهم‌کنش می‌کنند. (به این دلیل تابشهای هسته‌ای را معمولاً تابشهای یوننده می‌گویند). بحث را از بررسی عبور پرتو x و پرتو γ از هوا آغاز می‌کنیم. فوتونها از طریق فرایندهای مختلف (پراکندگی کامپتون، اثر فوتوالکتریک و تولید زوج الکترون-پوزیترون) به دفعات با اتمهای هوا برهم‌کنش می‌کنند. هر یک از این فرایندها الکترون آزاد تولید می‌کند، که معمولاً انرژی نسبتاً زیادی دارد، این الکترونها یونیه به سهم خود می‌توانند تولید یونش (والکترونها یونش) کنند. بار الکتریکی کل Q یونهای تولیدی در جرم m هوا را پرتوگیری x می‌نامند، و در صورتی که چشمه‌های γ پرتوگیری یکسانی ایجاد کنند، حتی اگر انرژی پرتوهای γ و اکتیویته چشمه‌ها کاملاً متفاوت باشند، می‌توانیم شدت آنها را با هم برابر بگیریم. تعریف مشخص پرتوگیری به صورت زیر است

$$X = \frac{Q}{m} \quad (۴۵.۶)$$

یکای آن در دستگاه SI کولن بر کیلوگرم است. اغلب به یکای دونتگن (R) برمی‌خوریم، که به صورت پرتوگیری منجر به ایجاد یک واحد الکتروستاتیکی بار (در دستگاه cgs که در آن e برابر $10^{-10} \times 4.8 \times 10^{-10}$ واحد الکتروستاتیک است) در ۱ سانتی‌متر مکعب هوا در دمای $0^\circ C$ و فشار 760 mm (یعنی در جرمی معادل 0.001293 g گرم هوا) تعریف می‌شود. بنا بر این

$$1R = \frac{1 \text{ esu}}{0.001293 \text{ g}} = 2.58 \times 10^{-4} \text{ C/kg}$$

اگر به هر یون باری معادل بار یک الکترون تخصیص دهیم، پرتوگیری $1R$ به معنای تشکیل 2.58×10^5 یون در هر سانتی‌متر مکعب است. برای تشکیل یک جفت یون در هوا به طور متوسط 34 eV لازم است. بنابراین پرتوگیری $1R$ منجر به جذب انرژی $708 \times 10^{10} \text{ eV/cm}^3$ یا 113 erg/cm^3 در هوا می‌شود.

یونش تولیدی پرتو γ به انرژی آن بستگی دارد. با انرژی 34 eV لازم برای تولید هر یون در هوا، انتظار می‌رود که یک پرتو γ با انرژی 1 MeV به طور متوسط در حدود 30000 یون تولید کند. یک چشمه رادیواکتیو با اکتیویته معین معمولاً پرتوهای γ با انرژی و شدتهای مختلف تولید می‌کند. پرتوگیری ناشی از این چشمه به تعداد و پاشی، شدت و انرژی هر یک از پرتوهای γ بستگی دارد و آهنگ پرتوگیری (پرتوگیری در واحد زمان) به اکتیویته چشمه بستگی پیدا می‌کند. همچنین مقدار این کمیت تابع فاصله از چشمه است؛ اگر بخواهیم یونش تولیدی در 1 cm^3 هوا را اندازه بگیریم، بدیهی است

که این یونش به نزدیک یا دور بودن حجم هوا از چشمه بستگی دارد. بنا بر این می توان نوشت

$$\frac{\Delta X}{\Delta t} = \Gamma \frac{A}{d^2} \quad (۴۶.۶)$$

که در آن $\Delta X/\Delta t$ آهنگ پرتوگیری، A اکتیویته، d فاصله از چشمه و Γ ثابت ویژه پرتو γ است که به جزئیات گسیل پرتو γ از هر نوکلید رادیواکتیو (کسر پرتوهای γ با انرژی معین و قابلیت یونندگی فوتونها با انرژی معین) بستگی دارد. معمولا $d = 1\text{m}$ را به عنوان فاصله استاندارد برای اندازه گیری رابطه بین آهنگ پرتوگیری و اکتیویته در نظر می گیرند، که در نتیجه Γ دارای یکای $(R/h)/(Ci/m^2)$ خواهد بود. بعضی مقادیر مشخص Γ در جدول ۳.۶ داده شده است.

جدول ۳.۶ ثابتهای ویژه پرتوگاما برای رادیوایزوتوپهای مختلف*.

Γ	انرژی پرتو γ (MeV) و فراوانی آن (%)	$t_{1/2}$	نوکلید
۱۲۲۰	۰.۵۱۱ (۱۸۱)، ۱.۲۷۵ (۱۰۰)	۲.۶۶y	^{22}Na
۱۲۸۴	۰.۳۶۹ (۱۰۰)، ۲.۷۵۴ (۱۰۰)	۱۵۲۰۲h	^{24}Na
۰.۶۰	۰.۱۴۳ (۱)، ۰.۱۹۲ (۳)، ۱.۰۹۹ (۵۶)، ۱.۲۹۲ (۴۴)	۴۴.۶d	^{59}Fe
۰.۵۵۹	۰.۱۴ (۹)، ۰.۱۲۲ (۸۵)، ۰.۱۳۶ (۱۱)	۲۷۰d	^{57}Co
۱۲۲۸	۰.۱۷۳ (۱۰۰)، ۱.۳۳۳ (۱۰۰)	۵.۲۷y	^{60}Co
۰.۲۲	۰.۰۸ (۲)، ۰.۲۸۴ (۶)، ۰.۳۶۴ (۸۲)، ۰.۶۳۷ (۷)، ۰.۷۲۳ (۲)	۸۲۰۶d	^{131}I
۰.۳۲	۰.۰۳۲ (۸)، ۰.۶۶۲ (۸۵)	۳.۰۱y	^{137}Cs
۰.۲۳	۰.۴۱۲ (۹۵)، ۰.۶۷۶ (۱)	۲.۷d	^{198}Au
۰.۸۴			^{226}Ra و دختران

* یکای Γ در اینجا $R \cdot m^2/h \cdot Ci$ است. به رابطه بین Γ و انرژی و شدت پرتوهای γ توجه کنید.

آهن‌گنج جذب انرژی درموادی غیر از هوا که در معرض پرتوهای یوننده قرار گیرند، متفاوت خواهد بود. بنابراین، وجود يك استاندارد برای جذب انرژی پرتوهای یوننده درمواد مختلف ضروری است. این کمیت دز جذب شده D در ماده است که میزان انرژی جذب شده از تابش یوننده را در واحد جرم ماده تعیین می‌کند. متداولترین یکای دز جذب شده راد (rad) نامیده می‌شود که برابر جذب ۱۰۰ ارگ انرژی در هر گرم ماده است. (بنابراین در هوا داریم $1R = 0.877 rad$). یکای دز جذب شده در دستگاه SI گری (Gy) نامیده می‌شود که برابر جذب ۱ ژول انرژی در هر کیلوگرم ماده است، در نتیجه $1 Gy = 100 rad$.

برای تعریف استانداردهای حفاظت انسان در برابر تابش، تعیین برآوردی از اثرات زیست‌شناختی تابشهای مختلف ضروری است. یعنی، بعضی تابشها ممکن است انرژی‌شان را در مسیری طولانی از دست دهند، در نتیجه در فواصل کوتاه (مثلاً در حدود ابعاد سلولهای انسانی) انرژی نسبتاً کمی از خود باقی می‌گذارند. پرتوهای گاما و بتا از این نوع هستند. سایر انواع تابشها، مثلاً ذرات آلفا، انرژی خود را به سرعت از دست می‌دهند و اساساً تمام انرژی خود را در مسیر بسیار کوتاهی بر جای می‌گذارند. بنابراین، احتمال آسیب به سلول در اثر يك راد تابش α بسیار بیشتر از يك راد تابش γ است. برای کمیت بخشیدن به این تفاوتها، تأثیر نسبی زیست‌شناختی (RBE) را به صورت نسبت دز يك تابش خاص به دز پرتوهای x که همان اثر زیست‌شناختی را به وجود می‌آورد، تعریف می‌کنیم. مقادیر RBE از ۱ تا ۲۰ برای تابش α تغییر می‌کند. از آنجا که اندازه‌گیری RBE نسبتاً مشکل است، معمولاً به جای آن از عامل کیفیت (QF) استفاده می‌شود که برای نوع (یا انرژی) خاص تابش به صورت انرژی بر جای مانده در واحد طول مسیر تعریف می‌شود. تابشهایی که انرژی کمی در واحد طول از دست می‌دهند (β و γ) دارای QF نزدیک به ۱ هستند، در حالی که برای تابشهایی که انرژی بیشتری در واحد طول از دست می‌دهند (ذرات α) مقدار QF تا حدود ۲۰ قابل افزایش است. جدول ۴.۶ نمونه بعضی مقادیر QF را نشان می‌دهد.

جدول ۴.۶ عامل کیفیت برای تابش جذب شده.

نوع تابش	QF
پرتوهای x ، β ، و γ	۱
n و p کم انرژی ($\sim keV$)	۲-۵
n و p پر انرژی ($\sim MeV$)	۵-۱۰
α	۲۰

تأثیر يك تابش خاص بريك اندام زیست‌شناختی به‌دز جذب‌شده D و عامل کیفیت آن QF بستگی دارد. حاصلضرب این دو کمیت را دز معادل می‌گویند

$$DE = D \cdot QF \quad (۴۷.۶)$$

اگر از راد به عنوان یکای دز استفاده شود، دز معادل برحسب یکای (rem) به دست می‌آید. اگر از یکای گری در دستگاه SI استفاده شود، دز معادل برحسب سیوروت (Sv) خواهد بود. دیدیم که $۱ Gy = ۱۰۰ rad$ است، و بنابراین داریم $۱ Sv = ۱۰۰ rem$. ملاحظه می‌شود که «شدت» تابش برحسب اینکه آهنگ واپاشی (اکتیویته) موردنظر باشد یا تأثیر آن بر روی اندامهای زنده (دز معادل)، به‌طریق مختلف قابل تعریف است. خلاصه‌ای از کمیتهای مختلف و یگاهای سنتی و بین‌المللی (SI) این کمیتهای در جدول ۵.۶ داده شده است.

استانداردهای پرتوگیری تابشی افراد اجتماع و کارکنان حرفه‌ای تابش را برحسب رم در دوره‌های خاصی از زمان (به‌طور فصلی یا سالانه) تعریف می‌کنند. انسان از چشمه‌های زمینه طبیعی (پرتوهای کیهانی و ایزوتوپهای رادیواکتیو طبیعی مانند سریهای اورانیم و توریم ^{۴۰}K) سالانه در حدود ۱٫۵ تا ۲٫۵ رم دریافت می‌کند. کمیسیون بین‌المللی حفاظت در برابر تابش (ICRP) حد سالانه دز جذب شده در تمام بدن را به $۵ rem$ برای افراد عادی اجتماع و $۵ rem$ برای کارکنان حرفه‌ای تابش محدود کرده است. اما حد سالانه دز جذب شده در نواحی فوق‌العاده حساس بدن، مانند مغز استخوان، در عکسبرداری پرتو X قفسه سینه در حدود $۵ rem$ و در عکسبرداری از دندان در حدود $۲ rem$ تعیین شده است. متأسفانه، محاسبه و اندازه‌گیری اثرات زیست‌شناختی پرتوگیری مشکل است، و بنابراین رهنمود باید درجهتی باشد که پرتوگیری را تا حد امکان

جدول ۵.۶ کمیتهای و یگاهای اندازه‌گیری تابش.

کمیته	ماهیت فیزیکی	یکای سنتی	یکای SI
اکتیویته (A)	آهنگ واپاشی	کوری (Ci)	بکرل (Bq)
پرتوگیری (X)	یونش در هوا	روننگن (R)	کولن بر کیلوگرم (C/kg)
دز جذب‌شده (D)	جذب انرژی	راد (rad)	گری (Gy)
دز معادل (DE)	تأثیر زیست‌شناختی	رم (rem)	سیوروت (Sv)

پایین نگه دارد. به همین دلیل، بسیاری از پزشکان دیگر عکسبرداری از قفسه سینه را با استفاده از پرتو X در معاینه‌های سالیانه پزشکی توصیه نمی‌کنند و دندانپزشکان معمولاً هنگام عکسبرداری از دهان یک پیش‌بند سربی روی قسمت‌های حساس بدن بیمار قرار می‌دهند. اگر چه شواهد موجود قاطعیت ندارد، ولی دلایلی بر خطر سرطان‌زایی تابش و آسیب ژنتیکی آن حتی در دزهای خیلی پایین در دست است، در حالی که آثار دیگر مانند تولید آب مروارید و عقیم‌سازی آستانه‌ای دارند که در کمتر از آن خطری وجود ندارد. بسیاری از معلومات ما در این زمینه در نتیجه مطالعات انجام شده در مورد بازماندگان انفجار هسته‌ای هیروشیما و ناکازاکی در جنگ دوم جهانی است، که طبق آن می‌دانیم خطر مرگ پس از جذب ۱۰۰ رم در فاصله زمانی کوتاه قطعی است، ولی شواهد واضحی دال بر رابطه خطی بین دز و خطر وجود ندارد. مباحثات مربوط به جذب دزهای کم در فواصل زمانی طولانی هنوز هم در جریان است، که برای استانداردهای حفاظت در برابر تابش و سلامت افراد اجتماع نتایجی جدی در بر خواهد داشت.

مراجع مطالعات تکمیلی

برای مطالعه تفصیلی‌تر مکانیک کوانتومی فرایندهای واپاشی می‌توانید به کتاب زیر رجوع کنید

M. G. Bowler, *Nuclear Physics* (Oxford: Pergamon, 1973).

برای بررسی کاملتر سریهای واپاشی رادیواکتیو می‌توانید به کتاب زیر رجوع کنید

R. D. Evans, *The Atomic Nucleus* (New York: McGraw-Hill, 1955).

روشهای عمرسنجی رادیواکتیو منظومه شمسی در مراجع زیر مرور شده است

L. T. Aldrich and G. W. Wetherill, *Ann. Rev. Nucl. Sci.* 8, 257 (1958),

G. W. Wetherill, *Ann. Rev. Nucl. Sci.* 25, 283 (1975).

برای کسب اطلاعات بیشتر درباره رادیواکتیویته جویا و اقیانوسها به مقاله زیر رجوع

کنید

D. Lal and H. E. Suess, *Ann. Rev. Nucl. Sci.* 18, 407 (1968).

اطلاعات مشروحتر درباره پرتوگیری تابشی را می‌توان در مراجع مختلف فیزیک

بهداشت، از جمله کتاب زیر، یافت

E. Pochin, *Nuclear Radiation: Risks and Benefits* (Oxford: Clarendon, 1983).

مسائل

۰۱. سه چشمه رادیواکتیو که اکتیویته هر یک از آنها در زمان $t = 0$ برابر $1.0 \mu\text{Ci}$ است،

مفروض اند. نیمه عمر آنها به ترتیب برابر s ۱۰، h ۱۰، و d ۱۰ است. (الف) چند هسته رادیواکتیو در $t = 0$ در هر چشمه وجود دارد؟ (ب) چند هسته بین $t = 0$ و $t = 1 s$ در هر چشمه واپاشیده می شود؟ (ج) تعداد واپاشی هر چشمه در فاصله $t = 0$ و $t = 1 h$ چقدر است؟

۲. ساماریم طبیعی شامل ۱۵٫۱٪ ایزوتوپ رادیواکتیو ^{147}Sm است که با گسیل α واپاشیده می شود. یک گرم ساماریم طبیعی در هر ثانیه تعداد (89 ± 5) ذره آلفا گسیل می کند. با استفاده از این اطلاعات، نیمه عمر ^{147}Sm و خطای اندازه گیری آن را محاسبه کنید.

۳. از جمله محصولات رادیواکتیو گسیل شده در حادثه رآکتور چرنوبیل در سال ۱۹۸۶، ایزوتوپهای ^{131}I ($t_{1/2} = 8.0 d$) و ^{137}Cs ($t_{1/2} = 30 y$) بودند. تعداد اتمهای ^{137}Cs تولید شده در فرایند شکافت در حدود پنج برابر ^{131}I است. (الف) کدام ایزوتوپ سهم بیشتری در اکتیویته ابر تابش رادیواکتیو دارد؟ فرض کنید که رآکتور قبل از آزاد شدن تابش چندین روز به طور پیوسته کار کرده است، (ب) چه مدت پس از وقوع حادثه اکتیویته های این دو ایزوتوپ با هم برابر می شوند؟ (ج) در حدود ۱٪ از شکافتها منجر به تولید ^{131}I می شوند و در هر شکافت در حدود 200 MeV انرژی آزاد می شود. با در نظر گرفتن اندازه رآکتور چرنوبیل (1000 MW)، اکتیویته ^{131}I را بر حسب کوری پس از ۲۴ ساعت کار محاسبه کنید.

۴. زنجیره واپاشیهای رادیواکتیو $3 \rightarrow 2 \rightarrow 1$ را در نظر بگیرید که در آن هسته نوع ۳ پایدار است. (الف) نشان دهید که معادله (31.6) از حل معادله (29.6) به دست می آید. (ب) معادله دیفرانسیلی برای تعداد هسته های نوع ۳ بنویسید، و آن را بر حسب $N_3(t)$ حل کنید. (ج) مقدار $N_1(t) + N_2(t) + N_3(t)$ را به دست آورید و تعبیر فیزیکی آن را بیان کنید. (د) N_1 ، N_2 و N_3 را به ازای مقادیر کوچک t ، یعنی فقط با در نظر گرفتن جملات خطی آنها، مورد بررسی قرار دهید و تعبیر فیزیکی نتایج را بیان کنید. (ه) حد مقادیر N_1 ، N_2 و N_3 را در حالت $t \rightarrow \infty$ بیابید و تعبیر فیزیکی آنها را بیان کنید.

۵. بدن انسان به طور متوسط حاوی ۱۸٪ کربن و ۲٫۰٪ پتاسیم است. اکتیویته ذاتی ناشی از ^{14}C و ^{40}K را برای یک فرد متوسط محاسبه کنید.

۶. ایزوتوپ رادیواکتیوی را با استفاده از یک واکنش هسته ای در یک سیکلوترون تولید می کنیم. در پایان پرتو دهی که در مقایسه با نیمه عمر واپاشی خیلی کوتاه است، از یک روش شیمیایی برای استخراج ایزوتوپ رادیواکتیو استفاده می کنیم. زمان انجام این کار برابر $1 h$ و کارآیی بازیافت ماده رادیواکتیو ۱۰۰٪ است. پس از جداسازی شیمیایی، اکتیویته نمونه را در فواصل زمانی 1 min مورد شمارش قرار دادیم که نتایج زیر به دست آمده اند (زمان پایان پرتو دهی را $t = 0$ در نظر گرفته ایم):

زمان t (دقیقه)	واپاشی در هر دقیقه	زمان t (دقیقه)	واپاشی در هر دقیقه
۶۲۰۰	۵۹۲	۱۲۵۰۰	۲۱۵
۶۸۰۰	۵۲۷	۱۳۰۰۰	۲۰۸
۷۳۰۰	۵۱۰	۱۳۸۰۰	۱۸۷
۸۵۰۰	۴۳۱	۱۴۴۰۰	۱۷۷
۹۰۰۰	۳۸۰	۱۴۹۰۰	۱۵۸
۹۷۰۰	۳۵۳	۱۵۶۰۰	۱۴۲
۱۰۱۰۰	۳۱۸	۱۶۳۰۰	۱۲۵
۱۰۵۰۰	۳۱۰	۱۷۰۰۰	۱۱۰
۱۱۲۰۰	۲۹۰	۱۷۵۰۰	۱۰۹
۱۲۰۰۰	۲۴۲	۱۸۰۰۰	۱۰۰

(الف) این اطلاعات را روی کاغذ نیمه لگاریتمی رسم کنید و با استفاده از آن نیمه عمر و اکتیویته اولیه را (در لحظه $t = 0$) به دست آورید. گستره خطای هر یک از نقاط اطلاعاتی را نشان دهید، و خطای حاصل را در نیمه عمر برآورد کنید. (ب) با استفاده از یک روش تحلیلی، برآزش خطی حداقل مربعات را در مورد این اطلاعات انجام دهید (به صورت $\log N$ بر حسب t) و نیمه عمر و خطای آن را تعیین کنید.

۷. نمونه‌ای از یک عنصر متشکل از دو ایزوتوپ طبیعی را با استفاده از گیراندازی نوترون رادیواکتیو می‌کنیم. پس از یک ساعت پرتو دهی در رآکتور، نمونه را به اتاق شمارش منتقل و تعداد کل واپاشیها را در فواصل یک ساعته به طور روزانه ثبت می‌کنیم. خلاصه اطلاعات ثبت شده به قرار زیر است:

تعداد واپاشی	زمان (d)	تعداد واپاشی	زمان (d)
۲۳۷۲	۲۰	۱۰۲۵۱۵	۰
۱۴۲۱	۴۰	۷۹۲۰۵	۱
۱۱۳۵	۶۰	۶۱۹۰۳	۲
۸۶۲	۸۰	۴۸۲۱۳	۳
۷۲۵	۱۰۰	۳۷۴۳۱	۴
۵۵۱	۱۲۰	۲۹۳۶۷	۵
۴۶۲	۱۴۰	۲۳۵۱۱	۶
۳۵۹	۱۶۰	۱۸۴۹۵	۷
۲۶۵	۱۸۰	۱۴۸۲۹	۸
۲۲۵	۲۰۰	۱۱۸۵۳	۹
		۹۵۹۵	۱۰

با استفاده از این اطلاعات، نیمه عمر و اکتیویته اولیه هر دو ایزوتوپ را به دست آورید. عنصر مورد آزمایش چیست؟

۰۸ يك فرایند واپاشی ساده را در نظر بگیرید که در آن تعداد N_0 هسته رادیواکتیو اولیه نوع A به هسته پایدار نوع B تبدیل می شود. چند واپاشی در فاصله زمانی t_1 تا $t_1 + \Delta t$ رخ می دهد؟ این مسئله را به دو طریق حل کنید: (۱) با استفاده از معادله (۱۰.۶)، و (۲) با استفاده از تفاوت بین $N(t_1)$ و $N(t_1 + \Delta t)$. گوشزد: در حالت کلی فقط روش اول صحیح است؛ مسئله بعد را ببینید.

۰۹ فرایند واپاشی $A \rightarrow B \rightarrow C$ را در نظر بگیرید که در آن $N_A(t=0) = N_0$ و $N_B(t=0) = N_C(t=0) = 0$. تعداد واپاشیهای هسته نوع B در فاصله بین t_1 و $t_1 + \Delta t$ چقدر است؟ (دهنمایی: با مراجعه به مسئله قبل بگویید چرا روش (۲) در این مورد عملی نیست. شکلهای ۶.۶ و ۷.۶ هم ممکن است شواهد قانع کننده ای در اختیار بگذارند.)

۰۱۰ هسته های نوع A که با آهنگ ثابت R در يك رآکتور هسته ای تولید می شوند، در اثر واپاشی به هسته نوع B تبدیل می شوند که آن هم به نوبه خود به هسته نوع C واپاشیده می شود. (الف) معادلات دیفرانسیل N_A ، N_B ، و N_C را بر حسب زمان بنویسید و آنها را حل کنید. (ب) حاصل جمع $N_A + N_B + N_C$ را به دست آورید و تعبیر فیزیکی آن را بیان کنید.

۰۱۱ ایزوتوپ رادیواکتیو ^{232}Pa ($t_{1/2} = 270 \text{ d}$) در اثر گیراندازی نوترون در ^{232}Th تولید می شود. ایزوتوپ تولید شده ^{232}Th با نیمه عمر 2323 min واپاشیده می شود و به صورت ^{232}Pa درمی آید. گیراندازی نوترون در $1 \text{ g } ^{232}\text{Th}$ ، در شار نوترونی يك رآکتور، با آهنگ $10^{11} \text{ s}^{-1} \times 20$ تولید ^{232}Th می کند. (الف) در پایان يك ساعت پرتو دهی نوترونی، اکتیویته ^{232}Th و ^{232}Pa چقدر است؟ (ب) پس از يك ساعت پرتو دهی، نمونه انبار می شود تا اکتیویته ^{232}Th بتواند ناپدید شود. اکتیویته های ^{232}Th و ^{232}Pa پس از گذشت ۲۴ ساعت و ۴۸ ساعت از انبار سازی چقدر است؟ (ج) واپاشی ^{232}Pa منجر به تولید ^{232}U می شود که آن هم به نوبه خود رادیواکتیو است ($t_{1/2} = 16 \times 10^5 \text{ y}$). اکتیویته ^{232}U يك سال پس از انبار کردن نمونه چقدر است؟ (دهنمایی: برای به دست آوردن اکتیویته ^{232}U ضرورتی ندارد که معادله دیفرانسیل دیگری نوشته شود.)

۰۱۲ اکتیویته ای از هسته های A به B و سپس هسته B به هسته پایدار C واپاشیده می شود. (الف) با بحث کیفی نشان دهید که چرا در زمانهای کوتاه باید $A_B > A_A$ باشد، در حالی که در زمانهای طولانی $A_B > A_A$ خواهد شد. (ب) بنا بر این زمانی مانند T باید وجود داشته باشد که در آن $A_A = A_B$ است. زمان T را بر حسب ثابتهای واپاشی λ_A و λ_B محاسبه کنید.

۰۱۳ زنجیره واپاشی $^{139}\text{Cs} \rightarrow ^{139}\text{Ba} \rightarrow ^{139}\text{La}$ در يك نمونه بدواً خالص ^{139}Cs با اکتیویته اولیه 1 mCi مشاهده شده است. نیمه عمر ^{139}Cs برابر 9.5 min ،

نیمه‌عمر ^{139}Ba برابر 8299 min ، و ^{139}La پایدار است. اکتیویته بیشینه ^{139}Ba چقدر است و در چه زمانی حاصل می‌شود؟

۰۱۴ در فرایند واپاشی $^{231}\text{Pa} \rightarrow ^{231}\text{Th} \rightarrow ^{235}\text{U}$ (^{235}U $t_{1/2} = 704 \times 10^8 \text{ y}$) برای ازنه $t = 100 \text{ h}$ رسم کنید. فرض کنید اکتیویته اولیه ^{235}U در نمونه 10 mCi است. درباره شرط تعادل دیرپا در این فرایند واپاشی بحث کنید.

۰۱۵ واپاشی آلفای ^{238}U ($t_{1/2} = 447 \times 10^6 \text{ y}$) منجر به تولید ^{234}Th با نیمه‌عمر 24 d می‌شود. هر نمونه‌ای از سنگ معدن اورانیم بساید اکتیویته ^{234}Th را در تعادل دیرپا با مادر هسته ^{238}U نشان دهد، اکتیویته ^{234}Th در هر گرم اورانیم چقدر است؟

۰۱۶ نموداری مشابه شکل ۱۰.۶ تهیه کنید که سری رادیواکتیو $2 + 4n$ را نشان دهد.

۰۱۷ واپاشی رادیواکتیو ^{232}Th در نهایت به تولید ^{208}Pb پایدار منجر می‌شود. در یک نمونه سنگ معدن، مقدار 365 g ^{232}Th و 75 g ^{208}Pb دیده شده است. (الف) عمر این نمونه را با استفاده از نسبت Th/Pb محاسبه کنید. (ب) اگر نمونه سنگی بزرگ باشد، ذرات آلفای گسیل شده در فرایندهای واپاشی به دام می‌افتند. اگر چنین سنگی را خرد کنیم، ذرات آلفای آن را می‌توان به صورت گاز هلیم گردآوری کرد. در فشار 760 mm و دمای 0°C حجم گردآوری شده از این صخره چقدر است؟

۰۱۸ می‌خواهیم عمر یک تبر چوبی را که در ساختمان یک کلبه باستانی مورد استفاده قرار گرفته است، تعیین کنیم. با بررسی نمونه‌ای از این چوب برای تعیین محتوای ^{14}C ، تعداد 21 واپاشی در دقیقه مشاهده شده است. نمونه دیگری با همان اندازه و همان نوع چوب که از یک درخت تازه بریده گرفته‌ایم، تعداد 53 واپاشی در دقیقه به دست داده است. عمر نمونه باستانی چقدر است؟

۰۱۹ نشان دهید که محتوای کنونی ^{14}C در یک ماده آلی، اکتیویته‌ای در حدود 15 واپاشی در دقیقه در هر گرم کربن دارد.

۰۲۰ احتمال وقوع یک واپاشی ^{14}C در ریه‌ها طی یک تنفس چقدر است؟ مقدار CO_2 جو در حدود 0.3% است، و در یک تنفس متوسط در حدود 5 L لیترو هوا را به ریه‌ها وارد و 35 s بعد آن را خارج می‌کنیم.

۰۲۱ (الف) شار پرتو گاما (تعداد γ در هر واحد سطح) در فاصله 10 m از یک چشمه 60°C با اکتیویته 75 mCi چقدر است؟ (ب) در این فاصله، چند یون در دقیقه در هر سانتی‌متر مکعب هوا تولید می‌شود؟



آشکارسازی تابشهای هسته‌ای

اصول اساسی کار اغلب آشکارسازهای تابش هسته‌ای مشابهاست. تابش وارد آشکارساز می‌شود، با اتمهای ماده آشکارساز برهم‌کنش می‌کند (بخشی از انرژی خود را از دست می‌دهد)، و تعداد زیادی الکترون کم‌انرژی را از مدارهای اتمی خود آزاد می‌کند. این الکترونها سپس گردآوری می‌شوند و جهت تحلیل توسط مدار الکترونیکی به صورت یک تپ ولتاژ یا جریان درمی‌آیند. انتخاب ماده مناسب برای آشکارسازهای تابش به‌نسوع تابش مورد آشکارسازی و اطلاعات مورد نظر بستگی دارد. برای ذرات α حاصل از واپاشیهای رادیواکتیو و یا ذرات باردار حاصل از واکنشهای هسته‌ای در انرژیهای کم (MeV)، آشکارسازهای بسیار نازک کفایت می‌کند، زیرا بیشینه برد این ذرات در اغلب جامدات نوعاً کمتر از $100 \mu\text{m}$ است. برای الکترونها، مشابهاً آنچه در تابش β گسیل می‌شوند، آشکارسازی به ضخامت 1 mm تا 1 cm لازم است، در حالی که به علت برد زیاد پرتوهای γ ، حتی آشکارسازی به ضخامت 5 cm ممکن است برای تبدیل فوتونهای پرانرژی (MeV یا بیشتر) به تپ الکترونیکی کافی نباشد. صدای تیک آشنای شمارگر گایگر ممکن است برای نشان دادن حضور تابش کافی باشد؛ در این مورد تمامی انواع تابشهای فرودی، خروجی یکسانی تولید می‌کنند. برای اندازه‌گیری انرژی تابش، باید آشکارسازی را انتخاب کنیم که دامنه تپ خروجی آن متناسب با انرژی باشد. در اینجا باید ماده‌ای را برگزینیم که تعداد الکترونها آزاد شده در آن زیاد باشد، بدین ترتیب با افت وخیز آماری یا با از دست دادن شمارش چند ذره، توانایی تعیین انرژی به‌طور قابل ملاحظه تغییر نمی‌کند. برای تعیین زمان گسیل تابش، باید ماده‌ای را انتخاب کنیم که در آن الکترونها به سرعت تبدیل

به‌تپ شوند؛ در این مورد تعداد الکترونهاي گردآوری شده حائز اهمیت کمتری است. برای تعیین نوع ذره (مانند مورد يك واکنش هسته‌ای که در آن انواع مختلفی از ذرات تولید می‌شوند)، باید ماده‌ای را انتخاب کنیم که در آن جرم یا بار ذره اثر مشخصی ایجاد کند. برای اندازه‌گیری اسپین یا قطبش ذرات تابشی، باید از آشکارسازی استفاده کنیم که بتواند حالات مختلف اسپین یا قطبش را تفکیک کند. در مواردی که انتظار آهنگ شمارش فوق‌العاده زیادی را داریم، باید از آشکارسازی استفاده کنیم که بتواند به‌سرعت پس از هر شمارش به حالت عادی بازگردد؛ و برای آهنگ شمارش خیلی کند باید هم‌خسود را مصروف آشکارسازی هر واقعه و تقلیل اثر تابش زمینه کنیم. بالاخره، اگر به‌بازسازی مسیر تابشهای آشکار شده علاقه‌مندیم، باید آشکارسازی داشته باشیم که نسبت به محل ورود تابش به آشکارساز حساس باشد.

در این فصل انواع مختلف آشکارسازها را مورد بررسی قرار می‌دهیم. البته تمام شرایط فوق هرگز در يك آشکارساز جمع نمی‌شوند، بلکه هر آشکارسازی فقط از یکی از این خصوصیتها برخوردار است. بحث ما محدود به‌تسا‌بتهایی است که در اغلب واپاشیهای هسته‌ای یا مطالعه واکنشها با آنها روبرو می‌شویم: یعنی ذرات باردار سنگین (پروتونها، آلفاها) با انرژی نانسبتی، الکترونهاي نسبتی (با انرژی حدود MeV)، و فوتونها در ناحیه پرتو X و پرتو گاما. آشکارسازهای نوترون جداگانه در فصل ۱۲ (جلد دوم، ترجمه فارسی) مورد بررسی قرار می‌گیرند.

۱.۷ برهم‌کنشهای تابش با ماده

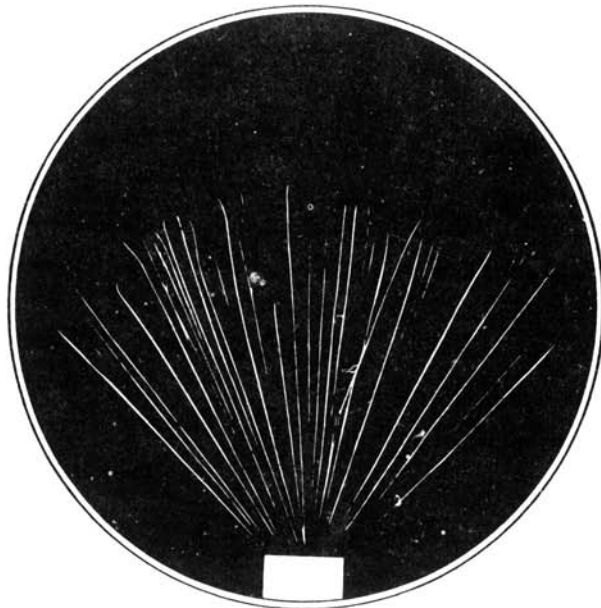
ذرات باردار سنگین

اگرچه پراکندگی کولنی ذرات باردار توسط هسته‌ها (که پراکندگی رادرفورد خوانده می‌شود) فرایندی مهم در فیزیک هسته‌ای است، تأثیر آن بر کاهش انرژی ذره باردار در طی عبور از ماده آشکارساز اندک است. از آنجا که هسته‌های آشکارساز فقط کسر بسیار کوچکی در حدود 10^{-15} از حجم آنها را اشغال می‌کنند، احتمال برخورد ذره با الکترون (تقریباً) 10^{15} بار بیش از احتمال برخورد با هسته است. بنابراین سازوکار غالب در کاهش انرژی ذرات باردار، پراکندگی کولنی آنها در رویارویی با الکترونهاي اتمی آشکارساز است. با توجه به‌بایستگی انرژی و تکان در برخورد الکترون سر به سر بین يك ذره سنگین به جرم M و يك الکترون به جرم m (که برای سهولت آن را ساکن فرض می‌کنیم)، کاهش انرژی جنبشی ذره به‌صورت زیر به‌دست می‌آید

$$\Delta T = T \left(\frac{2m}{M} \right) \quad (1.7)$$

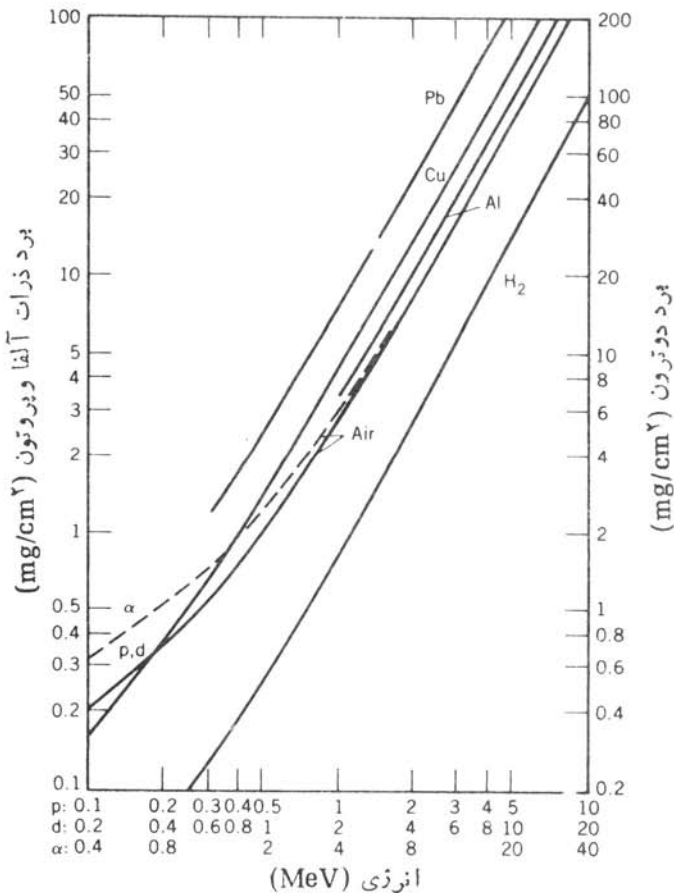
برای ذره α به انرژی ۵ MeV (نمونه ذرات گسیل شده در واپاشی رادیواکتیو)، این مقدار برابر 47 keV است. بلافاصله می‌توان به‌چهار نتیجه زیر رسید:

۱. برای اینکه ذره تمام انرژی خود را از دست بدهد، چندین هزار واقعه از این نوع لازم است (بیشترین مقدار انرژی انتقالی در برخورد سر به سر به الکترون منتقل می‌شود؛ در اغلب برخوردها، کاهش انرژی خیلی کمتر از این مقدار است).
۲. در يك برخورد خراشان بین الکترون و ذره سنگین، زاویه انحراف ذره سنگین بسیار کوچک است و بنا بر این ذره تقریباً مسیر مستقیمی را می‌پیماید.
۳. به علت برد نامتناهی نیروی کولنی، ذره به‌طور هم‌زمان با الکترونهای زیادی برهم‌کنش می‌کند و بنا بر این انرژی خود را به تدریج و به‌طور پیوسته در طول مسیر از دست می‌دهد. پس از طی مسافتی معین، ذره تمام انرژی اش را از دست می‌دهد؛ که این فاصله را برد ذره می‌نامند. برد با در نظر گرفتن نوع ذره، نوع ماده مورد گذار، و انرژی ذره تعیین می‌شود. رد ذرات آلفا را در اتاقک ابر در شکل ۱۰۷ نشان داده‌ایم، در این مسیرها پس از يك فاصله نسبتاً مشخص دیگر اثری از ذرات دیده نمی‌شود. ما معمولاً با برد میانگین سروکار داریم که طوری تعریف می‌شود که برد نیمی از ذرات از آن بلندتر و نیم دیگر کوتاهتر است؛ تغییرات حول مقدار میانگین بسیار کوچک است و حداکثر به چند درصد می‌رسد و بدین ترتیب می‌توان برد میانگین را کمیته دقیق و مفید دانست.
۴. انرژی لازم برای یونش يك اتم (یعنی جدا ساختن يك الکترون) در حدود 10 eV است؛ بنا بر این بسیاری از برخوردها می‌توانند انرژی لازم جهت یونش را به اتم



شکل ۱۰۷ رد ذرات آلفای حاصل از واپاشی ^{210}Po در اتاقک ابر.

منتقل‌کنند. (اگر انرژی کافی برای تولید یون به‌الکترون داده نشود، اتم به‌یک حالت برانگیخته می‌رود و سپس به‌سرعت به‌حالت پایه و آن‌گیخته می‌شود.) به‌علاوه، الکترونها با انرژی حدود keV (که به‌نام پرتوهای دلتا معروف‌اند) می‌توانند در اثر برخورد تولید یون کنند، که منجر به‌الکترونهاى ثانویه بیشتر می‌شود. برای تعیین کاهش انرژی ذره، باید الکترونهاى اولیه و ثانویه و برانگیختگی اتمی را در نظر بگیریم. رابطه بین برد و انرژی برای هوا و سایر مواد متداول در شکل ۲۰۷ نشان داده شده است. برای موادی که نشان داده نشده‌اند، با استفاده از رابطه نیمه تجربی زیر که به‌نام قانون براگ-کلیمان معروف است، می‌توان برد را برآورد کرد



شکل ۲۰۷ رابطه برد - انرژی در مواد مختلف. به‌علت کاهش انرژی ذره در اثر پراکندگی توسط الکترونهاى اتمی، برد با چگالی نسبت معکوس دارد. بنا بر این برای سهولت حاصل ضرب برد در چگالی را بر حسب mg/cm^2 در نظر می‌گیرند. متأسفانه این حاصل ضرب نیز در نشریات علمی «برد» نامیده می‌شود.

$$\frac{R_1}{R_0} \approx \frac{\rho_0 \sqrt{A_1}}{\rho_1 \sqrt{A_0}} \quad (2.7)$$

که در آن R برد، ρ چگالی، و A وزن اتمی است. شاخصهای ۱ و ۰ به ترتیب نشانه‌های مربوط به ماده شناخته شده و ناشناخته‌اند.

رابطه نظری بین برد و انرژی را می‌توان از یک محاسبه کوانتوم مکانیکی فرایند برخورد، که برای اولین بار در سال ۱۹۳۰ توسط هانس بته انجام شد، به دست آورد. این محاسبه، مقدار افت انرژی در واحد طول را (که گاهی توان ایستاندگی نامیده می‌شود) به صورت زیر به دست می‌دهد

$$\frac{dE}{dx} = \left(\frac{e^2}{4\pi\epsilon_0} \right)^2 \frac{4\pi z^2 N_0 Z \rho}{mc^2 \beta^2 A} \left[\ln \left(\frac{2 mc^2 \beta^2}{I} \right) - \ln(1 - \beta^2) - \beta^2 \right] \quad (3.7)$$

که در آن $v = \beta c$ سرعت ذره، ze بار الکتریکی ذره، Z ، A ، ρ به ترتیب عدد اتمی، وزن اتمی، و چگالی ماده مورد گذار، N_0 عدد آووگادرو، و m جرم الکترون است. پارامتر I انرژی برانگیزش متوسط الکترونها اتمی است که می‌توان آن را با متوسط گیری بر روی کلیه فرایندهای یونش و برانگیختگی محاسبه کرد. در عمل I را به عنوان یک ثابت تجربی در نظر می‌گیرند، که مقدار آن بر حسب eV در حدود Z ۱۰ است. برای مثال، در هوا $I = 86 eV$ و در آلومینیم $I = 163 eV$ است.

برد را می‌توان با انتگرال گیری از معادله (۳.۷) در گستره انرژی ذره به دست آورد

$$R = \int_T^0 \left(-\frac{dE}{dx} \right)^{-1} dE \quad (4.7)$$

اما، معادله (۳.۷) در قسمت کم انرژی نزدیک به انتهای برد معتبر نیست، و این عمدتاً بدان سبب است که در این معادله گیراندازی الکترونها توسط ذرات کند در نظر گرفته شده است. می‌توان معادله (۴.۷) را به صورت زیر نوشت

$$R = M z^{-2} \int f(v) dv \quad (5.7)$$

که در آن $f(v)$ تابع سرعت ذره و مستقل از جرم و بار آن است. بنابراین می‌توانیم برد ذرات مختلف با سرعت اولیه یکسان را در محیط گذار با هم مقایسه کنیم

$$\frac{R_1}{R_0} = \frac{M_1 z_0^2}{M_0 z_1^2} \quad (6.7)$$

الکترونها

الکترونها (مثبت و منفی) همانند ذرات باردار سنگین از طریق پراکندگی کولنی با الکترونها

اتمی برهم‌کنش می‌کنند. اما، در اینجا چند تفاوت اساسی وجود دارد: (۱) الکترونها به‌خصوص آنها که در واپاشی بتازا گسیل می‌شوند، سرعتهای نسبیتهی دارند. (۲) الکترونها در برخورد با دیگر الکترونها به میزان زیادی منحرف می‌شوند، و در نتیجه مسیرهای درهم‌برهمی دارند. بنا بر این برد (که به‌صورت فاصله‌خطی نفوذ در ماده تعریف می‌شود) با طول مسیری که الکترون طی می‌کند، بسیار متفاوت است. (۳) در برخوردهای سربه‌سر یک الکترون با الکترون دیگر، کسر بزرگی از انرژی اولیه ممکن است به الکترون مورد برخورد منتقل شود (درحقیقت، در برخوردهای الکترون-الکترون باید هویت دو ذره را در نظر بگیریم؛ بعد از برخورد نمی‌توانیم بگوییم که کدام الکترون فرودی و کدام یک هدف بوده است). (۴) به‌علت امکان تغییرات سریع جهت و اندازه سرعت الکترون، شتابهای بزرگی حاصل می‌شوند، و ذرات باردار شتابان باید انرژی الکترومغناطیسی تابش کنند. این تابش را برهم‌شتراکتاب یا تابش ترمزی می‌نامند.

رابطه افت انرژی در واحد طول مسیر برای الکترونها نیز توسط بته به‌دست آمده است، و می‌توان آن را مشابه معادله (۳.۷) به‌صورت زیر نوشت

$$\left(\frac{dE}{dx}\right)_c = \left(\frac{e^2}{4\pi\epsilon_0}\right)^2 \frac{2\pi N_0 Z \rho}{mc^2 \beta^2 A} \left[\ln \frac{T(T+mc^2)^2 \beta^2}{2I^2 mc^2} + (1-\beta^2) - (\sqrt{1-\beta^2} - 1 + \beta^2) \ln 2 + \frac{1}{\lambda} (1 - \sqrt{1-\beta^2})^2 \right] \quad (7.7)$$

$$\left(\frac{dE}{dx}\right)_r = \left(\frac{e^2}{4\pi\epsilon_0}\right)^2 \frac{Z^2 N_0 (T+mc^2)}{137\gamma m^2 c^4 A} \left[4 \ln \frac{(T+mc^2)}{mc^2} - \frac{4}{3} \right] \quad (8.7)$$

که در آن T انرژی جنبشی الکترون است. شاخصهای c و r به ترتیب نماینده افت انرژی به‌علت برخورد و تابش است. رابطه افت تابشی فقط برای انرژیهای نسبیتهی معتبر است؛ در انرژی کمتر از ۱ MeV می‌توان از افت تابشی صرف‌نظر کرد. افت انرژی کل مجموع این دو مقدار است

$$\frac{dE}{dx} = \left(\frac{dE}{dx}\right)_c + \left(\frac{dE}{dx}\right)_r \quad (9.7)$$

برای برآورد سهم نسبی این دو جمله می‌توان نسبت آنها را تشکیل داد، که در ناحیه نسبیتهی تقریباً برابر است با

$$\frac{(dE/dx)_r}{(dE/dx)_c} \approx \frac{T+mc^2}{mc^2} \cdot \frac{Z}{1600} \quad (10.7)$$

بدین‌سان، جمله تابشی فقط در انرژیهای زیاد و در مواد سنگین قابل ملاحظه است. در